

جمهوری اسلامی ایران  
وزارت صنایع و معادن  
سازمان صنایع و معادن استان اردبیل

## گزارش اکتشافات ژئوشیمیایی سیستماتیک در محدوده

چهارگوش ۱:۱۰۰,۰۰۰

مجری طرح:

سازمان صنایع و معادن استان اردبیل

مهندسين مشاور کاوشگران



با همکاری

بنیاد اسناد سازمان زمین‌شناسی و  
اکتشافات معدنی کشور  
۸۱۷۶۴ تاریخ: شماره ثبت:



مهندسين مشاور زرناپ اکتشاف

## تشکر و قدردانی

مهندسين مشاور کاوشگران و زرناب اکتشاف در راستاي اجرای پروژه اکتشافات سيسitemاتيک در محدوده چهارگوش اردبيل، رضي و گرمي از مساعدتها و پشتيبانی هاي مسئولين و دست اندرکاران سازمان صنایع و معادن استان اردبيل بهره مند بوده که بدینوسيله از آنها قدردانی به عمل می آيد.

- رياست قبلي سازمان جناب آقاي مهندس علی پر زحمت با ارائه طريق و نظرات

ارزشمند در اين زمينه راهگشاي بسياري از مراحل بوده که بدینوسيله از ايشان

صيميانه سپاسگزاری می گردد.

- رياست سازمان جناب آقاي مهندس عزيز محمدی نيز پس از تصدی اين پست با

راهنمائيهای ارزشمند خويش در راستاي تكميل پروژه مساعدت فرموده که جا دارد

از ايشان نيز قدردانی شود.

- معاونت محترم سازمان جناب آقاي مهندس بنابي نيز در زمينه اجرای پروژه نهايت

همکاري و مساعدت را به خرج داد که از ايشان تشکر فراوان می شود.

- کارشناسان سخت کوش سازمان به ویژه جناب آقاي مهندس آقازاده و مهندس

موسوي نيز با توجه به تجارب ارزنده خويش راهنمائيهای ارزشمند در زمينه پيشبرد

پروژه و رفع نقايص آن ارائه فرمودند.

- از ناظر محترم پروژه جناب آقاي مهندس نوروزي بخاطر نظارت دقیق در طول

اجرای پروژه در طی مراحل طراحی، نمونه برداری، داده پردازی و تدوين گزارش

قدارданی به عمل می آيد.

در انتها مشاوران معتقدند که گزارش ارائه شده خالي از اشكال نبوده و از

راهنمائيهای تمامی کارشناسان در راستاي رفع نقايص به گرمي استقبال خواهد شد.

## چکیده:

اکتشافات ژئوشیمیایی در برگ ۱:۱۰۰.۰۰۰ گرمی با برداشت ۴۰۴ نمونه از رسوبات آبراهه ای ۸۰ - مش آغاز شد. این نمونه ها با روش ICP/MS و برای ۲۲ عنصر آنالیز شدن. مراحل داده پردازی مقدماتی شامل داده پردازی تک متغیره، داده پردازی دو متغیره (همبستگی ها) و داده پردازی چند متغیره می باشد. در مرحله تخمین مقدار زمینه و بررسی شاخص غنی شدگی ابتدا تمامی جوامع یک الی چهار سنگی شناخته شده و بر اساس میانه های آنها ضرایب غنی شدگی بدست آمد. هدف از این مرحله به حداقل رساندن اثرات سن ژنتیکی غلظت نمونه ها در رسوبات بود.

انتخاب داده ها برای ترسیم نقشه بر اساس مقادیر لگاریتمی ضرایب غنی شدگی صورت گرفت و نقشه های تک عنصری (۱۳ نقشه) و نقشه فاکتوری (۴ نقشه) ترسیم و عده آنها تشریح شد. در مرحله کنترل آنومالی تعداد ۳۱ نمونه کانی سنگین برداشت گردید. این داده ها در راستای تایید و یا رد ناهنجاریهای ژئوشیمیایی به کار گرفته شد.

مجموعه داده های کانی سنگین در ۱۰ نقشه ارائه و به توصیف آنها پرداخته شد جمع بندی داده های کانی سنگین و ویژگیهای این نوع ازمطالعات نیز به تفصیل در متن گزارش به رشته تحریر در آمده است. بررسیهای مدل سازی و گزینه محتمل ترین نوع کانی سازی در منطقه نیز در بخش دیگری از گزارش ارائه گردیده و در نهایت به تلفیق تمامی داده ها در راستای انتخاب بهینه مناطق با اولویت اکتشافی پرداخته شده است.

## **Abstract:**

Regional stream sediment geochemical surveying is carried out in the Germi area, scale 1:100.000. According to the request of the client, The -80 mesh portion of samples have been analyzed (ICP /MS) to obtain the contents of which of the 22 elements in th sample.

The preliminary data processing includes Monovariable elements), bivariable (correlation coefficient) and multivariable statistic(factor analysis) have been done. In the next stage the evaluation of values for calculation of background and enrichment index are carried out. For this purpose the populations of samples with single,double,triple& fourth upstream rock type on their route are discriminated. Then the enrichment index is calculated on the basis of the median values. The purpose of calculations in this stage is to minimize the effect of Clark values in different rock types. The logarithmic data of enrichment indexes are selected for drawing maps. Some 13 single element maps and Four factor analysis maps are produced (most of them with explanatory text). In the stage of anomaly checking, some 31 heavy mineral alluvial samples analyzed. The obtained results are used to confirm or reject the already obtained anomalies. The results of heavy

mineral alluvial surveying are presented on 10 maps with explanations in each case. The conclusion on the heavy mineral alluvial survey and the applied methods for that are explained in details. The studies on modeling and selection of the most probable mineralized zones in the studied area are presented. The best and most likely proposed area are selected and suggested for further investigations.

## فهرست مطالب

| صفحه | عنوان  |
|------|--|
| ۱    | پیشگفتار   |
| ۲    | ۱-۱- موقعیت جغرافیایی و راههای دسترسی :          |
| ۴    | ۱-۲- اهداف اکتشافات ژئوشیمیایی در مقیاس ناحیه‌ای |
| ۵    | ۳-۱- روش اجرای پروژه                             |
| ۷    | ۴-۱- جمع آوری اطلاعات                            |
| ۸    | ۵-۱- زمین شناسی منطقه                            |
| ۹    | ۱-۵-۱- چینه شناسی                                |
| ۹    | ۱-۵-۱-۱- اوسن                                    |
| ۱۱   | ۱-۵-۱-۲- الیگومن                                 |
| ۱۱   | ۱-۵-۱-۳- الیگومن-میوسن                           |
| ۱۲   | ۱-۵-۱-۳-۱- چینه شناسی سازند زیوه                 |
| ۱۶   | ۱-۵-۱-۳-۲- میوسن میانی                           |
| ۱۷   | ۱-۵-۱-۳-۱-۲- تورتونین پائینی                     |
| ۱۷   | ۱-۵-۱-۳-۳- میوسن بالایی                          |
| ۱۹   | ۱-۵-۱-۴- رسوبهای کواترنر                         |
| ۲۰   | ۱-۵-۲- تکتونیک                                   |
| ۲۱   | ۱-۵-۳- زمین شناسی اقتصادی                        |
| ۲۳   | ۱-۱- مقدمه                                       |
| ۲۴   | ۱-۲- عوامل موثر در طراحی نمونه برداری            |
| ۲۴   | ۱-۲-۱- روش طراحی مرکز ثقل آبراهه‌ها              |
| ۲۶   | ۱-۳-۱- عملیات صحرایی نمونه برداری                |
| ۲۷   | ۱-۳-۱- استفاده از GPS                            |

| عنوان  | صفحه |
|--|------|
| ۴- آماده سازی آزمایشگاهی و ارسال نمونه ها به آزمایشگاه           | ۳۱   |
| ۵- روش آنالیز و حد حساسیت (Detection Limit)                      | ۳۱   |
| ۱- مقدمه   | ۳۲   |
| ۲- پردازش داده های سنسور د                                       | ۳۳   |
| ۳- بررسی خطای آنالیز   | ۳۳   |
| ۱- جدول پارامترهای آماری داده های خام                            | ۳۷   |
| ۲- ترسیم هیستوگرامها و شرح آنها                                  | ۳۸   |
| ۳- ترسیم باکس پلاتها   | ۴۳   |
| ۴- بررسی ضرایب همبستگی   | ۴۴   |
| ۱- محاسبه ضرایب همبستگی و بررسی اعتبار آنها                      | ۴۶   |
| ۲- جدایش جوامع سنگی و اهمیت آن:                                  | ۴۹   |
| ۱- رده بندی نمونه ها بر اساس تعداد سنگهای بالا دست               | ۵۱   |
| ۲- رده بندی نمونه ها بر اساس نوع سنگهای بالا دست:                | ۵۳   |
| ۱- پردازش داده های جوامع تک سنگی                                 | ۵۳   |
| ۲- پردازش داده های جوامع دو سنگی                                 | ۵۷   |
| ۳- پردازش داده های جوامع سه سنگی و بیشتر                         | ۵۷   |
| ۴- پردازش جوامع کمتر از ده نمونه با استفاده از روش آنالیز کلاستر | ۵۷   |
| ۱- نقش سنگ بستر در ارزیابی مقدار زمینه و حد آستانه ای            | ۵۹   |
| ۲- بررسی مقادیر کلارک سنگهای رخمنون دار در منطقه:                | ۵۹   |
| ۳- تحلیل ناهمگنی ها  | ۶۱   |
| ۴- سیمای ژئوشیمیابی جوامع مختلف بر اساس سنگ بستر بالا دست        | ۶۳   |
| ۵- تخمین مقدار زمینه هر عنصر برای جوامع مختلف                    | ۶۳   |
| ۶- شاخص غنی شدگی Enrichment Index                                | ۷۴   |

| صفحه | عنوان   |
|------|---|
| ۷۵   | ۴-۷- محاسبه پارامترهای آماری و رسم هیستوگرام‌های شاخص‌های غنی شدگی  |
| ۷۷   | ۴-۸- بررسی‌های آماری چند متغیره   |
| ۷۷   | ۴-۸-۱- آنالیز فاکتوری (تجزیه عاملی Factor Analysis)   |
| ۷۹   | ۴-۸-۱-۱- آنالیز فاکتوری داده‌های ژئوشیمیایی برگه گرمی   |
| ۸۳   | ۱-۵- مقدمه:   |
| ۸۳   | ۱-۵-۲- تکنیک رسم نقشه‌ها:   |
| ۸۴   | ۱-۵-۳- شرح نقشه‌های عناصر و نقشه‌های فاکتوری  |
| ۸۴   | ۱-۵-۴- نقشه مناطق ناهنجار عنصر طلا (نقشه پیوست شماره ۴)   |
| ۸۷   | ۱-۵-۵- شرح مناطق ناهنجار عنصر باریم (نقشه پیوست شماره ۵)  |
| ۸۹   | ۱-۵-۶- شرح مناطق ناهنجار عنصر مس (نقشه پیوست شماره ۶)   |
| ۹۴   | ۱-۵-۷- شرح مناطق ناهنجار عنصر ارسنیک (نقشه پیوست شماره ۷)   |
| ۹۵   | ۱-۵-۸- شرح مناطق ناهنجار عنصر بربیلیوم (نقشه پیوست شماره ۸)   |
| ۹۷   | ۱-۵-۹- شرح مناطق ناهنجار عنصر سرب (نقشه پیوست شماره ۹)  |
| ۹۹   | ۱-۵-۱۰- شرح مناطق ناهنجار عنصر روی (نقشه پیوست شماره ۱۰)  |
| ۱۰۱  | ۱-۵-۱۱- شرح مناطق ناهنجار عنصر منگنز (نقشه پیوست شماره ۱۱)  |
| ۱۰۴  | ۱-۵-۱۲- شرح مناطق ناهنجار عنصر نقره (نقشه پیوست شماره ۱۲)   |
| ۱۰۵  | ۱-۵-۱۳- شرح مناطق ناهنجار عنصر مولیبدن (نقشه پیوست شماره ۱۳)  |
| ۱۰۷  | ۱-۵-۱۴- شرح مناطق ناهنجار عنصر تیتانیوم (نقشه پیوست شماره ۱۴)   |
| ۱۰۹  | ۱-۵-۱۵- شرح مناطق ناهنجار عنصر جیوه (نقشه پیوست شماره ۱۵)   |
| ۱۱۷  | ۱-۵-۱۶- شرح مناطق ناهنجار عنصر کبالت (نقشه پیوست شماره ۱۶)  |
| ۱۲۱  | ۱-۵-۱۷- شرح مناطق ناهنجار نقشه‌های فاکتوری (As,Sb,Bi,-Sr) (نقشه پیوست شماره ۱۷).  |
| ۱۲۳  | ۱-۵-۱۸- مناطق ناهنجار نقشه فاکتوری $F_2 = (\text{Pb}, \text{Ba}, \text{W}, \text{Ti}, \text{Be})$ (نقشه پیوست شماره ۱۸) |

صفحه

عنوان

- ۱۶-۳-۵- شرح مناطق ناهنجار نقشه های فاکتوری  $F_3 = (\text{Cu}, \text{Mn})$  نقشه پیوست شماره ۱۲۴ (۱۹)
- ۱۷-۳-۵- شرح مناطق ناهنجار فاکتور چهارم  $F_4 = \text{Au}, \text{Zn}, \text{Mn}, \text{Co}$  (نقشه پیوست شماره ۱۲۵) (۲۰)
- ۱-۶- مقدمه
- ۲-۶- تعریف کانیهای سنگین
- ۳-۶- تقسیم بندی کانیهای سنگین
- ۴-۶- نحوه نمونه برداری کانیهای سنگین
- ۵-۶- آماده سازی نمونه ها
- ۶-۶- مطالعه نمونه های کانی سنگین
- ۷-۶- کمی کردن (Quantitative) داده های کانیهای سنگین
- ۸-۶- پردازش داده های کانیهای سنگین
- ۹-۶- جدول پارامتر های اماری
- ۱۰-۶- ۸-۲- هیستوگرام های کانیهای سنگین
- ۱۱-۶- ۹- شرح نقشه های نمادین کانیهای سنگین
- ۱۲-۶- ۹- شرح نقشه کانی های سرب طبیعی، گالن، پیرومورفیت، سروزیت و انگلزیت (نقشه شماره ۱-۶)
- ۱۳-۶- ۹- ۷- شرح نقشه های کانی های سنگین مس طبیعی، بورنیت، ملاکیت و بروشانتیت (نقشه شماره ۲-۶)
- ۱۴-۶- ۹- ۳- شرح نقشه کانی های سنگین باریت، کربنات کلسیم، فلوریت و سلسیت (نقشه شماره ۳-۶)
- ۱۵-۶- ۹- ۴- شرح کانی های سنگین سینابر و استیبنیت (نقشه شماره ۴-۶)
- ۱۶-۶- ۹- ۵- شرح کانی های سنگین طلا، نقره، طلا-نقره، طلا-مس (نقشه شماره ۵-۶)
- ۱۷-۶- ۹- ۶- شرح نقشه کانی های سنگین اسفالریت، اسمیت زونیت و همی مورفیت (نقشه شماره ۶-۶)

عنوان

فصل سوم

۱- مقدمه

۲- معرفی مناطق امید بخش

صفحه

۱۷۹

۱۸۰

**بخش اول**

**کلیات**

## پیشگفتار

تکمیل لایه اطلاعاتی اکتشافات ژئوشیمیایی در مقیاس  $1:100,000$  از جمله برنامه های مهم عملیات اکتشافی زیر بنایی کشور محسوب می‌گردد. امروزه با توجه به اثبات توانائیهای اکتشافات ژئوشیمیایی و با عنایت به دانش گسترده پیشروان این علم و سرعت روز افزون تکنولوژیهای آزمایشگاهی و کارآمد شدن تکنیک‌های پردازش اطلاعات، توجه به این امر در زمرة نیازهای اولیه محسوب می‌شود.

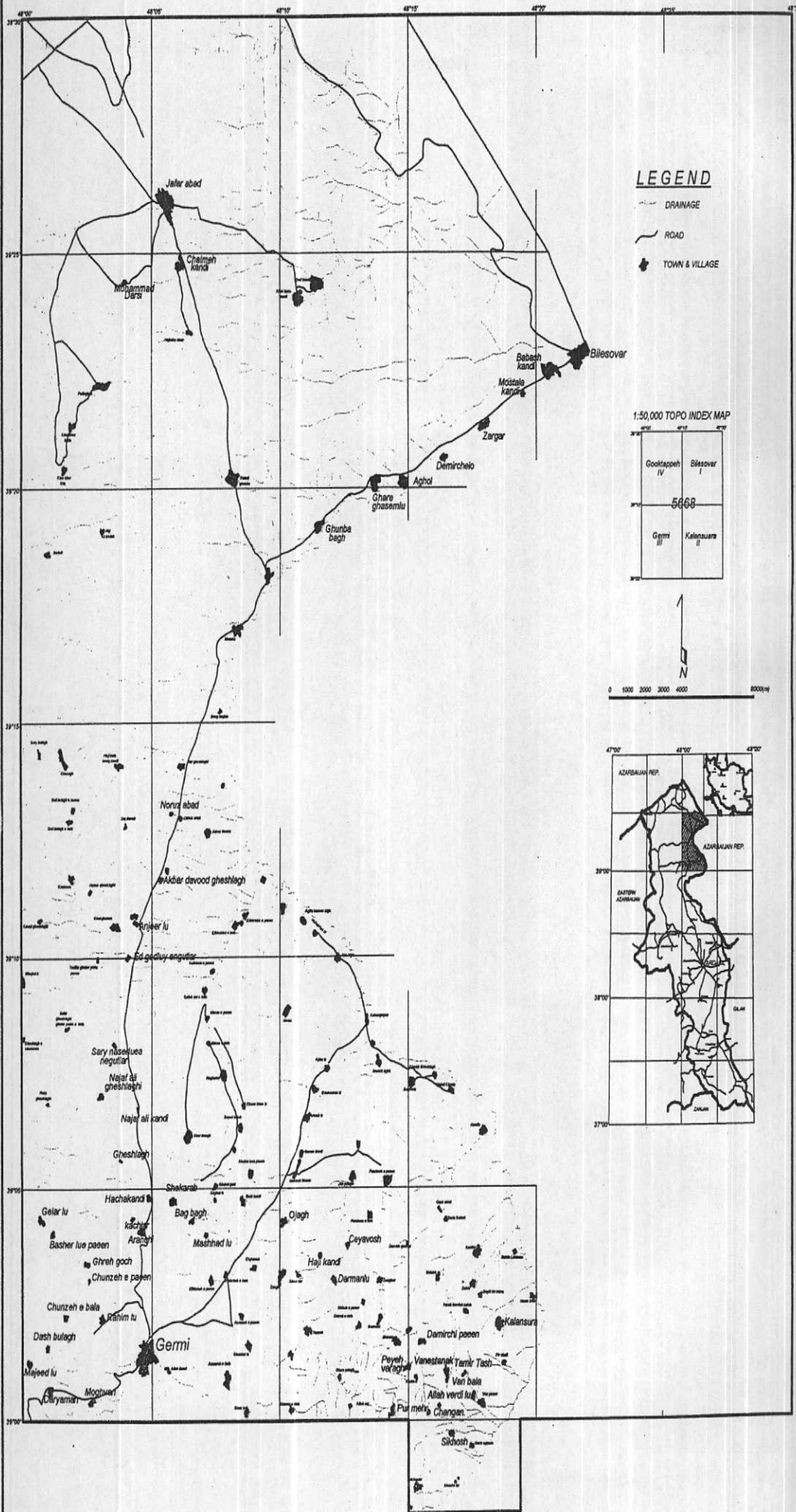
سازمان صنایع و معادن استان اردبیل و ریاست محترم آن با توجه به آگاهی از این مهم، اقدام مؤثر تهیه لایه‌های اطلاعاتی ژئوشیمیایی، دور سنجی و زمین شناسی اقتصادی را در ورقه‌های  $1:100,000$  اردبیل، رضی و گرمی در دستور کار قرار دادند و گام مهمی را در زمینه تکمیل اطلاعات اکتشافی این استان برداشتند. این پروژه با تکیه بر نتایج آنالیز نمونه‌های رسوبات آبراهه‌ای (جزء ۸۰ - مش)، مطالعات نمونه‌های کانی سنگین، نمونه‌های دگرسان شده و نمونه‌های مینرالیزه و سایر اطلاعات، شکل یافته و مشاوران امیدوارند در این راستا توانسته باشند گام هر چند کوچکی را در راه تحقق، به اهداف اقتصاد بدون نفت برداشته باشند. گروه فنی مشاوران از انتقادات و پیشنهادهای کارساز تمامی علاقه مندان، به گرمی استقبال کرده و در راه رفع آنها از هیچ تلاشی فروگذار نخواهد کرد.

### ۱- موقعیت جغرافیایی و راههای دسترسی :

محدوده مورد بررسی در پایانه شمال خاوری استان آذربایجان خاوری بین عرض شمالی  $۳۹^{\circ} ۳۰' \text{ تا } ۴۰^{\circ} ۳۰'$  و طول شرقی  $۴۸^{\circ} \text{ تا } ۴۹^{\circ} ۰۰'$  قرار گرفته و از طرف شمال و شرق با جمهوری آذربایجان هم مرز می‌باشد.

این ناحیه در یک زون فرو افتاده به نام کورا - ارس جای گرفته است. بلندترین نقطه محدوده به ارتفاع ۱۳۱۳ متر از سطح دریای آزاد در غرب روستای در پایان و پائین ترین نقطه آن به ارتفاع ۵۰ متر در شمال غربی بیله سوار واقع‌اند.

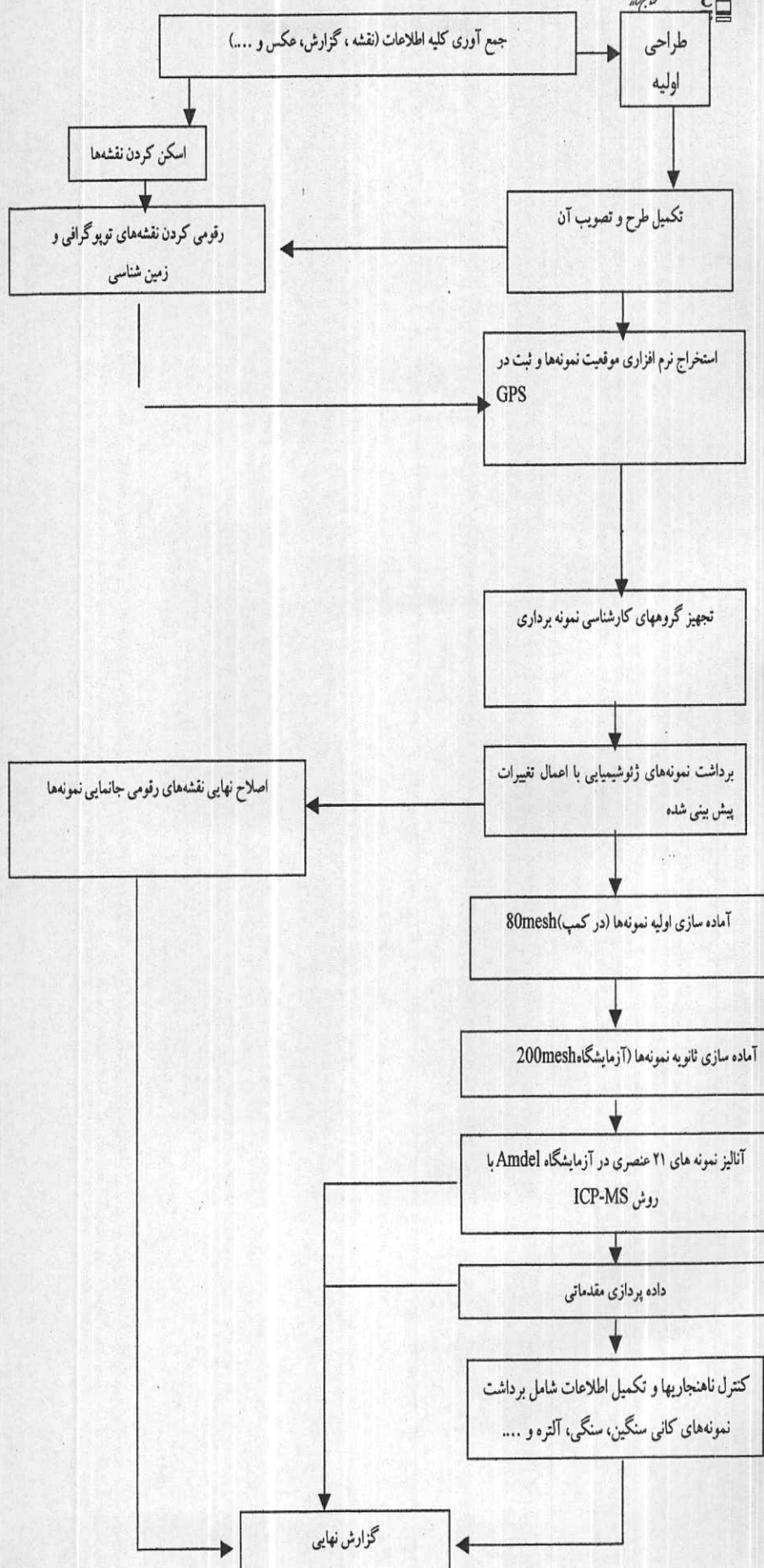
بزرگترین شهر ناحیه، شهرستان گرمی است، که در گوشه جنوب باختیاری محدوده واقع شده و از جنوب به شهرستان اردبیل و از طرف شمال غربی به شهرستان پارس آباد مربوط می‌شود، از دیگر آبادی‌های بزرگ منطقه می‌توان بیله سوار - جعفرآباد (شاه آباد سابق) و کلانسورا را نام برد. راههای ارتباطی که منطقه را به سایر قسمت‌های آذربایجان مربوط می‌سازد، جاده آسفالتی اردبیل - گرمی - پارس آباد مغان می‌باشد (نقشه شماره ۱-۱). بقیه راههای ارتباطی، خاکی و اغلب بدون شن ریزی می‌باشد، که به هنگام بارندگی آمد و رفت وسایط نقلیه را با دشواری فروان روبرو می‌سازد، دسترسی به نقاط مختلف منطقه به دلیل وجود راههای فرعی قابل عبور با وسایل موتوری به آسانی امکان دارد.



شکل ۱-۱- نقشه راه های ارتباطی ورقه ۱:۱۰۰۰۰ گرمی

## ۲- اهداف اکتشافات ژئوشیمیایی در مقیاس ناحیه‌ای

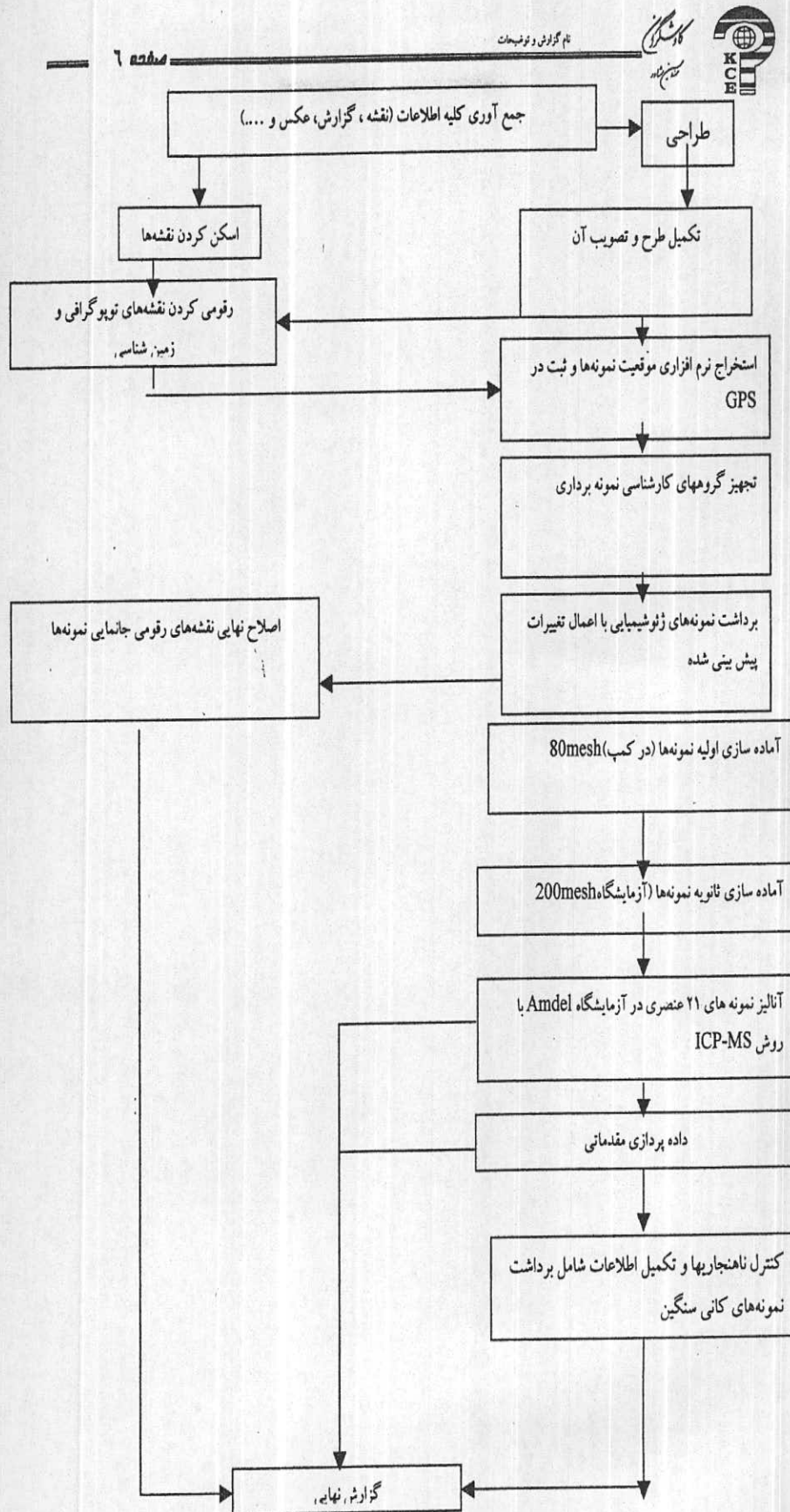
بطور تجربی ثابت شده است که رسوبات آبراهه‌ای می‌تواند در اکتشافات کوچک مقیاس ناحیه‌ای ( $1:1000$  تا  $1:250000$ ) بسیار مفید واقع شوند چرا که می‌توان گفت این رسوبات حاصل شستشو و حمل مواد از بالا دست می‌باشد و بنابراین نماینده خوبی از محیط‌های واقع در مسیر حرکت آب می‌باشد. از مزایای دیگر این محیط شرایط اکسیدان در اغلب آنهاست که موجب تحرک عناصر کانساری و در نتیجه افزایش وسعت هاله‌های آنهاست. اینکه چه جزئی از رسوبات آبراهه‌ای می‌تواند معرف بهترین بخش از کانی سازی باشد در حیطه شناخت اولیه محیط از طریق برداشت نمونه‌های توجیهی (Orientation Survey) است. البته تعیین اهمیت این بخش از مطالعات نه تنها در راستای تعیین بهترین دانه‌بندی بلکه در تعیین سیستم طراحی نمونه بینه، نوع و تعداد مناسب محیط نمونه‌برداری، مناسبترین عناصر آنالیزی و ... خواهد بود. بطور کلی این مبحث در قریب به اتفاق برگه‌های  $1:1000$  به فراموشی سپرده شده و در سایر مطالعات در مقیاس‌های بزرگتر و در بعضی از پژوهه‌ها به آن پرداخته شده است. البته تجارب مشاورین حکایت از اهمیت بسیار زیاد سایز بینه نمونه (Optimum size fraction) در مطالعات تفصیلی و برای تعیین مناطق مناسب برای حفاری است و این تأثیر در مطالعات ناحیه‌ای اثر کمتری خواهد داشت. در اینجا بر اساس بندهای شرح خدمات از جزء  $80 - 80$  نمونه برداری شده است. مزایای عمدۀ دیگر این محیط (محیط رسوبات آبراهه‌ای) بزرگی میدان اثر نمونه‌ها، سهولت نمونه‌برداری و آماده سازی است، هرچند که پتانسیل آلودگی مضاعف (Cross Contamination) در مواردی همچون برگه گرمی که تقریباً تمامی نمونه‌های آن به صورت خیس برداشت شده بالا خواهد بود.



شکل ۲-۱-فلوچارت روش اجرای پروژه

### ۱-۳- روش اجرای پروژه

روش اجرای پروژه ابتدا با جمع آوری اطلاعات شروع شد، در پی آن طراحی عملیات نمونه برداری شکل گرفته تا کارشناسان نمونه بردار با تجهیزات ویژه که عمدۀ آنها شامل نقشه‌های توپوگرافی حاوی جانمایی نمونه، دستگاه‌های GPS و کارتهای استاندارد نمونه برداری بوده، عازم منطقه شوند. عملیات نمونه برداری با توجه به فصل کاری با مشکلات عدیدهای روبرو شد که از اهم آنها می‌توان به خیس بودن تقریباً تمامی آبراهه‌ها، زحمت مضاعف در زمینه نمونه برداری و خشک کردن نمونه‌ها و همچنین بالا رفتن ریسک آلودگی نمونه‌ها اشاره داشت. نمونه‌ها دو مرحله آماده سازی را تا ارسال به آزمایشگاه Amdel در کشور استرالیا پشت سر گذراندند. (آماده سازی در کمپ و آماده سازی در آزمایشگاه). پس از دریافت نتایج، عملیات آماده سازی داده‌ها و داده‌پردازی شروع گردید تا مناطق ناهنجار شناسایی شوند. مرحله کنترل مناطق ناهنجاری همراه با برداشت نمونه‌های کانیهای سنگین، ادامه داشت تا اطلاعات تکمیل شود و زمینه برای تنظیم و تدوین گزارش آماده گردد. در شکل ۱-۲ روند این مراحل به گونه شماتیک ارائه شده است.



شکل ۲-۱- فلوچارت روش اجرای پروژه

### ۱-۴- جمع آوری اطلاعات

در این مرحله اطلاعات مربوط به منطقه تحت پوشش به شرح زیر تهیه و مورد مطالعه قرار گرفت:

- ۱- نقشه‌های توپوگرافی: ۱:۵۰,۰۰۰؛ ۱:۱۰۰,۰۰۰؛ ۱:۲۵۰,۰۰۰ منطقه مورد مطالعه شامل برگه‌های: گرمی، گوک‌تپه، کلانسورا و بیله سوار.
- ۲- عکسهاي ماهاواره‌اي با مقیاس ۱:۱۰۰,۰۰۰ منطقه مورد مطالعه و اطراف آن.
- ۳- نقشه زمین‌شناسي ۱:۱۰۰,۰۰۰ گرمی.
- ۴- نقشه توپوگرافی ۱:۲۵۰,۰۰۰ اردبیل.

با توجه به اطلاعات حاصل از منابع فوق الذکر، پس از طراحی نمونه‌ها برنامه عملیات صحرايی جهت نمونه برداری پی ریزی گردید و در هر مورد نقش پارامترهای موثر در برنامه ریزی اکتشافی (بخصوص در نمونه برداری) مورد بررسی قرار گرفت که خلاصه آن در بخش‌های معدنی گزارش آمده است.

## ۱-۵- زمین شناسی منطقه

### مقدمه

برای نخستین بار بررسی‌های زمین شناسی در منطقه توسطه - طراز انجام گرفته است. پس از آن نیز بررسی‌هایی به منظور اکتشاف مواد نفتی (هیدرو کربور) توسط شرکت ملی نفت ایران با همکاری کارشناسان فرانسوی به عمل آمد که حاصل آن نقشه زمین شناسی ۱۳۵۰،۰۰۰ و گزارش پیوست آن می‌باشد. بیشتر بروونزدهای منطقه را نهشته‌های رسوبی تشکیل می‌دهد، که دارای ساختار چین خورده به صورت تاقدیس و ناودیس با راستای تقریباً شمال غربی - جنوب شرقی می‌باشد. قدیمی‌ترین سنگ‌های محدوده گرمی با سنگ‌های رسوبی بسن ائوسن شروع می‌شود، که توسط چینهای رسوبی جوان‌تر بسن الیگوسن - میوسن پوشیده شده است.

ائوسن با یکسری رسوب‌های نرم آوری شامل، شیل و ماسه سنگ توفی آغاز می‌گردد و به طرف بالا به ردیف‌هایی از شیلهای سیلتی و ماسه سنگی تبدیل می‌شود، سپس بر روی آن یک گدازه آندزی - بازالتی پیروکسن دار به رنگ تیره مایل به سبز پدیدار می‌شود و سپس با تناوبی از ماسه سنگ، رس، سیلت‌های گچ‌دار پایان می‌پذیرد.

در بخشی از محدوده بخصوص در غرب آبادی قیز قلعه سی رسوب‌ها بیشتر از ماسه سنگ، رس، مارن، بسن الیگوسن تشکیل یافته‌اند. شرکت ملی نفت ایران این رسوب‌ها را سازند اوچاق قشلاق نام‌گذاری کرده است.

برونزد سنگ‌های زمان الیگوسن - میوسن بیشتر از رسوب‌های نرم دارای برگه‌ها و پولک‌های گچ تشکیل یافته است، از ویژگی‌های آشکار این رسوبها وجود آثار گیاهی فراوان است که در تمام واحدهای رسوبی از ائوسن تا پایان میوسن به خوبی دیده می‌شوند.

واحدهای الیگوسن - میوسن حوضه مغان از خاور به سوی باخته و از جنوب به سوی شمال دارای تغییراتی از پهلو و تدریجی است. از نظر ضخامت و رخساره نیز تفاوت‌های آشکاری در آن‌ها دیده می‌شود. برای مثال واحد  $OM^{z1}$  در جنوب خاوری در منطقه از تناوب شیلهای تیره رنگ و ماسه سنگ‌های توفی خاکستری تشکیل یافته است. به سوی باخته و شمال، رخساره این واحد بیشتر شامل رسوب‌های نرم شامل فورش‌های رنگارنگ،

رس، شیل همراه با میان لایه های نازک ماسه سنگی می باشد. که ژرف شدن حوضه رسوی در قسمت های شمالی منطقه را تأیید می نماید. رسوهای پس از میوسن نیز برخلاف سایر نقاط آذربایجان ایران، بیشتر از سنگ های رسوی آواری و نرم تشکیل یافته و هیچ گونه فعالیت آتشفسانی در میوسن و پس از آن در ناحیه مشاهده نمی شود. رسوهای جوان کواترنر به طور افقی بر روی سنگ های چین خورده کهن تر از خود قرار گرفته اند.

#### ۱-۵-۱- چینه شناسی

واحدهای سنگ چینه ای تفکیک شده عموماً متعلق به دوران سنوزوئیک (Cenozoic) بوده و واحد سنگی منطقه متعلق به ائوسن است که از پائین به بالا بشرح زیر می باشد.

#### ۱-۵-۱-۱- ائوسن

سنگ های بسن ائوسن در محدوده مورد بررسی تنها در قسمت کوچکی از باختر منطقه واقع در باختر و جنوب باختر آبادی قیز قلعه سی دیده می شود، که در سمت جنوب گسله با راستای تقریباً خاوری - باختری واقع شده و از پائین به بالا عبارتند از :

E<sub>1</sub>: سنگ های اصلی این واحد شامل فورش سنگ، رس، مارن رسی، همراه با لایه های نازک ماسه سنگ توفی به رنگ عمومی سبز مایل به خاکستری می باشد. این رسوهای دارای آثار گیاهی هستند و گچ به صورت برگه و پولک به طور پراکنده در رسوهای دیده می شود. ماسه سنگ های این بخش فرسایش پوست پیازی دارند، مرز زیرین این واحد در منطقه مشخص نیست ولی مزر بالایی آن با یک لایه نسبتاً نازک گذاره آندزی - بازالت پیروکسن دار پوشیده می شود. زمین شناسان شرکت ملی نفت ایران این واحد را سازند سلم آغاجی نامیده اند.

### <sup>b</sup>: واحد آندزی - بازالت پیروکسن دار

گدازه آندزی - بازالت پیروکسن دار به رنگ عمومی تیره مایل به سبز می‌باشد. ضخامت این گدازه در منطقه حداکثر به ۳۵ متر می‌رسد. محل بروونزد آن در جنوب غربی آبادی قیز قلعه سی می‌باشد. این گدازه آندزی - بازالتی به صورت یک افق مشخص در سرتاسر منطقه مغان گسترش دارد، به طرف شرق ضخامت این گدازه افزایش می‌یابد، به طوریکه در کوه‌های تالش واقع در خاک جمهوری آذربایجان ضخامت آن به ۱۰۰۰ متر می‌رسد. زمین شناسان جمهوری آذربایجان این گدازه را، بازالت پشت سر، نامگذاری کرده‌اند. به نظر می‌رسد این گدازه بازالتی از فعالیت‌های آتش‌شناختی کوه‌های تالش به وجود آمده است. از نظر سنگ شناسی بافت سنگ پورفیریتیک با زمینه میکرولیتی می‌باشد. کریستال‌های پورفیر شامل پلاژیو کلاز نیمه رخدار بوده و حداکثر قطر این کریستال‌ها به ۲ میلی‌متر می‌رسد. بلورهای کلینپیروکسن نیمه رخدار به صورت مجتمع در سنگ دیده می‌شوند. کانی‌های فرومیزین و کانی‌های فرعی مانند کلریت، اکسید آهن، بیوتیت در سنگ دیده می‌شوند. کاواک‌های موجود در سنگ اغلب توسط کانی‌های کلریت و کلسیت پر شده‌اند. این گدازه به عنوان یک لایه راهنما (Keybed) در مرز واحدهای رسوبی  $E_1$  و  $E_3$  قرار گرفته است.

<sup>c</sup>: سنگ‌های رسوبی این واحد بر روی گدازه آندزی - بازالت پیروکسن دار (بازالت پشت سر) قرار می‌گیرد و تناوبی از ماسه سنگ توفی، رس فورش، مارن رسی و توف ماسه‌ای می‌باشد. اجزای سازنده ماسه سنگ‌ها، فورش سنگ‌ها و توف ماسه‌ای بیشتر از ذرات ولکانیکی هستند. بعضی از لایه‌های ماسه سنگی دارای اجزای درشت‌تر بوده و حالت میکرو کنگلومراپی دراند. ضخامت لایه‌های ماسه سنگی از چند سانتی‌متر تا ۱/۵ متر می‌رسد. آثار فسیل در این واحد کمیاب می‌باشد. فسیل شناسان شرکت ملی نفت ایران با معرفی فسیل‌های (Nummulites sp. Globigerinidae, Conglobatus) این واحد را به ائوسن بالایی نسبت داده‌اند. ضخامت این واحد در محدوده گرمی به ۲۰۰ متر می‌رسد، ولی به طرف باختر و بیرون محدوده ضخامت آن افزایش می‌یابد.

### ۱-۵-۱- الیگومن

مرز رسوب‌های ائوسن و الیگومن در منطقه به طور دقیق مشخص نمی‌باشد.

رسوب‌های واحد  $E_3$  به تدریج و بدون دگرگشی به طرف بالا به یک واحد ریز دانه شامل

رس، ماسه سنگ، تبدیل می‌شود، که به احتمال نشانه کاهش انرژی محیط رسوبی است. این

رسوب‌ها با علامت  $0^{\circ}$  بر روی نقشه نشان داده شده است.

$0^{\circ}$ : رسوب‌های ریز دانه شامل رس، مارن زرد آجری رنگ و ماسه سنگ می‌باشد. اجزای

MASHE سنگ‌ها بیشتر از قطعات ولکانیکی تشکیل یافته است. سیمان ماسه سنگ‌ها آهکی

است. چینه‌های ماسه سنگی نازک تا متوسط هستند و آثار گچ به صورت پولک‌های ریز در

رس‌ها و مارن‌های این واحد به چشم می‌خورد. جایگاه بروونزد این واحد در جنوب غربی

آبادی قیز قلعه سی (و شمال اوچاق قشلاق واقع در غرب بیرون از محدوده گرمی) است.

ضخامت این واحد در منطقه به  $350$  متر می‌رسد و به طرف باخته و بیرون محدوده کنونی

ضخامت آن افزایش می‌یابد. این سازند تحت عنوان سازند اوچاق قشلاق نام‌گذاری کرده‌اند.

### ۱-۵-۱- الیگومن-میوسن

رسوب‌های دوره الیگومن - میوسن را به خاطر قرار داشتن برش الگوی آن در باخته

روستای زیوه سازند زیوه نامیده‌اند. سنگ‌های الیگومن - میوسن در تمام مناطق دشت مغان

که محدوده گرمی بخشی از آن را شامل می‌شود به طور تدریجی بر روی رسوب‌های متعلق

به ائوسن ( $E_3$ ) و الیگومن پائین  $0^{\circ}$  قرار می‌گیرد. رخساره واحدهای سازند زیوه از باخته به

خار و از جنوب به شمال تغییراتی را نشان می‌دهد که تا حد امکان کوشش شده این

تغییرات در توصیف چینه‌ای واحدها گنجانده شود.

### ۱-۳-۵-۱ - چینه شناسی سازند زیوه

برای آسانی، واحدهای سازند زیوه را به سه بخش پائینی- میانی - بالایی تقسیم کردیم.

#### سازند زیوه پائینی

$OM^{zcl}$ : این واحد یک سری کنگلومرا ای به همراه ماسه سنگ و رسوب‌های نرم فورشی و رسی می‌باشد، که پنجه در پنجه به همدیگر تبدیل می‌شوند. مرز  $OM^{zcl}$  و  $E_3$  در بیرون و باخته محدوده کنونی جای دارد و سنگ‌های واحد  $OM^{zcl}$  به طور عادی بر روی واحد  $E_3$  می‌نشینند. اجزای کنگلومرا بیشتر از قطعات ولکانیکی تشکیل شده است، و این قطعات کاملاً گرد شده هستند. سیمان کنگلومرا آهکی و رنگ عمومی واحد، خاکستری روشن است. اجزای قطعات به چند میلی‌متر تا ۳۰ سانتی‌متر می‌رسد.

این کنگلومرا در یال جنوبی ناویدس گرمی و در پایانه مرز باخته محدوده ورقه، بخش‌هایی از واحد  $OM^{zcl}$  را نیز در بر می‌گیرد و به صورت زبانه‌ایی در داخل  $OM^{zcl}$  دیده می‌شود. ضخامت واحد  $OM^{zcl}$  به طرف باخته (محدوده زیوه) افزایش چشمگیری پیدا می‌کند.

$OM^{zcl}$ : این واحد در قسمت‌های شمالی محدوده بیشتر از رسوب‌های نرم فورش و رس، به رنگ‌های مختلف همراه با میان‌لایه‌های نازک ماسه سنگ توفی تشکیل گردیده است. رسوب‌های این واحد به شدت گچ‌دار است و آثار گچ به صورت برگ‌های چند سانتی‌متری و رگچه و پولک‌های ریز دیده می‌شود.

در خاور شهرستان گرمی این واحد بیشتر از تناوب شیل‌های خاکستری تیره و ماسه سنگ توفی با سیمان آهکی تشکیل شده است که منطقه وسیعی را می‌پوشاند. ضخامت این واحد به بیش از ۱۲۰۰ متر می‌رسد. آثار فروان شاخه و برگ گیاهی در رسوب‌های شیلی و ماسه سنگی به چشم می‌خورد.

در قسمت‌های مرکزی محدوده بویژه در باخته آبادی قیز قلعه سی بخش‌های پائین این واحد از تناوب ماسه سنگ، فورش و رس تشکیل گردیده است. مرز این واحد با واحد پائین

(OM<sup>z2</sup>) یک گذر عادی و تدریجی می‌باشد و به طرف بالا از مقدار ماسه سنگ‌ها کاسته شده و به مقدار فورش و رس‌های رنگارانگ افزوده می‌شود.

در جنوب غربی شهرستان گرمی رخساره این واحد بیشتر شیلی و ماسه سنگی است و به صورت پنجه به طرف غرب به کنگلو مرای OM<sup>z1</sup> تبدیل می‌شود. در واقع می‌توان گفت که بخش‌هایی از این واحد از نظر زمانی هم ارز واحد OM<sup>z1</sup> است.

OM<sup>z2</sup> : واحد ماسه سنگی ستبر لایه پائین لایه‌های نازک شیلی که به طور عادی بر روی واحد OM<sup>z1</sup> قرار می‌گیرد، کامل‌ترین جایگاه بروندز این ماسه سنگ در دو یال ناویدیس گرمی است، که به صورت یک دیواره مشخص دیده می‌شود.

ضخامت این ماسه سنگ در منطقه مغان از صفر تا حدود ۲۰۰ متر تغییر می‌کند. ضخیم‌ترین بخش این ماسه سنگ واقع در نوک خاوری ناویدیس گرمی و پیرون از محدوده قرار گرفته است که به طرف غرب رفته از ضخامت آن کاسته شده و سرانجام در یال جنوبی ناویدیس گرمی واقع در گوشه جنوب غربی محدوده به صفر می‌رسد.

در یال جنوبی ناویدیس گرمی و در مرز باختری محدوده بخش‌هایی از این ماسه سنگ‌ها به کنگلومراي OM<sup>z1</sup> تبدیل می‌شود.

از نظر سنگ شناسی رسویی این ماسه سنگ اغلب از قطعات سنگ‌های ولکانیکی و کانی‌های پلازیوکلاز تشکیل گردیده که به وسیله سیمان آهکی بهم پیوسته‌اند و جزو ولکانیت‌ها دسته بندی می‌شود. رسوپ‌های شیلی و فورشی تیره خاکستری که به صورت میان‌لایه هستند دارای آثار فروان گیاهی می‌باشد.

واحد ماسه سنگی OM<sup>z2</sup> بین دو واحد نرم سیلتی، رسی OM<sup>z1</sup> و OM<sup>z2</sup> سازند زیوه پائین که گسترش وسیعی در منطقه دارد قرار گرفته است و هرجا که واحد ماسه سنگی تشکیل شده از آن به عنوان یک لایه راهنما (Key bed) برای تقسیم بندی دو واحد نرم فورشی (سیلتی)، رسی استفاده می‌شود و در جاهایی که این ماسه سنگ‌ها تشکیل نشده مشخص نمودن مرز دو واحد سازنده زیوه پائین به دلیل نایاب بودن فسیل، مشکل صورت می‌گیرد.

$OM^{z^2}$  : این واحد با گذار تدریجی و عادی بر روی واحد  $OM^{z^5}$  (در جاییکه واحد  $OM^{z^2}$  تشکیل شده) و  $OM^{z^1}$  قرار می‌گیرد و تناوبی از فورش سنگ‌های رنگارنگ و فورش سنگ رسی (۸۰-۹۰ درصد فورش و ۱۰-۲۰ درصد رس) با میان‌لایه‌های نازک ماسه سنگی می‌باشد. آثار گیاهی و گچ به صورت برگ و پولک به مقدار فراوان در این رسوب‌ها دیده می‌شود. به دلیل نرم بودن رسوب‌های این واحد و واحد  $OM^{z^1}$  اغلب کارهای کشاورزی بر روی آن‌ها صورت می‌گیرد. ضخامت این واحد به بیش از ۳۰۰ متر می‌رسد. عمده‌ترین گسترش این واحد در بخش‌های جنوبی و قسمت مرکزی ناویدیس گرمی و پیرامون آبادی شوردرق و جنوب چناق بلاغ می‌باشد. مرز بالایی این واحد به تدریج به یک ماسه سنگ سبز لایه پایان می‌یابد.

#### سازندزیوه میانی

$OM^{z^3}$  : واحد ماسه سنگی سبز و متوسط لایه فلدسپاتی و توفی به رنگ عمومی زرد خاکستری و خاکی می‌باشد که دارای میان‌لایه‌های چند سانتی‌متری شیلی تیره و زرد همراه با رگچه‌های گچی و آثار فراون گیاهی است. سیمان لایه‌های ماسه سنگی، آهکی می‌باشد. ضخامت این واحد نیز همانند سایر واحدها دستخوش تغییرات است. بیشترین ضخامت آن در کوه‌های خروسلوداغ واقع در غرب منطقه مورد بررسی به ۸۵۰ متر بالغ می‌گردد. در برخی نقاط ضخامت این واحد کم شده و به کمتر از ۵۰ متر کاهش می‌یابد. (در باخته منطقه و بیرون از محدوده گرمی)

این واحد ماسه سنگی به دلیل واقع شدن در میان رسوب‌های نرم و ایستادگی در برابر عوامل فرساینده به صورت دیواره مشخصی در سرتاسر منطقه دشت مغان قابل تعقیب و شناسایی است. بزرگترین بروزند این واحد در محدوده مورد بررسی در پیرامون روستاهای انجلو و قیز قلعه سی مشاهده می‌شود. این جاذر واقع پایانه خاوری کوه‌های خروسلوداغ می‌باشد. از نظر سنگ شناسی رسوبی این ماسه سنگ لیتارنیت می‌باشد، که اغلب با افزایش نسبت خرده سنگ‌های ولکانیکی به ولکانیت تبدیل می‌گردد.

این ماسه سنگ نیمه رسیده (Sub mature) و قطعات آن نیمه زاویه دار است. افزون بر قطعه سنگ های ولکانیکی، کوارتز ریز بلورین (میکرو کریستالین)، قطعات کربناتی، پلاژیوکلاز، پیروکسن و بیوتیت در آن وجود دارد.

با استناد به بررسی های شرکت ملی نفت ایران، این واحد به الیکوسن بالائی و میوسن پائینی تعلق دارد، مرز بالایی این واحد به تدریج به واحد  $OM^{24}$  تبدیل می شود.

### زیوه بالایی

واحدهای زیوه بالایی به شرح زیر هستند:

$OM^{24}$ : این واحد به طور عادی و تدریجی بر روی واحد ماسه سنگی زیوه میانی قرار گرفته است. رسوب های این واحد در ناودیس قیز قلعه سی (پایانه خاوری کوه های خروسلوداغ) بیشتر آواری و از ماسه سنگ توفی فورش سنگ و شیل می باشد، ولی به طرف شمال (در شمال چناق بلاغ) رخساره این واحد بیشتر ریز دانه شده و به فورش، رس، مارن با میان لایه های ماسه سنگی و ماسه آهکی تبدیل می شود. در بخش هایی که واحد دارای رخساره ریز دانه می باشد، لایه های چند میلی متری تا ۳ سانتی متری ذغالی سیاه رنگ (لیگنیت) دیده می شود. آثار گیاهی نیز در رسوب های این واحد به فراوانی یافت می شود، ولی فسیل جانوری در آن کم و گاهی نایاب است. در بخش های شمالی رنگ این واحد زرد تا کرم است. مرز بالایی این واحد به توسط کنگلومرای  $OM^{22}$  مشخص می گردد.

$OM^{22}$ : واحد کنگلومرایی و ماسه سنگی به رنگ خاکستری تیره همراه با لایه های شیلی و فورشی می باشد. این واحد به طور عادی و تدریجی بر روی واحد  $OM^{24}$  قرار می گیرد. بیشتر اجزای کنگلومرا از قطعات ولکانیکی تشکیل شده است، گاه گاه قطعات آهکی نیز در آن دیده می شود. این واحد به عنوان یک لایه راهنمای (Key bed) در بین واحد  $OM^{24}$  در زیر واحد  $OM^{25}$  در بالا قرار می گیرد و هر جا که این کنگلومرا نازک شده و از بین رفته جدا کردن مرز واحدهای پائینی و بالایی آن دشوار می باشد. ضخامت این واحد متغیر است و در گسترش خود در بیشتر جاها نازک شده و به میکرو کنگلومرا و یا ماسه سنگ تبدیل

می‌شود. با این وصف تا حدودی در خور پیگیری و شناسایی در منطقه می‌باشد. قطر قطعات کنگلومرا از چند میلی‌متر تا ۸۰ سانتی‌متر تغییر می‌نماید. کنگلومراي  $OM^{2c2}$  در محدوده مورد بررسی گسترش کمی دارد و تنها بروند آن در شمال غربی چناق بلاغ مشاهده می‌گردد. واحد  $OM^{25}$  به طور تدریجی به توسط واحد رسی  $OM^{25}$  پوشیده می‌شود.

$OM^{25}$ : این واحد تناوبی از رسوبات ریز دانه فورش، رس، مارن با میان‌لایه‌های ماسه سنگی و گاهی لایه‌های نازک آهک دولومیتی می‌باشد. در رسوب‌های نرم، آثار گچ به صورت برگهای نازک و پولک به فراوانی دیده می‌شود ماسه سنگ‌ها اغلب زرد رنگ هستند و از نظر سنگ شناسی رسوبی بیشتر به خانواده لیتارنیت‌ها تعلق دارند. دانه‌ها متوسط و نارس (Immature) هستند و بیشتر از قطعه سنگ‌های ولکانیکی، کوارتز پلی کریستالین، خردہ سنگ کمی فلدسپار آواری تشکیل گردیده و دارای سیمان آهکی می‌باشد. در لایه‌های کربناتی نیز ذرات درشت در اندازه فورش که حدود ۱۶-۲۰ درصد سنگ را تشکیل می‌دهد دیده می‌شود. این لایه‌ها اغلب اسپارایتی هستند، بروند این واحد در شمال غربی چناق بلاغ که بر روی واحد  $OM^{2c2}$  قرار گرفته دیده می‌شود لایه‌ها در این منطقه برگشته می‌باشد.

واحد  $OM^{25}$  به طور عادی و تدریجی به مارن‌های قهوه‌ای رنگ تورونین تبدیل می‌شود.

### ۱-۳-۲-۱ - میوسن میانی

نهشته‌هایی که از دید موقعیت استراتیگرافی به میوسن تعلق می‌گیرد از تناوب رس، فورش، میان‌لایه‌های ماسه سنگی و آهکی دولومیتی تشکیل گردیده‌اند. از نظر سنگ شناسی هیچ گونه تقسیم بندی در این واحد نمی‌توان انجام داد، ولی با توجه به تغییر رنگ رسوب‌ها و بررسی‌هایی که به توسط Ch. Willm et al در این منطقه انجام گرفته است. این نهشته‌ها را به دو بخش تقسیم کرده‌ایم، که بر روی نقشه با علامت  $M_1$ ,  $M_2$  نشان داده شده‌اند.

براساس میکروفیزیلهای جانوری که در سال ۱۹۶۱ به توسط Ch. Willm et al مورد بررسی قرار گرفته، چهار واحد (Tarkhan, Tehokrak, Konka, Kargan) تورونین پائین، تورونین بالایی) در این نهشته‌ها تشخیص داده شده است. این واحدهای شناخته

شده متعلق به بخش جنوبی جمهوری آذربایجان می‌باشد. و براساس شوهد فسیلی سن الیگومن - میوسن پیشین بر روی این واحدها پیشنهاد گردیده است که با واقعیت چینه شناسی تطبیق نمی‌نماید.

### ۱-۳-۱-۵-۱-۲ - تورتونین پائینی

رخساره این قسمت بیشتر مارن، رس با میان‌لایه‌های ماسه سنگی و آهک دولومیتی و  $M_1$  گاه‌آ عدسی‌هایی از شن می‌باشد. رنگ عمومی آن در منطقه قهوه‌ای تند می‌باشد. لایه‌های کربناتی و ماسه سنگی در اغلب موارد دارای فسیل‌های دو کفه‌ای و گاستروپود می‌باشد. هستند. ضخامت رسوب‌های این *Biomicro spar* لایه‌های کربناتی از نظر سنگ شناسی واحد متغیر بوده و در محدوده کنونی بیشترین ضخامت آن به ۲۰۰ متر می‌رسد. برگه‌های نازک گچ در رسوب‌های این بخش مشاهده می‌گردد. رسوب‌های این واحد به طرف بالا در برخی نقاط به یک لایه ماسه سنگی میکروکنگلومرا ای تا کنگلومرا ای تبدیل می‌شود و از این لایه به بعد رنگ عمومی رخساره تغییر یافته و به رنگ روشن‌تر در می‌آید. در جاهائیکه لایه ماسه سنگی میکروکنگلومرا ای وجود دارد، آن را مرز تورتونین پائینی و بالایی قرار دادیم و در جاهائیکه این لایه شناخته نیست، مرز واحدها با تغییر رنگ رخساره مشخص گردیده‌اند.  $M_2$  : نهشته‌های این قسمت شامل رس، مارن، فورش با میان‌لایه‌های نازک ماسه سنگی و آهک دولومیتی است. رنگ عمومی رسوب‌ها زرد کم رنگ بوده و نسبت به رسوب‌های تورتونین پائینی روشن‌تر می‌باشد. مقدار گچ در این قسمت نسبت به پائین آن بیشتر می‌باشد به طوری که در بعضی جاهای لایه‌های چند سانتی متری گچ در میان رسوب‌ها به چشم می‌خورد.

### ۱-۳-۱-۵-۱-۳ - میوسن بالایی

نهشته‌های این بخش از میوسن بیشتر، از فورش‌های رسدار با میان‌لایه‌های ماسه سنگی یا کنگلومرا ای به رنگ خاکستری تیره تا زرد رنگ تشکیل گردیده‌اند، که در قسمت

پائین به طور عادی بر روی رسوبات تورتونین بالایی قرار می‌گیرد مرز تورتونین با این قسمت بواسیله چند لایه میکرو کنگلومرا ای و ماسه سنگی تیره رنگ مشخص می‌گردد. این رسوب‌ها در بخش مرکزی برگه مورد بررسی، جنوب شرق روستای مرادلو ناویدیسی داده‌اند و از نظر سنگ شناسی به واحد تقسیم شده‌اند.

### $M^3$ : بخش پایینی

این بخش با چند لایه به ماسه سنگ و میکرو کنگلومرا به رنگ خاکستری تیره آغاز می‌شود و به تدریج به مارن‌های گچ‌دار به رنگ زرد خاکستری تبدیل می‌گردد. لایه‌های ماسه سنگی این قسمت در جهت گسترش خود به تکه‌های ولکانیکی بزرگ و کاملاً گرد شده تبدیل می‌گردد. ضخامت واقعی این واحد به علت گسلش آن با واحد زیرین در خور اندازه‌گیری دقیق نمی‌باشد، ولی ضخامت بخش بروونزد دار آن به ۱۴۰ متر می‌رسد. آثار گیاهی به مقدار زیاد در این رسوب‌ها دیده می‌شود. رسوب‌های این بخش به تدریج به ماسه سنگ و مارن زرد رنگ تبدیل می‌شود.

$M_4$ : این واحد که در مرکز ناویدیس دیده می‌شود، شامل تناوبی از ماسه سنگ و مارن زرد رنگ و گچ‌دار می‌باشد. لایه‌های ماسه سنگی از متوسط تا سبک‌تر لایه می‌باشند و برخی از لایه‌های ماسه سنگی حالت میکروکنگلومرا ای به خود می‌گیرند. از نظر سنگ شناسی رسوبی ماسه سنگ‌ها دانه ریز و از خانواده لیتارنیت (ولکانیت) نیمه رسیده (mature sub) و آهکی هستند هیچ‌گونه فسیلی که نشان‌دهنده سن این نهشته‌ها باشد، در این منطقه تشخیص داده نشده است و سن پیشنهادی تنها بر پایه دانسته‌های بیابانی و سنجش موقعیت استراتیگرافی این نهشته‌ها با نهشته‌های همانند در مناطق مجاور تعیین گردیده است. قسمت بالایی این رسوب‌ها در محدوده مورد بررسی به وسیله رسوب‌های جوان متعلق به سیستم کواترنر به طور دگر شیب پوشیده می‌شود.

### ۱-۵-۱- رسویهای کواترنر

نهشت‌های کواترنر که بخش بزرگی از شمال محدوده گرمی را پوشانیده است، به دو قسمت قابل تفکیک می‌باشند. یک قسمت آن شامل رسویهای دریاچه‌ای کم ژرف که بطور دگر شیب بر روی رسویهای قدیمی‌تر بخصوص رسویهای میوسن قرار می‌گیرد و بخش دیگر آن را رسویهای آبرفتی پادگانه‌ای تشکیل می‌دهند.

(سازند باکو) :  $Q_{ba}$

یک سری رسویات دریاچه‌ای کم ژرف شامل تنابوی از ماسه، مارن‌های گچ‌دار، آهک آب شیرین و ماسه آهکی و شن می‌باشد. این رسویهای طور دگر شیب بر روی رسویهای چین خورده متعلق به میوسن قرار می‌گیرد. در آهک‌های آب شیرین و ماسه آهک‌های این واحد مقادیر در خور ملاحظه‌ای ما کروفسیل‌های جوان از جمله دو کفه‌ایها و گاستروپودها دیده می‌شود. این رسویات در منطقه گرمی دارای گچ مختصر بوده و شیب لایه‌ها از ۱۰ تا ۱۵ درجه در نوسان است. ضخامت این واحد حداقل به ۱۸۰ متر در منطقه می‌رسد.

$Q^{11}$  : رسویات پادگانه‌ای کهن که از رس، مارن، فورش و ماسه و توف به رنگ‌های زرد تا زرد گرمی تشکیل شده، به طور افقی بر روی رسویات  $Q_{ba}$  قرار گرفته است. این رسویات از دور یک لایه بندی دورغین را نشان می‌دهند.

ضخامت این واحد حداقل به ۱۰۰ متر می‌رسد و منطقه پهناوری از شمال محدوده کار را پوشانیده است و از نظر بلندی بالاتر از رسویات  $Q^{11}$  قرار گرفته است.

$Q^{12}$  : رسویات آبرفتی جوان که به صورت پادگانه‌ای افقی در کناره آبراهه‌ها و رودخانه‌ها و کناره شمالی محدوده بروزند دارد و از نظر ارتفاع در سطح پائین‌تری قرار گرفته، عموماً از ویران شدگی و ته نشست رسویات کهن که بیشتر رسی - فورشی هستند، تشکیل گردیده است. رسویات  $Q^{12}$  به علت داشتن شرایط سازگار و خاک مناسب برای کشاورزی در منطقه دارای اهمیت می‌باشد.

<sup>Q<sup>z1</sup></sup>: رسوب‌های آبرفتی بستر رودخانه‌های کنونی و دره‌های پهن که اغلب از شن و ماسه و سنگریزه و رس پوشیده شده‌اند. این رسوبات هم اکنون در بستر رودخانه‌ها تشکیل می‌گردند.

### ۱-۵-۲- تکتونیک

حوضه رسوبی دشت مغان در شمال باختری ایران، باقیمانده حوضه بزرگ رسوبی اقیانوس تیس می‌باشد. اقیانوس تیس در آخرین مرحله گسترش خود در کناره شمالی، یک حوضه بزرگ رسوبی بین قاره‌ای را در اواخر سنوزوئیک تشکیل داده است. این حوضه رسوبی به توسط لسکارف (V.D.Lascarev) به نام پارتیس نامیده شده است. عامل بوجود آورنده پارتیس را جنبش‌های کوهزایی کمربند آلپ پنداشته‌اند. گسترش حوضه پارتیس در سطح پهناوری صورت گرفته است. پیدایش این حوضه را پژوهندگان شوروی سابق به آغاز الیگوسن نسبت داده‌اند. پیدایش و گسترش این حوضه با ویژگی‌های رسوبی خاص و کاهش فراوان فسیل‌های جانوری مشخص می‌گردد. این حوضه در دوره‌های بعدی به دو بخش خاوری و باختری تقسیم شده و باقیمانده بخش خاوری آن امروزه دریای خزر را در شمال ایران به وجود آورده است. محدوده گرمی بخش جنوبی فرو رفتگی است که به نام کورا - ارس نامیده می‌شود و بین بلندی‌های طالش در شرق، قفقاز در شمال (واقع در جمهوری آذربایجان) و قره داغ در جنوب قرار دارد. از الیگوسن تا میوسن بالایی مقادیر شایان ملاحظه‌ای از رسوب‌های آواری در این حوضه انباشته شده است و از ائوسن تا اواخر میوسن رخداد زمین ساختی در خور ملاحظه‌ای در این حوضه اتفاق نیافتداده است و رسوب‌های یاد شده به طور عادی بر روی هم انباشته گردیده‌اند. اثرات حرکت‌های اپیروژنیکی به صورت تشکیل کنگلومرات قاعده سازند زیوه  $OM^{Z2}$  و  $OM^{Z1}$  در این منطقه دیده می‌شود. تمامی این رسوبات در اثر یک فاز تکتونیکی بزرگ که در پلیوسن بوقوع می‌پیوندد چین خورده‌اند. این فاز تکتونیکی در واقع مربوط به فاز پایانی جنبش‌های کوهزایی آپی است. تمام رسوبات انباشته شده در این حوضه رسوبی، چین خورده و از آب

خارج می‌گردد. در اثر این حرکت کوهزایی دگرشیبی زاویه‌دار مهمی در قاعده رسوبات آگچگیل به وجود آمده و تاقدیسها و ناودیسهای متعددی با راستای محوری شرقی- غربی یا شرق جنوب شرقی - غرب شمال غربی تشکیل گردیده با روند لایه‌ها و محور چین‌های شمال غربی جنوب شرقی مناطق طالش و قفقاز فرق مشخص دارند. ناودیس‌های گرمی، قیز قلعه سی و تاقدیس‌ها چاکندی از جمله آن‌ها می‌باشد. نبود چینه‌ای که در اثر این حرکت کوهزایی به وجود آمده از بالاترین بخش میوسن بالایی تا احتمالاً پلیوسن زیرین را در بر گرفته است. در خارج و غرب ورقه حاضر رسوبات سازند آگچگیل با دگر شیبی زاویه‌دار مشخص بر روی نهشته‌های میوسن بالایی قرار گرفته‌اند پس در این ورقه سازندهای آگچگیل و آبشرون بروند ندارند. احتمالاً بخشی از آن‌ها در اثر فرسایش زمان کواترنر از بین رفته‌اند و بخش دیگر توسط رسوبات ناشی از پیشروی زمان با کوئین پوشیده شده‌اند. در اثر این چین خوردگی گسل‌های متعددی با راستای شمالی - جنوبی و شمال غربی جنوب شرقی در این منطقه به وجود آمده است، بیشتر گسل‌ها به موازات امتداد محورهای تاقدیس‌ها به وجود آمده‌اند. گسل‌های چندی با محور شمال غربی جنوب شرقی در منطقه دیده می‌شود، که از نظر ساختمانی ارزش و اهمیت چندانی ندارند. فشارهای تکتونیکی واردہ در اثر چین خوردگی پلیوسن بالایی بیشتر از طرف جنوب به طرف شمال است، به طوری که در بیشتر نقاط یال‌های شمالی تاقدیس‌ها شیب برگشته دارند. قسمتی از این برگشتگی در شمال غربی آبادی چناق بلاغ دیده می‌شود.

بعد از این چین خوردگی کلیه جنبش‌های تکتونیکی به صورت خشکی زایی عمل نموده‌اند به طوری که رسوپ‌های کواترنر به طور دگر شیب بر روی رسوپ‌های چین خورده کهن قرار می‌گیرد.

### ۱-۵-۳ - زمین‌شناسی اقتصادی

منطقه مورد بررسی از نظر متالوژنی از اهمیت و اعتبار چندانی برخوردار نمی‌باشد. رسوبات منطقه بیشتر از نوع رسوبات آواری شامل عارین، رس، فورشنسنگ، ماسه سنگ و کنگلومرا

است، که نشانه کم ژرفا بودن حوضه رسوبی است. آثار گیاهی فراوان در رسوبات منطقه این امر را تائید می نماید.

احتمال وجود نفت در این رسوبات می رود، به طوری که در منطقه ای به نام قز دره سی واقع در غرب آبادی مرادلو از داخل رسوبات میوسن بالایی مواد نفتی به صورت قیر از درزها و شکافها خارج و با رنگ سیاه در سطح سنگها جاری می شود.

شرکت ملی نفت ایران برای اکتشاف نفت حفاری های متعددی در منطقه انجام داده است. وجود مواد نفتی در سنگ های منطقه به اثبات رسیده است. از نظر مصالح ساختمانی یک سری از ماسه سنگ های سازند زیوه در منطقه مورد توجه قرار گرفته و از آنها به عنوان مالون در ساختن دیواره پل ها و دیواره سدها و پی ساختمانها استفاده می شود.

به علت گستردگی رسوبات کواترنر و ذخایر فراوان رس می توان مناطق مناسبی از این ماده اولیه شناسایی نمود تا در تهیه آجر مورد استفاده قرار گیرد.

از رسوبات بستر رودخانه ها و رسوبات ماسه ای و سنگریزه  $Q_{ba}$  با روش سنتی بهره برداری می شود. وجود کانی های رسی مونت موریونیت یا جذب کاتیونی فراوان در خاکهای منطقه یکی از دلایل حاصلخیزی آنهاست. و همچنین شرایط آب و هوایی مناسب سبب گردیده که فعالیت های کشاورزی چه به صورت کشاورزی سنتی و چه زیر نظر شرکت کشت و صنعت مغان به صورت گستردگی در منطقه انجام گیرد. به ویژه در مناطقی که زمین های آن زیر کشت آبی قرار گرفته است، فراورده های کشاورزی با کیفیت خوب و کمیت بالا به دست می آید.

بخش دوم

اکتشافات ژئوشیمیایی

## فصل اول

نمونه برداری و آنالیز نمونه ها

## ۱-۱- مقدمه

لازمه تصمیم در مورد هر پدیده‌ای، داشتن اطلاعات از آن پدیده و با پردازش این اطلاعات می‌توان به تصمیم‌گیری در مورد آن پرداخت. این امر در مورد علوم زمین نیز صادق است و راه مناسب آن در پژوهه‌های اکتشافی  $100,000 : 1$  استفاده از رسوبات آبراهه‌ای است. این امر به چند دلیل صورت می‌گیرد.

- در پژوهه‌های ناحیه‌ای اطلاعات قبلی مدون و کلاسیک وجود ندارد.
- بر حسب تنوع واحدهای لیتوژئیکی و فرآیندهای گوناگون کانی سازی، کسب اطلاعات مستقیم از آنها عملأ در این مقیاس و با توجه به بودجه و زمان در نظر گرفته شده، غیر ممکن است.
- هاله‌های ثانوی بسیاری از عناصر گسترشده شده و دانسیته نمونه برداری نه چندان متراکمی می‌تواند حضور آنها را به اثبات رساند، این هاله‌ها بسته به شرایط شیمی فیزیکی متفاوت، شعاع تأثیر گوناگونی را در بر دارند. هرچه هاله ثانوی وسیعتر و به هاله اولیه نزدیکتر باشد و الگوی توزیع آن، همبستگی ژنتیکی بیشتری نسبت به هاله اولیه نشان دهد، از ارزش اکتشافی بالاتری برخوردار خواهد شد.
- روش‌های آنالیز مناسب با حدود تشخیص در خور توجه و گستره عناصر کانساری که در این روشها سنجیده می‌شود، خود در پیشرفت اندیشه کسب اطلاعات دقیق از پهنه زمین نقش مؤثری ایفاء کرده است.

با توجه به این موارد است که کارشناسان پیشرو در مسائل اکتشافات ژئوشیمیایی یکی از بهترین محیط‌های مورد مطالعه در مقیاس ناحیه‌ای را از پهنه‌های آبرفتی منطقه جهت کسب اطلاعات، دانسته‌اند. این امر روشن است که رسوبات آبراهه‌ای در صورت طراحی صحیح و برداشت نمونه اصولی می‌توانند معرف واحدهای بالا دست خود باشند. از جمله پارامترهای مؤثر در این زمینه گسترش سیستم آبراهه‌ای، سیستم عملکرد فرسایش‌های فیزیکی و شیمیایی، میزان بارندگی، شب عمومی و دانسیته آن و ... می‌باشد. الگوی توسعه حوضه‌های آبریز خود ناشی از عواملی همچون نوع سنگ بستر، شرایط ساختمانی موجود در منطقه (چین خوردگیها، گسلها و شب عمومی طبقات) می‌باشد.

## ۱-۲-۱- عوامل مؤثر در طراحی نمونه برداری

اساس طراحی و جانمایی نمونه‌ها در پروژه‌های اکتشافی ۱:۱۰۰،۰۰۰، نقشه‌های توپوگرافی ۱:۵۰،۰۰۰ است هرچند دیر زمانی است که نقایض فراوان این نقشه‌ها از جمله عدم اطلاعات به روز (Update) آنها به ویژه در مورد راههای جدید الاحادیث و جاده‌های روستایی، اطلاعات مختصاتی منحصر به فرد آنها و عدم در اختیار گذاردن مختصات جهانی UTM، و مهتر از همه، اطلاعات آنالوگ آنها و سایر اشکالات آنها بر کارشناسان امور، هویدا شده است. اما لاجرم استفاده از آنها در بعضی از مواقع و بنا به ملاحظاتی در دستور کار قرار می‌گیرد. پروژه اخیر نیز از جمله این موارد است.

## ۱-۲-۱- روش طراحی مرکز ثقل آبراهه‌ها

اولین مسئله در طراحی محل نمونه‌ها، توجه به این امر است که ظرفیت حداقل نمونه‌ها برای برگه‌های ۱:۱۰۰،۰۰۰ از پیش تعريف شده است که این امر خود تا حدود زیادی مورد بحث کارشناسان است و در بسیاری از کشورهای پیشرفته دنیا و با توجه به هزینه‌های نه چندان بالای آنالیز نمونه‌ها، محدوده تعداد نمونه‌ها به مراتب فراتر از این حد رفته است. در هر صورت با در نظر گرفتن این پارامتر که به احتمال زیاد عوامل مالی در ورای آن قرار دارد و نه عوامل علمی، طراحان مشاور بر آن شدند که به بهترین نحو ممکن خود را با این شرایط از پیش تعیین شده وفق دهند.

از جمله سایر عوامل طراحی، روش مرکز ثقل تعیین درجه هر کدام از آنهاست. درجه مرکز ثقل در گرو عواملی همچون چینه شناسی، سنگ شناسی و تکتونیک منطقه است، زیرا این عوامل در توسعه مستقیم آبراهه‌ها نقش مستقیم را بر عهده دارند. همچنین در این روش، توده‌های نفوذی و خروجی و نواحی هم جوار آنها، توده‌های نیمه عمیق پنهان (معرفی شده به عنوان Shallow depth bodies در نقشه‌های ژئوفیزیک هوائی با مقیاس ۱:۲۵۰/۰۰۰)، نواحی اطراف گسلها (fault buffering)، محل تقاطع گسلها و به ویژه گسلهای بزرگ، آلتراسیونهای شدید معرفی شده در نقشه‌های زمین شناسی، واحدهای لیتولوژیکی معرف کانی سازی در ستون چینه شناسی، بیشتر مورد توجه قرار گرفته و تراکم نمونه‌ها در آبراهه‌های آنها افزونتر می‌گردد. در ضمن بایستی به این امر نیز توجه داشت که پدیده رقیق شدگی و اثر سرشکن شدگی در حوضه‌های آبریز وسیع (با بیش از ۳۰ سرشاخه) و کاهش شدید مقدار عناصر حاوی آنومالی احتمالی که در بالا دست آنها واقع شده است،

باعث می‌گردد که این حوضه‌ها به حوضه‌های کوچکتری تقسیم گردند. از جمله موارد دیگری که بایستی به آن اشاره کرد این نکته است که عدم دستیابی به نتایج جالب توجه، در نمونه‌های مراکز ثقلی نمی‌تواند بیانگر عدم وجود مناطق ناهنجار در مساقط‌های طولانی بالا دست آنها باشد. علاوه بر آن بایستی یادآور شد که امکان نمونه برداری، آماده سازی و آنالیز در دفعات متعدد که از اصول اولیه مرکز تقلی است، در اکتشافات ژئوشیمیایی ۱:۱۰۰,۰۰۰ وجود ندارد، در ضمن بایستی توجه داشت که قریب به  $1/2$  برگه گرمی را دشتهای کشاورزی می‌پوشاند که عملاً در این پهنه امکان توسل به روش نمونه برداری مرکز ثقلی از بین می‌رود و روند تغییرات مقدار عناصر را می‌توان به گونه‌ای غیرجهتی تصور کرد. لذا با توجه به تمام موارد، نقاط مثبت و کارآمد، این روش در طراحی نقاط مدنظر کارشناسان بوده است.

در طراحی، نگاه ویژه‌ای به نقشه زمین شناسی منطقه شده است، سیستم گسلی تا حدود زیادی در طراحی به کارشناسان کمک کرده اما آنچه که قابل ذکر است فقدان پذیده آلتراسیون در این نقشه است که آن هم قضایت قبل از طراحی نبوده بلکه شواهد مثبته در نمونه برداری، کنترل ناهنجاری و بازدیدهای مکرر کارشناسان خود مؤید این نقش بوده است. علاوه بر موارد ذکر شده که در طراحی مدنظر بوده است، مواردی همچون:

- دستیابی به بیشترین توزیع یکنواخت نمونه‌ها در کل نقشه‌ها (به استثناء مناطق مورد نظر و حاوی پتانسیل)
- رعایت نسبی چگالی نمونه برداری ژئوشیمیایی بر اساس استانداردهای ملی
- توزیع همگون و حتی الامکان متناسب نمونه‌ها با سطح حوضه آبریز و تعداد انشعابات آن
- اولویت رسوبات رودخانه‌ای که سنگ بستر خود را قطع کرده‌اند
- درنظر داشتن اصل مهم Sample junction
- بررسی امکانات جاده‌ای و مواصلاتی
- پرهیز از مناطق کشاورزی به ویژه در جاهائی که این زمینها در بالا دست محل نمونه‌ها قرار می‌گیرند (توجه به آلودگیهای ناشی از کودهای شیمیایی و سایر آلودگیها نیز در طراحی محل نمونه‌ها دخیل بوده است)
- با در نظر گرفتن عوامل فوق و با بررسی نقشه‌های توپو گرافی ۱:۵۰,۰۰۰، چهار برگه گرمی، گوک تپه، بیله سوار، کلانسورا و حوضه‌های آبریز شناسائی و سیستم آبراهه‌ها

تمکیل شد. سپس با استفاده از نقشه زمین شناسی (۱:۱۰۰/۱۰۰) منطقه و با در نظر گرفتن واحد های سنگی متعدد، امکان کانی سازی در توده های نفوذی، همبری های مهم، سیستمهای گسلی، نقشه های ۱:۲۵۰/۱۰۰۰ ژئوفیزیک هوایی و... طراحی ۴۰۴ نمونه انجام شده است.

پس از طراحی شبکه نمونه برداری نقشه های توپو گرافی جهت رقومی شدن محل نمونه هالاسکن شده و آبراهه ها، جاده ها، روستاهای سایر مشخصه های مهم نقشه توپو گرافی رقومی گردید. موقعیت نمونه ها با استفاده از نرم افزار (AUTOCAD) مشخص و با مختصات سیستمی (UTM) تهیه گردید و در GPS کارشناسان ذخیره و در اختیار گروههای نمونه برداری قرار گرفت.

عملیات نمونه برداری در کوتاه ترین زمان ممکن و با اعزام ۵ اکیپ نمونه برداری انجام شد تا حتی المقدور در آن مدت شرایط نسبتاً یکسانی بر رودخانه ها و آبراهه ها از نظر آبدی و حمل رسوبات بالا دست حاکم باشد.

لازم به ذکر است که تعداد ۱۵ نمونه تکراری علاوه بر ۴۰۴ نمونه گرفته شده به آزمایشگاه AMDEL کشور استرالیا فرستاده شده تا از نتایج آنها در جهت محاسبه میزان خطای آزمایشگاهی استفاده گردد. مراحل عملیاتی پروژه با تمهداتی در زمینه اسکان اکیپها، شناسایی اولیه جاده ها، تهیه خودروهای صحرائی و لوازم مورد نیاز نمونه برداران که همگی در حوزه اختیارات و وظایف مدیریت کمپها (Camp Manager) است، آغاز می گردد. گروه نمونه برداری متشکل از یک کارشناس، دو کارگر، خودرو صحرائی و راننده به همراه تجهیزات نمونه برداری از جمله: GPS، نقشه ۱:۵۰/۰۰۰ توپو گرافی منطقه که محل نمونه ها قبل از مشخص شده بود، سرنده ۸۰ مش، بیلچه، کیسه های پلاستیکی ضخیم جهت حمل نمونه ها و اسپری رنگ جهت علامت گذاری و درج شماره نمونه در محل نمونه و کارتهای نمونه برداری عازم ماموریت شدند.

### ۱-۳- عملیات صحرائی نمونه برداری

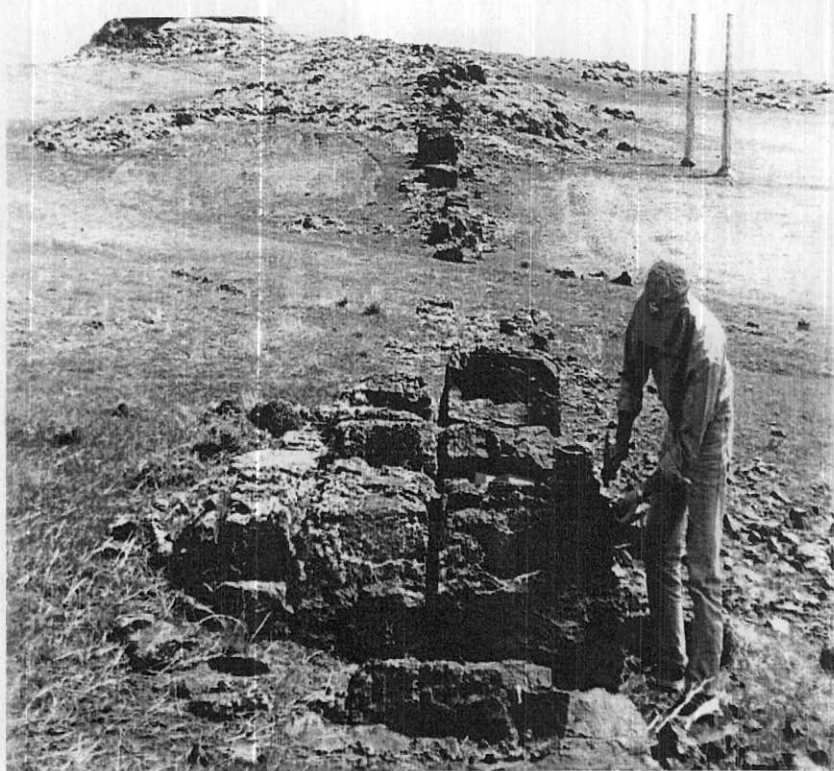
کارشناسان پس از پیدا کردن محل نمونه با استفاده از نقشه و تطبیق آن با مختصات ذخیره شده در GPS به صورت زیر اقدام به نمونه گیری می کنند. در آبراهه هایی با عرض حدود ۲ متر، پس از برداشت خاک سطحی گودالی بوسیله بیلچه به عمق ۲۰-۳۰ cm حفر

شده و سپس از این عمق به اندازه حدود ۳ Kg از رسوب نم دار که با توجه به شرایط محیطی قابل الک کردن نبود برداشت گردید. نمونه ها در کیسه های ضخیم پلاستیکی که قبل از شماره بر آن درج شده بسته بندی و به کمپ منتقل می شود. در آبراهه هایی با عرض بیش از ۵ متر، نمونه گیری از چند نقطه مختلف کف آبراهه و با پرهیز از حواشی آبراهه ها برداشت شده است. در محدود نقاط خشک، مقدار ۲۵۰ گرم نمونه از زیر الک ۸۰ مش برداشت شده است. در ضمن به کارشناسان نمونه بردار اجازه داده شده تا در صورت مشاهده مناطق پر پتانسیل، بخصوص روندهای خطی، مناطق دگرسان، دگرگونیهای مجاورتی، کنتاكتهای پر پتانسیل و مینرالایزاسیون احتمالی، اقدام به تعیین نقاط نمونه برداری جدید کرده و برگه نمونه برداری را با ذکر دلایل مشتبه تکمیل کنند. نمونه های خیس در کمپ، پس از خشک شدن و با رعایت اصول عدم آلودگی متقابل، سرند و بسته بندی شده و آماده حمل به آزمایشگاه می شوند. مراحل نمونه گیری و آماده سازی نمونه ها در عکس های ۱-۱ و ۱-۲ نشان داده شده است.

### ۱-۳-۱- استفاده از GPS

کارشناسان نمونه بردار با آگاهی کامل از نقاط ضعف و قوت GPS در دستور العمل اجرایی خویش این نکات را مدنظر داشتند:

- تبدیل مختصات Lat/Lon به UTM (WGS84) در عملیات مختصات یابی (Georeference) نقشه های توپوگرافی و زمین شناسی، دارای درصدی از خطأ است.
  - مختصات ذخیره شده در GPS با توجه به توانائیهای نرم افزاری و همچنین نقشه های ژئوفرنس شده بدست آمده، لذا خالی از خطأ نخواهد بود.
  - از این مختصات تنها در یافتن آبراهه ها در نقاطی که توجیه نقشه ها همراه با اشکال خواهد بود استفاده شده و در وهله اول نقشه های توپوگرافی به عنوان بنای نقطه یابی در نظر گرفته شده است.
  - این مختصات در راستای تهیه نقشه ها مورد استفاده قرار گرفته است.
- مختصات محل نمونه برداری که توسط GPS و با توجه به دقت دستگاهی و توانائیهای آن قرائت شده، در برگه های نمونه برداری (Sampling Card) ثبت شده است.



تصویر شماره ۱-۱ - عملیات نمونه برداری نمونه های سنگی (نمونه های مینرالیزه، نمونه های آلتره)



تصویر شماره ۱-۲-عملیات نمونه برداری از کف آبراهه (نمونه های ژئوشیمیابی و نمونه های کانی سنگین)

یکی از وظایف اصلی کارشناس نمونه بردار، علاوه بر برداشت نمونه، تکمیل کارت نمونه برداری است (جدول شماره ۱-۱) که با استفاده از Global Geochemical Sampling Center طراحی و بعینه شده است. اصول اولیه در تفکر کسانی که در ابتدا به این کار اقدام کردند بطریف کردن نقاط ضعفی بود که در اکثر مناطق نمونه برداری به ویژه در کشورهای عقب مانده و در حال توسعه مشاهده می‌شد، این نقاط ضعف شامل اعمال سلیقه فردی و تنوع در روش‌های مثبت اطلاعات، ضعف اطلاعات ثبت شده، عدم توجه به بعضی موارد مهم و سرنوشت ساز از جمله آلتراسیون، مینرالیزاسیون، آلدگی و ... می‌باشد.

این کارتها اطلاعات زیر را در متن خود دارند:

الف: اطلاعات کلی شامل شماره نمونه، نام محل، سیستم مختصات مورد استفاده،  
مختصات نمونه و نام نمونه بردار...

ب: اطلاعات مربوط به نحوه آماده سازی نمونه اولیه شامل رطوبت، رنگ و ساخت اولیه نمونه  
الک نشده (آیتم ۱ تا ۵)

ج: داده‌های مرتبط با شبیب محدوده و ساختارهای مختلف و توپوگرافی (آیتم ۶)

د: لیتولوژی نمونه‌های نابرجا (Float) و لیتولوژی رخنمنهای (Outcrop) محدوده (آیتم  
۹ و ۱۰)

ه: آلدگی احتمالی در محدوده و توضیحات مربوطه (آیتم ۱۱ و ۱۲)

در ضمن در صورت مشاهده آلتراسیون و کانی سازی، کارشناس نمونه بردار موظف به توضیح آن در ستون (Comment) خواهد بود. تمامی کارتهاي نمونه برداری که در محل نمونه برداری تکمیل شده‌اند، مجدداً در فایلهای کامپیوتری ذخیره می‌شوند (این فایلهای در CD پیوست قرار داده شده‌اند)

جدول ۱-۱: نمونه استاندارد کارتهای نمونه برداری از رسوبات آبراهه‌ای

## **STREAM SEDIMENT SAMPLING CARD**

NICICo.Exploration Dept.

| GENERAL DATA                             |  | Project Name:  |  | Prospect Name:   |   |  |   |   |   |   |   |                                     |
|--|--|--|--|--|---|--|---|---|---|---|---|-------------------------------------|
| Sample No.:                              |  | X(Easting):  |  | Y(Northing):   | Z(Altitude):  |  |   |   |   |   |   |                                     |
| Coord.Sys.:                              |  | Date:  |  | Sampler:   | Page No.: 681   |  |   |   |   |   |   |                                     |
| 1) Weight(Kg):                           |  | 1/1) Mesh Size: -80  |  |  |   |  |   |   |   |   |   |                                     |
| 2) Sieved:                               |  | Not Seived <input type="checkbox"/>                              | Sieved Dry <input type="checkbox"/>                  | Sieved Water <input type="checkbox"/>                            |   |  |   |   |   |   |   |                                     |
| 3) Moisture:                             |  | Dry <input type="checkbox"/>                                     | Damp <input type="checkbox"/>                        | Wet <input type="checkbox"/>                                     |   |  |   |   |   |   |   |                                     |
| 4) Colour:                               |  | Black <input type="checkbox"/><br>Olive <input type="checkbox"/> | Grey <input type="checkbox"/>                        | Brown <input type="checkbox"/><br>White <input type="checkbox"/> | Red <input type="checkbox"/>                              | Yellow <input type="checkbox"/><br>Purple <input type="checkbox"/> |   |   |   |   |   |                                     |
| 5) Unsieved Texture                      |  | Bouldery <input type="checkbox"/>                                | Gravely <input type="checkbox"/>                     | Sandy <input type="checkbox"/>                                   | Silty <input type="checkbox"/>                            | Clayey <input type="checkbox"/>                                    |   |   |   |   |   |                                     |
| 6) Terrain:                              |  | Flat(>0° & <=3°) <input type="checkbox"/>                        | Moderate(>10° & <=30°) <input type="checkbox"/>      | Topographic Depression <input type="checkbox"/>                  | Gentle(>3° & <=10°) <input type="checkbox"/>              | Circular Feature <input type="checkbox"/>                          | Topographic High <input type="checkbox"/>         | Steep(>30°) <input type="checkbox"/>            | Linear Feature <input type="checkbox"/>         |   |   |                                     |
| 7) Mineralisation Present <sup>*</sup> : |  | In Float <input type="checkbox"/>                                | In Outcrop <input type="checkbox"/>                  | In Float and Outcrop <input type="checkbox"/>                    | None Observed <input type="checkbox"/>                    |  |   |   |   |   |   |                                     |
| 8) Alteration Present <sup>**</sup> :    |  | In Float <input type="checkbox"/>                                | In Outcrop <input type="checkbox"/>                  | In Float and Outcrop <input type="checkbox"/>                    | None Observed <input type="checkbox"/>                    |  |   |   |   |   |   |                                     |
| 9) Outcrop Lithology:                    |  | No Outcrop Observed <input type="checkbox"/>                     |  |  |   |  |   |   |   |   |   |                                     |
| Sediments                                |  | Sandstone <input type="checkbox"/>                               | Black Shale <input type="checkbox"/>                 | Chert <input type="checkbox"/>                                   | Evaporites/Chemical Precipitate <input type="checkbox"/>  | Conglomerate <input type="checkbox"/>                              | Calcareous Sediment <input type="checkbox"/>      | Banded Iron Formation <input type="checkbox"/>  | Coal <input type="checkbox"/>                   | Siltstone/Shale <input type="checkbox"/>      | Limestone/Dolomite <input type="checkbox"/> | Phosphates <input type="checkbox"/> |
| Volcanics                                |  | Volcaniclastic <input type="checkbox"/>                          | Basic Volcanics <input type="checkbox"/>             | Acid Intrusive <input type="checkbox"/>                          | Ultrabasic Intrusive <input type="checkbox"/>             | Acid Volcanics <input type="checkbox"/>                            | Ultrabasic Volcanics <input type="checkbox"/>     | Intermediate Intrusive <input type="checkbox"/> | Intermediate Volcanics <input type="checkbox"/> | Kimberlite/Lamproite <input type="checkbox"/> |   |                                     |
| Intrusive                                |  | Ultrabasic Intrusive <input type="checkbox"/>                    | Meta-sediment - Siliclastic <input type="checkbox"/> | Meta-igneous - Acid/Intermediate <input type="checkbox"/>        | Meta-igneous - Basic/Ultrabasic <input type="checkbox"/>  | Intermediate Intrusive <input type="checkbox"/>                    | Metasediment - Graphitic <input type="checkbox"/> | Hornfels <input type="checkbox"/>               | Basic Intrusive <input type="checkbox"/>        |   |   |                                     |
| Metamorphic                              |  | Exoskarn <input type="checkbox"/>                                | Endoskarn <input type="checkbox"/>                   | Exoskarn <input type="checkbox"/>                                | Endoskarn <input type="checkbox"/>                        | Exoskarn <input type="checkbox"/>                                  | Endoskarn <input type="checkbox"/>                | Exoskarn <input type="checkbox"/>               | Endoskarn <input type="checkbox"/>              |   |   |                                     |
| Metasomatic                              |  | Exoskarn <input type="checkbox"/>                                | Endoskarn <input type="checkbox"/>                   | Exoskarn <input type="checkbox"/>                                | Endoskarn <input type="checkbox"/>                        | Exoskarn <input type="checkbox"/>                                  | Endoskarn <input type="checkbox"/>                | Exoskarn <input type="checkbox"/>               | Endoskarn <input type="checkbox"/>              |   |   |                                     |
| 10) Float Lithology:                     |  | No Float Observed <input type="checkbox"/>                       |  |  |   |  |   |   |   |   |   |                                     |
| Sediments                                |  | Sandstone <input type="checkbox"/>                               | Black Shale <input type="checkbox"/>                 | Chert <input type="checkbox"/>                                   | Evaporites/Chemical Precipitates <input type="checkbox"/> | Conglomerate <input type="checkbox"/>                              | Calcareous Sediment <input type="checkbox"/>      | Banded Iron Formation <input type="checkbox"/>  | Coal <input type="checkbox"/>                   | Siltstone/Shale <input type="checkbox"/>      | Limestone/Dolomite <input type="checkbox"/> | Phosphates <input type="checkbox"/> |
| Volcanics                                |  | Volcaniclastic <input type="checkbox"/>                          | Basic Volcanics <input type="checkbox"/>             | Acid Intrusive <input type="checkbox"/>                          | Ultrabasic Intrusive <input type="checkbox"/>             | Acid Volcanics <input type="checkbox"/>                            | Ultrabasic Volcanics <input type="checkbox"/>     | Intermediate Intrusive <input type="checkbox"/> | Intermediate Volcanics <input type="checkbox"/> | Kimberlite/Lamproite <input type="checkbox"/> |   |                                     |
| Intrusive                                |  | Ultrabasic Intrusive <input type="checkbox"/>                    | Meta-sediment - Siliclastic <input type="checkbox"/> | Meta-igneous - Acid/Intermediate <input type="checkbox"/>        | Meta-igneous - Basic/Ultrabasic <input type="checkbox"/>  | Intermediate Intrusive <input type="checkbox"/>                    | Metasediment - Graphitic <input type="checkbox"/> | Hornfels <input type="checkbox"/>               | Basic Intrusive <input type="checkbox"/>        |   |   |                                     |
| Metamorphic                              |  | Exoskarn <input type="checkbox"/>                                | Endoskarn <input type="checkbox"/>                   | Exoskarn <input type="checkbox"/>                                | Endoskarn <input type="checkbox"/>                        | Exoskarn <input type="checkbox"/>                                  | Endoskarn <input type="checkbox"/>                | Exoskarn <input type="checkbox"/>               | Endoskarn <input type="checkbox"/>              |   |   |                                     |
| Metasomatic                              |  | Exoskarn <input type="checkbox"/>                                | Endoskarn <input type="checkbox"/>                   | Exoskarn <input type="checkbox"/>                                | Endoskarn <input type="checkbox"/>                        | Exoskarn <input type="checkbox"/>                                  | Endoskarn <input type="checkbox"/>                | Exoskarn <input type="checkbox"/>               | Endoskarn <input type="checkbox"/>              |   |   |                                     |
| 11) Contamination:                       |  | None Observed <input type="checkbox"/>                           | Agricultural <input type="checkbox"/>                | Mining <input type="checkbox"/>                                  | Livestock <input type="checkbox"/>                        | Drilling <input type="checkbox"/>                                  |   |   |   |   |   |                                     |
| 12) Comments:                            |  |  |  |  |   |  |   |   |   |   |   |                                     |
| *  |  |  |  |  |   |  |   |   |   |   |   |                                     |
| **                                       |  |  |  |  |   |  |   |   |   |   |   |                                     |

### ۱-۴- آماده سازی آزمایشگاهی و ارسال نمونه ها به آزمایشگاه

نمونه ها پس از تحویل به آزمایشگاه و بررسی توافق فیما بین و با توجه به اصول پرهیز از آلودگی و رعایت موارد کنترل کیفیت (QC) در آسیابهای میله ای به اندازه ۲۰۰ مش آسیاب شدند، از این نمونه ها تعداد ۱۵ نمونه تکراری انتخاب گردیده، با توجه به وزن مورد نیاز آزمایشگاه Amdel، (حدود ۴۰ گرم) نمونه های آسیاب شده پس از وزن کردن در پاکتهای مخصوص قرار داده میشوند.

هر ۲۰ پاکت در یک کیسه پلاستیکی مخصوص (Bag) قرار داده شده و همراه با لیست هر کیسه و لیست کلی پس از کنترل نهائی، به آزمایشگاه ارسال شدند.

### ۱-۵- روش آنالیز و حد حساسیت (Detection Limit)

روش آنالیز برای عناصر مختلف به شرح زیر میباشد:

عناصر طلا و جیوه با روش ARM2، عناصر کروم، مس، منگنز، نیکل، استرانسیوم، روی، بریلیوم، باریم، تیتانیوم و سرب با روش IC3E و عناصر نقره، ارسینک، بر، بیسموت، مولیبدن، آنتیموان، سلنیوم، قلع و تنگستن با روش IC3M، آنالیز گردیده اند.  
حد تشخیص عناصر نیز بر اساس جدول زیر است.

جدول شماره ۱-۲ - حد حساسیت و تشخیص آزمایشگاهی

| Eelments | Au  | Hg   | Co  | Cr  | Cu  | Mn  | Ni  | Sr  | Zn  | Ba  | Be  |
|----------|-----|------|-----|-----|-----|-----|-----|-----|-----|-----|-----|
|          | ppb | ppm  | ppm | ppm | ppm | ppm | ppm | ppm | ppm | ppm | ppm |
| D.L      | 1   | 0.05 | 0.2 | 2   | 0.2 | 5   | 2   | 0.1 | 0.2 | 0.2 | 0.2 |

| Eelments | Ti  | Ag   | As  | B   | Bi  | Mo  | Pb  | Sb  | Se  | Sn  | W   |
|----------|-----|------|-----|-----|-----|-----|-----|-----|-----|-----|-----|
|          | ppm | ppm  | ppm | ppm | ppm | ppm | ppm | ppm | ppm | ppm | ppm |
| D.L      | 10  | 0.01 | 0.5 | 0.5 | 0.1 | 0.1 | 0.2 | 0.1 | 0.2 | 0.2 | 0.1 |

نتایج آنالیز نمونه ها ( بصورت ارسالی از آزمایشگاه ) در پیوست شماره ۱ آورده شده است.

## فصل دوم

جایگزینی داده های سنسوره و بررسی خطای آنالیز

## پردازش داده‌ها

### ۱-۱- مقدمه

داده‌های حاصل از آنالیز شیمیایی به روش ICP-MS پس از ارسال از آزمایشگاه Amdel کشور استرالیا مستقیماً وارد محیط بانک اطلاعاتی (Excel) شده و ستون X و Y با توجه به ردیف نمونه‌ها به این فایل اضافه شده است. در ضمن داده‌های مربوط به سنگهای بالادرست هر نمونه، تعداد واحدهای سنگی و اطلاعات برگرفته شده از کارتهای نمونه برداری نیز در ستونهای مجزایی به این فایل وارد شدند. داده‌های خام مربوطه در پیوست شماره ۱ و بر روی CD ضمیمه آورده شده است.

### ۱-۲- پردازش داده‌های سنسورد

در مطالعات آماری و ژئوشیمیایی، داده‌های سنسورد به داده‌هایی گفته می‌شود که به صورت مقادیر کمتر و یا بیشتر ( $<$ ،  $>$ ) گزارش شده‌اند. وجود این داده‌ها در نتایج بدست آمده بستگی به تمرکز بیش از حد یا کمتر از حد عیار نمونه با توجه به حد تشخیص دستگاه تجزیه کننده دارد. بدیهی است که سنجش مقادیر کمتر از حد حساسیت دستگاه در توانایی دستگاه نبوده و مقادیر مزبور را با نماد ( $\text{---}$ ) نمایش خواهد داد. این امر در مرور مقادیر عیاری بیش از یک حد مورد نظر نیز صادق بوده و دستگاه آنالیز کننده مقادیر عیاری بالا را به صورت نماد ( $\text{---}$ ) نشان می‌دهد. برای داده‌های ژئوشیمیایی نقطه سنسورد بطور تیپیک در حد قابل ثبت آنالیزها قرار دارد. وجود این داده‌ها باعث ایجاد اخلال در داده‌پردازی خواهد شد، زیرا نماد کمیتی ندارند و بایستی مقادیر عددی مطلوب را جایگزین آنها کرد. چون بکارگیری روش‌های آماری نیازمند داده‌های غیر سنسورد می‌باشد، در مرور تخمین داده‌های سنسورد روش‌های مختلفی بکار گرفته شده است. از جمله این روش‌ها جایگزینی  $\text{---}^{\text{---}}$  حد قابل ثبت برای مقادیر کوچکتر از ( $<$ ) و جانشینی  $\text{---}^{\text{---}}$  حد قابل تشخیص بالایی برای مقادیر بزرگتر از ( $>$ ) می‌باشد. روش دیگر جایگزینی نصف حد قابل تشخیص بجای مقادیر سنسورد حد پایین است که در این پروژه از آن استفاده شده است. از دیگر روش‌ها، روش بیشترین درست نمایی (Maximum Likelihood) است که به صورت معادلاتی و با استفاده از تعداد داده‌های سنسورد، تعداد کل نمونه‌ها، میانگین بخش غیرسنسورد، انحراف معیار داده‌های لگاریتمی و حد قابل ثبت به تخمین مقدار جایگزینی می‌پردازد.

جدول شماره ۲-۱ عناصر حاوی داده‌های سنسورد و درصد آنها، حد تشخیص و مقادیر جایگزینی را نشان می‌دهد.

جدول ۲-۱-مشخصات داده‌های سنسورد برگه ۱۰۰،۰۰۰ گرمی

| Row | Element | Total No. | Censored No. | % of Censored | Detection limit | Replaced Value |
|-----|---------|-----------|--------------|---------------|-----------------|----------------|
| ۱   | Au      | ۴۰۶       | ۹۶           | ۲۳            | ۱               | ۱,۰            |
| ۲   | Hg      | ۴۰۶       | ۳۷۰          | ۹۱            | ۰,۰۵            | ۰,۰۲۵          |
| ۳   | B       | ۴۰۶       | ۴۰۶          | ۱۰۰           | ۰,۰             | ....           |
| ۴   | Bi      | ۴۰۶       | ۶۶           | ۱۰            | ۰,۱             | ۰,۰۵           |

### ۲-۳- بررسی خطای آنالیز

یکی از روش‌های کنترل دقت آنالیز (Precision of Analysis) کنکاش در زمینه تکرار پذیری توان آزمایشگاهی، آنالیز نمونه‌های تکراری است. برای اینکه میزان خطای نمونه برداری و آماده سازی در این امر دخالت نکند، نمونه‌ها بعد از مرحله آماده سازی (اندازه نهایی: 200 mesh) و با استفاده از تقسیم کن (Riffle splitter) به دو بخش تقسیم شده و بعد از کدگذاری رمزی همراه با نمونه‌های اصلی به آزمایشگاه ارسال شده است. روش بررسی دقت آزمایشگاهی در مطالعات ناحیه‌ای به عنوان تعیین میزان اطمینان (Detection Limit) و یا وجود درصد زیادی از داده‌های سنسورد در نمونه‌های تکراری، خطای بالایی نشان دهنده که این امر طبیعی است، از موارد دیگر که بایستی به آن دقت کرد، نتایج نمونه‌های تکراری در عنصر طلاست که شامل همین امر خواهد شد. زیرا این عنصر کمترین حد تشخیص را خواهد داشت. راه عملی بررسی مسئله خطای اینگونه عناصر، انتخاب نمونه‌هایی در بین نمونه‌های تکراری است که میزان آنها از ده یا پانزده برابر حد تشخیص بالاتر باشد.

در کنترل دقت آنالیزها، حساسیت بر روی تکرار آزمایش با نتایج یکسان و یا نزدیک بهم است. حال چنانچه این تکرار آزمایش با واقعیت مقدار هر عنصر در نمونه همراه باشد، کیفیت کار آزمایشگاه و صحت (Accuracy) آن نیز بالا خواهد بود. البته کنترل صحت با ارسال نمونه‌های استاندارد قابل بررسی است که از حوضه این پرتوهای خارج است.

خطای آزمایشگاهی امری اختناب ناپذیر است. این خطای می‌تواند متأثر از خطای سیستماتیک یا خطای تصادفی باشد. منشاء خطای سیستماتیک عامل ثابتی است که موجب

انحراف مقادیر به سمت مقادیر بالاتر یا مقادیر پایینتر شده که بایستی منشاء آن که به احتمال زیاد از دستگاه آنالیز است. شناسایی و تمام آنالیزها مجدداً تکرار شود. خطای تصادفی به مجموع خطاهایی اطلاق می‌شود که گریز از آنها ممکن است، اما حذف آنها تقریباً غیر ممکن است. روش‌های آنالیز نیز با گونه‌های متفاوتی از خطای آنالیز همراه خواهند بود، بطور مثال روش‌هایی که عناصر را به صورت جداگانه می‌سنجند می‌توانند دقت بیشتری در برداشته باشند. اما در اینجا حد تشخیص این روشها بالاتر خواهد رفت. در مقابل روش‌های نوینی که به صورت Package عناصر را در یک سلول می‌سنجند احتمالاً دقت کمتری را نشان میدهند زیرا حد تشخیص آنها به مراتب پایینتر خواهد بود. در برگه ۱۰۰،۰۰۰ ۱: ۱ گرمی با توجه به تعداد ۴۰۴ نمونه آبراهه‌ای، تعداد ۱۵ نمونه تکراری انتخاب و به آزمایشگاه فرستاده شد، نتایج نمونه‌های اصلی و نمونه‌های تکراری در جدول ۲-۲ نشان داده شده است. برای محاسبه خطای نمونه‌های تکراری از فرمول زیر استفاده شده است.

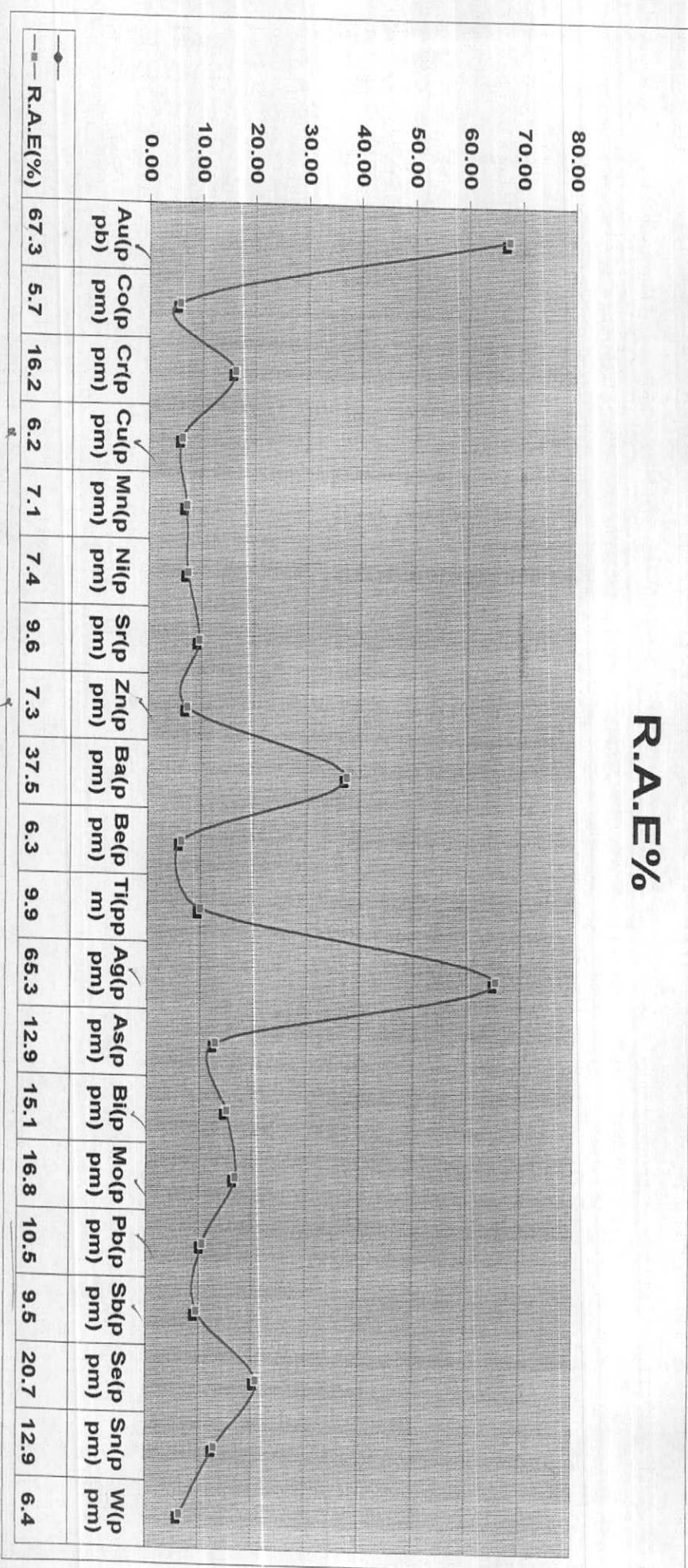
$$R.A.E. = \frac{2}{n} \sum \frac{|X_1 - X_2|}{X_1 + X_2} \times 100$$

در این فرمول R.A.E برابر با خطای نسبی دستگاهی، n تعداد نمونه تکراری و  $X_1$  و  $X_2$  به ترتیب مقادیر نمونه‌های اصلی و تکراری است. با بکارگیری فرمول مذبور نتایج خطای مراتب ازنمودارهای کلاسیک (نمودار هوارت تامپسون) بهتر مشخص شده و کمیت میزان خطای بدست خواهد آمد. بر اساس محاسبه فرمول فوق حداقل خطای مربوط به عنصر کبات (۵ درصد) و بیشترین آن مربوط به عنصر طلا ( $\frac{۶۷}{۳}$  درصد) است. برای مشاهده تمامی خطاهای و مقایسه آنها شکل شماره ۱-۲ ترسیم شده که نمودار خطی (line chart) خطای عناصر را نشان می‌دهد، اگر معیار ۱۰٪ خطای مجاز را در نظر بگیریم عناصر طلا، نقره، بیسموت، سلنیوم، قلع و باریم دارای خطایی بیش از حد مجاز هستند. به طور مثال خطای عنصر نقره بایستی از  $PPm = 0,015$  شروع شود، بنابراین در مجموعه ۱۵ نمونه تکراری هیچکدام از نتایج ۳۰ گانه (نتایج ۱۵ نمونه تکراری + ۱۵ نمونه اصلی) به مقدار  $PPm = 0,015$  نرسیده‌اند، در مورد عنصر بیسموت نیز کلیه نمونه‌ها کمتر از مقدار  $PPm = 0,01$  می‌باشند. در مورد عناصر Se و Sn نیز با توجه به حد  $PPm = 0,01$  تنها یکی از نمونه‌ها مجاز به خطایگیری واقعی می‌باشد. عنصر باریم نیز سه برابر حد مجاز خطای دارد و به نتایج آن بایستی با دیده احتیاط نگریست. این عنصر تنها عنصری است که در مجموعه ۲۲ عنصری خطای قابل توجیهی ندارد.

جدول ۱-۲-۳: نتایج آنالیز مسیویه های اصلی و تکراری در برگ ۵۰٪

| Sample Num. | Au(ppm) | Co(ppm) | Cr(ppm) | Cu(ppm) | Mn(ppm) | Ni(ppm) | Sr(ppm) | Zn(ppm) | Ba(ppm) | Be(ppm) | Tl(ppm) | Ag(ppm) | As(ppm) | Bi(ppm) | Mo(ppm) | Pb(ppm) | Sb(ppm) | Se(ppm) | Sn(ppm) | W(ppm) |
|-------------|---------|---------|---------|---------|---------|---------|---------|---------|---------|---------|---------|---------|---------|---------|---------|---------|---------|---------|---------|--------|
| ZG-507      | 1       | 18.7    | 48      | 67.1    | 577     | 30      | 488     | 77.2    | 2610    | 2.1     | 5430    | 0.005   | 5.8     | 0.1     | 6.3     | 14.3    | 1.2     | 0.7     | 1.3     | 2.7    |
| ZG-58       | 0.5     | 18.7    | 61      | 67.1    | 591     | 30      | 47.7    | 79.7    | 368     | 2       | 5110    | 0.02    | 5.5     | 0.1     | 7.6     | 14.9    | 1.2     | 0.9     | 1.6     | 3.2    |
| ZG-502      | 6       | 20.2    | 76      | 42.2    | 938     | 57      | 339     | 69.9    | 533     | 1.6     | 3910    | 0.005   | 10.4    | 0.2     | 7.9     | 16.9    | 1       | 0.8     | 1.9     | 2      |
| ZG-63       | 5       | 19.3    | 84      | 42.6    | 821     | 54      | 317     | 72.7    | 480     | 1.5     | 3660    | 0.02    | 11.7    | 0.2     | 2.2     | 18      | 1.1     | 1       | 1.9     | 2.3    |
| ZG-503      | 1       | 21      | 80      | 48.4    | 656     | 77      | 560     | 64.7    | 546     | 1.4     | 3850    | 0.005   | 9.1     | 0.2     | 3.3     | 13.9    | 1.1     | 1       | 1.3     | 1.7    |
| ZG-71       | 2       | 24      | 110     | 50.7    | 624     | 79      | 532     | 69.7    | 514     | 1.4     | 3650    | 0.03    | 10.5    | 0.2     | 3.7     | 15.6    | 1.1     | 1.1     | 1.3     | 1.7    |
| ZG-504      | 0.5     | 17.7    | 77      | 36.7    | 379     | 35      | 643     | 53      | 878     | 1.8     | 4250    | 0.03    | 8.1     | 0.1     | 2.2     | 17.3    | 0.9     | 0.7     | 1.3     | 2      |
| ZG-79       | 1       | 17.8    | 65      | 39      | 419     | 36      | 717     | 57.9    | 842     | 1.8     | 4010    | 0.02    | 8.7     | 0.1     | 2.3     | 18.6    | 0.8     | 0.7     | 1.2     | 2.2    |
| ZG-505      | 0.5     | 22.2    | 135     | 46.8    | 906     | 62      | 437     | 81      | 590     | 1.7     | 4270    | 0.06    | 12.5    | 0.3     | 2.4     | 17.4    | 1.2     | 1.4     | 1.8     | 2.1    |
| ZG-111      | 0.5     | 18.7    | 137     | 41.2    | 830     | 52      | 334     | 70      | 501     | 1.4     | 3690    | 0.07    | 11.5    | 0.2     | 2.6     | 16.7    | 1.1     | 1.4     | 1.8     | 2.2    |
| ZG-506      | 2       | 21      | 118     | 43.2    | 946     | 61      | 317     | 85.7    | 421     | 1.6     | 4190    | 0.02    | 11.7    | 0.3     | 1.9     | 16.1    | 1.2     | 1.2     | 2       | 2.2    |
| ZG-144      | 0.5     | 18.9    | 89      | 39.9    | 786     | 54      | 294     | 70      | 380     | 1.5     | 3330    | 0.03    | 9.7     | 0.3     | 2.2     | 14.8    | 1       | 0.8     | 1.8     | 2.1    |
| ZG-507      | 2       | 19.7    | 103     | 37.5    | 865     | 54      | 385     | 72.1    | 427     | 1.5     | 3690    | 0.03    | 10.7    | 0.3     | 1.9     | 17.1    | 1       | 0.9     | 1.7     | 2.1    |
| ZG-150      | 2       | 18.3    | 63      | 34.3    | 849     | 48      | 479     | 62.6    | 353     | 1.3     | 3260    | 0.03    | 11.1    | 0.3     | 2.6     | 15.1    | 1.2     | 1       | 1.9     | 2.1    |
| ZG-508      | 3       | 22      | 107     | 37.8    | 1020    | 56      | 344     | 72.3    | 437     | 1.6     | 3730    | 0.01    | 9.2     | 0.3     | 1.7     | 17.9    | 1.1     | 1       | 1.8     | 2.2    |
| ZG-168      | 0.5     | 19.8    | 68      | 37.1    | 912     | 51      | 300     | 68.5    | 403     | 1.4     | 3380    | 0.01    | 12      | 0.3     | 1.6     | 16.7    | 1       | 1.9     | 1.8     | 2.4    |
| ZG-509      | 2       | 20.1    | 95      | 37.4    | 877     | 56      | 274     | 74.6    | 409     | 1.5     | 3540    | 0.005   | 7.6     | 0.3     | 1.5     | 17.3    | 1.1     | 0.9     | 1.8     | 2.1    |
| ZG-183      | 2       | 19.5    | 80      | 39      | 858     | 53      | 289     | 71.4    | 414     | 1.5     | 3480    | 0.01    | 6.7     | 0.3     | 1.6     | 15.6    | 1       | 0.7     | 1.5     | 2.1    |
| ZG-510      | 4       | 19.1    | 103     | 42.4    | 792     | 61      | 462     | 76.3    | 436     | 1.5     | 3570    | 0.005   | 8.6     | 0.2     | 2.2     | 15.3    | 1       | 1       | 1.8     | 2      |
| ZG-209      | 3       | 18.4    | 105     | 45.7    | 761     | 57      | 441     | 73.1    | 458     | 1.4     | 3380    | 0.02    | 13      | 0.3     | 2.6     | 14.5    | 0.9     | 2       | 1.7     | 2      |
| ZG-511      | 2       | 19.8    | 90      | 34.9    | 902     | 54      | 564     | 66.7    | 542     | 1.5     | 3450    | 0.005   | 9.3     | 0.3     | 3.3     | 17.8    | 1.1     | 0.9     | 1.8     | 2.2    |
| ZG-226      | 0.5     | 19.6    | 67      | 39.1    | 934     | 53      | 561     | 66.7    | 542     | 1.5     | 3410    | 0.08    | 11.5    | 0.2     | 4.6     | 14.8    | 1.2     | 0.9     | 1.4     | 2.3    |
| ZG-512      | 3       | 19.6    | 143     | 52.4    | 516     | 43      | 621     | 74      | 817     | 1.9     | 3980    | 0.005   | 7       | 0.1     | 5.5     | 13.5    | 0.8     | 0.6     | 1.1     | 1.5    |
| ZG-250      | 1       | 17.7    | 122     | 48.3    | 487     | 36      | 514     | 66.9    | 772     | 1.6     | 3300    | 0.01    | 7.2     | 0.1     | 6.9     | 12.2    | 0.7     | 0.6     | 1.6     | 2      |
| ZG-513      | 0.5     | 19.2    | 96      | 74.6    | 468     | 33      | 438     | 87.2    | 311     | 2.3     | 4890    | 0.08    | 12.8    | 0.1     | 9.5     | 17      | 1.3     | 0.8     | 1.5     | 2.7    |
| ZG-359      | 2       | 17.9    | 96      | 57.2    | 523     | 27      | 423     | 92.2    | 1070    | 2.3     | 3890    | 0.01    | 12.6    | 0.1     | 12      | 16.1    | 1.3     | 1.2     | 1.8     | 2      |
| ZG-514      | 2       | 41.8    | 60      | 78.4    | 2360    | 99      | 460     | 121     | 46.8    | 2.8     | 3990    | 0.06    | 1.3     | 0.2     | 13.4    | 22.7    | 1.4     | 2.1     | 2.6     | 2.3    |
| ZG-329      | 3       | 45.4    | 59      | 80.4    | 2270    | 102     | 460     | 113     | 192     | 2.8     | 3490    | 0.1     | 13.3    | 0.3     | 12.1    | 17.6    | 1.4     | 1.9     | 1.6     | 2.4    |
| ZG-515      | 2       | 19.2    | 74      | 57.3    | 452     | 40      | 552     | 77.3    | 115     | 1.7     | 3610    | 0.08    | 9.2     | 0.2     | 6.8     | 15.2    | 0.9     | 0.8     | 1.7     | 1.6    |
| ZG-264      | 0.5     | 19.8    | 77      | 60.2    | 462     | 44      | 552     | 78.1    | 321     | 1.8     | 320     | 0.08    | 8.1     | 0.1     | 8.6     | 12.3    | 0.7     | 0.8     | 1.7     | 2      |
| R.A.E(%)    | 67.3    | 5.7     | 16.2    | 6.2     | 7.1     | 7.4     | 9.6     | 7.3     | 37.5    | 6.3     | 9.9     | 65.3    | 12.9    | 15.1    | 16.8    | 10.5    | 9.5     | 20.7    | 12.9    | 6.4    |

# R.A.E%



### **فصل سوم**

**پردازش آماری داده های خام**

### ۱-۳- جدول پارامترهای آماری داده های خام

داده پردازی تک متغیره با تکیه بر آمار کلاسیک به صورت توصیفی و نمودارهای گرافیکی، اولین گام در مسیر داده پردازی است که حاوی اطلاعات سودمندی برای کارشناسان است. این مرحله به عنوان مقدمه‌ای بر داده پردازی دو متغیره و چند متغیره محسوب می شود و بنابر همین نیاز بود که گزارش اکتشافات ژئوشیمیایی برگه ۱:۱ گرمی وزیر مجموعه داده پردازی را با این مبحث آغاز می کنیم.

اولین مرحله شامل جدول پارامتری آماری است که آمارهای مهم و اساسی را همچون میانگین، میانه، انحراف معیار، واریانس، چولگی، کشیدگی، میزان حداقل و حداکثر و ضریب تغییرات (Coefficient of variance) را در بر دارد (جدول ۱-۳). این پارامترها در مجموع وضعیت جامعه هر متغیر را بیان می کند، ضریب تغییرات در مقام مقایسه با تمامی متغیرها نقش اساسی را در بردارد. بطور مثال عناصر طلا، نقره، مولیبدن و باریم تغییراتی بیش از دیگر عناصر را نشان می دهند و انتظار مناطق ناهنجار از این عناصر بیش از سایر عناصر است. در صورتیکه اگر مبنای بر اساس انحراف معیار در نظر می گرفتیم، بیشترین انحراف معیار را به ترتیب تیتانیوم، باریم، منگنز و استرانسیوم در اختیار داشتند. در اینجا اهمیت بررسی  $CV\%$  روشن خواهد شد. علاوه بر این، درصدهای مختلفی که در ترسیم نقشه‌ها مورد استفاده قرار خواهد گرفت (از ۳۰ تا ۹۹٪) نیز در جدول منعکس شده است. این درصدها به عنوان مکمل مقادیر Min و Max است.

از جمله سایر پارامترهای آماری این جدول آمارهای چولگی (Skewness) و کشیدگی (Kurtosis) است که با توجه به این آمارهای می توان تا حدودی به نرمال بودن یا لاغ نرمال بودن جوامع عنصری پی برد. بدیهی است که چنانچه مقادیر این دو پارامتر به ترتیب به اعداد ۰ و ۳ نزدیک باشد آن جامعه نرمالتر است. با توجه به اینکه امروزه مشخص شده است که آمایش و ماساژ بیش از اندازه داده های خام در راستای نرمال سازی چاره ساز نخواهد بود و پروژه های اکتشافی بزرگی توسط شرکتهای بسیار معتبر در سطح دنیا در تمامی مقیاسها بدون توجه به داده پردازی آماری در حد بالا در حال اجراست و پاسخگوی تعاملی نیازها هم می باشد لذا مشاوران با توجه به سوابقی که در این زمینه دارند تنها به لگاریتم طبیعی داده ها به عنوان تبدیل داده ها بسته کرده اند. مجموعه پارامترهای آماری جوامع لگاریتمی نیز در جدول شماره ۲-۳، آورده شده است. مقایسه این دو به ویژه در مقادیر چولگی و کشیدگی تا حدودی گویای این امر است که در بعضی از جوامع،

عناصر جوامع لگاریتمی به تقریب به یک جامعه نرمال نزدیکتر هستند و بنابراین صلاحیت ورود به پردازش‌های چند متغیره را دارند.

### ۳-۲- ترسیم هیستوگرامها و شرح آنها

داده‌های تک متغیره در راستای یک خط مقیاس بندی شده (محور  $x$ ) و نمایش فراوانی آنها در مقیاس‌های مربوطه در روی محور  $y$  به صورت گرافیکی ترسیم شده و گویای (Dispersion) وضعیت داده‌ها خواهد بود. سه ویژگی موقعیت (Location)، پراکندگی (Dispersion) و شکل (Shape) توسط هیستوگرامها قابل ارائه هستند. این ویژگیها به یک یا چند مقدار ثابت (Constant) وابسته هستند که این مقادیر ثابت به نام پارامترهای جامعه و یا پارامترهای توزیع فراوانی معروف می‌باشد. محاسبه موقعیت در یک جامعه آماری با برآورد میانگین حسابی جامعه ( $M$ )، میانگین هندسی جامعه، مد و میانه امکانپذیر است محاسبه پراکندگی آنرا آمارهایی همچون حد (Range)، انحراف درون چارکی (Interquartile devision)، واریانس و انحراف معیار بیان می‌کند. شکل یک هیستوگرام نیز به عواملی همچون تعداد داده‌ای جامعه، چولگی و کشیدگی بستگی دارد. بایستی یادآوری کرد که در نمونه برداریهای ژئوشیمیایی جامعه آماری هرگز توانایی بیان مقادیر واقعی (True) از پارامترهای جامعه آماری را ندارد و همیشه نتایج جامعه نمونه برداری شده با احتساب آزمونهای کنترل به جامعه واقعی منتبث خواهد شد.

هیستوگرام‌ها به همراه داده‌های جدول پارامترهای آماری، اولین اهرم‌هایی هستند که امکان پردازش‌های بعدی را در اختیار کارشناسان قرار می‌دهند. در این پژوهه نیز هیستوگرام بعضی از داده‌های خام و لگاریتمی در شکل ۱-۳ ترسیم و سایر هیستوگرامها در پیوست شماره ۲ آورده شده است. از مشاهده اولیه هیستوگرام می‌توان نوع تابع توزیع، وجود یا عدم وجود چولگی و میزان تقریبی آن و احتمال رخداد را در هر گروه بدست آورد.

جدول ۱ - جدول پارامترهای آماری داده های خام

|                        | N       | Au(ppm) | Hg(ppm) | Cd(ppm) | Cu(ppm) | Mn(ppm) | Ni(ppm)  | Sr(ppm) | Zn(ppm)  | Ba(ppm) | Bf(ppm)   |        |
|------------------------|---------|---------|---------|---------|---------|---------|----------|---------|----------|---------|-----------|--------|
|                        | Valid   | 404.00  | 404.00  | 404.00  | 404.00  | 404.00  | 404.00   | 404.00  | 404.00   | 404.00  | 404.00    |        |
|                        | Missing | 0.00    | 0.00    | 0.00    | 0.00    | 0.00    | 0.00     | 0.00    | 0.00     | 0.00    | 0.00      |        |
| Mean                   |         | 2.01    | 0.03    | 20.93   | 77.66   | 56.13   | 760.48   | 47.00   | 424.93   | 78.77   | 575.14    |        |
| Median                 |         | 2.00    | 0.03    | 19.90   | 75.00   | 52.40   | 761.00   | 49.00   | 385.00   | 76.80   | 492.00    |        |
| Std. Deviation         |         | 2.63    | 0.01    | 4.74    | 30.36   | 15.63   | 215.80   | 15.38   | 157.22   | 14.98   | 324.95    |        |
| CV%                    |         | 131.06  | 36.71   | 22.67   | 39.09   | 27.84   | 28.38    | 32.73   | 37.00    | 19.01   | 56.50     |        |
| Variance               |         | 6.94    | 0.00    | 22.50   | 921.48  | 244.17  | 46568.49 | 236.61  | 24719.22 | 22.44   | 105593.49 |        |
| Skewness               |         | 9.08    | 3.94    | 4.19    | 1.92    | 0.62    | 2.25     | 1.61    | 0.98     | 3.00    | 1.51      |        |
| Std. Error of Skewness |         | 0.12    | 0.12    | 0.12    | 0.12    | 0.12    | 0.12     | 0.12    | 0.12     | 0.12    | 0.12      |        |
| Kurtosis               |         | 109.57  | 17.19   | 27.70   | 7.27    | -0.54   | 12.10    | 10.76   | 0.68     | 17.18   | 4.47      |        |
| Std. Error of Kurtosis |         | 0.24    | 0.24    | 0.24    | 0.24    | 0.24    | 0.24     | 0.24    | 0.24     | 0.24    | 0.24      |        |
| Minimum                |         | 0.50    | 0.03    | 9.80    | 27.00   | 22.50   | 97.00    | 11.00   | 149.00   | 51.90   | 38.40     |        |
| Maximum                |         | 38.00   | 0.10    | 66.20   | 272.00  | 67.90   | 2270.00  | 172.00  | 947.00   | 199.00  | 2890.00   |        |
| 30                     | 1.00    | 0.03    | 18.90   | 62.00   | 44.50   | 663.50  | 38.00    | 317.00  | 71.15    | 403.00  | 4.30      |        |
| 60                     | 2.00    | 0.03    | 20.40   | 79.00   | 58.10   | 759.00  | 52.00    | 434.00  | 79.00    | 547.00  | 1.80      |        |
| 70                     | 2.00    | 0.03    | 21.30   | 87.00   | 64.55   | 832.50  | 54.00    | 491.00  | 82.10    | 685.50  | 2.00      |        |
| Percentiles            |         | 80      | 3.00    | 0.03    | 22.50   | 95.00   | 71.30    | 879.00  | 56.00    | 550.00  | 85.90     | 800.00 |
| 90                     | 3.50    | 0.03    | 24.50   | 108.50  | 78.75   | 940.00  | 61.00    | 633.50  | 92.35    | 1050.00 | 2.50      |        |
| 95                     | 4.00    | 0.05    | 27.38   | 127.00  | 86.30   | 1047.50 | 70.00    | 726.00  | 103.00   | 1207.50 | 2.60      |        |
| 98                     | 7.80    | 0.06    | 37.16   | 181.30  | 91.39   | 1375.00 | 81.80    | 855.20  | 118.00   | 1348.00 | 2.99      |        |
| 99                     | 9.95    | 0.07    | 44.56   | 189.85  | 94.17   | 1855.00 | 93.90    | 919.95  | 132.95   | 1688.50 | 3.10      |        |

|                        | N       | Tl(ppm)  | Ag(ppm) | As(ppm) | Bi(ppm) | Mn(ppm) | Pb(ppm) | Sb(ppm) | Se(ppm) | Sr(ppm) | W(ppm) |
|------------------------|---------|----------|---------|---------|---------|---------|---------|---------|---------|---------|--------|
|                        | Valid   | 404.00   | 404.00  | 404.00  | 404.00  | 404.00  | 404.00  | 404.00  | 404.00  | 404.00  | 404.00 |
|                        | Missing | 0.00     | 0.00    | 0.00    | 0.00    | 0.00    | 0.00    | 0.00    | 0.00    | 0.00    | 0.00   |
| Mean                   |         | 3866.41  | 0.21    | 11.75   | 0.19    | 5.41    | 16.63   | 1.08    | 1.12    | 1.65    | 2.29   |
| Median                 |         | 3725.00  | 0.17    | 11.70   | 0.20    | 4.75    | 16.50   | 1.10    | 1.00    | 1.70    | 2.20   |
| Std. Deviation         |         | 555.38   | 0.18    | 3.25    | 0.08    | 3.23    | 2.95    | 0.23    | 0.40    | 0.50    | 0.43   |
| CV%                    |         | 14.36    | 85.68   | 27.64   | 43.24   | 59.68   | 17.75   | 21.35   | 35.78   | 30.02   | 18.96  |
| Variance               |         | 30844.41 | 0.03    | 10.55   | 0.01    | 10.43   | 8.71    | 0.05    | 0.16    | 0.25    | 0.19   |
| Skewness               |         | 0.78     | 7.70    | 3.11    | -0.13   | -1.05   | 2.70    | 0.39    | 1.54    | 3.10    | 0.44   |
| Std. Error of Skewness |         | 0.12     | 0.12    | 0.12    | 0.12    | 0.12    | 0.12    | 0.12    | 0.12    | 0.12    | 0.12   |
| Kurtosis               |         | 1.00     | 0.24    | 28.40   | -0.79   | 1.04    | 21.76   | 0.91    | 4.10    | 28.89   | 0.30   |
| Std. Error of Kurtosis |         | 0.24     | 0.24    | 0.24    | 0.24    | 0.24    | 0.24    | 0.24    | 0.24    | 0.24    | 0.24   |
| Minimum                |         | 2120.00  | 0.01    | 4.90    | 0.05    | 0.20    | 9.70    | 0.50    | 0.40    | 0.50    | 1.10   |
| Maximum                |         | 5990.00  | 2.59    | 45.10   | 0.40    | 19.00   | 44.60   | 2.00    | 3.40    | 6.60    | 3.80   |
| Percentiles            |         | 30       | 3520.00 | 0.14    | 10.30   | 0.20    | 2.80    | 15.30   | 1.00    | 0.90    | 1.50   |
|                        | 60      | 3880.00  | 0.19    | 12.40   | 0.20    | 5.90    | 16.80   | 1.10    | 1.20    | 1.80    | 2.30   |
|                        | 70      | 4120.00  | 0.21    | 13.00   | 0.20    | 6.90    | 17.50   | 1.20    | 1.20    | 1.80    | 2.40   |
|                        | 80      | 4330.00  | 0.25    | 13.90   | 0.30    | 8.10    | 18.60   | 1.30    | 1.40    | 1.90    | 2.70   |
|                        | 90      | 4635.00  | 0.30    | 15.00   | 0.30    | 9.70    | 20.10   | 1.40    | 1.60    | 2.10    | 2.90   |
|                        | 95      | 4990.00  | 0.39    | 15.78   | 0.30    | 11.75   | 21.00   | 1.40    | 1.60    | 2.20    | 3.10   |
|                        | 98      | 5216.00  | 0.56    | 18.08   | 0.30    | 13.39   | 22.29   | 1.69    | 2.29    | 2.40    | 3.20   |
|                        | 99      | 5514.50  | 0.99    | 20.19   | 0.30    | 15.38   | 23.39   | 1.80    | 2.59    | 3.07    | 3.40   |

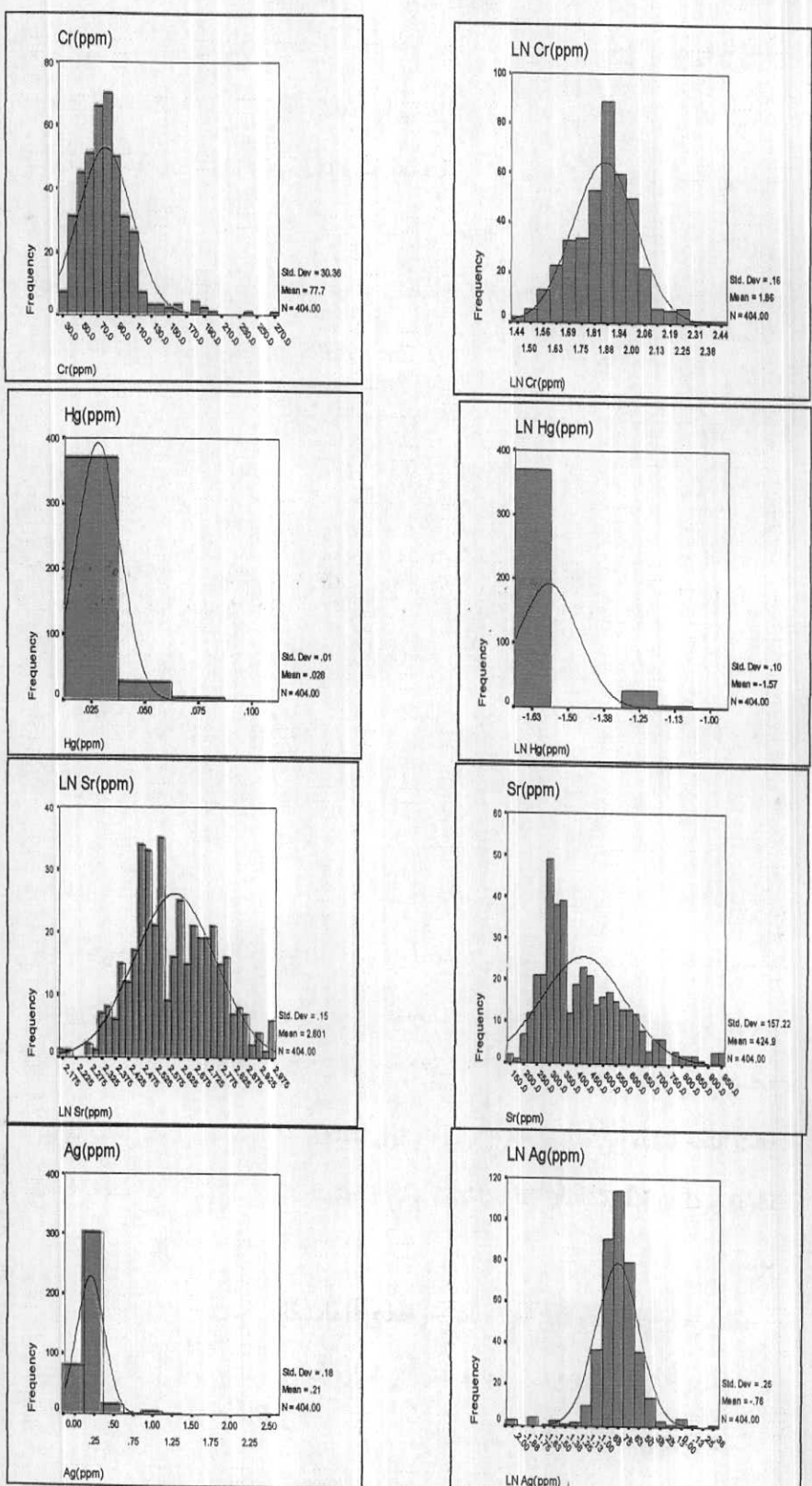
جدول ۲-۳: پارامترهای آماری داده های لگاریتمی

|                               | N      | LN Au(ppm) | LN Hg(ppm) | LN Co(ppm) | LN Cr(ppm) | LN Cu(ppm) | LN Mn(ppm) | LN Ni(ppm) | LN Sr(ppm) | LN Zn(ppm) | LN Ba(ppm) |
|-------------------------------|--------|------------|------------|------------|------------|------------|------------|------------|------------|------------|------------|
|                               | Valid  | 404.00     | 404.00     | 404.00     | 404.00     | 404.00     | 404.00     | 404.00     | 404.00     | 404.00     | 404.00     |
| <b>Mean</b>                   | 0.00   | 0.00       | 0.00       | 0.00       | 0.00       | 0.00       | 0.00       | 0.00       | 0.00       | 0.00       | 0.00       |
| <b>Median</b>                 | 0.16   | -1.57      | 1.31       | 1.86       | 1.73       | 2.87       | 1.65       | 2.60       | 1.89       | 2.69       | 2.69       |
| <b>Std. Deviation</b>         | 0.30   | -1.60      | 1.30       | 1.88       | 1.72       | 2.88       | 1.69       | 2.59       | 1.89       | 2.69       | 2.69       |
| <b>Variance</b>               | 0.33   | 0.10       | 0.08       | 0.16       | 0.12       | 0.12       | 0.14       | 0.15       | 0.07       | 0.27       | 0.27       |
| <b>Skewness</b>               | 0.11   | 0.01       | 0.01       | 0.02       | 0.01       | 0.01       | 0.02       | 0.02       | 0.01       | 0.07       | 0.07       |
| <b>Std. Error of Skewness</b> | 0.23   | 3.32       | 1.94       | 0.11       | 0.18       | -0.71      | -0.47      | 0.20       | 1.37       | -0.99      | -0.99      |
| <b>Kurtosis</b>               | 0.12   | 0.12       | 0.12       | 0.12       | 0.12       | 0.12       | 0.12       | 0.12       | 0.12       | 0.12       | 0.12       |
| <b>Std. Error of Kurtosis</b> | 0.29   | 10.04      | 9.21       | 0.65       | -0.81      | 8.59       | 1.09       | -0.48      | 4.98       | 2.30       | 2.30       |
| <b>Minimum</b>                | -0.30  | -1.60      | 0.99       | 1.43       | 1.35       | 1.99       | 1.99       | 1.04       | 2.17       | 1.58       | 1.58       |
| <b>Maximum</b>                | 3.0    | 1.58       | -1.00      | 1.82       | 2.43       | 3.36       | 2.24       | 2.98       | 2.30       | 3.41       | 3.41       |
| <b>Percentiles</b>            | 60     | 0.00       | -1.60      | 1.28       | 1.79       | 1.65       | 2.82       | 1.58       | 2.50       | 1.85       | 2.61       |
|                               | 80     | 0.30       | -1.60      | 1.31       | 1.90       | 1.76       | 2.90       | 1.72       | 2.64       | 1.90       | 2.74       |
|                               | 90     | 0.48       | -1.60      | 1.33       | 1.94       | 1.81       | 2.92       | 1.73       | 2.69       | 1.91       | 2.84       |
|                               | 95     | 0.54       | -1.60      | 1.39       | 1.98       | 1.85       | 2.94       | 1.75       | 2.75       | 1.93       | 2.90       |
|                               | 99     | 0.89       | -1.22      | 1.57       | 2.10       | 1.94       | 3.02       | 1.79       | 2.80       | 1.97       | 3.02       |
|                               |        | 1.00       | -1.15      | 1.65       | 2.28       | 1.97       | 3.27       | 1.97       | 2.86       | 2.01       | 3.08       |
| <b>N</b>                      | 404.00 | 404.00     | 404.00     | 404.00     | 404.00     | 404.00     | 404.00     | 404.00     | 404.00     | 404.00     | 404.00     |
| <b>Mean</b>                   | 0.00   | 0.00       | 0.00       | 0.00       | 0.00       | 0.00       | 0.00       | 0.00       | 0.00       | 0.00       | 0.00       |
| <b>Median</b>                 | 0.24   | 3.58       | -0.76      | 1.06       | -0.77      | 0.66       | 1.22       | 0.02       | 0.02       | 0.20       | 0.35       |
| <b>Std. Deviation</b>         | 0.20   | 3.57       | -0.77      | 1.07       | -0.70      | 0.68       | 1.22       | 0.04       | 0.00       | 0.23       | 0.34       |
| <b>Variance</b>               | 0.10   | 0.06       | 0.26       | 0.11       | 0.24       | 0.27       | 0.07       | 0.10       | 0.14       | 0.13       | 0.08       |
| <b>Skewness</b>               | 0.01   | 0.00       | 0.07       | 0.01       | 0.06       | 0.07       | 0.00       | 0.01       | 0.02       | 0.02       | 0.01       |
| <b>Std. Error of Skewness</b> | 0.86   | 0.24       | -0.82      | 0.04       | -0.99      | -0.27      | 0.59       | -0.42      | 0.33       | -0.54      | -0.18      |
| <b>Kurtosis</b>               | 0.12   | 0.12       | 0.12       | 0.12       | 0.12       | 0.12       | 0.12       | 0.12       | 0.12       | 0.12       | 0.12       |
| <b>Std. Error of Kurtosis</b> | -0.22  | 0.94       | 6.58       | 2.35       | 0.01       | 0.51       | 4.02       | 0.63       | 0.25       | 2.87       | 0.37       |
| <b>Minimum</b>                | 0.00   | 3.33       | -2.00      | 0.69       | -1.30      | -0.70      | 0.99       | -0.30      | -0.40      | -0.30      | 0.04       |
| <b>Maximum</b>                | 0.63   | 3.78       | 0.41       | 1.65       | -0.40      | 1.28       | 1.65       | 0.30       | 0.53       | 0.82       | 0.58       |
| <b>Percentiles</b>            | 1.8    | 3.55       | -0.85      | 1.01       | 0.70       | 0.45       | 1.18       | 0.00       | -0.05      | 0.18       | 0.32       |
|                               | 2.6    | 3.59       | -0.72      | 1.09       | -0.70      | 0.77       | 1.23       | 0.04       | 0.08       | 0.26       | 0.36       |
|                               | 3.0    | 3.61       | -0.68      | 1.11       | -0.70      | 0.84       | 1.24       | 0.08       | 0.08       | 0.26       | 0.38       |
|                               | 3.4    | 3.64       | -0.60      | 1.14       | -0.52      | 0.91       | 1.27       | 0.11       | 0.15       | 0.28       | 0.43       |
|                               | 3.67   | 3.67       | -0.52      | 1.18       | -0.52      | 0.99       | 1.30       | 0.15       | 0.20       | 0.32       | 0.46       |
|                               | 3.69   | -0.41      | 1.20       | -0.52      | 1.07       | 1.32       | 0.15       | 0.28       | 0.34       | 0.49       | 0.49       |
|                               | 3.72   | -0.25      | 1.26       | -0.52      | 1.13       | 1.35       | 0.23       | 0.36       | 0.38       | 0.51       | 0.51       |
|                               | 3.74   | 0.00       | 1.31       | -0.52      | 1.19       | 1.37       | 0.25       | 0.41       | 0.49       | 0.53       | 0.53       |

در ضمن باقیستی توجه داشت که شکل یک هیستوگرام (در تابع داده‌های خام) چنانچه به توزع بالنسبه نرمال نزدیک باشد نمی‌توان انتظار آنومالیهای ارزشمند از آن داشت و این جامعه تقریباً ییانگر تغییرات در یک زمینه (Background) نرمال خواهد بود. در ضمن با توجه به هیستوگرامها می‌توان به اظهار نظر در مورد حد تشخیص (Detection Limit) روش آزمایشگاهی نیز پی بردن و به تقریب به تعداد نمونه‌هایی (درصد آنها) که کمتر از حد تشخیص هستند و نحوه پراکندگی داده‌های غیر سنسورد دست یافت.

آنچه از بررسی هیستوگرام‌های جوامع خام و نرمال بدست می‌آید به شرح زیر خلاصه می‌شود.

- قریب به اکثربیت داده‌های عناصر جیوه مقادیر کمتر از حد تشخیص داشته‌اند.
- در تبدیل جوامع داده‌های خام، عناصر نقره، بریلیوم، باریم، کروم، استرانسیوم و سلنیوم که همگی چولگی مثبت داشتند، در جامعه لگاریتمی تابع توزع، تا حدود زیادی به نرمال نزدیک شده‌اند.
- وجود جوامع دوگانه (Bimodal) در توزع عناصر مس، باریم و تا حدودی تیتان، ناشی از رفتار دوگانه این عناصر در پهنه برگه بوده که می‌تواند هم معرف نوعی غنی شدگی نسبی و هم معرف قوت و قدرت پارامترهای ژنتیکی این عناصر نسبت به سنگهای منطقه باشد.
- جوامع داده‌های خام بریلیوم، نقره، جیوه، تنگستن، قلع، بیسموت و استرانسیوم، نمایانگر جوامعی هستند که انتظار مقادیر ناهمجارت از آنها ضعیف است.



شکل ۱-۳: هیستوگرام داده های خام و لگاریتمی عناصر Cr,Hg,Sr,Ag

### ۳-۳- ترسیم باکس پلاتها

باکس پلاتها (نمودارهای جعبه‌ای) یکی از روش‌های نمایش توزیع محدوده‌های جوامع آماری محسوب می‌شوند. حدود مقادیر منعکس شده در این نمودارها با توجه به چارکهای آن و حد بین چارکی (Interquartile Range) انتخاب شده است. در این نمودارها میزان حداقل، ۲۵٪، میانگین، ۷۵٪ و حد اکثر به نمایش گذارده شده و نمونه‌هایی نیز بر اساس حد بین چارکی به عنوان نمونه‌های خارج از رده (Outlier) یا فوق العاده (Extreme) محسوب شده‌اند. نمونه‌هایی خارج از رده محسوب می‌شوند که فرمول زیر در آنها صادق باشد. ( $Outlier = 1.5 \sim 3 (75^{th} - 25^{th})$ ) باشد به عنوان نمونه‌های فوق العاده (Extreme) نامیده می‌شوند.

در باکس پلاتها نمونه‌های خارج از رده با نماد ۰ و نمونه‌های فوق العاده با نماد \* مشخص شده‌اند. باکس پلاتها عناصر در شکل شماره ۳-۲ ارائه شده است. کشیدگی tail (دم) باکس پلاتها می‌تواند معرف نمونه‌هایی باشد که به نحوی ازانحاء، در مقادیر غیر معمول خود را نشان داده‌اند. بنابراین باکس پلات عناصری همچون طلا، جیوه، نقره، مولیبدن، ارسنیک، آنتیموان، روی و تا حدودی مس نشانده‌نده این وضعیت می‌باشد. البته لازم است به این نکته اشاره شود که حد بالای این عناصر به استثناء چند عنصر، شاید نشانگر مقادیر ناهنجار نباشد، اما وضعیت جامعه و بررسی حدود بین چارکی، این وضعیت را القاء می‌کند. بهر صورت بررسیهای آماری و به ویژه آمارتک متغیره، به عنوان پایه‌ای برای برداشت‌های بعدی محسوب می‌شود.

بحث اینکه منشاء این مقادیر خارج از رده و فوق العاده از کجاست، دیر زمانی است در بین نظریه پردازان و کارشناسان رواج داشته و یکی از احتمالات زیر در مورد آنها صادق خواهد بود.

- مقادیر خارج از رده و فوق العاده ناشی از خطای آزمایشگاهی است.

- مقادیر خارج از رده و فوق العاده ناشی از شماره گذاری اشتباه و یا آلودگی در محیط نمونه برداری یا آماده سازی است.

- مقادیر خارج از رده و فوق العاده بطور ایده آل نمایانگر بروزدهای کانساری هستند. در مورد احتمال سوم راههایی برای اثبات یا رد آن وجود دارد که از آن جمله می‌توان به بررسیهای کنترل آنومالی (Anomaly checking)، نمونه برداری مجدد (کنترلی) و نمونه برداری کانی سنگین و انطباق ناهنجاریهای پاراژنزی و بررسیهای آمار چند متغیره اشاره

نمود. راه کنترل آزمایشگاه نیز از طریق بررسی نمونه‌های تکراری است که در فصول پیشین به آن پرداخته شد.

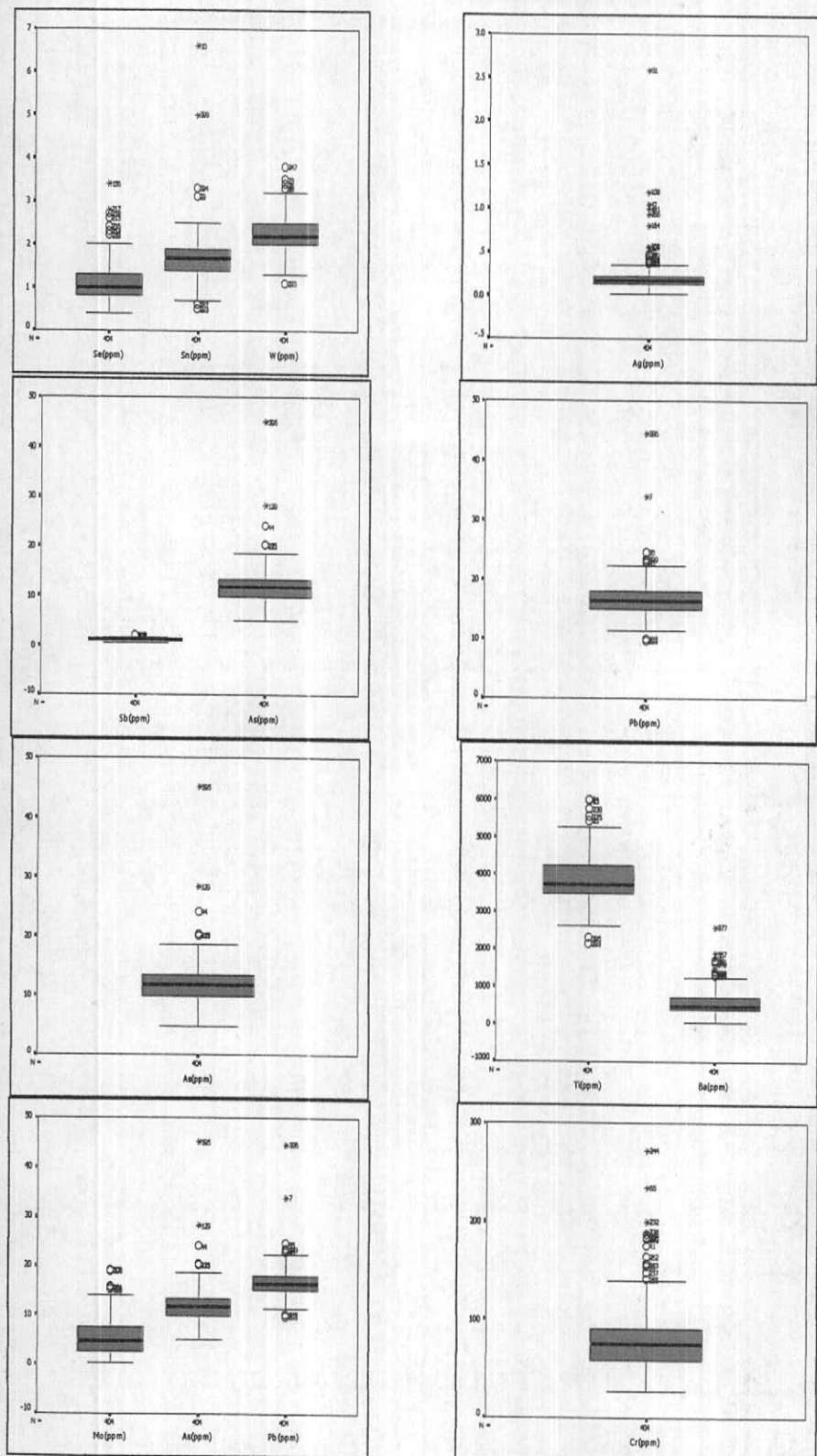
### ۳-۳- بررسی ضرایب همبستگی

رابطه دو عنصر (متغیر) با یکدیگر و نحوه این ارتباط و جهت گیری و میزان آن با توجه به پیشرفت‌های نرم افزاری به صورت ضرایب همبستگی و نمودارهای پراکنش براحتی قابل بررسی و تعمق است. ضریب همبستگی در حد بین ۰ تا ۱ در نوسان است، عدد صفر نمایانگر عدم همبستگی بین دو متغیر و عدد یک بیانگر همبستگی کامل آن دو است. این محاسبات بر مبنای ضریب همبستگی (Spearman) در نرم افزار SPSS محاسبه شده که این روش وابستگی محاسبات را به نوع تابع توزیع تاحد ممکن کاوش می‌دهد.

### ۳-۴- محاسبه ضریب همبستگی و بررسی اعتبار آنها

هنوز هم در بسیاری از محاسبات دو متغیره، ضرایب همبستگی به عنوان یکی از اصول شناخته شده بکار می‌رود و بسیاری از کارشناسان دامنه پاراژنتیک عناصر را بر اساس ضرایب همبستگی آنها می‌سنجند. چندی پیش از آن، برای اعتبار ضرایب همبستگی، حدی تعريف شده ( $\pm 0.5$ ) قرار داده و بعضی دیگر از صاحب نظران را عقیده بر آن بود که برای یافتن ضریب همبستگی معتبر بایستی از جوامع نرم‌مال استفاده کرده و بنابراین به نرم‌مال کردن داده‌ها با استفاده از نرم افزارهای گوناگون می‌پرداختند. همزمان با پیشرفت نرم افزارهای آماری و امکان محاسبات اتوماتیک حد اعتبار (Significant Level)، دیگر مبنای اعتبار از ( $\pm 0.5$ ) تغییر کرد و بر اساس تعداد نمونه‌ای که مبنای سنجش ضرایب همبستگی بود حد اعتبار ممکن بود بسیار پایینتر یا بالاتر قرار گیرد. تعريف همبستگی را بطور ساده میزان تغییرات دو متغیر نسبت به همدیگر عنوان کرده‌اند که می‌تواند دارای روند کاوهنده، افزاینده و یا فاقد روند مشخص باشد. ضریب همبستگی مبنای محاسبات رگرسیون و پیش‌بینی متغیری از روی متغیر دیگر و بدست آوردن فرمول دقیق رگرسیون و نوع آن است. اما بنظر می‌رسد همیشه دامنه همبستگی‌ها معرف واقعیات پاراژنتیکی عناصر نباشد دلایل این امر به شرح زیر می‌باشد:

- عوامل سیستماتیکی در دستگاههای آنالیز وجود دارد که گاه‌آ باعث ایجاد همبستگی‌های بسیار کاذب شده و کارشناسان را با مشکل رویرو می‌کند. این عوامل بایستی در هنگام آنالیز



شکل ۲-۳: نمایش باکس پلات (نمودار جعبه ای) برخی از عناصر در برگه ۱:۱۰۰،۰۰۰ گرمی

نمونه‌ها کاملاً شناسایی شده و نقش آنها به حداقل رسد. در بسیاری از این موارد در صورت عدم احاطه کامل به پارازنژهای واقعی در طبیعت، ممکن است کارشناسان با مواردی گمراه گشته هم رو برو و شوند.

۲- در مجموعه داده‌ها (به فرض اینکه روش آنالیز تا حد امکان معتبر باشد) وجود تنها یک نمونه خارج از رده (Outlier) می‌تواند به صورت مشهودی ضریب همبستگی را بالا ببرد، درصورتیکه همبستگی واقعی شاید به مراتب کمتر از مقداری باشد که نرم افزار گزارش کرده است.

۳- به تجربه ثابت شده که در مطالعات ناحیه‌ای و نیمه تفصیلی و حتی در بعضی اوقات در مطالعات تفصیلی، همبستگی‌های یک جامعه معرف دو یا چند زیر خانواده می‌باشند، که در هم ادغام شده و بعضاً نتایج همبستگی ضعیفی را نشان می‌دهند. اما اگر زیر خانواده‌ها که متأثر از عواملی همچون زمین شناسی، آلتراسیون، مینرالیزاسیون و ... می‌باشند، شناسایی شده و از هم جدا شوند، ضریب همبستگی به دست آمده اعتبار بیشتری خواهد یافت.

۴- ضریب همبستگی متأثر از تعداد نمونه‌ای است که محاسبات بر مبنای آن واقع شده، در تعداد اندک نمونه، بعضاً ضرایب همبستگی معتبری بدست نخواهد آمد.

باتوجه به مطالب مطرح شده و برای درک بیشتر این مسئله محاسبه ضریب همبستگی در سری داده‌ها امری اجتناب ناپذیر می‌باشد. محاسبه ضریب همبستگی از راههای گوناگون امکانپذیر است، که حساسیت بعضی از آنها به نرمال بودنتابع توزیع، مانع کارایی آنها در سایر توابع توزیع می‌شود. انتخاب بهینه روش محاسباتی ضریب همبستگی آن است که به نوع تابع توزیع وابستگی چندانی نداشته باشد. با توجه به مراتب بالا در محاسبه ضرایب همبستگی، از توابع ضریب همبستگی رتبه‌ای اسپیرمن استفاده نموده‌ایم.

آنچه که در سر فصل این مبحث عنوان شد به خوبی خود را در ماتریکس ضریب همبستگی متغیرها در جدول شماره ۳-۲ نشان داده است به طور مثال ضریب همبستگی با مقدار  $64,000$ - در حد اطمینان  $99\%$  قابل اعتبار است و این امر به دلیل تعداد زیاد داده ( $40$  نمونه) می‌باشد، بدیهی است در صورت عدم استفاده از توانایی‌های نرم افزاری این ضریب همبستگی را مطمئناً غیر معتبر تلقی می‌کردیم.

آنچه که در این جدول بایستی به آن بیشتر توجه کرد همبستگی بالای بین مس و مولیبدن است. بیشترین همبستگی مثبت ماین  $Cu-Mo$ ، با ضریب همبستگی  $0.812$  و

یишترین همبستگی منفی ماین  $\text{Sr-Bi}$  با ضریب  $0.579$  - دیده شده است. در زیر به چند عنصر مهم و همبستگی های آنها اشاره شده است.

### عنصر طلا

یишترین همبستگی طلا با  $\text{Sb}$  (0.236) و پس از آن با  $\text{Zn}$  (0.225) و در پی آن با  $\text{Cu}$  (0.201) مشخص شده که هر سه این همبستگی ها در حد اعتبار ۹۹٪ قابل اطمینان است. بین طلا و پارازنژهای ذاتی آن از جمله  $\text{As}, \text{Sb}, \text{Bi}$  همبستگی مشاهده شده است. مقادیر این همبستگی ها به ترتیب عبارتست از  $\text{Au-Sb}(0.236), \text{Au-Bi}(0.157), \text{Au-As}(0.190)$

### عنصر مس

یишترین همبستگی عنصر مس با مولیبدن و به میزان ۰.۸۱۲ گزارش شده است و همبستگی های بعدی معتبر آن با بریلیوم، تیتان و کبات می باشد. همبستگی های منفی این عنصر با بیسموت، نیکل و کروم مشخص شده است.

### عنصر سرب

همبستگی های مثبتی بین سرب با عناصر  $\text{W}, \text{Ti}, \text{Be}, \text{Zn}, \text{Cu}, \text{Co}, \text{As}$ ،  $\text{Pb-Bi}$  (0.104) تا حداقل  $\text{W}$  (0.561) گزارش شده است. این مقادیر بین حد اکثر (در حد اعتبار ۹۹٪) ماین این عنصر و در صورتیکه هنوز همبستگی های مثبت و معنی داری (در حد اعتبار ۹۹٪) ماین این عنصر و عناصر  $\text{Se}, \text{Bi}, \text{Ba}, \text{B}, \text{Au}, \text{Ag}$  نیز در مرحله دوم دیده می شود، در ضمن همبستگی های منفی و نسبتاً قوی و معتبری (در حد اعتبار ۹۹٪) ماین سرب و استرانسیوم (۰.۱۹۶) و سرب و کروم (۰.۲۷۴) نیز دیده شده است، آنچه که جالب توجه است این است که سرب با ۲۰ عنصر دیگر به استثنای عناصر نیکل و سلنیوم همبستگی معتبری نشان داده است.

### عنصر روی

این عنصر حاوی بیشترین همبستگی  $\text{Zn-Cu}(0.649)$  و  $\text{Zn-Co}(0.649)$  در بین جدول ضرایب همبستگی است و همبستگی های مثبت و معتبری نیز با عناصر بریلیوم، تیتان، سرب و انتیموان نیز نشان داده است، همبستگی منفی و معتبری نیز بین عنصر روی با عنصر استرانسیوم دیده شده است.

میانگین اسپرمن (Spearman) در داده های خام

## عنصر باریم

بیشترین همبستگی باریم با عنصر بریلیوم (۵۲۳) و در پی آن با عنصر تیتان، سرب، مس و استرانسیوم گزارش شده است. همبستگی های منفی و معنی دار Ba-Ni، Ba-Cr، Ba-Bi نیز در جدول دیده شده است.

## ۵-۳- جدایش جوامع سنگی و اهمیت آن:

یکی از اصول برداشت نمونه های ژئوشیمیایی این است که آنها معرف ترکیب لیتولوژیهای مختلف و عوامل تأثیرگذار بر آنها در فرا دست خود می باشند. بنابراین فرض همگن بودن جامعه آماری آنها بدون توجه به بعضی از پیش فرضها از بین رفته و تجزیه و تحلیل آنها تابع روند ویژه ای خواهد بود تا بتوان حتی الامکان به تعیین مناطق پر پتانسیل اقدام نمود.

با توجه به این امر که یکی از اهداف تجزیه و تحلیل داده ها شدت بخشی به میزان آنومالیهای وابسته به کانی سازی است، آشنایی به مکانیزم های مرکز و پراکندگی عناصر در محیط های مختلف سطحی و علم به طبیعت آنومالیهای مرتب با کانی سازی، از پیش شرط های اولیه این امر است. از جمله مهمترین عوامل تغییر دهنده، محیط سطحی، نوع سنگ بستر رخنمون دار است که آبراهه ها آنرا قطع می کنند. این سنگها به عنوان منشاء رسوبات حاصل از فرسایش آنها هستند، در تعیین کمی نقش این متغیر همچنین در تعیین مقدار زمینه و حد آستانه ای محلی و ناحیه ای ضروری هستند. بالا بودن اثر سرشکن شدگی (Average Effect) در رسوبات آبراهه ای و رسوبات رودخانه ای بطور چشمگیری این محیط را از سایر محیط های نمونه برداری متمایز می کند و در واقع همین اثر کمک می کند که رسوب برداشت شده ترکیب متوسط حوضه آبریز واقع در بالا دست خود را معرفی نماید. در واقع همین خاصیت رسوبات آبراهه ای است که بر اساس آن کارشناسان قادر خواهند بود تا سریهایی از داده های ژئوشیمیایی سیستماتیک را در مقیاس ناحیه ای تنظیم نموده و بر اساس آن نقشه های توزیع عناصر کمیاب را تهیه کنند.

سنگهای واقع در بالا دست نمونه ها حاوی مقدار زمینه متفاوتی از عناصر مورد بررسی می باشند. بنابراین بنظر می رسد یکی از مهمترین عوامل ایجاد ناهمگنی در جامعه نمونه های ژئوشیمیایی، فاکتور تغییرات لیتولوژی در سنگهای ناحیه منشاء باشد. این ناهمگنی خود

موجب انحرافاتی در تحلیل داده‌ها خواهد شد. بنابراین بایستی در مرحله اول سنگهای بالا دست نمونه‌ها شناخته شود و تنوع این سنگها در تأثیر بر نمونه‌ها نیز مطالعه گردد. این اطلاعات از برگه ۱۰۰،۰۰۰ : ۱ زمین شناسی گرمی گرفته شده است. این نقشه بعد از اسکن شدن، رقومی شدن، ژئوفرنس شدن و انطباق بر روی آبراهه‌ها و نمونه‌های طراحی شده با استفاده از امکانات نرم افزاری آماده شده است.

در این مرحله اهمیت نقشه زمین شناسی و دقت در تهیه آن اولویت خود را بروز خواهد داد. در نقشه زمین شناسی ۱۰۰،۰۰۰ : ۱ گرمی واحدهای لیتولوژی در گستره زمانی از اونسن تا رسوبات عهد حاضر وجود دارد.

واحدهای اونسن والیگو میوسن در جنوب و جنوب شرق برگه و بخش‌های شمال و شمال شرق نقشه توسط نهشته‌های عهد حاضر پوشیده شده است. واحدهای رسوبی و آذرین در جدول ۳-۳ خلاصه شده‌اند.

جدول ۳-۳: خلاصه سنگهای رسوبی و آذرین برگه ۱۰۰/۰۰۰ : ۱ گرمی

| آهک و دولومیت  | رسوبی |
|--|-------|
| مارن   |       |
| فورش سنگ   |       |
| ماسه سنگ و کنگلومرا                                    |       |
| پیروکسن آندزیت بازالت (محدوده بسیار کوچکی در غرب برگه) | آذرین |

چنانچه تمامی این واحدهای در بررسی واحدهای بالادرست مدنظر باشد، تنوع بیش از حد جنس‌ها باعث می‌شود که جوامع بدست آمده برای بررسیهای آماری از کثرت مطلوب اعضاء برخوردار نشوند. بنابراین برای پرهیز از این مشکل، خلاصه سازی در واحدهای لیتولوژی در دستور کار قرار گرفت با شناخت لیتولوژیکی واحدهای واحدهای و با هدف کاهش تنوع آنها و درنهایت افزایش اعضای هر گروه تقسیم بندی جدیدی بر مبنای جنس واحدهای صورت گرفت. نقشه شماره ۳ پیوست نتیجه خلاصه سازی واحدهای مختلف لیتولوژی را نشان می‌دهد. در این تقسیم بندی عامل زمانی نقشی ندارد بدین معنی که جنس آهک و یا بطور کلی واحدهای کربناته بدون توجه به زمان تشکیل آنها مدنظر بوده است. علت عدم توجه به تقسیم بندی زمانی پرهیز از تنوع بیش از حد است که این مسئله تحلیل آماری آنها

را با مشکلات عدیدهای روبرو خواهد کرد. جدول شماره ۴-۳ نتیجه این خلاصه سازی را در بر دارد.

جدول شماره ۴-۳ علائم اختصاری و خلاصه سازی با توجه به جنس سنگها

| ردیف | علامت اختصاری | شرح                                   | واحدهای لیتولوژی نقشه ۱:۱۰۰/۰۰۰ زمین شناسی   |
|------|---------------|---------------------------------------|--|
| ۱    | AL            | Alluvium                              | $Q^{al}-Q^{l2}-Q^{tl}$                       |
| ۲    | FGS           | Coarse to medium grain size sediments | $O^S-E_3-Q_{ba}-OM^{z3}-OM^{z3}-M_1-M_2-M_4$ |
| ۳    | CGS           | Fine grain, Size sediments            | $Q^c-OM^{zc2}-OM^{zc1}$                      |
| ۴    | GMC           | Gypsiferous Marl                      | $E_1-OM^{zl}-OM^{z2}-OM^{z5}-M_3$            |

۱-۳-۵-۳- رده بندی نمونه ها بر اساس تعداد سنگهای بالا دست  
بر اساس تقسیم بندی ارائه شده در جدول شماره ۴-۳ رده بندی نمونه ها بر حسب  
تعداد سنگ بالا دست به شرح زیر به دست آمده است.

الف: زیر جامعه تک سنگی: ۱۹۷ نمونه (در ۳ تیپ سنگ مختلف)

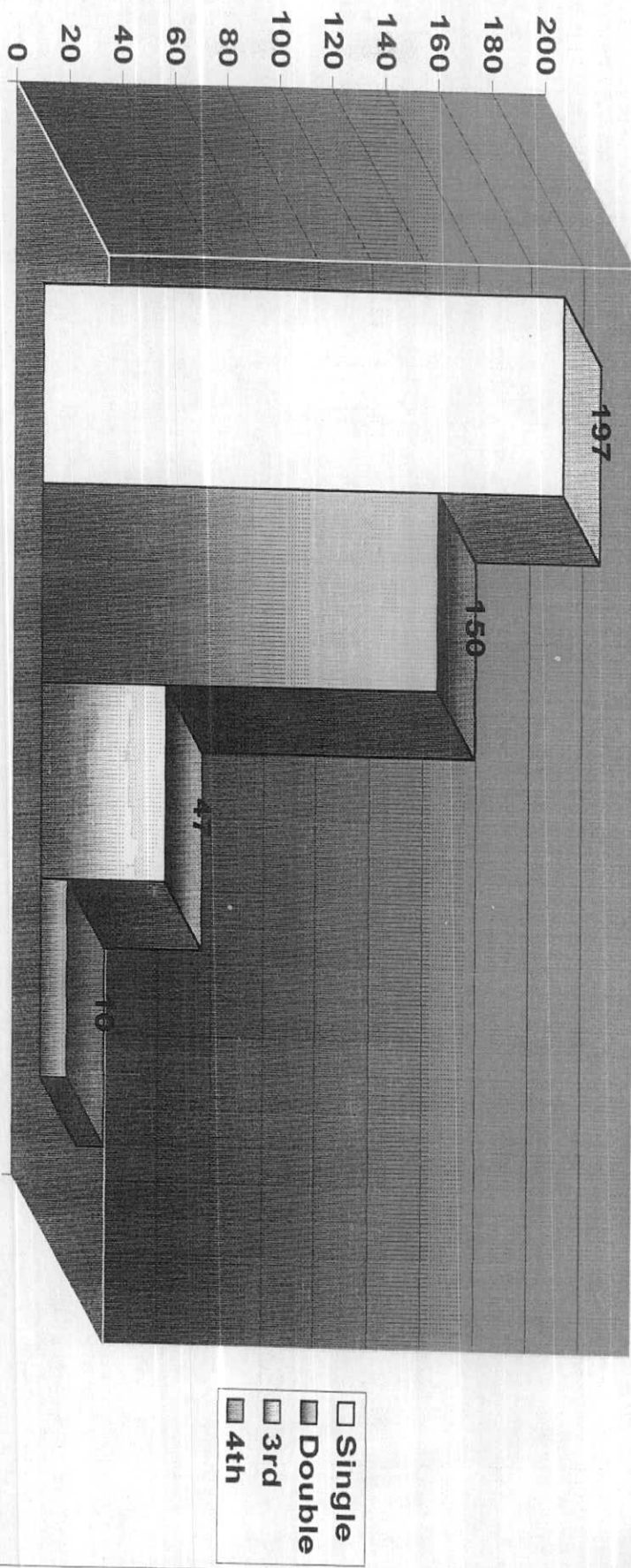
ب: زیر جامعه دو سنگی: ۱۵۰ نمونه (در ۴ تیپ مجموعه دو سنگی)

ج: زیر جامعه سه سنگی: ۷۴ نمونه (در ۴ تیپ مجموعه سه سنگی)

د: زیر جامعه چهار سنگی: ۱۰ نمونه (در ۱ تیپ مجموعه چهار سنگی)

زیر جامعه تک سنگی در بردارنده نمونه هایی است که در بالا دست خود در حوضه آبریز فقط یک نوع سنگ بستر رخمنون دار داشته باشد. البته در این تقسیم بندی تعداد ۹۹ نمونه های آلوویوم نیز درون مجموعه تک سنگی ها قرار دارند. به همین ترتیب زیر جامعه دو، سه و چهار سنگی معرف به ترتیب، دو، سه و چهار نوع سنگ بستر رخمنون دار در فرادست محل برداشت نمونه هاست. نتیجه این تقسیم بندی در محاسبه مقادیر زمینه و حد آستانه هر محیطی (هر جامعه ای) بطور جداگانه نمود خواهد داشت، پیرو این تقسیم بندی درجه همگنی جوامع افزایش یافته و امکان بررسی تمامی داده ها فراهم می گردد. نمایش توزیع فراوانی، تعداد نمونه های ژئوشیمیایی براساس سنگ بالا دست از هیستوگرام شکل ۴-۳ استفاده شده است. در این هیستوگرام مقایسه تعداد سنگهای بالا دست به آسانی مقدور خواهد بود.

شکل ۳-۴: نمودار توزیع جوامع تا چهار سنگی در نتشه UPSRT



### ۳-۵-۲- رده بندی نمونه‌ها بر اساس نوع سنگهای بالا دست:

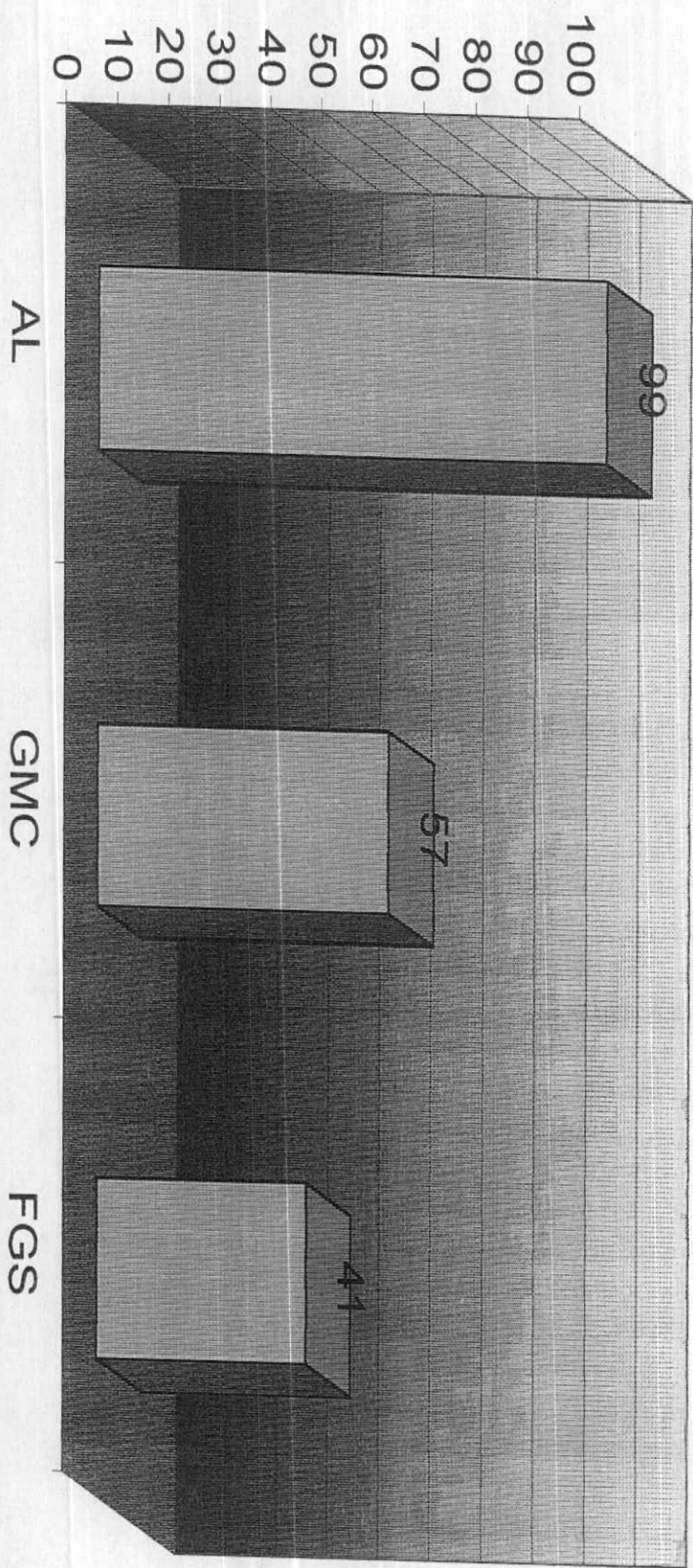
بر اساس نوع سنگهای بالا دست نیز به نوعی رده بندی می‌توان دست یافت. بدین صورت که زیر جامعه تک سنگی خود به چندین خانواده از انواع مختلف سنگها تقسیم شده و به همین ترتیب زیر جامعه دو سنگی نیز می‌تواند ترکیبات مختلفی از جامعه دو سنگی‌ها را بسته به نوع ترکیب در اختیار گذارد.

با این هدف و برای تعیین فراوانی و شناخت اولیه در زمینه نوع و تعداد خانواده‌های هر زیر جامعه هیستوگرام‌هایی در قالب اشکال ۳-۷ تا ۳-۵ تنظیم شده است. بر این اساس خواهیم داشت:

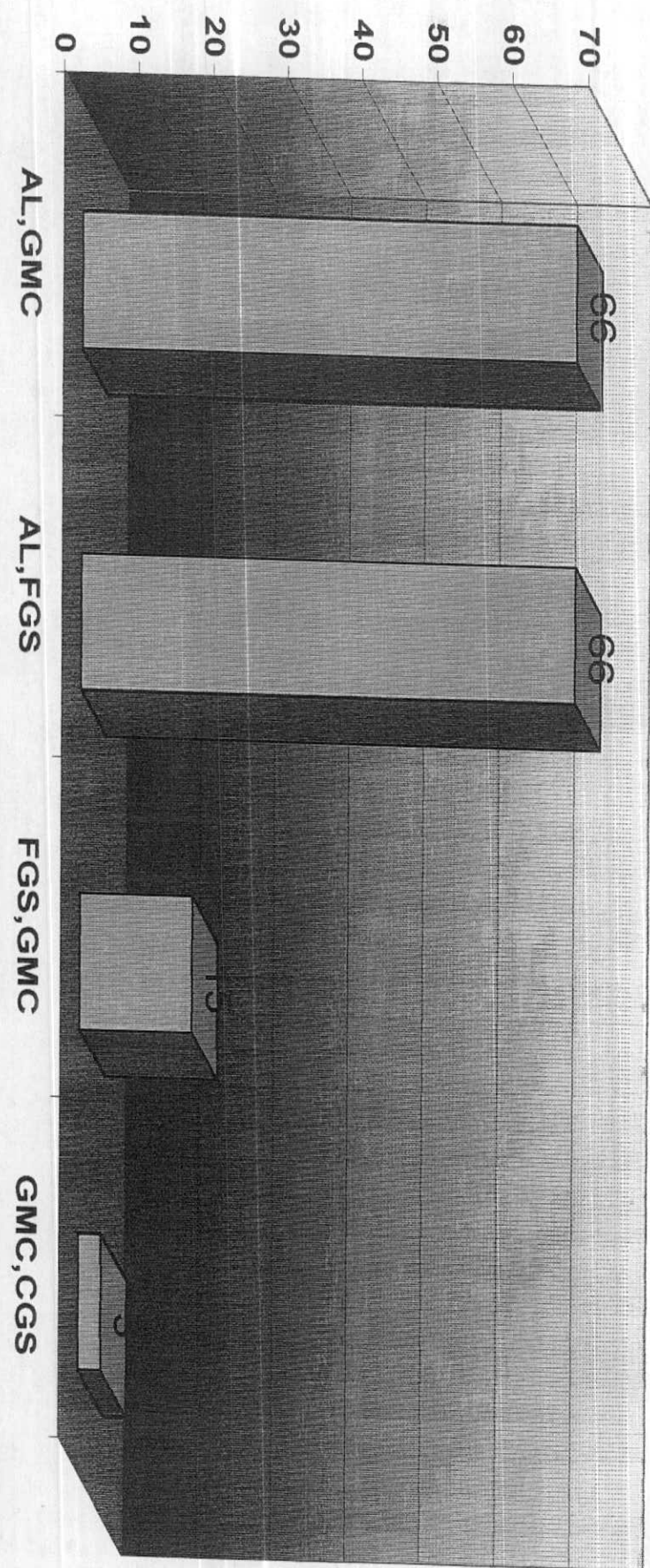
### ۱-۳-۵- پردازش داده‌های جوامع تک سنگی

در محدوده برگ ۰۰۰،۱:۱۰۰ گرمی، از مجموع ۴۰۶ نمونه رسوب آبراهه‌ای تعداد ۱۹۷ نمونه آنرا نمونه هائی تشکیل می‌دهد که در بالا دست آنها فقط یک نوع سنگ بستر رخمنون دارد. در بین این تیپ سنگهای بالا دست، مجموعه آلوویوم، از نظر فراوانی مقام اول را دارا می‌باشد و بعد از آنها، سنگهای رسوبی ریز دانه، سنگهای رسوبی شیمیایی و مارنهای ژیوپسی فروس، قرار دارند. پارامترهای آماری جوامع فوق محاسبه شده تا از آن طریق بتوان مقادیر هر عنصر در آن جامعه را به مقدار میانه همان جامعه تقسیم کرد. حاصل این تقسیم ضرایب غنی شدگی Enrichment Index عنصر مربوطه خواهد بود. در مواردی که تعداد نمونه‌ها در جامعه آماری مربوطه کمتر از ۱۰ نمونه بوده است، آن جامعه در بررسیهای آماری قرار نگرفته بلکه مجموع چنین جوامعی با همدیگر جمع شده تا به صورت یک جامعه مرکب درآید. سپس از طریق آنالیز کلاستر، به تعداد محدودی مجموعه همگن که در هر کدام از آنها تعداد نمونه کافی برای تحلیل آماری وجود داشته باشد تقسیم شده‌اند. سپس ضرایب غنی شدگی این مجموعه‌های کلاستری نیز بدست آمده و درنهایت تمام ضرایب غنی شدگی مجدد در یک فایل کلی برای پردازش و ترسیم نقشه آماده شده‌اند.

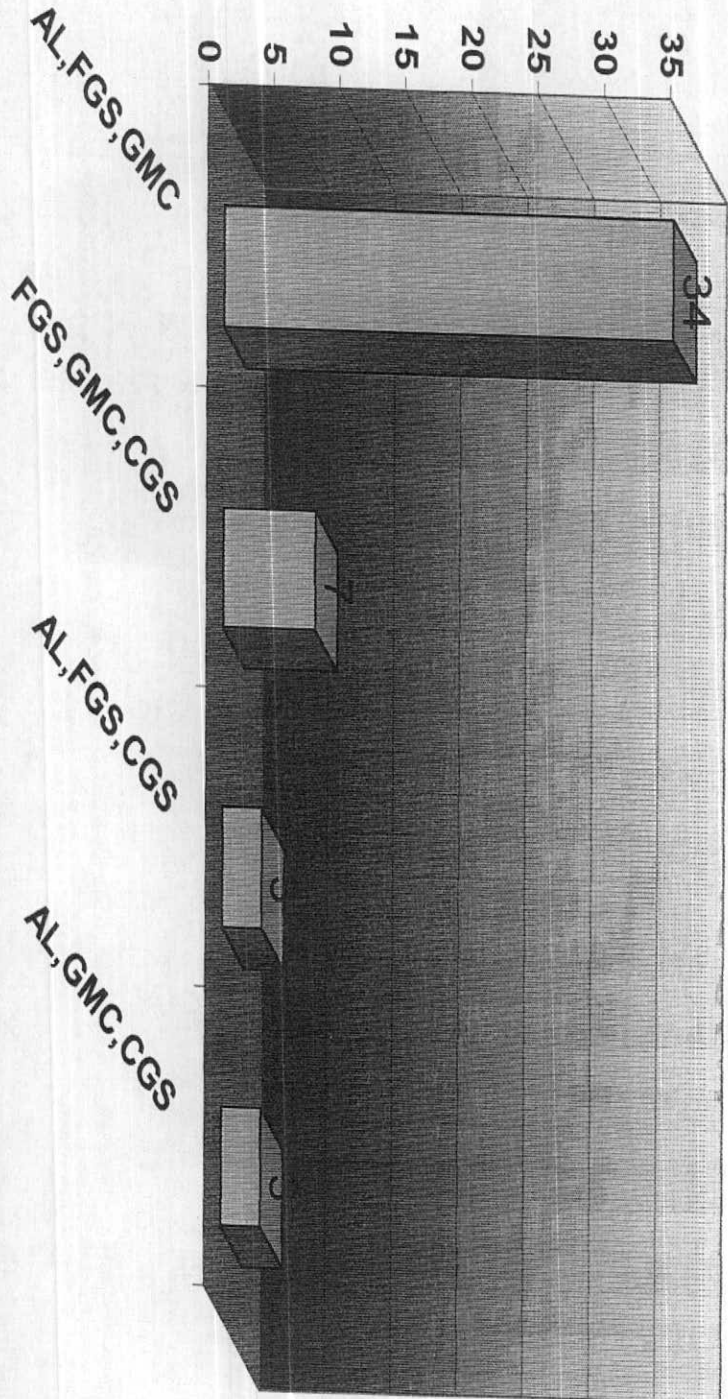
شکل ۵-۳: نمودار انواع خانواده های جوامع تک سنگی



شکل ۶-۳: نمودار اثراع خانواده های جوامع دو سنگی



شکل ۷-۳: نمودار انواع خانواده های جامعه سه سنگی



### ۳-۵-۲-۳- پردازش داده های جوامع دوسنگی

در جامعه نمونه هایی که از دو تیپ سنگ بالا دست سرچشم می گیرند، ۱۵۰ نمونه قرار دارد تعداد سه تیپ از این مجموعه در بر گیرنده جوامعی است که تعداد نمونه های آنها ۱۰ یا بیشتر از آن است این گروهها عبارت است از:

(Al, FGS) , (AL, GMC) , (FGS, GMC) ,(CGS, GMC)

گروهها نیز همانند گروههای تک سنگی بعد از محاسبه، جدول پارامترهای آماری در هر جامعه و بدست آوردن میانه آن، ضرایب غنی شدگی محاسبه شده است.

### ۳-۵-۲-۴- پردازش داده های جوامع سه سنگی و بیشتر

در مجموع نمونه هایی که از سه سنگ بالا دست یا بیش از آن سرچشم گرفته اند دو جامعه قرار دارد. این جوامع عبارتند از (Al, FGS, GMC) مربوط به جامعه سه سنگی و (AL, CGS, FGS, GMC) مربوط به جامعه چهار سنگی. همانند پردازش جوامع تک سنگی و دوسنگی در این مورد نیز با محاسبه جداول پارامترهای آماری، ضرایب غنی شدگی آنها محاسبه می شود.

### ۳-۵-۲-۵- پردازش جوامع کمتر از ده نمونه با استفاده از روش آنالیز کلاستر

بطور کلی آنالیز کلاستر یکی از متدهای چند متغیره است که هدف اولیه آن تفسیر ساختار ماتریس واریانس - کوواریانس مجموعه ای از داده های چند متغیره می باشد. آنالیز کلاستر با برقراری ارتباط بین مجموعه ای از متغیرهای به ظاهر بی ارتباط، در شناخت یک مدل فرضی فرمایین آنها اقدام کرده و به کاهش ابعاد متغیرها می پردازد. دو نوع تجزیه و تحلیل در این رابطه وجود دارد:

#### ۱- تجزیه و تحلیل نوع R-Mode :

در این مقایسه روابط و تعیین بستگی های بین پارامتری متغیرها (غلظت عناصر) مدنظر است بنابراین با استفاده از این روش عناصر اصلی موجود در یک مجموعه ژئوشیمیایی شناخته می شوند.

## ۲- تجزیه و تحلیل نوع Q-Mode

هدف از این بررسی تعیین و ارزیابی همبستگی‌های موجود بین نمونه‌های مختلف بر حسب تغییر متغیرهایی نظیر آنالیز و ترکیب شیمیایی سنگهاست، در این روش نمونه‌های مشابه در گروه‌های مختلف قرار می‌گیرند. مجموعه تمامی نمونه‌هایی که تعداد آنها در جوامع مختلف سنگ بالا دست کمتر از ۱۰ عدد بوده در این نوع تجزیه و تحلیل وارد شده و در نهایت دو گروه از مجموعه ۱۶ نمونه بدست آمد. در گروه اول کلاستر، ۱۰ نمونه و در گروه دوم ۶ نمونه قرار گرفتند. محاسبات آماری و تعیین ضرایب غنی شدگی این جامعه نیز همانند جوامع بالا (تک سنگی دو سنگی و سه سنگی) بر روی این دو گروه کلاستری نیز به انجام رسیده و در نهایت تمامی ضرایب غنی شدگی جوامع مختلف (اعم از تک سنگی، دو سنگی، سه سنگی و بیشتر و گروه‌های کلاستری) مجدداً در یک فایل قرار گرفته است. در این فایل اثر سنگ به نحو مطلوب خنثی شده و آماده ترسیم نقشه‌ها خواهد بود. (پیوست

شماره ۳)

## فصل چهارم

تخمین مقدار زمینه - شاخص غنی شدگی و پردازش آن

## ۱-۴- نقش سنگ بستر در ارزیابی مقدار زمینه و حد آستانه‌ای

مقادیر عناصری که از طریق نتایج آنالیز نمونه‌ها حاصل می‌شود، به دو مؤلفه سنتریک (وابسته به زایش سنگ) و اپی ژنتیک (وابسته به فرآیندهای ثانویه از جمله کانی سازی احتمالی) تقسیم می‌شوند. مقادیر سن ژنتیک هر عنصر که در لیتولوژیهای گوناگون، مقادیر متفاوتی را در بر دارد، در صورت عدم آگاهی، به نوعی آنومالی قلمداد می‌شود که در اصل آنومالی کاذب است و معرف هیچگونه فرآیند ثانوی در آن محیط نمی‌باشد. بنابراین ویژگی زایشی سنگها (که رسوبات آبراهه‌ای نیز از آنها منشاء می‌گیرند) بایستی دقیقاً مورد بررسی قرار گرفته و میزان تمرکز و یا تهی شدگی عنصر (عناصر) در آنها شناخته شود. از این راه قدرت مؤلفه‌های سن ژنتیک و اپی ژنتیک به راحتی مشخص خواهد شد. بطور مثال عناصری که در سنگهای اولترامافیک و حتی مافیک دارای مؤلفه‌های سن ژنتیک قوی می‌باشند، شامل عناصر  $\text{Co}, \text{Cr}, \text{Ni}, \text{V}, \text{Mn}$  بوده که معمولاً در کانه‌هایی با وزن مخصوص بالا ظاهر می‌شوند. این افزایش مقدار عناصر که هیچگونه ارتباطی با کانی سازی ندارد، باعث افزایش مقدار زمینه و در نتیجه کم رنگ شدن و یا محو شدن آنومالیهای واقعی خواهد شد. در مناطق خشک و کویری که هوازدگی شیمیایی نقش فعالی را در بر ندارد، مجموعه عناصر حساس به نوع لیتولوژی، بیشتر در ذرات درشت‌تر ظاهر شده و بنابراین برداشت نمونه از جزء ریزدانه‌تر می‌تواند در زمینه معرفی ناهنجاریهای واقعی، روش مناسبی تلقی گردد. از عناصری که با سنگهای فلزیک همراهی ژنتیکی دارند می‌توان به  $\text{Sr}, \text{Ba}, \text{Pb}, \text{Be}$  اشاره کرد که ممکن است آنومالیهای کاذبی را باعث شود. این عناصر به صورت سن ژنتیک در کانه‌های سازنده سنگ، مانند فلدسپاتها و میکاها جای می‌گیرند.

## ۲- بررسی مقادیر کلارک سنگهای رخمنون دار در منطقه:

بررسی مقدار کلارک عناصر در سنگهای مختلف منطقه می‌تواند معرف حساسیت یا تغییرات غلظت یک عنصر در سنگهای مختلف باشد. به تبع آن تغییرات مقدار زمینه نیز می‌تواند نسبت به تغییرات جنس سنگ بستر به شدت حساس باشد. بنابراین توجه به نوع محیط سنگی در راستای تعیین مقدار زمینه امری الزامی است. در این مرحله هر کدام از سنگهای رخمنون دار منطقه، تیپ جهانی آن و زمینه جهانی آن (مقادیر کلارک) مقایسه می‌گردد. این مقایسه می‌تواند منجر به درک میزان غنی شدگی و تهی شدگی احتمالی گردد.

### جدول ۱-۴ - میزان متوسط فراوانی عناصر در سنگهای رسوبی و آذرین

| Element | Sedimentary Rocks |      | Igneous Rocks |                  |       | Max/Mi<br>n |
|---------|-------------------|------|---------------|------------------|-------|-------------|
|         | LM                | SH   | Acidi<br>c    | Intermedia<br>te | Basic |             |
| Ag(ppm) | 1                 | 0.05 | 0.04          | 0.07             | 01    | 25          |
| As(ppm) | 2.5               | 15   | 1.5           | 2                | 2     | 10          |
| Au(ppb) | 5                 | 4    | 4             | 4                | 4     | 1.25        |
| B(PPm)  | 10                | 100  | 15            | 20               | 5     | 20          |
| Ba(ppm) | 100               | 700  | 600           | 500              | 250   | 7           |
| Be(ppm) | 1                 | 3    | 5             | 2                | 0.5   | 10          |
| Bi(ppm) | -                 | 0.18 | 0.1           | -                | 0.15  | 1.8         |
| Co(ppm) | 4                 | 20   | 1             | 10               | 50    | 50          |
| Cr(ppm) | 10                | 100  | 4             | 20               | 200   | 25          |
| Cu(ppm) | 15                | 50   | 10            | 30               | 100   | 10          |
| Hg(ppm) | 0.05              | 0.5  | 0.08          | 0.08             | 0.08  | 10          |
| Mn(ppm) | 1100              | 850  | 500           | 1200             | 2200  | 4.4         |
| Mo(ppm) | 1                 | 3    | 2             | 1                | 1     | 3           |
| Ni(ppm) | 12                | 70   | 0.5           | 20               | 150   | 300         |
| Pb(ppm) | 8                 | 20   | 20            | 15               | 5     | 4           |
| Sb(ppm) | -                 | 1    | 0.2           | 0.2              | 0.2   | 5           |
| Se(ppm) | 0.08              | 0.6  | 0.05          | -                | 0.05  | 12          |
| Sn(ppm) | 4                 | 4    | 3             | 2                | 1     | 4           |
| Sr(ppm) | 500               | 300  | 285           | 450              | 465   | 1.75        |
| Ti(ppm) | 400               | 4600 | 2300          | 8000             | 9000  | 22.5        |
| W(ppm)  | 0.5               | 2    | 2             | 2                | 1     | 4           |
| Zn(ppm) | 25                | 100  | 40            | 60               | 100   | 4           |

From: Levinson, A.A 1974 Introduction to Exploration Geouchemistry

### ۳-۴- تحلیل ناهمگنی ها

همگونی در یک جامعه آماری که بر حسب نوع کسب اطلاعات (نمونه برداری - سرشماری) شکل گرفته، بستگی به منشاء اطلاعات دارد، این اطلاعات می توانند عاملی در ایجاد ناهمگنی آماری در جوامع باشند. بنابراین در مسیر دستیابی به یک جامعه همگن آماری، بایستی عوامل ناهمگن ساز را از منشاء شناسایی و در راه حذف یا تعديل آنها گامهای مؤثری برداشت. در نمونه های رسوبات آبراهه ای، تنوع لیتولوژی در سنگهای بالا دست از مهمترین عوامل ناهمگن ساز محسوب می شود همانگونه که در فصل سوم نیز به آن اشاره شد، برای دستیابی به جوامع یکدست و همگون که از طریق آنها می توان به مقدار زمینه واقعی تری دست یافت، اقدام به جداسازی نمونه ها بر اساس سنگ بستر رخمنون دار در محدوده حوضه آبریز بالا دست هر نمونه شده است. این سنگها می توانند مقادیر زمینه متفاوتی از عناصر مورد بررسی را در برداشته باشند. بعد از جداسازی تنوعات گوناگونی که در این حوضه ها می توانست وجود داشته باشد (جوامع تک سنگی، دو سنگی و ...) با روشهای آماری نتایج آنها به گونه ای نرماییز شده و سپس نتایج حاصله با یکدیگر مقایسه شده و تشابهات و تضادهای بدست آمده مورد تجزیه و تحلیل قرار گرفت. این نتایج ماحصل پردازش  $3^{\circ}$  تیپ تک سنگی،  $4^{\circ}$  تیپ دو سنگی،  $1^{\circ}$  تیپ سه سنگی و یک تیپ چهار سنگی که در همه آنها تعداد نمونه مساوی یا بیش از  $10$  بوده و دو گروه کلاستری می باشد.

برای نمایش تأثیر ناهمگنی ها و یا عدم تأثیر آنها اقدام به تهیه جدول شماره ۲-۴ گردید، در این جدول مقادیر میانه تمامی گروههای سنگی مشخص شده است. ازمن این جدول مشخص است که میانه مولیبدن در جامعه تک سنگی (AL,GMC) در حدود  $3$  برابر سنگهای آلویوم و حدود  $1.5$  برابر میانه کلی است که تا حدود زیادی با میزان غنی شدگی نسبی این تیپ از سنگها ارتباط منطقی نشان می دهد. مثال دیگر در این مورد افزایش نسبی مقدار باریم در جامعه تک سنگی GMC است که  $1.5$  برابر سنگهای رسوبی ریزدانه و  $1^{\circ}$  برابر میانه کلی میباشد. از موارد دیگر می توان به افزایش نسبی میانه مولیبدن در جامعه تک سنگی GMC اشاره کرد.

جدول ۳-۴: مقایسه میانه تامامی گروههای سنگی با میانه کل

| Up SRT         | Au(ppb) | Hg(ppm) | Co(ppm) | Cr(ppm) | Cu(ppm) | Mn(ppm) | Ni(ppm) | Sr(ppm) | Zn(ppm) | Be(ppm) | Ti(ppm) |
|----------------|---------|---------|---------|---------|---------|---------|---------|---------|---------|---------|---------|
| AL             | 2       | 0.025   | 19      | 75      | 41.5    | 838     | 54      | 307     | 75.2    | 1.4     | 3510    |
| AL,FGS         | 1       | 0.025   | 19.3    | 84.5    | 47.5    | 778     | 52      | 366     | 73      | 1.5     | 3590    |
| AL,FGS,GMC     | 1       | 0.025   | 20      | 83      | 55.7    | 732.5   | 51      | 394.5   | 76.25   | 1.6     | 3700    |
| AL,FGS,GMC,CGS | 2       | 0.025   | 21.95   | 73.5    | 59.85   | 653     | 36      | 596     | 75.4    | 2       | 3970    |
| AL,GMC         | 2       | 0.025   | 20.8    | 54.5    | 70.15   | 691     | 36.5    | 442     | 82.75   | 2.15    | 4235    |
| FGS            | 2       | 0.025   | 19.7    | 82      | 48.4    | 673     | 52      | 461     | 71.4    | 1.6     | 3670    |
| FGS,GMC        | 2       | 0.025   | 20.1    | 84      | 53.3    | 590     | 40      | 516     | 78.4    | 1.7     | 3880    |
| GMC            | 2       | 0.025   | 22      | 52      | 72      | 683     | 34      | 413     | 81.9    | 2.3     | 4400    |
| Total          | 2.00    | 0.03    | 19.90   | 75.00   | 52.40   | 761.00  | 49.00   | 385.00  | 76.80   | 1.60    | 3725.00 |

| Up SRT         | Ba(ppm) | Ag(ppm) | As(ppm) | Bi(ppm) | Mo(ppm) | Pb(ppm) | Sb(ppm) | Se(ppm) | Sn(ppm) | W(ppm) |
|----------------|---------|---------|---------|---------|---------|---------|---------|---------|---------|--------|
| AL             | 401     | 0.18    | 11.5    | 0.3     | 2.4     | 15.6    | 1.1     | 1.2     | 1.9     | 2.2    |
| AL,FGS         | 464     | 0.15    | 11.45   | 0.2     | 3.8     | 16.15   | 1       | 1.2     | 1.55    | 2.15   |
| AL,FGS,GMC     | 530.5   | 0.155   | 12.35   | 0.2     | 6.7     | 15.85   | 1.05    | 1       | 1.25    | 2      |
| AL,FGS,GMC,CGS | 726     | 0.205   | 9.6     | 0.15    | 6.6     | 15.65   | 0.9     | 1.05    | 1.6     | 2.5    |
| AL,GMC         | 732     | 0.23    | 12.6    | 0.2     | 7.4     | 17.8    | 1.2     | 1       | 1.7     | 2.7    |
| FGS            | 518     | 0.15    | 10.2    | 0.2     | 4.4     | 15.4    | 0.9     | 1.1     | 1.4     | 2      |
| FGS,GMC        | 493     | 0.13    | 11.4    | 0.1     | 5.1     | 15.9    | 1.1     | 1       | 1.3     | 2.2    |
| GMC            | 796     | 0.2     | 12.7    | 0.2     | 7.3     | 18.4    | 1.2     | 0.8     | 1.7     | 2.8    |
| Total          | 492.00  | 0.17    | 11.70   | 0.20    | 4.75    | 16.50   | 1.10    | 1.00    | 1.70    | 2.20   |

**۴-۴- سیمای ژئوشیمیایی جوامع مختلف بر اساس سنگ بستر بالا دست**  
برای تعیین سیمای ژئوشیمیایی جوامع مختلف بر اساس سنگ بالادست آنها به

صورت زیر عمل شده است:

- الف: محاسبه مقدار میانگین هر عنصر در هر تیپ مختلف از گروههای تک سنگی است.
- ب: ردیف بندی عناصر در یک سری متواالی (کاهنده Descending) بر اساس کاهش مقدار فراوانی آنها (بر اساس فایل اولیه داده های خام قبل از گروه بندی سنگ بالا دست).
- ج: مقایسه مکان قرارگیری هر عنصر در یک تیپ مختلف نسبت به مکان قرارگیری همان عنصر در سری کلی.

جدول شماره ۴-۳ نتایج بررسیهای فوق را برای کل جامعه نمونه های برداشت شده نشان می دهد. در این جدول برای سه تیپ تک سنگی شامل GMC (مارنهای ژیپسیفر، سیلت و رس)، FGS (سنگهای رسوبی ریز دانه) و AL (سنگهای آلومینیوم) این مقایسه صورت گرفته است.

بطوریکه مشخص است در تیپ سنگی GMC (مارنهای ژیپسیفر، سیلت و رس) میزان نسبی عناصر باریم، مس، بریلیوم و آنتیموان افزایش یافته است و مقادیر منگنز، کروم طلا و سلینیم کاهش یافته است. در تیپ سنگی FGS (سنگهای رسوبی ریز دانه) میزان افزایش نسبی در عناصر (بریلیوم و آنتیموان) دیده شده است.

**۴-۵- تخمین مقدار زمینه هر عنصر برای جوامع مختلف**

یکی از ملزمات تخمین مقدار زمینه، حذف عوامل ناهمگن سازبوده است که این امر پس از محاسبات ضریب غنی شدگی حاصل شد. بعد از این مرحله امکان محاسبه مقدار زمینه فراهم گردیده است، چون مقدار میانگین می تواند متأثر از مقادیر حدی در تابع چگالی احتمال باشد و با توجه به اینکه اکثر داده های ژئوشیمیایی دارای چولگی مثبت بوده و مقادیر حد بالایی آنها تأثیر به سزایی را روی مقدار میانگین می گذارد، بنابراین مقدار میانه به عنوان زمینه انتخاب گردیده است. در مرحله بعد مقدار هر عنصر در هر نمونه از یک جامعه به مقادیر میانه آن تقسیم شده تا نسبت غنی شدگی یا تهی شدگی آن عنصر در نمونه محاسبه شود. بدیهی است عناصری که مقدار نسبت فوق در آنها بیشتر از واحد باشد به عنوان عناصر غنی شده و آنها که کمتر از واحد باشند، تهی شده تلقی می شوند.

جدول ٣-٤: مقایسه مکان قرارگیری هر عنصر در تپه‌ای مختلف نسبت به سری کلی

|       | Tl(ppm)     | Mn(ppm)     | Ba(ppm)     | Sr(ppm)      | Zn(ppm)      | Cr(ppm)       | Cu(ppm)     | Ni(ppm)      | Co(ppm)     |
|-------|-------------|-------------|-------------|--------------|--------------|---------------|-------------|--------------|-------------|
| total | 3866.41     | 760.48      | 57.14       | 424.93       | 78.77        | 77.66         | 56.13       | 47.00        | 20.93       |
| GMC   | 4427.017544 | 799.9719298 | 671.1052632 | 434.9649123  | 84.66666667  | <71.77192982  | Cr(ppm)     | Ni(ppm)      | Co(ppm)     |
| AL    | 3535.656566 | 838.9090909 | 399.0363636 | 328.0505051  | <78.63636363 | 63636         | 75.7020202  | >53.10101010 | 43.2010101  |
| FGS   | 3651.219512 | 714.2195122 | 445.3170732 | <85.19512195 | 12195        | 74.09756098   | 52.67073171 | 48.90243902  | 20.72195122 |
|       | Pb(ppm)     | As(ppm)     | Mo(ppm)     | W(ppm)       | Au(ppb)      | Be(ppm)       | Sn(ppm)     | Se(ppm)      | Sb(ppm)     |
| total | 16.63       | 11.75       | 5.41        | 2.29         | 2.01         | 1.81          | 1.65        | 1.12         | 1.08        |
| GMC   | 18.32280702 | 12.67368421 | 7.266666667 | <2.329824561 | 40351        | 2.236842105   | 1.814035088 | <1.203508771 | 0.889473684 |
| AL    | 15.86262626 | 11.75454545 | 2.912121212 | 2.208080808  | 1.984848485  | <1.8595959595 | 59596       | 1.483838384  | 1.28989899  |
| FGS   | 15.77560976 | 10.35365854 | 4.790243902 | 1.987804878  | 1.780487805  | 1.612195122   | 1.353658537 | 1.087804878  | 0.92195122  |

جدول شماره ۴-۴ پارامترهای آماری مقادیر شاخص غنی شدگی (Enrichment Index) را نشان می‌دهد و جدول شماره ۴-۵ همین پارامترها را بالگاریتم مقادیر Ei در بر دارد. در این جدول علاوه بر این آمار سایر پارامترهای آماری از قبیل مقدار میانگین، انحراف معیار، واریانس و مقادیر چولگی و درصدهای مورد استفاده در نقشه توزیع هر عنصر نیز نشان داده شد است.

در روش دیگری برای مقایسه مقدار زمینه عناصر در جوامع سنگی مختلف از نمودارهای ستونی (Column chart) استفاده شده است. در این روشها ابتدا میانه‌های جوامع سنگی با میانه کل مقایسه شده است (اشکال ۱-۳ تا ۴-۳). آنچه که در نگاه اول خود را نشان می‌دهد، غنی شدگی نسبی و مشخصی از عناصر قلع و مس در گروه تک سنگی GMC است. عنصر کروم نیز خود را تا حد مشخصی از میانه کل در گروه دو سنگی FGS، GMC بالا کشیده است. برای مقایسه‌ای دیگر میانه جامعه کل با میانگین‌های جوامع سنگی مقایسه شده است و نمودارهای ستونی آنها در اشکال ۴-۴ تا ۶-۴ مشخص است. در این اشکال نیز همان موارد ذکر شده قابل مشاهده است.

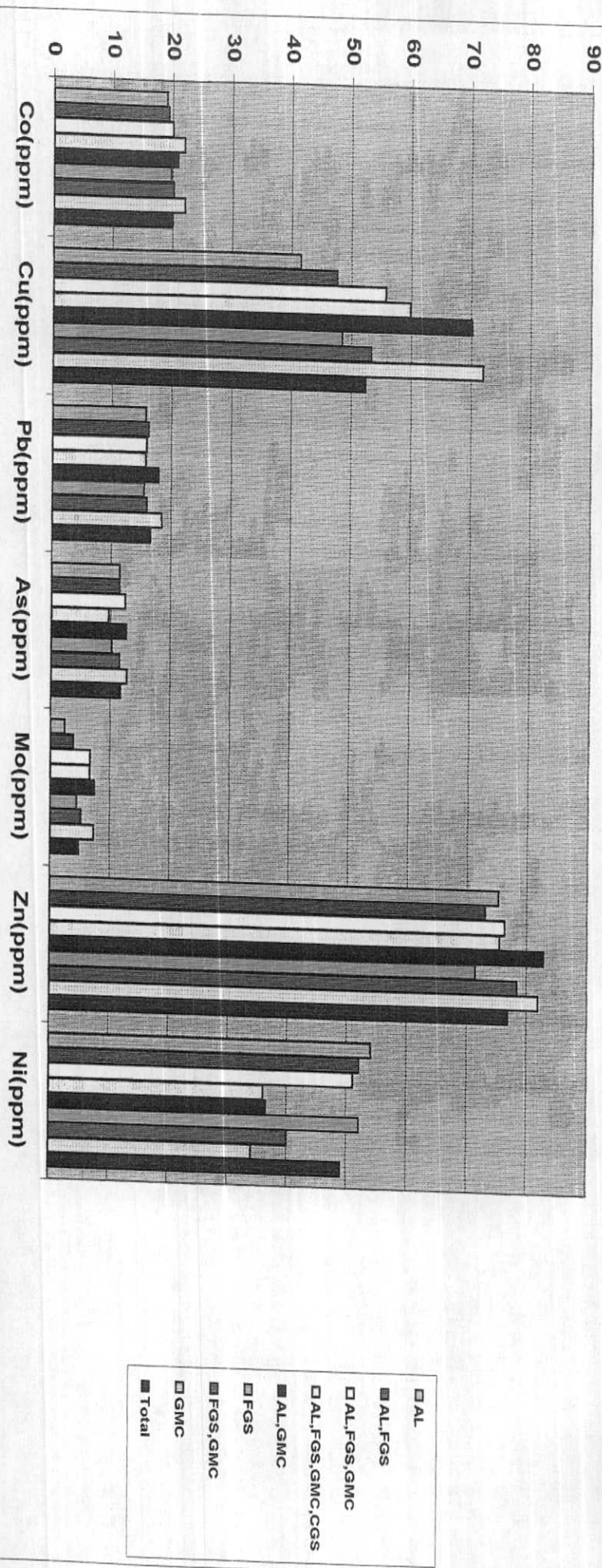
## جدول ۳-۴: پارامترهای آماری مقادیر خام شاخص غنی شدگی

|                | N     | Valid   | ei Au  | ei Hg  | ei Co  | ei Cr  | ei Cu  | ei Mn  | ei Ni  | ei Sr  | ei Zn  | ei Ba  | ei Be  |
|----------------|-------|---------|--------|--------|--------|--------|--------|--------|--------|--------|--------|--------|--------|
|                |       | Missing | 404.00 | 404.00 | 404.00 | 404.00 | 404.00 | 404.00 | 404.00 | 404.00 | 404.00 | 404.00 | 404.00 |
| Mean           |       |         | 1.22   | 0.94   | 1.87   | 1.31   | 1.02   | 1.03   | 1.03   | 1.05   | 1.02   | 1.02   | 1.03   |
| Median         |       |         | 1.00   | 0.83   | 1.01   | 1.05   | 1.00   | 1.00   | 1.00   | 1.00   | 1.00   | 1.00   | 1.00   |
| Std. Deviation |       |         | 1.42   | 0.35   | 3.03   | 0.94   | 0.21   | 0.30   | 0.34   | 0.18   | 0.45   | 0.17   | 0.17   |
| Variance       |       |         | 2.02   | 0.13   | 9.20   | 0.88   | 0.04   | 0.09   | 0.12   | 0.12   | 0.20   | 0.03   | 0.03   |
| Skewness       |       |         | 7.11   | 4.29   | 4.78   | 4.95   | 1.23   | 2.96   | 2.37   | 0.89   | 0.85   | 2.45   | 2.45   |
| Std. Error of  |       |         | 0.12   | 0.12   | 0.12   | 0.12   | 0.12   | 0.12   | 0.12   | 0.12   | 0.12   | 0.12   | 0.12   |
| Kurtosis       |       |         | 75.90  | 22.83  | 32.52  | 36.04  | 4.61   | 16.16  | 9.91   | 0.93   | 18.19  | 3.49   | 21.42  |
| Std. Error of  |       |         | 0.24   | 0.24   | 0.24   | 0.24   | 0.24   | 0.24   | 0.24   | 0.24   | 0.24   | 0.24   | 0.24   |
| Minimum        |       |         | 0.25   | 0.83   | 0.45   | 0.48   | 0.42   | 0.14   | 0.32   | 0.36   | 0.66   | 0.05   | 0.55   |
| Maximum        |       |         | 30.00  | 19.00  | 4.00   | 33.10  | 10.68  | 2.14   | 3.29   | 3.37   | 2.28   | 2.43   | 3.32   |
| Percentiles    |       |         | 60.00  | 50.00  | 0.83   | 0.97   | 0.93   | 0.93   | 0.92   | 0.91   | 0.86   | 0.94   | 0.96   |
|                | 70.00 | 1.00    | 0.83   | 1.07   | 1.25   | 1.09   | 1.08   | 1.08   | 1.17   | 1.06   | 1.14   | 1.07   |        |
|                | 80.00 | 2.00    | 0.83   | 1.15   | 1.55   | 1.16   | 1.15   | 1.14   | 1.29   | 1.12   | 1.32   | 1.32   |        |
|                | 90.00 | 2.00    | 1.00   | 1.80   | 2.14   | 1.27   | 1.29   | 1.32   | 1.49   | 1.18   | 1.51   | 1.20   |        |
|                | 95.00 | 3.00    | 1.67   | 9.66   | 2.64   | 1.36   | 1.47   | 1.69   | 1.73   | 1.32   | 1.77   | 1.30   |        |
|                | 98.00 | 4.50    | 2.00   | 11.05  | 4.34   | 1.65   | 1.98   | 2.16   | 1.98   | 1.55   | 2.12   | 1.44   |        |
|                | 99.00 | 5.00    | 2.33   | 12.20  | 4.95   | 1.82   | 2.68   | 2.52   | 2.13   | 1.64   | 2.56   | 1.62   |        |
|                | N     | Valid   | ei Ti  | ei Ag  | ei As  | ei Bi  | ei Mo  | ei Pb  | ei Sb  | ei Se  | ei Sn  | ei W   |        |
|                |       | Missing | 404.00 | 404.00 | 404.00 | 404.00 | 404.00 | 404.00 | 404.00 | 404.00 | 404.00 | 404.00 |        |
| Mean           |       |         | 1.01   | 1.13   | 1.01   | 0.91   | 1.10   | 1.01   | 0.99   | 1.05   | 1.01   | 0.98   |        |
| Median         |       |         | 1.00   | 1.00   | 1.00   | 1.00   | 1.00   | 1.00   | 1.00   | 1.00   | 1.00   | 1.00   |        |
| Std. Deviation |       |         | 0.11   | 0.83   | 0.28   | 0.41   | 0.63   | 0.16   | 0.23   | 0.35   | 0.29   | 0.15   |        |
| Variance       |       |         | 0.01   | 0.69   | 0.08   | 0.17   | 0.39   | 0.03   | 0.05   | 0.12   | 0.09   | 0.02   |        |
| Skewness       |       |         | 0.37   | 6.31   | 3.52   | 1.30   | 4.11   | 2.93   | -0.49  | 1.24   | 3.55   | -0.24  |        |
| Std. Error of  |       |         | 0.12   | 0.12   | 0.12   | 0.12   | 0.12   | 0.12   | 0.12   | 0.12   | 0.12   | 0.12   |        |
| Kurtosis       |       |         | 2.52   | 62.30  | 33.26  | 7.53   | 34.82  | 23.06  | 4.27   | 2.59   | 29.96  | 0.70   |        |
| Std. Error of  |       |         | 0.24   | 0.24   | 0.24   | 0.24   | 0.24   | 0.24   | 0.24   | 0.24   | 0.24   | 0.24   |        |
| Minimum        |       |         | 0.58   | 0.06   | 0.44   | 0.17   | 0.05   | 0.62   | 0.03   | 0.42   | 0.36   | 0.55   |        |
| Maximum        |       |         | 1.54   | 11.26  | 3.96   | 4.00   | 7.83   | 2.51   | 1.90   | 2.83   | 3.88   | 1.45   |        |
| Percentiles    |       |         | 30.00  | 0.95   | 0.83   | 0.90   | 0.67   | 0.83   | 0.93   | 0.91   | 0.83   | 0.93   |        |
|                | 60.00 | 1.02    | 1.07   | 1.03   | 1.00   | 1.08   | 1.03   | 1.00   | 1.08   | 1.05   | 1.02   |        |        |
|                | 70.00 | 1.05    | 1.17   | 1.09   | 1.00   | 1.21   | 1.06   | 1.08   | 1.17   | 1.10   | 1.05   |        |        |
|                | 80.00 | 1.06    | 1.39   | 1.16   | 1.00   | 1.35   | 1.10   | 1.14   | 1.26   | 1.16   | 1.10   |        |        |
|                | 90.00 | 1.14    | 1.61   | 1.29   | 1.50   | 1.79   | 1.16   | 1.24   | 1.50   | 1.27   | 1.15   |        |        |
|                | 95.00 | 1.20    | 2.21   | 1.39   | 1.50   | 2.33   | 1.25   | 1.33   | 1.79   | 1.38   | 1.21   |        |        |
|                | 98.00 | 1.27    | 3.28   | 1.58   | 2.00   | 2.73   | 1.33   | 1.54   | 1.92   | 1.67   | 1.32   |        |        |
|                | 99.00 | 1.35    | 4.52   | 2.00   | 2.94   | 1.45   | 1.60   | 2.25   | 1.82   | 1.36   |        |        |        |

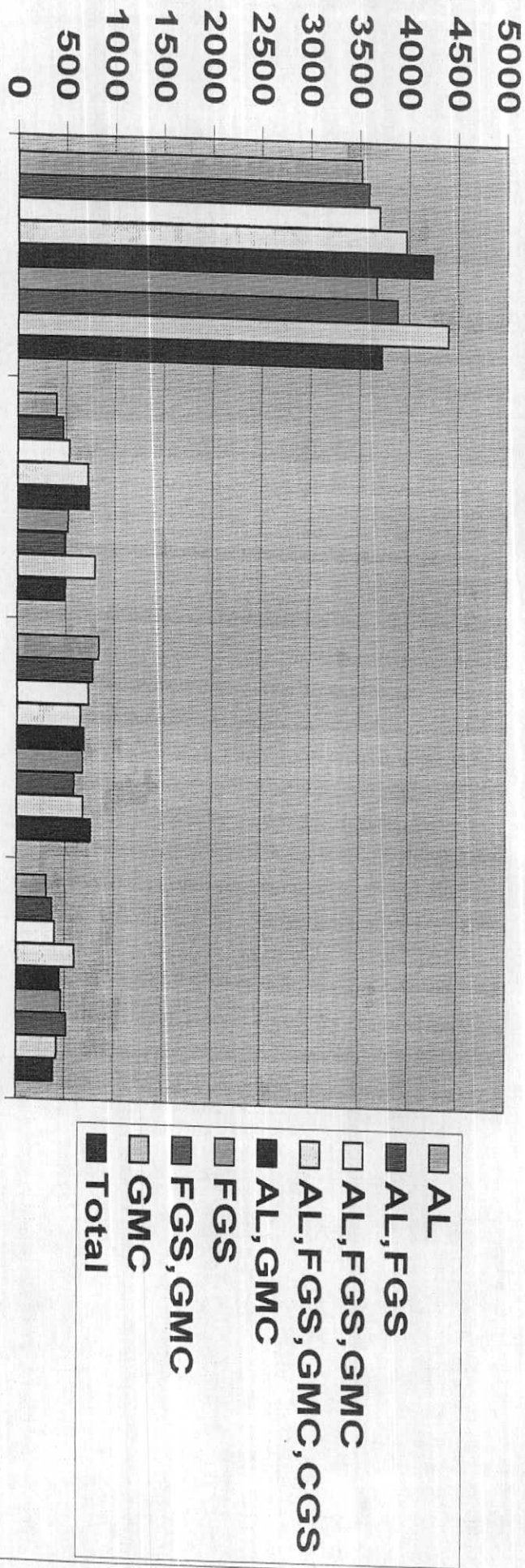
جدول ۵-۴: پارامترهای آماری مقادیر لگاریتمی شاخص غنی شدگی

| N                      | Valid   | (ln) Au | Hg(ln) | Co(ln) | Cr(ln) | Cu(ln) | Mn(ln) | Ni(ln) | Sr(ln) | Zn(ln) | Ba(ln) | Be(ln) |
|------------------------|---------|---------|--------|--------|--------|--------|--------|--------|--------|--------|--------|--------|
|                        | Missing | 404.00  | 404.00 | 404.00 | 404.00 | 404.00 | 404.00 | 404.00 | 404.00 | 404.00 | 404.00 | 404.00 |
| Mean                   | -0.06   | -0.04   | -0.09  | 0.06   | 0.00   | 0.00   | -0.01  | 0.00   | 0.00   | 0.00   | 0.00   | 0.00   |
| Median                 | 0.00    | -0.08   | 0.00   | 0.02   | 0.00   | 0.00   | 0.00   | 0.00   | 0.00   | 0.00   | -0.05  | 0.01   |
| Std. Deviation         | 0.34    | 0.11    | 0.29   | 0.20   | 0.09   | 0.11   | 0.13   | 0.14   | 0.07   | 0.26   | 0.07   | 0.00   |
| Variance               | 0.12    | 0.01    | 0.09   | 0.04   | 0.01   | 0.13   | 0.14   | 0.07   | 0.07   | 0.07   | 0.00   | 0.00   |
| Skewness               | 0.17    | 3.23    | 2.81   | 1.34   | -0.03  | -0.31  | 0.31   | -0.02  | 1.37   | -1.93  | 0.00   | 0.00   |
| Std. Error of Skewness | 0.12    | 0.12    | 0.12   | 0.12   | 0.12   | 0.12   | 0.12   | 0.12   | 0.12   | 0.12   | 0.12   | 0.12   |
| Kurtosis               | 0.09    | 10.15   | 6.76   | 3.07   | 2.11   | 9.78   | 2.47   | -0.03  | 5.61   | 5.38   | 5.59   | 5.59   |
| Std. Error of Kurtosis | 0.24    | 0.24    | 0.24   | 0.24   | 0.24   | 0.24   | 0.24   | 0.24   | 0.24   | 0.24   | 0.24   | 0.24   |
| Minimum                | -0.60   | -0.08   | -0.35  | -0.32  | -0.37  | -0.85  | -0.49  | -0.44  | -0.18  | -1.32  | -0.26  |        |
| Maximum                | 1.28    | 0.60    | 1.52   | 1.03   | 0.33   | 0.52   | 0.53   | 0.36   | 0.39   | 0.52   | 0.43   |        |
| Percentiles            | 30.00   | -0.30   | -0.08  | -0.01  | -0.03  | -0.04  | -0.04  | -0.07  | -0.03  | -0.05  | -0.02  |        |
|                        | 60.00   | 0.00    | -0.08  | 0.01   | 0.06   | 0.02   | 0.02   | 0.03   | 0.01   | 0.02   | 0.02   |        |
|                        | 70.00   | 0.00    | -0.08  | 0.03   | 0.10   | 0.04   | 0.03   | 0.07   | 0.03   | 0.06   | 0.03   |        |
|                        | 80.00   | 0.30    | -0.08  | 0.06   | 0.19   | 0.06   | 0.06   | 0.08   | 0.11   | 0.05   | 0.12   | 0.05   |
|                        | 95.00   | 0.48    | 0.22   | 0.98   | 0.33   | 0.10   | 0.11   | 0.12   | 0.17   | 0.25   | 0.08   |        |
|                        | 98.00   | 0.65    | 0.30   | 1.04   | 0.64   | 0.22   | 0.30   | 0.33   | 0.19   | 0.33   | 0.12   |        |
|                        | 99.00   | 0.70    | 0.37   | 1.09   | 0.69   | 0.26   | 0.43   | 0.40   | 0.33   | 0.22   | 0.41   | 0.21   |
| N                      | Valid   | Ti(ln)  | Ag(ln) | As(ln) | Bi(ln) | Mo(ln) | Pb(ln) | Sb(ln) | Se(ln) | Sn(ln) | W(ln)  |        |
| Mean                   | 0.00    | 0.00    | 0.00   | 0.00   | 0.00   | 0.00   | 0.00   | 0.00   | 0.00   | 0.00   | 0.00   |        |
| Median                 | 0.00    | -0.01   | -0.01  | -0.09  | -0.01  | 0.00   | 0.00   | -0.03  | 0.00   | -0.01  | -0.01  |        |
| Std. Deviation         | 0.05    | 0.24    | 0.11   | 0.23   | 0.21   | 0.06   | 0.19   | 0.13   | 0.11   | 0.07   | 0.00   |        |
| Variance               | 0.00    | 0.06    | 0.01   | 0.05   | 0.04   | 0.00   | 0.04   | 0.02   | 0.01   | 0.00   | 0.00   |        |
| Std. Error of Skewness | -0.40   | -1.00   | 0.20   | -0.88  | -0.40  | 0.78   | -5.72  | 0.20   | -0.03  | -0.85  |        |        |
| Kurtosis               | 3.01    | 6.98    | 2.90   | 0.60   | 3.93   | 6.50   | 39.86  | 0.08   | 3.96   | 1.36   |        |        |
| Std. Error of Kurtosis | 0.24    | 0.24    | 0.24   | 0.24   | 0.24   | 0.24   | 0.24   | 0.24   | 0.24   | 0.24   |        |        |
| Minimum                | -0.24   | -1.26   | -0.36  | -0.78  | -1.28  | -0.21  | -1.54  | -0.38  | -0.45  | -0.28  |        |        |
| Maximum                | 0.19    | 1.05    | 0.60   | 0.60   | 0.89   | 0.40   | 0.28   | 0.45   | 0.59   | 0.16   |        |        |
| Percentiles            | 30.00   | -0.02   | -0.08  | -0.05  | -0.18  | -0.08  | -0.03  | -0.04  | -0.05  | -0.03  |        |        |
|                        | 60.00   | 0.01    | 0.03   | 0.01   | 0.00   | 0.03   | 0.01   | 0.00   | 0.03   | 0.02   | 0.01   |        |
|                        | 70.00   | 0.02    | 0.07   | 0.04   | 0.00   | 0.08   | 0.02   | 0.03   | 0.07   | 0.04   | 0.02   |        |
|                        | 80.00   | 0.04    | 0.14   | 0.06   | 0.00   | 0.13   | 0.04   | 0.06   | 0.10   | 0.06   | 0.04   |        |
|                        | 90.00   | 0.06    | 0.21   | 0.11   | 0.18   | 0.25   | 0.06   | 0.09   | 0.18   | 0.10   | 0.06   |        |
|                        | 95.00   | 0.08    | 0.34   | 0.14   | 0.18   | 0.37   | 0.10   | 0.12   | 0.25   | 0.14   | 0.08   |        |
|                        | 98.00   | 0.10    | 0.52   | 0.20   | 0.30   | 0.44   | 0.12   | 0.19   | 0.28   | 0.22   | 0.12   |        |
|                        | 99.00   | 0.13    | 0.65   | 0.30   | 0.47   | 0.16   | 0.20   | 0.36   | 0.26   | 0.13   |        |        |

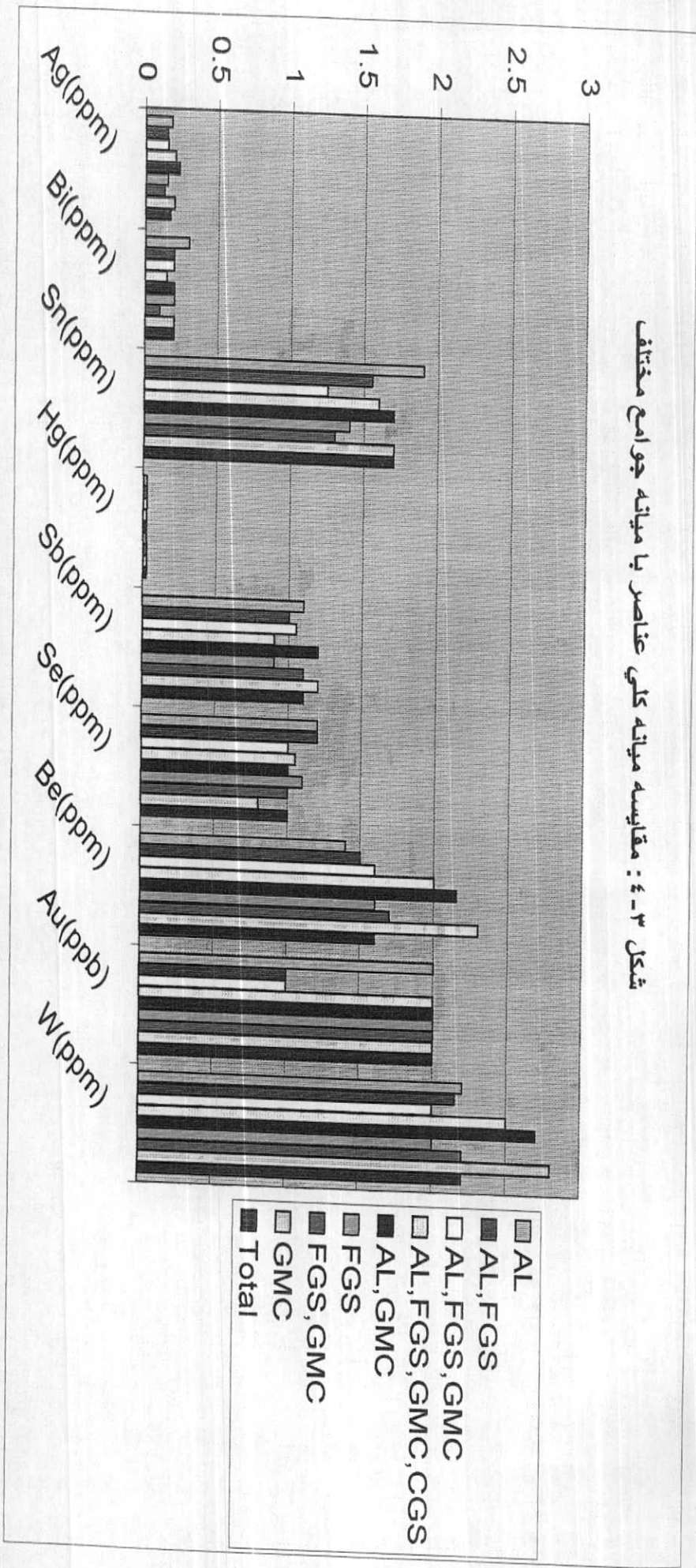
شکل ۱-۴: مقایسه میانه کلی عناصر با میانه جوامع مختلف



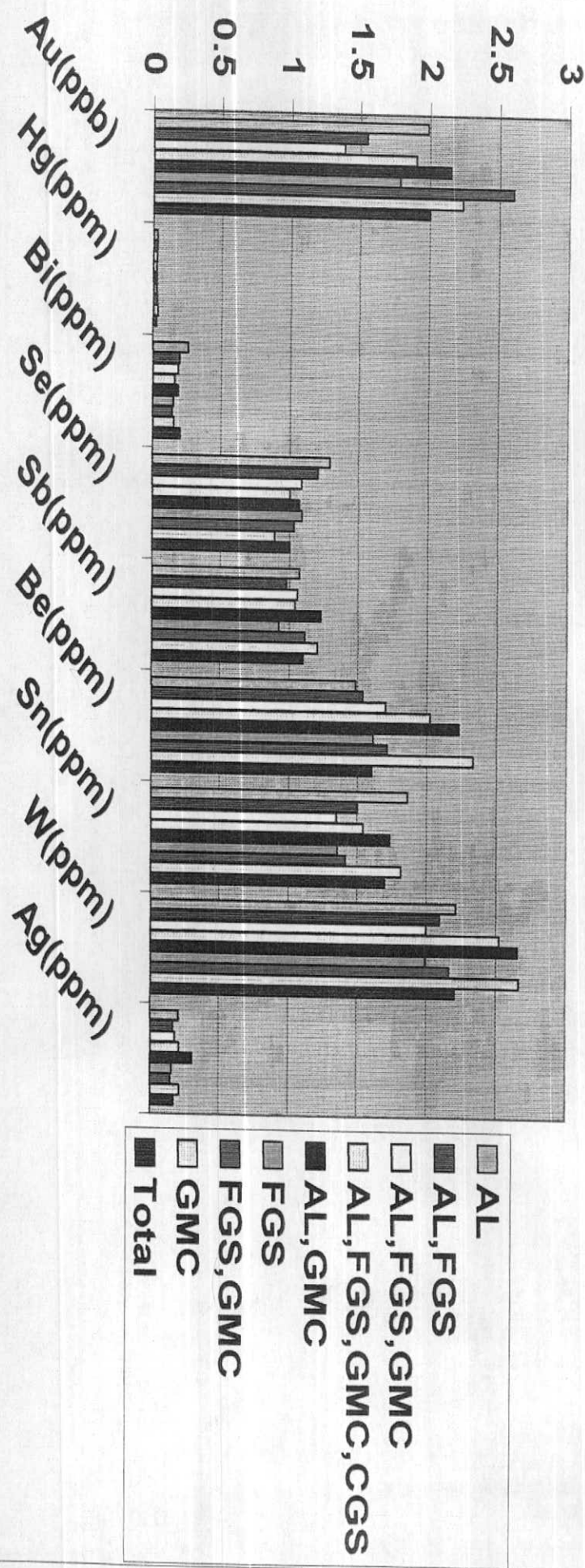
شكل ۲ - ؟ : مقایسه میانه کلی عناصر با میانه جوامع مختلف



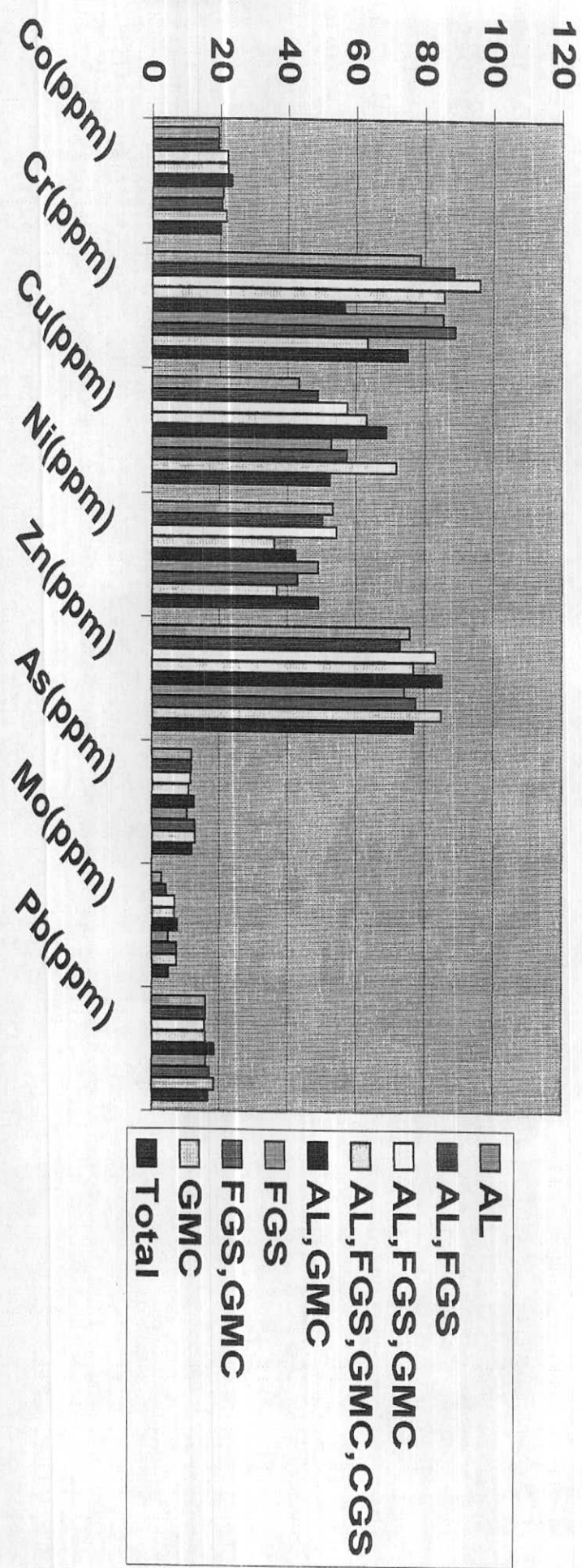
شكل ٣-٤: مقایسه میانه کلی عناصر با میانه جوامع مختلف



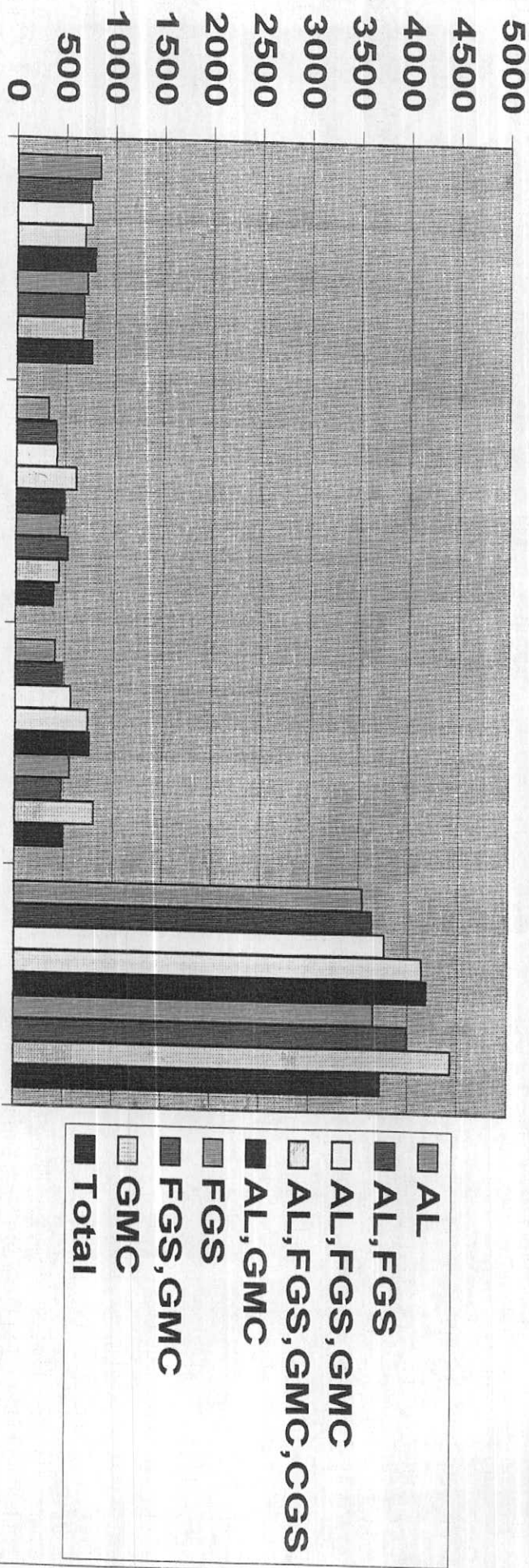
شكل ٤ - ٤ : مقاييسه ميائنه كلي عناصر يا ميانگين جو امع مختلف



شكل ٥-٤: مقاييسه ميانه كلّي عناصر با ميانگين جو اجمع مختلف



شكل ٦ - مقایسه میانه کلی عناصر با میانگین جوامع مختلف



## ۶-۴- شاخص غنی شدگی Enrichment Index

شاخص غنی شدگی یک عنصر از تقسیم مقدار غلظت آن عنصر در آن نمونه به غلظت میانگین یا میانه همان عنصر در جامعه ای که نمونه مربوط متعلق به آن است بدست می‌آید. با این ویژگی دو پارامتر مقدار غلظت عنصری و فراوانی همان عنصر در جامعه مورد نظر می‌توانند در میزان شاخص غنی شدگی اثر گذارند. بنابراین اگر فراوانی نقطه‌ای و منطقه‌ای یک عنصر هردو با شبیه ثابتی افزایش و یا کاهش یابند، آنچه که ثابت باقی خواهد ماند، شاخص غنی شدگی است زیرا صورت و مخرج کسر به یک نسبت افزایش و یا کاهش می‌یابند. با توجه به این مسئله شاخص غنی شدگی تا حدود زیادی از وابستگی به فاکتورهای لیتوژری و یا مؤلفه سن ژنتیک فراوانی یک عنصر رها شده و مستقل عمل می‌کند. بطور مثال فراوانی مقدار Ni در دو رسوب آبراهه‌ای که اولی از یک واحد هارزبوزیت منشاء گرفته و دومی متأثر از سنگهای کربناتی است مسلمًا فرق خواهد کرد و در رسوب اول به مراتب بالاتر خواهد بود. اما اینکه اختلاف این دو تا چه اندازه ناشی از فرآیندهای ثانوی است و تا چه مقدار به فاکتورهای لیتوژری و مؤلفه سن ژنتیک بستگی دارد مسئله‌ای است که بایستی از مسیر شاخص غنی شدگی به جواب آن دست یافت. مقادیر نرمالایز شده نسبت به میانگین یا میانه جامعه مربوطه در این دو نمونه با یکدیگر مقایسه شده و آنگاه به اهمیت اختلاف در دو جامعه پرداخته می‌شود. در حالت اول (تأثیر فاکتور لیتوژری و مؤلفه سن ژنتیک) بعد از محاسبه شاخص غنی شدگی نتایج دو نمونه از دو واحد تقریباً یکسان و یا نزدیک به هم خواهد شد که بی اهمیت خواهد بود. اما اگر بعد از عمل نرمالایز کردن اختلاف معنی داری مشاهده شد، این امر می‌تواند ناشی از تأثیر مؤلفه‌های اپی ژنتیک و فرآیندهای ثانویه باشد که معنی دار بوده و بایستی در جستجوی عامل ایجاد کننده آن بود.

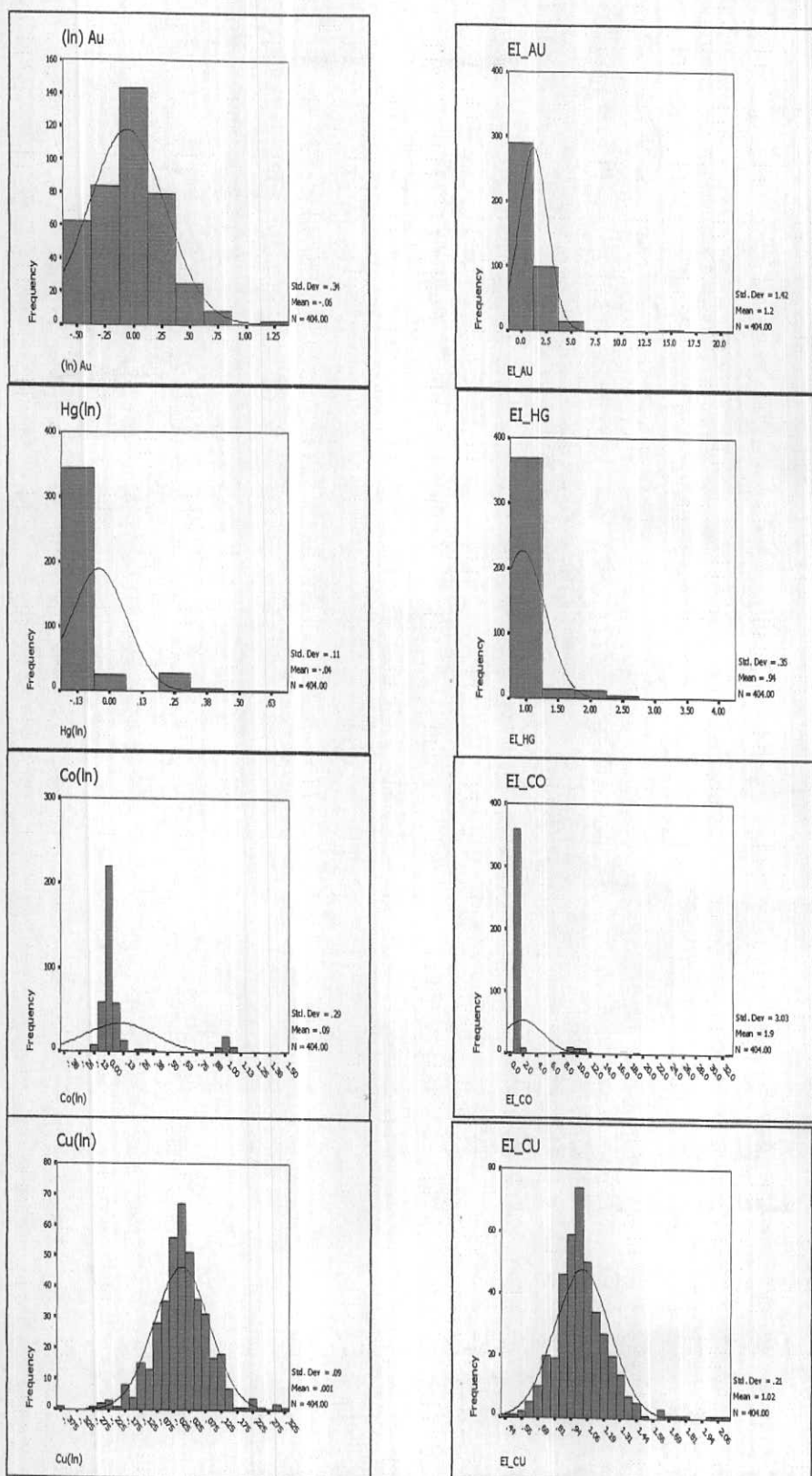
برای محاسبه شاخص غنی شدگی از فرمول  $EI = \frac{Ci}{(C_{med})_i}$  استفاده شده است. در این رابطه،  $EI$  برابر با شاخص غنی شدگی،  $C_i$  مقدار فراوانی عنصر  $i$  در یک نمونه معین و  $(C_{med})_i$  مقدار زمینه همان عنصر (مقدار میانه یا میانگین) در جامعه مربوطه است. در بسیاری از موارد با توجه به عدم تأثیر پذیری مقدار میانه از داده‌های حدی از این مقدار استفاده می‌شود.

## ۴-۷- محاسبه پارامترهای آماری و رسم هیستوگرام‌های شاخص‌های غنی

### شدگی

برای شروع به داده پردازی شاخص‌های غنی شدگی اطلاع اولیه از جامعه آماری آنها امری الزامی است. لذا با استفاده از نرم افزارهای توانمند آماری همچون SPSS، جداول پارامترهای آماری داده‌های  $Ei$  و داده‌های لگاریتمی آنها تنظیم شده است (جداول شماره ۴-۴ و ۴-۵). در این جداول پارامترهای مهم آماری لحاظ شده است که جهت اطاله کلام از ذکر خصوصیات آنها خودداری می‌شود. با توجه به دو پارامتر مشخصه یک جامعه نرمال یعنی چولگی و کشیدگی، در جدول پارامترهای آماری داده خام مشخص می‌شود که این جوامع به شدت از یک جامعه نرمال دور بوده و مناسب با کار داده پردازی چند متغیره و ترسیم نقشه‌ها نیستند. اما همین پارامترها در جامعه لگاریتمی این مقادیر به ترتیب به اعداد ۰ و ۳ نزدیک شده‌اند. این مقایسه می‌رساند که تابع اولیه جامعه شاخص غنی شدگی یک تابع لاگ نرمال بوده که در لگاریتم گرفتن از آنها به یک جامعه بالنسبه نرمال نزدیک شده است.

هیستوگرام‌های شاخص‌های غنی شدگی برخی از عناصر در شکل ۴-۷ و سایر در پیوست شماره ۴ ارائه شده است. مقایسه آنها نیز تأثیر تغییر لگاریتمی رابه خوبی نشان می‌دهد. جوامعی همچون مس، نیکل، مولیبدن، تیتانیوم و قلع تا حد زیادی به یک جامعه نرمال نزدیک شده‌اند و می‌توان تحدیدی بر مبنای  $S + nS$  به ترسیم نقشه آنها پرداخت.



شکل ۷-۴ هیستوگرام های شاخص غی شدگی (جوانع خام و لگاریتمی) عناصر در برگه ۱۰۰،۰۰۰ گرمی

#### ۴-۸- بررسی‌های آماری چند متغیره

روشهای آماری چند متغیره زمانی در علوم به عنوان یک راه حل مطرح شدند که جنبه تأثیر متغیرهای گوناگون بر یکدیگر فضایی گسترده‌تر از یک فضای سه بعدی را طلب می‌کرد. در این راه ابتدا روشهای آنالیزهای تک متغیره و دو متغیره گسترش داده شد و در تکنیکهای آمار چند متغیره، تجزیه و تحلیل‌های چندگانه را با استفاده از تکنیکهای تک متغیره به سرانجام رساندند. در مقابل روشهای چند متغیره دیگری وجود دارند که با موضوعات چند متغیره سروکار دارند نظیر تجزیه عاملی (Factor Analysis) که از میان یک سری از متغیرها، متغیرهای کننده اصلی را شناسایی می‌کند.

هر گروه معینی از عناصر نسبت به یک سری از شرایط محیطی و شرایط سن ژنتیکی کم و بیش به طور مشابه واکنش نشان می‌دهد. بررسی و پی بردن به این ارتباطات و بستگی‌های ژنتیکی عملأً محاسباتی را طلب می‌کند که بتواند در یک زمان، چندین متغیر تأثیر گذار را شناسایی و مجموعه‌ای از آنها را به عنوان گروهها و یا فاکتورهای (عاملها) تعیین کننده تمایز کند. بطورکلی دو مزیت عمده در بررسیهای آماری چند متغیره وجوددارد، نخست آنکه هاله‌های مرکب حاصل از روشهای چند متغیره نسبت به سیمای ساختمانی، زمین‌شناسی و ماهیت ژنتیکی نهشته‌های کانساری رابطه نزدیکتری را نشان می‌دهند و درنتیجه ارتباط بین عناصر بهتر مشخص می‌شود (در صورتیکه نتایج حاصله با مسائل واقعیات زمین‌شناسی انطباق منطقی نشان ندهند، بایستی در تفسیر آنها با احتیاط بیشتری برخورد نمود) دوم آنکه به وسیله هاله‌های مرکب می‌توان خطاهای تصادفی، تعداد متغیرها و نقشه‌ها را به حداقل رساند و به نتایج کارآمدتری دست یافت.

#### ۱-۴- آنالیز فاکتوری (تجزیه عاملی Factor Analysis)

آنالیز فاکتوری یکی از روشهای چند متغیره است که هدف اولیه آن تفسیر ساختار ماتریس واریانس - کوواریانس مجموعه‌ای از داده‌های چند متغیره است. این روش رابطه‌ای را در میان متغیرهای به ظاهر بی ارتباط با یکدیگر برقرار کرده و در پی تحقق اهداف زیر خواهد بود:

الف: تعیین و شناخت متغیرهای کنترل کننده اصلی در میان یک سری از داده‌های ژئوشیمیایی و یا به عبارت دیگر یافتن کمترین تعداد از متغیرهایی که بیشترین تغییرات مشاهده شده را در میان سری داده‌ها نشان بدهند.

ب - تعیین سهم نسبی هر یک از متغیرها در به وجود آمدن تغییرات توزیع عناصر برای دستیابی به این اهداف و با استفاده از توانایی‌های نرم افزار SPSS، تجزیه و تحلیل نوع (R-mode) مورد استفاده قرار می‌گیرد. این نوع از تجزیه و تحلیل مقایسه‌ای بدست می‌دهد تا با تکیه بر آن روابط همبستگی‌های میان پارامترهای متغیرها (در اینجا غلظت اندازه‌گیری شده توسط آزمایشگاه) در نمونه‌های آنالیز شده مشخص شود، از این رو این روش قادر خواهد بود که عناصر اصلی موجود در یک مجموعه ژئوشیمیایی را شناسایی و

اولویت آنها در تعیین میزان واریانس کلی جامعه در قالب جداول و نمودارها نشان دهد. آنچه که لازمه ورود داده‌ها به محیط چند متغیره است، مبنای نرمال بودن آنهاست. در بسیاری از موارد تأکید شده که داده‌ها قبل از ورود به محیط پردازش چند متغیره دقیقاً مورد بررسی قرار گرفته، داده‌های خارج از رده (Outlier) و فوق العاده (Extreme) آنها شناسایی شوند، چگونگی حذف و یا کاهش اثر آنها در یک تابع توزیع بررسی شده و در نهایت داده‌هایی به محیط چند متغیره ای وارد شوند که حتی المقدور نرمال باشند. بنابراین در بررسیهای آماری تک متغیره (جدال پارامترهای آماری - هیستوگرام‌ها و باکس پلاتها) و بررسیهای دو متغیره (ضرایب همبستگی) این شناسایی‌ها صورت گرفته و پس از حذف و لگاریتمی ضرایب غنی شدگی با اعمال ضرایب غنی شدگی و لگاریتم گرفتن از آنها جامعه یا کاهش اثرات لیتوژئیکی با اعمال ضرایب غنی شدگی و لگاریتم گرفتن از آنها جامعه و هیستوگرام‌ها مناسب تشخیص داده شد. انتخاب نهایی توابع توزیع  $\ln(ei)$  با در نظر گرفتن موارد فوق الذکر صورت گرفته است.

پس از قرار گرفتن داده‌ها در محیط آنالیز فاکتوری راههای کنترلی برای تأیید روش وجود دارد که بایستی مد نظر داده پرداز باشد، از آنجمله آزمون مرربع کای (خی) که در قالب جدول KMO بیان شده و با استناد به آن سطح اعتماد به نحوه آنالیز فاکتوری مورد بررسی قرار می‌گیرد، از سایر روش‌های کنترلی در نظر گرفتن مبنای انتخاب آنها در پروسه Extraction است که به گونه‌ای درصد مشارکت (Communalities) تجزیه و تحلیل مؤلفه‌های اصلی (PCA) را بیان می‌کند. در ضمن مجموعه واریانسی که در قالب آنالیز

فاکتوری پوشش داده شده نیز نبایستی از نظر کارشناسان دور بماند و نسبت این واریانس ها به فاکتورهای اول و دوم و سوم و ... نیز نبایستی مد نظر قرار گیرد.

تعیین تعداد فاکتورها با توجه به معیارهایی از جمله  $\lambda > 1$  Eigen value و یا تکیه بر نمودار صخره‌ای Scree plot و یا نظریات کارشناسی تعیین می‌گردد. تجربه پردازشگر و احاطه آن به مجموعه‌ای از توانمندیهای نرم افزارها و ویژگیهای زمین‌شناسی و خصوصیات همبستگیها و یا عدم همبستگی عناصر در این زمینه ضروری است.

نحوه تفسیر فاکتورها و دلایل مستند در مورد اطلاق هر کدام از آنها به پدیده‌های از جمله پارامترهای زمین‌شناسی، سنگ‌شناسی و یا کانی‌سازی و رد یا قبول هر کدام از آنها نیز نبایستی مد نظر باشد و در نهایت در مرحله کنترل آنومالی، تأثیر یا رد آنومالیهای حاصل از کار داده‌پردازی چندمتغیره مورد بررسی قرار خواهد گرفت.

#### ۱-۱-۴-۴- آنالیز فاکتوری داده‌های ژئوشیمیایی برگه گرمی

بعد از بررسی فایلهای داده‌های خام، داده‌های لگاریتمی، ضرایب  $E_i$  و لگاریتم ضرایب  $E_i$  فورمات اخیر (لگاریتم ضرایب  $E_i$ ) برای ورود به محیط SPSS و پردازش آنالیز فاکتوری انتخاب شد. از بین مجموعه ۲۲ عنصری آنالیز شده عنصر B با توجه به درصد بالای داده‌های سنسورده (۱۰۰ درصد) از مجموعه داده‌های ورودی حذف گردید. ۲۱ عنصر باقیمانده در قالب داده‌های لگاریتمی  $E_i$  وارد محیط شده و با توجه به مطالب مشروطه در سر فصل مورد بررسی قرار گرفتند. جدول ۶-۴ کلیه مشخصه‌های مرحله فاکتور آنالیز را بیان می‌کند. ضریب KMO بیانگر این امر است که این ضریب فی مایین ۰,۷- ۰,۷ واقع شده و در حد مناسب و متعادل است.

جدول اشتراک عناصر نشانگر آن است که بیشترین تأثیر و اشتراک را در محاسبات فاکتور آنالیز به ترتیب عناصر مس، نیکل، مولیبدن، روی، کروم، بریلیوم و تنگستن (با ضرایب ۰,۸۵ تا ۰,۷۴۷) در بردارند و کمترین اشتراک از آن عنصر نقره (با ضریب اشتراک ۰,۷۰) است. این مجموعه عناصر با این وضعیت اشتراک توانسته‌اند مجموع ۶۸,۷۹۱ درصد واریانس جامعه کلی را پیوشاورد که در جدول Total Variance Explained مشخص شده است. همانگونه که ازمن این جدول بر می‌آید مجموعه درصد ضرایب ویژه تمامی متغیرها بر اساس PCA در صورتیکه تمامی متغیرها در محاسبات (Eigenvalues) منظور شوند ۱۰۰٪ خواهد بود. اما هدف در اینجا کاهش ابعاد متغیرهاست بنابراین بعد از

محاسبات Loading در حالت اولیه و سپس در حالت varimax با تابع Rotation تعداد ۷

فاکتور منظور شده که مجموعاً حدود ۶۸,۷۹۱ درصد واریانس کلی را می‌پوشاند.

در جدول Rotated Component matrix این ۷ فاکتور مشخص و ردیف شده‌اند.

#### ۱- فاکتور اول با عناصر (As,Sb,Bi,-Sr)

این فاکتور بیشترین درصد واریانس را در بین ۷ فاکتور محاسبه شده در آرا بوده و

قریب به ۱۴.۴% مجموعه واریانس (68.791 درصد) را در بر دارد. بجز (-.579)

و (-.341) AS-Sr سایر ضرایب محاسبه شده مربوط به این چهار عنصر در جدول ضرایب

همبستگی (جدول ۲-۳) ضرایب همبستگی بسیار بالایی را نشان داده‌اند. بدون در نظر

گرفتن Sr عنصر این فاکتور پارازیز عنصر ردیاب طلا را شامل می‌شوند ولی متاسفانه طلا

و نقره خود در این فاکتور قرار ندارند.

#### ۲- فاکتور دوم با عناصر (Pb,Ba,W,Ti,Be)

این فاکتور ۱۳,۱۸۷ درصد واریانس کلی را در بین فاکتورهای محاسبه شده نشان می‌دهد.

مجموعه عناصر فوق در جدول ضرایب همبستگی (جدول ۲-۳) ضرایب همبستگی نسبتاً

بالایی را نشان داده‌اند. بیشترین ضریب در این فاکتور مربوط به (0.746) Ti-Be و کمترین

مقدار آن (0.349) Pb-Ba می‌باشد. عناصر Pb, Ba می‌توانند معرف رگه‌های سرب، گانگ

باریت باشند. این امر مشروط به مساعد بودن وضعیت لیتولوژی و فرایندهای هیدرоторمال در

منطقه است.

#### ۳- فاکتور سوم با عناصر (Cu,Mo)

این فاکتور ۱۱,۲۴۳ درصد واریانس کلی را در بین جوامع مختلف فاکتوری شامل می‌شود.

ضریب همبستگی (0.۸۱۲) Cu-Mo بالاترین ضریب محاسبه شده را جدول همبستگی

(جدول ۲-۳) در بین ۲۱ عنصر دارا می‌باشد. در صورت مستعد بودن منطقه از لحاظ مس

پورفیری این فاکتور می‌تواند حائز اهمیت باشد.

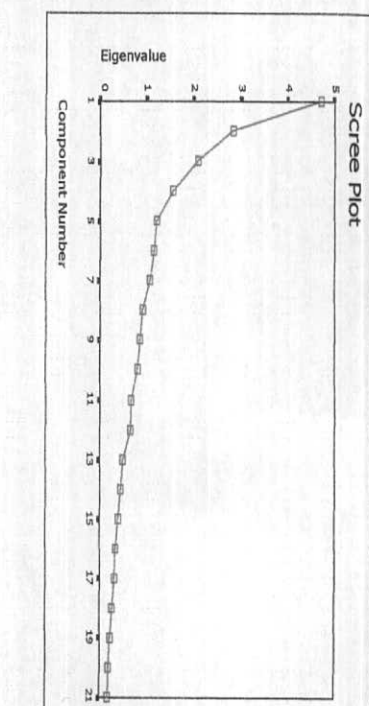
#### ۴- فاکتور چهارم با عناصر (Au,Zn,Mn,Co)

این فاکتور ۹,۱۳۵ درصد واریانس را در بین ۷ فاکتور محاسبه شده دارا میباشد. این عناصر در جدول همبستگی بجز Au-Mn دارای ضریب همبستگی معتبری میباشند. بیشترین ضریب همبستگی مربوط به عناصر Zn-Co (۰,۶۴۹) و کمترین مقدار آن مربوط به عناصر Au-Co میباشد.

سایر فاکتورها شامل، فاکتور پنجم عناصر (Ag,Sn,Se) ۷,۷۴۵ درصد، فاکتور ششم شامل عناصر (Cr,Ni) ۷,۱۳۳ درصد و فاکتور هفتم شامل عنصر (Hg) ۵,۹۲۳ درصد واریانس کل را شامل میشود.

### Communalities

|        | Initial Extraction |
|--------|--------------------|
| In(Au) | 0.922              |
| Hg(Iu) | 0.248              |
| Coin   | 0.496              |
| Cr(In) | 1.0                |
| Cu(In) | 0.85               |
| Mn(In) | 1.0                |
| Ni(In) | 0.828              |
| Sr(In) | 0.525              |
| Zn(In) | 1.0                |
| Ba(In) | 0.592              |
| Bf(In) | 1.0                |
| Tl(In) | 0.642              |
| As(In) | 1.0                |
| Mo(In) | 0.8                |
| Pb(In) | 1.0                |
| Se(In) | 1.0                |
| Stdn   | 0.241              |
| Wd(In) | 1.0                |
| Ex-SR  | 0.247              |
| Ex-BI  | 0.638              |
| Ex-R1  | 0.672              |



Total Variance Explained

| Component | Initial Eigenvalues |               | Extraction Sums of Variance |               | Rotation Sums of Variance |               |
|-----------|---------------------|---------------|-----------------------------|---------------|---------------------------|---------------|
|           | Total               | % of Variance | Total                       | % of Variance | Total                     | % of Variance |
| 1         | 4.69                | 22.33         | 22.328                      | 4.689         | 22.328                    | 3.026         |
| 2         | 2.81                | 13.39         | 35.718                      | 2.812         | 13.39                     | 1.4455        |
| 3         | 2.07                | 9.593         | 45.561                      | 2.067         | 9.583                     | 0.951         |
| 4         | 1.52                | 7.33          | 1.52                        | 1.52          | 1.52                      | 0.756         |
| 5         | 1.18                | 5.622         | 58.742                      | 1.181         | 5.622                     | 1.625         |
| 6         | 1.14                | 5.404         | 63.823                      | 1.14          | 5.404                     | 1.498         |
| 7         | 1.04                | 4.778         | 60.792                      | 1.04          | 4.778                     | 1.227         |
| 8         | 0.83                | 3.955         | 77.024                      | 0.83          | 3.955                     | 0.723         |
| 9         | 0.78                | 3.725         | 80.749                      | 0.78          | 3.725                     | 0.692         |
| 10        | 0.66                | 3.18          | 83.889                      | 0.66          | 3.18                      | 0.651         |
| 11        | 0.63                | 3.018         | 86.365                      | 0.63          | 3.018                     | 0.629         |
| 12        | 0.58                | 2.766         | 89.174                      | 0.58          | 2.766                     | 0.592         |
| 13        | 0.53                | 2.626         | 91.153                      | 0.53          | 2.626                     | 0.571         |
| 14        | 0.53                | 2.626         | 92.007                      | 0.53          | 2.626                     | 0.571         |
| 15        | 0.32                | 1.527         | 94.604                      | 0.32          | 1.527                     | 0.551         |
| 16        | 0.32                | 1.448         | 96.052                      | 0.32          | 1.448                     | 0.551         |
| 17        | 0.26                | 1.226         | 97.279                      | 0.26          | 1.226                     | 0.551         |
| 18        | 0.22                | 1.054         | 98.332                      | 0.22          | 1.054                     | 0.551         |
| 19        | 0.19                | 0.888         | 99.221                      | 0.19          | 0.888                     | 0.551         |
| 20        | 0.16                | 0.773         | 100                         | 0.16          | 0.773                     | 0.551         |

Extraction Method: Principal Component Analysis.

KMO and Bartlett's Test

|                               | KMO and Bartlett's Test |
|-------------------------------|-------------------------|
| KMO                           | 0.741                   |
| Bartlett's Test of Sphericity | 3384.367                |
| df                            | 210                     |
| Sig.                          | 0                       |

Rotated Component Matrix(a)

|         | 1          | 2          | 3         | 4          | 5          | 6          | 7          |
|---------|------------|------------|-----------|------------|------------|------------|------------|
| As(In)  | 0.74       | 8.549E-02  | 0.16      | -0.12      | 0.32       | -3.325E-03 | -7.159E-02 |
| Sr(In)  | -0.73      | -0.11      | 4.133E-02 | -6.551E-01 | 0.17       | -4.897E-01 | -0.14      |
| El BI   | 0.75       | 0.14       | 0.74      | 0.551      | 0.16       | -0.010     | 0.16       |
| Wf(In)  | -0.75      | 0.14       | -0.74     | -0.551     | 0.22       | -1.019E-01 | -0.16      |
| Tl(In)  | -3.235E-03 | 0.71       | -0.31     | -0.71      | 0.19       | -0.119     | 0.17       |
| Ba(In)  | -7.592E-02 | 0.57       | -0.35     | -0.25      | 1.953E-03  | -7.010E-02 | -0.17      |
| Pb(In)  | 0.74       | 0.00       | 0.63      | -0.75      | 0.75       | -0.00      | 0.17       |
| Mo(In)  | -0.15      | -2.830E-02 | 0.83      | -6.295E-02 | -4.559E-01 | 1.752E-02  | -2.492E-01 |
| Co(In)  | -0.15      | -1.525E-02 | 1.83      | 0.20       | 4.531E-02  | 1.570E-02  | -8.035E-02 |
| Zn(In)  | 0.33       | -0.24      | 0.44      | 0.60       | 6.870E-02  | -3.721E-02 | -0.13      |
| In(Au)  | 0.70       | -0.17      | 0.15      | 0.15       | 2.080E-02  | 0.24       | 0.10       |
| Mo(Out) | 0.41       | -0.24      | -0.26     | 0.15       | 4.798E-02  | -0.33      | 0.37       |
| Sr(Out) | 9.411E-02  | -0.20      | -0.02     | 0.15       | 9.660E-02  | 0.33       | -0.17      |
| Ph(Out) | 0.40       | -0.16      | 0.14      | -0.26      | 0.78       | 0.24       | -0.579E-01 |
| Mo(Out) | -0.15      | -0.25      | 0.83      | 0.25       | 0.56       | -0.16      | 0.12       |
| Co(Out) | -0.15      | -1.525E-02 | 1.83      | 0.20       | 4.531E-02  | 1.570E-02  | -8.035E-02 |
| Zn(Out) | 0.33       | -0.24      | 0.44      | 0.60       | 6.870E-02  | -3.721E-02 | -0.13      |
| In(BI)  | 0.70       | -0.17      | 0.15      | 0.15       | 2.080E-02  | 0.24       | 0.10       |
| Mo(Out) | 0.41       | -0.24      | -0.26     | 0.15       | 4.798E-02  | -0.33      | 0.37       |
| Sr(Out) | 9.411E-02  | -0.20      | -0.02     | 0.15       | 9.660E-02  | 0.33       | -0.17      |
| Ph(Out) | 0.40       | -0.16      | 0.14      | -0.26      | 0.78       | 0.24       | -0.579E-01 |
| Mo(Out) | -0.15      | -0.25      | 0.83      | 0.25       | 0.56       | -0.16      | 0.12       |
| Co(Out) | -0.15      | -1.525E-02 | 1.83      | 0.20       | 4.531E-02  | 1.570E-02  | -8.035E-02 |
| Zn(Out) | 0.33       | -0.24      | 0.44      | 0.60       | 6.870E-02  | -3.721E-02 | -0.13      |
| In(BI)  | 0.70       | -0.17      | 0.15      | 0.15       | 2.080E-02  | 0.24       | 0.10       |
| Mo(Out) | 0.41       | -0.24      | -0.26     | 0.15       | 4.798E-02  | -0.33      | 0.37       |
| Sr(Out) | 9.411E-02  | -0.20      | -0.02     | 0.15       | 9.660E-02  | 0.33       | -0.17      |
| Ph(Out) | 0.40       | -0.16      | 0.14      | -0.26      | 0.78       | 0.24       | -0.579E-01 |
| Mo(Out) | -0.15      | -0.25      | 0.83      | 0.25       | 0.56       | -0.16      | 0.12       |
| Co(Out) | -0.15      | -1.525E-02 | 1.83      | 0.20       | 4.531E-02  | 1.570E-02  | -8.035E-02 |
| Zn(Out) | 0.33       | -0.24      | 0.44      | 0.60       | 6.870E-02  | -3.721E-02 | -0.13      |
| In(BI)  | 0.70       | -0.17      | 0.15      | 0.15       | 2.080E-02  | 0.24       | 0.10       |
| Mo(Out) | 0.41       | -0.24      | -0.26     | 0.15       | 4.798E-02  | -0.33      | 0.37       |
| Sr(Out) | 9.411E-02  | -0.20      | -0.02     | 0.15       | 9.660E-02  | 0.33       | -0.17      |
| Ph(Out) | 0.40       | -0.16      | 0.14      | -0.26      | 0.78       | 0.24       | -0.579E-01 |
| Mo(Out) | -0.15      | -0.25      | 0.83      | 0.25       | 0.56       | -0.16      | 0.12       |
| Co(Out) | -0.15      | -1.525E-02 | 1.83      | 0.20       | 4.531E-02  | 1.570E-02  | -8.035E-02 |
| Zn(Out) | 0.33       | -0.24      | 0.44      | 0.60       | 6.870E-02  | -3.721E-02 | -0.13      |
| In(BI)  | 0.70       | -0.17      | 0.15      | 0.15       | 2.080E-02  | 0.24       | 0.10       |
| Mo(Out) | 0.41       | -0.24      | -0.26     | 0.15       | 4.798E-02  | -0.33      | 0.37       |
| Sr(Out) | 9.411E-02  | -0.20      | -0.02     | 0.15       | 9.660E-02  | 0.33       | -0.17      |
| Ph(Out) | 0.40       | -0.16      | 0.14      | -0.26      | 0.78       | 0.24       | -0.579E-01 |
| Mo(Out) | -0.15      | -0.25      | 0.83      | 0.25       | 0.56       | -0.16      | 0.12       |
| Co(Out) | -0.15      | -1.525E-02 | 1.83      | 0.20       | 4.531E-02  | 1.570E-02  | -8.035E-02 |
| Zn(Out) | 0.33       | -0.24      | 0.44      | 0.60       | 6.870E-02  | -3.721E-02 | -0.13      |
| In(BI)  | 0.70       | -0.17      | 0.15      | 0.15       | 2.080E-02  | 0.24       | 0.10       |
| Mo(Out) | 0.41       | -0.24      | -0.26     | 0.15       | 4.798E-02  | -0.33      | 0.37       |
| Sr(Out) | 9.411E-02  | -0.20      | -0.02     | 0.15       | 9.660E-02  | 0.33       | -0.17      |
| Ph(Out) | 0.40       | -0.16      | 0.14      | -0.26      | 0.78       | 0.24       | -0.579E-01 |
| Mo(Out) | -0.15      | -0.25      | 0.83      | 0.25       | 0.56       | -0.16      | 0.12       |
| Co(Out) | -0.15      | -1.525E-02 | 1.83      | 0.20       | 4.531E-02  | 1.570E-02  | -8.035E-02 |
| Zn(Out) | 0.33       | -0.24      | 0.44      | 0.60       | 6.870E-02  | -3.721E-02 | -0.13      |
| In(BI)  | 0.70       | -0.17      | 0.15      | 0.15       | 2.080E-02  | 0.24       | 0.10       |
| Mo(Out) | 0.41       | -0.24      | -0.26     | 0.15       | 4.798E-02  | -0.33      | 0.37       |
| Sr(Out) | 9.411E-02  | -0.20      | -0.02     | 0.15       | 9.660E-02  | 0.33       | -0.17      |
| Ph(Out) | 0.40       | -0.16      | 0.14      | -0.26      | 0.78       | 0.24       | -0.579E-01 |
| Mo(Out) | -0.15      | -0.25      | 0.83      | 0.25       | 0.56       | -0.16      | 0.12       |
| Co(Out) | -0.15      | -1.525E-02 | 1.83      | 0.20       | 4.531E-02  | 1.570E-02  | -8.035E-02 |
| Zn(Out) | 0.33       | -0.24      | 0.44      | 0.60       | 6.870E-02  | -3.721E-02 | -0.13      |
| In(BI)  | 0.70       | -0.17      | 0.15      | 0.15       | 2.080E-02  | 0.24       | 0.10       |
| Mo(Out) | 0.41       | -0.24      | -0.26     | 0.15       | 4.798E-02  | -0.33      | 0.37       |
| Sr(Out) | 9.411E-02  | -0.20      | -0.02     | 0.15       | 9.660E-02  | 0.33       | -0.17      |
| Ph(Out) | 0.40       | -0.16      | 0.14      | -0.26      | 0.78       | 0.24       | -0.579E-01 |
| Mo(Out) | -0.15      | -0.25      | 0.83      | 0.25       | 0.56       | -0.16      | 0.12       |
| Co(Out) | -0.15      | -1.525E-02 | 1.83      | 0.20       | 4.531E-02  | 1.570E-02  | -8.035E-02 |
| Zn(Out) | 0.33       | -0.24      | 0.44      | 0.60       | 6.870E-02  | -3.721E-02 | -0.13      |
| In(BI)  | 0.70       | -0.17      | 0.15      | 0.15       | 2.080E-02  | 0.24       | 0.10       |
| Mo(Out) | 0.41       | -0.24      | -0.26     | 0.15       | 4.798E-02  | -0.33      | 0.37       |
| Sr(Out) | 9.411E-02  | -0.20      | -0.02     | 0.15       | 9.660E-02  | 0.33       | -0.17      |
| Ph(Out) | 0.40       | -0.16      | 0.14      | -0.26      | 0.78       | 0.24       | -0.579E-01 |
| Mo(Out) | -0.15      | -0.25      | 0.83      | 0.25       | 0.56       | -0.16      | 0.12       |
| Co(Out) | -0.15      | -1.525E-02 | 1.83      | 0.20       | 4.531E-02  | 1.570E-02  | -8.035E-02 |
| Zn(Out) | 0.33       | -0.24      | 0.44      | 0.60       | 6.870E-02  | -3.721E-02 | -0.13      |
| In(BI)  | 0.70       | -0.17      | 0.15      | 0.15       | 2.080E-02  | 0.24       | 0.10       |
| Mo(Out) | 0.41       | -0.24      | -0.26     | 0.15       | 4.798E-02  | -0.33      | 0.37       |
| Sr(Out) | 9.411E-02  | -0.20      | -0.02     | 0.15       | 9.660E-02  | 0.33       | -0.17      |
| Ph(Out) | 0.40       | -0.16      | 0.14      | -0.26      | 0.78       | 0.24       | -0.579E-01 |
| Mo(Out) | -0.15      | -0.25      | 0.83      | 0.25       | 0.56       | -0.16      | 0.12       |
| Co(Out) | -0.15      | -1.525E-02 | 1.83      | 0.20       | 4.531E-02  | 1.570E-02  | -8.035E-02 |
| Zn(Out) | 0.33       | -0.24      | 0.44      | 0.60       | 6.870E-02  | -3.721E-02 | -0.13      |
| In(BI)  | 0.70       | -0.17      | 0.15      | 0.15       | 2.080E-02  | 0.24       | 0.10       |
| Mo(Out) | 0.41       | -0.24      | -0.26     | 0.15       | 4.798E-02  | -0.33      | 0.37       |
| Sr(Out) | 9.411E-02  | -0.20      | -0.02     | 0.15       | 9.660E-02  | 0.33       | -0.17      |
| Ph(Out) | 0.40       | -0.16      | 0.14      | -0.26      | 0.78       | 0.24       | -0.579E-01 |
| Mo(Out) | -0.15      | -0.25      | 0.83      | 0.25       | 0.56       | -0.16      | 0.12       |
| Co(Out) | -0.15      | -1.525E-02 | 1.83      | 0.20       | 4.531E-02  | 1.570E-02  | -8.035E-02 |
| Zn(Out) | 0.33       | -0.24      | 0.44      | 0.60       | 6.870E-02  | -3.721E-02 | -0.13      |
| In(BI)  | 0.70       | -0.17      | 0.15      | 0.15       | 2.080E-02  | 0.24       | 0.10       |
| Mo(Out) | 0.41       | -0.24      | -0.26     | 0.15       | 4.798E-02  | -0.33      | 0.37       |
| Sr(Out) | 9.411E-02  | -0.20      | -0.02     | 0.15       | 9.660E-02  | 0.33       | -0.17      |
| Ph(Out) | 0.40       | -0.16      | 0.14      | -0.26      | 0.78       | 0.24       | -0.579E-01 |
| Mo(Out) | -0.15      | -0.25      | 0.83      | 0.25       | 0.56       | -0.16      | 0.12       |
| Co(Out) | -0.15      | -1.525E-02 | 1.83      | 0.20       | 4.531E-02  | 1.570E-02  | -8.035E-02 |
| Zn(Out) | 0.33       | -0.24      | 0.44      | 0.60       | 6.870E-02  | -3.721E-02 | -0.13      |
| In(BI)  | 0.70       | -0.17      | 0.15      | 0.15       | 2.080E-02  | 0.24       | 0.10       |
| Mo(Out) | 0.41       | -0.24      | -0.26     | 0.15       | 4.798E-02  | -0.33      | 0.37       |
| Sr(Out) | 9.411E-02  | -0.20      | -0.02     | 0.15       | 9.660E-02  | 0.33       | -0.17      |
| Ph(Out) | 0.40       | -0.16      | 0.14      | -0.26      | 0.78       | 0.24       | -0.579E-01 |
| Mo(Out) | -0.15      | -0.25      | 0.83      | 0.25       | 0.56       | -0.16      | 0.12       |
| Co(Out) | -0.15      | -1.525E-02 | 1.83      | 0.20       | 4.531E-02  | 1.570E-02  | -8.035E-02 |
| Zn(Out) | 0.33       | -0.24      | 0.44      | 0.60       | 6.870E-02  | -3.721E-02 | -0.13      |
| In(BI)  | 0.70       | -0.17      | 0.15      | 0.15       | 2.080E-02  | 0.24       | 0.10       |
| Mo(Out) | 0.41       | -0.24      | -0.26     | 0.15       | 4.798E-02  | -0.33      | 0.37       |
| Sr(Out) | 9.411E-02  | -0.20      | -0.02     | 0.15       | 9.660E-02  | 0.33       | -0.17      |
| Ph(Out) | 0.40       | -0.16      | 0.14      | -0.26      | 0.78       | 0.24       | -0.579E-01 |
| Mo(Out) | -0.15      | -0.25      | 0.83      | 0.25       | 0.56       | -0.16      | 0.12       |
| Co(Out) | -0.15      | -1.525E-02 | 1.83      | 0.20       |            |            |            |

## فصل پنجم

چگونگی رسم نقشه ها و شرح ناهنجاریهای آنها

## ۱-۵- مقدمه:

نقشه ها بصورت نمادین معرف داده پردازیها و نتایج حاصله از آنهاست و در تمامی گزارشها، مراجعه به نقشه ها و بررسی آنها و استنتاج از آنها به مراتب از متن گزارش بیشتر است، لذا نقشه ها بایستی خصیصه های ساده بودن، مفهوم بودن، و دقیق و صحیح بودن را در بر داشته باشند. چنانچه این خصایص در یک نقشه جمع شود. می توان به معرفی مناطق آن نیز دل بست مشروط بر آنکه داده هایی که نقشه ها بر مبنای آن استوار هستند در وهله اول از دقت و صحت کافی برخوردار باشند. بایستی به این امر توجه داشت که تمامی مراحل داده پردازی در نهایت منجر به معرفی مناطقی می شوند که حاوی بالاترین پتانسیل اکتشافی است اما این پتانسیل نبایستی به مفهوم تمرکز مواد معدنی بویژه در نقشه های تک متغیره در مناطق ناهنجار باشد بلکه قصد نهایی معرفی مناطقی است که در آنها گروهی از نمونه ها بطور مشترک در دسته ای از عناصر ناهنجاری نشان داده اند.

نقشه های ژئوشیمیایی به دو صورت نقشه های نمادین (Symbol Map) و نقشه های کنتوری یا طیفی (Spectral) تقسیم بندی می شوند. در دسته اول غلظت عناصر بصورت نوشتاری یا با کمک از نمادهایی در محل نمونه به نمایش درمی آید و در دسته دوم الگوی توزیع عناصر در مقیاس ناحیه ای و محلی نیز در نظر قرار گرفته و محدوده های هم ارزش بصورت خطوط یا طیف رنگی مشخص می شوند.

## ۱-۵- تکنیک رسم نقشه ها:

امروزه ترسیم نقشه ها با کمک نرم افزارها و توانمندیهای آنها اجرا می شود، اساس بسیاری از نرم افزارها، تخمین نقاط یا محدوده های فاقد اطلاعات از روی داده های موجود در یک شبکه منظم استوار است که به روش درون یابی (Interpolation) مشهور است. در این روش تعداد نمونه ها که مسلما درصد نقاط و نواحی حاوی اطلاعات را در سطح نقشه افزایش می دهد مهم است، در اکتشافات ژئوشیمیایی چگالی نمونه برداری از پیش و بر مبنای اهداف تعریف شده تعیین می شود که به نظر می رسد منطقی نبوده و تعیین تعداد نمونه بایستی بر مبنای پارامترهای زیادی استوار باشد که از حوصله این بخش خارج است. از جمله عوامل دیگر، توزیع نمونه هاست که بر پایه طراحی اصولی و با در نظر گرفتن عوامل ناهنجارساز و حاوی پتانسیل انجام خواهد شد، ابعاد شبکه نیز در سیستم درون یابی بایستی مد نظر باشد. هر چه شبکه تخمین چگالتر باشد مقادیر تخمین زده شده به واقعیت نزدیکتر

می شوند، این امر بسیار بدیهی جلوه می کند که کمبود اطلاعات را به هیچ وجه و با هیچ نرم افزاری نمی توان جبران کرد. با توجه به تنوع لیتولوژی، کثیر عوامل ناهمگن ساز، متعدد بودن پارامترهای دخیل در کانی ساری، نوعه مهاجرت و جایگیری عناصر و ..... مسئله حداقل داده لازم بایستی مد نظر طراحان و داده پردازان باشد تا درجه اعتبار سطح پردازش شده نهایی مطلوب واقع شود. در فرایند درون یابی این مسئله نیز بایستی مورد توجه قرار گیرد که تعداد داده های موجود و موثر در تخمین نقاط بدون اطلاعات نیز مهم است اینکه مشخص شود که تخمین از چه تعدادی از داده ها همچوار نقطه مجهول صورت پذیرد و اینکه این تعداد از داده ها در چه فاصله ای از نقطه مجهول قرار داشته باشد همگی عواملی هستند که دید کارشناسی دقیقی را طلب کند.

داده های مورد استفاده برای ترسیم نقشه ها، داده های ضریب غنی شدگی هستند که بصورت لگاریتمی تبدیل شده و با توجه به شرحی که در سر فصل ۴-۷ آمده است برای مقاصد داده پردازی و ترسیم نقشه ها مناسبترین وضعیت موجود را دارا می باشند. این داده ها در نرم افزار Surfer 7 وارد شده و با روش Kriging تخمین زده شده اند.

### ۳-۵- شرح نقشه های عناصر و نقشه های فاکتوری

تعداد ۱۳ نقشه تک عنصری و ۴ نقشه فاکتوری در این بخش به تشریح ارائه شده است و ناهنجاریهای آن معرفی گردیده است. در ضمن مناطق همپوشانی عناصر نیز مد نظر بوده است.

#### ۱-۳-۵ - نقشه مناطق ناهنجار عنصر طلا (نقشه پیوست شماره ۴)

عنصر طلا در نمونه های رسوب آبراهه ای برگه  $\text{PPb} = 0.5$  تا حد اکثر  $38 \text{ میلی گرم در تن}$  گزارش شده است. میانگین عنصر طلا در این نمونه ها برابر  $2.01 \text{ میلی گرم در تن}$  و در سنگهای مختلف از  $4 \text{ تا } 5 \text{ ppb}$  در نوسان است. بنابر این و با توجه به قانون Average effect که در رسوبات آبراهه ای حاکم است تنها مقادیر بالای  $5 \text{ ppb}$  این عنصر (در حدود  $3\%$  داده ها) آنهم در صورت تأثیر از سوی سایر عناصر و روشهای کنترل ناهنجاری قابل اعتماد خواهد بود.

خطای آنالیز این عنصر برابر  $3.67 \text{ درصد}$  برآورد شده است که با مراجعه به جدول ۲-۲ مشخص خواهد شد که اندازه گیریها در حد  $0.5 \text{ تا } 6 \text{ ppb}$  صورت گرفته که این حدود اندازه گیری آنهم در عنصر طلا نمی تواند ناشی از ضعف توان دستگاهی در تشخیص دقت

محسوب شود. ناهنجاری این عنصر تماماً بصورت نمونه‌های منفرد در سطح نقشه ۰/۰۰۰ گرمی مشاهده شده‌اند. این مناطق به تفکیک نقشه‌های ۰/۰۰۰:۱ شرح زیر است.

### الف: برگ ۰/۰۰۰:۱ گرمی

#### - ناهنجاری جنوبغرب گرمی

ZG-401 در مسیر جاده گرمی به دریامان آبراهه‌ای بموازات جاده امتداد دارد که نمونه ۳۸ میلی گرم در تن گزارش شده از آن برداشت شده است. مقدار خام طلای این نمونه ۳۸ میلی گرم در تن گزارش شده است (ییشترين مقدار طلای گزارش شده). این آبراهه از واحدهای کنگلومرا، ماسه سنگ، ماسه سنگهای توفی همراه با شیل و کنگومرای خاکستری و ماسه سنگ الیگوسن گذر کرده است. این واحدها در نقشه خلاصه شده برای اهداف خنثی سازی اثر سنگ بالا دست (UPSRT) با کدهای CGS- FGS- GMC با نامگذاری شده‌اند. مساحت تقریبی این ناهنجاری در حدود ۱/۲ کیلومتر مربع است.

این نمونه علاوه بر طلا در عناصر و نقشه فاكتوري F4 و Hg,Sn,Cu,Zn نیز ناهنجاری نشان داده است.

#### - ناهنجاری شمالغرب گرمی - شمال رحیم لو

نمونه شماره ZG-371 منطقه‌ای را از شمال تا جنوب رحیم لو می‌پوشاند، محدوده تقریبی این نمونه مساحتی را در حدود ۱/۳ کیلومتر مربع در بر دارد. سه آبراهه فرعی منتهی به میل این نمونه می‌شوند. این نمونه متأثر از واحدهای همچون ماسه سنگهای ژیپسی رسی سیلتی، ماسه سنگهای توفی و شیل الیگوسن است که در نقشه UPSRT با کدهای GMC,FGS معرفی شده‌اند. گسلی از محل نمونه مزبور باروند شمالشرق، جنوبغرب گذر کرده است که می‌تواند نقشی را در این ناهنجاری داشته باشد. مقدار خام این ناهنجاری برابر با ۱۰ppb می‌باشد. این نمونه با ناهنجاریهای Sn, Mo, Cu همپوشانی دارد.

#### - ناهنجاری شمالشرق زنگیر - شمال سینه سر

آبراهه‌ای که نمونه شماره ZG-367 از آن برداشت شده آبراهه‌ای است که با جهت شرقی غربی به رودخانه اصلی آزاد چای می‌ریزد، مساحت تقریبی این ناهنجاری ۴,۰ کیلومتر مربع است و از ماسه سنگهای الوان ژیپسی سیلتی به سن الگوسن پوشیده شده است. زون گسلی عظیم باراستای جنوبشرق - شمالغرب (محدوده فیما بین گسلهای

هاچاکندنی و ظماره پایین) که محدوده‌ای بوسعت تقریبی ۱۲ کیلومتر را در بر دارد (نقشه زمین شناسی ۱:۱۰۰/۰۰۰ گرمی) از جنوب این نمونه می‌گذرد. این نمونه در سایر ناهنجاریها تأثیری نگذارد است.

#### - ناهنجاری شمال‌شرق نقاره

نمونه شماره ZG-315 این ناهنجاری را در یک آبراهه فرعی در شرق جاده مازان پایین-چوناخانلو تشکیل داده است. مقدار خام این نمونه برابر با ۹ میلی گرم در تن گزارش شده است، مساحت تقریبی آن ۸۰ کیلومتر مربع برآورد شده است.

این نمونه از واحدهای ماسه سنگی سیلتی ژیپسی فر الوان الیگومن و پادگانه‌های جوان کواترنری منشاء گرفته است که در نقشه UPSRT با کدهای Al, GMC نامگذاری شده است.

گسل بسیار بزرگ مازان از شمال این منطقه گذر کرده است. این نمونه نیز در سایر ناهنجاریها نقشی را ایفا نکرده است.

#### ب: برگه ۱:۵۰/۰۰۰ کلانسورا

#### - ناهنجاری شمال‌شرق پیر خلیل

آبراهه‌ای که از ارتفاعات شمال‌شرق پیر خلیل سرچشمه گرفته و به رودخانه بلغارچای منتهی می‌شود حاوی نمونه‌ای (ZG-34) است که ناهنجاری طلا را تشکیل داده است، مقدار خام این نمونه برابر با ۲۸ میلی گرم در تن گزارش شده است. ماسه سنگهای الوان ژیپسی سیلتی الیگومن برونزدهای بالادست این نمونه را در بر دارد (GMC). مساحت تقریبی این ناهنجاری برابر با ۶۰ کیلومتر مربع است. این نمونه در عنصر روی و نقشه فاکتوری F4 نیز ناهنجاری نشان داده است.

#### ج: ناهنجاری غرب پولادی قوی سو - غرب بخشعلی

نمونه شماره ZG-193 از تقاطع دو آبراهه برداشت شده است که از برونزدهای سازند باکو (مارن و آهک همراه با ماسه سنگ) و پادگانه‌های جوان کواترنری (FGS, Al) سرچشمه گرفته است. مقدار خام این نمونه ۵ میلی گرم در تن اندازه گیری شده است و مساحت تقریبی آن ۱,۷ کیلومتر مربع برآورد شده است. این نمونه در Hg نیز ناهنجاری نشان داده است.

د: برگه ۱:۵۰۰۰ بیله سوار

#### - ناهنجاری شمالشرق دمیرچلو

نمونه شماره ZG-5 که این ناهنجاری را تشکیل داده از آبراهه‌ای گرفته شده که در زمینهای زراعتی گسترش دارد. مساحت تقریبی این ناهنجاری ۱,۵ کیلومتر مربع است که از پادگانهای جوان و قدیمی کواترنری واحدهای لیتولوژی آنرا تشکیل می‌دهند. در نقشه UPSRT این واحد به نام Al نامگذاری شده است. مقدار خام این نمونه برابر با 10 ppb گزارش شده است. این نمونه در سایر عناصر و نقشه فاکتوری ناهنجاری نشان نداده است.

#### - ناهنجاری شمال بابا شکنندی

این ناهنجاری با مساحت تقریبی ۳,۸ کیلومتر مربع در واحدهای پادگانهای جوان و قدیمی کواترنری تشکیل شده است. مقدار خام نمونه شماره ZG-11 که این ناهنجاری را تشکیل داده برابر با 9 ppb گزارش شده است. این ناهنجاری همچون ناهنجاری شمالشرق دمیرچلو در زمینهای زراعتی تشکیل شده است.

اثری از ناهنجاری سایر عناصر و نقشه‌های فاکتوری در این نمونه دیده نشده است. جدول شماره ۱-۵ مشخصات مناطق ناهنجار طلا و نمونه‌های مرتبط با آنرا نشان می‌دهد.

#### (۱-۵) (شرح مناطق ناهنجار عنصر باریم (نقشه پیوست شماره ۵)

باریم در نمونه‌های رسوب آبراهه‌ای برگه گرمی از حداقل ۳۸,۴ تا حداقل ۲590 ppm گزارش شده است. میانگین این عنصر در این نمونه‌ها برابر با 575 ppm بوده و بیش از ۱۰٪ داده‌ها مقادیری بالای 1000 ppm را در بر دارند. میانگین جهانی باریم در سنگهای آهک و شیل به ترتیب برابر با 100 و 700 ppm گزارش شده و میانگین آن در خاک بین 100-3000 ppm برآورد شده است. با توجه به این امر احتمال یافتن ناهنجاریهای با پتانسیل اقتصادی مشروط به تأثیر سایر ناهنجاریها و پوشش مناسب ناهنجاریهای عنصری و کانیهای سنگین خواهد بود.

خطای عنصر باریم در ۱۵ نمونه تکراری این برگه ۳۷,۵٪ محاسبه شده است که از حد مجاز بالاتر است. مقادیر  $\text{Ln}(\text{Ei})$  عنصر باریم در حد بیش از  $X+3S$  گزارش نشده است. و تنها دو نمونه ناهنجار در مقادیر  $X+2S$  > این عنصر دیده شده است.

جدول ١-٥ مشخصات مناطق تاهاجلو خضر طلا و نموده های مرتبط با آن

| نام برجه            | نام مقطعه                        | شدت نموده | X    | Y      | Zn ei   | Ln ei   | ردیف - مقدار کلم (ppm) | عمل نویه     | نام                        | ردیف                        |   |
|---------------------|----------------------------------|-----------|------|--------|---------|---------|------------------------|--------------|----------------------------|-----------------------------|---|
| لیکوادری            | چونبرد پهلوی سلسله خاکسر و >X+2S | 1         | 38   | 245878 | 4322710 | ZG-401  | گرسن                   | جنوبغرب گردب | شمالغرب گرم - شناس راحم لو | 1                           |   |
| Siltstone/Shale     | Cu,Zn,F4                         | 1         | 1.28 | 244850 | 4326160 | ZG-371  | گرسن                   |              |                            | 2                           |   |
| No Outcrop Observed | Sn,Mo,Cu                         | 3         | 0.70 | 3      | 10      |         |                        |              |                            |                             |   |
| No Outcrop Observed | F4                               | 2         | 1.15 | 28     | 269047  | 4323030 | ZG-34                  | کلادسونا     | شملاشری پیغمبلن            | 3                           |   |
| No Outcrop Observed | Hg                               | 5         | 0.7  | 10     | 5       | 247416  | 4357680                | ZG-193       | کوک آبی                    | غرب پوچادی اقوی سو          | 4 |
| No Outcrop Observed |                                  | 6         | 0.7  | 4      | 10      | 255758  | 4327120                | ZG-5         | پیله سور                   | شملاشری دسیر چلو            | 5 |
| No Outcrop Observed |                                  | 9         | 0.65 | 6      | 9       | 244060  | 434580                 | ZG-11        | بلده سول                   | شملاشری بابا مشکدنی         | 6 |
| No Outcrop Observed |                                  | 4         | 0.7  | 85     | 2       | 265872  | 4360080                | ZG-367       | گرسن                       | شملاشری زیگزگ - شسل سینه سر | 7 |
| No Outcrop Observed |                                  | 7         | 0.65 | 5      | 9       | 262384  | 4334940                | ZG-315       | چونبرد پهلوی               | چونبرد پهلوی                | 8 |

### ناهنجاری جنوب شیلوه پایین (جنوبشرق برگه ۱:۵۰/۰۰۰ گرمی)

نمونه شماره ZG-379 این ناهنجاری را تشکیل داده است. مساحت تقریبی آن در حدود ۰،۹ کیلومتر مربع است و واحدهای لیتولوژی آنرا فورش رسی گچدار رنگارنگ با لایه‌های نازک ماسه سنگی الیگوسن تشکیل داده است. این واحدها در نقشه خلاصه شده GMC با کد UPSRT هاچاکنندی از شمال و جنوب این منطقه گذر کرده‌اند. مقدار خام این نمونه 2590 ppm (بیشترین مقدار باریم) گزارش شده است. این نمونه هیچگونه ناهنجاری دیگری نشان نداده است.

### - ناهنجاری شمالشرق سیدی، شمال معظم (برگه ۱:۵۰/۰۰۰ گوک تپه)

در آبراهه‌های که با روند جنوبی شمالی جریان دارد نمونه شماره ZG-80 در خروجی آن ناهنجاری باریم را باعث شده است، دو نمونه بالا دست آن نیز ناهنجاری نشان نداده‌اند. این آبراهه در واحدهای لیتولوژی رسوبات عهد حاضر، ردیفهایی از مارن و ماسه آهکی (سازند باکو) متعلق به کوارتنری، رس و مارنهای رنگارنگ و ماسه سنگهای زرد رنگ میوسن جریان دارد این واحدها در نقشه GMC ، FGS و AL با کدهای UPSRT نامگذاری شده‌اند. مساحت تقریبی آن در حدود ۲.۵ کیلومتر مربع است. مقدار خام این نمونه 1760 ppm برابر شده است.

ناهنجاری این نمونه با ناهنجاری عناصر Hg ، Co همپوشانی دارد.

جدول شماره ۵-۲ مشخصات مناطق ناهنجار این عنصر را نشان می‌دهد.

### ۳-۵-۳-۵- شرح مناطق ناهنجار عنصر مس (نقشه پیوست شماره ۶)

مقادیر حداقل و حداکثر عنصر مس در نمونه‌های رسوب آبراهه‌ای برگه گرمی از ۲۲.۵ تا ۹۷.۹ ppm عیارسنجی شده است. میانگین این عنصر ۵۶.۱۳ ppm بوده و بیش از ۲ درصد نمونه‌ها عیاری بیش از ۸۵ ppm در بردارند، میانگین جهانی این عنصر در سنگهای آهکی و شیل برابر با ۱۵ و ۵۰ ppm و میانگین جهانی آن در خاک در حدود ۲-۱۰۰ ppm گزارش شده است. بنابراین غنی شدگی چندانی از این عنصر مشاهده نشده است. خطای آنالیز این عنصر برابر با ۶٪ محسوب شده است که در حد قابل قبول می‌باشد. تمامی ناهنجاریها به صورت نمونه‌های منفرد در نقشه مشخص شده‌اند.

جدول ۵-۲: مشخصات مادی ناچادر عصر بدیم و نویندی مرتبه به آن

| ردیف | نام منطقه                    | نام برجه | شامله نموده | X      | Y | Zr   | ردیف مکانیک | ردیف شناسی        | نام برجه | شامله نموده | >X+2S | نام برجه | شامله نموده |
|------|------------------------------|----------|-------------|--------|---|------|-------------|-------------------|----------|-------------|-------|----------|-------------|
| 1    | شمال - شمال سفلی - شمال معلم | گوک تپه  | 2436090     | 1760   | 3 | 0.52 | 1           | Hg,Co             | ...      | ...         | ...   | ...      | ...         |
| 2    | جنوب شمله بای                | گرمس     | 4323670     | 2590   | 1 | 0.51 | 2           | Silstone/Shale    | ...      | ...         | ...   | ...      | ...         |
| 3    | شمال - شمال شرق حاشیه افق    | گرمس     | 4322260     | 249301 | 1 | 0.30 | 3           | Zn,Hg,Sn,F2<br>Be | ...      | ...         | ...   | ...      | ...         |

جدول ۵-۳: مشخصات مناطق ناهابه خضر مس و نویندای مرتبه به آن

| ردیف | نام منطقه                     | نام برجه  | شامله نموده | X    | Y      | Zr      | ردیف مکانیک | ردیف شناسی | نام منطقه                   | نام برجه  | شامله نموده | >X+2S   | نام منطقه | نام برجه | شامله نموده           |                |
|------|-------------------------------|-----------|-------------|------|--------|---------|-------------|------------|-----------------------------|-----------|-------------|---------|-----------|----------|-----------------------|----------------|
| 1    | جنوب شرقی گرمی - شمال رجم لور | گرمس      | ZG-396      | 96.5 | 249301 | 4322260 | ...         | ...        | شمالغرب گرمی - شمال رجم لور | گرمس      | ZG-371      | 16      | 88        | 244850   | 4326150               | ...            |
| 2    | شمالغرب گرمی - شمال رجم لور   | گرمس      | ZG-310      | 93.6 | 249771 | 4336050 | ...         | ...        | غرب - جنوبغرب ملزان پالن    | گرمس      | ZG-296      | 32      | 80.1      | 264310   | 4339470               | F3             |
| 3    | جنوبغرب قزلزار                | گرمس      | ...         | 0.22 | 8      | 0.22    | 16          | ...        | شرقی مسجدلو                 | گرمس      | ZG-301      | 242139  | 4338360   | Zn       | 2                     |                |
| 4    | جنوبغرب قزلزار                | گرمس      | ...         | 0.23 | 6      | 0.23    | 5           | ...        | خراب مارلو                  | گوک تپه   | ZG-72       | 4247738 | 43560200  | Pb,F1    | ...                   |                |
| 5    | شرقی مسجدلو                   | گرمس      | ...         | 0.22 | 7      | 0.22    | ...         | ...        | شمال غربی حسین آقا          | گوک تپه   | ZG-139      | 75.6    | 4252764   | 4374960  | No Outcrop Observed   | Mo,Tl,Be       |
| 6    | خراب مارلو                    | گوک تپه   | ...         | 0.21 | 9      | 0.21    | 46          | ...        | شمال غربی حسین آقا          | گوک تپه   | ZG-7        | 88.8    | 268296    | 4381380  | Intermediate Volcanic | Mo,Tl,Be,F2,F3 |
| 7    | شمال غربی حسین آقا            | گوک تپه   | ...         | 0.33 | 15     | 0.33    | ...         | ...        | شمال - شمالغرب حاشیه افق    | بیده سوار | ...         | 82      | 245329    | 4355730  | No Outcrop Observed   | ...            |
| 8    | شمال - شمالغرب حاشیه افق      | بیده سوار | ...         | 0.24 | 5      | 0.24    | 28          | ...        | شمال - شمالغرب حاشیه افق    | بیده سوار | ZG-195      | 9       | ...       | ...      | ...                   | ...            |

شرح ناهنجاریهای این عنصر به تفکیک برگه‌های ۱:۵۰/۰۰۰:۱ شرح زیر است.

### الف: برگه ۱:۵۰/۰۰۰ گرمی

#### - ناهنجاری جنوبشرق گرمی - جنوب شرق الله دره

این ناهنجاری را مقادیر گزارش شده نمونه ZG-396 تشکیل داده است. مساحت تقریبی این ناهنجاری ۱,۳ کیلومتر مربع بوده و ماسه سنگهای توفی خاکستری با لایه‌های نازک شیلی الیگومن و ایندهای لیتولوژی آنرا تشکیل داده است، این واحدها در نقشه UPSRT بنام FGS کد گذاری شده است. مقدار خام این نمونه برابر با ۹۶.۵ ppm گزارش شده است. محدوده این نمونه یال شمالی یک ناوديس را بنام ناوديس گرمی در بر گرفته است، محور این ناوديس با امتداد شمالغرب، جنوبشرق در گوشه جنوبغربی برگه ۱:۱۰۰/۰۰ زمین شناسی گرمی مشخص شده است. این ناهنجاری با مناطق ناهنجار Sn, Hg, Zn و نقشه فاکتوری F2 نیز همپوشانی دارد.

#### - ناهنجاری شمالغرب گرمی - شمال رحیم لو

شرح این ناهنجاری در ناهنجاری طلا داده شده است.

#### - ناهنجاری غرب جنوبغرب مازان پایین

نمونه شماره ZG-310 این ناهنجاری را تشکیل داده است. مساحت تقریبی آن ۱,۲ کیلومتر مربع بوده و ایندهای لیتولوژی آنرا پادگانه‌های جوان کواترنری، ماسه سنگهای توفی خاکستری باشیل الیگومن، رسهای فورشی، مارن گچدار، ماسه سنگ، رس و مارن قهقهه‌ای با آهک دولومیتی میوسن زیرین در بر دارند. این واحدها در نقشه UPSRT با کدهای GMC, FGS و AL معرفی شده‌اند. این ناهنجاری می‌تواند متأثر از عملکرد گسل مازان باشد که دقیقاً سرشاخه‌های آبراهه مزبور را قطع کرده است. مقدار خام این نمونه برابر با ۹۳.۶ ppm گزارش شده است. این ناهنجاری با مناطق ناهنجار عنصر C0 و نقشه F3 همپوشانی دارد.

### - ناهنجاری جنوبغرب قوزلو

نمونه‌ای با شماره ZG-296 که در سرشاخه‌های آبراهه منتهی به روستای قوزلو برداشت شده است باعث این ناهنجاری شده است. مساحت تقریبی این ناهنجاری ۲,۵ کیلومتر مربع است. واحدهای تأثیر گذار بر این منطقه را رس، مارنهای رنگارنگ و آهک دولومیتی میوسن تشکیل داده‌اند که در نقشه UPSRT با کد FGS معرفی شده‌اند. این نمونه‌ها از محل گذر گسل شمالی مازان و محل تقاطع آن با محور ناویدیس ادگلولی به جنوب قوزلو برداشت شده است. مقدار خام این نمونه برابر با  $80.1 \text{ ppm}$  گزارش شده است. همپوشانی فاکتور سوم با این ناهنجاری مشخص شده است.

### - ناهنجاری شرق مسجدلو

این ناهنجاری نیز متأثر از تنها یک نمونه به شماره ZG-301 می‌باشد، مساحت تقریبی آن ۱,۱ کیلومتر مربع برآورد شده است. مقدار خام این نمونه برابر با ۸۵.۲ گرم در تن و واحدهای لیتولوژی محدوده آن را پادگانه‌های جوان کواترنری تشکیل می‌دهد. گسل بزرگ جنوب انجیلو با امتداد شمال‌شرق-جنوب‌غرب از آبراهه جنوبی این منطقه گذر کرده است. همپوشانی مناطق ناهنجاری عناصر Be, Mo, Zn و نقشه فاکتوری F3 با این نمونه برآرژش آن می‌افزاید.

### ب: برگه ۱:۵۰/۰۰۰

### - ناهنجاری غرب مرادلو

در آبراهه بزرگی که با روند غربی-شرقی از ارتفاعات غربی مرادلو سرچشمه گرفته و به رودخانه بالها در مرز ایران و جمهوری آذربایجان می‌ریزد چندین نمونه برداشت شده که نمونه فرادست این آبراهه یعنی نمونه شماره ZG-72 ناهنجاری نشان داده است، مقدار خام این عنصر برابر با ۷۷.۷ گرم در تن گزارش شده است. مساحت تقریبی آبراهه‌های فرادست این نمونه ۲.۳ کیلومتر مربع بوده و از مارن، رس و ماسه سنگ میوسن بالایی سرچشمه گرفته است این واحد در نقشه UPSRT با کدهای GMC و FGS نامگذاری شده‌اند. آبراهه مذکور محل گذر ناویدیسی است که در نقشه زمین‌شناسی مشخص شده است.

ناهنجاری عنصر pb و نقشه فاکتوری F1 نیز با این ناهنجاری همپوشانی دارد.

### - ناهنجاری شمال، شمالغرب حاج عزیز الله

یک نمونه با شماره ZG-195 این ناهنجاری را تشکیل داده است، مساحت این ناهنجاری تقریباً 0.7 کیلومتر مربع است و بروونزدهایی از جنس رسوبات عهد حاضر و سازنده با کو(معدن آهک و ماسه آهکی) متعلق به کواترنری محدوده آن را در بر دارد. مقدار خام این نمونه 82 ppm گزارش شده است.

این نمونه در هیچکدام از عناصر و نقشه فاکتوری دیگر ناهنجاری نشان نداده است.

### - ناهنجاری شمال قشلاق حسین آقا

نمونه‌ای با شماره ZG-139 که از آبراهه‌ای با روند غربی شرقی برداشت شده این ناهنجاری را تشکیل داده است. مقدار خام- آن برابر با 75.6 گرم در تن بوده و واحدهای لیتولوژی آنرا پادگانه‌های جوان و قدیمی کواترنری تشکیل داده‌اند. مساحت تقریبی آن برابر با ۲ کیلومتر مربع می‌باشد. این نمونه در عناصر Be, Ti, Mo و درنقشه فاکتوری F3 نیز ناهنجاری نشان داده است.

### ج: برگه ۰۰۰/۵۰: ۱ بیله سوار

### - ناهنجاری غرب بابا شکنندی

در آبراهه‌ای که به موازات جاده مرزی جریان دارد، نمونه خروجی آن ZG-7 ناهنجاری مذبور را تشکیل داده است، مقدار خام این نمونه برابر با 88.8 ppm می‌باشد. این آبراهه نیز در واحدهای پادگانه‌های جوان و قدیمی کواترنری (در نقشه UPSRT با کد AL) جریان دارد و مساحت تقریبی آن در حدود 1.3 کیلومتر مربع می‌باشد. تمامی پنهانه برگه ۰۰۰/۵۰: ۱ بیله سوار را زمینهای مزروعی در بر گرفته است.

این نمونه ناهنجاریهای عناصر دیگری از جمله Be, Ti, Mo, Pb و نقشه‌های فاکتوری F2 و F3 را نیز در بر دارد.

جدول شماره ۳-۵ مشخصات مناطق ناهنجار عنصر مس و نمونه‌های مرتبط با آنرا نشان می‌دهد.

### ۵-۳-۴ - شرح مناطق ناهنجار عنصر ارسنیک (نقشه پیوست شماره ۷)

ارسنیک در نمونه‌های رسوب آبراهه‌ای از حداقل ۴.۹ تا حداقل ۴۵.۱ ppm عیار نشان داده است، میانگین این عنصر برابر با ۱۱.۷۵ ppm بوده و تنها حدود ۱٪ داده‌ها عیاری بیش از ۲۰ ppm را نشان می‌دهند. میانگین مقدار ارسنیک در سنگ‌های آهکی و شیلها، به ترتیب برابر با ۲.۵ و ۱۵ گرم در تن است و میانگین آن در خاک بین ۱-۵۰ ppm در نوسان است. خطای آنالیز این عنصر ۱۲.۹٪ برآورد شده که در حد مجاز می‌باشد ناهنجاریهای این عنصر نیز بصورت نمونه‌های منفرد و تنها در سه نمونه مشاهده شده است.

### - ناهنجاری جنوبشرق گرمی - جنوب شرق الله دره (برگه ۱:۵۰/۰۰۰ گرمی)

نمونه شماره ZG-397 از آبراهه‌ای برداشت شده که باروند جنوبی - شمالی باعث شکل گرفتن این ناهنجاری شده است. میزان خام عنصر ارسنیک در این نمونه برابر با ۴۵.۱ ppm (حداکثر مقدار این عنصر در کل نمونه‌ها) گزارش شده است. مساحت تقریبی این ناهنجاری ۰.۹ کیلومتر مربع بوده و از فورشهای رسی رنگارنگ و ماسه سنگ توفی خاکستری الیگومن پوشیده شده است. در نقشه UPSRT ، این واحدها با کدهای GMC,FGS جایگزین شده‌اند. ناویدیس گرمی و محور آن از محل همین آبراهه گذر کرده است. این نمونه در فاکتور اول (F1) نیز ناهنجاری نشان داده است.

### - ناهنجاری جنوبشرق کردلر (برگه ۱:۵۰/۰۰۰ کلانسورا)

از آبراهه‌ای که از ارتفاعات اطراف روستای زهراء سرچشمہ گرفته و در نهایت به رودخانه مرزی بلغار چای می‌ریزد سه نمونه برداشت شده که تنها یکی از آنها (ZG-45) در عنصر ارسنیک ناهنجاری نشان داده است. مقدار خام این نمونه برابر با ۲۴ ppm گزارش شده و واحدهای لیتولوژی آنرا فورش رسی گچدار رنگارنگ با میانلایه‌های نازک ماسه سنگی تشکیل داده است. این واحد در نقشه UPSRT با کد GMC مشخص شده است. مساحت تقریبی این آبراهه ۰.۸ کیلومتر مربع است. این نمونه در عناصر Hg,Se و نقشه F3 نیز ناهنجار نشان داده است.

### - ناهنجاری جنوب قشلاق آلیش (برگه ۱:۵۰،۰۰۰ گوک تپه)

نمونه شماره ZG-130 این ناهنجاری را باعث شده است. محدوده ناهنجار این آبراهه که در پادگانهای جوان کواترنری (AL در نقشه UPSRT) جریان دارد مساحتی را در حدود ۱,۷ کیلومتر مربع را در بر دارد. مقدار خام این نمونه برابر با ۲۸.۳ گرم در تن گزارش شده است این نمونه در عنصر Hg نیز ناهنجاری نشان داده است. جدول ۴-۵ مشخصات مناطق ناهنجار ارسنیک و نمونه های مرتبه با آنرا نشان میدهد.

### ۴-۵-۵ - شرح مناطق ناهنجار عنصر بریلیوم (نقشه پیوست شماره ۸)

مقدار این عنصر در رسوبات آبراههای از حداقل ۱ تا حد اکثر ۴,۳ گرم در تن و میانگین آن ۸,۱ گرم در تن اندازه گیری شده است میانگین این عنصر در سنگهای آهکی وشیل به ترتیب برابر با ۱ و ۳ و میانگین آن در خاک ۶ گرم در تن گزارش شده است. خطای آنالیز این عنصر برابر با ۱:۵۰٪ تقویت گرافی بشرح زیر است.

الف: برگه ۱:۵۰/۰۰۰ ۱ گرمی

### - ناهنجاری اظماره پایین - جنوب شرق گرمی - شمالشرق گرمی

محدودهای که از ناهنجاری سه نمونه تشکیل شده این منطقه را در بر دارد. نمونه های ناهنجاری این محدوده شامل نمونه های ZG-373, ZG-370, ZG-396, ZG-397 می باشد که از آبراهه های منشعب از ارتفاعات شمال - شمالشرق و جنوبغرب گرمی و اظماره برداشت شده اند. در مجموع مساحت تقریبی این ناحیه ۵,۵ کیلومتر مربع است. مقادیر خام نمونه ها به ترتیب برابر با 304 ppm, 303, 206 گزارش شده است. این محدوده را رخمنونهایی از جنس فورش رسی گچدار رنگارنگ و ماسه سنگ توفی خاکستری رنگ الیگو سن در بر گرفته که در نقشه خلاصه شده با کدهای GMC و FGS نامگذاری شده است. از آبراهه های دو نمونه 370 و 373 گسل بزرگ ظماره پایین گذر کرده است. آبراهه نمونه شماره 396 در یال شمالی ناو دیس گرمی قرار دارد.

نمونه شماره ZG-396 در عناصر Sn, Hg, Zn, Cu و فاکتور دوم ناهنجاری نشان داده است و نمونه شماره ZG-373 در عناصر Sr, Zn و در فاکتور چهارم نیز ناهنجاری نشان داده است.

جدول ٥-٤: مشخصات مانطوق ناچنجل عنصر لرسنیک و نمودهای مرتبه آن

| ردیف | نام منطقه                         | نام دریج | شماره نموده | عصر زمانی | ردیف مقدار خام (ppm) | عصر زمانی | ردیف مقدار خام (ppm) | عصر زمانی                    | ردیف مقدار خام (ppm) | عصر زمانی | ردیف مقدار خام (ppm) | عصر زمانی |
|------|-----------------------------------|----------|-------------|-----------|----------------------|-----------|----------------------|------------------------------|----------------------|-----------|----------------------|-----------|
| ۱    | جنوب شرقی گرمسی-چرب شرقی الله دره | گرمسی    | ZG-397      | ZG-397    | ۴۵.۱                 | ۲۸۸۹۴۶    | ۴۳۲۲۲۱۰              | تاریخی سیلور علاصر و نمودهای | >X+2S                | Ln ei     | Ln ei                | Ln ei     |
| ۲    | جنوب شرقی کرمان                   | کلمندا   | ZG-4۴۶      | ZG-4۴۶    | ۲۴                   | ۲۶۶۴۸۰    | ۴۳۲۶۴۸۰              | Ln ei                        | F1                   | As,Se,F3  | Hg,F7                | Hg,F1     |
| ۳    | جنوب شرقی کلمندا                  | کلمندا   | ZG-1۳۰      | ZG-1۳۰    | ۲۸.۳                 | ۲۶۰۲۴۱    | ۴۳۷۰۶۴۰              | Ln ei                        | AL                   | AL        | ...                  | ...       |

جدول ۵-۵: مشخصات مانطوق ناچنجل عنصر باریوم و نمودهای مرتبه آن

| ردیف | نام منطقه             | نام دریج | شماره نموده | عصر زمانی | X   | Y      | Z       | ردیف مقدار خام (ppm) | عصر زمانی | ردیف مقدار خام (ppm) | عصر زمانی | ردیف مقدار خام (ppm) | عصر زمانی |     |
|------|-----------------------|----------|-------------|-----------|-----|--------|---------|----------------------|-----------|----------------------|-----------|----------------------|-----------|-----|
| ۱    | اطلاعه چرب گرمسی-شمبل | گرمسی    | ZG-3۹۶      | ZG-3۹۶    | ۲.۶ | ۲۸۹۳۰۱ | ۴۳۲۲۲۶۰ | Ln ei                | Ln ei     | Ln ei                | Ln ei     | >X+2S                | Ln ei     |     |
| ۲    | شمبل چرب گرمسی        | گرمسی    | ZG-3۷۳      | ZG-3۷۳    | ۳.۴ | ۲۶۵۲۶۳ | ۴۳۲۶۰۰۰ | Zn,Hg,Sn,F2          | Cu        | 4                    | ۰.۲۱      | ۲۰                   | Zn,Sr,F4  | ... |
| ۳    | شمبل چرب گرمسی        | گرمسی    | ZG-3۰۴      | ZG-3۰۴    | ۴.۳ | ۲۶۰۶۰۶ | ۴۳۷۷۱۸۰ | Zn,Mn,Co,Ni,F4       | 1         | ۰.۴۳                 | ۱         | F3                   | ...       | ... |
| ۴    | شمبل چرب گرمسی        | گرمسی    | ZG-3۰۱      | ZG-3۰۱    | ۲.۳ | ۲۴۲۱۳۹ | ۴۳۳۸۳۶۰ | Mo,Ti,Cu             | 3         | ۰.۲۲                 | ۵۹        | Mo,Ti,Co             | F3        | ... |
| ۵    | شمبل چرب گرمسی        | گوک یزد  | ZG-1۳۹      | ZG-1۳۹    | ۲.۲ | ۲۵۲۷۶۴ | ۴۳۷۴۹۶۰ | Pb                   | 2         | ۰.۲۰                 | ۷۷        | Mo,Ti,Co,F2,F3       | Pb        | ... |

جدول ۵-۶: مشخصات مانطوق ناچنجل عنصر سرپ و نمودهای مرتبه آن

| ردیف | نام منطقه      | نام دریج       | شماره نموده | عصر زمانی | X    | Y      | Z       | ردیف مقدار خام (ppm) | عصر زمانی | ردیف مقدار خام (ppm) | عصر زمانی | ردیف مقدار خام (ppm) | عصر زمانی |     |
|------|----------------|----------------|-------------|-----------|------|--------|---------|----------------------|-----------|----------------------|-----------|----------------------|-----------|-----|
| ۱    | جنوب غربی تبره | جنوب غربی تبره | ZG-3۸۸      | ZG-3۸۸    | ۴۴.۶ | ۲۵۵۲۶۸ | ۴۳۲۲۸۸۰ | Ln ei                | Ln ei     | Ln ei                | Ln ei     | >X+2S                | >X+3S     |     |
| ۲    | جنوب غربی تبره | جنوب غربی تبره | ZG-7۷۲      | ZG-7۷۲    | ۲۲.۳ | ۲۴۷۷۳۸ | ۴۳۶۰۲۰۰ | Cu,F1                | 4         | ۰.۱۶                 | ۷         | Cu,F                 | ...       | ... |
| ۳    | جنوب غربی تبره | جنوب غربی تبره | ZG-8۶       | ZG-8۶     | ۲۴.۵ | ۲۴۷۹۴۳ | ۴۳۶۴۶۰  | Hg                   | 3         | ۰.۱۸                 | ۳         | AL,FGS               | ...       | ... |
| ۴    | جنوب غربی تبره | جنوب غربی تبره | ZG-7        | ZG-7      | ۳۴   | ۲۶۶۲۹۶ | ۴۳۶۳۸۰  | Hg,Sn,F2,F3          | 2         | ۰.۳۴                 | 2         | AL                   | ...       | ... |

جدول ۵-۷: مشخصات مانطوق ناچنجل عنصر سرپ و نمودهای مرتبه آن

| ردیف | نام منطقه      | نام دریج       | شماره نموده | عصر زمانی | X      | Y      | Z       | ردیف مقدار خام (ppm) | عصر زمانی | ردیف مقدار خام (ppm) | عصر زمانی | ردیف مقدار خام (ppm) | عصر زمانی |     |     |
|------|----------------|----------------|-------------|-----------|--------|--------|---------|----------------------|-----------|----------------------|-----------|----------------------|-----------|-----|-----|
| ۱    | جنوب غربی تبره | جنوب غربی تبره | ZG-3۹۶      | ZG-3۹۶    | ۱۱۰.۰۰ | ۱۰۰.۰۰ | ۱۰۰.۰۰  | Ln ei                | Ln ei     | Ln ei                | Ln ei     | >X+2S                | >X+3S     |     |     |
| ۲    | جنوب غربی تبره | جنوب غربی تبره | ZG-3۳۶      | ZG-3۳۶    | ۱۱۰    | ۲۴۸۳۰۱ | ۴۳۲۲۵۰۰ | Cu,Hg,Sn,F2          | Be        | 11                   | ۰.۱۹      | 16                   | Cu,Sn,F4  | ... | ... |
| ۳    | جنوب غربی تبره | جنوب غربی تبره | ZG-4۰۱      | ZG-4۰۱    | ۱۱۵    | ۲۵۲۲۶۳ | ۴۳۲۲۵۰۰ | Cu,Sn,F4             | 11        | ۰.۱۵                 | 17        | Cu,Au,F4             | ...       | ... |     |
| ۴    | جنوب غربی تبره | جنوب غربی تبره | ZG-3۳۶      | ZG-3۳۶    | ۱۲۸    | ۲۴۶۹۶  | ۴۳۲۲۷۱۰ | Hg,Sn                | 6         | ۰.۲۱                 | 6         | Mn,F4                | ...       | ... |     |
| ۵    | جنوب غربی تبره | جنوب غربی تبره | ZG-3۳۴      | ZG-3۳۴    | ۱۲۸    | ۲۴۶۹۳۸ | ۴۳۳۸۸۰  | Ni,F4                | 10        | ۰.۱۹                 | 10        | AL,FGS               | ...       | ... |     |
| ۶    | جنوب غربی تبره | جنوب غربی تبره | ZG-3۳۲      | ZG-3۳۲    | ۱۳۶    | ۴۳۳۸۹۴ | ۴۳۳۷۸۶۰ | Min-Ni               | 4         | ۰.۲۲                 | 3         | AL,GMC               | ...       | ... |     |
| ۷    | جنوب غربی تبره | جنوب غربی تبره | ZG-3۰۴      | ZG-3۰۴    | ۱۳۲    | ۲۴۲۶۹۱ | ۴۳۳۷۱۴۰ | F3                   | 6         | ۰.۲۰                 | 5         | AL,FGS,GMC           | ...       | ... |     |
| ۸    | جنوب غربی تبره | جنوب غربی تبره | ZG-3۰۴      | ZG-3۰۴    | ۱۸۵    | ۲۵۰۸۰۶ | ۴۳۳۷۱۹۰ | Be,Min,Co,F4,Ni      | 2         | ۰.۳۸                 | 2         | AL                   | ...       | ... |     |
| ۹    | جنوب غربی تبره | جنوب غربی تبره | ZG-3۰۴      | ZG-3۰۴    | ۱۱۸    | ۲۴۲۱۳۹ | ۴۳۳۸۳۶۰ | Mo,F3,Cu             | 7         | ۰.۲۰                 | 8         | AL,FGS,GMC           | ...       | ... |     |
| ۱۰   | جنوب غربی تبره | جنوب غربی تبره | ZG-2۷۳      | ZG-2۷۳    | ۱۱۷    | ۲۵۳۰۲۶ | ۴۳۴۹۸۱۰ | Co,F4                | 9         | ۰.۱۹                 | 10        | FGS                  | ...       | ... |     |
| ۱۱   | جنوب غربی تبره | جنوب غربی تبره | ZG-2۷۴      | ZG-2۷۴    | ۱۳۳    | ۲۵۲۹۷۶ | ۴۳۴۹۸۷۰ | Ni                   | 3         | ۰.۲۷                 | 4         | AL,FGS,GMC           | ...       | ... |     |
| ۱۲   | جنوب غربی تبره | جنوب غربی تبره | ZG-6        | ZG-6      | ۱۱۸    | ۲۶۶۹۸۷ | ۴۳۶۲۲۷۰ | Co                   | 8         | ۰.۱۹                 | 9         | E4                   | ...       | ... |     |
| ۱۳   | جنوب غربی تبره | جنوب غربی تبره | ZG-3۴       | ZG-3۴     | ۱۹۹    | ۲۶۹۸۴۷ | ۴۳۲۲۰۳۰ | Au                   | 1         | ۰.۳۹                 | 1         | GMC                  | ...       | ... |     |

- ناهنجاری شمالغرب مازان یاپین

نمونه شماره ZG-304 این ناهنجاری را تشکیل داده است، این نمونه که در آبراهه اصلی برداشت شده است حاوی بیشترین مقدار بریلیوم در داده خام (4.3 ppm) است. مساحت تقریبی محدوده این ناهنجاری ۱.۳ کیلومتر مربع است واحدهای لیتولوژی فرا دست این نمونه را رسوبات عهد حاضر، پادگانهای جوان کواترنری و فورشهای رسی رنگارنگ گچدار همراه با ماسه سنگ الیگومن در بر دارد. این وحدها در نقشه UPSRT با کدهای AL و GMC مشخص شده‌اند. از جنوب این نمونه گسل بزرگ مازان با امتداد شرقی - غربی عبور کرده است.

ناهنجاری عناصر دیگری منجمله Ni, Co, Mn, Zn و نقشه‌های فاکتوری F3 و F4 این محدوده را تحت تأثیر قرار داده است.

ناهنچاری شرق مسجدلو

نمونه ناهنجاری این منطقه ZG-301 و مشخصات آن در ناهنجاریهای عنصر مس شرح داده شده است.

ب: برگه ۱۰۰۰/۵۰

- ناهنجاری شمال قشلاق حسین آقا:

این ناهنجاری دقیقاً منطبق بر ناهنجاری عنصر مس در نمونه ZG-7 است که در شرح ناهنجاریهای عنصر مس به آن پرداخته شده است.

جدول ۵-۵ مشخصات مناطق ناهنجار عنصر بریلیوم و نمونه‌های مرتبیت با آنرا نشان می‌دهد.

٦-٥-٣- شرح مناطق ناهنجار عنصر سرب (نقشه بیوست شماره ٩)

سرب در نمونه های رسوب آبراهه ای برگه  $1:100/000$  ۱۰.۷ گرمی از حداقل ۹.۷ تا حداقل ۱۴.۶ گرم در تن آنالیز شده است. میانگین این عنصر در نمونه ها ۱۶.۶ گرم در تن بوده و ۱۰٪ داده ها عیاری بیش از ۲۰ گرم در تن را نشان داده اند. میانگین جهانی این عنصر در سنگ آهک و شیل به ترتیب برابر با ۸ و ۲۰ گرم در تن است و مقدار میانگین آن در خاک در بین ۲-۲۰۰ ppm در نوسان است. خطای آنالیز این عنصر در ۱۵ نمونه تکراری ۷.۷٪ گزارش شده که مورد قبول می باشد. ناهنجاری های این عنصر به تفکیک برگه  $50,000:1$  بشرح زیر است.

**الف: برگه ۱:۵۰/۰۰۰ گرمی**

- ناهنجاری جنوب شاون پایین

نمونه شماره ZG-388 با مقدار سرب (بیشترین مقدار سرب) باعث این ناهنجاری شده است، محدوده این ناهنجاری در حدود ۲ کیلومتر مریع است که از واحدهای همچون پادگانهای جوان کواترنری و فورش رسی گچدار رنگارنگ الیگوسن پوشیده شده است، این واحدها در نقشه UPSRT با کدهای AL و GMC مشخص شده‌اند. گسل ظماره پایین از محل این نمونه گذر کرده است (نقشه زمین‌شناسی ۱:۱۰۰/۰۰۰ گرمی). این نمونه ناهنجاری عنصری و یا فاكتوری دیگری نشان نداده است.

**ب: برگه ۱:۵۰/۰۰۰ گوک تپه**

- ناهنجاری غرب مرادلو

این ناهنجاری که از نمونه شماره ZG-72 تشکیل شده است در مبحث ناهنجاریهای عنصر مس شرح داده شده است. این نمونه در عنصر مس و فاكتور اول نیز ناهنجاری نشان داده است.

- ناهنجاری جنوب اوج دره:

این ناهنجاری در بخش جنوبی برگه ۱:۵/۰۰۰ گوک تپه و در اثر مقدار سرب نمونه شماره ZG-86 حاصل شده است، مساحت تقریبی آن ۱,۴ کیلومتر مریع بوده و واحدهای رخمنوں دار محدوده را پادگانهای آبرفتی جوان و سازندباکو (مارن آهک و ماسه آهکی) در بر دارد، این واحدها در نقشه UPSRT با کدهای AL و FGS مشخص شده‌اند. این نمونه در عنصر Hg نیز ناهنجاری نشان داده است.

**ج: برگه ۱:۵۰/۰۰۰ بیله سوار**

- ناهنجاری غرب باباشکنندی

این ناهنجاری و نمونه مرتبط با آن (ZG-7) در ناهنجاریهای عنصر مس شرح داده شده است، این نمونه علاوه بر مس در عناصر Mo, Ti, Be و نقشه‌های فاكتوری F2, F3 نیز ناهنجار است. جدول ۵-۶ مشخصات مناطق ناهنجار عنصر سرب و نمونه‌های مرتبط با آنرا نشان می‌دهد

### ۵-۳-۷ - شرح مناطق ناهنجار عنصر روی (نقشه پیوست شماره ۱۰)

عنصر روی در نمونه‌های رسوب آبراهه‌ای این برگه از حداقل ۵۱.۹ تا حداً کثر ۱۹۹ ppm عیار نشان داده است میانگین این عنصر برابر با ۷۸.۷۷ گرم در تن و بیش از ۵٪ داده‌ها عیاری بیش از ۱۰۰ PPM را نشان می‌دهند. خطای آنالیز این عنصر برابر گزارش مکتوب در حد ۷.۸۱٪ محاسبه شده که حدی مورد قبول است. میانگین جهانی عنصر روی در سنگهای آهکی ۲۵ و در شیلها ۱۰۰ گرم در تن و در خاک بین ۱۰-۳۰۰ ppm گزارش شده است، ناهنجاریهای این عنصر به تفکیک برگه ۱:۵۰/۰۰۰ به شرح زیر است:

#### الف) برگه ۱:۵۰/۰۰۰ گرمی

##### - ناهنجاری جنوب اطمارة پایین، غرب اطمارة بالا

دو نمونه ناهنجار این منطقه را نمونه‌های ZG-396 و ZG-373 می‌پوشاند. مجموع مساحت تقریبی این منطقه در حدود ۱.۶ کیلومتر مربع است. واحدهای لیتوژوژی این منطقه را ماسه سنگهای توفی خاکستری با لایه‌های نازک شیلی و فروش رسی گچدار رنگارنگ الیگوسن تشکیل داده است. از جنوب آبراهه نمونه ZG-373 گسل بزرگ ظماره پایین می‌گذرد. نمونه شماره ZG-396 همپوشانی خوبی را با ناهنجاری عناصر Cu, Hg, Sn, Be و Be, Sr, F2 نشان می‌دهد. در ضمن نمونه شماره ZG-373 با ناهنجاریهای F4 انطباق نشان می‌دهد.

##### - ناهنجاری جنوبغرب گرمی

نمونه‌ای که این ناهنجاری را باعث شده است یعنی نمونه ZG-401 در ناهنجاریهای طلا شرح داده شد. این نمونه علاوه بر طلا در عناصر Cu, Hg, Sn و نقشه فاکتوری F4 نیز ناهنجاری نشان داده است.

##### - ناهنجاری شور درق

در جوار روستای شور درق از دو آبراهه موازی که نمونه با شماره ZG-334 و ZG-335 برداشت شده که هر دو در مقدار عنصر روی ناهنجاری نشان داده‌اند. مقادیر خام این دو نمونه به ترتیب برابر با ۱۳۶ و ۱۲۸ ppm گزارش شده است. مساحت تقریبی این ناهنجاری ۱.۶ کیلومتر است. واحدهای لیتوژوژی این ناهنجاری را رسوبات عهد حاضر و پادگانهای جوان کوارتنری و فورشهای رسی رنگارنگ گچدار الیگوسن تشکیل می‌دهد.

در نقشه UPSRT این واحدها با کدهای AL و GMC معرفی شده‌اند. از سر شاخه‌های این آبراهه‌ها بخش غربی گسل بزرگ حمزه لو گذشته است.

نمونه شماره ZG-335 در ناهنجاریهای Ni، Mn و F4 و نمونه شماره 334 در ناهنجاریهای Ni، F4 نیز شرکت دارد.

#### - ناهنجاری شمال گیلارلو

این ناهنجاری در غرب برگه ۵۰/۰۰۰ گرمی واقع شده و نمونه ZG-332 باعث تشکیل آن شده است، مقدار خام این نمونه برابر با ۹۱.۳ ppm گزارش شده و مساحت تقریبی آن ۳,۷ کیلومتر مربع است. رخمنوتها ای از پادگانه‌های آبرفتی کواترنری و فورش رسی گچدار رنگارنگ الیگو سن در این محدوده به چشم می‌خورد، این واحدها در نقشه UPSRT با کدهای AL و GMC معرفی شده‌اند. زون گسلی حمزه لو و هاچاکندی در این منطقه با یکدیگر تلاقی کرده‌اند. این نمونه همپوشانی جالب توجهی با عناصر Ni و Mn و نقشه فاکتوری F4 نشان می‌دهد.

#### - ناهنجاری شمالغرب مازان پایین

نمونه شماره ZG-304 که عامل این ناهنجاری است در مناطق ناهنجار عنصر بریلیوم شرح داده شده است. این نمونه علاوه بر بریلیوم در عناصر Mn-Co، Ni و نقشه‌های F3 و F4 ناهنجاری داده است.

#### - ناهنجاری شرق مسجدلو

این ناهنجاری و نمونه مرتبط به آن ZG-301 در مبحث ناهنجاریهای عنصر بریلیوم شرح داده شده است. علاوه بر بریلیوم این نمونه در عناصر Mo, Cu و نقشه فاکتوری F3 نیز ناهنجار است.

#### - ناهنجاری شمال غرب ایلخچه پایین

دو نمونه ZG-273 و ZG-274 باعث تشکیل این ناهنجاری شده‌اند، مقادیر خام این دو نمونه، به ترتیب برابر با ۱۱۸ و ۱۳۳ ppm گزارش شده و مساحت تقریبی منطقه ناهنجار در حدود ۱,۲ کیلومتر مربع برآورده شده است. واحدهای لیتولوژی این منطقه را رخمنوتها ای از جنس پادگانه‌های آبرفتی جوان کواترنری و رس مارن قهوه‌ای با لایه‌های نازک ماسه سنگی و آهک دولومیتی میوسن تحتانی تشکیل داده است این واحدها در نقشه

FGS با کدهای AL و UPSRT معرفی شده اند. از شمال و شمال غرب این آبراهه ها گسل بزرگ جنوب انجلو گذر کرده است. نمونه شماره ZG-273 در عناصر Co, Mn و نقشه فاکتوری F4 و نمونه شماره ZG-274 در عنصر نیکل نیز ناهنجاری نشان داده اند.

### ب: برگه ۱:۵۰/۰۰۰ سار

#### - ناهنجاری شمال زرگر

نمونه شماره ZG-6 در آبراهه ای با جهت غرب به شرق عامل این ناهنجاری است، مقدار خام این نمونه برابر با ۱۱۸ ppm گزارش شده و مساحت تقریبی محدوده آن در حدود ۳ کیلومتر مربع است. این آبراهه در پادگانه های آبرفتی جوان و قدیمی جریان دارد که در نقشه UPSRT با کد AL مشخص شده است. این نمونه در عنصر کالت و نقشه فاکتوری F4 نیز ناهنجاری نشان داده است.

### ج: برگه ۱:۵۰/۰۰۰ کلانسورا

#### - ناهنجاری شمال‌شرق پیر خلیل

این ناهنجاری که عامل آن نمونه شماره ZG-34 است در مبحث ناهنجاریهای طلا شرح داده شده است. این نمونه علاوه بر طلا در ناهنجاری F4 نیز شرکت داشته است. جدول ۷-۵ مشخصات مناطق ناهنجار عنصر روی و نمونه های مرتبط با آنرا نشان می دهد.

### ۴-۳-۸ - شرح مناطق ناهنجار عنصر منگنز (نقشه پیوست شماره ۱۱)

منگنز در نمونه های رسوب آبراهه ای از حداقل ۹۷ تا حداکثر ۲۲۷۰ گرم در تن عیار نشان داده است. میانگین مقادیر نمونه ها ۴۸۰، ۷۶۰ گرم در تن برآورده شده است و ۵٪ نمونه ها عیاری بیش از ۱۰۴۷ ppm را نشان داده اند. میانگین جهانی منگنز در سنگهای آهکی و شیلها به ترتیب برابر با ۱۱۰۰ و ۸۵۰ ppm گزارش شده و میانگین آن در خاک نیز ۸۵۰ ppm برآورده شده است. بنابراین میانگین نمونه ها از میانگین مقادیر آهک و شیل و میانگین مقدار منگنز در خاک کمتر است. خطای آنالیز این عنصر ۷،۱ گزارش شده است. مناطق ناهنجار منگنز به تفکیک برگه های ۱:۵۰/۰۰۰ به شرح زیر است.

الف: برگه ۱:۵۰/۰۰۰ گرمی

- ناهنجاری شور درق

نمونه عامل این ناهنجاری (ZG-335) در مبحث ناهنجاریهای عنصر روی شرح داده شد، این نمونه در عنصر نیکل و فاکتور چهارم نیز ناهنجاری نشان داده‌اند.

- ناهنجاری شمال گیلارلو

این ناهنجاری و نمونه مرتبط با آن ZG-332 نیز در مبحث ناهنجاریهای عنصر روی مطرح شده است این نمونه علاوه بر روی در عنصر نیکل و فاکتور چهارم نیز ناهنجاری نشان داده است.

- ناهنجاری سالار قشلاقی

این ناهنجاری در شرق برگه واقع شده است، نمونه عامل این ناهنجاری در ZG-314 یک آبراهه اصلی برداشت شده است، مقدار خام این نمونه ppm ۱۳۹۰ گزارش شده و مساحت تقریبی محدوده آن ۱ کیلومتر مربع برآورده شده است. واحدهای لیتولوژی آنرا پادگانهای آبرفتی جوان کواترنری و ماسه سنگ توفی خاکستری با لایه‌های شیل متعلق به الیگوسن در بر دارد. این واحدها در نقشه خلاصه شده با کدهای GMC و AL معرفی شده‌اند. از شمال محل برداشت این نمونه گسل بزرگ مازان با روند شرقی - غربی گذر کرده است. این نمونه در عنصر نیکل نیز ناهنجاری نشان داده است.

- ناهنجاری شمال‌غرب مازان پایین

نمونه عامل این ناهنجاری (ZG-304) در مبحث ناهنجاریهای عنصر روی شرح داده شده است. این نمونه علاوه بر روی در عناصر Be, Co, Ni و فاکتورهای سوم و چهارم ناهنجاری نشان داده است.

- ناهنجاری شمال‌غرب ایلخچیه پایین:

نمونه‌های این ناهنجاری (ZG-274, ZG-273) در بخش ناهنجاریهای عنصر روی شرح داده شده‌اند. این نمونه‌ها علاوه بر ناهنجاری روی در عناصر Ni, Co و فاکتور چهارم نیز ناهنجار هستند.

### - ناهنجاری جنوب انجیرلو - شرق قلعه سی

در شرق - شمالشرق برگه و در جنوب روستای انجیرلو و شرق روستای قلعه سی از خروجی یک آبراهه نمونه شماره ZG-285 برداشت شده که مقدار خام آن 1910 ppm گزارش شده است. مساحت تقریبی این ناهنجاری ۱,۲ کیلومتر برآورده شده و رخمنوتها ای از ماسه سنگهای توفی ضخیم لایه به همراه ماسه سنگ و رس فورشی اولیگوسن در این محدوده دیده شده است. این واحدها در نقشه خلاصه شده با کد FGS نامگذاری شده است. از جنوب محل برداشت این نمونه گسل جنوب انجیلو گذر کرده است. این نمونه در سایر عناصر ناهنجاری نشان نداده است.

### - ناهنجاری شمال غرب چناق

این ناهنجاری در منتهی الیه شمال غربی برگه ۱:۵۰/۰۰۰ گرمی واقع شده است و نمونه ناهنجار آن با شماره ZG-239 مشخص شده است. مقدار خام این نمونه 1240 ppm گزارش شده و مساحت تقریبی آن ۸,۰ کیلومتر مربع است. رخمنوتها ای از جنس ماسه سنگ توفی خاکستری با لایه های نازک شیلی، فورشهای رسی رنگارنگ گچدار، ماسه سنگ و ماسه سنگهای توفی خاکستری ضخیم لایه با سن اولیگوسن در این منطقه به چشم می خورد. این واحدها در نقشه UPSRT با کدهای GMC و FGS معرفی شده اند. این نمونه تنها در عنصر Ti نیز ناهنجاری نشان داده است.

### ب: برگه ۱:۵۰/۰۰۰ کلانسورا در برگه ۱:۵۰/۰۰۰ گرمی

#### - ناهنجاری شمال و شرق پرچین پایین

این ناهنجاری را سه نمونه با شماره های ZG-329، ZG-56 و ZG-57 در بردارند، این نمونه ها در شرق برگه ۱:۵۰/۰۰۰ گرمی (نمونه شماره ZG-329) و در غرب برگه ۱:۵۰/۰۰۰ کلانسورا (نمونه های شماره ZG-56 و ZG-57) برداشت شده اند، مقادیر خام این نمونه ها به ترتیب برابر با 2270 ppm (بیشترین مقدار منگنز)، 1160 و 1140 ppm می باشد. مساحت تقریبی این منطقه در حدود ۳.۵ کیلومتر مربع است. واحد های لیتولوژی این محدوده را پادگانه های آبرفتی، جوان کواترنری و فورش رسی گچدار رنگارنگ با لایه های نازک ماسه سنگی اولیگوسن در بر دارد. این واحدها در نقشه خلاصه شده با کدهای GMC و AL معرفی شده اند. سه نمونه مذکور منطبق بر ناهنجاری نیکل نیز می باشند. در

ضمن نمونه ZG-329 با فاکتور چهارم نیز ناهنجاری نشان داده است. جدول ۸-۵ مشخصات مناطق ناهنجار عنصر منگنز و نمونه های مرتبط با آنرا نشان می دهد

### ۵-۳-۹ - شرح مناطق ناهنجار عنصر نقره (نقشه پیوست شماره ۱۲)

نقره در رسوبات آبراهه ای از حداقل ۰.۰۱ ppm تا حداکثر ۲.۵۹ ppm عیار سنگی شده است، میانگین نقره در ۴۰۴ نمونه رسوب آبراهه ای برابر با ۰.۲۱ ppm است و ۹۹٪ داده ها عیاری زیر ۱ ppm نشان داده اند. میانگین جهانی این عنصر در سنگ آهک و شیل به ترتیب برابر با ۱ و ۰.۰۵ ppm و میانگین آن در خاک برابر با ۱ تا ۰.۱ ppm گزارش شده است. خطای آنالیز عنصر نقره در محاسبات R.A.E٪ بالا بوده (۶۵.۳٪) و بخشی از این خطای احتمال فراوان ناشی از مقادیر اندک نقره در رسوبات آبراهه ای است. مقادیر و محدوده های ناهنجار این عنصر در دو برگه کلانسورا و گوک تپه مشاهده شده اند که به ترتیب به آنها اشاره خواهد شد.

### - ناهنجاری درین کبود - سلاله (برگه ۱:۵۰۰۰ کلانسورد)

این منطقه که در مرگز برگه واقع شده دو نمونه متولی در یک آبراهه اصلی را شامل می شود که از ارتفاعات و نستانک و تمیر تاش سرچشمہ گرفته است اما نمونه های بالا دست این ناهنجاری، نشانی از نقره را در آنالیز مشخص نکرده اند. عامل این ناهنجاری مقادیر نقره در دو نمونه ZG-48 و ZG-49 می باشد، مقادیر خام این دو نمونه به ترتیب ۰.۰۴ و ۰.۹۹ ppm است. مساحت تقریبی این ناهنجاری در حدود ۳ کیلومتر مربع است و از واحدهای لیتولوژی همچون نهشته های عهد حاضر، پادگانه های جوان آبرفتی کواترنری و فورش رسی گچدار رنگارنگ همراه با لایه های نازک ماسه سنگ اولیگوسن تشکیل شده است. این واحدها در نقشه UPSRT با کدهای AL و GMC نامگذاری شده اند. نمونه شماره ZG-48 در ناهنجاری عنصر جیوه نیز نقش داشته است.

### - ناهنجاری شمال رحیم لوموران

نمونه شماره ZG-52 از خروجی آبراهه ای برداشت شده که از ارتفاعات روستای زهراء سرچشمہ گرفته ولی دو نمونه فرادست این نمونه ناهنجاری نشان نداده اند. مقدار خام این نمونه ۲.۵۹ ppm (بیشترین مقدار گزارش شده) است و مساحت تقریبی منطقه ناهنجار در حدود ۰.۹ کیلومتر مربع است. واحدهای لیتولوژی این منطقه را برونزدهایی از جنس

نهشته‌های عهد حاضر و فورش رسی گچدار رنگارانگ همراه با لایه‌های نازک ماسه سنگی متعلق به اولیگوسن تشکیل داده است. این واحدها در نقشه UPSRT با کدهای AL و GMC معرفی شده‌اند. این نمونه در سایر عناصر و نقشه‌های فاکتوری ناهنجاری نشان نداده است.

#### - ناهنجاری جنوب قشلاق اصفر - شمال شرق قشلاق حاجی عیسی (برگه ۱:۵۰/۰۰۰ گوک په)

نمونه شماره ZG-152 که عامل این ناهنجاری است در آبراهه اصلی برداشت شده است و نمونه‌های فرادست و فرودست آن ناهنجاری نشان نداده‌اند. مقدار خام این نمونه برابر با ۰.۹۹ppm بوده و مساحت تقریبی محدوده آن در حدود ۲,۳ کیلومتر مربع برآورد شده است. واحدهای لیتولوژی منطقه را پادگانه‌های کهن آبرفتی تشکیل داده است که در نقشه UPSRT با کد AL نامگذاری شده است. این نمونه در سایر ناهنجاریها نقشی نداشته است. جدول شماره ۵-۹ مشخصات مناطق ناهنجار عنصر نقره و نمونه‌های مرتبط با آنرا نشان می‌دهد.

#### ۵-۳-۱۰ - شرح مناطق ناهنجار عنصر مولیبدن (نقشه پیوست شماره ۱۳)

این عنصر عیاری از حداقل ۰.۲ تا حداقل ۱۹ppm را در نمونه‌های رسوب آبراهه‌ای نشان داده است میانگین آن برابر با ۵.۴۱PPm است. قریب به ۱۰٪ نمونه‌ها عیاری بیش از ۹.۷ppm نشان داده‌اند. میانگین جهانی این عنصر در سنگهای آهکی و شیل به ترتیب برابر با ۱ و ۳ گرم در تن و مقدار میانگین آن در خاک برابر با ۲ گرم در تن گزارش شده است. بنابراین حد غنی شدگی این عنصر هم در مقایسه میانگین‌ها و هم در ۱۰٪ بالای جامعه و باقی مدنظر باشد. خطای آنالیز این عنصر ۱۶,۸٪ است که از حد مجاز فراتر است. ناهنجاریهای این عنصر به تفکیک نقشه‌های توپوگرافی به شرح زیر است.

#### الف - برگه ۱:۵۰/۰۰۰ گرمی

- ناهنجاری شمالغرب گرمی - شمال رحیم لو  
این ناهنجاری که عامل آن نمونه شماره ZG-371 می‌باشد در مبحث ناهنجاریهای عنصر طلا شرح داده شده است. این نمونه علاوه بر طلا در ناهنجاریهای مس و قلع نیز تأثیر گذارد است.

جدول ٥٠٨: مخصوصات مختلف نافجلي عصر مناخن و تمويهي مرتبه آن

| النوعي              | نافجي سافر و تقطعي >X+2S | نافجي سافر و تقطعي >X+3S | Ln ei | Ln ei | رتبه عاليه | شلهه تمهيله | X      | Y       | نام    | نام منطقة     | رتبه                           |   |
|---------------------|--------------------------|--------------------------|-------|-------|------------|-------------|--------|---------|--------|---------------|--------------------------------|---|
| No Outcrop Observed | Zn-F4                    | Ni                       | 5     | 0.36  | 5          | 1570        | 249388 | 4331880 | ZG-335 | گرس           | شدر درق                        | 1 |
| No Outcrop Observed | F4                       | Zn-Ni                    | 4     | 0.43  | 4          | 1870        | 242991 | 4332140 | ZG-332 | گرس           | مشد گلدارو                     | 2 |
| No Outcrop Observed | NI                       |                          | 8     | 0.30  | 8          | 1390        | 243487 | 4336650 | ZG-314 | گرس           | سازار قدلاع                    | 3 |
| Calcareous Sediment | F3                       | Be,Zn,Co,Ni,F4           | 3     | 0.44  | 2          | 2040        | 250606 | 4337190 | ZG-304 | گرس           | شمالغرب بلان بخت               | 4 |
| No Outcrop Observed | Zn-F4                    | Co,F4                    | 11    | 0.22  | 10         | 1210        | 253026 | 4340810 | ZG-273 | گرس           | شماليغرب بلان بخت              | 5 |
| No Outcrop Observed | NI                       |                          | 6     | 0.33  | 6          | 1450        | 252978 | 4340970 | ZG-274 | گرس           |                                |   |
| Calcareous Sediment |                          |                          | 2     | 0.45  | 3          | 1910        | 246858 | 4340310 | ZG-285 | گرس           | جنوب ايجادلو - شرق قره كله سوس | 6 |
| No Outcrop Observed | TI                       |                          | 7     | 0.32  | 9          | 1240        | 241846 | 4348450 | ZG-239 | گرس           | شمالغرب جاتلي                  | 7 |
| SiltStone/Shale     | F4                       | NI                       | 1     | 0.52  | 1          | 2270        | 260794 | 4332240 | ZG-329 |               |                                |   |
| No Outcrop Observed | NI                       |                          | 9     | 0.22  | 12         | 1160        | 264216 | 4330160 | ZG-56  | گرس د كالسدا  |                                |   |
| No Outcrop Observed | NI                       |                          | 12    | 0.22  | 13         | 1140        | 264221 | 4330320 | ZG-57  | گرس د شري بخت |                                | 8 |

جدول ٥٠٩: مخصوصات مختلف نافجي نافجي نافجي نافجي

| النوعي                    | نافجي سافر و سافر خاصه >X+2S | نافجي سافر و سافر خاصه >X+3S | Ln ei | Ln ei | رتبه عاليه | شلهه تمهيله | X      | Y       | نام    | نام منطقة                                  | رتبه                     |   |
|---------------------------|------------------------------|------------------------------|-------|-------|------------|-------------|--------|---------|--------|--|--------------------------|---|
| Sandstone/SiltStone/Shale | Hg                           |                              | 4     | 0.68  | 3          | 1.04        | 264160 | 4325326 | ZG-48  | دریت گور - سلايد                           | دریت گور                 | 1 |
| Siltstone/Shale           |                              |                              | 6     | 0.63  | 4          | 0.99        | 263917 | 4328310 | ZG-49  | شمالدار حومه لومودان                       | شمالدار حومه لومودان     | 2 |
| Siltstone/Shale           |                              |                              | 1     | 1.05  | 1          | 2.59        | 267933 | 4337620 | ZG-52  | گور گور                                    | گور گور                  | 3 |
| No Outcrop Observed       |                              |                              | 3     | 0.74  | 5          | 0.99        | 265283 | 4369980 | ZG-152 | شماليغرب ايسفرا - شماليغرب ايشلاق حاجم عبس | شماليغرب ايشلاق حاجم عبس |   |

### - ناهنجاری شرق مسجدلو

نمونه شماره ZG-301 که این ناهنجاری را تشکیل داده در سرفصل ناهنجاریهای F3 مس شرح داده شده است، این نمونه علاوه بر مس در عناصر Zn, Be و نقشه فاکتوری ۳ نیز ناهنجار بوده است.

### ب- برگه ۱: ۵۰/۰۰۰ گرگ تپه

#### - ناهنجاری شمال قشلاق حسین آقا

شرح این ناهنجاری و نمونه آن (ZG-139) در بررسی ناهنجاریهای مس ارائه شده است. این نمونه علاوه بر مس در ایجاد ناهنجاریهای عناصر Ti, Be و نقشه فاکتوری ۳ نیز نقش داشته است.

### ج: برگه ۱: ۵۰/۰۰۰ بیله سوار

#### - ناهنجاری غرب بابا شکندری

نمونه شماره ZG-7 که عامل این ناهنجاری به همراه ناهنجاریهایی از عناصر Cu, Ti, Be, pb و نقشه‌های فاکتوری F2 و F3 می‌باشد در مبحث ناهنجاریهای عنصر مس شرح داده شده است. جدول ۱-۵ مشخصات مناطق ناهنجار عنصر مولیبدن و نمونه‌های مرتبط با آنرا نشان می‌دهد

### ۱۱-۳-۵ - شرح مناطق ناهنجار عنصر تیتانیوم (نقشه پیوست شماره ۱۴)

تیتانیوم در نمونه‌های رسوب آبراهه‌ای این برگه از حداقل 2120 تا حد اکثر 5990 ppm گزارش شده است. میانگین این عنصر 3866 ppm بوده و ۵٪ نمونه‌ها عیاری بیش از 4890 ppm را نشان داده اند. میزان میانگین جهانی این عنصر در سنگ آهک و شیل به ترتیب برابر با 400 و 4600 ppm گزارش شده و میانگین جهانی آن در خاک در حدود 5000 ppm برآورد شده است.

خطای آنالیز این عنصر در نمونه‌ها در حد قابل قبول (9.9%) محاسبه شده است.

شرح مناطق ناهنجار این عنصر به تفکیک برگه‌ای ۱: ۵۰/۰۰۰ ابشار زیر است:

**الف-برگه ۱:۵۰۰۰****ناهنجری جنوب هادی بیگلو**

این ناهنجاری در شمالشرق برگه و در جوار مرز جمهوری آذربایجان قرار دارد. نمونه شماره ZG-276 که از یک آبراهه کوچک برداشت شده این ناهنجاری را تشکیل داده است. مقدار خام این نمونه برابر با ۵۵۲۰ گرم درتن و مساحت آن تقریباً برابر با ۴۰ کیلومتر مربع برآورد شده است. برونزدهایی از جنس پادگانهای آبرفتی جوان کواترنری، رس و مارن قهوه‌ای رنگ با لایه‌های نازک ماسه سنگی و آهک دولومیتی میوسن تھتانی، محدوده این ناهنجاری را در بردارند. این واحدها در نقشه UPSRT با کد AL، FGS نامگذاری شده است. این نمونه در سایر عناصر و نقشه‌های فاکتوری ناهنجاری نشان نداده است.

**ناهنجری شمال غرب چناق**

نمونه ای که این ناهنجاری را باعث شده است (ZG-239) که مشخصات منطقه در نقشه ناهنجاریهای عنصر منگنز شرح داده است.

**ب: برگه ۱:۵۰۰۰ گوک تپه****ناهنجری شمال قشلاق حسین آقا**

نمونه شماره ZG-139 که این ناهنجاری را تشکیل داده است در مبحث ناهنجاریهای عنصر مس شرح داده شده است. این نمونه علاوه بر مس در ناهنجاریهای عناصر Be, Mo و نقشه فاکتوری F3 نیز نقش داشته است.

**ج: برگه ۱:۵۰۰۰ بیله سوار****ناهنجری غرب باباشکندری**

ناهنجری مذبور به همراه شرح نمونه مرتبط با آن (ZG-7) در سرفصل نقشه ناهنجاریهای عنصر مس ارائه شده است. این نمونه علاوه بر مس در تشکیل هنجاریهای عناصر Pb, Mo, Be, F2, F3 نقش داشته است.

## د: برگه ۱: کلانسورا

### ناهنجری شرق - شمال شرق ایلخانلر

این ناهنجاری که در گوشه جنوبغربی برگه واقع شده متشکل از مقادیر ناهنجار دو نمونه است که از یک آبراهه برداشته شده است. نمونه های شماره ZG-24 و ZG-25، به ترتیب با مقادیر خام 5950 و 5990 ppm (بیشترین مقدار) عامل این ناهنجاری هستند. مساحت تقریبی این ناهنجاری در حدود یک کیلومتر مربع بوده و بروونزدهای آنرا فورش رسی گچدار رنگارانگ با لایه های نازک ماسه سنگی (در نقشه UPSRT با کد GMC) تشکیل داده است.

جدول شماره ۱۱-۵ مشخصات مناطق ناهنجار عنصر تیتانیوم و نمونه های مرتبط با آنرا نشان می دهد.

### ۱۲-۳-۵- شرح مناطق ناهنجار عنصر جیوه (نقشه پیوست شماره ۱۵)

مقادیر حداقل و حداکثر این عنصر در نمونه های رسوب آبراهه ای به ترتیب برابر با ۰.۰۳ و ۰.۱ PPM گزارش شده است. میانگین جیوه در این نمونه ها ۰.۰۳ گرم در تن و تقریباً ۱٪ نمونه ها عیاری بیش از این حد را نشان داده اند. میانگین جهانی این عنصر در سنگهای آهکی و شیل، به ترتیب برابر با ۰.۰۵ و ۰.۵ گرم در تن و مقدار متوسط جهانی آن در رخاک درصد ۰.۰۳ PPM گزارش شده است. با توجه به این امر مناطق با پتانسیل اقتصادی از این عنصر را نمی توان انتظار داشت.

در زیر شرح مناطق ناهنجار این عنصر در برگه های ۱:۵۰/۰۰۰ ارائه خواهد شد.

#### الف: برگه ۱: ۵۰/۰۰۰ گرمی

##### ناهنجری جنوبغرب گرمی

ناهنجری این منطقه و نمونه مرتبط با آن (ZG-401) در مبحث ناهنجاریهای طلا شرح داده شد. این نمونه علاوه بر طلا در عناصر Cu, Zn, Sn و نقشه فاکتوری F4 نیز تأثیر داشته است.

##### ناهنجری شرق شاون بالا - جنوب تپه

در جنوبغرب برگه و در دو سوی قله ای با نقطه ارتفاعی ۱۲۳۳ متر دو آبراهه که یکی به سمت روستای تپه جاری است و دیگری در شرق شاون بالا جریان دارد این

جدول مشخصات ۱-۵: مناطق ناهاجر خصوصاً موليدن و نموتهای مرتبه با آن

| ردیف | نام ماده        | مقدار شمعونه | نام ماده         | مقدار شمعونه | نام ماده         | مقدار شمعونه | نام ماده  | مقدار شمعونه |
|------|-----------------|--------------|------------------|--------------|------------------|--------------|-----------|--------------|
| 1    | گروه اولی پرکلر | ZG-276       | گروه چهارم پلکل  | ZG-239       | گروه پنجم        | ZG-139       | گروه ششم  | ZG-24        |
| 2    | جوبه هدی پرکلر  | 254941       | شمال غرب پلکل    | 4374960      | کوک آبه          | 4341360      | شمال غرب  | 4248450      |
| 3    | جوبه سولار      | 5520         | شمال غرب         | 4700         | خرابه های شکننده | 5990         | شمال شرقی | 5720         |
| 4    | کالسکورا        | 0.19         | خرابه های شکننده | 36           | کالسکورا         | 0.13         | شمال شرقی | 0.13         |
| 5    |                 | 4            |                  | 4700         |                  | 1            |           | 3            |
| 6    |                 | 252764       |                  | 4374960      |                  | 1            |           | 3            |
| 7    |                 | 254941       |                  | 4341360      |                  | 1            |           | 3            |
| 8    |                 | 5520         |                  | 5720         |                  | 1            |           | 3            |
| 9    |                 | 0.19         |                  | 0.17         |                  | 1            |           | 2            |
| 10   |                 | 4            |                  | 3            |                  | 1            |           | 1            |
| 11   |                 | 254941       |                  | 4374960      |                  | 1            |           | 1            |
| 12   |                 | 4341360      |                  | 4248450      |                  | 1            |           | 1            |
| 13   |                 | 252764       |                  | 4374960      |                  | 1            |           | 1            |
| 14   |                 | 4374960      |                  | 4248450      |                  | 1            |           | 1            |
| 15   |                 | 5520         |                  | 5720         |                  | 1            |           | 1            |
| 16   |                 | 0.19         |                  | 0.17         |                  | 1            |           | 1            |
| 17   |                 | 4            |                  | 3            |                  | 1            |           | 1            |
| 18   |                 | 254941       |                  | 4374960      |                  | 1            |           | 1            |
| 19   |                 | 4341360      |                  | 4248450      |                  | 1            |           | 1            |
| 20   |                 | 252764       |                  | 4374960      |                  | 1            |           | 1            |
| 21   |                 | 4374960      |                  | 4248450      |                  | 1            |           | 1            |
| 22   |                 | 5520         |                  | 5720         |                  | 1            |           | 1            |
| 23   |                 | 0.19         |                  | 0.17         |                  | 1            |           | 1            |
| 24   |                 | 4            |                  | 3            |                  | 1            |           | 1            |
| 25   |                 | 254941       |                  | 4374960      |                  | 1            |           | 1            |
| 26   |                 | 4341360      |                  | 4248450      |                  | 1            |           | 1            |
| 27   |                 | 252764       |                  | 4374960      |                  | 1            |           | 1            |
| 28   |                 | 4374960      |                  | 4248450      |                  | 1            |           | 1            |
| 29   |                 | 5520         |                  | 5720         |                  | 1            |           | 1            |
| 30   |                 | 0.19         |                  | 0.17         |                  | 1            |           | 1            |
| 31   |                 | 4            |                  | 3            |                  | 1            |           | 1            |
| 32   |                 | 254941       |                  | 4374960      |                  | 1            |           | 1            |
| 33   |                 | 4341360      |                  | 4248450      |                  | 1            |           | 1            |
| 34   |                 | 252764       |                  | 4374960      |                  | 1            |           | 1            |
| 35   |                 | 4374960      |                  | 4248450      |                  | 1            |           | 1            |
| 36   |                 | 5520         |                  | 5720         |                  | 1            |           | 1            |
| 37   |                 | 0.19         |                  | 0.17         |                  | 1            |           | 1            |
| 38   |                 | 4            |                  | 3            |                  | 1            |           | 1            |
| 39   |                 | 254941       |                  | 4374960      |                  | 1            |           | 1            |
| 40   |                 | 4341360      |                  | 4248450      |                  | 1            |           | 1            |
| 41   |                 | 252764       |                  | 4374960      |                  | 1            |           | 1            |
| 42   |                 | 4374960      |                  | 4248450      |                  | 1            |           | 1            |
| 43   |                 | 5520         |                  | 5720         |                  | 1            |           | 1            |
| 44   |                 | 0.19         |                  | 0.17         |                  | 1            |           | 1            |
| 45   |                 | 4            |                  | 3            |                  | 1            |           | 1            |
| 46   |                 | 254941       |                  | 4374960      |                  | 1            |           | 1            |
| 47   |                 | 4341360      |                  | 4248450      |                  | 1            |           | 1            |
| 48   |                 | 252764       |                  | 4374960      |                  | 1            |           | 1            |
| 49   |                 | 4374960      |                  | 4248450      |                  | 1            |           | 1            |
| 50   |                 | 5520         |                  | 5720         |                  | 1            |           | 1            |
| 51   |                 | 0.19         |                  | 0.17         |                  | 1            |           | 1            |
| 52   |                 | 4            |                  | 3            |                  | 1            |           | 1            |
| 53   |                 | 254941       |                  | 4374960      |                  | 1            |           | 1            |
| 54   |                 | 4341360      |                  | 4248450      |                  | 1            |           | 1            |
| 55   |                 | 252764       |                  | 4374960      |                  | 1            |           | 1            |
| 56   |                 | 4374960      |                  | 4248450      |                  | 1            |           | 1            |
| 57   |                 | 5520         |                  | 5720         |                  | 1            |           | 1            |
| 58   |                 | 0.19         |                  | 0.17         |                  | 1            |           | 1            |
| 59   |                 | 4            |                  | 3            |                  | 1            |           | 1            |
| 60   |                 | 254941       |                  | 4374960      |                  | 1            |           | 1            |
| 61   |                 | 4341360      |                  | 4248450      |                  | 1            |           | 1            |
| 62   |                 | 252764       |                  | 4374960      |                  | 1            |           | 1            |
| 63   |                 | 4374960      |                  | 4248450      |                  | 1            |           | 1            |
| 64   |                 | 5520         |                  | 5720         |                  | 1            |           | 1            |
| 65   |                 | 0.19         |                  | 0.17         |                  | 1            |           | 1            |
| 66   |                 | 4            |                  | 3            |                  | 1            |           | 1            |
| 67   |                 | 254941       |                  | 4374960      |                  | 1            |           | 1            |
| 68   |                 | 4341360      |                  | 4248450      |                  | 1            |           | 1            |
| 69   |                 | 252764       |                  | 4374960      |                  | 1            |           | 1            |
| 70   |                 | 4374960      |                  | 4248450      |                  | 1            |           | 1            |
| 71   |                 | 5520         |                  | 5720         |                  | 1            |           | 1            |
| 72   |                 | 0.19         |                  | 0.17         |                  | 1            |           | 1            |
| 73   |                 | 4            |                  | 3            |                  | 1            |           | 1            |
| 74   |                 | 254941       |                  | 4374960      |                  | 1            |           | 1            |
| 75   |                 | 4341360      |                  | 4248450      |                  | 1            |           | 1            |
| 76   |                 | 252764       |                  | 4374960      |                  | 1            |           | 1            |
| 77   |                 | 4374960      |                  | 4248450      |                  | 1            |           | 1            |
| 78   |                 | 5520         |                  | 5720         |                  | 1            |           | 1            |
| 79   |                 | 0.19         |                  | 0.17         |                  | 1            |           | 1            |
| 80   |                 | 4            |                  | 3            |                  | 1            |           | 1            |
| 81   |                 | 254941       |                  | 4374960      |                  | 1            |           | 1            |
| 82   |                 | 4341360      |                  | 4248450      |                  | 1            |           | 1            |
| 83   |                 | 252764       |                  | 4374960      |                  | 1            |           | 1            |
| 84   |                 | 4374960      |                  | 4248450      |                  | 1            |           | 1            |
| 85   |                 | 5520         |                  | 5720         |                  | 1            |           | 1            |
| 86   |                 | 0.19         |                  | 0.17         |                  | 1            |           | 1            |
| 87   |                 | 4            |                  | 3            |                  | 1            |           | 1            |
| 88   |                 | 254941       |                  | 4374960      |                  | 1            |           | 1            |
| 89   |                 | 4341360      |                  | 4248450      |                  | 1            |           | 1            |
| 90   |                 | 252764       |                  | 4374960      |                  | 1            |           | 1            |
| 91   |                 | 4374960      |                  | 4248450      |                  | 1            |           | 1            |
| 92   |                 | 5520         |                  | 5720         |                  | 1            |           | 1            |
| 93   |                 | 0.19         |                  | 0.17         |                  | 1            |           | 1            |
| 94   |                 | 4            |                  | 3            |                  | 1            |           | 1            |
| 95   |                 | 254941       |                  | 4374960      |                  | 1            |           | 1            |
| 96   |                 | 4341360      |                  | 4248450      |                  | 1            |           | 1            |
| 97   |                 | 252764       |                  | 4374960      |                  | 1            |           | 1            |
| 98   |                 | 4374960      |                  | 4248450      |                  | 1            |           | 1            |
| 99   |                 | 5520         |                  | 5720         |                  | 1            |           | 1            |
| 100  |                 | 0.19         |                  | 0.17         |                  | 1            |           | 1            |
| 101  |                 | 4            |                  | 3            |                  | 1            |           | 1            |
| 102  |                 | 254941       |                  | 4374960      |                  | 1            |           | 1            |
| 103  |                 | 4341360      |                  | 4248450      |                  | 1            |           | 1            |
| 104  |                 | 252764       |                  | 4374960      |                  | 1            |           | 1            |
| 105  |                 | 4374960      |                  | 4248450      |                  | 1            |           | 1            |
| 106  |                 | 5520         |                  | 5720         |                  | 1            |           | 1            |
| 107  |                 | 0.19         |                  | 0.17         |                  | 1            |           | 1            |
| 108  |                 | 4            |                  | 3            |                  | 1            |           | 1            |
| 109  |                 | 254941       |                  | 4374960      |                  | 1            |           | 1            |
| 110  |                 | 4341360      |                  | 4248450      |                  | 1            |           | 1            |
| 111  |                 | 252764       |                  | 4374960      |                  | 1            |           | 1            |
| 112  |                 | 4374960      |                  | 4248450      |                  | 1            |           | 1            |
| 113  |                 | 5520         |                  | 5720         |                  | 1            |           | 1            |
| 114  |                 | 0.19         |                  | 0.17         |                  | 1            |           | 1            |
| 115  |                 | 4            |                  | 3            |                  | 1            |           | 1            |
| 116  |                 | 254941       |                  | 4374960      |                  | 1            |           | 1            |
| 117  |                 | 4341360      |                  | 4248450      |                  | 1            |           | 1            |
| 118  |                 | 252764       |                  | 4374960      |                  | 1            |           | 1            |
| 119  |                 | 4374960      |                  | 4248450      |                  | 1            |           | 1            |
| 120  |                 | 5520         |                  | 5720         |                  | 1            |           | 1            |
| 121  |                 | 0.19         |                  | 0.17         |                  | 1            |           | 1            |
| 122  |                 | 4            |                  | 3            |                  | 1            |           | 1            |
| 123  |                 | 254941       |                  | 4374960      |                  | 1            |           | 1            |
| 124  |                 | 4341360      |                  | 4248450      |                  | 1            |           | 1            |
| 125  |                 | 252764       |                  | 4374960      |                  | 1            |           | 1            |
| 126  |                 | 4374960      |                  | 4248450      |                  | 1            |           | 1            |
| 127  |                 | 5520         |                  | 5720         |                  | 1            |           | 1            |
| 128  |                 | 0.19         |                  | 0.17         |                  | 1            |           | 1            |
| 129  |                 | 4            |                  | 3            |                  | 1            |           | 1            |
| 130  |                 | 254941       |                  | 4374960      |                  | 1            |           | 1            |
| 131  |                 | 4341360      |                  | 4248450      |                  | 1            |           | 1            |
| 132  |                 | 252764       |                  | 4374960      |                  | 1            |           | 1            |
| 133  |                 | 4374960      |                  | 4248450      |                  | 1            |           | 1            |
| 134  |                 | 5520         |                  | 5720         |                  | 1            |           | 1            |
| 135  |                 | 0.19         |                  | 0.17         |                  | 1            |           | 1            |
| 136  |                 | 4            |                  | 3            |                  | 1            |           | 1            |
| 137  |                 | 254941       |                  | 4374960      |                  | 1            |           | 1            |
| 138  |                 | 4341360      |                  | 4248450      |                  | 1            |           | 1            |
| 139  |                 | 252764       |                  | 4374960      |                  | 1            |           | 1            |
| 140  |                 | 4374960      |                  | 4248450      |                  | 1            |           | 1            |
| 141  |                 | 5520         |                  | 5720         |                  | 1            |           | 1            |
| 142  |                 | 0.19         |                  | 0.17         |                  | 1            |           | 1            |
| 143  |                 | 4            |                  | 3            |                  | 1            |           | 1            |
| 144  |                 | 254941       |                  | 4374960      |                  | 1            |           | 1            |
| 145  |                 | 4341360      |                  | 4248450      |                  | 1            |           | 1            |
| 146  |                 | 252764       |                  | 4374960      |                  | 1            |           | 1            |
| 147  |                 | 4374960      |                  | 4248450      |                  | 1            |           | 1            |
| 148  |                 | 5520         |                  | 5720         |                  | 1            |           | 1            |
| 149  |                 | 0.19         |                  | 0.17         |                  | 1            |           | 1            |
| 150  |                 | 4            |                  | 3            |                  | 1            |           | 1            |
| 151  |                 | 254941       |                  | 4374960      |                  | 1            |           | 1            |
| 152  |                 | 4341360      |                  | 4248450      |                  | 1            |           | 1            |
| 153  |                 | 252764       |                  | 4374960      |                  | 1            |           | 1            |
| 154  |                 | 4374960      |                  | 4248450      |                  | 1            |           | 1            |
| 155  |                 | 5520         |                  | 5720         |                  | 1            |           | 1            |
| 156  |                 | 0.19         |                  | 0.17         |                  | 1            |           | 1            |
| 157  |                 | 4            |                  | 3            |                  | 1            |           | 1            |
| 158  |                 | 254941       |                  | 4374960      |                  | 1            |           | 1            |
| 159  |                 | 4341360      |                  | 4248450      |                  | 1            |           | 1            |
| 160  |                 | 252764       |                  | 4374960      |                  | 1            |           | 1            |
| 161  |                 | 4374960      |                  | 4248450      |                  | 1            |           | 1            |
| 162  |                 | 5520         |                  | 5720         |                  | 1            |           | 1            |
| 163  |                 | 0.19         |                  | 0.17         |                  | 1            |           | 1            |
| 164  |                 | 4            |                  | 3            |                  | 1            |           | 1            |
| 165  |                 | 254941       |                  | 4374960      |                  | 1            |           | 1            |
| 166  |                 | 4341360      |                  | 4248450      |                  | 1            |           | 1            |
| 167  |                 | 252764       |                  | 4374960      |                  | 1            |           | 1            |
| 168  |                 | 4374960      |                  | 4248450      |                  | 1            |           | 1            |
| 169  |                 | 5520         |                  | 5720         |                  | 1            |           | 1            |
| 170  |                 | 0.19         |                  | 0.17         |                  | 1            |           | 1            |
| 171  |                 | 4            |                  | 3            |                  | 1            |           | 1            |
| 172  |                 | 254941       |                  | 4374960      |                  | 1            |           | 1            |
| 173  |                 | 4341360      |                  | 4248450      |                  | 1            |           | 1            |
| 174  |                 | 252764       |                  | 4374960      |                  | 1            |           | 1            |
| 175  |                 | 4374960      |                  | 4248450      |                  | 1            |           | 1            |
| 176  |                 | 5520         |                  | 5720         |                  | 1            |           | 1            |
| 177  |                 | 0.19         |                  | 0.17         |                  | 1            |           | 1            |
| 178  |                 | 4            |                  | 3            |                  | 1            |           | 1            |
| 179  |                 | 254941       |                  | 4374960      |                  | 1            |           | 1            |
| 180  |                 | 4341360      |                  | 4248450      |                  | 1            |           | 1            |
| 181  |                 | 252764       |                  | 4374960      |                  | 1            |           | 1            |
| 182  |                 | 4374960      |                  | 4248450      |                  | 1            |           | 1            |
| 183  |                 | 5520         |                  | 5720         |                  | 1            |           | 1            |
| 184  |                 | 0.19         |                  | 0.17         |                  | 1            |           | 1            |
| 185  |                 | 4            |                  | 3            |                  | 1            |           | 1            |
| 186  |                 | 254941       |                  | 4374960      |                  | 1            |           | 1            |
| 187  |                 | 4341360      |                  | 4248450      |                  | 1            |           | 1            |
| 188  |                 | 252764       |                  | 4374960      |                  | 1            |           | 1            |
| 189  |                 | 4374960      |                  | 4248450      |                  | 1            |           | 1            |
| 190  |                 | 5520         |                  | 5720         |                  | 1            |           | 1            |
| 191  |                 | 0.19         |                  | 0.17         |                  | 1            |           | 1            |
| 192  |                 | 4            |                  | 3            |                  | 1            |           | 1            |
| 193  |                 | 254941       |                  | 4374960      |                  | 1            |           | 1            |
| 194  |                 | 4341360      |                  | 4248450      |                  | 1            |           | 1            |
| 195  |                 | 252764       |                  | 4374960      |                  | 1            |           | 1            |
| 196  |                 | 4374960      |                  | 4248450      |                  | 1            |           | 1            |
| 197  |                 | 5520         |                  | 5720         |                  | 1            |           | 1            |
| 198  |                 | 0.19         |                  | 0.17         |                  |              |           |              |

ناهنچاری را باعث شده‌اند. نمونه‌های این ناهنجاری با شماره‌های ZG-403 و ZG-390 به ترتیب با مقادیر خام ۰.۰۷ و ۰.۰۶ گرم در تن از خروجی این دو آبراهه برداشت شده‌اند. مساحت تقریبی این ناهنجاری ۱,۴ کیلومتر مربع برآورد شده است. برونزدهای این ناهنجاری را نهشته‌های عهد حاضر، پاگانه‌های آبرفتی جوان کواترنری و فورش رسی گچدار رنگارنگ با لایه‌های نازک ماسه سنگی اولیگوسن تشکیل داده‌اند. این واحدها در نقشه UPSRT با کدهای AL, GMC نامگذاری شده‌اند. انتهای شرقی گسل اظماره پایین از جنوب آبراهه ZG-390 می‌گذرد. این نمونه‌ها در ناهنجاری سایر عناصر نقشی نداشته اند.

### ناهنچاری شمال پورمهر

در گوشه جنوبشرقی برگه در شمال روستای پورمهر نمونه شماره ZG-406 از آبراهه‌ای برداشت شده که روندی غربی - شرقی دارد. این نمونه که مقدار خام آن ۰.۰۶ گرم در تن است عامل این ناهنجاری محسوب می‌شود. مساحت تقریبی این ناهنجاری ۸,۰ کیلومتر مربع برآورد شده و واحدهایی از جمله فورش رسی گچدار رنگارنگ با لایه‌های نازک ماسه سنگی اولیگوسن در این منطقه بروند دارند. این واحد در نقشه UPSRT با کد GMC معرفی شده است. شاخه جنوبی گسل‌ها چاکنده از شمال این آبراهه گذر کرده است. این نمونه در سایر ناهنجاریها نقشی نداشت است.

### ناهنچاری شرق شکرلوی پایین

در مرکز برگه از خروجی آبراهه‌ای که از ارتفاعات جنوب با بی‌کندي سرچشم می‌گرفته نمونه ZG-337 برداشت شده که باعث این ناهنجاری شده است. مقدار خام این نمونه برابر با ۰.۰۶ ppm و مساحت تقریبی محدوده آن در حدود ۱.۴ کیلومتر مربع برآورد شده است. برونزدهای آنرا واحدهای پادگانه‌های آبرفتی جوان کواترنری، فورش رسی گچدار رنگارنگ، ماسه سنگ، ماسه سنگ توفی ضخیم لایه و شیل متعلق به اولیگوسن تشکیل داده است. این واحدها در نقشه UPSRT با کد AL, GMC معرفی شده‌اند. از شاخه جنوبی این آبراهه در شمال و شمال شرق روستای بابی‌کندي گسل بزرگ حمزه لو گذر کرده است.

(نقشه ۱:۰۰۰/۱: زمین شناسی گرمی) این نمونه نقشی در ناهنجاری سایر عناصر نداشته است.

### ناهنجاری جنوب زنگیر شمال شرق قنبرلو

این ناهنجاری در جنوب شرق برگه واقع شده و نمونه عامل آن نمونه شماره ZG-۳۷۴ می باشد. مقدار خام این نمونه  $0.05 \text{ ppm}$  بوده و مساحت تقریبی محدوده آن  $۲/۲$  کیلومتر مربع برآورده است.

برونزدهای سنگی این محدوده را فورش رسی گچدار رنگارنگ همراه با ماسه سنگ نازک لایه به سن اولیگومن تشکیل می دهد که در نقشه UPSRT با کد GMC مشخص شده است. محدوده این ناهنجاری در بین  $P$  زون گسلی هاچاکندی و ظماره پایین واقع شده است. این نمونه در سایر ناهنجاریها نقشی نداشته است.

### ناهنجاری شمال تپه - جنوب سینه سر

این ناهنجاری نیز در جنوب شرق برگه واقع شده و نمونه مرتبط با آن (ZG-375) از آبراههای برداشت شده که از ارتفاعات جنوب شرق سینه سر سرچشم می گیرد. مقدار خام این نمونه  $0.05 \text{ ppm}$  و مساحت تقریبی آن  $۲,۳$  کیلومتر مربع برآورده است. برونزدهای این منطقه را پادگانه های آبرفتی جوان کواترنری، فورش رسی گچدار رنگارنگ و ماسه سنگ اولیگومن تشکیل داده است که در نقشه خلاصه شده با کدهای GMC و Al نامگذاری شده است. گسل بزرگ هاچاکندی از شمال این محدوده می گذرد. این نمونه نیز در سایر ناهنجاریها تأثیری نگذارد است.

### ب: برگه ۱:۵۰/۰۰۰ گوک تپه

#### ناهنجاری شمال غرب بیگ بالغو

نمونه شماره ZG-67 از آبراهه کوچکی برداشت شده که در نهایت به رودخانه مرزی بالها می ریزد، سطح این ناهنجاری قریب  $۶,۰$  کیلومتر مربع است و از برونزدهایی از جنس پادگانه های آبرفتی جوان کواترنری، رس و مارنهای رنگارنگ و آهک دولومیتی، رسهای فورشی، مارن گچدار و ماسه سنگ میوسن تشکیل شده است. این واحدها در نقشه UPSRT با کدهای Al, GMC, FGS نامگذاری شده است. یک گسل بزرگ با امتداد شرقی غربی دقیقاً از امتداد این آبراهه گذشته و ارتفاعات جنوب مرادلو و شمال قشلاق آقا

تا مرز غربی برگه را قطع می کند (نقشه ۱: ۱۰۰/۰۰۰ زمین شناسی گرمی). در ضمن این محدوده در یال جنوبی ناویدیسی قرار گرفته که تقریباً محور آن از آبراهه اصلی شمال این ناهنجاری می گذرد. این نمونه با ناهنجاری عنصر نیکل همپوشانی دارد.

#### ناهنجاری جنوب اوج دره:

نمونه شماره ZG-86 که عامل این ناهنجاری است. در مبحث ناهنجاریهای عنصر سرب شرح داده شده است.

ناهنجاریهای جنوب بخشعلی - شمال غرب حاجی بابا قشلاق این ناهنجاری و نمونه عامل آن (ZG-88) که در جنوب برگه واقع شده از سر شاخه آبراههای گرفته شده که در نهایت از روستای بخشعلی گذشته و به آبراهه ای بزرگ متنه می شود. مقدار خام این نمونه برابر با  $0.06\text{ppm}$  بوده و مساحت تقریبی این ناهنجاری در حدود  $۱,۳$  کیلومتر مربع برآورد شده است. برونزدهایی از پادگانه آبرفتی جوان و سازند باکو (مارن آهک و ماسه آهکی) متعلق به کواترنری (در نقشه UPSRT به نام AL) در محدوده ناهنجاری دیده می شود. این نمونه در سایر عناصر و نقشههای فاکتوری ناهنجاری نشان نداده است.

#### ناهنجاری شمال شرق سیدی - شمال معظم

این ناهنجاری و نمونه مرتبط با آن (ZG-80) در مبحث نمونه های ناهنجار عنصر باریم تشریح شده است. این نمونه علاوه بر باریم در عنصر کبات نیز ناهنجار است.

ناهنجاری جنوب غرب شاه آباد (جعفر آباد) شمال محمددرسی نمونه شماره ZG-212 که عامل این ناهنجاری است از آبراههای با روند جنوب شرق - شمال غرب در شمال روستای محمد آباد برداشت شده است. مقدار خام این نمونه برابر با  $0.07\text{ppm}$  و مساحت تقریبی آن  $۱,۱$  کیلومتر مربع است. پادگانه های آبرفتی قدیمی (در نقشه UPSRT به نام AL) این منطقه را در بر دارد. این نمونه در هیچ عنصر و یا نقشه فاکتوری دیگری به عنوان نمونه ناهنجار شرکت نکرده است.

### ۱- ناهنجاری جنوب خان یا باکندی

در دو آبراهه فرعی که به آبراهه بزرگ در مرکز برگه منتهی می‌شوند دو نمونه با شماره‌های ZG-170 و ZG-173 برداشت شده است. مقادیر خام این دو نمونه به ترتیب برابر با ۰.۰۵ و ۰.۰۶ گرم در تن می‌باشد.

مساحت مجموع این دو آبراهه فرعی به تقریب برابر با ۲,۶ کیلومتر مربع برآورد شده است. برونزدهایی از پادگانه های آبرفتی قدیمی این منطقه را در بر دارد که در نقشه بنام UPSRT AL نامگذاری شده است. این نمونه ها هیچگونه همپوشانی با سایر عناصر نشان نداده‌اند.

### ناهنجاری جنوب قشلاق آلیش

این ناهنجاری و نمونه مرتبط با آن ZG-130 در مبحث ناهنجاریهای عنصر ارسنیک شرح داده شد است.

ج: برگه ۱:۵۰/۰۰۰ یکله سوار

ناهنجاری شمال دمیر چلو - غرب برگه ۱:۵۰/۰۰۰

در غرب برگه و در یکی از آبراهه های فرعی که به آبراهه های با روند جنوبی شمالی منتهی می‌شود نمونه شماره ZG-16 برداشت شده است، مقدار خام این نمونه برابر با ۵۰۱ گرم در تن گزارش شده است. مساحت تقریبی این ناهنجاری ۷,۰ کیلومتر مربع برآورد شده است. محدوده این ناهنجاری را پادگانه های آبرفتی جوان و قدیمی تشکیل می‌دهد. این نمونه در سایر ناهنجاریها شرکت نکرده است.

برگه ۱:۵۰/۰۰۰ : ۱ کلانسورا

### ناهنجاری دمیر چی بالا - جنوب پیه درق

بخش عمده این ناهنجاری در غرب - جنوب غرب و در مرز غربی برگه ۱:۵۰/۰۰۰ :

۱ کلانسورا واقع شده و بخشی از آن در شرق جنوب شرق برگه ۱:۵۰/۰۰۰ گرمی قرار دارد. محدوده این ناهنجاری را چهار نمونه در برگرفته است که با شماره های ZG-35، ZG-37 و ZG-38 و ZG-392 مشخص شده‌اند، سه نمونه اول در برگه کلانسورا قرار دارند. محدوده تقریبی این ناهنجاری سطحی را برابر با ۳,۶ کیلومتر مربع در بردارد. واحدهایی از جمله فورش رسی گچدار رنگارنگ بالایه‌های نازک ماسه سنگی متعلق به

اولیگومن (در نقشه UPSRT با کد GMC مشخص شده است)، منطقه را در بر گرفته است. این محدوده دقیقاً در بین دو گسل ها چاکنده و شاخه فرعی و جنوبی آن قرار گرفته است و بنظر می‌رسد که این گسلها نقش اساسی را در شکل گیری مناطق ناهنجار احتمالی ایفاء کرده باشند. این نمونه‌ها در سایر عناصر و نقشه‌های فاکتوری نقشی در بر نداشته‌اند.

#### ناهنجاری شمال شرق زهرا - غرب سلاله

سه نمونه با شماره‌های ZG-45، ZG-47 و ZG-48 این ناهنجاری را تشکیل داده اند، مقادیر خام این سه نمونه به ترتیب برابر با ۰.۰۶، ۰.۰۵ و ۰.۰۵ گرم در تن می‌باشد. مساحت تقریبی این ناهنجاری  $2,3$  کیلومتر مربع برآورده شده و رخمنوتها از رسوبات عهد حاضر، پادگانه‌های آبرفتی جوان متعلق به کواترنری و فورش رسی گچدار رنگارنگ با لایه‌های نازک ماسه سنگی با سن اولیگومن در محدوده ناهنجاری دیده شده است. این واحدها در نقشه UPSRT با کد AL و GMC مشخص شده‌اند.

این نمونه‌ها به استثنای نمونه ZG-48 که در ناهنجاری عنصر نقره شرکت داشته در سایر عناصر همپوشانی نشان نمی‌دهند.

#### ناهنجاری شرق وان پایین - اوج آقاج

سه نمونه با شماره‌های ZG-22، ZG-29 و ZG-31 که از آبراهه‌هایی فرعی و با روند شمال‌غرب-جنوب‌شرق برداشته شده‌اند عامل این ناهنجاری می‌باشند، این آبراهه‌ها به رودخانه بلغارچای در مرز ایران با جمهوری آذربایجان منتهی می‌شوند. مقادیر خام این سه نمونه به ترتیب برابر با ۰.۰۷، ۰.۰۶ و ۰.۰۵ گرم در تن می‌باشد. مساحت تقریبی محدوده این سه آبراهه برابر با  $1,2$  کیلومتر مربع است. این آبراهه‌ها در رخمنوتها از جنس فورش رسی گچدار رنگارنگ با لایه‌های نازک ماسه سنگی متعلق به اولیگومن جریان دارند که در نقشه UPSRT با کد GMC معرفی شده است. این نمونه‌ها به استثناء نمونه شماره ZG-31 که در ناهنجاری عنصر قلع نیز شرکت کرده در سایر ناهنجاریها نقشی ندارند. جدول شماره ۵-۱۲ مشخصات مناطق ناهنجار عنصر جیوه و نمونه‌های مرتبط با آنرا نشان می‌دهد.

جدول ۱-۵: مشخصات مختلف ناپذیر خنثیز جنده و نموهای مرتبه ای

| نام دریج                    | نام منطقه   | ردیف  | شماره نمونه     | تاریخ محدوده کام | عملیات نمونه (ppm) | X      | Y       | Z      | ردیف محدوده کام                              | ردیف |
|-----------------------------|-------------|-------|-----------------|------------------|--------------------|--------|---------|--------|--|------|
| نام ایزو                    | لایه ایزو   | ردیف  | ردیف محدوده کام | ردیف محدوده کام  | ردیف               | ردیف   | ردیف    | ردیف   | ردیف   | ردیف |
| Siltstone/Shale             | >X>2S >X+3S | Ln ei | Ln ei           | Ln ei            | 0.1                | 245818 | 4322710 | ZG-401 | کرس  | 1    |
| Calcareous Sediment         | Cu,Zn,F4    | Au,Sn | 1               | 0.60             | 0.1                | 255601 | 4330940 | ZG-403 | کرس  | 2    |
| Calcareous Sediment         | .....       | ..... | 6               | 0.37             | 0.07               | 255601 | 4330940 | ZG-390 | مشرب شدن - جذب تبه                           | 3    |
| Siltstone/Shale             | .....       | ..... | 12              | 0.30             | 0.06               | 255323 | 4323012 | ZG-406 | کرس  | 4    |
| No Outcrop Observed         | .....       | ..... | 18              | 0.30             | 0.06               | 280606 | 4300900 | ZG-337 | مشرب شدن و درمان                             | 5    |
| Calcareous Sediment-        | .....       | ..... | 7               | 0.37             | 0.06               | 252947 | 4331270 | ZG-337 | مشرب شدن و درمان                             | 6    |
| Siltstone/Shale             | .....       | ..... | 22              | 0.22             | 0.05               | 253992 | 4324970 | ZG-374 | جذب زارگر شده اندیشه                         | 7    |
| Calcareous Sediment         | .....       | ..... | 23              | 0.22             | 0.05               | 255861 | 4328320 | ZG-375 | مشرب شدن سیلیکات                             | 8    |
| No Outcrop Observed         | M           | ..... | 9               | 0.30             | 0.06               | 281667 | 4339760 | ZG-67  | مشرب شدن پلک بافلو                           | 9    |
| No Outcrop Observed         | Pb          | 3     | 0.43            | 3                | 0.08               | 247943 | 4384460 | ZG-86  | مشرب شدن پلک اندیشه                          | 10   |
| No Outcrop Observed         | .....       | ..... | 14              | 0.30             | 0.06               | 248796 | 4386110 | ZG-88  | مشرب شدن پلک اندیشه                          | 11   |
| Basic Volcanic-Intermediate | Ba,Co       | ..... | 16              | 0.30             | 0.06               | 243613 | 4386090 | ZG-80  | مشرب شدن سیلیکات                             | 12   |
| Volcanic                    | .....       | ..... | 5               | 0.37             | 0.07               | 246761 | 4386730 | ZG-212 | مشرب شدن اندیشه (چوب اندیشه) شامل محدود درسی | 13   |
| No Outcrop Observed         | .....       | ..... | 31              | 0.22             | 0.05               | 255387 | 4383320 | ZG-170 | مشرب شدن اندیشه                              | 14   |
| No Outcrop Observed         | .....       | ..... | 17              | 0.30             | 0.06               | 269090 | 4381980 | ZG-173 | مشرب شدن اندیشه                              | 15   |
| No Outcrop Observed         | AS          | ..... | 33              | 0.22             | 0.05               | 260241 | 4310640 | ZG-130 | مشرب شدن اندیشه                              | 16   |
| No Outcrop Observed         | .....       | ..... | 2               | 0.52             | 0.1                | 283642 | 4387300 | ZG-35  | مشرب شدن پلک - خرب برگ دریگ                  | 17   |
| Sandstone                   | .....       | ..... | 8               | 0.30             | 0.06               | 262823 | 4321802 | ZG-35  | مشرب شدن پلک - خرب برگ دریگ                  | 18   |
| SandStone                   | .....       | ..... | 15              | 0.30             | 0.06               | 262283 | 4322910 | ZG-37  | مشرب شدن پلک - خرب برگ دریگ                  | 19   |
| Sandstone/SiltStone/Shale   | .....       | ..... | 10              | 0.3              | 0.06               | 262515 | 4322880 | ZG-38  | مشرب شدن پلک - خرب برگ دریگ                  | 20   |
| Siltstone/Shale             | .....       | ..... | 25              | 0.22             | 0.05               | 261623 | 4322140 | ZG-392 | مشرب شدن پلک - خرب برگ دریگ                  | 21   |
| Sandstone/SiltStone/Shale   | .....       | ..... | 11              | 0.3              | 0.06               | 262515 | 4322880 | ZG-45  | مشرب شدن پلک - خرب برگ دریگ                  | 22   |
| No Outcrop Observed         | Ag          | ..... | 22              | 0.22             | 0.05               | 263648 | 4328498 | ZG-47  | مشرب شدن پلک - خرب برگ دریگ                  | 23   |
| Siltstone/Shale             | .....       | ..... | 23              | 0.22             | 0.05               | 264160 | 4328326 | ZG-48  | مشرب شدن اندیشه                              | 24   |
| Sandstone/SiltStone/Shale   | .....       | ..... | 20              | 0.22             | 0.05               | 265559 | 4318600 | ZG-22  | مشرب شدن اندیشه                              | 25   |
| No Outcrop Observed         | Sn          | 4     | 0.37            | 4                | 0.07               | 266805 | 4320290 | ZG-31  | مشرب شدن اندیشه                              | 26   |

### ۱۳-۵-۳- شرح مناطق ناهنجار عنصر کبالت (نقشه پیوست شماره ۱۶)

کبالت در رسوبات آبراهه‌ای از حداقل ۹۹.۸ تا حداقل ۶۶.۲ گرم در تن گزارش شده است، مقدار میانگین این عنصر در نمونه‌ها در حدود ۲۱ ppm محاسبه شده و تنها حدود ۱٪ داده‌ها مقادیری بالای ۴۴.۵ ppm دارند. میانگین جهانی این عنصر در سنگهای آهکی و شیل به ترتیب برابر با ۴۰ و ۲۰ گرم در تن و در خاک ۱۴-۲۰ گرم در تن برآورد شده است. خطای آنالیز این عنصر در نمونه‌های تکراری برابر با ۷.۴٪ محاسبه شده که قابل قبول است. ناهنجاریهای این عنصر به تفکیک برگه‌های ۵۰/۰۰۰:۱ به شرح زیر است.

#### الف - برگه ۱: ۵۰,۰۰۰ گرمی

##### ناهنجاری غرب مازان پایین

دو نمونه از آبراهه غربی روستای مازان پایین با شماره‌های ZG-316 و ZG-304 برداشت شده است. این نمونه‌ها به ترتیب در سر فصل ناهنجاریهای عناصر بریلیوم و مس شرح داده شده‌اند. این نمونه‌ها علاوه بر این دو عنصر در منگنز، نیکل، روی، مولیبدن و نقشه‌های فاکتوری فاکتورهای F3 و F5 ناهنجار می‌باشند.

#### ناهنجاری عباییگلو - محمد لو

در شرق - شمال شرق برگه و در جوار مرز دو آبراهه که در فرادست روستاهای مذکور هستند با دو نمونه خروجی آنها یعنی نمونه‌های ZG-1 و ZG-279 عامل این ناهنجاری شده‌اند. مقادیر خام این دو نمونه به ترتیب برابر با ۱۸.۳ و ۱۸.۷ گرم در تن می‌باشد. مساحت تقریبی محدوده این ناهنجاری ۱.۴ کیلومتر مربع بوده و از واحدهایی همچون پادگانه‌های آبرفتی جوان کواترنری و ماسه سنگهای توفی ضخیم لایه، شیل، رسهای فورشی، مارن، ماسه سنگ، رس مارن قهوه‌ای و آهک دولومیتی متعلق به اویلگوسن و ائوسن پوشیده شده است. این واحدها در نقشه خلاصه شده با کدهای AL، FGS، GMC معرفی شده‌اند. آبراهه جنوب عباییگلو یک آبراهه گسلی است و گسل دیگری با جهت تقریباً عمود بر آن آنرا قطع می‌کند (نقشه زمین شناسی ۱۰۰/۰۰۰:۱ گرمی).

### ناهنجاری شمالغرب ایلخچیه پایین

دو نمونه با شماره های ZG-273 و ZG-281 که اولی از شاخه فرعی آبراهه غرب ایلخچیه پایین و دومی از سر شاخه فراز آن گرفته شده عامل این ناهنجاری می باشدند. مقادیر خام این دو نمونه به ترتیب  $38.2 \text{ ppm}$  و  $22.4 \text{ ppm}$  گزارش شده است. سطح زیر این ناهنجاری به تقریب برابر با  $1.4 \text{ کیلومتر مربع}$  برآورد شده است و واحدهایی از جمله پادگانه های جوان کواترنری، فورشهای رسی رنگارنگ گچدار، ماسه سنگهای توفی ضخیم لایه ، شیل اولیگوسن و رس مارن قهوه ای با ماسه سنگ و آهک دولومیتی میوسن تختانی در محدوده ناهنجاری دیده می شوند. این واحدها در نقشه UPSRT با کدهای AL و FGS GMC معرفی شده اند، گسل جنوب انجلیو یکی از سرشاخه های محدوده نمونه ZG-281 را قطع می کند. نمونه شماره ZG-273 در ناهنجاریهای عناصر روی ، منگنز و نقشه فاکتوری F4 نیز شرکت داشته است.

### ناهنجاری شمال غرب هادی بیگلو - جنوب شرق جهان خانلو

عامل این ناهنجاری نمونه شماره ZG-262 است که از آبراهه فرعی در شمال شرق روستای هادی بیگلو (شمال برگ) و نزدیک مرز جمهوری آذربایجان گرفته شده است. مقدار خام این نمونه  $24.5 \text{ ppm}$  و مساحت تقریبی حوضه آن  $35 \text{ کیلومتر مربع}$  برآورد شده است. محدوده این نمونه را بروزنهایی از پادگانه های آبرفتی جوان کواترنری، رس مارن قهوه ای با ماسه سنگ ، آهک دولومیتی میوسن تختانی ، فورشهای رسی رنگارنگ گچدار و ماسه سنگ اولیگوسن می پوشاند. این واحدها در نقشه UPSRT با کدهای AL GMC FGS معرفی شده اند. این آبراهه محل تلاقی دو گسل است که یکی از آنها گسل جنوب انجلیو می باشد (نقشه زمین شناسی  $1:100,000$  گرمی) این نمونه در سایر ناهنجاریها دخالتی نداشته است.

### ناهنجاری زینب آباد - اگبر داود قشلاقی

در مسیر جاده گرمی به شرف ختلی و در شمال برگ و در دو طرف رودخانه ساری قمیش چای چهار نمونه این ناهنجاری را تشکیل داده اند. این چهار نمونه از شمال به جنوب عبارتند از: ZG-264، ZG-260، ZG-258، ZG-256 که از آبراهه های فرعی شرق و غرب رودخانه برداشت شده اند. مقادیر خام این چهار نمونه به ترتیب عبارتند از:  $20.1$  ،

۲۰.۲ و ۱۹.۸ PPm مساحت این ناهنجاری به تقریب ۳.۲ کیلومتر مربع برآورده شده است. برونزدهایی از جنس پادگانه های جوان کواترنری و مجموعه ای از سازند زیوه (فروش رسی، ماسه سنگ توفی همراه با لایه های نازک شیل و ماسه سنگ) متعلق به اولیگوسن محدوده ناهنجاری را در بردارد. از مجموعه این چهار نمونه تنها نمونه ای که در فاکتور چهارم شرکت کرده نمونه شماره ZG-260 می باشد.

**ناهنجاری نرقشلاقی - حاجی بالا** یک کندی شمال شرق چنان در شمال برگه و آبراهه بزرگ معین حاجی بالا یک کندی و گلی بلاغ پایین و در شمال آن تعداد ۹ نمونه محدوده بزرگی از ناهنجاری عنصر کبات را تشکیل داده اند. مقادیر خام این نمونه ها از ۱۶,۷ تا ۲۲,۳ گرم در تن در نوسان است. نقطه مثبت این ناهنجاری حضور مجموعه ۹ نمونه در سه آبراهه است و نقطه ضعف آن عدم همپوشانی سایر عناصر در این مجموعه است، از مجموعه ۹ نمونه تنها یک نمونه ZG-237 در فاکتور چهارم تأثیر گذاشته است. در ضمن یکی از نمونه ها (ZG-73) در برگه گوک تپه و در امتداد آبراهه شمالی چنان برداشت شده که در همین مجموعه بررسی می شود. مجموع مساحت تقریبی این ناهنجاری ۸,۵ کیلومتر مربع برآورد شده است. برونزدهایی از جنس پادگانه های جوان کواترنری، تمامی واحدهای میوسن تعریف شده در نقشه زمین شناسی شامل رس، مارنهای رنگارنگ با میان لایه هایی از ماسه و آهک دولومیتی و تمامی مجموعه سازند زیوه (فروش رسی، ماسه سنگی توفی، ماسه سنگ خاکستری و ...) متعلق به اولیگوسن در این ناهنجاری شرکت دارند. این واحدها در نقشه خلاصه شده با کدهای GMC-FGS-AL نامگذاری شده اند. محدوده های نمونه های ZG-73، ZG-250 و ZG-251 تحت تأثیر عملکرد گسلهایی با روند عمدۀ شمال غرب جنوب شرق و شمال نمونه ZG-235 قرار گرفته اند.

### ب: برگه ۱ : ۵۰/۰۰۰ ۱ گوک تپه

**ناهنجاری غرب مرادلو - جنوب شرق حاجی بابا قشلاقی** دو نمونه با شماره های ZG-92 و ZG-94 که از آبراهه های غرب روستای مرادلو (جنوب برگه) برداشت شده اند. عامل این ناهنجاری می باشد، مقادیر خام این نمونه ها به ترتیب برابر با ۱۸.۷ و ۲۱ گرم در تن گزارش شده است. مساحت تقریبی این ناهنجاری

۱,۳ کیلومتر مربع برآورد شده است. این آبراهه و خروجی آن محل برخورد دو گسل است که اولی با روند شمالی-جنوبی و دومی باروند تقریباً شرقی - غربی امتداد داشته اند. برونزدهای این ناحیه را پادگانه های جوان آبرفتی، سازند باکو (مارن، ماسه آهکی همراه با سنگریزه) متعلق به کواترنری ، رس، مارن رنگارنگ و مارن رسهای گچدار میوسن بالایی پوشانده اند. این واحدها در نقشه UPSRT ، با کدهای AL ، GMC و FGS معرفی شده اند. این نمونه ها در تشکیل سایر ناهنجاریها نقشی در بر نداشته اند.

ناهنجاری آبراهه جنوب حاج بابا خان - بخشعلی - اوج دره - معظم در آبراهه اصلی دو نمونه ZG-167 و ZG-188 و در شاخه های جنوبی آن ۴ نمونه ZG-191 و ZG-85 (در آبراهه اوج دره)، ZG-83 و ZG-80 (آبراهه معظم شرق سیدی) برداشت شده که عامل این ناهنجاری می باشد، مقادیر خام این شش نمونه به ترتیب برابر با ۱8.9 ، ۱9.9 ، ۲0.6 ، ۱8.8 و ۲1.2 گرم در تن می باشد. مجموع مساحت این ناهنجاری به تقریب برابر با ۷ کیلومتر مربع برآورد شده است. برونزدهایی از جنس پادگانه های جوان آبرفتی ، سازند باکو (مارن، ماسه آهکی و ..) متعلق به کواترنری ، رس، مارن گچدار و ماسه سنگ میوسن بالایی در این منطقه دیده می شود، این واحدها در نقشه UPSRT با کدهای GMC و FGS-AL نامگذاری شده اند. از این ۶ نمونه تنها نمونه شماره ZG-80 Hg Ba همپوشانی دارد.

ناهنجاری شمال غرب بابا شکنندی - شمال دمیر چلو - جنوب شرق خان باباکنندی در آبراهه بزرگی که در دو برگه پیله سوار و گوک تپه با روند شرقی - غربی جریان دارد و در نهایت به کanal آب کشاورزی منتهی می شود، پنج نمونه برداشت شده است که این ناهنجاری را تشکیل داده اند. مقادیر خام این نمونه ها از حداقل ۱۸.۴ تا حداقل ۲۲ گرم در تن در نوسان است. مجموعه تقریبی مساحت این ناهنجاری در حدود ۱۵ کیلومتر مربع برآورد شده است. برونزدهایی از پادگانه های آبرفتی جوان و قدیمی (AL) در محدوده این ناهنجاری دیده شده است. از این ۵ نمونه تنها نمونه شماره ZG-6 در عنصر روی و نقشه فاکتوری F4 و دو نمونه شماره ZG-4 و ZG-8 نیز در فاکتور چهارم نقش داشته اند.

علاوه بر مناطق مشروحة نمونه شماره ZG-248 نیز به صورت منفرد و تنها در عنصر کبات ناهنجاری نشان داده است.

جدول شماره ۱۳-۵ مناطق ناهنجار عنصر کبات و نمونه های مرتبط با آنرا نشان می دهد.

از شرح سایر عناصری که نقشه های آنها در CD پیوست ارائه شده به دلیل اطالة کلام خودداری می شود و در ادامه به ذکر نقشه های فاکتوری می پردازیم.

#### ۵-۳-۱۴ - شرح مناطق ناهنجار نقشه های فاکتوری ( $F_1 = (As, Sb, Bi, Sr)$ ) (نقشه پیوست

شماره ۱۷)

این فاکتور بیشترین واریانس را از کل واریانس پوششی توسط فاکتور آنالیز را در بر دارد، حدود ۱۴,۵٪ واریانس منطقه را که مجموع آن برابر با ۶۸,۸٪ می باشد توسط این فاکتور پوشش داده شده است. همراهی سه عنصر ارسنیک، آنتیموان و بیسموت به عنوان ردیابهای مؤثر عناصر ارزشمند در این فاکتور می تواند اهمیت آنرا بالا ببرد. مقادیر بیشتر از Med+3S در تقسیم بندی حد زمینه آنومالی در این فاکتور وجود ندارد، بنابراین مقادیر بین Med+2S تا ماکزیمم به عنوان مناطق ناهنجار شناخته می شوند. مناطق ناهنجار این فاکتور به شرح زیر است.

منطقه ناهنجار جنوب گرمی (جنوب - جنوب غرب برگه ۱:۵۰/۰۰۰ گرمی) دو نمونه با شماره های ZG-397 و ZG-399 باعث تشکیل این ناهنجاری شده اند. مساحت تقریبی این محدوده برابر با ۲ کیلومتر مربع برآورد شده است. این محدوده را برونزدهایی از جنس فورش رسی گچدار رنگارنگ با لایه های نازک ماسه سنگی، ماسه سنگ توفی با لایه های نازک شیلی و فورشهای رسی رنگارنگ گچدار متعلق به سازند زیوه با سن اولیگوسن پوشانده است. این واحدها در نقشه UPSRT با کد GMC و FGS معرفی شده اند. عملکرد دو گسل متقطع در آبراهه شماره ZG-399 در نقشه زمین شناسی ۱:۱۰۰/۰۰۰ گرمی مشخص شده است. نمونه شماره ZG-397 در ارسنیک ناهنجاری نشان داده است.

جدول ۱۳-۵: مشخصات مناطق تاہنچیار خصوص کرکات و نمونه‌های مرتبط با آن

| ردیف | نام منطقه               | للم برقی ۱:۰۰۰ | شماره نموده | X        | Y        | عیار نموده (ppm) | ردیف مکانیز     | Ln ei | Ln ei           | تاریخ جاری سایر عناصر | >X+2S    | >X+3S  | ردیف       | ردیف       |
|------|-------------------------|----------------|-------------|----------|----------|------------------|-----------------|-------|-----------------|-----------------------|----------|--------|------------|------------|
| ۱    | خراب ملان پلیون         | گرمی           | ZG-304      | 22.2     | 2.05     | 90               | Zn-Mn-Ba-Ni-F-4 | F-3   | Zn-Mn-Ba-Ni-F-4 | Cu                    | 7        | 1.52   | 1          | AL_FGS,GMC |
| ۲    | جهای یگانو-محدود        | گرمی           | ZG-1        | 28.6267  | 4.338600 | ZG-1             | 28.7            | 0.96  | 331             | 18.3                  | 30       | 3.0    | AL_FGS,GMC |            |
| ۳    | شمال غرب ایلانچه پالبدن | گرمی           | ZG-279      | 28.5968  | 4.339650 | ZG-279           | 28              | 0.97  | 304             | 18.7                  | 2.8      | 2.8    | AL_FGS,GMC |            |
| ۴    | شمال غرب هادی بیگلو-    | گرمی           | ZG-273      | 25.0226  | 4.340810 | ZG-281           | 7               | 1.28  | 18.8            | 22.4                  | 82       | 1.05   | 2          | AL_FGS,GMC |
| ۵    | جنوب شرق چاه‌چالتو-     | گرمی           | ZG-281      | 261367   | 4.340810 | ZG-282           | 4.3342870       | 4.09  | 39              | 24.5                  | 263570   | 4.09   | 4          | AL_FGS,GMC |
| 6    | شمال غرب هادی بیگلو-    | گرمی           | ZG-256      | 24.9758  | 4.344300 | ZG-258           | 20.2            | 1.00  | 183             | 20.1                  | 176      | 1.00   | 17         | AL_FGS,GMC |
| 5    | جنوب شرق چاه‌چالتو-     | گرمی           | ZG-260      | 24.9571  | 4.344270 | ZG-264           | 24.8            | 1.09  | 37              | 20.5                  | 19.8     | 1.00   | 19         | AL_FGS,GMC |
| 7    | گوک تپه                 | گرمی           | ZG-73       | 24.4691  | 4.349040 | ZG-237           | 20.3            | 1.01  | 167             | 16.7                  | 15       | 1.01   | 13         | AL_FGS,GMC |
| 8    | نر قشلاقی حاجب بلا      | گرمی           | ZG-235      | 24.5124  | 4.348500 | ZG-237           | 21              | 1.02  | 131             | 9.2                   | 22.1     | 1.04   | 8          | AL_FGS,GMC |
| 9    | بیجی یاندی شمال شرق     | گرمی           | ZG-238      | 24.5335  | 4.348050 | ZG-235           | 22.1            | 0.98  | 267             | 19                    | 24.3903  | 0.98   | 22         | AL_FGS,GMC |
| 10   | چنگ                     | گرمی           | ZG-242      | 24.7681  | 4.348520 | ZG-242           | 17.3            | 0.94  | 376             | 24.7712               | 4.347240 | ZG-243 | 15         | AL_FGS,GMC |
| 11   | شمال غرب بهشتکندی       | -              | ZG-245      | 24.8295  | 4.347370 | ZG-245           | 8.5             | 1.05  | 85              | 22.3                  | 24.8295  | 3.47   | 1.05       | AL_FGS,GMC |
| 12   | شمال غرب بهشتکندی       | -              | ZG-250      | 24.6035  | 4.346160 | ZG-250           | 18              | 0.95  | 347             | 17.7                  | 24.6035  | 3.61   | 0.95       | AL_FGS,GMC |
| 13   | شمال غرب بهشتکندی       | -              | ZG-251      | 24.5857  | 4.346210 | ZG-251           | 16.4            | 0.92  | 388             | 16.4                  | 24.5857  | 3.4    | 0.92       | AL_FGS,GMC |
| 14   | شمال غرب بهشتکندی       | -              | ZG-4        | 26.4216  | 4.361840 | ZG-4             | 9.5             | 1.04  | 95              | 22                    | 26.4216  | 1.04   | 9          | AL_FGS,GMC |
| 15   | شمال غرب بهشتکندی       | -              | ZG-6        | 26.6937  | 4.362220 | ZG-6             | 19.4            | 0.99  | 239             | 20                    | 26.6937  | 3.47   | 0.95       | AL_FGS,GMC |
| 16   | شمال غرب بهشتکندی       | -              | ZG-8        | 26.9104  | 4.362750 | ZG-8             | 19.1            | 0.98  | 262             | 21                    | 26.9104  | 3.61   | 0.95       | AL_FGS,GMC |
| 17   | شمال غرب بهشتکندی       | -              | ZG-111      | 4.362320 | 4.362320 | ZG-111           | 18.7            | 0.97  | 302             | 26                    | 28.2204  | 1.04   | 0.97       | AL_FGS,GMC |
| 18   | شمال غرب بهشتکندی       | -              | ZG-174      | 25.9131  | 4.361780 | ZG-174           | 18.4            | 0.96  | 320             | 29                    | 25.9131  | 1.02   | 1.02       | AL_FGS,GMC |
| 19   | جنوب از قشلاقی          | گرمی           | ZG-248      | 4.346460 | 4.346460 | ZG-248           | 21.1            | 1.02  | 125             | 21                    | 25.0268  | 1.02   | 1.02       | AL_FGS,GMC |

### منطقه ناهنجار غرب مرادلو (جنوب برگه ۵۰/۰۰۰: گوک تپه)

نمونه شماره ZG-72 این ناهنجاری را تشکیل داده است. این نمونه و منطقه آن در مبحث ناهنجاریهای عنصر مس شرح داده شده است. این نمونه علاوه بر مس و فاکتور اول در عنصر سرب نیز ناهنجاری نشان داده است. جدول ۵-۱۴ مشخصات مناطق ناهنجار نقشه فاکتور اول و نمونه های مرتبط با آنرا نشان میدهد.

### ۱۵-۵-۵- مناطق ناهنجار نقشه فاکتوری $F_2 = (\text{Pb}, \text{Ba}, \text{W}, \text{Ti}, \text{Be})$ (نقشه پیوست

(۱۸) شماره

این فاکتور حدود ۱۳,۲٪ تغییرات جامعه کل را در بر دارد و ۶٪ کل برگه ۱:۱۰۰/۰۰۰ گرمی تنها در سه منطقه کوچک و هر کدام در اثر عملکرد تنها یک نمونه مشخص شده است.

### جنوب شرق گرمی - جنوب شرق الله دره (جنوب برگه گرمی)

نمونه شماره ZG-396 در شرق الله دره باعث این ناهنجاری شده است. این نمونه در مبحث ناهنجاریهای مس شرح داده شده است. علاوه بر مس این نمونه در عناصر Zn, Hg, Be, Sn نیز ناهنجاری نشان داده است.

### شمال شرق ایلخانلر (جنوب برگه کلانسورا)

نمونه شماره ZG-25 که از آبراهه فرعی در شمال این روستا برداشت شده است جزو ناهنجاریهای عنصر تیتانیوم معرفی شده است.

### - غرب بابا شکنندی (برگه ۵۰/۰۰۰: یله سوار)

نمونه شماره ZG-7 که عامل این ناهنجاری است در مبحث ناهنجاریهای عنصر مس شرح داده شده است، این نمونه علاوه بر مس و فاکتور دوم در عناصر pb, Ti, Be و فاکتور سوم نیز نقش داشته است. جدول شماره ۱۵-۵- مشخصات مناطق ناهنجار فاکتور دوم را نشان می دهد.

### ۱۶-۳-۵- شرح مناطق ناهنجار نقشه های فاکتوری ( $\text{Cu}, \text{Mo}$ ) $=\text{F}_3$ نقشه پیوست شماره ۱۹

( )

فاکتور سوم که معرفی مناطق مشترک بین  $\text{Cu}$ ,  $\text{Mo}$  را با توجه به ضریب همبستگی این دو عنصر در بر دارد. حدود ۱۱,۲٪ درصد تغیرات کل منطقه را در بر دارد، در نقشه مناطق ناهنجار این فاکتور سه محدوده در برگه  $1:50/000$  باشد: ۱- گرمی و یک محدوده در برگه  $1:50/000$  باشند و یک محدوده در برگه  $1:50/000$  بیله سوار واقع شده که در زیر به شرح آنها پرداخته می شود.

الف: برگه  $1:50/000$  گرمی  
منطقه ناهنجار شرق مسجدلو

این منطقه که در حاشیه شرقی برگه واقع شده در اثر عملکرد دو نمونه ZG-301 و ZG-302 تشکیل شده است، مساحت تقریبی این محدوده برابر با  $3,3$  کیلومتر مربع برآورد شده است. این منطقه را بروزدهایی از جنس پادگانه های آبرفتی جوان کواترنری در بر گرفته است که در سر شاخه های آن به احتمال زیاد از واحدهای فورش رسی گچدار رنگارنگ با لایه های نازک ماسه سنگی متعلق به اولیگوسن تأثیر پذیرفته است. آبراهه ای که نمونه ZG-302 از آن برداشت شده است یک آبراهه گسلی متصور شده است (نقشه زمین شناسی  $1:100/000$  گرمی).

منطقه ناهنجار غرب مازان پایین (مرکز شمال برگه) نمونه های شماره ZG-310 و ZG-304 به ترتیب از آبراهه اصلی و یک آبراهه فرعی در غرب این روستا برداشت شده است. این نمونه ها به ترتیب در سر فصل ناهنجاریها عنصر بریلیوم و مس شرح داده شده اند این نمونه ها علاوه بر ناهنجاری در عنصر مذکور در منگنز، نیکل، روی، مولیبدن، کبات و نقشه فاکتوری F5 نیز ناهنجاری نشان داده اند.

### منطقه ناهنجار جنوب ایلخچیه پایین

در جنوب این روستا و از یک آبراهه فرعی نمونه شماره ZG-280 برداشت شده که باعث این ناهنجاری شده است. مساحت تقریبی این ناهنجاری  $5,0$  کیلومتر مربع است و واحدهای لینولوژی آنرا پادگانه های آبرفتی جوان کواترنری، رس و مارن رنگارنگ باشند

لایه هایی از ماسه سنگ و آهک دولومیتی میوسن تشکیل داده است. این واحدها در نقشه زمین شناسی خلاصه شده برای قاصد UPSRT با کدهای AL، FGS مشخص شده است. مقدار Ln(ei) مولیبدن این نمونه در حد ۰.۴۲ گزارش شده اما به دلیل تخمین خاص نرم افزاری و قرار گرفتن در میان مجموعه نمونه ای که بار چندانی نداشتند به عنوان یک نمونه ناهنجار تلقی نشده است اما مقدار Ln(ei) آن با توجه به Color Scale در میان نمونه های بالاتر از X+2S مولیبدن قرار خواهد گرفت.

ب: برگه ۵۰/۰۰۰ : ۱ بیله سوار

#### منطقه ناهنجار غرب بابا شکنندی

این منطقه و نمونه مرتبط با آن (ZG-7) در مبحث ناهنجاریهای عنصر مس شرح داده شده است. این نمونه علاوه بر مس ناهنجاریهای در عناصر Ti, Be, Pb, Mo و نقشه فاکتوری F2 داشته است.

ج: برگه ۵۰/۰۰۰ ۱: گوی په

منطقه ناهنجار شمال قشلاق حسین آقا (شمال برگه). این منطقه و نمونه ناهنجار آن (ZG-139) در ناهنجاریهای عنصر مس شرح داده شده است. علاوه بر مس در عناصر Mo, Ti, Be نیز ناهنجاری نشان داده است. جدول شماره ۵-۱۶ مشخصات مناطق ناهنجار فاکتور سوم را نشان می دهد.

### ۱۶-۳-۵- شرح مناطق ناهنجار فاکتور چهارم (Au, Zn, Mn, Co)

(نقشه پیوست شماره ۲۰)

این فاکتور ۹/۱ از کل تغییرات محاسبه شده از آنالیز فاکتوری را در بر دارد. محدوده های ناهنجار این فاکتور به تفکیک برگه های ۵۰/۰۰۰: اشرح زیر است:

الف: برگه ۵۰/۰۰۰ ۱: گرمی

ناهنجاری بین اظماره پایین و اظماره بالا

درین این دو روستا و در غرب آنها آبراهه ای در جریان است که در بخش غرب اظماره پایین یک نمونه به شماره ZG-373 از آن برداشت شده است. مساحت تقریبی این محدوده برابر با ۱,۴ کیلومتر مربع برآورد شده است برونزدهای این

جدول ١٤: مخصوصات مانعف ناچهر نشانه فلکتور اول F1 و نوونهای مرتبه ای

| ردیف | نام منطقه  | نام  | X     | Y     | شماره نمونه | نام برچگاه |
|------|------------|------|-------|-------|-------------|------------|
| 1    | جنوب کرمان | گردش | AS    | >X+3S | 248946      | ZG-397     |
| 2    | غرب مراغه  | گردش | ...   | >X+2S | 4322210     | ZG-399     |
| 3    | گردش       | گردش | ...   | ...   | 4322130     | ZG-72      |
| 4    | گردش       | گردش | Pb-Cu | Pb-Cu | 247738      | 4350200    |

جدول ١٥: مخصوصات مانعف ناچهر اول F2 و نوونهای مرتبه ای

| ردیف | نام منطقه           | نام       | X   | Y                  | شماره نمونه | نام برچگاه |
|------|---------------------|-----------|-----|--------------------|-------------|------------|
| 1    | جنوب شرقی آذربایجان | گردش      | ... | >X+2S              | 249301      | ZG-398     |
| 2    | شمال شرقی آذربایجان | گاسوسرا   | B8  | >X+3S              | 4322250     | ZG-25      |
| 3    | غرب پاپیوندگان      | پیله سوار | Ti  | ...                | 263079      | 4318143    |
|      |                     | پیله سوار | Pb  | Mo, Cu, Ti, Be, F3 | 268296      | 4361380    |

جدول ١٦: مخصوصات مانعف ناچهر اول F3 و نوونهای مرتبه ای

| ردیف | نام منطقه         | نام | X   | Y     | شماره نمونه | نام برچگاه         |
|------|-------------------|-----|-----|-------|-------------|--------------------|
| 1    | شرق مسجدلو        | گرس | ... | >X+2S | 242139      | Cu, Mo, Be         |
| 2    | غرب مراغه پاپن    | گرس | Zn  | >X+3S | 242265      | Zn, Mn, Be, Ni, F4 |
| 3    | جنوب ایلخانی پاپن | گرس | ... | ...   | 250606      | Co, Cu, Mo, Be     |
| 4    | غرب پاپیوندگان    | گرس | ... | ...   | 249771      | Pb                 |
| 5    | شمال قلاچان آقا   | گرس | ... | ...   | 252936      | Mo, Ti, Be, Mo, F2 |
|      |                   | گرس | Cu  | ...   | 4361380     | Mo, Ti, Be         |
|      |                   | گرس | ... | ...   | 252764      | 4374980            |

ناهنجاری را فورش رسی گچدار رنگارنگ با لایه‌های نازک ماسه سنگی تشکیل داده است. این نوع لیتوژری در نقشه UPSRT با کد GMC معرفی شده است. گسل بزرگ ظماره پایین این آبراهه را قطع کرده است. این نمونه علاوه بر این فاکتور در عناصر Zn, Sr, Be نیز ناهنجاری نشان داده است.

#### ناهنجاری جنوبغرب گرمی (جنوبغرب برگه ۱:۵۰/۰۰۰)

شرح این ناهنجاری و نمونه مرتبط با آن (ZG-401) در مبحث ناهنجاریهای طلا آورده شده است. این نمونه علاوه بر فاکتور چهارم و طلا در عناصر Sn نیز Cu, Zn, Hg-Sn ناهنجاری نشان داده است.

ناهنجاری شمال پرچین پایین - جنوب بیوک آقا (شرق برگه ۱:۵۰/۰۰۰) نمونه ای که این ناهنجاری را باعث شده است نمونه شماره ZG-329 می‌باشد. مساحت تقریبی این ناهنجاری ۱,۱ کیلومتر مربع بوده و واحدهایی از جنس پادگانهای آبرفتی جوان (AL) در نقشه‌های UPSRT در محدوده ناهنجار دیده می‌شود. این نمونه در ناهنجاریهای Mn و Ni نیز شرکت داشته است.

#### ناهنجاری شور ورق

محدوده این ناهنجاری و نمونه های مرتبط با آن ZG-334 و ZG-335 در مبحث ناهنجاریهای عنصر روی شرح داده شده است. این نمونه علاوه بر فاکتور چهارم و عنصر روی در عناصر منگر و نیکل نیز ناهنجاری نشان داده است.

#### ناهنجاری شمال غرب مازان پایین

این ناهنجاری و نمونه مربوط به آن یعنی ZG-304 در سر فصل ناهنجاریهای عنصر Be, Mn, Co, Ni و نقشه فاکتوری F3 نیز با آن ناهنجاری همپوشانی دارند.

### ناهنجری شمال غرب ایلخیچه پایین

نمونه شماره ZG-273 که عامل این ناهنجاری است بخشی از ناهنجاری بهمین نام در عنصر روی بوده است. این نمونه علاوه بر فاکتور چهارم و عنصر روی در عناصر Mn, C0 نیز ناهنجار بوده است.

### ناهنجری شمال اکبر داود قشلاقی جنوب غرب جهان خانلو

نمونه شماره ZG-260 از آبراهه فرعی برداشت شده که با روند جنوب شرق - شمال غرب به رودخانه ساری قمیش چای می‌ریزد. مساحت تقریبی این محدوده برابر با ۰.۳ کیلومتر مربع برآورده شده است. این محدوده را رخمنوتها ای از پادگانه های آبرفتی جوان کواترنری، ماسه سنگهای توفی با لایه های نازک شیلی و فورشهای رسی رنگارنگ گچدار متعلق به سازنده زیوه با سن اولیگوسن می‌پوشاند. این واحدها در نقشه UPSRT با کدهای FGS و GMC، AL و GMS نامگذاری شده‌اند. بخش بالایی این آبراهه و نواحی شمالی آن محل تقاطع دو گسل است. این نمونه در ناهنجاری عنصر کبات نیز شرکت داشته است.

### ناهنجری شمال شرق چناق (مرز شمالی برگه)

در این محدوده نمونه شماره ZG-237 عامل ناهنجاری محسوب می‌شود، محدوده این ناهنجاری سطحی را در حدود ۸۵،۰ کیلومتر مربع در بردارد. واحدهایی که در این ناهنجاری بروزند داشته اند شامل رسوبات عهد حاضر، فورشهای رسی رنگارنگ گچدار، ماسه سنگ، تناوبی از ماسه سنگ و رس فورشی و ماسه سنگهای توفی با لایه های نازک شیلی متعلق به سازنده زیوه با سن اولیگوسن می‌باشد. این واحدها در نقشه UPSRT با کد Al، GMC و FGS نامگذاری شده‌اند. نمونه مزبور در ناهنجاری کبات نیز همپوشانی دارد.

ب: برگه ۵۰/۰۰۰ : ۱ بله سوار

### ناهنجری غرب بابا شکندری

سه نمونه با شماره های ZG-4، ZG-6 و ZG-8 این ناهنجاری را در پادگانه های آبرفتی جوان و قدیمی (در نقشه UPSRT، با کد AL) تشکیل داده‌اند. مساحت تقریبی این ناهنجاری ۱،۱ کیلومتر مربع می‌باشد. این نمونه ها در عنصر کبات نیز ناهنجاری نشان داده اند. در ضمن نمونه شماره ZG-6 در عنصر روی نیز ناهنجاری نشان داده است.

ج: برگه / ۰۰۰۱: کلانسورا

### ناهنجری جنوب غرب کلانسورا

نمونه شماره ZG-34 که عامل این ناهنجاری است از آبراهه‌ای برداشت شده که به رودخانه بلغارچای در مرز ایران و جمهوری آذربایجان منتهی می‌شود. سطح تقریبی این ناهنجاری در حدود ۷,۰ کیلومتر مربع برآورد شده و برونزدهای رسوبات عهده حاضر و فورش رسی گچدار رنگارنگ با لایه‌های نازک ماسه سنگی از سازنده زیوه با سن اولیگوسن در این محدوده مشاهده می‌شود. این نمونه علاوه بر شرکت در ناهنجاری فاکتور چهارم در ناهنجاریهای عناصر طلا و روی نیز تأثیر گذارده است.

جدول شماره ۵-۱۷ مشخصات مناطق ناهنجار فاکتور چهارم و نمونه‌های مرتبط با آنرا نشان می‌دهد.

جدول ۱-۵: مشخصات مناطق تابعیت ها که ممکن است در F4 و نسخه های مرتبط با آن

| ردیف | نام ماده     | نام برجه   | شماره نموده | نام اندیمهای سلولی | نام اندیمهای سلولی | نام اندیمهای سلولی | ردیف                 |
|------|--------------|------------|-------------|--------------------|--------------------|--------------------|----------------------|
| 1    | بلور از      | >X+2S      | X           | Y                  | Z                  | X+3S               | بلور از              |
| 2    | GMC          | Be         | 252263      | 4326000            | ZG-373             | قرمز               | بلورهای پلیت و لاینر |
| 3    | FGS,GMCS,CGS | Cu, Zn, Au | 252263      | 4326000            | ZG-401             | قرمز               | پتوپریلز قرمز        |
| 4    | AL,GMC       | Ni         | 260794      | 4332240            | ZG-320             | قرمز               | مشال پلیت پلیت       |
| 5    | AL,GMC       | Ni, Zn     | ...         | 249094             | ZG-334             | قرمز               | مشدود دری            |
| 6    | AL,GMC       | Ni         | 243388      | 4331880            | ZG-335             | قرمز               | مشال پلیلارو         |
| 7    | AL,GMC       | Mn, Ni     | 242591      | 4332140            | ZG-332             | قرمز               | مشمال پلیلارو        |
| 8    | AL,FGS,GMCS  | F3         | 250606      | 4337710            | ZG-304             | قرمز               | مشمال پلیلارو        |
| 9    | AL,FGS,GMCS  | Mn         | 250606      | 43340810           | ZG-270             | قرمز               | مشمال پلیلارو        |
| 10   | FGS          | Co         | ...         | 243891             | ZG-266             | قرمز               | مشمال پلیلارو        |
| 11   | AL,FGS,GMCS  | Co         | ...         | 245124             | ZG-237             | قرمز               | مشمال پلیلارو        |
| 12   | AL,FGS,GMCS  | ...        | 245124      | 43348600           | ZG-4               | قرمز               | مشمال پلیلارو        |
| 13   | AL,FGS,GMCS  | Zn, Co     | 26897       | 43622200           | ZG-6               | بله سوار           | خراب پلیلارو         |
| 14   | AL,FGS,GMCS  | ...        | 269104      | 43622760           | ZG-8               | بله سوار           | خراب پلیلارو         |
| 15   | GMC          | Au         | 269047      | 43230300           | ZG-34              | بله سوار           | چونوپلیلارو          |

جدول ۵-۵ پارامترهای آماری فاکتور اول تا سهتم و مادیر

|                 | $F_1(A.s, S.n, B.l, S.r)$ | $F_2(P.h, E.n, W, T.l, R.o)$ | $F_3(C.u, M.o)$ | $F_4(A.u, Z.n, M.m, C.o)$ | $F_5(A.u, S.m, S.r)$ | $F_6(C.t, N.U)$ | $F_7(I.I, g)$ |
|-----------------|---------------------------|------------------------------|-----------------|---------------------------|----------------------|-----------------|---------------|
| <b>N</b>        |                           |                              |                 |                           |                      |                 |               |
| Valid           | 404                       | 404                          | 404             | 404                       | 404                  | 404             | 404           |
| Missing         | 2                         | 2                            | 2               | 2                         | 0                    | 0               | 0             |
| <b>Mean</b>     |                           |                              |                 |                           |                      |                 |               |
| Median          | 0.016                     | 0.100                        | -0.045          | -0.158                    | 0.023                | -0.030          | -0.151        |
| Std. Deviation  | 1                         | 1                            | 1               | 1                         | 1                    | 1               | 1             |
| Variance        | 1                         | 1                            | 1               | 1                         | 1                    | 1               | 1             |
| <b>Skewness</b> |                           |                              |                 |                           |                      |                 |               |
| Std. Error of   | -0.116                    | -0.773                       | 0.414           | 0.841                     | 0.033                | 0.682           | 2.908         |
| <b>Kurtosis</b> |                           |                              |                 |                           |                      |                 |               |
| Std. Error of   | 0.121                     | 0.121                        | 0.121           | 0.121                     | 0.121                | 0.121           | 0.121         |
| <b>Minimum</b>  | -2.88667                  | -4.73551                     | -3.02368        | -5.11617                  | -3.45168             | -2.76865        | -3.0651       |
| <b>Maximum</b>  | 2.8454                    | 3.15158                      | 4.81667         | 6.00792                   | 3.86752              | 4.7684          | 8.9912        |
| Med+s           | 1.016                     | 1.100                        | 0.955           | 0.842                     | 1.073                | 0.970           | 0.849         |
| Med+2s          |                           | 2.100                        | 1.955           | 1.842                     | 2.073                | 1.970           | 1.849         |
| Med+3s          |                           | 3.100                        | 2.955           | 2.842                     | 3.073                | 2.970           | 2.849         |

## فصل ششم

فاز کنترل آنومالیهای ژئوشیمیایی

## ۱-۶- مقدمه

نقشه های حاصله از بررسیهای اطلاعات آنالیز عنصری در نمونه های رسوبات آبراههای منجر به تعیین مناطقی شده که می تواند ناشی از پدیده های کانی سازی احتمالی و یا تأثیر مؤلفه های سن ژنتیک هاله های اولیه باشد. عملیات کنترل آنومالیها در این مناطق با هدف تمیز آنومالیهای واقعی از آنومالیهای کاذب و ظاهری با توجه به بررسیهای دقیق و نمونه برداری بروزدهای احتمالی مینرالیزه، آلتره و برداشت نمونه های کانی سنگین است. با توجه به اینکه روش های آنالیز شیمیایی نمی توانند فاز پیدایش کانی سازی را بررسی کنند و بسته به نوع حلال و روش آنالیزی تمامی یا بخشی از عناصر را مورد سنجش قرار داده بنابراین کسب اطلاعات تکمیلی به ویژه در مورد نمونه های کانی سنگین ضرورت پیدا میکند. ظهور یک عنصر در فاز های مختلف می تواند ارزش مطالعاتی و اقتصادی گوناگونی داشته باشد که بررسی و اطلاع از آن در حیطه توانمندیهای کانیهای سنگین است.

## ۲-۶- تعریف کانیهای سنگین

کانیهای سنگین Heavy minerals به بخشی از رسوبات تخریبی از حوضه های رسوبی (Sedimentary catchment) اطلاق می شود که وزن مخصوص آنها بیش از ۲.۹ گرم بر سانتیمتر مکعب باشد. این کانیها از لحاظ ویژگیهای فیزیکی دامنه گسترده ای را در میادین هوازدگی فیزیکی، مقاومت فرسایشی در اثر حمل و نقل، وزن مخصوص. خواص مغناطیسی، رنگ و ... نشان می دهند. آنها از دیدگاه ترکیب شیمیایی و نحوه واکنش در محیط های گوناگون نیز تنوع و تکثر نشان می دهند. فاز تشکیل آنها (فاز های سیلیکات، سولفیدی، اکسیده)، نحوه واکنش آنها در محیط های مختلف (محیط های اسیدی، خشی، قلیایی)، میزان حلalیت آنها در آب، پارامترهایی است که در تجمع (نه نشست) و یا پراکندگی آنها نقش به سزاوی را ایفا می نمایند. کانیهای سنگین با توجه به تعریف بالا، دامنه گسترده ای را در انواع کانیها نشان می دهند و با توجه به نیازها می توان آنها را در دسته بندی های ویژه ای قرار داد.

## ۳-۶- تقسیم بندی کانیهای سنگین

تقسیم بندی های گوناگونی از کانیهای سنگین توسط محققین و مولفین انجام شده و با توجه به کاربرد کانیهای سنگین در محیط های مختلف میتوان آنها را در شاخه های مختلف قرار

داده طور مثال بررسی رسوبات ساحلی، تجمعات پلاسرهای رودخانه‌ای، بررسیهای اقتصادی در حوضه‌های مختلف زمین شناسی با استفاده از رسوبات آبراهه‌ای و ردیابی و شناسایی کانیهای ویژه که انحصاراً توسط این روش قابل پیگیری هستند درین محدوده قرار می‌گیرند. بطورکلی میتوان تقسیم بندی زیر را برای کانیهای سنگین در نظر گرفت:

۱- کانیهای سنگینی که عموماً در نمونه‌ها دیده شده و فراوانی آنها به نسبت سایر کانیها بیشتر است از این گروه می‌توان به کانیهای زیرکن، روتنیل، ایلمنیت، مگنتیت، هماتیت و لیمونیت اشاره کرد.

۲- کانیهای سنگینی که کمتر مشاهده شده اما ارزش اقتصادی بیشتری دارند. این کانیها شامل الماس، کانیهای گروه پلاتین، طلا، کروندم، کولومبیت، ولفرامیت و ... می‌باشند.

۳- کانیهای سنگینی که در فرآیند پی جویی کمتر مورد توجه قرار دارند و شامل کانیهای تورمالین، گارنت، اشتارولیت، کیانیت، اسپینل، آندالوزیت، اپیدوت، دیوپسید، بیوتیت، هورنبلند و ... می‌باشند. وزن مخصوص این کانیها نسبت به سایر کانیهای سنگین کمتر است.

۴- سایر کانیهای سنگین که مقاومت یکسانی داشته اما کمتر دیده می‌شوند. از این گروه می‌توان به کانیهای اگزنت، اکتینولیت، بریل، کریستوبریل، انستابیت و غیره اشاره کرد.

مزایای عمدۀ روش برداشت و مطالعه نمونه‌های کانی سنگین بطور خلاصه عبارتند از:

- بررسی مستقیم و عینی کانیها و مشاهده گروه عمدۀ کانیهای اقتصادی
- قرار گرفتن قریب به اتفاق کانیهای ارزشمند اقتصادی در گروه کانیهای سنگین
- شناخت فاز شکل گیری کانیها و بکارگیری این اطلاعات در زمینه مطالعات فنی و اقتصادی و برآورد چگونگی استحصال ماده معدنی به طور مثال می‌توان با مطالعه کانیهای سنگین به شناخت فازهای سولفیدی کانیها (گالن، پیریت، اسفالریت و ...) فازهای اکسیدی (هماتیت، مگنتیت، کرومیت و ...) و فازهای عنصری (طلاء، مس طبیعی، سرب طبیعی و ... ) دست یافت، در صورتیکه در آنالیز عنصری در بسیاری از مواقع (به استثناء تجزیه جزئی (Partial analysis) بسته به نوع حلal بکار گرفته شده تمامی عنصرحتی عنصر موجود در فاز سیلیکاته که ممکن است در صنعت متالورژی قابل استخراج و بهره برداری نباشد نیز

محاسبه میشود و این امر گاهاً ملاکهای تفسیر داده‌های ژئوشیمیایی را مورد تردید قرار می‌دهد.

-شناخت انحصاری بعضی از کانیها که تنها توسط روش بررسی کانیهای سنگین مقدور می‌شود از آنجلمه می‌توان به پی جویی یک نوع ویژه از مونازیت بنام رابدوфан اشاره کرد که توسط این روش مورد بررسی قرار گرفته است.

-کسب اطلاعات ارزشمند از شکل، اندازه و نحوه فرم هر کانی سنگین که معرف دوری و نزدیکی از منشاء کانی سازی، میزان فرسایش و... است.

-پاراژنهای شناخته شده کانیهای سنگین حتی در صورت فقدان کانیهای ارزشمند تا حدود زیادی معرف پتانسیل اقتصادی منطقه فرادست نمونه هاست.

-کوتاه کردن سیکل یک پروژه اکتشافی و در پی آن صرفه جویی در هزینه و زمان. -یافتن الگوی پراکندگی رسوبات و تعیین وضعیت لیتلوزی عمومی منطقه و خاستگاه بالقوه کانیهای ارزشمند.

#### ۴-۶- نحوه نمونه برداری کانیهای سنگین

در محدوده ناهنجاریهای ژئوشیمیایی با رعایت پارامترهای مهمی در ارتباط با محل نمونه برداری نمونه های کانی سنگین برداشت می شود. این پارامترها شامل گسترش حوضه آبریز، پهنه آبراهه، شب تپوگرافی، رژیم بارندگی، اجتناب از حواشی آبراهه ها و انتخاب مئاندرها و رسوبات دانه بندی مختلف و ناهمگن می باشد. در آبراهه های با عرض بیش از ۳ متر نمونه های کانی سنگین در یک خط شکسته و در چندین نقطه از عرض آبراهه ها برداشت می شود عمق برداشت نمونه بین ۱۰-۳۰ سانتیمتر است. نمونه ها در شرایط محیط خشک به حجم ۵-۳ لیتر از زیر الک ۲۰ مش و آبراهه های خیس بطور مخلوط و الک نشده به حجم ۱۰ لیتر برداشت می شود. این نمونه ها بدون الک کردن بعدی به مرحله آماده سازی می روند.

#### ۵- آماده سازی نمونه ها

آماده سازی نمونه های کانی سنگین در دو مرحله در کمپ صحرائی و آزمایشگاه صورت می گیرد.

الف: آماده سازی در کمپ صحرائی شامل گل شویی در آب و لاوک شویی نمونه ها با هدف تغليظ کانیهای سنگین انجام می شود.

ب: آماده سازی در آزمایشگاه شامل عملیات حجم سنجی، تقسیم کردن نمونه در صورت لزوم، جدایش ثقلی با بروموفورم، حجم سنجی بخش کنسانتره کانیهای سنگین حاصله از جدایش ثقلی، جدایش مغناطیسی در دو مرحله و نهایت جدایش سه فراکسیون مختلف AA (کانیهای دارای خاصیت مغناطیسی شدید)، AV (کانیهای دارای خاصیت مغناطیسی متوسط) و NM (کانیهای فقد خاصیت مغناطیسی) خواهد بود.

#### ۶-۶- مطالعه نمونه های کانی سنگین

بخشهای سه گانه مذکور با میکروسکوپ دو چشمی (بینوکولر) مطالعه می شوند. مبنای مطالعات نظرات و تجربیات یک مینرالوژیست مهندس است که در این زمینه تبحر داشته و به روشهای کمکی (میکروشیمی، سختی سنجی، رنگ آمیزی و ...) آشنایی کامل داشته باشد. مطالعه تمامی فراکسیونهای نمونه و مشخص کردن ذرات مشاهده شده و تکمیل جدول مربوطه بر اساس میزان کانی های مطالعه شده در هر بخش منجر به تکمیل مطالعات کیفی در زمینه کانیهای سنگین می گردد. در نهایت جداول مربوطه که به صورت پیوست شماره ۵ ارائه شده شکل می گیرند. این جداول باستی مرافق کمی شدن داده ها را جهت ورود به مرحله داده پردازی و ترسیم نقشه های نمادین پشت سر گذارند.

#### ۶-۷- کمی کردن (Quantitative) داده های کانیهای سنگین

برای تبدیل داده های کیفی به کمی و در نتیجه امکان محاسبات آماری و پردازشها از فرمولی استفاده شده که توسط کارشناسان سابق بخش اکتشافات رئو شیمیایی سازمان زمین شناسی (۱. تدين اسلامی - ف. آزم) برای اولین بار ارائه شد.

$$\text{این فرمول} = \frac{x.y.B.1000.D}{A.C.D'}$$

$X =$  درصد کانی محاسبه شده در هر بخش از سه بخش مورد مطالعه

$Y =$  حجم نمونه پس از جدایش با محلول سنگین (بروموفورم)

$B =$  حجم نمونه پس از شستشو و تغییر

$A =$  حجم نمونه برداشت شده (نمونه اولیه)

$C =$  حجم انتخابی برای جدایش با محلول سنگین

$D =$  وزن مخصوص کانی مطالعه شده

### D' = میانگین وزن مخصوص رسوبات

بایستی به این نکته توجه داشت که وجود کانیهای با ارزش همچون طلا، نقره، پلاتین، سینابر و ... حتی در تعداد ذرات بسیار اندک می‌تواند مورد عنایت قرار گیرد هر چند نتایج کمی کردن این کانیها شاید با بزرگ نمایی همراه باشد اما در مورد کانیهای سنگ ساز و کانیهایی اقتصادی که از فراوانی نسبی بیشتری برخوردارند، محاسبه این فرمول نتایج منطقی و قابل قیاسی را در برخواهد داشت. در پیوست شماره ۶ نتایج داده‌های کیفی نمونه‌های کانی سنگین که بدل به داده‌های کمی شده‌اند مشخص شده است. جدول شماره ۱-۶. نتیجه این تبدیل کیفی به کمی را نشان می‌دهد، اعداد قرمز در این جدول نشان دهنده ۱۰٪ بالای هر کانی سنگین می‌باشند و تعداد قرمز که به صورت **Bold** نمایش داده شده‌اند مقدار حداقل آن کانی می‌باشند.

### ۶-۸- پردازش داده‌های کانیهای سنگین

#### ۱- ۶-۸- جدول پارامترهای اماری

عمده‌ترین پارامترهای آماری شامل تعداد نمونه (Valid & Missing)، میانگین، میانه، انحراف معیار، واریانس، چولگی و کشیدگی، میزان حداقل و حداکثر و درصدهای کانیهای سنگین در جدول شماره ۶-۲ آورده شده است، در این جدول پارامترهای آماری تمامی کانیهای سنگین مطالعه شده و حتی آنها که فقط در یک نمونه مشاهده شده‌اند نیز آورده شده است. البته با توجه به تعداد اندک مشاهده، بسیاری از پارامترهای آماری مفهوم خود را از دست می‌دهند. اما با توجه به نمایش و ارائه تمامی پارامترها و اینکه چه کانیهایی با چه مقدار و در چه نمونه‌هایی دیده شده‌اند لزوم ارائه این جدول بیش از پیش نمودار می‌شود.

| raw | Sample No. | X (Easting) | Y (Northing) | MAGNETITE | ZIRCON | RUTILE | SPHENE | LEUCOXENE | BARITE | PYRITE | CaBONAT | GALENA | TERUSSI | MALACHIT | GOLD | SILVER+AMOUNT | ORP  | CINNABAR | FLUORITE | CHROMITE | BLACK SPINEL | WULFENITE | WOLFRAMI | STIBINITE |
|-----|------------|-------------|--------------|-----------|--------|--------|--------|-----------|--------|--------|---------|--------|---------|----------|------|---------------|------|----------|----------|----------|--------------|-----------|----------|-----------|
|     |            |             |              |           |        |        |        |           |        |        |         |        |         |          |      |               |      |          |          |          |              |           |          |           |
| E   | N          | S           | W            | E         | N      | S      | W      | E         | N      | S      | W       | E      | N       | S        | W    | E             | N    | S        | W        | E        | N            | S         | W        | E         |
| 1   | ZGH-9      | 269104      | 4362750      | 151.20    | 0.28   | -0.10  | 0.08   | 0.08      | 21.60  | 0.30   | 3.24    | 0.45   | 0.39    | 0.10     | 0.00 | 0.00          | 0.00 | 0.08     | 0.00     | 3.65     | 0.00         | 0.00      | 0.00     |           |
| 2   | ZGH-18     | 263483      | 4368020      | 0.00      | 0.01   | 0.01   | 0.00   | 0.01      | 0.23   | 0.01   | 0.41    | 0.02   | 0.01    | 0.00     | 0.00 | 0.00          | 0.00 | 0.00     | 0.00     | 0.00     | 0.00         | 0.00      | 0.00     |           |
| 3   | ZGH-41     | 264159      | 4326325      | 117.60    | 10.53  | -0.24  | 0.00   | 0.00      | 907.20 | 67.20  | 241.92  | 0.42   | 0.36    | 0.00     | 0.00 | 0.00          | 0.00 | 7.17     | 0.00     | 0.21     | 0.00         | 0.00      | 0.00     |           |
| 4   | ZGH-46     | 263433      | 4326410      | 16.80     | 0.04   | 0.03   | 0.00   | 0.00      | 32.40  | 8.00   | 6.48    | 3.00   | 2.60    | 0.03     | 0.00 | 0.00          | 0.00 | 0.26     | 0.00     | 0.03     | 0.00         | 0.00      | 0.00     |           |
| 5   | ZGH-48     | 264160      | 4326326      | 22.40     | 0.07   | 0.06   | 0.00   | 0.00      | 137.60 | 21.33  | 34.56   | 19.20  | 38.83   | 0.00     | 0.00 | 0.00          | 0.00 | 1.37     | 0.00     | 1.08     | 0.00         | 0.00      | 0.00     |           |
| 6   | ZGH-52     | 267933      | 4326720      | 84.00     | 0.19   | -0.17  | 0.14   | 0.00      | 720.00 | 16.00  | 216.50  | 0.30   | 0.26    | 0.00     | 0.00 | 0.00          | 0.00 | 0.00     | 0.00     | 0.00     | 0.00         | 0.00      | 0.00     |           |
| 7   | ZGH-55     | 251603      | 4350790      | 44.10     | 0.06   | 0.05   | 0.00   | 0.00      | 16.20  | 6.00   | 32.40   | 0.00   | 0.00    | 0.00     | 0.00 | 0.00          | 0.00 | 0.05     | 0.00     | 0.00     | 0.00         | 0.00      | 0.00     |           |
| 8   | ZGH-80     | 243613      | 4358090      | 25.20     | 0.02   | 0.01   | 0.01   | 1.80      | 0.05   | 1.08   | 0.08    | 0.07   | 0.00    | 0.00     | 0.00 | 0.00          | 0.00 | 0.00     | 0.00     | 0.00     | 0.00         | 0.00      | 0.00     |           |
| 9   | ZGH-95     | 252258      | 4352590      | 22.05     | 0.00   | 0.00   | 0.00   | 0.00      | 0.02   | 0.14   | 0.03    | 9.72   | 0.00    | 0.00     | 0.00 | 0.00          | 0.00 | 0.00     | 0.00     | 0.00     | 0.00         | 0.00      | 0.00     |           |
| 10  | ZGH-112    | 262470      | 4361660      | 15.75     | 0.01   | 0.00   | 0.00   | 0.00      | 0.68   | 0.01   | 0.68    | 0.00   | 0.00    | 0.01     | 0.00 | 0.00          | 0.00 | 0.00     | 0.00     | 0.00     | 0.00         | 0.00      | 0.00     |           |
| 11  | ZGH-185    | 251405      | 4361000      | 22.05     | 0.02   | 0.01   | 0.01   | 0.01      | 3.60   | 0.25   | 0.54    | 0.06   | 0.00    | 0.00     | 0.00 | 0.00          | 0.00 | 0.00     | 0.00     | 0.00     | 0.00         | 0.00      | 0.00     |           |
| 12  | ZGH-191    | 241218      | 4356840      | 58.80     | 0.09   | 0.03   | 0.03   | 0.03      | 3.24   | 0.06   | 0.05    | 0.00   | 0.00    | 0.00     | 0.00 | 0.00          | 0.00 | 0.00     | 0.00     | 0.00     | 0.00         | 0.00      | 0.00     |           |
| 13  | ZGH-211    | 242982      | 4364850      | 252.00    | 9.40   | 1.68   | 0.35   | 0.35      | 13.50  | 0.10   | 18.90   | 0.15   | 0.13    | 0.00     | 0.00 | 0.00          | 0.00 | 0.00     | 0.00     | 0.00     | 0.00         | 0.00      | 0.00     |           |
| 14  | ZGH-245    | 248295      | 4347370      | 37.80     | 2.82   | 0.25   | 0.02   | 0.02      | 16.20  | 0.30   | 6.48    | 0.45   | 0.39    | 0.02     | 0.00 | 0.00          | 0.00 | 0.00     | 0.00     | 0.00     | 0.00         | 0.00      | 0.00     |           |
| 15  | ZGH-246    | 248083      | 4347230      | 44.10     | 2.82   | 0.03   | 0.02   | 0.02      | 10.80  | 0.30   | 9.72    | 0.05   | 0.04    | 0.00     | 0.00 | 0.00          | 0.00 | 0.00     | 0.00     | 0.00     | 0.00         | 0.00      | 0.00     |           |
| 16  | ZGH-277    | 255485      | 4340890      | 132.30    | 0.05   | 0.02   | 0.00   | 0.00      | 0.05   | 0.02   | 0.27    | 0.03   | 0.03    | 0.00     | 0.00 | 0.00          | 0.00 | 0.00     | 0.00     | 0.00     | 0.00         | 0.00      | 0.00     |           |
| 17  | ZGH-287    | 244321      | 4340890      | 126.00    | 4.70   | 0.42   | 0.07   | 0.07      | 22.50  | 0.50   | 10.80   | 0.15   | 0.13    | 0.00     | 0.00 | 0.00          | 0.00 | 0.00     | 0.00     | 0.00     | 0.00         | 0.00      | 0.00     |           |
| 18  | ZGH-290    | 244341      | 4339280      | 672.00    | 16.71  | 0.30   | 0.00   | 0.00      | 32.00  | 0.36   | 76.80   | 0.53   | 0.46    | 0.28     | 0.00 | 0.00          | 0.00 | 0.00     | 0.00     | 0.00     | 0.00         | 0.00      | 0.00     |           |
| 19  | ZGH-291    | 2445368     | 433960       | 355.76    | 8.85   | 0.16   | 0.00   | 0.00      | 16.94  | 0.19   | 5.08    | 0.28   | 0.24    | 0.15     | 0.00 | 0.00          | 0.00 | 0.00     | 0.00     | 0.00     | 0.00         | 0.00      | 0.00     |           |
| 20  | ZGH-292    | 248670      | 4339670      | 75.60     | 0.11   | 0.13   | 0.04   | 0.00      | 4.35   | 0.15   | 5.67    | 0.00   | 0.00    | 0.00     | 0.00 | 0.00          | 0.00 | 0.00     | 0.00     | 0.00     | 0.00         | 0.00      | 0.00     |           |
| 21  | ZGH-304    | 260606      | 4337190      | 147.00    | 4.70   | 0.08   | 0.35   | 0.00      | 4.50   | 0.50   | 18.90   | 0.00   | 0.00    | 0.00     | 0.00 | 0.00          | 0.00 | 0.00     | 0.00     | 0.00     | 0.00         | 0.00      | 0.00     |           |
| 22  | ZGH-318    | 280522      | 4335060      | 7.35      | 0.19   | 0.17   | 0.00   | 3.50      | 756.00 | 7.00   | 226.80  | 10.50  | 9.10    | 0.16     | 0.00 | 0.00          | 0.00 | 0.00     | 0.00     | 0.00     | 0.00         | 0.00      | 0.00     |           |
| 23  | ZGH-331    | 286559      | 4332230      | 252.00    | 0.94   | 0.84   | 0.14   | 0.70      | 27.00  | 0.20   | 48.60   | 0.30   | 1.26    | 0.19     | 0.00 | 0.00          | 0.00 | 0.00     | 0.00     | 0.00     | 0.00         | 0.00      | 0.00     |           |
| 24  | ZGH-336    | 282682      | 4331330      | 403.00    | 5.64   | 0.50   | 0.17   | 1.68      | 32.40  | 0.24   | 9.72    | 1.80   | 1.56    | 0.19     | 0.00 | 0.00          | 0.00 | 0.00     | 0.00     | 0.00     | 0.00         | 0.00      | 0.00     |           |
| 25  | ZGH-337    | 282947      | 4331270      | 29.40     | 5.64   | 0.47   | 0.00   | 4.20      | 21.60  | 0.56   | 19.44   | 0.12   | 0.10    | 0.00     | 0.00 | 0.00          | 0.00 | 0.00     | 0.00     | 0.00     | 0.00         | 0.00      | 0.00     |           |
| 26  | ZGH-346    | 255803      | 4329780      | 302.40    | 0.45   | 6.05   | 0.00   | 0.34      | 777.60 | 28.80  | 116.64  | 0.72   | 0.62    | 0.38     | 1.87 | 0.00          | 0.00 | 0.00     | 0.00     | 0.00     | 0.00         | 0.00      | 0.00     |           |
| 27  | ZGH-365    | 243333      | 4322750      | 315.00    | 32.90  | 0.84   | 0.70   | 24.50     | 378.00 | 35.00  | 567.00  | 1.50   | 1.30    | 0.00     | 0.00 | 0.00          | 0.00 | 2.28     | 0.00     | 0.00     | 0.00         | 0.00      | 0.00     |           |
| 28  | ZGH-401    | 245878      | 4322710      | 840.00    | 52.64  | 3.36   | 128.80 | 0.00      | 0.72   | 0.80   | 21.60   | 0.00   | 0.00    | 0.00     | 0.00 | 0.00          | 0.00 | 0.00     | 0.00     | 0.00     | 0.00         | 0.00      | 0.00     |           |
| 29  | ZGH-351    | 262988      | 4324083      | 8.93      | 0.47   | 0.02   | 0.00   | 0.00      | 27.00  | 2.00   | 10.80   | 0.00   | 0.00    | 0.00     | 0.00 | 0.00          | 0.00 | 0.00     | 0.00     | 0.00     | 0.00         | 0.00      | 0.00     |           |
| 30  | ZGH-352    | 2432311     | 4323736      | 5.25      | 0.02   | 0.02   | 0.00   | 0.00      | 37.80  | 2.40   | 22.68   | 0.03   | 0.03    | 0.00     | 0.00 | 0.00          | 0.00 | 0.00     | 0.00     | 0.00     | 0.00         | 0.00      | 0.00     |           |
| 31  | ZGH-353    | 262395      | 4323663      | 134.40    | 1.34   | 0.00   | 0.00   | 0.00      | 115.20 | 12.80  | 51.84   | 0.12   | 0.10    | 0.00     | 0.00 | 0.00          | 0.00 | 0.05     | 0.00     | 0.06     | 0.00         | 0.00      | 0.00     |           |

|   |                | MAGNETITE | ZIRCON  | RUTILE | ANATASE | SPHENE   | LEUCOXEN | BARITE    | PYRITE | Ca,CARBONATE | NIGRINE | GALENA | CERUSSITE | MALACHITE |
|---|----------------|-----------|---------|--------|---------|----------|----------|-----------|--------|--------------|---------|--------|-----------|-----------|
| N |                | Valid     | 30      | 29     | 4       | 15       | 18       | 31        | 31     | 13           | 23      | 24     | 8         |           |
|   | Mean           | 157.348   | 5.395   | 0.599  | 0.062   | 8.729    | 2.026    | 243.073   | 6.822  | 58.078       | 0.184   | 1.760  | 2.318     |           |
|   | Median         | 199.800   | 0.461   | 0.158  | 0.062   | 0.084    | 0.166    | 33.556    | 10.800 | 0.158        | 0.300   | 0.252  | 0.165     |           |
|   | Std. Deviation | 199.873   | 11.241  | 1.260  | 0.028   | 33.217   | 5.741    | 707.465   | 14.333 | 115.917      | 0.215   | 4.394  | 7.986     |           |
|   | Variance       | 39869.139 | 126.553 | 1.588  | 0.001   | 1103.380 | 32.965   | 50056.472 | 20.543 | 1343.670     | 0.024   | 39.303 | 63.771    |           |
|   | Skewness       | -0.456    | 3.265   | 3.492  | 0.000   | -0.873   | 3.942    | 4.492     | 3.040  | 3.301        | 2.679   | 3.475  | 0.581     |           |
|   | Sig. Error of  | 0.427     | 0.429   | 1.014  | 0.580   | 0.536    | 0.421    | 0.421     | 0.421  | 0.416        | 0.481   | 0.472  | 0.752     |           |
|   | Kurtosis       | 4.634     | 11.902  | 3.300  | 14.989  | 16.086   | 22.191   | 10.419    | 12.420 | 8.250        | 12.365  | 21.104 | 0.934     |           |
|   | Sig. Error of  | 0.833     | 0.833   | 0.845  | 2.659   | 1.121    | 0.838    | 0.821     | 0.821  | 0.821        | 1.191   | 0.935  | 0.918     |           |
|   | Minimum        | 5.250     | 0.009   | 0.031  | 0.008   | 0.007    | 0.007    | 0.045     | 0.010  | 0.017        | 0.015   | 0.013  | 0.024     |           |
|   | Maximum        | 840.000   | 52.640  | 6.048  | 0.054   | 128.800  | 24.500   | 3780.000  | 67.200 | 562.000      | 0.840   | 19.200 | 38.827    |           |
|   | Percentiles    | 25        | 22.313  | 0.054  | 0.029   | 0.035    | 0.021    | 1.800     | 0.150  | 5.032        | 0.059   | 0.075  | 0.055     |           |
|   |                | 75        | 79.800  | 0.461  | 0.168   | 0.082    | 0.064    | 1.66      | 0.356  | 10.800       | 0.158   | 0.300  | 0.252     |           |
|   |                | 75        | 232.000 | 5.640  | 0.487   | 0.090    | 0.360    | 0.945     | 37.800 | 48.600       | 0.218   | 0.220  | 0.584     |           |

|                        |         | GOLD+CU | GOLD  | SAPIR | SILVER | ALU   | SILVER | CINNABAR | FLUORITE | COPPER | LEAD  | ITE   | MITE   | ILMENITE | ILMENITE+Fe |
|------------------------|---------|---------|-------|-------|--------|-------|--------|----------|----------|--------|-------|-------|--------|----------|-------------|
| N                      | Valid   | 1       | 2     | 6     | 1      | 1     | 1      | 7        | 5        | 1      | 1     | 1     | 1      | 22       | 3           |
|                        | Missing | 30      | 29    | 25    | 30     | 30    | 30     | 7        | 5        | 30     | 30    | 30    | 30     | 9        | 28          |
| Mean                   | 0.166   | 1.053   | 0.135 | 0.084 | 2.080  | 0.320 | 3.618  | 0.232    | 0.225    | 0.136  | 0.104 | 1.344 | 10.765 | 36.533   | 1.400       |
| Median                 | 0.156   | 1.053   | 0.130 | 0.084 | 2.080  | 0.320 | 0.222  | 0.142    | 0.121    | 0.136  | 0.104 | 15.92 | 51.895 | 230.756  | 383.973     |
| Std. Deviation         |         |         |       |       |        |       |        | 0.726    | 0.165    | 0.201  | 0.041 | 0.041 | 2.561  | 1.331    | 1.247       |
| Variance               |         |         |       |       |        |       |        | 49.371   | 0.027    | 0.033  | 0.601 | 0.601 | 0.794  | 0.913    | 0.491       |
| Skewness               |         |         |       |       |        |       |        | 0.687    | 0.687    | 0.687  | 0.687 | 0.687 | -0.566 | -2.878   | 0.320       |
| Std. Error of Skewness |         |         |       |       |        |       |        | 1.721    | 1.721    | 1.721  | 1.721 | 1.721 | 1.587  | 2.000    | 0.953       |
| Kurtosis               |         |         |       |       |        |       |        | 0.166    | 0.166    | 0.166  | 0.166 | 0.166 | 1.334  | 0.019    | 0.200       |
| Std. Error of Kurtosis |         |         |       |       |        |       |        | 0.234    | 0.234    | 0.234  | 0.234 | 0.234 | 0.013  | 0.071    | 0.051       |
| Minimum                |         |         |       |       |        |       |        | 0.166    | 0.166    | 0.166  | 0.166 | 0.166 | 0.872  | 0.320    | 22.400      |
| Maximum                |         |         |       |       |        |       |        | 0.234    | 0.234    | 0.234  | 0.234 | 0.234 | 0.934  | 0.320    | 0.061       |
| Percentiles            | 25      | 0.156   | 1.053 | 0.084 | 0.084  | 2.080 | 0.320  | 0.320    | 0.320    | 0.320  | 0.320 | 0.320 | 0.282  | 0.121    | 0.136       |
| Percentiles            | 75      | 0.156   | 1.972 | 0.240 | 0.084  | 2.080 | 0.320  | 5.152    | 0.422    | 0.442  | 0.136 | 0.104 | 24.496 | 106.000  |             |

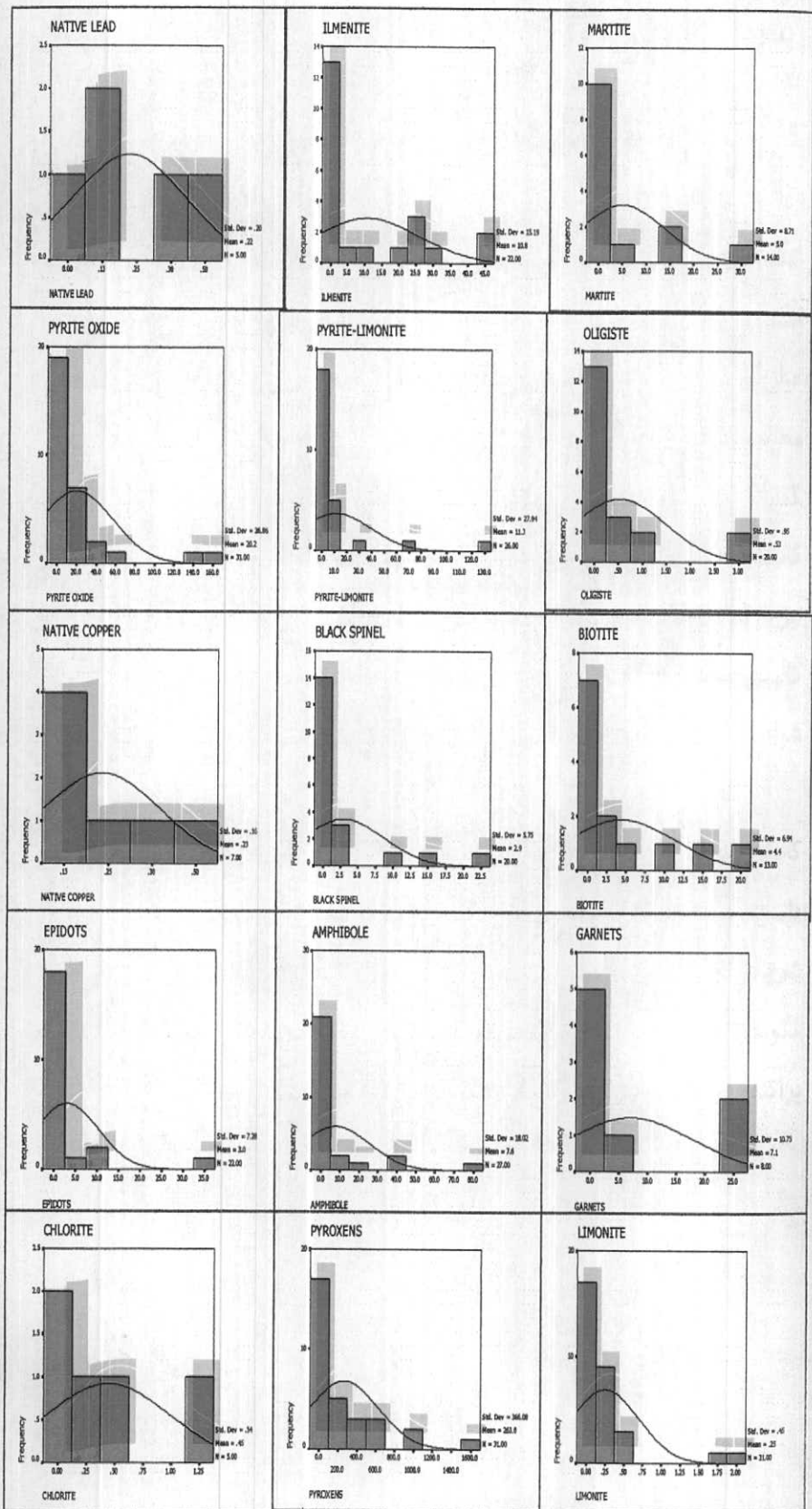
|   |                | SPHALERITE |         | BORNIT |        | ANGLE |        | HEMMOR  |         | PYROMO   |         | STIBINITE |             | BROCHANTI |         | JARUSIT |          | HEMATITE |          | GOETHI  |          | P-TITAN |         | PYRITE  |         | CELESTITE |  |
|---|----------------|------------|---------|--------|--------|-------|--------|---------|---------|----------|---------|-----------|-------------|-----------|---------|---------|----------|----------|----------|---------|----------|---------|---------|---------|---------|-----------|--|
| N |                | Valid      | Missing | E      | Site   | Hite  | Rphite | Hite    | Rphite  | Pyromite | Rphite  | Stibinite | Brochantite | E         | Jarosit | E       | Hematite | Te       | Goethite | Te      | Limonite | Pyrite  | Oxide   |         |         |           |  |
|   | Mean           | 26         | 4       | 7      | 5      | 4     | 1      | 9       | 3       | 31       | 26      | 0         | 5           | 0         | 0       | 26      | 0        | 5        | 0        | 26      | 0        | 5       | 0       | 26,000  |         |           |  |
|   | Median         | 0.409      | 0.063   | 2.093  | 3.083  | 0.855 | 0.065  | 0.106   | 0.937   | 6.678    | 0.071   | 11.327    | 20.208      | 6.692     | 0.071   | 20.208  | 6.6924   | 0.071    | 25.344   | 6.5938  | 0.071    | 30.316  | 6.46026 | 0.071   |         |           |  |
|   | Std. Deviation | 0.729      | 0.044   | 5.100  | 6.626  | 1.427 | 0.074  | 15.842  | 98.053  | 0.134    | 27.941  | 39.680    | 0.134       | 87.693    | 138.687 | 0.134   | 87.693   | 138.687  | 0.134    | 87.693  | 138.687  | 0.134   | 87.693  | 138.687 | 0.134   |           |  |
|   | Variance       | 5.531      | 0.022   | 26.009 | 43.895 | 2.038 | 0.006  | 250.956 | 968.956 | 0.018    | 780.693 | 1380.687  | 0.018       | 250.956   | 968.956 | 0.018   | 250.956  | 968.956  | 0.018    | 250.956 | 968.956  | 0.018   | 250.956 | 968.956 | 0.018   |           |  |
|   | Skewness       | 2.187      | 0.789   | 2.641  | 2.235  | 1.947 | 0.261  | 1.731   | 3.443   | 2.623    | 3.503   | 2.623     | 0.261       | 1.731     | 3.443   | 2.623   | 3.503    | 2.623    | 3.503    | 2.623   | 3.503    | 2.623   | 3.503   | 2.623   | 3.503   |           |  |
|   | Std. Error of  | 0.913      | 0.14    | 0.794  | 0.913  | 0.104 | 0.717  | 0.717   | 0.225   | 0.421    | 0.421   | 0.421     | 0.717       | 0.717     | 0.421   | 0.421   | 0.421    | 0.421    | 0.421    | 0.421   | 0.421    | 0.421   | 0.421   | 0.421   | 0.421   |           |  |
|   | Kurtosis       | 4.817      | -0.221  | 6.980  | 4.994  | 3.810 | -1.486 | 13.836  | 6.452   | 12.706   | 8.240   | 12.706    | 8.240       | 13.836    | 6.452   | 12.706  | 8.240    | 12.706   | 8.240    | 12.706  | 8.240    | 12.706  | 8.240   | 12.706  | 8.240   |           |  |
|   | Std. Error of  | 2.000      | 6.19    | 1.587  | 2.000  | 2.619 | 1.400  | 1.400   | 2.000   | 0.821    | 0.821   | 0.821     | 1.400       | 1.400     | 0.821   | 0.821   | 0.821    | 0.821    | 0.821    | 0.821   | 0.821    | 0.821   | 0.821   | 0.821   | 0.821   |           |  |
|   | Minimum        | 0.016      | 0.020   | 0.013  | 0.014  | 0.042 | 0.065  | 0.016   | 0.038   | 0.180    | 0.000   | 0.009     | 0.010       | 0.016     | 0.038   | 0.180   | 0.000    | 0.009    | 0.010    | 0.016   | 0.038    | 0.180   | 0.000   | 0.009   | 0.010   |           |  |
|   | Maximum        | 1.07       | 0.120   | 13.553 | 14.933 | 2.987 | 0.065  | 0.218   | 504.000 | 504.000  | 0.560   | 126.720   | 150.000     | 0.560     | 126.720 | 150.000 | 0.560    | 126.720  | 150.000  | 0.560   | 126.720  | 150.000 | 0.560   | 126.720 | 150.000 |           |  |
|   | Percentiles    | 25         | 0.024   | 0.055  | 0.019  | 0.046 | 0.065  | 0.035   | 0.038   | 0.018    | 0.038   | 0.038     | 0.035       | 0.038     | 0.038   | 0.038   | 0.038    | 0.038    | 0.038    | 0.038   | 0.038    | 0.038   | 0.038   | 0.038   | 0.038   |           |  |
|   | Percentiles    | 50         | 0.056   | 0.056  | 0.019  | 0.065 | 0.065  | 0.065   | 0.078   | 0.018    | 0.038   | 0.038     | 0.038       | 0.038     | 0.038   | 0.038   | 0.038    | 0.038    | 0.038    | 0.038   | 0.038    | 0.038   | 0.038   | 0.038   | 0.038   |           |  |
|   | Percentiles    | 75         | 0.949   | 0.108  | 0.384  | 7.807 | 0.665  | 0.172   | 27.643  | 57.600   | 0.050   | 9.020     | 25.500      | 0.050     | 9.020   | 25.500  | 0.050    | 9.020    | 25.500   | 0.050   | 9.020    | 25.500  | 0.050   | 9.020   | 25.500  |           |  |

از مطالب این جدول چنین بر می‌آید که کانیهایی همچون پیریت، پیریت اکسید، زیرکن، باریت و مگنتیت در اکثر نمونه‌ها مشاهده شده (حداقل ۲۸ نمونه و حداقل ۳۱ نمونه)، کانیهای دیگری همچون ایلمنیت، اولیژیست، گوتیت، اسمیت زونیت، لوکوکسن، سروزیت و اسفن در غالب نمونه‌ها (حداقل ۱۵ نمونه و حداقل ۲۶ نمونه) مشاهده شده‌اند. کانیهای مهمی همچون طلا، گالن، مالاکیت، نقره، اوریپیمنت، سروزیت، سینابر، بروشاتیت، مس طبیعی، اسمیت زونیت - بورنیت، همی مورفیت، پیرومورفیت، سرب طبیعی، رالگار، استیب نیت و سرب طبیعی نیز در نمونه‌ها مشاهده شده است. میزان فراوانی آنها از ۱ تا ۱۵ مورد گزارش شده است.

### ۶-۸-۳- هیستوگرام‌های کانیهای سنگین

با توجه به اینکه جوامع عددی داده‌های کانیهای سنگین فاقد سری داده‌های کامل می‌باشد و ممکن است بعضی از کانیها تنها در موارد انگشت شماری از نمونه‌ها مشاهده شوند، لذا پردازش‌ها آماری چندان مطلوب نبوده و تنها به جداول و نمودارهایی بسته می‌شود که خصلت یافتن اطلاعات را در برداشته باشند، هیستوگرام‌ها نیز از این دسته هستند، هیستوگرام‌های کانیهای سنگین برگه گرمی مختص به نمایش ۲۶ کانی سنگین شده است. در صورتیکه در جدول پارامترهای آماری ۵۱ کانی سنگین مورد بررسی قرار گرفته است. اختلاف این دو مورد در کانی‌های سنگینی است که، تعداد مشاهدات آنها بسیار اندک بوده است.

هیستوگرام اکثر کانیها مشخصه یک توزیع با چولگی مثبت می‌باشد. این امر ناشی از مشاهدات با درصدهای بالای کانیها در اغلب نمونه‌ها می‌باشد و تا حدودی امیدوار کننده است، باقیستی به این مسئله توجه داشت که وجود ۲ نمونه حاوی طلا، ۱ نمونه حاوی نقره، ۸ نمونه حاوی مالاکیت، ۱ نمونه حاوی سینابر و ۱ نمونه حاوی استیب نیت نشانه‌های امیدوار کننده ای را در بر دارد. شکل شماره ۶-۱-۶ برخی از هیستوگرام‌های کانیهای سنگین را نمایش می‌دهد. سایر هیستوگرام‌ها در پیوست شماره ۷ آورده شده اند.



شکل ۱-۶: هیستوگرام برخی از کانیهای سنگین

## ۶-۹- شرح نقشه‌های نمادین کانیهای سنگین

یکی از روش‌های مرسوم برای داده‌هایی که چگالی نمونه برداری آنها در حد ترسیم نقشه‌های کنتوری و یا طیفی نیست، نمایش به صورت نقشه‌های نمادین (Symbol Map) است. در این روش و با توجه به امکانات نرم افزاری، سمبول‌های هر کانی با توجه به میزان عیار آن ترسیم شده است به نحوی که مقادیر حداکثر و حداقل آن با نمادهایی با قطرهای مختلف نمایش داده شده است. مجموع ۳۱ کانی سنگین در قالب ۹ نقشه (نمادین به نمایش گذارده شده است، انتخاب این کانیها بر اساس اولویت آنها به عنوان کانیهای معرف و یا کانیهای ردیاب و کانی سازی‌ها صورت گرفته است، مجموعه نمایش داده شده در هر نقشه نیز بر اساس عنصر اصلی متشکله کانیهای سنگین بوده است.

کانیهای سنگین برداشت شده بر اساس ناهنجاریهای ژئوشیمیایی، برونزدهای کانی سازی و شواهد دگرسانی انتخاب شده‌اند.

بنابراین طبیعی خواهد بود چنانچه در مواردی انطباق کاملی مابین نتایج مطالعات کانیهای سنگین و نتایج آنالیزهای ژئوشیمیایی و پردازش آنها صورت نگیرد. از لحاظ دانسیته نمونه‌های کانی سنگین می‌توان گفت که تمرکز بیشتری از نمونه‌ها در بخش جنوب شرق برگه (محور سلاله-دمیرچی پایین-تازه کند زهراء)، بخش غربی (محور قز قلعه سی - انگوتلار) و بخش جنوب غربی (محور قشلاق-کچلر) وجود دارد. سایر نمونه‌ها بصورت پراکنده در بخش‌های مرکزی و شمالی نقشه طراحی شده و برداشت گردیده‌اند.

## ۱-۹-۶-شرح نقشه کانیهای سرب طبیعی، گالن، پیرومورفیت، سروزیت و انگلزیت

(نقشه شماره ۱-۶)

مجموعه کانیهای سنگین سرب در این نقشه، نمایش داده شده است. مقادیر گالن به عنوان (pbs) به عنوان اصلی ترین کانی سرب به جز دو مورد نمونه‌های ZGH-48 و ZG-318 چندان جالب توجه نمی‌باشد (مراجعه شود به جدول پارامترهای آماری کانی‌های سنگین جدول شماره ۶-۲)، اما تقریباً در تمامی نمونه‌هایی که گالن دیده شده، اثراتی از سروزیت (Pbco3) که جزو کانیهای کربناته سرب می‌باشد، نیز مشاهده است. محدوده فرادست نمونه کانی سنگین ZGH-48 محدوده‌ای قابل توجه است چرا که این نمونه حاوی بیشترین مقادیر گالن، سروزیت، اسمیت زونیت، اسفالریت - انگلزیت، همی مورفیت، پیرومورفیت و لفرامیت و استیبنیت در محدوده برگه ۱۰۰/۰۰۰ : ۱ گرمی می‌باشد، در ضمن از لحاظ کانیهای بورنیت، سرب طبیعی نیز در زمرة نمونه‌های قابل توجه می‌باشد. نکته قابل توجه این است که علاوه بر نمونه ZGH-48، در نمونه ZGH-336 مقادیر بالای گالن، سروزیت، پیرومورفیت سرب طبیعی، همی مورفیت و انگلزیت بر هم منطبق هستند. در چهار نمونه نیز آثاری از سرب طبیعی و در سه نمونه نیز شواهدی از کانی سنگین پیرومورفیت مشاهده شده است. عمدۀ تمرکز مجموعه کانیهای سرب در محور سلاله - دمیرچی پایین و منطقه شکارلوی پائین می‌باشد و در سایر نقاط به صورت پراکنده و تک کانی قابل مشاهده است که در برخی موارد دو کانی با هم‌دیگر همپوشانی دارند.

- نمونه ZGH-52 که علاوه بر شواهد سرب شواهدی از پیریت، سلسیت، استیب نیت و باریت را نشان داده و یکی از نمونه‌هایی است که در آنالیز ژئوشیمیایی عنصر نقره نیز ناهنجاری نشان داده است.

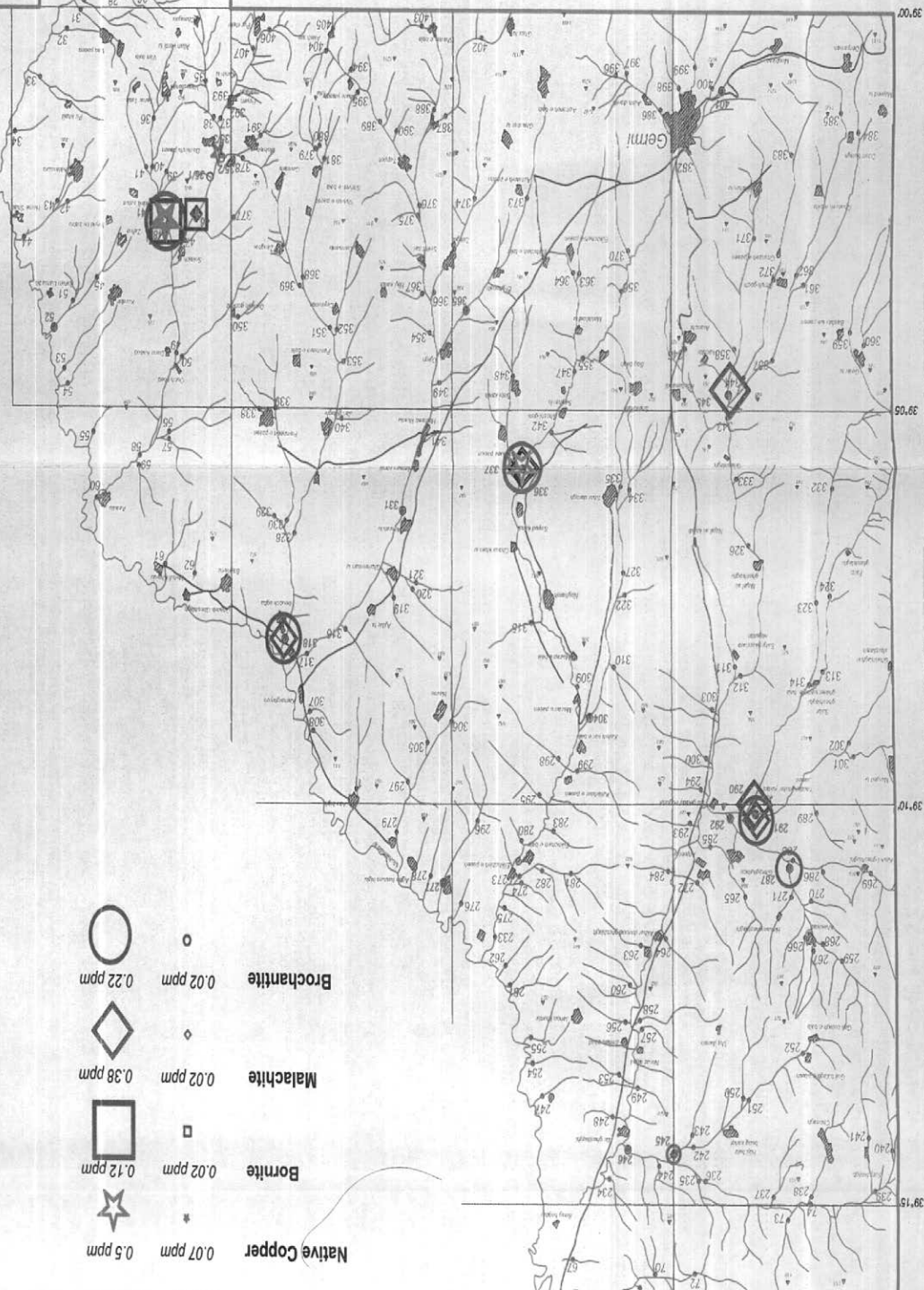
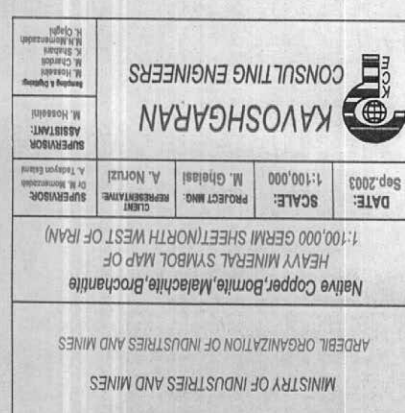
- نمونه ZGH-318 علاوه بر گالن و سروزیت تنها نمونه‌ای است که حاوی مقادیری از سینا بر می‌باشد.



## ۶-۹-۲- شرح نقشه‌های کانی‌های سنگین مس طبیعی، بورنیت، مالاکیت و بروشانتیت

(نقشه شماره ۶)

در این نقشه کانی‌های سنگین عنصر مس مورد بررسی قرار گرفته است. مقدار مس از بررسیهای کانیهای سنگین و تمامی نمونه‌ها در حد بالینی بوده و تنها کانی بروشانتیت در ۸ نمونه دیده شده است. بیشترین مقدار مالاکیت  $0.38 \text{ ppm}$  می‌باشد. در نمونه‌هایی که کانی مالاکیت دیده می‌شود، کانی‌های مس طبیعی، بورنیت و بروشانتیت هم مشاهده شده است. حضور مجموعه اینها بدون در نظر گرفتن مقادیر گرم در تن آنها در صورت تأثیر از سوی نقشه‌های ژئوشیمیایی می‌تواند حائز اهمیت باشد. عمدتاً تمرکز کانی‌های سنگین مس در جنوب برگه کلانسو را و محدوده برگه گرمی دیده می‌شود که در برگه کلانسورا در محور تازه کند زهرا و دمیرچی پایین و در نمونه‌های ZGH-41 و ZGH-48 واقع می‌باشد. این نمونه‌ها ناهنجاری ژئوشیمیایی  $\text{Hg}$ ،  $\text{Ag}$  را هم نشان می‌دهند. تمرکز کانی‌های سنگین عنصر مس در مرکز برگه گرمی در منطقه شکارلوی پایین (نمونه شماره ZG-336) وجود دارد که منطبق بر ناهنجاری ژئوشیمیایی  $\text{Hg}$  می‌باشد. علاوه بر آن محدوده شرق برگه (شرق و شمال یادیلار قاطریوران - نمونه‌های ZGH-287 و ZGH-290 و ZGH-291) نیز از لحاظ حضور کانیهای سنگین مس (بروشانتیت و مالاکیت) قابل توجه هستند. در فرادست نمونه ZGH-291 و در آنالیز نمونه‌های ژئوشیمیایی ZG-301 و ZG-302 آثار ناهنجاری ژئوشیمیایی مس نیز دیده می‌شود. در نمونه ZG-8 در شرق برگه بیله سوار و در شمال باباش کندی تجمعی را نشان میدهند که در آن مقدار بورنیت و مقادیر نسبتاً بالایی از مس طبیعی و آثاری از مالاکیت دیده شده است.



245 • STREAM

HEAVY MINERAL SAMPLE LOCATION

### LEGEND

### ۳-۹-۶ - شرح نقشه کانی‌های سنگین باریت، کربنات کلسیم، فلوریت و سلسیت (نقشه)

شماره ۳-۶)

تمرکزی از هر چهار کانی سنگین باریت، کربنات کلسیم، فلوریت و سلسیت در جنوب برگه کلانسورا دیده می‌شود که مرتبط با نمونه کانی سنگین شماره ZGH-41 است. در ضمن نمونه شماره ZGH-52 نیز آثاری از باریت و سلسیت را در بر دارد. همچنین در برگه گرمی، در شمال بیوک آقا (نمونه ZGH-318) و جنوب غرب اجاق (نمونه ZG-365) و شمال شمال شرق گرمی (نمونه ZGH-345) نیز شواهدی از این کانیها مشاهده شده است. دو نمونه اول باریت، کربنات کلسیم و فلوریت و در نمونه آخر باریت و کربنات کلسیم دیده شده است. در سایر نمونه‌ها تنها آثار بسیار ضعیفی از این کانیها به ثبت رسیده است.

### ۴-۹-۶ - شرح کانی‌های سنگین سینابر و استیبنیت (نقشه شماره ۴-۶)

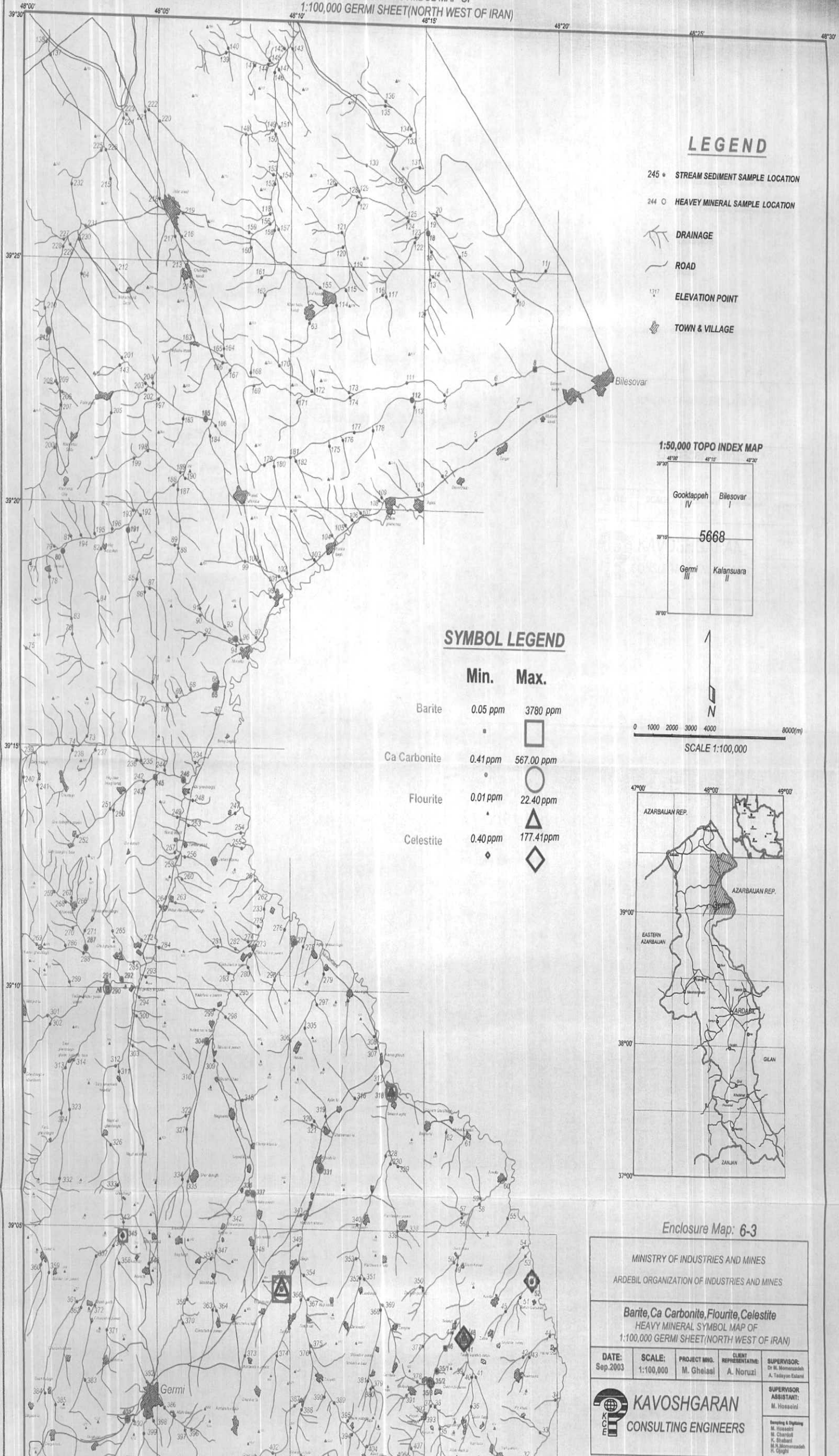
کانی استیبنیت تنها در نمونه ZGH-48 در جنوب غرب برگه کلانسورا در محدوده روستای تازه کند زهراء قابل مشاهده شده است. این نمونه برای عناصر Hg، Ag، ناهنجاری ژئوشیمیایی نشان داده است که اهمیت آنرا چندین برابر می‌کند. کانی سینابر نیز تنها در نمونه ZGH-318 دیده می‌شود که در شرق برگه گرمی و در شمال روستای بیوک آقا قابل مشاهده است.

Enclosure Map: 6-3

Barite, Ca Carbonite, Flourite, Celestite

HEAVY MINERAL SYMBOL MAP OF

1:100,000 GERMİ SHEET(NORTH WEST OF IRAN)



Enclosure Map: 6-3

MINISTRY OF INDUSTRIES AND MINES

ARDEBIL ORGANIZATION OF INDUSTRIES AND MINES

Barite, Ca Carbonite, Flourite, Celestite  
HEAVY MINERAL SYMBOL MAP OF  
1:100,000 GERMİ SHEET(NORTH WEST OF IRAN)

|                |                  |                         |                                  |
|----------------|------------------|-------------------------|----------------------------------|
| DATE: Sep.2003 | SCALE: 1:100,000 | PROJECT NO.: M. Gheisal | CLIENT REPRESENTATIVE: A. Notuzi |
|----------------|------------------|-------------------------|----------------------------------|

SUPERVISOR: Dr. M. Memmehzad  
M. Hosseini  
A. Tadayon Esfandi

SUPERVISOR ASSISTANT: M. Hosseini

Designing & Drafting: M. Hosseini

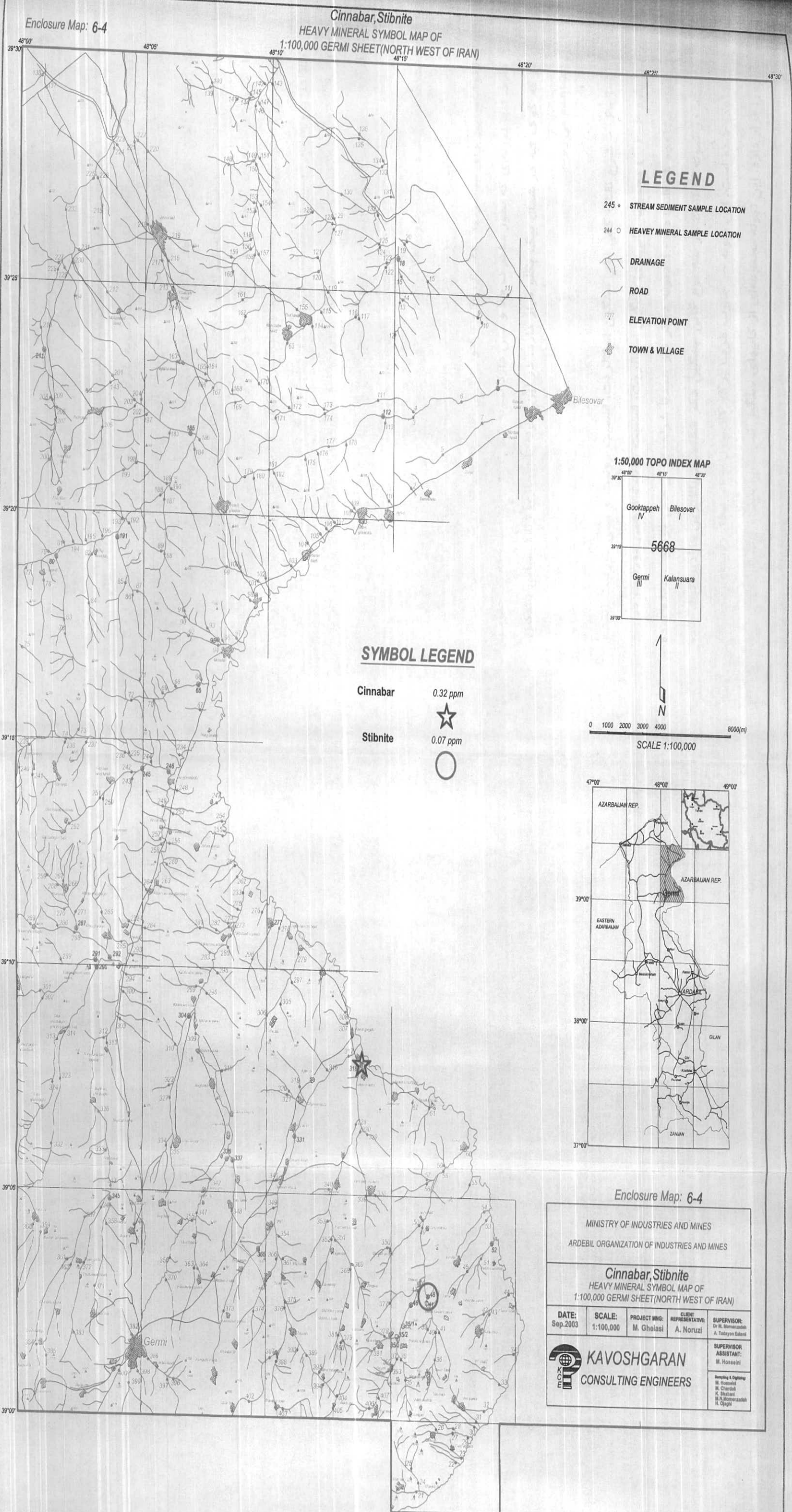
M. Chavoshi

K. Shahrestani

M.H. Memmehzad

H. Ghajari

**KAVOSHGARAN**  
**KCE** CONSULTING ENGINEERS



### ۶-۹-۵ - شرح کانی های سنگین طلا، نقره، طلا-نقره، طلا-مس (نقشه شماره ۶-۵)

در برگه یک ۱:۱۰۰,۰۰۰ گرمی در یک نمونه نقره، در دو نمونه طلا، در یک نمونه طلا - نقره و در یک نمونه طلا - مس مشاهده شده است که این نمونه ها هیچ تطابقی با یکدیگر نشان نمی دهند. کانی سنگین طلا با شماره ZGH-345 و به مقدار ۱.۸۷ ppm می باشد. (البته در مقدار گرم در تن این نمونه بایستی با دیده احتیاط نگریست) در جنوب غرب برگه ۱:۱۰۰۰ گرمی و در شمال گرمی و در شمال غرب آرانچی برداشت شده است. در این منطقه ناهنجاری ژئوشیمیایی Mn ، Ni ، Zn و As و همچنین فاکتور ۴ دیده می شود. آثار دیگری از طلا در نمونه کانی سنگین ZGH-292 دیده شده که مقدار گرم در تن آن ۰.۲۳ می باشد. که ارزش پایین تری نسبت به نمونه قبلی دارد. این منطقه در شمال غرب برگه ۱:۵۰۰۰ گرمی قرار دارد. تنها کانی سنگین نقره مربوط به نمونه ZGH-191 در شمال شرق حاج عزیز الله در برگه ۱:۵۰۰۰ گوک تپه می باشد. در این نمونه ناهنجاری ژئوشیمیایی عنصر کیالت مشاهده می شود. نمونه حاوی طلا - نقره (به طور مشترک) شماره ZGH-401 بوده و در برگه ۱:۵۰۰۰ گرمی و در جنوب غرب گرمی واقع می باشد. این نمونه حاوی ناهنجاری ژئوشیمیایی برای عناصر Hg ، Zn ، Sn و فاکتور F4 می باشد که طبیعتاً ارزش بیشتری در بر دارد. تنها نمونه ای که بطور مشترک طلا و مس دارد نمونه شماره ZGH-65 است که در جنوب برگه گوک تپه در شمال بیگ بگلو قرار دارد. در این نمونه ناهنجاری ژئوشیمیایی تشکیل مشاهده می شود.

### ۶-۹-۶ - شرح نقشه کانی های سنگین اسفالریت، اسمیت زونیت و همی مورفیت (نقشه شماره ۶-۶ ) مجموعه کانی های سنگین اسفالریت، اسمیت زونیت و همی مورفیت در سه نمونه مشاهده شده اند. در ۱۰ نمونه دیگر نیز عمدتاً شواهدی از همی مورفیت دیده شده است. در نمونه ZGH-48 هر سه نوع کانی سنگین ذکر شده، در بالاترین مقادیر ثبت شده مشاهده شده است. این نمونه در جنوب غرب برگه کلانسورا و در محل روستای تازه کند زهر اقرار دارد. این نمونه مجموعه ای از کانی های سنگین سرب به همراه چند کانی ارزشمند

دیگر را نیز برداشته است. در این نمونه می‌توان ناهنجاری ژئوشیمیایی عناصر Hg و Ag را مشاهده کند. نمونه دیگری که حاوی هر سه کانی سنگین مذکور می‌باشد نمونه ZGH-336 است که در مرکز برگه ۵۰۰۰۰:۱ گرمی و در شمال شرق گوزل گونی قرار دارد. این نمونه ناهنجاری ژئوشیمیایی نشان نداده است. در نمونه شماره ZGH-46 که در آبراهه غربی نمونه ZGH-48 برداشت شده نیز هر سه نوع کانی سنگین مجبور را در مقادیر کمتری نشان داده است. ۴ نمونه از نمونه‌های فرادست این نمونه در Hg ناهنجاری ژئوشیمیایی نشان داده اند که بر اهمیت آن می‌افزاید.

#### ۶-۹-۷ - شرح نقشه کانی‌های سنگین ایلمنیت، ایلمنیت + Fe، لوکوکسن و زیرکن. (نقشه

شماره ۶-۷)

کانی‌های سنگین ایلمنیت، لوکوکسن و زیرکن در اکثر نمونه‌های کانی سنگین مشاهده شده اند ولی مقدار آنها نسبتاً پایین می‌باشد. کانی سنگی ایلمنیت + Fe که در میزان حد اکثر خود به ۱۰۸PPm می‌رسد تنها در نمونه ZGH-8 مشاهده شده است. نمونه‌های ZGH-46 و ZGH-52 نیز شواهدی از این کانی را در بردارند. نمونه ZGH-8 که در شرق برگه بیله سوار و شمال شرق باشندی قرار دارد در عنصر کبالت و در فاکتور ۴ نیز ناهنجاری ژئوشیمیایی نشان داده است. دو نمونه ZGH-336 و ZGH-290 که اولی در شمال شرق گوزل گونی و دومی در غرب برگه گرمی در جنوب روستای قز قلعه سی قرار دارند کانی‌های سنگین ایلمنیت و زیرکن قرار دارد که در آن ایلمنیت بیشترین مقدار خود را نشان می‌دهد. در نمونه ZGH-290 عنصر Ti ناهنجاری ژئوشیمیایی نشان داده است.

کانی سنگین زیرکن در نمونه ZGH-401 بیشترین مقدار خود را نشان می‌دهد. ایلمنیت نیز در این نمونه مشاهده شده است. این نمونه در جنوب غرب گرمی قرار دارد و ناهنجاری‌های ژئوشیمیایی عناصر Hg، Sn، Bi، Zn و فاکتور چهارم را نشان می‌دهد.

## LEGEND

245 • STREAM SEDIMENT SAMPLE LOCATION

244 O HEAVY MINERAL SAMPLE LOCATION

DRAINAGE

ROAD

ELEVATION POINT

TOWN & VILLAGE

## 1:50,000 TOPO INDEX MAP



SCALE 1:100,000

0 1000 2000 3000 4000

8000(m)

## SYMBOL LEGEND

Min. Max.

Ilmenite 0.02 ppm 45.12 ppm



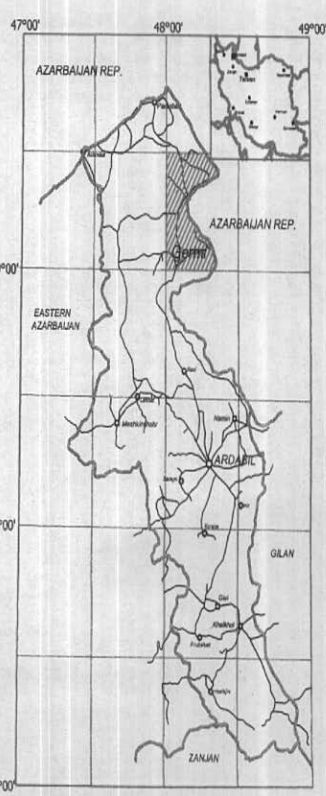
Ilmenite+Fe 0.2 ppm 108.8 ppm



Leucoxene 0.01 ppm 24.50 ppm



Zircon 0.01 ppm 52.64 ppm

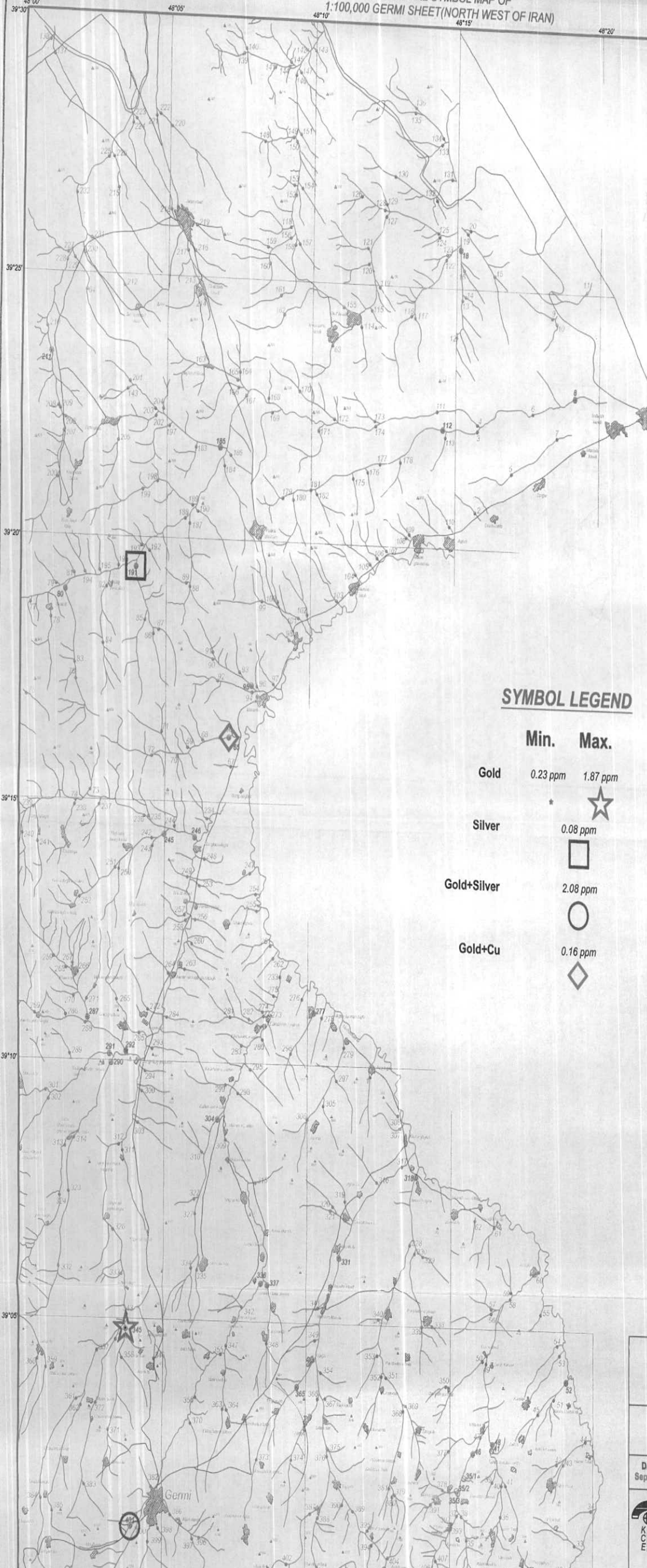


Enclosure Map: 6-7

| MINISTRY OF INDUSTRIES AND MINES<br>ARDEBIL ORGANIZATION OF INDUSTRIES AND MINES                                    |                     |   |  |
|---|---------------------|---|--|
| Ilmenite,(Ilmenite+Fe),Leucoxene,Zircon<br>HEAVY MINERAL SYMBOL MAP OF<br>1:100,000 GERMİ SHEET(NORTH WEST OF IRAN) |                     |   |  |
| DATE:<br>Sep.2003   | SCALE:<br>1:100,000 | PROJECT MNG:<br>M. Gheiasi  | CLIENT<br>REPRESENTATIVE:<br>A. Noruzi |
|   |                     | SUPERVISOR:<br>Dr M. Momennasab<br>A. Tadegan Estani  |  |
|   |                     | SUPERVISOR<br>ASSISTANT:<br>M. Hosseini   |  |
|   |                     | Boring & Digitizing:<br>M. Hosseini<br>M. Chardoli<br>K. Shabani<br>M.M. Momennasab<br>H. Oghli |  |
| <b>CAVOSHGARAN</b><br><b>KCE CONSULTING ENGINEERS</b>   |                     |   |  |

Enclosure Map: 6-5

Gold, Silver, (Gold+Silver)  
HEAVY MINERAL SYMBOL MAP OF  
1:100,000 GERMİ SHEET(NORTH WEST OF IRAN)



LEGEND

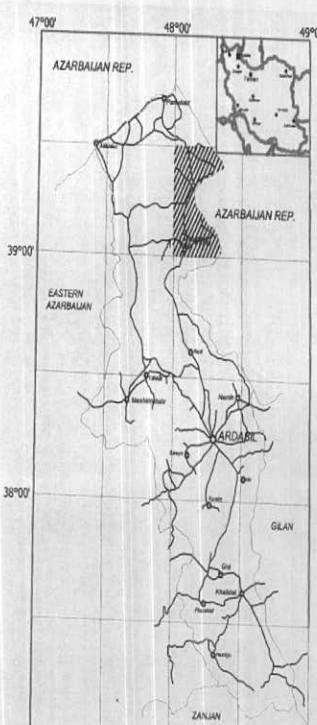
- 245 • STREAM SEDIMENT SAMPLE LOCATION
- 244 ○ HEAVY MINERAL SAMPLE LOCATION
- DRAINAGE
- ROAD
- ELEVATION POINT
- TOWN & VILLAGE

1:50,000 TOPO INDEX MAP



SYMBOL LEGEND

|             | Min.     | Max.     |
|-------------|----------|----------|
| Gold        | 0.23 ppm | 1.87 ppm |
| Silver      | 0.08 ppm | 2.08 ppm |
| Gold+Silver | 2.08 ppm | 0.16 ppm |
| Gold+Cu     | 0.16 ppm |          |



Enclosure Map: 6-5

MINISTRY OF INDUSTRIES AND MINES  
ARDEBIL ORGANIZATION OF INDUSTRIES AND MINES

Gold, Silver, (Gold+Silver)  
HEAVY MINERAL SYMBOL MAP OF  
1:100,000 GERMİ SHEET(NORTH WEST OF IRAN)

|                |                  |                         |                                  |  |
|----------------|------------------|-------------------------|----------------------------------|--|
| DATE: Sep.2003 | SCALE: 1:100,000 | PROJECT MNG: M. Gheiasi | CLIENT REPRESENTATIVE: A. Noruzi | SUPERVISOR: Dr M. Mohammadiak A. Tadipour Eslami |
|----------------|------------------|-------------------------|----------------------------------|--|

|                                   |                                  |   |
|-----------------------------------|----------------------------------|---|
| SUPERVISOR ASSISTANT: M. Hosseini | KAVOSHGARAN CONSULTING ENGINEERS | Sampling & Testing: M. Hosseini K. Shabani M. Mousavizadeh H. Oghli |
|-----------------------------------|----------------------------------|---|

|     |                                  |   |
|-----|----------------------------------|---|
| KCE | KAVOSHGARAN CONSULTING ENGINEERS | Sampling & Testing: M. Hosseini K. Shabani M. Mousavizadeh H. Oghli |
|-----|----------------------------------|---|



#### ۶-۸- شرح نقشه کانی‌های سنگین مغنتیت، هماتیت، گوتیت و لیمونیت (نقشه شماره ۶-۸)

در این نقشه ترکیبات مختلف آهن قابل مشاهده است که در اکثر نمونه‌ها قابل مشاهده‌اند. نمونه ZGH-401 تنها نمونه‌ای است که در آن می‌توان هرچهار نوع کانی سنگین را به همراه هم و با مقادیر نسبتاً بالا مشاهده کرد. این نمونه در جنوب غرب گرمی واقع شده است. عناصر Au، Bi، Sn، Hg و نقشه فاکتوری F4 در این نمونه ناهنجاری ژئوشیمیایی نشان داده‌اند. تجمعی از کانی‌های سنگین مختلف آهن در جنوب برگه ۱:۵۰۰۰۰ گرمی در جنوب غرب روستای اجاق و در نمونه ZGH-365 مشاهده شده است. ناهنجاری ژئوشیمیایی در این نمونه مشاهده نمی‌شود. در غرب برگه ۱:۵۰،۰۰۰ گرمی در نمونه ZGH-290 کانی‌های سنگین مغنتیت و هماتیت دیده می‌شود. این نمونه در عنصر Ti هم ناهنجاری ژئوشیمیایی نشان داده است. در سایر مناطق نیز کمایش از آثار کانی‌های مذکور در نمونه‌های کانی‌های سنگین مشاهده شده است.

#### ۶-۹- شرح نقشه کانی‌های سنگین پیریت، پیریت اکسید و پیریت لیمونیت (نقشه شماره ۶-۹)

(۶-۹)

در این نقشه انواع سولفیدهای آهن بررسی شده است. تمرکز انواع سولفیدهای آهن را می‌توان در جنوب برگه گوک تپه در محل نمونه ZGH-65 مشاهده کرد. این نمونه در شمال بیگ بگلو قرار دارد و در عنصر Ni نیز ناهنجاری ژئوشیمیایی نشان می‌دهد. تجمع دیگری از کانی‌های سنگین پیریت، پیریت اکسید و پیریت لیمونیت در نمونه ZGH-345 در جنوب غرب برگه گرمی و در شمال غرب کچلر دیده می‌شود. در محل نمونه ZGH-365 تجمع دیگری از هر سه کانی مذکور دیده می‌شود. این نمونه در برگه ۱:۵۰۰۰۰ گرمی و در شمال زنگی قرار دارد. ناهنجاری ژئوشیمی در این منطقه دیده نمی‌شود. تمرکز دیگری از این کانی‌های در محل نمونه ZGH-48 در شمال دمیرچی دیده می‌شود. این نمونه برای عناصر Hg و Ag و فاکتور

ناهنجاری نشان می‌دهد. شرح تمامی کانیهای این نمونه در نقشه شماره ۱-۶ آورده شده است بنابراین اهمیت این نمونه با مشاهده کانیهای سولفیدی آهن به مراتب بیشتر است.

### (Complex heavy minerals) کانیهای سنگین

(نقشه شماره ۱۰-۶)

برای دستیابی به راه حلی که بتوان با آن نتایج مطالعات کانیهای سنگین را در یک برگ مشاهده و ناهنجاریهای عمدۀ آنها را تشخیص داد یک نقشه نمادین طراحی شد که تمامی کانیهای سنگین مهم با رنگ و نمادهای مختلف در آن به نمایش گذاردۀ شده است. از محتوای این نقشه می‌توان به نتایج زیر دست یافت.

#### ۱-۱۰-۶- نمونه‌های کانیهای سنگین بسیار مهم

نمونه‌های کانی سنگین با شماره‌های ZGH-345, ZGH-245, ZGH-336, ZGH-46, ZGH-48 جزو کانیهای سنگین بسیار مهم می‌باشند.

نمونه ZGH-48 : این نمونه در محور (سلامه - تازه کند زهر) واقع شده و در بخش جنوب شرقی برگ ۱:۱۰۰/۰۰۰ گرمی واقع شده است. نمونه مذبور در کانیهای همی مورفیت، انگلزیت، اسمیت زونیت، اسفالریت، گالن و سروزیت حداقل مقدار را دارا بوده، ضمناً تنها نمونه‌ای می‌باشد که داری استیپ نیت و ولفرامیت می‌باشد. این نمونه در نقشه‌های آنومالی مربوط به عناصر جیوه و نقره ناهنجاری نسبتاً ضعیفی از خود نشان داده است، و نمونه شماره ZG-40 (در فرادست) نیز ناهنجاری جیوه را بروز داده است.

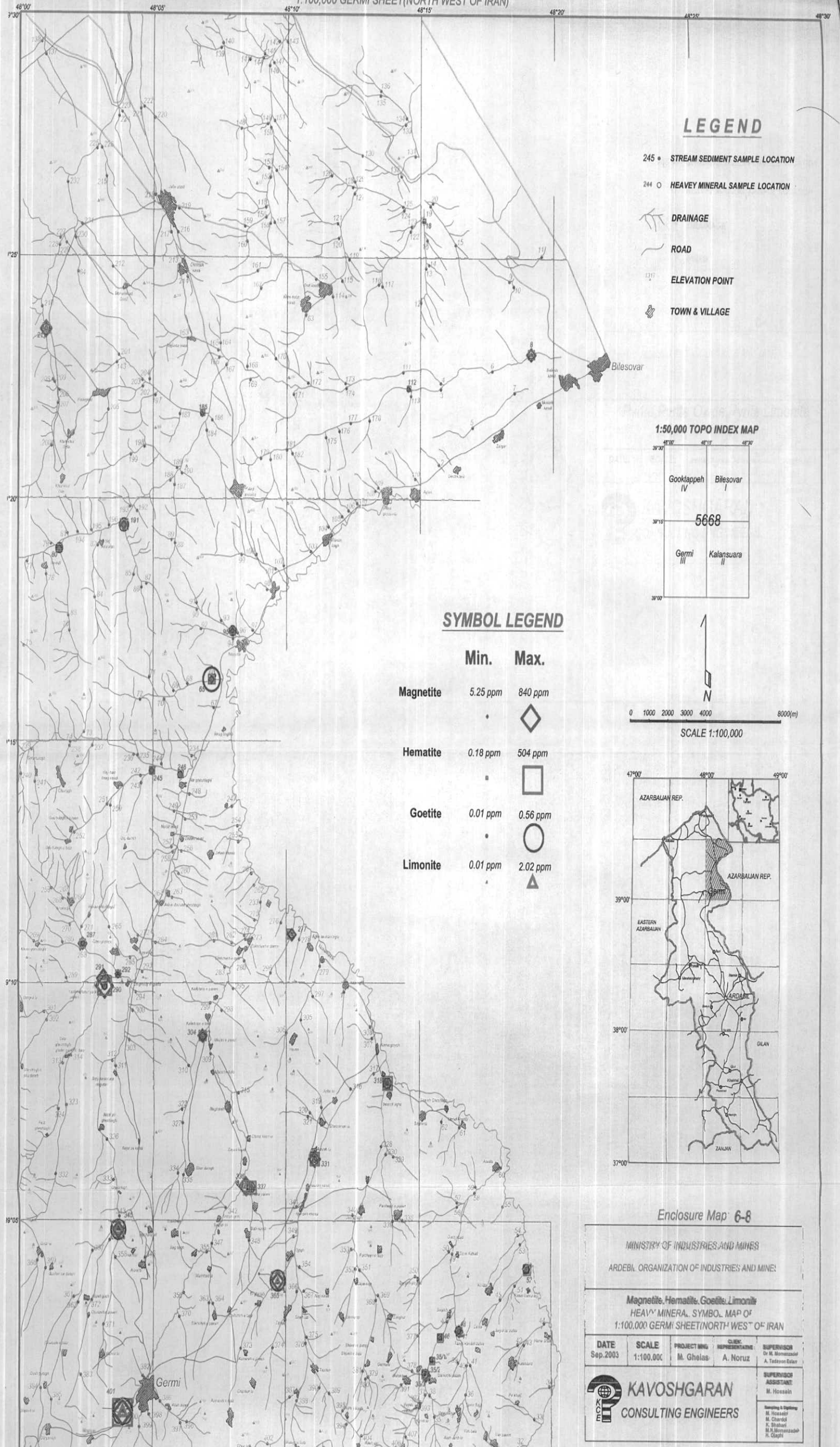
نمونه ZGH-46 : این نمونه نیز در همان محور و در جنوب غربی سلامه واقع شده است. این نمونه حاوی کانیهای اسمیت زونیت، بورنیت، مس طبیعی، اسفالریت، بورنیت، انگلزیت، همی مورفیت، پیرومورفیت، سرب طبیعی و باریت بوده و در کانیهای گالن و سروزیت جزو ۱۰٪ بالای این کانیها می‌باشد. این نمونه در هیچ‌گدام از نمونه‌های آنالیز شده ژئوشیمیایی ناهنجاری نشان نداده است. ۴٪ نمونه از نمونه‌های ژئوشیمیایی که در آبراهه‌های بالا دست این نمونه واقع شده، در عنصر جیوه ناهنجاری نشان داده است.

Magnetite, Hematite, Goetite, Limonite

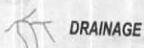
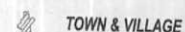
HEAVY MINERAL SYMBOL MAP OF

1:100,000 GERMİ SHEET(NORTH WEST OF IRAN)

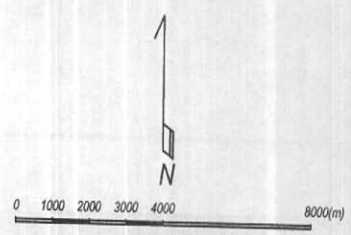
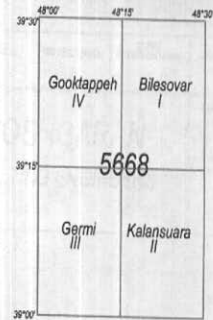
Enclosure Map: 6-8



## LEGEND

- 245 • STREAM SEDIMENT SAMPLE LOCATION  
 244 ○ HEAVY MINERAL SAMPLE LOCATION  
  
 ROAD  
  
 1317 ELEVATION POINT  


## 1:50,000 TOPO INDEX MAP



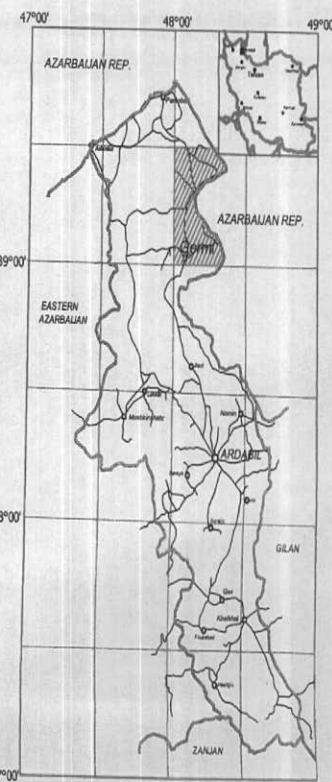
## SYMBOL LEGEND

Min. Max.

Pyrite 0.01 ppm 67.2 ppm 

Pyrite Oxide 0.01 ppm 150 ppm 

Pyrite Limonite 0.01 ppm 126.72 ppm 



Enclosure Map: 6-9

MINISTRY OF INDUSTRIES AND MINES

ARDEBIL ORGANIZATION OF INDUSTRIES AND MINES

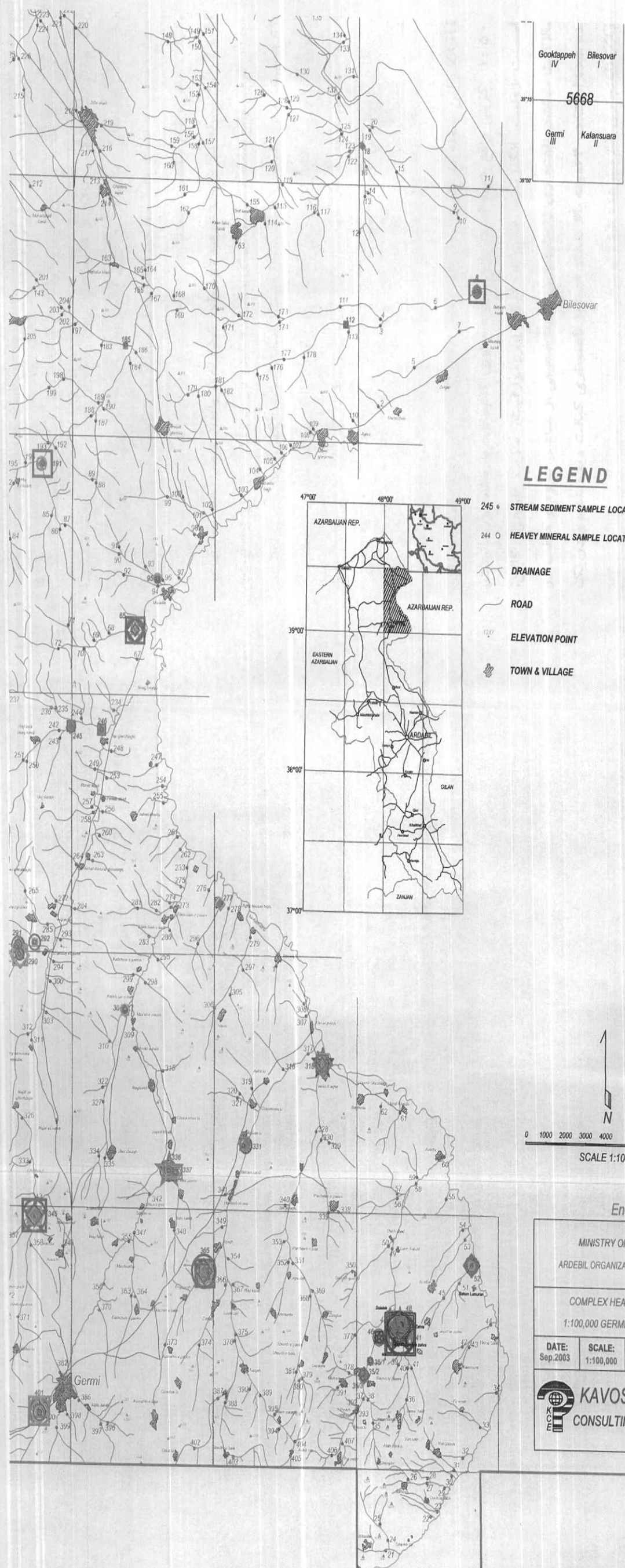
**Pyrite, Pyrite Oxide, Pyrite Limonite**  
 HEAVY MINERAL SYMBOL MAP OF  
 1:100,000 GERMİ SHEET(NORTH WEST OF IRAN)

|                |                  |                         |                                  |  |
|----------------|------------------|-------------------------|----------------------------------|--|
| DATE: Sep.2003 | SCALE: 1:100,000 | PROJECT MNG: M. Gheisal | CLIENT REPRESENTATIVE: A. Noruzi | SUPERVISOR: Dr M. Momenzadeh, A. Tadivayen Esfandi |
|----------------|------------------|-------------------------|----------------------------------|--|

**CAVOSHGARAN**  
**KCE CONSULTING ENGINEERS**

SUPERVISOR ASSISTANT: M. Hosseini

Sampling & Digitizing:  
 M. Hosseini  
 M. Chardoli  
 K. Mousavi  
 M. M. Momenzadeh,  
 H. Ojoghli



Enclosure Map: 6-10

|  |           |                        |                                   |
|--|-----------|------------------------|-----------------------------------|
| MINISTRY OF INDUSTRIES AND MINES   |           |                        |                                   |
| ARDEBIL ORGANIZATION OF INDUSTRIES AND MINES   |           |                        |                                   |
| COMPLEX HEAVY MINERAL SYMBOL MAP OF  |           |                        |                                   |
| DATE:  | SCALE:    | PROJECT MNG:           | SUPERVISOR:                       |
| Sep.2003   | 1:100,000 | M. Gheiasi             | Dr M. Memenedeh A. Teylany Eslami |
|  |           | CLIENT REPRESENTATIVE: | A. Noruzi                         |
|  |           |                        | SUPERVISOR ASSISTANT: M. Hosseini |
| <b>CAVOSHGARAN</b>   |           |                        |                                   |
| CONSULTING ENGINEERS   |           |                        |                                   |
| Sampling & Digitizing<br>M. Hosseini<br>M. Sharifzadeh<br>K. Shabani<br>M. J. Memenedeh<br>H. Osgooi |           |                        |                                   |

نمونه ZGH-345: این نمونه در شمال‌غربی روستای کچلر و در بخش جنوب غربی برگه ۱۵۰/۰۰۰ گرمی واقع شده است. کانیهای سنگین و با ارزش این نمونه را انگلزیت، گالن، سروزیت و باریت تشکیل داده و ضمناً بالاترین مقدار عناصر روتیل، مالاکیت، ژاروسیت، طلا، سافیر و سلسیتین مربوط به این نمونه می‌باشد. در این نمونه ناهنجاری ژئوشیمیایی مشاهده نشده است ولی در نمونه‌های فرادست آن ناهنجاریهای ضعیفی از عناصر طلا، مولیبدن، مس و قلع مشهود است.

نمونه ZGH-336: این نمونه در شمال غرب روستای شکارلوی پایین و در بخش مرکزی برگه ۱۵۰/۰۰۰ گرمی واقع شده است. کانیهای مشاهده شده در این نمونه شامل، ایلمنیت، بورشانیت، ژاروسیت، مس طبیعی، اسمیت زونیت، اسفالریت، انگلزیت، همی مورفیت، پیرومورفیت، گالن، سروزیت، ماسیکلوت و مالاکیت می‌باشد. بالاترین مقدار سرب طبیعی مربوط به کانیهای سنگین ورقه ۱۰۰/۰۰۰ گرمی نیز مربوط به این نمونه می‌باشد. پنج نمونه از نمونه‌های ژئوشیمی آبراهه‌های فرادست این نمونه بطور ضعیف در عناصر Cr, Be, Sr ناهنجاری نشان داده است.

نمونه ZGH-245: این نمونه در شرق روستای حاجی بالا بیگ کندی و در بخش شمالی برگه ۱۵۰/۰۰۰ گرمی واقع شده است. این نمونه حاوی کانیهای باریت، بورشانیت، فلوگوپیت، اسمیت زونیت، انگلزیت، همی مورفیت، پیرومورفیت، سرب طبیعی، گالن، سروزیت و مالاکیت می‌باشد. ناهنجاری ژئوشیمیایی نسبتاً ضعیفی از عناصر کروم و کالت در این نمونه دیده شده است. در ۴ نمونه بالا دست آن نیز ناهنجاری کالت دیده شده و در یک نمونه (ZG-252) ناهنجاری طلا مشاهده شده است.

نمونه ZGH-8: این نمونه در شمال‌غربی روستای باباش کندی و بخش غربی برگه ۵۰/۰۰۰ ۱ بیله سوار واقع گردیده است. کانیهای با ارزش از جمله گالن، سروزیت، اسفالریت، مالاکیت، مس طبیعی، اسمیت زونیت و باریت می‌باشد. بیشترین مقدار بورنیت مشاهده شده در کانی‌های سنگین ورقه گرمی مربوط به این نمونه می‌باشد. در فرادست این

نمونه ناهنجاریهای ژئوشیمیایی عناصر روی، جیوه، کالت، قلع و فاکتور چهارم مشاهده شده است.

### ۱۰-۶-۶- نمونه های کانی سنگین مهم

نمونه ZGH-318 : موقعیت این نمونه در شمال روستای بیوک آقا و در بخش شرقی برگه ۵۰۰/۱: گرمی واقع شده است. کانیهای با ارزش از جمله گالن، سروزیت، ملاکیت، سینابر اسمیت زونیت، بروشاتیت و باریت در این نمونه مشاهده شده است. نمونه های ژئوشیمی فرادست این نمونه ناهنجاریها بی از Zn,Mn,Ni,Sr و در فاصله دورتری اثراتی از Ag,Cr,Ba,Hg نشان داده اند.

نمونه ZGH-65 : موقعیت این نمونه در جنوب غربی روستای مرادلو و بخش جنوبی برگه ۵۰/۱: گوک تپه واقع شده است. کانیهای سنگین با ارزشی از جمله طلا، بروشاتیت، مارکاسیت و باریت در این نمونه مشاهده شده است. ناهنجاری ژئوشیمیایی مربوط به عنصر نیکل در این نمونه و در نمونه های ژئوشیمی فرادست آن ناهنجاریهای از عناصر سرب، جیوه، مس، کروم، نیکل و فاکتور اول قابل مشاهده است.

نمونه ZGH-287 : این نمونه در غرب روستای قز قلعه سی و در بخش غربی نقشه ۰/۰۰۰ ۱: ۵ گرمی واقع شده است. کانیهای سنگین مشاهده شده در این نمونه شامل، گالن، سروزیت، مارکاسیت، ولفینیت، اسمیت زونیت و بروشاتیت می باشد. در این منطقه هیچگونه ناهنجاری ژئوشیمیایی مشاهده نشده است

## ۶-۱۰- محاسبه شاخص غنی شدگی کانیهای سنگ

تعریف شاخص غنی شدگی و مزایای استفاده از آن در راستای کاهش ناهمگنی و خنثی کردن نسبی اثرات لیتولوژی در سر فصل مربوطه به تفصیل ارائه شده است. در انجا اشاره شد که تنوع لیتولوژی در سنگهای بالادست نمونه ها از مهمترین عوامل ناهمگن ساز محسوب میشود با توجه به شناخت لیتولوژی های مختلف و بررسی تمرکزیا پراکندگی بعضی از عناصر در آنها میتوان به توجیه این امر(خنثی کردن اثر لیتولوژی در نمونه های ژئوشیمیایی) پرداخت هر چند در آنهم جای سوالاتی باقی است که در زیر به طرح چند نمونه از آن پرداخته میشود. اساس شناسایی واحدهای لیتولوژی بر مبنای نقشه های زمین شناسی ۰۰۰،۰۰۰،۰۰۰،۰۰۰،۰۰۰،۰۰۰ (در مورد برگه رضی) می باشد. آیا براستی به صحت نسبی این نقشه ها میتوان اطمینان داشت. فرایندهای کانی سازی و تاثیرات آنها در منطقه در بسیاری از موارد بدلیل عدم همخوانی با مقیاس نقشه ها و یاقرار گرفتن در درجات دور بی اهمیت حین تهیه نقشه، انعکاس واضحی را ندارند. آیا این فرایندها را میتوان در قالب لیتولوژی سنگهای میزبان به تصویر کشید؟

نقشه های زمین شناسی گویای عوارض سطحی بوده، آیا آمکان حضور توده های نفوذی باعمق کم در زیر آنها و تاثیر آپوفیزهایی در لایه های رویی وجود ندارد؟ نقشه های ژئوفیزیک هوایی این امکان را بدست میدهد که به شناسایی نسبی این توده ها دست پیدا کرد. کانیهای سنگین در بسیاری از موارد شاید ناگفته هایی از طبیعت در متن خویش داشته باشند، عینی بودن آنها و امكان کنترل و آنالیزهای میکروشیمی در شناخت واقعی فاز تشکیل آنها (فازهای سیلیکاته، سولفیدی، اکسیده)، نحوه واکنش آنها در محیطهای مختلف (اسیدی، خنثی، قلیایی) کمک شایانی خواهد کرد. با توجه به موارد مشروطه بالا بنظر نمی رسد شاخص غنی شدگی آنها کارایی بیش از این موارد را داشته باشند.

بسیاری از کانیهای ارزشمند در فراوانی اندکی خود را نشان میدهند. به یاد داشته باشیم که اصل داده های کانیهای سنگین بر پایه داده های کیفی استوار است، تغییر ماهیت این داده ها به داده های کمی خالی از ایراد نخواهد بود، حال بعد از کمی کردن اطلاعات چگونه مثلا یک یا سه مورد مشاهده از کانی طلا را با شاخص غنی شدگی مرتبط کنیم تا نتایج ملموس تر و واقعی تر گرددند؟

این موارد همراه با موارد دیگر که به دلیل پرهیز از اطالة کلام به آنها اشاره ای نمی شود باعث آن خواهد شد که توجیه کاملاً منطقی درباره شاخص غنی شدگی فراهم نگردد. اما با عنایت به شرح خدمات و در خواست کارفرمای محترم به این مطلب نیز پرداخته شد.

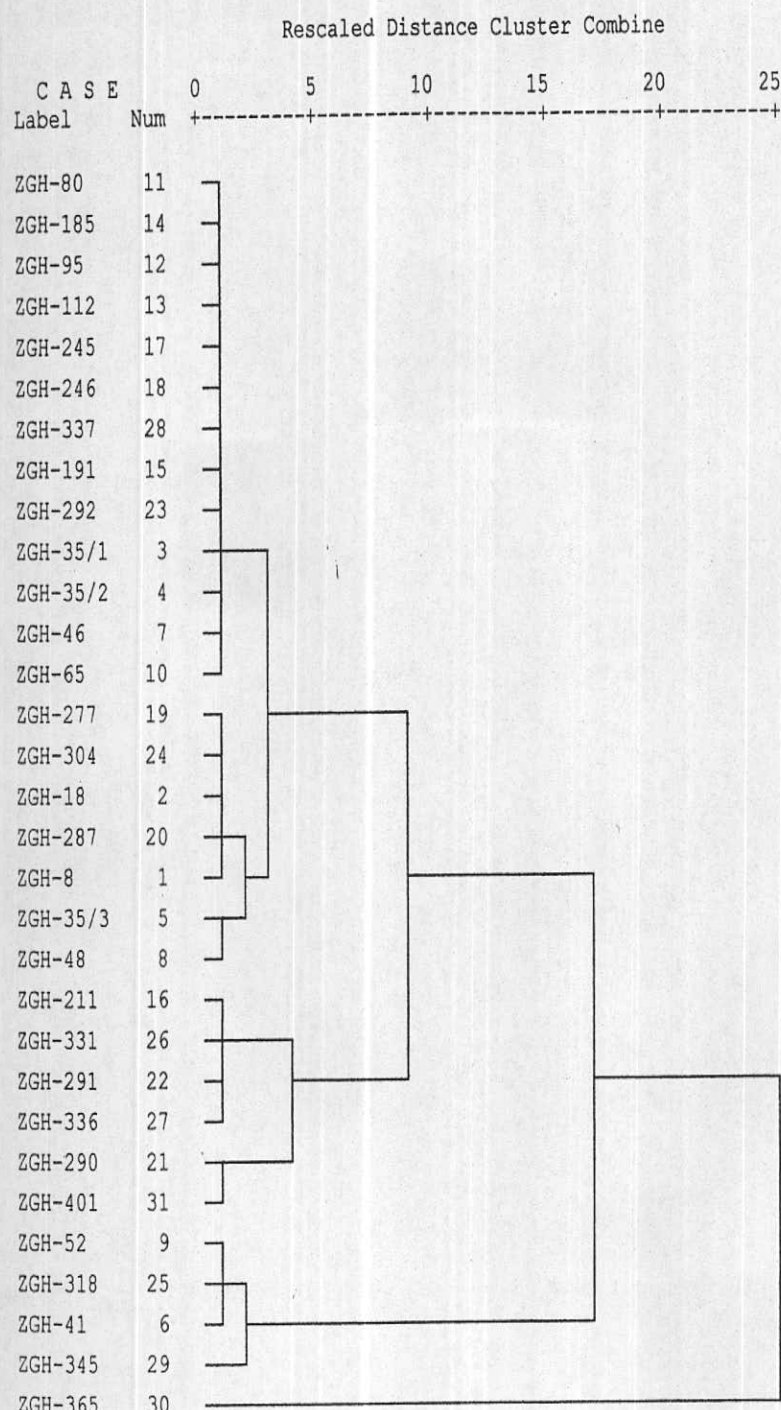
#### ۱-۱۰-۶- مراحل تعیین شاخص غنی شدگی کانیهای سنگین

جهت محاسبه شاخص غنی شدگی ابتدا سعی گردید گروههایی از نمونه های کانی سنگین که دارای لیتولوژی یکسان می باشند جدا شده و در صورتی که تعداد آنها ۱۰ یا بیش از آن باشد در گروه جداگانه جهت محاسبه شاخص غنی شدگی طبقه بندی شوند. اما در نمونه های کانی سنگین ورقه گرمی هیچ گروهی به صورت مستقل این قابلیت را نداشت. ب: در مرحله بعدی تعداد ۳۱ نمونه کانی سنگین جهت تشخیص گروههای نسبی همساز به محیط Spss و آنالیز کلاستر منتقل گردیدند.

ج: تجزیه و تحلیل نوع (Q-mode) بر مبنای تعیین گروههای مشترک از نمونه های نسبتا مشابه اقدام به محاسبه  $e_i$  گردید. در این مرحله تعداد ۴ گروه کلاستر مشخص گردید. گروه کلاستری اول شامل ۱۳ نمونه، کلاستر دوم ۵ نمونه، کلاستر دوم ۶ نمونه و کلاستر چهارم ۷ نمونه می باشد. مشخصات مراحل کلاستر در شکل ۶-۲ آمده است.

د: محاسبه میانه تمامی این گروهها و تعیین شاخص غنی شدگی از طریق رابطه  $E_i = C_i / (C_{med})$  در این فرمول  $E_i$  برابر با شاخص غنی شدگی،  $C_i$  بیانگر مقدار فراوانی کانی سنگین و  $C_{med}$  برابر با مقدار زمینه همان کانی (مقدار میانه یا میانگین). در جدول ۳-۶ پارامترهای آماری شاخص غنی شدگی کانیها سنگین آمده است. در مقایسه ای که در ترسیم نقشه ها بین نتایج خام داده های کمی کانیهای سنگین و همچنین مقادیر ( $e_i$ ) شاخص غنی شدگی آنها به عمل آمد. اختلافی مشاهده نگردید. که دلیل آن ناشی از عدم فراوانی نسبی جهت محاسبات آماری می باشد و فقط این روش بعنوان یک روش مقایسه ای سودمند می باشد. مشخصات نمونه های کانی سنگین واقع شده های گروههای کلاستری چهارگانه در پیوست شماره ۸ آمده است.

Dendrogram using Ward Method



|                        |         | MAGNETI  | ZIRCON     | RUTILE(eI)   | SPHENE(eI)      | LEUCOX | BAURITE | Ca,CAR  | GALENA  | CERUSSI       | IMALACH          | GOLD+Cu    | PYROMOR | PYRITE  | PYRIT     | ILMENITE |       |
|------------------------|---------|----------|------------|--------------|-----------------|--------|---------|---------|---------|---------------|------------------|------------|---------|---------|-----------|----------|-------|
| N                      |         | TE(eI)   | (eI)       | ENE(eI)      | ENE(eI)         | (eI)   | BONAT   | (eI)    | TE(eI)  | ITE(eI)       | (eI)             | RHITTE(eI) | E(eI)   | LIMONIT | OXIDE(eI) | +Fe(eI)  |       |
|                        | Valid   | 30.00    | 30.00      | 29.00        | 15.00           | 18.00  | 31.00   | 31.00   | 23.00   | 24.00         | 8.00             | 1.00       | 4.00    | 26.00   | 31.00     | 3.00     | 22.00 |
|                        | Missing | 1.00     | 1.00       | 2.00         | 16.00           | 13.00  | 0.00    | 0.00    | 8.00    | 7.00          | 23.00            | 30.00      | 27.00   | 5.00    | 0.00      | 28.00    | 9.00  |
| Mean                   | 1.19    | 10.01    | 3.47       | 34.17        | 12.86           | 1.43   | 1.49    | 9.74    | 17.56   | 1.02          | 0.98             | 0.99       | 5.08    | 3.34    | 1.00      | 1.00     | 2.50  |
| Median                 | 1.00    | 1.00     | 1.00       | 1.05         | 1.03            | 1.00   | 1.00    | 1.00    | 1.01    | 0.98          | 0.98             | 1.00       | 1.00    | 1.00    | 1.00      | 1.00     | 3.78  |
| Std. Dev.              | 0.76    | 19.48    | 5.86       | 127.59       | 49.22           | 1.63   | 1.38    | 29.97   | 67.54   | 0.31          | 0.11             | 13.64      | 6.31    | 0.00    | 0.01      | 14.25    |       |
| Variance               | 0.57    | 379.53   | 34.28      | 16280.33     | 2422.93         | 2.66   | 1.91    | 898.19  | 4562.18 | 0.10          | -0.52            | 4.59       | 3.41    | 0.00    | 2.32      |          |       |
| Skewness               | 0.85    | 2.45     | 2.63       | 3.87         | 4.24            | 1.73   | 1.21    | 4.32    | 4.77    | 0.43          | 1.01             | 0.46       | 0.42    | 1.22    | 0.49      |          |       |
| Std. Error of Skewness | 0.43    | 0.43     | 0.43       | 0.58         | 0.54            | 0.42   | 0.42    | 0.48    | 0.47    | 0.75          | 1.01             | 0.46       | 0.42    | 1.22    | 0.49      |          |       |
| Kurtosis               | 0.11    | 5.57     | 6.89       | 15.00        | 17.96           | 2.59   | 0.67    | 19.41   | 23.04   | -0.63         | 1.65             | 22.30      | 13.41   | 0.00    | 5.02      |          |       |
| Std. Error of Kurtosis | 0.83    | 0.83     | 0.85       | 1.12         | 1.04            | 0.82   | 0.82    | 0.93    | 0.92    | 1.48          | 2.62             | 0.89       | 0.82    | 0.00    | 0.95      |          |       |
| Minimum                | 0.06    | 0.03     | 0.10       | 0.33         | 0.10            | 0.00   | 0.00    | 0.11    | 0.11    | 0.59          | 0.98             | 0.84       | 0.01    | 0.00    | 1.00      | 0.02     |       |
| Maximum                | 25.00   | 6.67     | 25.20      | 495.38       | 210.00          | 6.37   | 5.00    | 142.22  | 331.85  | 1.50          | 0.98             | 1.12       | 6.974   | 31.50   | 1.00      | 14.71    |       |
| Percentiles            | 60.00   | 1.00     | 1.00       | 1.05         | 1.03            | 1.00   | 1.00    | 1.00    | 1.01    | 0.98          | 0.88             | 0.56       | 0.28    | 1.00    | 0.75      |          |       |
|                        | 75.00   | 1.75     | 3.85       | 1.67         | 1.25            | 1.50   | 2.40    | 3.33    | 3.02    | 1.33          | 0.98             | 1.00       | 1.00    | 1.00    | 1.00      | 1.98     |       |
|                        |         | GOLD(eI) | SILVER(eI) | SAPPHIRE(eI) | NATIVE EADE(eI) | BROCHA | GOETHI  | SILVER+ | CINNAB  | NATIVE COPPER | NATIVE LEADE(eI) | SMITHSO    | SPHALE  | BORNITE | ANGLESI   | HEMINOR  |       |
| N                      |         | Valid    | 2.00       | 1.00         | 6.00            | 4.00   | 9.00    | 31.00   | 1.00    | 7.00          | 1.00             | 15.00      | 5.00    | 4.00    | 7.00      | 5.00     |       |
|                        |         | Missing  | 29.00      | 30.00        | 25.00           | 27.00  | 22.00   | 30.00   | 30.00   | 24.00         | 30.00            | 27.00      | 27.00   | 24.00   | 26.00     |          |       |
| Mean                   |         | 1.01     | 1.05       | 0.96         | 1.00            | 1.11   | 9.15    | 1.00    | 1.00    | 1.05          | 1.05             | 9.91       | 1.08    | 1.03    | 2.82      | 3.55     |       |
| Median                 |         | 1.01     | 1.05       | 1.00         | 1.00            | 1.00   | 1.00    | 1.00    | 1.00    | 1.00          | 1.00             | 1.05       | 1.00    | 1.00    | 1.00      |          |       |
| Std. Deviation         |         | 0.01     |            |              | 0.32            | 0.12   | 0.51    | 22.20   |         | 0.28          | 0.28             | 27.67      | 0.70    | 0.35    | 4.49      | 5.84     |       |
| Variance               |         | 0.00     |            |              | 0.10            | 0.01   | 0.26    | 492.64  |         | 0.08          | 0.08             | 765.58     | 0.49    | 0.12    | 20.16     | 34.15    |       |
| Skewness               |         |          |            |              | -0.16           | -0.22  | 1.88    | 3.21    |         | 0.44          | 0.44             | 3.51       | -0.32   | -0.10   | 2.64      | 2.23     |       |
| Std. Error of Skewness |         |          |            |              | 0.85            | 1.01   | 0.72    | 0.42    |         | 0.79          | 0.79             | 0.58       | 0.91    | 1.01    | 0.79      | 0.91     |       |
| Kurtosis               |         |          |            |              | -1.46           | 1.53   | 4.76    | 9.83    |         | 0.37          | 0.37             | 12.70      | -0.67   | -5.40   | 6.98      | 4.99     |       |
| Std. Error of Kurtosis |         |          |            |              | 1.74            | 2.62   | 1.40    | 0.82    |         | 1.59          | 1.59             | 1.12       | 2.00    | 2.62    | 1.59      | 2.00     |       |
| Minimum                |         | 1.00     | 1.05       | 0.57         | 0.85            | 0.52   | 0.01    | 1.00    | 1.00    | 0.65          | 0.65             | 1.00       | 0.05    | 0.11    | 0.87      | 0.84     |       |
| Maximum                |         | 1.02     | 1.05       | 1.37         | 1.13            | 2.34   | 88.89   | 1.00    | 1.00    | 1.50          | 1.00             | 106.67     | 1.90    | 1.33    | 12.80     | 14.00    |       |
| Percentiles            |         | 25.00    | 1.00       | 0.59         | 0.80            | 0.35   | 1.00    | 1.00    | 1.00    | 0.89          | 0.89             | 0.50       | 0.45    | 0.70    | 0.96      | 0.85     |       |
|                        |         | 50.00    | 1.01       | 1.05         | 1.00            | 1.00   | 1.00    | 1.00    | 1.00    | 1.00          | 1.00             | 1.05       | 1.00    | 1.06    | 1.00      | 1.00     |       |
|                        |         | 75.00    | 1.02       | 1.24         | 1.21            | 4.80   | 1.00    | 1.00    | 1.29    | 1.00          | 1.00             | 1.50       | 1.75    | 1.33    | 1.00      | 7.53     |       |

## ۱۱-۶-نتیجه گیری از مطالعات نمونه های کانی سنگین

این جمع بندی حاصل مطالعه دقیق ۳۱ نمونه کانی سنگین و در بعضی موارد کنترل مکرر نمونه های مهم و بسیار مهم بوده و با عنایت به مجموعه کانیهای مشاهده شده و خصوصیات آنها ارائه شده است. در این جمع بندی ابتدا بدون توجه به نقشه زمین شناسی و با توجه به پارازیز کانیهای سنگین به برآورده در زمینه سنگ شناسی منطقه پرداخته شده و سپس به مشخصات عمومی کانیهای با ارزش مشاهده شده در نمونه ها اشاره شده است و در نهایت در یک جدول نمونه های مهم و احتمال کانسسارسازی آنها ارائه گردیده است:

### ۱۱-۶-برآورده در زمینه سنگ شناسی از دیدگاه کانیهای سنگین:

با نگاهی کلی به ۳۱ نمونه کانی سنگین گرفته شده در برگه ۱:۱۰۰/۰۰۰ گرمی عمدۀ ترین واحدهای سنگی منطقه را شیل، مارن، ماسه سنگ و سنگهای کربناته تشکیل می دهد که برخی از این واحدها می توانند به عنوان میزبان مناسبی جهت برخی کانی سازی ها مثل سرب و روی، مس و طلا باشند. با توجه به وجود کانیهایی همچون آپاتیت، زیرکن، اسفن، آناتاز، و روتیل وجود سنگهای نفوذی نیمه عمیق و عمیق محتمل میباشد. علت این موضوع وجود زیرکن های شکلدار و بدون گردشگی است که نمی تواند در ارتباط با ماسه سنگهای زیرکن دار باشد بلکه در ارتباط با سنگهای نفوذی عمیق مانند گرانیت، گرانوڈیوریت تا سینیت میباشد. با توجه به عدم رخمنون توده های نفوذی احتمالاً این توده ها در زیر واحدهای جدیدتر قرار گرفته اند و آپوفیزهایی از آنها در این واحدها با گسترش کم رخمنون پیدا کرده اند. حضور احتمال پنهان سنگهای ولکانیک با ترکیب حد وسط تا بازیک نیز در منطقه با وجود کانیهایی همچون آمفیبول، پیروکسن، آپاتیت و ایلمنیت محتمل است. این سنگها نیز پتانسیل کانی سازی داشته و به عنوان جایگاه مناسبی برای انواع کانی سازیها محسوب می شوند. احتمالاً آثار ضعیف کانی سازی مس و سرب و روی در ارتباط با این واحدها باشد.

### ۱۱-۶- مشخصات کلی کانیهای مشاهده شده در نمونه ها

با توجه به تنوع زیاد کانیها، توضیح تمامی آنها خارج از حوصله این متن می‌باشد. ذیلأً به توضیح برخی از کانیهای سنگین مهم و با ارزش می‌پردازیم.

کانی طلا: چهار نمونه حاوی ذرات طلا به ثبت رسیده است که در دو نمونه بصورت منفرد و در دو نمونه دیگر در همراهی با کانیهای نقره و مس می‌باشد. اغلب این ذرات ریزدانه تا بسیار ریز دانه می‌باشند. رنگ آنها بندرت زرد طلائی و طلائی می‌باشد و غالباً دارای رنگ زرد مسی و زرد برنجی می‌باشند. با توجه به ریز دانگی آنها تشخیص شکل و فرم آنها مشکل می‌باشد. فرم اغلب آنها به صورت ورقه‌ای بوده و در مقایسه با طلا از خاصیت شکل پذیری کمتری برخوردار می‌باشند. این امر احتمالاً با خاطر همراهی طلا با عناصری مانند مس، سرب و روی، نقره و آنتیموان می‌باشد. این ذرات یا به صورت مستقل یا به صورت پاراژنز با کانیهای دیگر مشاهده شده‌اند. همراهی طلا در نمونه (ZG-345) با بیشترین مقدار ملاکیت گزارش شده و کانیهای بروشانتیت، گوتیت، ایلمنیت، مارتیت و اسپینیل سیاه نیز در این نمونه به ثبت رسیده‌اند. در دو نمونه بعدی پاراژنزهای طلا کانیهای سافیر، ملاکیت، سروزیت، گالن، آپاتیت، زیرکن و انگلزیت می‌باشد.

کانیهای مس: کانیهای مس به صورت، ملاکیت، بورنیت، بورشانتیت و مس طبیعی در نمونه ها ظهور یافته‌اند. مس طبیعی در ۷ نمونه، بورنیت در چهار نمونه، بروشانتیت در نه نمونه مشاهده شده است. در اغلب نمونه‌هایی که بورنیت وجود داشته، مس طبیعی نیز حضور دارد. کانی مس طبیعی در این نمونه ها به شکل میله‌ای بوده و بندرت به شکل دندریتی مشاهده شده است. دلیل این امر احتمالاً ناشی از خاصیت چکش پذیری و شکل پذیری این کانی است. به نظر می‌رسد مدل کانی سازی مس از نوع هیدروترمال یا دمای پایین می‌باشد که غالباً در واحدهای ولکانیکی یا کربناتی مشاهده شد است.

کانیهای سرب و روی: این کانیها در نمونه ها به صورت اکسیدی (دماسیکوت در ۱ نمونه) به صورت سولفیدی (گالن در ۲۳ نمونه و آسفالریت در ۵ نمونه)، کربناته (اسمیت زونیت در ۱۵ نمونه و سروزیت در ۲۴ نمونه)، فسفاته (پیرومورفیت در ۴ نمونه)، سولفاته (انگلزیت در

۷ نمونه)، سیلیکاته (همی مورفیت در ۵ نمونه) و سرب طبیعی در سه نمونه مشاهده شده‌اند. اغلب این کانیها شکل و فرم خود را از دست داده‌اند. با توجه به کربناته بودن آنها اغلب به رنگ شیری و خاکستری مشاهده شده‌اند. همبود کانیهای سرب و روی با کانیهای کربناته در فراکسیون NM کانیهای سنگین نشانه از وجود احتمالی کانی سازی سرب و روی در واحدهای کربناته دارد. اینچنان به نظر می‌رسد که کانی سازیها از نوع هیدروترمال باشند زیرا کانیهای باریت و فلورین در همراهی با کانیهای سرب و روی از درصد قابل توجهی برخوردارند. احتمال دیگر کانی سازی را به کانی سازی احتمالی چینه سان و در یک افق خاص منتسب نمود.

کانی باریت: این کانی به صورت پاراژنز با کانیهای دیگر و یا در بعضی کانیها به صورت مجرا مشاهده شده است. رنگ آن از شیری، سفید شیری تا خاکستری در نوسان بوده و ابعاد آن نیز از چند ده میکرون تا چند میلی متر را نشان داده است. این کانی می‌تواند بعنوان یک کانی ردیاب مدنظر قرار گیرد. کنترل مناطقی که مقادیر بالایی از باریت در آنها مشاهده شده است الزامی می‌باشد.

از لحاظ ژئوکانسواری دو نظریه را می‌توان ارائه نمود. اول آنکه کانی سازی به صورت هیدروترمال و رگه‌ای می‌باشد و دوم آنکه به صورت چینه سان و در یک افق مشخص وجود دارد. این کانی اغلب با کانیهای سرب و روی و مس همراه است.

کانی سینابر: این کانی در مطالعات کانیهای سنگین بذریت مشاهده شده است. فقط در یک نمونه تعداد ذرات و ابعاد ذرات قابل توجه بوده است. (ZGH-318) این کانی بطور معمول در زونهای کربناته بر Shi شده یا در زونهای خرد شده و در دمای پائین تشکیل می‌گردد که به عنوان یکی از کانیهای ردیاب طلا محسوب می‌شود.

کانی نقره: این کانی اغلب به صورت تک ذره و نیمه شکل دار و تنها در یک نمونه (ZGH-191) مشاهده شده است. با توجه به تعداد کم ذرات این کانی، احتمالاً به صورت پاراژنز با کانیهای دیگر بوده و خود تشکیل نهشته‌ای را نداده است که جنبه اقتصادی آن ضعیف به

نظر می‌رسد. در نمونه ZGH-191 همراه نقره کانیهای از قبیل گالن، سروزیت مشاهده گردیده است.

- کانی ایلمینیت: این کانی به لحاظ ترکیب و مقدار در بخش‌های (فراکسیونهای AA، AV)

(AV) تغییرات زیادی نشان داده است. مقدار Ti در این کانی بسیار متغیر بوده به

نحوی که در فراکسیونهای مختلف AA و AV هر دو مشاهده گردیده است. عمدتاً

دو تیپ کانی سازی در ایلمینیت مشاهده شده است که شامل ایلمینیت‌های با مقادیر

بالای تیتان عمدتاً در توده‌های قلیایی نیمه قلیایی (گابرو و ولکانیکهای قلیایی) و

ایلمینیت‌های با مقادیر پایین تیتان در گرانیت‌ها و سنگ‌های اسیدی می‌باشد.

- بایستی به این نکته اشاره نمود که در کانیهای سنگین ورقه گرمی ایلمینیت‌های

تبییک مشاهده نشده است.

- کانیهای آمفیبول و پیروکسن: مقادیر کانی آمفیبول در نمونه‌ها به مراتب کمتر از

پیروکسن می‌باشد. از این رو به نظر می‌رسد سنگهای نیمه اسیدی تا اسیدی نفوذی از

گسترش کمتری در منطقه برخوردار باشند. پیروکسن اغلب با فرم اولیه به رنگ

سبز رoshn و سبز تیره که شباهت زیادی به ایلمینیت دارد مشاهده شده است. کانی

پیروکسن در ارتباط با ولکانیکهای منطقه است.

- کانیهای لیموئیت - هماتیت و گوتیت: این کانیها از پراکندگی متفاوتی برخوردار

بوده و درصد کانیها در بخش AV بسیار متغیر بوده است. احتمال اینکه بتوان

افزایش آنها را در نمونه‌ها، مرتبط با زونهای کانی سازی دانست وجود دارد. به

ویژه زمانیکه در صد پیریت اکسید، پیریت و یا باریت افزایش قابل توجهی داشته

باشد.

- کانیهای آناناتزاوسن: این کانیها در ارتباط با توده نفوذی اسیدی تا نیمه اسیدی و یا

سنگهای دگرگونی دمای بالا می‌باشد. این مقدار کانیها در اغلب موارد در حد

بوده و دارای مقادیر قابل توجهی نبوده است. کمبود گسترش آنها مؤید درصد اندک

رخنمون سنگهای نفوذی در سطح منطقه می‌باشد.

- کانیهای پیریت - پیریت اکسید و پیریت لیمونیت: مقداری این کانیها متفاوت بوده و اغلب از درصد بالای برخوردار نمی باشند. هم آیندی این کانیها با کانیهای کانسار ساز می تواند حائز اهمیت باشد. اغلب کانیهای مشاهده شده به فرم کوییک و بندرت چند وجهی و بی شکل می باشند. از دیدگاه کارشناس مطالعه کننده پیریت های چند وجهی از نظر کانی سازی با اهمیت تر می باشند.

۱۱-۴- نوع احتمالی کانی سازی نمونه های کانی سنگین با اهمیت در ورقه گرمی در جدول ۳-۶ مشخصات نمونه ها و احتمال کانی سازی در حوضه های بالا دست آنها آورده شده است. البته درصد اطمینان به این جدول در طی مراحل عملیات اکتشافی نیمه تفصیلی و تفصیلی نمود منطقی تری می یابد. و بسیاری از این نتایج ممکن است در مراحل بعدی حذف و یا تعدیل گردند. در مجموع به نظر می رسد بیشتر کانی سازیها به صورت رگه ای و با ژنرهیدروترمال باشد. که غالب آنها از کانی سازیهای از سرب، روی، مس، پلی متال سرب، روی، مس، کانی سازی اسکارنی مس و سرب و روی، کانی سازی هیدروترمالی رگه ای مس و طلا، پلی متال به همراه باریت یا باریت رگه ای به همراه سرب و روی می باشد.

جدول ۳-۶: تشخیص کانی سازی احتمالی بر اساس مطالعات کانیهای سنگین

| ردیف | شماره نموده | X       | Y       | نام برجسته | نام منظقه     |
|------|-------------|---------|---------|------------|---------------|
| 1    | ZGH-8       | 4362750 | 4369104 | بیله سوار  | پاش کندی      |
| 2    | ZGH-46      | 4362750 | 4369104 | گرمه       | سالله         |
| 3    | AGH-48      | 4325326 | 264160  | گرمه       | تازه کند زهر  |
| 4    | ZGH-290     | 4339280 | 245431  | گرمه       | قاطریوران     |
| 5    | ZGH-318     | 4335060 | 260522  | گرمه       | پاچن          |
| 6    | ZGH-336     | 4331330 | 252622  | گرمه       | مشکار لوحی با |
| 7    | ZGH-337     | 4331270 | 252947  | گرمه       | مشکار لوحی با |
| 8    | ZGH-211     | 4364850 | 242982  | گوچ تپه    | پستان         |
| 9    | ZGH-345     | 4329780 | 245803  | گرمه       | کچلر          |
| 10   | ZGH-287     | 4340890 | 244321  | گرمه       | قرفعه مس      |
| 11   | ZGH-65      | 4350790 | 251603  | گرمه په    | مراد لو       |
| 12   | ZGH-80      | 4356090 | 243613  | گوچ تپه    | سبدی          |

کانی سازی احتمالی در حوضه بالا داردست و مس میباشد

کانی سازی رگه ای پلی متال های سرب و روی در واحدهای کربناته

کانی سازی رگه ای پلی متال همراه بازیت با کانیهای مس و سرب و روی در واحدهای کربناته

کانی سازی رگه ای پلی متال واحدهای مس و سرب و روی در واحدهای کربناته

کانی سازی سرب و روی در واحدهای کربناته با و لکانیکی به صورت رگه ای

کانی سازی پلی متال واحدهای کربناته با و لکانیکی به صورت رگه ای

کانی سازی پلی متال واحدهای کربناته به صورت هیدرو ترمال

کانی سازی پلی متال واحدهای کربنکی یا کربناته به صورت هیدرو ترمال

کانی سازی های متال واحدهای لکانیکی به همراه بازیت در واحدهای لکانیکی

کانی سازی پلی متال واحدهای لکانیکی به همراه بازیت در واحدهای لکانیکی

کانی سازی ضعیف سرب و روی

کانی سازی مس و طلا احتمالاً به صورت هیدرو ترمال

کانی سازی سرب و روی به صورت رگه ای

احتمال ضعیف کانی سازی طلا

کانی سازی رگه ای پلی متال به همراه بازیت به کانیهای سرب و روی و مس میباشد

نمونه برداری از زونهای مینرالیزه و دگرسانی و سیستم درزه و شکافهای پر شده.  
با توجه به اینکه بخش های زیادی از برگه  $1:100,000$  گرمی پوشیده از رسوبات  
کواترنر بوده و همچنین عدم مشاهده رخنمونهای سنگی مینرالیزه و آلتره در این برگه،  
نمونه های سنگی برداشت نگردید و به جای آن اقدام به برداشت نمونه های کانی سنگین و  
ژئوشیمی پیشتری گردید.

### **بخش سوم**

**مدل سازی، مطالعه تغییر پذیری دانسیته گسلها و تحلیل  
و تلفیق کلیه داده ها**

## فصل اول : مدل سازی آنومالی های ژئوشیمیایی

### ۱-۱ تعریف مدل

زمین شناسان در استفاده از لغت مدل و برداشت از آن و انواع مختلف مدل به نظر واحدی نرسیده‌اند. تعریف مدل در بسیاری از لغت نامه‌ها به گونه زیر ارائه شده است: مدل در بر گیرنده و بیانگر ترکیب داده‌ها و مفاهیم است که به صورت مطلب نوشتاری، فرمول، نمودار و یا شیوه سازی فیزیکی بیان می‌شود. یک مدل نهشته کانساری شامل داده‌ها و مفاهیمی است که از روند داده پردازی گذشته تا ازنتایج آنها برای شناخت نوع نهشته استفاده گردد.

توصیف زمین شناسی و عوامل مؤثر آن در هر کانسار و بررسی مجموعه‌های کانسارها در یک ناحیه فرآیند می‌تواند منجر به تعریف مدل توصیفی کانسار مزبور گردد. در این مدلها مشخصه‌های عمومی و کلی کانسار بدون نظر به ارتباط علت و معلولی آن مورد کنکاش قرار می‌گیرد و به اصطلاح به نحوه زایش و پارامترهای مورد نظر آن نمی‌پردازد. نوع دیگر مدل سازی که به ارتباط زایشی و برآورد محتمل ترین فرآیندهای مؤثر در آن پرداخته می‌شود به نام مدل سازی ژنتیکی موسوم است.

ژئوشیمیست‌های روسی و بویژه پروفسور گریگوریان نوع دیگری از مدل سازی را مبنای فعالیتهای اکتشافی خود قرار داده‌اند در این نوع مدل سازی با توجه به گستره زونهای عمودی و افقی عناصر و محاسبه نسبت‌های عناصر فوق کانساری و پلات کردن نتایج پردازش شده آنها روی مدل‌های شناخته شده، درنهایت به بررسی سطح فرسایش و تقسیم بندی‌هایی خاص هر نوع کانسار خواهند پرداخت.

مدل سازی عددی که ارتباط بین داده‌های محیط کانسار، محیط زمین شناختی را بر قرار کرده و درنهایت با استناد به داده‌های مدل توصیفی به مدلی (مدلهایی) دست خواهند یافت که بیشترین احتمال وقوع آنها در منطقه وجود دارد. اما با توجه به این مسئله ضروری است که بخش مهمی از این داده‌ها متأثر از اطلاعاتی است که در قالب نقشه‌های کوچک مقیاس ارائه شده و ارائه و تشخیص پاره‌ای از آنها به آگاهی کامل به محیط تکتونیکی و

عوارض زمین شناختی بستگی دارد و صحت دقت این داده‌ها قبل از ورود به هر نوع سیستم و تصمیم گیری نهایی بایستی کنترل شود.

#### ۱-۲- مدل‌های احتمالی کانی سازی در برگ ۱:۱۰۰/۰۰۰ گرمی

بخش اعظمی از برگ ۱:۱۰۰/۰۰۰ گرمی توسط رسوبات نژوژن و کواترنر پوشیده شده است. در بخش‌های مرکزی و جنوبی برگ سازند زیوه رخنمون دان که ترکیب آن بیشتر ماسه سنگ توفی، کنگلومرا و شیل می‌باشد. بخش محدودی از برگ نیز در شمال روستای مسجدلو (بخش شمال غرب برگ ۱:۵۰/۰۰۰ گرمی) پوشیده از نهشته‌ها و ولکانیکهای ائوسن می‌باشد (نقشه زمین شناسی پیوست شماره ۱) با توجه به ناهنجاریهای بدست آمده از بررسیهای ژئوشیمیایی و کانی سنگین و نمونه‌های سنگی و شواهد ثبت شده در هنگام نمونه برداری محتمل ترین کانی سازی‌ها در این ورقه به شرح زیر می‌باشد.

#### کانی سازی باریت:

کانی سازی باریت به صورت رگه‌ای و احتمالاً پلی متال همراه باریت که در محور (ونستانک - گیلارلو) وجود دارد. این محور که در امتداد گسلهای ظماره پایین و گسل‌ها چاکنده قرار گرفته است. تمامی کانیهای سنگینی که از این محدوده برداشت شده اند مقادیر بالایی از باریت را از خود نشان داده‌اند.

#### کانی سازی سرب، روی و مس

کانی سازی، روی و مس بطور ضعیف در نمونه‌های ژئوشیمی و کانی سنگین خود را بروز داده است و به احتمال زیاد اقتصادی نمی‌باشد. اما حضور زیرکن‌های صورتی رنگ همراه با این نوع کانی سازی احتمال وجود توده‌های نفوذی کم عمق یا آپوفیزهایی از آنرا در مناطق معرفی شده داده. این نوع کانی سازی احتمالاً از نوع رگه‌ای می‌باشد.

## فصل دوم

### ۱-۱ مطالعه تغییر پذیری دانسیته گسلها:

با توجه به اینکه سیالات کانه ساز در شکل گیری بسیاری از کانسارها نقش اساسی دارند و جهت حرکت، نیاز به درز و شکاف هایی با ابعاد مختلف می باشد لذا توسعه اینچنین سیستمهایی در زونهای شکسته شده، اعم از فشارشی یا کششی محتمل تر می باشد. بسیاری از مواد معدنی فلزی، بصورت رگهایی دیده می شوند که در حقیقت این رگهای شکستگی ها و گسل هایی است که از مواد معدنی پر شده اند. موارد بیشماری وجود دارد که طی آن رابطه نزدیکی بین کانسار و عوامل تکتونیکی به اثبات رسیده است. لذا مطالعه زونهای شکسته شده و مقایسه با نقشه توزیع ناهنجاری و نقشه توزیع شکستگیها می تواند در ارزیابی آنomalی ها مؤثر واقع شود. نکته قابل توجه در این امر زمان شکل گیری شکستگی ها می باشد. زیرا بدیهی است که تنها شکستگی هایی که قبل از پدیده کانی سازی تشکیل شده اند می توانند در ایجاد کانالها و منافذ جهت حرکت سیالات گرمابی و تشکیل کانسارهای تیپ اپی ژنتیک هیپوژن مؤثر واقع شوند.

بنابراین شکستگی هایی که بعد از کانی سازی تشکیل شده باشند تنها ممکن است در توسعه هاله های ثانوی آنها و تشکیل زون غنی شدگی اکسیدی و یا احیایی از نوع اپی ژنتیک سوپرژن مؤثر واقع شوند. لبته تشکیل شکستگی های ثانوی موجب تسهیل در فرایند اکسیداسیون عنصر کانساری و افزایش قابلیت حرکت آنها و توسعه هاله های ثانویه آنها خواهد شد. در این راستا مجموعه گسلهای هر برگه بطور جداگانه مورد بررسی قرار خواهد گرفت. جهت بررسی هر برگه ابتدا برگه مورد نظر (نقشه زمین شناسی ۱:۱۰۰/۰۰۰) منطقه مورد نظر) به شبکه هایی با طول و عرض ۱ کیلومتر تقسیم شده، سپس هر کدام از این مربعها نامگذاری می شود تا سطح ۱ کیلومتر مربعی از نظر میزان فعالیت گسلها، طول گسلهای موجود در آن و آزیموت گسل مورد بررسی قرار گیرد.

از آنجاییکه گسلهای بزرگ در سلوهای به وسعت ۱ کیلومتر مربع گنجانده نمی شود و هم چنین نظر به اینکه گسلهایی بزرگتر (گسلهایی با طول بیشتر) بیشتر مورد توجه می باشند تقسیم بندی گسلها بر حسب طول آنها به شرح زیر انجام شد:

| مشخصه<br>(Weight) | ۲-۱- شرح                              |
|-------------------|---------------------------------------|
| A                 | ۱- گسلهایی با طول کمتر از ۱ کیلومتر   |
| B                 | ۲- گسلهایی با طول بین ۱ تا ۵ کیلومتر  |
| C                 | ۳- گسلهایی با طول بین ۵ تا ۱۰ کیلومتر |
| D                 | ۴- گسلهایی با طول بیش از ۱۰ کیلومتر   |

باتوجه به تقسیم بندی فوق در مورد هر محدوده ۱ کیلومتر مربعی اطلاعاتی به شرح زیر در مقابل اسم محدوده درج می‌شود.

طول گسل- مشخصه (Weight) که نشانه ارزش و اهمیت گسل بر حسب طول آن می‌باشد (یکی از دسته بندیهای چهار گانه فوق) - آزمیوت

با استفاده از اطلاعات فوق هر منطقه دلخواه را می‌توان از نظر تکتونیک با دقت نسبتاً خوبی بررسی کرد.

اما جهت جمع بندی اطلاعات و نتیجه گیری کلی در جهت این اطلاعات با نقشه توزیع ناهنجاریها به دقت بیشتری نیاز داریم. بدین منظور اطلاعات مذکور به صورت داده‌هایی در هر ۵ کیلومتر مربع تقسیم بندی شده و با استفاده از نرم افزارهای مخصوص از جمله STEREONET و به کمک رایانه نمودار رزدیاگرام هر محدوده ۵ کیلومتر مربعی ترسیم شده است. جهت ترسیم رزدیاگرامها توسط رایانه، آزمیوت و فراوانی هر آزمیوت مشخص و مورد توجه قرار می‌گیرد.

پس از رسم رزدیاگرامها با کنار هم قرار گرفتن این نمودارها و مقایسه آنها با نمودار دیاگرام کلی می‌توان به یک دید عمومی در مورد ارتباط ناهنجاریها و احتمالاً آنماлиهای فعالیتهای تکتونیکی منطقه دست پیدا کرد. بدین ترتیب که با استفاده از رزدیاگرامها و شناخت مناطق تکتونیزه می‌توان شدت فعالیتهای تکتونیکی و میزان ناهنجاریها را به هم مربوط ساخت.

### ۲-۲- شرح نقشه دانسیته گسلها (نقشه پیوست شماره ۲۱)

نگاهی کلی به مجموع رزدیاگرام‌های تهیه شده از گسل‌های منطقه گرمی، که بر اساس نقشه ۱:۱۰۰/۱۰۰ زمین‌شناسی گرمی (سازمان زمین‌شناسی کشور) تهیه شده است، روند غالب این گسل‌ها در جهت شمال غرب - جنوب شرق نشان می‌دهد. گسل‌هایی با این امتداد بیشترین طول و فراوانی را دارا می‌باشند. علاوه بر این روندها، به گسل‌هایی با روند شمال شرق - جنوب غرب و شرق - غرب برخورد می‌کنیم که از نظر طول و فراوانی (با توجه به ضخامت و طول قطاع رزدیاگرام‌ها) نسبت به گسل‌های قبلی درصد کمتری را تشکیل می‌دهند. در منطقه شرق روستای ایلخچه پایین و جنوب گرمی با توجه به زردیاگرام‌ها به گسل‌های با روند شمال - جنوب برخورد خواهیم کرد که فراوانی و طول بسیار کمتری را دارا می‌باشند. در اینجا به شرح دانسیته گسل‌های منطقه می‌پردازیم.

#### بخش جنوبی نقشه دانسیته گسل‌های گرمی

در جنوب نقشه و در محدوده‌ای به وسعت تقریبی  $425\text{Km}^2$  گسل‌هایی با روند شمال - جنوب شرق از نظر طول، وزن و فراوانی درصد بیشتری را تشکیل داده و گسل‌های اصلی منطقه را نیز در بر می‌گیرند که در میان واحدهای فورش رسی گچدار رنگارنگ با لایه‌های نازک ماسه سنگی قرار گرفته‌اند. با مراجعه به نقشه زمین‌شناسی گرمی، تاقدیس و ناویدیس‌های متوالی در این محدوده مشاهده می‌شود که محور آنها دارای روند شمال غرب - جنوب شرق می‌باشد. بررسی رزدیاگرام‌ها نیز روند غالب شمال غرب - جنوب شرق را در این منطقه نشان می‌دهد. می‌توان دریافت که بیشتر این گسل‌ها به موازات امتداد محور این چین خورده‌گی‌ها به وجود آمده‌اند. گسل‌های مذکور، اصلی هستند و دارای وزن، طول و فراوانی زیاد در منطقه می‌باشند و با دقت بیشتر مشاهده می‌شود که از شرق تا غرب محدوده مورد نظر را در بر می‌گیرند. وجود این گسل‌های اصلی در طبقات چین خورده، در جابه جایی لایه‌ها و ایجاد درز و شکاف در آنها، می‌تواند نقش به سزاوی داشته باشد.

دو گسل اصلی بزرگ منطقه یعنی گسل ها چاکندی و گسل ظماره را در قسمت جنوبی نقشه زمین شناسی مشاهده می‌کنیم که رز دیاگرام های مربوط به آنها در نقشه پیوست شماره ۲۱ ترسیم شده است. این دو گسل بزرگ از قسمت غربی تا قسمت شرق محدوده مورد نظر کشیده شده اند و در جنوب شرق این محدوده با هم تقاطع دارند که با بررسی رز دیاگرام های موجود در شرق گرمی و با در نظر گرفتن آزمیوت و فراوانی این گسل ها از روی قطاع رز دیاگرام ها می‌توان به وجود این گسل های مقاطع پی برد.

در حوالی جنوب روستاهای سیدکندی و شکارلوی پایین نیز با بررسی رز دیاگرام موجود گسلی با امتداد شمال غرب - جنوب شرق و در ادامه آن گسلی با امتداد شمال شرق - جنوب غرب داریم که با توجه به آزمیوت قطاع های رز دیاگرام مورد نظر می‌توان به روند این گسل ها پی برد و با مراجعه به نقشه زمین شناسی منطقه این وضع کاملاً مشهود است.

#### محدوده مرکز نقشه دانسیته گسل های

در محدوده ای به وسعت 325Km<sup>2</sup> در مرکز نقشه مورد نظر به بررسی گسلها می‌پردازیم. با مراجعه به نقشه زمین شناسی محلی، در این محدوده نیز تاقدیس ها و ناویدیس هایی را مشاهده کنیم، بررسی رز دیاگرام ها روند غالب گسل ها را شمال غرب - جنوب شرق نشان می‌دهد. گسل هایی هم با روند شمال شرق - جنوب غرب داریم که در صد کمتری را از نظر طول، فراوانی و وزن تشکیل می‌دهند (با توجه به ضخامت و طول قطاع رز دیاگرام ها می‌توان به وزن و فراوانی گسلها پی برد). در غرب و شرق و نقاطی از این محدوده مثل حوالی روستاهای جهان خان لو، نوروزلو، هواس، آباییگلو، با توجه به آزمیوت قطاع ها، تقاطع گسلها را مشاهده می‌کنیم که حائز اهمیت می‌باشد. در این منطقه نیز روند گسل ها و چین ها به موازات هم می‌باشد یعنی در جهت شمال غرب - جنوب شرق که با مراجعه به رز دیاگرام ها و نقشه زمین شناسی منطقه این مسئله را می‌توان مشاهده نمود.

### -جنوب غرب برگه نقشه دانسته گسلها

با توجه به رزدیاگرامها در منطقه جنوب غرب برگه  $1:100,000$  گرمی چنین به نظر می‌آید که دو سیستم گسل عمده بصورت متقطع و با جهت‌های شمال شرق - جنوب غرب و شمال غرب - جنوب شرق منطقه را تحت تأثیر قرار داده است. با یک نگاه به مجموع رزدیاگرامهای کنار هم قرار گرفته در این منطقه می‌توان دریافت که اغلب قطاع‌های با ضخامت زیاد (که نمایشگر فراوانی یعنی تعداد بیشتر گسلها و هم چنین طول آنهاست) با آزمیوت تقریباً یکسان، دارای جهت شمال شرق - جنوب غرب می‌باشند. این راستا منطبق با گسل اصلی مشخص شده در نقشه زمین‌شناسی می‌باشد.

گسلهایی با جهت شرقی - غربی هم مشاهده می‌شود که باز هم گسلهای هم جهت، تقریباً از فراوانی و طول بسیار نزدیک به هم و شاید بتوان گفت یکسان برخوردار می‌باشند. لازم به ذکر است که مطالعات و بررسیهای فوق در محدوده‌ای به وسعت تقریبی  $350 \text{ Km}^2$  انجام شده که با توجه به وسعت محدوده، تعداد و وزن گسلها (اهمیت آنها با توجه به پارامترهایی که قبلًاً بیان شد) با منطقه‌ای تکنونیزه مواجه می‌باشیم که این مسئله علی الخصوص در منتهی‌الیه جنوب غربی محدوده میتواند پتانسیلهایی را در بر داشته باشد.

### جنوب شرق نقشه دانسته گسلها

با بررسی منطقه جنوب شرق برگه  $1:100,000$  گرمی، مجموعه گسلهایی با آزمیوت تقریباً همسان دیده می‌شود که بیشترین فراوانی آنها در یک جهت (شمال شرق - جنوب غرب) می‌باشد. البته گسلهایی هم در جهت متقطع با گسل اصلی و با توجه به رزدیاگرامها، گسلهایی با فراوانی تقریباً یکسان و در جهت متقطع با گسل اصلی ذکر شده دیده می‌شود. با پیشروی به سمت شرق محدوده تعدادی گسل با جهت شرقی - غربی و البته فراوانی کمتر دیده می‌شود. تمایل این دسته گسلهای ذکر شده در جهت همخوانی با جهت گسل اصلی می‌باشد.

### شمال شرق نقشه دانسته گسلها

در محدوده‌ای به وسعت تقریبی  $150$  کیلومتر مربع مجموعه‌ای از گسلها با امتداد شمال غرب - جنوب شرق با بیشترین فراوانی و وزن دیده می‌شود. در این منطقه ضخامت و

طول قطاع رزدیاگرامها نشانگر فراوانی گسلهای بزرگ در یک امتداد می‌باشد که با اختلاف ناچیزی در آزیموت همگی جهت شمال غرب - جنوب شرق به خود گرفته‌اند یعنی با گسلهای منطقه قبلی (جنوب شرق نقشه دانسیته گسلها) همخوانی نسبی را نشان می‌دهند. البته در این منطقه هم گسلهایی در جهت شمال شرق جنوب غرب دیده می‌شود که از نظر فراوانی و وزن و همچنین طول در مقایسه با گسلهای شمال غربی - جنوب شرقی در صد کمتری را تشکیل می‌دهند. در این منطقه با پیشروی به سمت شرق به گسلهایی با امتداد شرقی غربی و شمالی - جنوبی برخورد می‌کنیم. با یک نگاه کلی می‌توان گفت که گسلهای این منطقه نسبت به دو منطقه قبلی تمایل بیشتری به جهت شرقی - غربی دارند. اگر بخواهیم تقاطعی برای گسلهای این منطقه در نظر بگیریم، می‌توان تقاطع بین دو جهت شرقی - غربی و شمال غرب - جنوب شرق را منظور کرد. در محل تقاطع آشفتگی از نظر فراوانی و طول گسلها کاملاً مشهود می‌باشد (جنوب روستای گرده).

#### -غرب شمال غرب نقشه دانسیته گسلها

در این منطقه روند گسلهای غالب (از نظر فراوانی و وزن) شمال غرب - جنوب شرق می‌باشد گسلهایی با این امتداد غالباً دارای فراوانی و وزن یکسان می‌باشند بطوریکه می‌توان گفت جهت شکستگی‌های این منطقه شمال غربی جنوب شرقی می‌باشد. البته نباید از گسلهایی با امتداد متقطع یعنی شمال شرق جنوب غرب صرفنظر کرد. چرا که منتهی‌الیه غربی منطقه مورد بررسی کاملاً تحت تأثیر این دسته گسلها قرار گرفته است. در منطقه مورد بررسی با حرکت به سمت غرب کمی آشفتگی در آزیموت دیده می‌شود که با وجود این آشفتگی در آزیموت، از همسانی تقریبی در طول گسلها برخوردار می‌باشد.

آشفتگی‌ترین نقطه در این منطقه در شرق و غرب روستای جمایران دیده می‌شود چرا که با توجه به رزدیاگرامهای رسم شده علی الخصوص در غرب این روستا نمی‌توان جهت کلی برای گسلهای فعال در این منطقه بیان کرد. گسلهای عمل کننده در این منطقه با آزیمومتهای مختلف و فراوانی و وزن تقریباً یکسان دیده می‌شوند (با توجه به طول و ضخامت و زاویه قطاع).

## فصل سوم

### - تلفیق کلیه داده ها و معرفی مناطق امید بخش

#### ۱-۳- مقدمه

مسلمان اطلاعات زمین شناسی بسیاری وجود دارد که از دیدگاه ژئوشیمیست ها در پروژه نمونه برداری ژئوشیمیایی ۱۰۰/۱۰۰: ۱ گرمی پنهان مانده است، چرا که محله ای نمونه برداری، بخش کوچکی را از پهنه یک برگه در بردارند و اطلاعات منعکس شده در هر برگه نمونه برداری (برگه های استاندارد نمونه های آبرفتی) محدوده همان نقطه را تشریح می کند. اما اینکه چه مقدار از این اطلاعات برای تبیین استراتژی اکتشافی مورد نیاز است و اصولاً درجه اطمینان به این اطلاعات و اطلاعات فرآگیر دیگری متجلمه اطلاعات زمین شناسی -داده های آنالیز نمونه ها، داده های مطالعات کیفی نمونه های کانی سنگین، داده های حاصل از آنالیز نمونه های سنگی و آلتره تا چه اندازه است، سوالاتی است که پاسخ به آنها مشکل بنظر می رسد در برخی آنها در متن گزارش اشاره شد.

بطور کلی زمین شناسان نسبت کاربرد تفاسیر در استفاده از داده های زمین شناسی در اکتشافات هم عقیده نیستند. بعضی ها را عقیده بر آن است که مشاهدات تجربی برای استفاده در اکتشافات کافی بوده و این مشاهدات قابل اعتماد و اطمینان است و نیازی به جمع آوری اطلاعات در زمینه فرآیندهای زمین شناسی و نحوه زایش مواد معدنی وجود ندارد. (Ridge 1983). عده ای دیگر مخالف این نظریه بوده و معتقدند که تکیه به مشاهدات تجربی بطور بسیار بارزی سهم اطلاعات زمین شناسی را در اکتشاف بالا می برد. گروه دیگری از متخصصین را عقیده بر این است که با توجه به تنوع فرآیندهای زمین شناسی و پدیده های مرتبط با آنها امکان سود جستن از آنها در طبقه بندی اکتشافی راهی طولانی و پر دردرسر است. در این زمینه می توان به عواملی استناد کرد که رفتار آنها به صورت قانونمند شناخته شده و تمامی واکنش آنها در هر محیط به دقت مطالعه شده است، این عوامل شامل رفتار عناصر در تشکیل کمپلکس ها، چگونگی تشکیل آنها، مهاجرت و سکون آنهاست. این گروه معتقدند که اصول اکتشافات ژئوشیمیایی به عنوان آئینه تمام نمای این رفتارهاست و استفاده از نسبت ها و ضرایب خاص می تواند کارایی این نقطه تفکر را به چندین برابر و یا حتی چند صد برابر افزایش دهد. از پیشروان این تفکر پروفسور سرگشی گریگوریان است.

### ۳-۳- معرفی مناطق امید بخش

منطقه ناهنجار محور سلاله - دمیر چی پائین - تازه کند زهرا

ناهنجاری این منطقه در راستای دو آبراهه اصلی است که از ارتفاعات جنوب روستای تمیر تاش و جنوب روستای پور مهر سرچشمه می گیرند و در بخش جنوبی سلاله به هم مرتبط می شوند. در این منطقه مجموعاً ۲۷ نمونه ژئوشیمی و ۷ نمونه کانی سنگین برداشت شده است. مساحت تقریبی این منطقه در حدود ۳۰ کیلومتر مربع می باشد. در نمونه های ژئوشیمیایی، عنصر جیوه ناهنجاری درجه یک و عناصر کروم، نقره، طلا و قلع ناهنجاری درجه دوم از خود نشان داده است. دو نمونه از مجموع ۷ نمونه کانی سنگین این منطقه در بین نمونه های بسیار مهم قرار دارند (ZGH- 46, 48). نمونه کانی سنگین ZGH-48 در این منطقه دارای بالاترین مقادیر کانیهای استیب نیت، و لفرامیت، اسمیت زونیت، اسفالریت، انگلزیت، همی مورفیت، پیرومورفیت، گالن و سروزیت می باشد. و تنها نمونه ای است که در آن کانیهای استیب نیت و لفرامیت مشاهده گردیده است. در این مجموعه احتمال کانی سازی رگه ای پلی متال همراه باریت یا باریت با کانیهای مس، سرب و روی می باشد.

منطقه ناهنجار محور قشلاق شور دره - ادگلوی انگوتلار

این منطقه در بخش شمال غربی برگه ۵۰/۰۰۰: ۱ گرمی واقع شده است. سه آبراهه در این محدوده واقع شده اند که دو آبراهه آن با روند جنوب غربی - شمال شرقی از روستاهای قشلاق شور دره و دیگری از ارتفاعات جنوبی فرزی قشلاقی و آبراهه دیگر با روند شمال غربی - جنوب شرقی از ارتفاعات شمالی روستای خاک رضا سرچشمه می گیرند. مجموعاً در این منطقه ۱۵ نمونه ژئوشیمی و ۴ نمونه کانی سنگین برداشت شده است. مساحت تقریبی آن در حدود ۱۵ کیلومتر مربع می باشد. نمونه های ژئوشیمی برداشت شده از این منطقه ناهنجاریهایی از عناصر مس، مولیبدن، روی و منگنز نشان داده اند.

در نمونه های کانی سنگین این منطقه آثاری از گالن، سروزیت، مالاکیت، طلا و منگنز مشاهده شده است. با توجه به مشاهده مالاکیت در نمونه ZGH-291 همپوشانی خوبی بین این نمونه و نمونه ژئوشیمی بالا دست آن (ZG-301) وجود دارد. زیرا در عناصر مس و مولیبدن ناهنجاری درجه ۱ نشان داده است. در این منطقه احتمالاً میتوان انتظار کانی سازی سرب و روی و مس (با توجه به وجود مالاکیت و همخوانی با ناهنجاری ژئوشیمی) را به

صورت رگه ای یا پلی متال داشت. جدول شماره ۱-۳ نمونه‌های ناهنجار این مناطق را با انطباق احتمالی با نتایج کائیهای سنگین نشان می‌دهد.

جدول ۱-۳: انطباق آنومالیهای رُنوشیمیایی و کاتی سنگین در مناطق ناهنجار برگه گرمی

| Row | Sample No. | >= X+3s              | >= X+2s        | Heavy mineral anomaly            | Down stream heavy minerals anomaly |                                  |
|-----|------------|----------------------|----------------|----------------------------------|------------------------------------|----------------------------------|
|     |            |                      |                |                                  | sample id                          | Heavy mineral                    |
| 1   | ZG-1       |                      | Co,Sn          | ....                             |                                    |                                  |
| 2   | ZG-4       | Co                   | Sn,F4          | ....                             | ZGH-8                              | Ba,Cer,gal,Cerus,Malch,Smith     |
| 3   | ZG-5       |                      | Au             | ....                             |                                    |                                  |
| 4   | ZG-6       | Co,F4                | Zn,Sn          | ....                             | ZGH-8                              | Ba,Cer,gal,Cerus,Malch,Smith     |
| 5   | ZG-7       | Cu,Be,Pb,F2,F3       | W,Mo,Ti        | ....                             | ....                               | ....                             |
| 6   | ZG-8       | Co                   | F4             | Ba,Gal,Cer,gal,Cerus,Malch,Smith | ....                               | ....                             |
| 7   | ZG-26      |                      | Cr,F6          | ....                             | ZGH-52                             | Ba,Gal,Cer,gal,Cerus             |
| 8   | ZG-27      |                      | Cr             | ....                             | ZGH-52                             | Ba,Gal,Cer,gal,Cerus             |
| 9   | ZG-29      | Hg                   | F7             | ....                             | ZGH-52                             | Ba,Gal,Cer,gal,Cerus             |
| 10  | ZG-30      |                      | Sn             | ....                             | ZGH-52                             | Ba,Gal,Cer,gal,Cerus             |
| 11  | ZG-31      | Hg,Sn,F7             |                | ....                             | ZGH-52                             | Ba,Gal,Cer,gal,Cerus             |
| 12  | ZG-35      | Hg                   | F7             | ....                             | ZGH-46                             | Ba,Gal,Cer,gal,Cop,Smith         |
| 13  | ZG-37      | Hg,F7                |                | ....                             | ZGH-46                             | Ba,Gal,Cer,gal,Cop,Smith         |
| 14  | ZG-40      |                      | Hg,F7          | ....                             | ZGH-48                             | Ba,Gal,Cer,gal,Cop,Smith         |
| 15  | ZG-42      | Cr,F6                |                | ....                             | ZGH-52                             | Ba,Gal,Cer,gal,Cerus             |
| 16  | ZG-48      | Hg,Ag,F7             |                | Ba,Gal,Cer,gal,Cop,Smith         | ....                               | ....                             |
| 17  | ZG-52      | Ag                   | F5             | Ba,Gal,Cer,gal,Cerus             | ....                               | ....                             |
| 18  | ZG-65      |                      | Ni             | Marcasite,Broch                  | ....                               | ....                             |
| 19  | ZG-67      | Hg                   | Ni,F7          | ....                             | ZGH-65                             | Marcasite,Broch                  |
| 20  | ZG-85      | Co                   |                | ....                             | ZGH-191                            | Gal,Cer,gal,Cerus                |
| 21  | ZG-401     | Au,Hg,Zn,Bi,Sn,F4,F7 |                | Silver+Au                        | ....                               | ....                             |
| 22  | ZG-290     |                      | Ti             | Gal,Cer,gal,malch,Smith          | ....                               | ....                             |
| 23  | ZG-291     |                      | Sr,Ti,Mo,F3    | Gal,Cer,gal,malch,Smith,Broch    | ....                               | ....                             |
| 24  | ZG-301     | Cu,Be,Mo,F3          | Zn             | ....                             | ZGH-291                            | Gal,Cer,gal,malch,Smith,Broch    |
| 25  | ZG-302     |                      | F3             |                                  | ZGH-291                            | Gal,Cer,gal,malch,Smith,Broch    |
| 26  | ZG-304     | Co,Mn,Ni,Zn,Be,F4    | Se,F3          | Ba                               | ....                               | ....                             |
| 27  | ZG-314     |                      | Mn,Ni,Zn,F4    | ....                             | ZGH-290                            | Gal,Cer,gal,malch,Smith          |
| 28  | ZG-328     |                      | Sr             | ....                             | ZGH-345                            | Ba,Gal,Cer,gal,malch,Cinbr,Smith |
| 29  | ZG-332     | Mn,Ni                | Zn,Be,F4       | ....                             | ZGH-290                            | Gal,Cer,gal,malch,Smith          |
| 30  | ZG-334     | Zn                   | Ni,Be,Se,F4    | ....                             | ZGH-304                            | Ba                               |
| 31  | ZG-335     | Mn,Ni                | Zn,As,F4       | ....                             | ZGH-304                            | Ba                               |
| 32  | ZG-361     |                      | Mo             | ....                             | ZGH-345                            | Ba,Gal,Cer,gal,malch,Gold,Ang    |
| 33  | ZG-373     |                      | Sr,Zn,Be,F4,F6 | ....                             | ZGH-365                            | Ba,Gal,Cer,gal,Cerus             |

گزارش زمین شناسی ورقه ۱۰۰/۱: گرمی ع. اسدیان، ف. رحیم زاده

- اصول اکتشافات ژئوشیمیایی - دکتر علی اصغر حسنی پاک

- مدل سازی کانسارهای فلزی - غیر فلزی و کاربرد اکتشافی آن - دکتر علی اصغر حسنی

پاک

- نمونه برداری معدنی - دکتر علی اصغر حسنی پاک

- راهنمای جامع SPSS10 - مهندس محمود زرگر

- واکاوی کانیهای سنگین - ولگانگ بوئنیک - ترجمه فریدون مهرابی

Numerical Mineral Deposit Models, In Development in mineral Deposit modelling,-  
McCammun R. B. 1992 USGS

Hand book of Exploration Geochemistry, Drainage Geochemistry Volume 6 -

An Introduction to the Rock forming Minerah Deer, Howie and Zussman -

Introduction to Geological Data Analysis , A. R. H. Swan M. Sandilunds P. McCabe -

Geology and Geochemistry of Epithermal systems B. R. Berger , P. M. Bethke (Reviews in -  
Economic Geology volume 2)

## پیوست ها و ضمایم

پیوست شماره ۱: جدول داده های  
خام ارسالی از آزمایشگاه

ANALYTICAL REPORT

| SAMPLE | Au   | Hg     | Co   | Cr   | Cu   | Mn   | Ni   |
|--------|------|--------|------|------|------|------|------|
| ZG-1   | 3    | < 0.05 | 18.3 | 61   | 54.7 | 706  | 44   |
| ZG-2   | 4    | < 0.05 | 19.6 | 68   | 45.5 | 832  | 55   |
| ZG-3   | 3    | < 0.05 | 20.3 | 94   | 39.3 | 892  | 53   |
| ZG-4   | 2    | < 0.05 | 22   | 81   | 54.1 | 1100 | 62   |
| ZG-5   | 10   | < 0.05 | 19.5 | 69   | 45.2 | 802  | 55   |
| ZG-6   | 4    | < 0.05 | 19.4 | 70   | 48.8 | 904  | 55   |
| ZG-7   | 2    | < 0.05 | 21.3 | 42   | 88.8 | 714  | 36   |
| ZG-8   | 2    | < 0.05 | 19.1 | 86   | 47.4 | 843  | 51   |
| ZG-9   | 4    | < 0.05 | 18.7 | 90   | 41.9 | 796  | 54   |
| ZG-10  | 1    | < 0.05 | 20.4 | 70   | 44.9 | 863  | 59   |
| ZG-11  | 9    | < 0.05 | 19.5 | 65   | 46.7 | 876  | 54   |
| ZG-12  | < 1  | < 0.05 | 20   | 67   | 45.8 | 924  | 58   |
| ZG-13  | 4    | < 0.05 | 21.5 | 75   | 47.3 | 998  | 62   |
| ZG-14  | 2    | < 0.05 | 20.2 | 75   | 43.9 | 942  | 57   |
| ZG-15  | 1    | < 0.05 | 20.7 | 77   | 46.3 | 1040 | 60   |
| ZG-16  | 1    | 0.1    | 19.5 | 71   | 45   | 881  | 56   |
| ZG-18  | < 1  | < 0.05 | 20.8 | 100  | 46.8 | 950  | 59   |
| ZG-19  | 8    | < 0.05 | 19.6 | 65   | 43.2 | 815  | 55   |
| ZG-20  | 1    | < 0.05 | 20.1 | 75   | 44.5 | 854  | 58   |
| ZG-21  | 1    | < 0.05 | 23.8 | 47   | 65   | 871  | 37   |
| ZG-22  | < 1  | 0.05   | 22   | 47   | 94.2 | 508  | 38   |
| ZG-23  | 3    | < 0.05 | 23.6 | 54   | 91.3 | 693  | 40   |
| ZG-24  | < 1  | < 0.05 | 27.3 | 45   | 61.1 | 1070 | 40   |
| ZG-25  | < 1  | < 0.05 | 24.5 | 46   | 78.4 | 925  | 32   |
| ZG-26  | < 1  | < 0.05 | 23   | 97   | 86.3 | 665  | 36   |
| ZG-27  | < 1  | < 0.05 | 21.7 | 62   | 78.2 | 603  | 33   |
| ZG-28  | < 1  | < 0.05 | 23.2 | 53   | 87.9 | 636  | 38   |
| ZG-29  | 3    | 0.06   | 21.1 | 44   | 75.9 | 646  | 33   |
| ZG-30  | 2    | < 0.05 | 20.8 | 35   | 87.8 | 724  | 32   |
| ZG-31  | 4    | 0.07   | 21.3 | 36   | 90.4 | 765  | 34   |
| ZG-32  | 4    | < 0.05 | 20.4 | 40   | 85.2 | 817  | 37   |
| ZG-33  | 3    | < 0.05 | 19.4 | 48   | 90.3 | 493  | 38   |
| ZG-34  | 28   | < 0.05 | 18.3 | 44   | 89.1 | 653  | 35   |
| ZG-35  | 3    | 0.06   | 24.1 | 58   | 97.9 | 669  | 42   |
| ZG-36  | 2    | < 0.05 | 21.3 | 50   | 70.1 | 735  | 32   |
| ZG-37  | 3    | 0.06   | 19.5 | 56   | 70.2 | 515  | 28   |
| ZG-38  | 1    | 0.06   | 22.1 | 50   | 89.3 | 623  | 37   |
| ZG-39  | 3    | < 0.05 | 21.5 | 51   | 74.3 | 690  | 34   |
| ZG-40  | 3    | 0.05   | 21.7 | 44   | 79.3 | 752  | 37   |
| ZG-41  | 2    | < 0.05 | 23.2 | 53   | 92.1 | 706  | 40   |
| UNITS  | ppb  | ppm    | ppm  | ppm  | ppm  | ppm  | ppm  |
| DT.LIM | 1    | 0.05   | 0.2  | 2    | 0.2  | 5    | 2    |
| SCHEME | ARM2 | ARM2   | IC3E | IC3E | IC3E | IC3E | IC3E |

ANALYTICAL REPORT

| SAMPLE | Au   | Hg     | Co   | Cr   | Cu   | Mn   | Ni   |
|--------|------|--------|------|------|------|------|------|
| ZG-42  | < 1  | < 0.05 | 20.2 | 175  | 86.1 | 683  | 37   |
| ZG-43  | 1    | < 0.05 | 21.9 | 94   | 84.7 | 732  | 37   |
| ZG-44  | 3    | < 0.05 | 20.1 | 89   | 86.9 | 650  | 37   |
| ZG-45  | 3    | 0.06   | 9.8  | 57   | 76.8 | 97   | 11   |
| ZG-46  | 1    | < 0.05 | 19.2 | 36   | 72   | 539  | 29   |
| ZG-47  | 2    | 0.05   | 20.1 | 46   | 68.9 | 707  | 32   |
| ZG-48  | 2    | 0.05   | 20.3 | 52   | 81.2 | 678  | 34   |
| ZG-49  | 2    | < 0.05 | 20.5 | 49   | 70   | 664  | 34   |
| ZG-50  | < 1  | < 0.05 | 18.9 | 94   | 76.7 | 577  | 33   |
| ZG-51  | 6    | < 0.05 | 18.4 | 42   | 44.8 | 562  | 24   |
| ZG-52  | 2    | < 0.05 | 19.2 | 66   | 77.2 | 657  | 35   |
| ZG-53  | 2    | < 0.05 | 20.4 | 69   | 66.6 | 732  | 48   |
| ZG-54  | < 1  | < 0.05 | 19.9 | 51   | 72.6 | 584  | 34   |
| ZG-55  | 2    | < 0.05 | 20.4 | 70   | 67   | 713  | 47   |
| ZG-56  | 4    | < 0.05 | 28.9 | 76   | 69.8 | 1160 | 78   |
| ZG-57  | 2    | < 0.05 | 28.8 | 79   | 71.3 | 1140 | 79   |
| ZG-58  | < 1  | < 0.05 | 18.7 | 61   | 67.1 | 581  | 30   |
| ZG-59  | 2    | < 0.05 | 25.1 | 62   | 71.5 | 949  | 55   |
| ZG-60  | < 1  | < 0.05 | 18.7 | 60   | 65.5 | 539  | 29   |
| ZG-61  | 2    | < 0.05 | 20.5 | 61   | 67.2 | 741  | 46   |
| ZG-62  | 2    | < 0.05 | 19.7 | 62   | 62.1 | 730  | 44   |
| ZG-63  | 5    | < 0.05 | 19.3 | 84   | 42.6 | 821  | 54   |
| ZG-64  | 4    | < 0.05 | 16.4 | 83   | 36.8 | 618  | 59   |
| ZG-65  | 2    | < 0.05 | 21.1 | 157  | 49   | 771  | 71   |
| ZG-66  | < 1  | < 0.05 | 22.5 | 235  | 54.2 | 755  | 86   |
| ZG-67  | 2    | 0.06   | 22.3 | 70   | 79.6 | 663  | 70   |
| ZG-68  | 1    | < 0.05 | 20.9 | 109  | 53   | 741  | 75   |
| ZG-69  | 3    | 0.06   | 19.8 | 96   | 54.6 | 660  | 80   |
| ZG-70  | < 1  | < 0.05 | 19.9 | 79   | 54.3 | 551  | 51   |
| ZG-71  | 2    | < 0.05 | 21   | 110  | 50.7 | 624  | 79   |
| ZG-72  | 3    | < 0.05 | 24   | 75   | 77.7 | 740  | 74   |
| ZG-73  | < 1  | < 0.05 | 20.3 | 80   | 56.7 | 514  | 51   |
| ZG-74  | < 1  | < 0.05 | 19.7 | 60   | 52.6 | 525  | 44   |
| ZG-75  | 2    | < 0.05 | 21.3 | 90   | 57.9 | 784  | 61   |
| ZG-76  | 3    | < 0.05 | 19.1 | 124  | 43   | 648  | 61   |
| ZG-77  | 1    | < 0.05 | 18.4 | 77   | 45.3 | 629  | 53   |
| ZG-78  | 2    | < 0.05 | 19.4 | 72   | 41.8 | 876  | 66   |
| ZG-79  | 1    | < 0.05 | 17.8 | 65   | 39   | 419  | 36   |
| ZG-80  | 1    | 0.06   | 18.8 | 94   | 44.5 | 686  | 53   |
| ZG-81  | 3    | < 0.05 | 19.9 | 75   | 55   | 696  | 56   |
| UNITS  | ppb  | ppm    | ppm  | ppm  | ppm  | ppm  | ppm  |
| DT.LIM | 1    | 0.05   | 0.2  | 2    | 0.2  | 5    | 2    |
| SCHEME | ARM2 | ARM2   | IC3E | IC3E | IC3E | IC3E | IC3E |

ANALYTICAL REPORT

| SAMPLE | Au   | Hg     | Co   | Cr   | Cu   | Mn   | Ni   |
|--------|------|--------|------|------|------|------|------|
| ZG-82  | 1    | < 0.05 | 19.3 | 95   | 50.6 | 801  | 56   |
| ZG-83  | 1    | < 0.05 | 21.2 | 95   | 52.9 | 789  | 65   |
| ZG-84  | 2    | < 0.05 | 19.7 | 87   | 53.8 | 681  | 56   |
| ZG-85  | < 1  | < 0.05 | 20.6 | 91   | 55.8 | 835  | 61   |
| ZG-86  | 1    | 0.08   | 22.6 | 113  | 57.6 | 952  | 60   |
| ZG-87  | 2    | < 0.05 | 20.3 | 78   | 53.8 | 749  | 55   |
| ZG-88  | 3    | 0.06   | 19.8 | 78   | 65.5 | 891  | 56   |
| ZG-89  | 2    | < 0.05 | 19.9 | 86   | 53.1 | 598  | 51   |
| ZG-90  | 2    | < 0.05 | 22   | 86   | 64.3 | 800  | 62   |
| ZG-91  | 2    | < 0.05 | 22.5 | 78   | 61.3 | 940  | 59   |
| ZG-92  | < 1  | < 0.05 | 21   | 105  | 45.1 | 987  | 63   |
| ZG-93  | 2    | < 0.05 | 21.8 | 105  | 57.1 | 780  | 63   |
| ZG-94  | 2    | < 0.05 | 18.7 | 61   | 55.6 | 674  | 56   |
| ZG-95  | 2    | < 0.05 | 20.6 | 77   | 57.7 | 815  | 63   |
| ZG-96  | 2    | < 0.05 | 20.5 | 88   | 47.8 | 896  | 74   |
| ZG-97  | < 1  | < 0.05 | 18.9 | 154  | 46.4 | 705  | 74   |
| ZG-98  | 1    | < 0.05 | 19.3 | 91   | 54.1 | 720  | 45   |
| ZG-99  | < 1  | < 0.05 | 20.5 | 104  | 45.9 | 987  | 48   |
| ZG-100 | < 1  | < 0.05 | 21.3 | 86   | 51.7 | 883  | 50   |
| ZG-101 | 3    | < 0.05 | 19.9 | 70   | 47.9 | 838  | 53   |
| ZG-102 | 3    | < 0.05 | 18.2 | 63   | 46.9 | 698  | 50   |
| ZG-103 | 1    | < 0.05 | 19.5 | 76   | 52.2 | 788  | 44   |
| ZG-104 | < 1  | < 0.05 | 18.7 | 72   | 49.2 | 658  | 40   |
| ZG-105 | < 1  | < 0.05 | 18.1 | 66   | 41.9 | 807  | 45   |
| ZG-106 | 1    | < 0.05 | 18.8 | 82   | 44   | 809  | 49   |
| ZG-107 | < 1  | < 0.05 | 18.9 | 88   | 48.3 | 777  | 48   |
| ZG-108 | < 1  | < 0.05 | 18.7 | 69   | 43.3 | 823  | 53   |
| ZG-109 | 1    | < 0.05 | 18   | 59   | 37.9 | 900  | 49   |
| ZG-110 | < 1  | < 0.05 | 16.3 | 57   | 43.3 | 515  | 36   |
| ZG-111 | < 1  | < 0.05 | 18.7 | 137  | 41.2 | 830  | 52   |
| ZG-112 | 4    | < 0.05 | 19.3 | 71   | 43   | 934  | 55   |
| ZG-113 | < 1  | < 0.05 | 19   | 68   | 47.7 | 938  | 54   |
| ZG-114 | 2    | < 0.05 | 17.8 | 69   | 42.1 | 889  | 50   |
| ZG-115 | 1    | < 0.05 | 19.9 | 73   | 44.3 | 978  | 57   |
| ZG-116 | 1    | < 0.05 | 19.7 | 76   | 40   | 904  | 59   |
| ZG-117 | < 1  | < 0.05 | 20.4 | 102  | 45.9 | 962  | 60   |
| ZG-118 | < 1  | < 0.05 | 23.2 | 72   | 36.7 | 1390 | 57   |
| ZG-119 | 1    | < 0.05 | 17.4 | 63   | 37.9 | 778  | 50   |
| ZG-120 | < 1  | < 0.05 | 19.4 | 74   | 40.8 | 940  | 54   |
| ZG-121 | < 1  | < 0.05 | 18.2 | 63   | 37.5 | 886  | 51   |
| UNITS  | ppb  | ppm    | ppm  | ppm  | ppm  | ppm  | ppm  |
| DT,LIM | 1    | 0.05   | 0.2  | 2    | 0.2  | 5    | 2    |
| SCHEME | ARM2 | ARM2   | IC3E | IC3E | IC3E | IC3E | IC3E |

ANALYTICAL REPORT

| SAMPLE | Au   | Hg    | Co   | Cr   | Cu   | Mn   | Ni   |
|--------|------|-------|------|------|------|------|------|
| ZG-122 | <1   | <0.05 | 19.8 | 75   | 41.9 | 962  | 57   |
| ZG-123 | 2    | <0.05 | 19   | 57   | 50   | 637  | 45   |
| ZG-124 | <1   | <0.05 | 19.3 | 77   | 40.9 | 928  | 55   |
| ZG-125 | 2    | <0.05 | 18.8 | 70   | 41.5 | 864  | 55   |
| ZG-126 | 2    | <0.05 | 18.3 | 90   | 40.1 | 887  | 53   |
| ZG-127 | 2    | <0.05 | 18.2 | 87   | 44.2 | 828  | 49   |
| ZG-128 | 2    | <0.05 | 17.2 | 73   | 40.2 | 888  | 48   |
| ZG-129 | <1   | <0.05 | 18   | 70   | 36.9 | 909  | 49   |
| ZG-130 | 3    | 0.05  | 18.5 | 67   | 50.4 | 873  | 53   |
| ZG-131 | 2    | <0.05 | 18.5 | 79   | 44.4 | 871  | 54   |
| ZG-132 | 2    | <0.05 | 17.1 | 60   | 39.4 | 715  | 47   |
| ZG-133 | 3    | <0.05 | 17.6 | 73   | 39.2 | 726  | 49   |
| ZG-134 | 4    | <0.05 | 19.3 | 69   | 39.8 | 874  | 52   |
| ZG-135 | 1    | <0.05 | 19.3 | 66   | 43.8 | 865  | 54   |
| ZG-136 | 2    | <0.05 | 20.4 | 83   | 46.4 | 918  | 59   |
| ZG-137 | 1    | <0.05 | 17   | 64   | 38.2 | 660  | 51   |
| ZG-138 | 2    | <0.05 | 21.4 | 95   | 49.2 | 1010 | 65   |
| ZG-139 | 4    | <0.05 | 18.6 | 62   | 75.6 | 532  | 31   |
| ZG-140 | 1    | <0.05 | 19.7 | 74   | 35.7 | 908  | 51   |
| ZG-141 | 2    | <0.05 | 18.4 | 98   | 38.1 | 793  | 51   |
| ZG-142 | 2    | 0.05  | 17.8 | 90   | 38.2 | 796  | 50   |
| ZG-143 | 4    | <0.05 | 18.6 | 79   | 38.5 | 748  | 52   |
| ZG-144 | <1   | <0.05 | 18.9 | 88   | 39.9 | 786  | 54   |
| ZG-145 | 2    | <0.05 | 19.7 | 75   | 43   | 888  | 56   |
| ZG-146 | <1   | <0.05 | 18   | 70   | 38.1 | 788  | 50   |
| ZG-147 | <1   | <0.05 | 17.8 | 75   | 37.8 | 841  | 49   |
| ZG-148 | 1    | <0.05 | 19.8 | 79   | 41.6 | 923  | 56   |
| ZG-149 | 2    | <0.05 | 22.2 | 76   | 36.7 | 1180 | 54   |
| ZG-150 | 2    | <0.05 | 18.3 | 63   | 34.3 | 849  | 48   |
| ZG-151 | 3    | <0.05 | 18.3 | 83   | 37   | 824  | 50   |
| ZG-152 | 2    | <0.05 | 17.1 | 69   | 38.3 | 747  | 47   |
| ZG-153 | <1   | <0.05 | 19   | 73   | 40.3 | 826  | 54   |
| ZG-154 | 2    | <0.05 | 18.2 | 65   | 48.8 | 868  | 52   |
| ZG-155 | 2    | <0.05 | 19.5 | 71   | 41.3 | 881  | 56   |
| ZG-156 | 3    | <0.05 | 18.4 | 73   | 33.9 | 824  | 49   |
| ZG-157 | <1   | <0.05 | 16   | 57   | 37.5 | 551  | 47   |
| ZG-158 | <1   | <0.05 | 18.1 | 71   | 39.2 | 792  | 53   |
| ZG-159 | 3    | <0.05 | 19.1 | 77   | 39.2 | 816  | 53   |
| ZG-160 | 2    | <0.05 | 18.2 | 86   | 40.8 | 762  | 54   |
| ZG-161 | <1   | <0.05 | 18.4 | 91   | 41.1 | 744  | 52   |
| UNITS  | ppb  | ppm   | ppm  | ppm  | ppm  | ppm  | ppm  |
| DT.LIM | 1    | 0.05  | 0.2  | 2    | 0.2  | 5    | 2    |
| SCHEME | ARM2 | ARM2  | IC3E | IC3E | IC3E | IC3E | IC3E |

ANALYTICAL REPORT

| SAMPLE                    | Au       | Hg          | Co         | Cr       | Cu         | Mn       | Ni       |
|---------------------------|----------|-------------|------------|----------|------------|----------|----------|
| ZG-162                    | 1        | < 0.05      | 18.5       | 79       | 40.5       | 770      | 54       |
| ZG-163                    | 2        | < 0.05      | 19.4       | 76       | 40         | 891      | 50       |
| ZG-164                    | < 1      | < 0.05      | 19.2       | 82       | 40.8       | 905      | 52       |
| ZG-165                    | 1        | < 0.05      | 19.2       | 84       | 40.7       | 846      | 52       |
| ZG-166                    | 2        | < 0.05      | 19         | 80       | 41.6       | 894      | 51       |
| ZG-167                    | 1        | < 0.05      | 18.9       | 82       | 41.7       | 783      | 52       |
| ZG-168                    | < 1      | < 0.05      | 19.8       | 68       | 37.1       | 912      | 51       |
| ZG-169                    | 3        | < 0.05      | 18.3       | 88       | 42.4       | 823      | 53       |
| ZG-170                    | 2        | 0.05        | 19         | 94       | 43.7       | 838      | 52       |
| ZG-171                    | < 1      | < 0.05      | 18.4       | 95       | 42.8       | 772      | 53       |
| ZG-172                    | 2        | < 0.05      | 17.7       | 87       | 39.8       | 769      | 49       |
| ZG-173                    | 2        | 0.06        | 17.3       | 76       | 45.2       | 837      | 48       |
| ZG-174                    | 1        | < 0.05      | 18.4       | 83       | 41.3       | 841      | 48       |
| ZG-175                    | 2        | < 0.05      | 20.1       | 81       | 43.4       | 824      | 57       |
| ZG-176                    | 2        | < 0.05      | 21.7       | 88       | 47.6       | 821      | 61       |
| ZG-177                    | < 1      | < 0.05      | 19.5       | 102      | 40.8       | 839      | 54       |
| ZG-178                    | 2        | < 0.05      | 20         | 102      | 42.5       | 819      | 57       |
| ZG-179                    | 1        | < 0.05      | 19.9       | 80       | 42.7       | 825      | 57       |
| ZG-180                    | 2        | < 0.05      | 21.5       | 70       | 48.1       | 951      | 60       |
| ZG-181                    | 1        | < 0.05      | 17.4       | 71       | 37         | 665      | 51       |
| ZG-182                    | 2        | < 0.05      | 18.8       | 66       | 45.2       | 800      | 52       |
| ZG-183                    | 2        | < 0.05      | 19.5       | 80       | 39         | 858      | 53       |
| ZG-184                    | < 1      | < 0.05      | 19.6       | 91       | 51.4       | 875      | 42       |
| ZG-185                    | 1        | < 0.05      | 19.9       | 104      | 45.4       | 752      | 57       |
| ZG-186                    | 1        | < 0.05      | 19         | 96       | 43.7       | 802      | 53       |
| ZG-187                    | 3        | < 0.05      | 16.6       | 93       | 42         | 703      | 48       |
| ZG-188                    | 1        | < 0.05      | 19.9       | 80       | 49.6       | 773      | 56       |
| ZG-189                    | < 1      | < 0.05      | 19.7       | 78       | 40.5       | 856      | 52       |
| ZG-190                    | < 1      | < 0.05      | 20.3       | 69       | 49.3       | 808      | 56       |
| ZG-191                    | 2        | < 0.05      | 18.8       | 62       | 48.2       | 768      | 50       |
| ZG-192                    | 2        | < 0.05      | 20.2       | 73       | 48.4       | 778      | 55       |
| ZG-193                    | 5        | 0.05        | 19.4       | 91       | 48.2       | 775      | 53       |
| ZG-194                    | 2        | < 0.05      | 18.6       | 112      | 44.8       | 685      | 56       |
| ZG-195                    | 2        | < 0.05      | 20.2       | 79       | 82         | 597      | 48       |
| ZG-196                    | 2        | < 0.05      | 18.8       | 75       | 57.9       | 603      | 47       |
| ZG-197                    | 2        | < 0.05      | 19         | 79       | 38.7       | 833      | 52       |
| ZG-198                    | 2        | < 0.05      | 18.2       | 73       | 47.8       | 801      | 45       |
| ZG-199                    | 2        | < 0.05      | 17.8       | 76       | 40         | 673      | 58       |
| ZG-200                    | < 1      | < 0.05      | 16.5       | 96       | 29.1       | 613      | 59       |
| ZG-201                    | 1        | < 0.05      | 20.6       | 78       | 41.3       | 935      | 57       |
| UNITS<br>DT.LIM<br>SCHEME | ppb<br>1 | ppm<br>0.05 | ppm<br>0.2 | ppm<br>2 | ppm<br>0.2 | ppm<br>5 | ppm<br>2 |
|                           | ARM2     | ARM2        | IC3E       | IC3E     | IC3E       | IC3E     | IC3E     |

ANALYTICAL REPORT

| SAMPLE | Au   | Hg    | Co   | Cr   | Cu   | Mn   | Ni   |
|--------|------|-------|------|------|------|------|------|
| ZG-202 | <1   | <0.05 | 18.8 | 65   | 38.7 | 819  | 52   |
| ZG-203 | <1   | <0.05 | 17.9 | 46   | 61.2 | 488  | 26   |
| ZG-204 | <1   | <0.05 | 17.7 | 95   | 39.7 | 797  | 51   |
| ZG-205 | 2    | <0.05 | 19   | 84   | 40.8 | 812  | 55   |
| ZG-206 | 1    | <0.05 | 18.7 | 106  | 32.7 | 797  | 53   |
| ZG-207 | <1   | <0.05 | 17.4 | 99   | 32.3 | 680  | 56   |
| ZG-208 | <1   | <0.05 | 17.7 | 82   | 36.9 | 757  | 56   |
| ZG-209 | 3    | <0.05 | 18.4 | 105  | 45.7 | 761  | 57   |
| ZG-210 | 1    | <0.05 | 19   | 88   | 40.8 | 820  | 53   |
| ZG-211 | <1   | <0.05 | 19.3 | 122  | 36.3 | 789  | 54   |
| ZG-212 | 2    | 0.07  | 19   | 76   | 39.8 | 829  | 56   |
| ZG-213 | 5    | <0.05 | 17.4 | 70   | 41.6 | 849  | 48   |
| ZG-214 | 1    | <0.05 | 18.3 | 94   | 37.5 | 772  | 53   |
| ZG-215 | 2    | <0.05 | 18.4 | 72   | 41.9 | 703  | 54   |
| ZG-216 | 2    | <0.05 | 19.3 | 86   | 40.5 | 782  | 60   |
| ZG-217 | 2    | <0.05 | 18.8 | 83   | 38.5 | 831  | 52   |
| ZG-218 | 1    | <0.05 | 16.5 | 74   | 35.9 | 505  | 47   |
| ZG-219 | 4    | <0.05 | 17.7 | 55   | 35.8 | 739  | 49   |
| ZG-220 | 1    | <0.05 | 20.2 | 73   | 42.5 | 859  | 59   |
| ZG-221 | 5    | <0.05 | 19.9 | 118  | 42.2 | 853  | 57   |
| ZG-222 | <1   | <0.05 | 19   | 110  | 39.2 | 829  | 54   |
| ZG-223 | 5    | <0.05 | 21.1 | 100  | 49.1 | 909  | 59   |
| ZG-224 | 2    | <0.05 | 19.1 | 116  | 39.6 | 787  | 57   |
| ZG-225 | 2    | <0.05 | 18.9 | 112  | 34   | 800  | 49   |
| ZG-226 | <1   | <0.05 | 19.6 | 87   | 39.1 | 934  | 53   |
| ZG-227 | 1    | <0.05 | 18.9 | 94   | 42   | 714  | 55   |
| ZG-228 | 3    | <0.05 | 19.7 | 88   | 47.2 | 817  | 64   |
| ZG-229 | <1   | <0.05 | 17.4 | 128  | 34.4 | 779  | 48   |
| ZG-230 | 2    | <0.05 | 18.7 | 99   | 40.8 | 830  | 54   |
| ZG-231 | 1    | <0.05 | 20.3 | 107  | 48.3 | 790  | 60   |
| ZG-232 | 2    | <0.05 | 18.9 | 106  | 43.2 | 768  | 56   |
| ZG-233 | 2    | <0.05 | 23.7 | 200  | 54.2 | 623  | 39   |
| ZG-234 | 3    | <0.05 | 21.4 | 95   | 61.9 | 581  | 62   |
| ZG-235 | 2    | <0.05 | 22.1 | 98   | 72.6 | 700  | 61   |
| ZG-236 | 1    | <0.05 | 17.8 | 69   | 61.6 | 502  | 23   |
| ZG-237 | <1   | <0.05 | 21   | 109  | 60.2 | 729  | 49   |
| ZG-238 | 2    | <0.05 | 19   | 148  | 58.6 | 576  | 39   |
| ZG-239 | 3    | <0.05 | 27.8 | 102  | 48.4 | 1240 | 28   |
| ZG-240 | 3    | <0.05 | 17.9 | 86   | 51.2 | 581  | 38   |
| ZG-241 | 2    | <0.05 | 18.8 | 130  | 48.8 | 519  | 40   |
| UNITS  | ppb  | ppm   | ppm  | ppm  | ppm  | ppm  | ppm  |
| DT.LIM | 1    | 0.05  | 0.2  | 2    | 0.2  | 5    | 2    |
| SCHEME | ARM2 | ARM2  | IC3E | IC3E | IC3E | IC3E | IC3E |

ANALYTICAL REPORT

| SAMPLE | Au   | Hg    | Co   | Cr   | Cu   | Mn   | Ni   |
|--------|------|-------|------|------|------|------|------|
| ZG-242 | <1   | <0.05 | 17.3 | 83   | 47.3 | 479  | 37   |
| ZG-243 | 2    | <0.05 | 22.3 | 110  | 67.1 | 711  | 51   |
| ZG-244 | 2    | <0.05 | 23.5 | 182  | 63.3 | 877  | 67   |
| ZG-245 | <1   | <0.05 | 18   | 272  | 46.6 | 515  | 35   |
| ZG-246 | <1   | <0.05 | 17.4 | 111  | 45.6 | 466  | 37   |
| ZG-247 | 2    | <0.05 | 23.5 | 187  | 56.7 | 879  | 61   |
| ZG-248 | 4    | <0.05 | 21.1 | 86   | 67.2 | 596  | 70   |
| ZG-249 | <1   | <0.05 | 19.4 | 76   | 59.1 | 546  | 43   |
| ZG-250 | 1    | <0.05 | 17.7 | 122  | 48.3 | 467  | 38   |
| ZG-251 | 1    | <0.05 | 16.7 | 73   | 50.8 | 446  | 35   |
| ZG-252 | 9    | <0.05 | 21.7 | 79   | 55.1 | 526  | 45   |
| ZG-253 | 2    | <0.05 | 19.1 | 109  | 60.4 | 575  | 42   |
| ZG-254 | 1    | <0.05 | 19.8 | 156  | 50.3 | 624  | 46   |
| ZG-255 | 1    | <0.05 | 19.6 | 87   | 50   | 547  | 41   |
| ZG-256 | 2    | <0.05 | 20.1 | 141  | 64.5 | 736  | 46   |
| ZG-257 | <1   | <0.05 | 20.7 | 67   | 64.4 | 756  | 37   |
| ZG-258 | <1   | <0.05 | 20.2 | 71   | 57.8 | 503  | 43   |
| ZG-259 | 1    | <0.05 | 18.4 | 56   | 41.1 | 567  | 28   |
| ZG-260 | 2    | <0.05 | 24.8 | 101  | 76   | 851  | 58   |
| ZG-261 | 2    | <0.05 | 20.6 | 128  | 67.6 | 576  | 49   |
| ZG-262 | <1   | <0.05 | 24.5 | 75   | 77.2 | 833  | 53   |
| ZG-263 | 1    | <0.05 | 25   | 164  | 72.6 | 730  | 49   |
| ZG-264 | <1   | <0.05 | 19.8 | 77   | 60.2 | 462  | 44   |
| ZG-265 | 1    | <0.05 | 17.3 | 58   | 46.1 | 451  | 27   |
| ZG-266 | 1    | <0.05 | 18.8 | 55   | 48   | 519  | 30   |
| ZG-267 | <1   | <0.05 | 17   | 39   | 39.1 | 491  | 22   |
| ZG-268 | <1   | <0.05 | 17.5 | 64   | 46.5 | 505  | 27   |
| ZG-269 | <1   | <0.05 | 17.5 | 68   | 51.5 | 426  | 36   |
| ZG-270 | <1   | <0.05 | 19.3 | 106  | 56.7 | 451  | 33   |
| ZG-271 | 1    | <0.05 | 18   | 110  | 41.6 | 458  | 33   |
| ZG-272 | <1   | <0.05 | 18.9 | 50   | 47.9 | 528  | 24   |
| ZG-273 | 1    | <0.05 | 38.2 | 74   | 63   | 1210 | 82   |
| ZG-274 | 1    | <0.05 | 43.7 | 88   | 64.3 | 1450 | 102  |
| ZG-275 | 2    | <0.05 | 23.3 | 190  | 56.5 | 640  | 48   |
| ZG-276 | 1    | <0.05 | 18.7 | 62   | 47.1 | 761  | 21   |
| ZG-277 | 2    | <0.05 | 19.9 | 67   | 58.6 | 916  | 45   |
| ZG-278 | 2    | <0.05 | 18.8 | 76   | 62.9 | 675  | 44   |
| ZG-279 | <1   | <0.05 | 18.7 | 47   | 61.6 | 635  | 29   |
| ZG-280 | 2    | <0.05 | 21.1 | 97   | 68   | 666  | 45   |
| ZG-281 | <1   | <0.05 | 22.4 | 184  | 57.6 | 823  | 43   |
| UNITS  | ppb  | ppm   | ppm  | ppm  | ppm  | ppm  | ppm  |
| DT.LIM | 1    | 0.05  | 0.2  | 2    | 0.2  | 5    | 2    |
| SCHEME | ARM2 | ARM2  | IC3E | IC3E | IC3E | IC3E | IC3E |

**ANALYTICAL REPORT**

| SAMPLE | Au   | Hg     | Co   | Cr   | Cu   | Mn   | Ni   |
|--------|------|--------|------|------|------|------|------|
| ZG-282 | 2    | < 0.05 | 20.6 | 80   | 65.9 | 753  | 42   |
| ZG-283 | 2    | < 0.05 | 21.3 | 110  | 60.7 | 820  | 51   |
| ZG-284 | 2    | < 0.05 | 14.9 | 48   | 42.3 | 413  | 29   |
| ZG-285 | 2    | < 0.05 | 35.6 | 99   | 69.4 | 1910 | 54   |
| ZG-286 | 2    | < 0.05 | 20.5 | 89   | 58.9 | 460  | 38   |
| ZG-287 | 2    | < 0.05 | 17.3 | 58   | 42.2 | 492  | 27   |
| ZG-288 | 1    | < 0.05 | 16   | 57   | 38.5 | 480  | 30   |
| ZG-289 | 2    | < 0.05 | 19.5 | 56   | 58.5 | 590  | 33   |
| ZG-290 | 2    | < 0.05 | 24   | 183  | 49.8 | 910  | 43   |
| ZG-291 | 2    | < 0.05 | 26.9 | 139  | 58.7 | 886  | 41   |
| ZG-292 | < 1  | < 0.05 | 18.3 | 60   | 50   | 455  | 34   |
| ZG-293 | 2    | < 0.05 | 18.8 | 85   | 55.6 | 688  | 55   |
| ZG-294 | 3    | < 0.05 | 14.7 | 48   | 46   | 503  | 46   |
| ZG-295 | 1    | < 0.05 | 22.6 | 92   | 64.5 | 659  | 51   |
| ZG-296 | 1    | < 0.05 | 23.1 | 104  | 80.1 | 871  | 62   |
| ZG-297 | 1    | < 0.05 | 20   | 86   | 60.4 | 754  | 50   |
| ZG-298 | 2    | < 0.05 | 23.4 | 93   | 75.1 | 761  | 65   |
| ZG-299 | < 1  | < 0.05 | 23.7 | 105  | 62.9 | 757  | 58   |
| ZG-300 | 2    | < 0.05 | 20.4 | 95   | 55.1 | 629  | 59   |
| ZG-301 | 2    | < 0.05 | 45.4 | 79   | 85.2 | 853  | 94   |
| ZG-302 | 2    | < 0.05 | 22.1 | 106  | 55.5 | 724  | 34   |
| ZG-303 | 2    | < 0.05 | 26.9 | 76   | 79.8 | 884  | 46   |
| ZG-304 | 2    | < 0.05 | 66.2 | 82   | 82   | 2040 | 172  |
| ZG-305 | 1    | < 0.05 | 22.3 | 85   | 67.1 | 697  | 55   |
| ZG-306 | < 1  | < 0.05 | 20.8 | 95   | 60.3 | 672  | 51   |
| ZG-307 | 3    | < 0.05 | 18.3 | 80   | 56.2 | 705  | 38   |
| ZG-308 | 1    | < 0.05 | 20.3 | 102  | 48.3 | 571  | 30   |
| ZG-309 | 2    | < 0.05 | 20   | 60   | 46.9 | 576  | 31   |
| ZG-310 | 2    | < 0.05 | 22.2 | 45   | 93.6 | 604  | 42   |
| ZG-311 | 2    | < 0.05 | 19.6 | 37   | 53.3 | 572  | 24   |
| ZG-312 | 5    | < 0.05 | 25.5 | 49   | 84.9 | 887  | 48   |
| ZG-313 | 3    | < 0.05 | 30.3 | 117  | 64.6 | 1050 | 50   |
| ZG-314 | 4    | < 0.05 | 37.2 | 89   | 86.2 | 1390 | 77   |
| ZG-315 | 9    | < 0.05 | 27.6 | 73   | 62.9 | 1050 | 54   |
| ZG-316 | 3    | < 0.05 | 23.6 | 42   | 75.7 | 947  | 47   |
| ZG-317 | 2    | < 0.05 | 20.5 | 45   | 57.7 | 667  | 26   |
| ZG-318 | < 1  | < 0.05 | 20.3 | 48   | 71   | 685  | 33   |
| ZG-319 | 4    | < 0.05 | 28.9 | 53   | 72.7 | 1140 | 65   |
| ZG-320 | 2    | < 0.05 | 24.1 | 50   | 75.6 | 874  | 51   |
| ZG-321 | 4    | < 0.05 | 26.2 | 105  | 77.5 | 825  | 49   |
| UNITS  | ppb  | ppm    | ppm  | ppm  | ppm  | ppm  | ppm  |
| DT.LIM | 1    | 0.05   | 0.2  | 2    | 0.2  | 5    | 2    |
| SCHEME | ARM2 | ARM2   | IC3E | IC3E | IC3E | IC3E | IC3E |

ANALYTICAL REPORT

| SAMPLE | Au   | Hg     | Co   | Cr   | Cu   | Mn   | Ni   |
|--------|------|--------|------|------|------|------|------|
| ZG-322 | 4    | < 0.05 | 25.5 | 42   | 71.7 | 926  | 47   |
| ZG-323 | 2    | < 0.05 | 20.2 | 35   | 69.9 | 593  | 25   |
| ZG-324 | 2    | < 0.05 | 27.2 | 108  | 64.2 | 893  | 46   |
| ZG-326 | 3    | < 0.05 | 23.8 | 90   | 79.8 | 958  | 43   |
| ZG-327 | 3    | < 0.05 | 27.7 | 55   | 78.8 | 1140 | 60   |
| ZG-328 | 2    | < 0.05 | 21   | 32   | 78.2 | 706  | 34   |
| ZG-329 | 3    | < 0.05 | 45.4 | 58   | 80.4 | 2270 | 102  |
| ZG-330 | 2    | < 0.05 | 20.8 | 38   | 68.1 | 773  | 40   |
| ZG-331 | 3    | < 0.05 | 19.8 | 33   | 59.7 | 612  | 26   |
| ZG-332 | 2    | < 0.05 | 44.6 | 65   | 91.4 | 1870 | 92   |
| ZG-333 | 4    | < 0.05 | 25   | 58   | 93.6 | 626  | 38   |
| ZG-334 | 4    | < 0.05 | 36.8 | 52   | 76.6 | 1010 | 75   |
| ZG-335 | 3    | < 0.05 | 43.5 | 64   | 96   | 1570 | 88   |
| ZG-336 | 1    | < 0.05 | 22   | 61   | 51.6 | 578  | 31   |
| ZG-337 | 1    | 0.06   | 27.2 | 44   | 70   | 1110 | 45   |
| ZG-338 | 5    | < 0.05 | 20.7 | 35   | 65.9 | 667  | 36   |
| ZG-339 | 2    | < 0.05 | 19   | 33   | 66.2 | 668  | 30   |
| ZG-340 | 2    | < 0.05 | 20.8 | 65   | 42.3 | 857  | 57   |
| ZG-341 | 2    | < 0.05 | 19.4 | 31   | 53.3 | 563  | 23   |
| ZG-342 | 2    | < 0.05 | 24.7 | 62   | 79.1 | 837  | 43   |
| ZG-343 | 2    | < 0.05 | 24.2 | 49   | 78.7 | 925  | 44   |
| ZG-344 | 2    | < 0.05 | 25.1 | 86   | 66.3 | 763  | 44   |
| ZG-345 | 2    | < 0.05 | 21.9 | 62   | 72.8 | 795  | 35   |
| ZG-346 | 1    | < 0.05 | 22.3 | 52   | 65.4 | 750  | 40   |
| ZG-347 | 2    | < 0.05 | 21.8 | 50   | 58.1 | 635  | 29   |
| ZG-348 | 3    | < 0.05 | 22.4 | 62   | 66.2 | 914  | 38   |
| ZG-349 | 2    | < 0.05 | 16.6 | 31   | 58.9 | 840  | 25   |
| ZG-350 | <1   | < 0.05 | 21.2 | 29   | 73.8 | 683  | 31   |
| ZG-351 | <1   | < 0.05 | 19.6 | 35   | 72.3 | 576  | 31   |
| ZG-352 | <1   | < 0.05 | 17.6 | 27   | 46.3 | 467  | 21   |
| ZG-353 | 2    | < 0.05 | 19   | 37   | 72.2 | 582  | 28   |
| ZG-354 | 3    | < 0.05 | 20.9 | 63   | 73.3 | 637  | 31   |
| ZG-355 | 2    | < 0.05 | 23.4 | 74   | 59.5 | 706  | 33   |
| ZG-356 | 2    | < 0.05 | 23.3 | 80   | 55.4 | 653  | 34   |
| ZG-357 | <1   | < 0.05 | 21.7 | 78   | 55.3 | 671  | 32   |
| ZG-358 | 1    | < 0.05 | 23.2 | 94   | 71.9 | 702  | 37   |
| ZG-359 | 2    | < 0.05 | 17.9 | 96   | 75.2 | 523  | 27   |
| ZG-360 | 3    | < 0.05 | 24.5 | 91   | 79.7 | 537  | 58   |
| ZG-361 | 2    | < 0.05 | 21.7 | 80   | 66.6 | 560  | 36   |
| ZG-362 | <1   | < 0.05 | 26.1 | 110  | 63   | 725  | 39   |
| UNITS  | ppb  | ppm    | ppm  | ppm  | ppm  | ppm  | ppm  |
| DT.LIM | 1    | 0.05   | 0.2  | 2    | 0.2  | 5    | 2    |
| SCHEME | ARM2 | ARM2   | IC3E | IC3E | IC3E | IC3E | IC3E |

**ANALYTICAL REPORT**

| SAMPLE | Au   | Hg     | Co   | Cr   | Cu   | Mn   | Ni   |
|--------|------|--------|------|------|------|------|------|
| ZG-363 | 1    | 0.05   | 19.3 | 44   | 47.2 | 636  | 22   |
| ZG-364 | 1    | < 0.05 | 23.1 | 84   | 49.8 | 1010 | 60   |
| ZG-365 | 1    | < 0.05 | 20.6 | 47   | 70.3 | 627  | 29   |
| ZG-366 | 2    | < 0.05 | 19.9 | 37   | 56.5 | 553  | 23   |
| ZG-367 | 2    | < 0.05 | 23.7 | 43   | 78.4 | 798  | 33   |
| ZG-368 | < 1  | < 0.05 | 22.4 | 54   | 75.1 | 712  | 32   |
| ZG-369 | 2    | < 0.05 | 21.7 | 40   | 73.7 | 652  | 30   |
| ZG-370 | < 1  | < 0.05 | 29.3 | 61   | 71.3 | 986  | 58   |
| ZG-371 | 10   | < 0.05 | 27.4 | 66   | 88   | 799  | 40   |
| ZG-372 | 3    | < 0.05 | 26.3 | 100  | 62.2 | 720  | 46   |
| ZG-373 | 2    | < 0.05 | 36.3 | 58   | 67.9 | 940  | 56   |
| ZG-374 | 1    | 0.05   | 23.9 | 52   | 64.1 | 834  | 26   |
| ZG-375 | 1    | 0.05   | 22.7 | 41   | 77   | 535  | 31   |
| ZG-376 | 2    | < 0.05 | 20.8 | 46   | 51.6 | 601  | 22   |
| ZG-377 | < 1  | < 0.05 | 23.5 | 45   | 73   | 856  | 33   |
| ZG-378 | 4    | < 0.05 | 24.2 | 44   | 70.7 | 753  | 35   |
| ZG-379 | 2    | < 0.05 | 25.3 | 72   | 86.3 | 665  | 34   |
| ZG-380 | 1    | < 0.05 | 19.8 | 42   | 68.1 | 488  | 28   |
| ZG-381 | 2    | 0.05   | 25.3 | 55   | 89.9 | 607  | 33   |
| ZG-382 | < 1  | < 0.05 | 22.5 | 116  | 65.5 | 632  | 43   |
| ZG-383 | 1    | < 0.05 | 23.5 | 108  | 63.4 | 711  | 41   |
| ZG-384 | 1    | < 0.05 | 22.8 | 64   | 65.7 | 786  | 37   |
| ZG-385 | 2    | < 0.05 | 21.9 | 57   | 63.4 | 821  | 30   |
| ZG-386 | 2    | 0.05   | 18.6 | 47   | 52   | 559  | 22   |
| ZG-387 | 2    | < 0.05 | 17   | 37   | 42.6 | 569  | 18   |
| ZG-388 | 2    | < 0.05 | 20.8 | 52   | 46.6 | 588  | 26   |
| ZG-389 | < 1  | < 0.05 | 23.5 | 47   | 65.3 | 734  | 26   |
| ZG-390 | < 1  | 0.06   | 20.9 | 58   | 71.4 | 834  | 26   |
| ZG-391 | 1    | < 0.05 | 22.9 | 40   | 68   | 608  | 28   |
| ZG-392 | 2    | 0.05   | 21.9 | 40   | 79.3 | 608  | 30   |
| ZG-393 | < 1  | < 0.05 | 22.3 | 44   | 71.6 | 583  | 28   |
| ZG-394 | 1    | < 0.05 | 22.9 | 53   | 61   | 712  | 29   |
| ZG-395 | 2    | < 0.05 | 21   | 71   | 50.8 | 711  | 52   |
| ZG-396 | 4    | 0.05   | 23.9 | 52   | 96.5 | 791  | 32   |
| ZG-397 | < 1  | < 0.05 | 11.5 | 47   | 22.5 | 804  | 27   |
| ZG-398 | 2    | < 0.05 | 17.1 | 67   | 53.3 | 469  | 26   |
| ZG-399 | 4    | < 0.05 | 20.1 | 84   | 72   | 540  | 32   |
| ZG-400 | 2    | < 0.05 | 19.8 | 45   | 41.9 | 518  | 25   |
| ZG-401 | 38   | 0.1    | 20.3 | 105  | 68.2 | 477  | 35   |
| ZG-402 | 1    | < 0.05 | 15.4 | 46   | 39.9 | 485  | 20   |
| UNITS  | ppb  | ppm    | ppm  | ppm  | ppm  | ppm  | ppm  |
| DT.LIM | 1    | 0.05   | 0.2  | 2    | 0.2  | 5    | 2    |
| SCHEME | ARM2 | ARM2   | IC3E | IC3E | IC3E | IC3E | IC3E |

ANALYTICAL REPORT

| SAMPLE  | Au | Hg    | Co   | Cr  | Cu   | Mn   | Ni |
|---------|----|-------|------|-----|------|------|----|
| ZG-403  | <1 | 0.07  | 14.3 | 46  | 63   | 356  | 19 |
| ZG-404  | 5  | <0.05 | 16.2 | 53  | 48.2 | 389  | 18 |
| ZG-405  | 1  | <0.05 | 17.3 | 57  | 40.7 | 451  | 19 |
| ZG-406  | 3  | 0.06  | 15.4 | 37  | 56.1 | 379  | 19 |
| ZG-501  | 1  | <0.05 | 18.7 | 48  | 67.1 | 577  | 30 |
| ZG-502  | 6  | <0.05 | 20.2 | 76  | 42.2 | 938  | 57 |
| ZG-503  | 1  | <0.05 | 21   | 80  | 48.4 | 656  | 77 |
| ZG-504  | <1 | <0.05 | 17.7 | 71  | 36.7 | 379  | 35 |
| ZG-505  | <1 | <0.05 | 22.2 | 135 | 46.8 | 906  | 62 |
| ZG-506  | 2  | <0.05 | 21   | 118 | 43.2 | 946  | 61 |
| ZG-507  | 2  | <0.05 | 19.7 | 103 | 37.5 | 865  | 54 |
| ZG-508  | 3  | <0.05 | 22   | 107 | 37.8 | 1020 | 56 |
| ZG-509  | 2  | <0.05 | 20.1 | 95  | 37.4 | 877  | 56 |
| ZG-510  | 4  | <0.05 | 19.1 | 103 | 42.4 | 792  | 61 |
| ZG-511  | 2  | <0.05 | 19.6 | 90  | 34.9 | 902  | 54 |
| ZG-512  | 3  | <0.05 | 19.6 | 143 | 52.4 | 516  | 43 |
| ZG-513  | <1 | <0.05 | 19.2 | 96  | 74.6 | 468  | 33 |
| ZG-514  | 2  | <0.05 | 41.8 | 60  | 78.4 | 2360 | 99 |
| ZG-515  | 2  | <0.05 | 19.2 | 74  | 51.3 | 452  | 44 |
| ZG-335A | 4  | <0.05 | 39.2 | 109 | 112  | 1540 | 86 |

| UNITS  | ppb  | ppm  | ppm  | ppm  | ppm  | ppm  | ppm  |
|--------|------|------|------|------|------|------|------|
| DT.LIM | 1    | 0.05 | 0.2  | 2    | 0.2  | 5    | 2    |
| SCHEME | ARM2 | ARM2 | IC3E | IC3E | IC3E | IC3E | IC3E |

ANALYTICAL REPORT

| SAMPLE                    | Sr                 | Zn                 | Ba                 | Be                 | Ti                | Ag                  | As                 |
|---------------------------|--------------------|--------------------|--------------------|--------------------|-------------------|---------------------|--------------------|
| ZG-1                      | 355                | 76.1               | 544                | 1.6                | 3560              | 0.35                | 12.8               |
| ZG-2                      | 296                | 75.8               | 430                | 1.6                | 3740              | 0.22                | 13.7               |
| ZG-3                      | 352                | 71.1               | 503                | 1.4                | 4010              | 0.22                | 11.3               |
| ZG-4                      | 221                | 90.2               | 465                | 1.7                | 4140              | 0.19                | 14.7               |
| ZG-5                      | 342                | 73.6               | 444                | 1.6                | 3650              | 0.16                | 12.5               |
| ZG-6                      | 331                | 118                | 440                | 1.5                | 3530              | 0.18                | 12.6               |
| ZG-7                      | 293                | 85.6               | 863                | 2.3                | 4690              | 0.28                | 16.6               |
| ZG-8                      | 399                | 92.5               | 531                | 1.5                | 3610              | 0.18                | 13.4               |
| ZG-9                      | 322                | 71.1               | 405                | 1.5                | 3580              | 0.17                | 14.7               |
| ZG-10                     | 288                | 79.8               | 414                | 1.6                | 3690              | 0.22                | 15.5               |
| ZG-11                     | 347                | 83.9               | 491                | 1.5                | 3680              | 0.19                | 14.2               |
| ZG-12                     | 247                | 83.9               | 405                | 1.6                | 3680              | 0.19                | 14.2               |
| ZG-13                     | 238                | 85.9               | 434                | 1.7                | 3960              | 0.18                | 15                 |
| ZG-14                     | 248                | 79.1               | 412                | 1.6                | 3830              | 0.16                | 14.9               |
| ZG-15                     | 231                | 85.6               | 433                | 1.6                | 3970              | 0.19                | 14.8               |
| ZG-16                     | 273                | 81.8               | 403                | 1.5                | 3660              | 0.18                | 13.2               |
| ZG-18                     | 242                | 82.3               | 425                | 1.6                | 3910              | 0.16                | 14.2               |
| ZG-19                     | 330                | 75.9               | 447                | 1.6                | 3670              | 0.17                | 13.3               |
| ZG-20                     | 297                | 77.7               | 421                | 1.6                | 3830              | 0.13                | 13.3               |
| ZG-21                     | 301                | 92.9               | 285                | 2.9                | 4770              | 0.29                | 16.8               |
| ZG-22                     | 499                | 80.7               | 38.4               | 2.4                | 5070              | 0.45                | 16.7               |
| ZG-23                     | 319                | 94.5               | 794                | 2.4                | 5220              | 0.22                | 15.7               |
| ZG-24                     | 395                | 72.9               | 796                | 2.3                | 5950              | 0.25                | 13.9               |
| ZG-25                     | 296                | 81.2               | 1050               | 3                  | 5990              | 0.3                 | 9.9                |
| ZG-26                     | 347                | 85.3               | 1210               | 2.7                | 5410              | 0.28                | 15.6               |
| ZG-27                     | 291                | 83.2               | 1660               | 2.3                | 5250              | 0.28                | 15                 |
| ZG-28                     | 302                | 86                 | 1300               | 2.6                | 4890              | 0.25                | 16.6               |
| ZG-29                     | 315                | 81.5               | 1050               | 2.2                | 5090              | 0.24                | 14.8               |
| ZG-30                     | 271                | 99.1               | 977                | 2.2                | 4340              | 0.29                | 13.1               |
| ZG-31                     | 298                | 108                | 859                | 2.2                | 4440              | 0.26                | 13.5               |
| ZG-32                     | 417                | 110                | 160                | 2.2                | 4140              | 0.22                | 12.7               |
| ZG-33                     | 313                | 76.7               | 48.5               | 2.3                | 4750              | 0.33                | 14.7               |
| ZG-34                     | 412                | 199                | 444                | 2.1                | 4140              | 0.21                | 13                 |
| ZG-35                     | 336                | 93.1               | 199                | 2.6                | 5110              | 0.23                | 15.5               |
| ZG-36                     | 256                | 81.9               | 1200               | 2.2                | 4860              | 0.19                | 14.4               |
| ZG-37                     | 357                | 79.6               | 1070               | 2.4                | 5260              | 0.2                 | 12.9               |
| ZG-38                     | 520                | 87.9               | 784                | 2.5                | 5000              | 0.21                | 14.7               |
| ZG-39                     | 288                | 81                 | 757                | 2.3                | 5130              | 0.46                | 13.1               |
| ZG-40                     | 302                | 83.2               | 919                | 2.3                | 4740              | 0.3                 | 14.5               |
| ZG-41                     | 327                | 96.8               | 906                | 2.5                | 4920              | 0.2                 | 15.1               |
| UNITS<br>DT.LIM<br>SCHEME | ppm<br>0.1<br>IC3E | ppm<br>0.2<br>IC3E | ppm<br>0.2<br>IC3E | ppm<br>0.2<br>IC3E | ppm<br>10<br>IC3E | ppm<br>0.01<br>IC3M | ppm<br>0.5<br>IC3M |

ANALYTICAL REPORT

| SAMPLE                    | Sr                 | Zn                 | Ba                 | Be                 | Ti                | Ag                  | As                 |
|---------------------------|--------------------|--------------------|--------------------|--------------------|-------------------|---------------------|--------------------|
| ZG-42                     | 598                | 88.6               | 209                | 2.2                | 4690              | 0.17                | 13.7               |
| ZG-43                     | 378                | 86.2               | 227                | 2.2                | 4880              | 0.25                | 14.3               |
| ZG-44                     | 445                | 86.5               | 109                | 2.2                | 4730              | 0.2                 | 14.1               |
| ZG-45                     | 459                | 58.7               | 42.4               | 1.3                | 2870              | 0.45                | 24                 |
| ZG-46                     | 309                | 87.7               | 901                | 2.3                | 4830              | 0.31                | 10.6               |
| ZG-47                     | 321                | 77.6               | 745                | 2.1                | 4380              | 0.29                | 12.8               |
| ZG-48                     | 347                | 82.2               | 890                | 2.1                | 4630              | 1.04                | 13.2               |
| ZG-49                     | 327                | 83.6               | 922                | 2.1                | 4560              | 0.99                | 12.1               |
| ZG-50                     | 646                | 81.4               | 114                | 2                  | 4540              | 0.34                | 12.8               |
| ZG-51                     | 630                | 71.2               | 855                | 2.3                | 4880              | 0.39                | 9.5                |
| ZG-52                     | 434                | 86.5               | 146                | 2                  | 4380              | 2.59                | 14                 |
| ZG-53                     | 239                | 83.3               | 585                | 2                  | 4260              | 0.26                | 12.4               |
| ZG-54                     | 256                | 77.4               | 870                | 2                  | 4370              | 0.19                | 9.7                |
| ZG-55                     | 288                | 80.4               | 603                | 2                  | 4340              | 0.2                 | 13.4               |
| ZG-56                     | 233                | 112                | 549                | 2.5                | 4500              | 0.36                | 14.5               |
| ZG-57                     | 222                | 114                | 529                | 2.5                | 4400              | 0.21                | 14.4               |
| ZG-58                     | 417                | 79.7               | 368                | 2                  | 5110              | 0.02                | 5.5                |
| ZG-59                     | 359                | 94.1               | 695                | 2.1                | 4290              | 0.23                | 13.1               |
| ZG-60                     | 406                | 78.4               | 351                | 2                  | 5180              | 0.22                | 12                 |
| ZG-61                     | 301                | 82.2               | 571                | 1.9                | 4190              | 0.19                | 14                 |
| ZG-62                     | 336                | 80.9               | 667                | 1.9                | 4310              | 0.17                | 12.5               |
| ZG-63                     | 317                | 72.7               | 480                | 1.5                | 3660              | 0.02                | 11.7               |
| ZG-64                     | 376                | 64.6               | 390                | 1.3                | 3260              | 0.38                | 11.4               |
| ZG-65                     | 809                | 62.2               | 193                | 1.2                | 3270              | 0.11                | 11.4               |
| ZG-66                     | 712                | 69.8               | 445                | 1.3                | 3690              | 0.15                | 13.1               |
| ZG-67                     | 321                | 83.7               | 50.3               | 1.5                | 3970              | 0.51                | 15                 |
| ZG-68                     | 632                | 70.2               | 220                | 1.3                | 3550              | 0.1                 | 11.7               |
| ZG-69                     | 505                | 68.6               | 66.1               | 1.3                | 3420              | 0.13                | 11                 |
| ZG-70                     | 516                | 71.8               | 711                | 1.9                | 4280              | 0.14                | 11.8               |
| ZG-71                     | 532                | 69.7               | 514                | 1.4                | 3690              | 0.03                | 10.5               |
| ZG-72                     | 279                | 90.6               | 479                | 1.7                | 4310              | 0.16                | 15.1               |
| ZG-73                     | 530                | 72.5               | 549                | 1.6                | 4350              | 0.25                | 7.9                |
| ZG-74                     | 599                | 72.5               | 587                | 1.5                | 4160              | 0.28                | 6.8                |
| ZG-75                     | 296                | 83.2               | 495                | 1.7                | 4050              | 0.13                | 14.2               |
| ZG-76                     | 430                | 67.6               | 534                | 1.4                | 3670              | 0.46                | 10.8               |
| ZG-77                     | 553                | 69.6               | 657                | 1.5                | 3480              | 0.21                | 14.3               |
| ZG-78                     | 270                | 78.1               | 401                | 1.5                | 3640              | 0.13                | 12.7               |
| ZG-79                     | 717                | 57.9               | 842                | 1.8                | 4010              | 0.02                | 8.7                |
| ZG-80                     | 490                | 67.3               | 1760               | 1.5                | 3710              | 0.11                | 11.4               |
| ZG-81                     | 345                | 74.4               | 528                | 1.7                | 3860              | 0.22                | 12.7               |
| UNITS<br>DT.LIM<br>SCHEME | ppm<br>0.1<br>IC3E | ppm<br>0.2<br>IC3E | ppm<br>0.2<br>IC3E | ppm<br>0.2<br>IC3E | ppm<br>10<br>IC3E | ppm<br>0.01<br>IC3M | ppm<br>0.5<br>IC3M |

ANALYTICAL REPORT

| SAMPLE | Sr   | Zn   | Ba   | Be   | Ti   | Ag   | As   |
|--------|------|------|------|------|------|------|------|
| ZG-82  | 280  | 83.4 | 455  | 1.5  | 3650 | 0.13 | 11.2 |
| ZG-83  | 352  | 77.9 | 506  | 1.6  | 3860 | 0.23 | 12.9 |
| ZG-84  | 227  | 77.7 | 442  | 1.7  | 3790 | 0.31 | 10.7 |
| ZG-85  | 295  | 85.6 | 508  | 1.6  | 3920 | 0.28 | 15.2 |
| ZG-86  | 473  | 91.6 | 967  | 1.8  | 4080 | 0.18 | 14.6 |
| ZG-87  | 315  | 76   | 518  | 1.6  | 3790 | 0.18 | 15.5 |
| ZG-88  | 319  | 81.7 | 455  | 1.6  | 3690 | 0.16 | 12.5 |
| ZG-89  | 317  | 73   | 556  | 1.8  | 3800 | 0.18 | 11.1 |
| ZG-90  | 256  | 84.1 | 458  | 1.6  | 3970 | 0.13 | 13.9 |
| ZG-91  | 345  | 78.7 | 509  | 1.4  | 3830 | 0.13 | 14.2 |
| ZG-92  | 411  | 63.9 | 496  | 1.3  | 3430 | 0.13 | 12.3 |
| ZG-93  | 360  | 77.1 | 320  | 1.5  | 4490 | 0.12 | 13.6 |
| ZG-94  | 570  | 68.8 | 69.2 | 1.3  | 3520 | 0.1  | 12.4 |
| ZG-95  | 334  | 76.9 | 450  | 1.4  | 3600 | 0.13 | 13.7 |
| ZG-96  | 429  | 69.1 | 386  | 1.3  | 3270 | 0.15 | 12.8 |
| ZG-97  | 460  | 62.6 | 457  | 1.2  | 3280 | 0.12 | 10.6 |
| ZG-98  | 418  | 73.2 | 151  | 1.5  | 3720 | 0.18 | 10.8 |
| ZG-99  | 392  | 67.1 | 540  | 1.4  | 3800 | 0.27 | 14.2 |
| ZG-100 | 323  | 76.9 | 513  | 1.5  | 3680 | 0.12 | 13.4 |
| ZG-101 | 321  | 79.1 | 506  | 1.5  | 3720 | 0.14 | 12.7 |
| ZG-102 | 354  | 69.9 | 590  | 1.5  | 3510 | 0.18 | 12   |
| ZG-103 | 421  | 93.5 | 637  | 1.6  | 3720 | 0.15 | 11.8 |
| ZG-104 | 608  | 76.6 | 290  | 1.6  | 3910 | 0.15 | 10.2 |
| ZG-105 | 362  | 72.6 | 481  | 1.4  | 3560 | 0.21 | 10.8 |
| ZG-106 | 327  | 74.9 | 487  | 1.4  | 3550 | 0.16 | 10.2 |
| ZG-107 | 346  | 75.2 | 462  | 1.5  | 3710 | 0.15 | 11.5 |
| ZG-108 | 285  | 77.7 | 409  | 1.5  | 3510 | 0.12 | 13.5 |
| ZG-109 | 410  | 66.8 | 427  | 1.4  | 3510 | 1.18 | 10.9 |
| ZG-110 | 607  | 64   | 723  | 1.4  | 3520 | 0.12 | 7.3  |
| ZG-111 | 334  | 70   | 501  | 1.4  | 3690 | 0.07 | 11.5 |
| ZG-112 | 280  | 75.4 | 446  | 1.4  | 3480 | 0.2  | 12.8 |
| ZG-113 | 287  | 85.9 | 454  | 1.4  | 3710 | 0.24 | 10.5 |
| ZG-114 | 346  | 81.4 | 391  | 1.3  | 3400 | 0.3  | 10.9 |
| ZG-115 | 208  | 85.3 | 405  | 1.4  | 3700 | 0.12 | 11.5 |
| ZG-116 | 275  | 75.2 | 428  | 1.6  | 3800 | 0.11 | 11.7 |
| ZG-117 | 210  | 86.6 | 401  | 1.6  | 3930 | 0.16 | 12.7 |
| ZG-118 | 340  | 65.4 | 567  | 1.5  | 3610 | 0.16 | 11   |
| ZG-119 | 295  | 69.5 | 369  | 1.3  | 3440 | 0.11 | 11   |
| ZG-120 | 324  | 75.2 | 416  | 1.4  | 3720 | 0.12 | 11.9 |
| ZG-121 | 307  | 71.5 | 398  | 1.3  | 3530 | 0.2  | 10.7 |
| UNITS  | ppm  | ppm  | ppm  | ppm  | ppm  | ppm  | ppm  |
| DT.LIM | 0.1  | 0.2  | 0.2  | 0.2  | 10   | 0.01 | 0.5  |
| SCHEME | IC3E | IC3E | IC3E | IC3E | IC3E | IC3M | IC3M |

ANALYTICAL REPORT

| SAMPLE | Sr   | Zn   | Ba   | Be   | Ti   | Ag   | As   |
|--------|------|------|------|------|------|------|------|
| ZG-122 | 229  | 80.8 | 407  | 1.4  | 3740 | 0.13 | 12.6 |
| ZG-123 | 565  | 70.2 | 74.6 | 1.4  | 3810 | 0.18 | 8    |
| ZG-124 | 256  | 78.7 | 403  | 1.4  | 3590 | 0.23 | 11.8 |
| ZG-125 | 260  | 78.9 | 395  | 1.5  | 3570 | 0.2  | 11.2 |
| ZG-126 | 257  | 77.4 | 382  | 1.4  | 3490 | 0.11 | 10.8 |
| ZG-127 | 374  | 87.5 | 513  | 1.4  | 3510 | 0.11 | 10.6 |
| ZG-128 | 305  | 75.8 | 394  | 1.3  | 3390 | 0.11 | 10.1 |
| ZG-129 | 307  | 71.9 | 395  | 1.3  | 3410 | 0.55 | 10.1 |
| ZG-130 | 296  | 100  | 390  | 1.4  | 3470 | 0.17 | 28.3 |
| ZG-131 | 311  | 78.3 | 405  | 1.4  | 3620 | 0.22 | 18.6 |
| ZG-132 | 298  | 69.8 | 367  | 1.4  | 3260 | 0.09 | 18.2 |
| ZG-133 | 355  | 67.7 | 339  | 1.5  | 3180 | 0.2  | 8.9  |
| ZG-134 | 392  | 70.6 | 439  | 1.5  | 3330 | 0.17 | 10.7 |
| ZG-135 | 308  | 77.5 | 403  | 1.6  | 3600 | 0.2  | 11   |
| ZG-136 | 300  | 81.3 | 403  | 1.6  | 3720 | 0.21 | 11.5 |
| ZG-137 | 365  | 62.5 | 314  | 1.3  | 3050 | 0.16 | 11.2 |
| ZG-138 | 301  | 81.4 | 408  | 1.6  | 3860 | 0.22 | 11.3 |
| ZG-139 | 561  | 80.1 | 212  | 2.2  | 4700 | 0.28 | 11.8 |
| ZG-140 | 343  | 69.6 | 478  | 1.4  | 3430 | 0.2  | 9.7  |
| ZG-141 | 349  | 73.7 | 369  | 1.4  | 3430 | 0.11 | 12   |
| ZG-142 | 282  | 70.7 | 349  | 1.4  | 3230 | 0.16 | 12.2 |
| ZG-143 | 392  | 70   | 413  | 1.5  | 3190 | 0.17 | 9.5  |
| ZG-144 | 294  | 70   | 380  | 1.5  | 3330 | 0.03 | 9.7  |
| ZG-145 | 303  | 80.6 | 399  | 1.5  | 3710 | 0.18 | 10.5 |
| ZG-146 | 404  | 67.5 | 389  | 1.4  | 3370 | 0.26 | 11   |
| ZG-147 | 299  | 69   | 377  | 1.4  | 3410 | 0.2  | 10.3 |
| ZG-148 | 346  | 74.2 | 401  | 1.5  | 3660 | 0.18 | 13.2 |
| ZG-149 | 453  | 66.5 | 532  | 1.4  | 3470 | 0.2  | 11.9 |
| ZG-150 | 479  | 62.6 | 353  | 1.3  | 3280 | 0.03 | 11.7 |
| ZG-151 | 348  | 69.1 | 386  | 1.4  | 3320 | 0.46 | 10.6 |
| ZG-152 | 322  | 69.3 | 374  | 1.4  | 3280 | 0.99 | 10.8 |
| ZG-153 | 289  | 75.3 | 392  | 1.4  | 3340 | 0.29 | 13   |
| ZG-154 | 361  | 96.5 | 413  | 1.4  | 3290 | 0.25 | 11.3 |
| ZG-155 | 248  | 78.4 | 385  | 1.5  | 3430 | 0.19 | 12.4 |
| ZG-156 | 364  | 66.1 | 384  | 1.3  | 3360 | 0.14 | 12   |
| ZG-157 | 407  | 63.9 | 113  | 1.2  | 2890 | 0.19 | 11.6 |
| ZG-158 | 377  | 70.8 | 154  | 1.4  | 3180 | 0.17 | 12.5 |
| ZG-159 | 285  | 71.8 | 378  | 1.4  | 3440 | 0.25 | 11.8 |
| ZG-160 | 299  | 71.5 | 357  | 1.4  | 3330 | 0.17 | 11.8 |
| ZG-161 | 261  | 72   | 376  | 1.5  | 3280 | 0.19 | 11.8 |
| UNITS  | ppm  | ppm  | ppm  | ppm  | ppm  | ppm  | ppm  |
| DT.LIM | 0.1  | 0.2  | 0.2  | 0.2  | 10   | 0.01 | 0.5  |
| SCHEME | IC3E | IC3E | IC3E | IC3E | IC3E | IC3M | IC3M |

**ANALYTICAL REPORT**

| SAMPLE | Sr   | Zn   | Ba   | Be   | Ti   | Ag   | As   |
|--------|------|------|------|------|------|------|------|
| ZG-162 | 316  | 72.4 | 370  | 1.4  | 3270 | 0.15 | 10.1 |
| ZG-163 | 356  | 62.5 | 443  | 1.4  | 3250 | 0.18 | 11.1 |
| ZG-164 | 286  | 78.6 | 401  | 1.4  | 3500 | 0.21 | 11.8 |
| ZG-165 | 275  | 75.8 | 399  | 1.4  | 3500 | 0.8  | 11.5 |
| ZG-166 | 288  | 73.7 | 404  | 1.4  | 3340 | 0.25 | 18.2 |
| ZG-167 | 368  | 71.8 | 449  | 1.4  | 3440 | 0.37 | 12.7 |
| ZG-168 | 300  | 68.5 | 403  | 1.4  | 3380 | 0.01 | 12   |
| ZG-169 | 324  | 81.3 | 377  | 1.4  | 3220 | 0.21 | 8.1  |
| ZG-170 | 222  | 80.7 | 367  | 1.4  | 3370 | 0.15 | 8.5  |
| ZG-171 | 254  | 77.1 | 380  | 1.5  | 3250 | 0.19 | 7.5  |
| ZG-172 | 313  | 66.9 | 373  | 1.4  | 3300 | 0.17 | 9.8  |
| ZG-173 | 341  | 90.7 | 547  | 1.4  | 3090 | 0.18 | 7.4  |
| ZG-174 | 337  | 75   | 574  | 1.4  | 3400 | 0.17 | 7.2  |
| ZG-175 | 226  | 76.4 | 400  | 1.6  | 3530 | 0.19 | 7.9  |
| ZG-176 | 158  | 85.9 | 424  | 1.7  | 3800 | 0.21 | 8    |
| ZG-177 | 224  | 72.9 | 403  | 1.6  | 3580 | 0.4  | 10.6 |
| ZG-178 | 200  | 78.5 | 393  | 1.6  | 3560 | 0.35 | 12.9 |
| ZG-179 | 184  | 81.2 | 394  | 1.6  | 3500 | 0.21 | 15.1 |
| ZG-180 | 220  | 83.8 | 438  | 1.7  | 3780 | 0.2  | 13.6 |
| ZG-181 | 364  | 63   | 346  | 1.4  | 3070 | 0.21 | 14.6 |
| ZG-182 | 271  | 75.7 | 402  | 1.7  | 3390 | 0.14 | 15.1 |
| ZG-183 | 297  | 71.4 | 414  | 1.5  | 3480 | 0.01 | 6.7  |
| ZG-184 | 455  | 72.4 | 554  | 1.5  | 3570 | 0.13 | 7.7  |
| ZG-185 | 211  | 79   | 441  | 1.6  | 3640 | 0.15 | 12.4 |
| ZG-186 | 268  | 75.6 | 409  | 1.5  | 3540 | 0.19 | 14.2 |
| ZG-187 | 360  | 70.7 | 253  | 1.4  | 2620 | 0.11 | 8.6  |
| ZG-188 | 488  | 74.3 | 532  | 1.6  | 3630 | 0.25 | 15.3 |
| ZG-189 | 476  | 68.4 | 497  | 1.4  | 3660 | 0.14 | 15.9 |
| ZG-190 | 307  | 80.1 | 464  | 1.6  | 3650 | 0.21 | 14.3 |
| ZG-191 | 450  | 70.6 | 1110 | 1.5  | 3420 | 0.21 | 13.5 |
| ZG-192 | 306  | 77.3 | 445  | 1.7  | 3760 | 0.22 | 15.7 |
| ZG-193 | 468  | 69.8 | 547  | 1.6  | 3630 | 0.18 | 15.3 |
| ZG-194 | 466  | 65.3 | 471  | 1.5  | 3490 | 0.21 | 15.3 |
| ZG-195 | 246  | 86.1 | 515  | 2    | 3500 | 0.3  | 9.3  |
| ZG-196 | 351  | 73.1 | 275  | 1.6  | 3270 | 0.25 | 11   |
| ZG-197 | 311  | 70.6 | 404  | 1.4  | 3460 | 0.22 | 14.2 |
| ZG-198 | 539  | 64.9 | 524  | 1.6  | 3720 | 0.21 | 13.9 |
| ZG-199 | 461  | 62.4 | 453  | 1.4  | 3320 | 0.19 | 11.4 |
| ZG-200 | 615  | 52.6 | 450  | 1.2  | 3310 | 0.15 | 9.3  |
| ZG-201 | 241  | 80.4 | 415  | 1.6  | 3680 | 0.17 | 12   |
| UNITS  | ppm  | ppm  | ppm  | ppm  | ppm  | ppm  | ppm  |
| DT.LIM | 0.1  | 0.2  | 0.2  | 0.2  | 10   | 0.01 | 0.5  |
| SCHEME | IC3E | IC3E | IC3E | IC3E | IC3E | IC3M | IC3M |

ANALYTICAL REPORT

| SAMPLE | Sr   | Zn   | Ba   | Be   | Ti   | Ag   | As   |
|--------|------|------|------|------|------|------|------|
| ZG-202 | 309  | 69.5 | 414  | 1.5  | 3420 | 0.14 | 10.1 |
| ZG-203 | 266  | 67.6 | 816  | 2.2  | 4010 | 0.26 | 8.5  |
| ZG-204 | 253  | 74.5 | 351  | 1.4  | 3280 | 0.11 | 9.5  |
| ZG-205 | 311  | 70.8 | 384  | 1.5  | 3440 | 0.16 | 14   |
| ZG-206 | 511  | 57.4 | 474  | 1.3  | 3580 | 0.14 | 10.7 |
| ZG-207 | 527  | 58.6 | 464  | 1.3  | 3430 | 0.23 | 9    |
| ZG-208 | 483  | 62.4 | 478  | 1.4  | 3400 | 0.2  | 10.2 |
| ZG-209 | 441  | 73.1 | 415  | 1.4  | 3380 | 0.02 | 13   |
| ZG-210 | 389  | 68.3 | 428  | 1.5  | 3480 | 0.13 | 12.5 |
| ZG-211 | 471  | 65.2 | 511  | 1.3  | 4010 | 0.17 | 10.3 |
| ZG-212 | 309  | 72.8 | 362  | 1.4  | 3520 | 0.16 | 11.4 |
| ZG-213 | 339  | 83.3 | 363  | 1.3  | 3140 | 0.16 | 12.8 |
| ZG-214 | 211  | 69.6 | 337  | 1.4  | 3220 | 0.14 | 10   |
| ZG-215 | 347  | 69.3 | 374  | 1.5  | 3500 | 0.2  | 9.9  |
| ZG-216 | 348  | 68.3 | 382  | 1.4  | 3550 | 0.22 | 11.2 |
| ZG-217 | 416  | 66.8 | 401  | 1.4  | 3560 | 0.21 | 10.9 |
| ZG-218 | 569  | 64.9 | 94   | 1.3  | 3000 | 0.3  | 14   |
| ZG-219 | 445  | 62.9 | 404  | 1.4  | 3140 | 0.31 | 10.9 |
| ZG-220 | 270  | 78.9 | 409  | 1.6  | 3490 | 0.16 | 9.4  |
| ZG-221 | 398  | 71.2 | 415  | 1.5  | 3700 | 0.21 | 10.4 |
| ZG-222 | 427  | 71.7 | 468  | 1.5  | 3610 | 0.16 | 9.5  |
| ZG-223 | 295  | 81.5 | 432  | 1.6  | 3830 | 0.18 | 11.7 |
| ZG-224 | 422  | 70.8 | 473  | 1.5  | 3770 | 0.16 | 10.4 |
| ZG-225 | 735  | 61.7 | 210  | 1.4  | 3590 | 0.11 | 9.5  |
| ZG-226 | 561  | 66.7 | 542  | 1.5  | 3410 | 0.08 | 11.5 |
| ZG-227 | 295  | 74.8 | 419  | 1.5  | 3550 | 0.14 | 12.3 |
| ZG-228 | 288  | 81   | 409  | 1.6  | 3450 | 0.12 | 13.1 |
| ZG-229 | 462  | 67.7 | 472  | 1.3  | 3380 | 0.11 | 7.8  |
| ZG-230 | 256  | 75.1 | 398  | 1.4  | 3350 | 0.11 | 10   |
| ZG-231 | 211  | 83.9 | 371  | 1.5  | 3520 | 0.11 | 11   |
| ZG-232 | 352  | 75.3 | 431  | 1.5  | 3500 | 0.09 | 12.1 |
| ZG-233 | 646  | 73.4 | 99.2 | 1.8  | 4850 | 0.27 | 8.7  |
| ZG-234 | 459  | 71.6 | 113  | 1.4  | 3960 | 0.15 | 9.8  |
| ZG-235 | 390  | 84   | 580  | 1.6  | 4120 | 0.14 | 13.5 |
| ZG-236 | 513  | 82.9 | 1280 | 2    | 4830 | 0.15 | 9.6  |
| ZG-237 | 483  | 86.9 | 588  | 1.7  | 4150 | 0.13 | 9.1  |
| ZG-238 | 510  | 76.4 | 700  | 1.6  | 3850 | 0.14 | 7.9  |
| ZG-239 | 630  | 90.4 | 410  | 1.7  | 5720 | 0.12 | 7.1  |
| ZG-240 | 475  | 72.4 | 677  | 1.6  | 3520 | 0.16 | 7    |
| ZG-241 | 471  | 70.2 | 623  | 1.7  | 3600 | 0.13 | 7.4  |
| UNITS  | ppm  | ppm  | ppm  | ppm  | ppm  | ppm  | ppm  |
| DT.LIM | 0.1  | 0.2  | 0.2  | 0.2  | 10   | 0.01 | 0.5  |
| SCHEME | IC3E | IC3E | IC3E | IC3E | IC3E | IC3M | IC3M |

ANALYTICAL REPORT

| SAMPLE | Sr   | Zn   | Ba   | Be   | Ti   | Ag   | As   |
|--------|------|------|------|------|------|------|------|
| ZG-242 | 590  | 66.6 | 699  | 1.6  | 3320 | 0.15 | 7.3  |
| ZG-243 | 301  | 87.2 | 518  | 1.7  | 4020 | 0.29 | 10.7 |
| ZG-244 | 540  | 81.5 | 297  | 1.5  | 3970 | 0.14 | 11   |
| ZG-245 | 623  | 66.6 | 938  | 1.5  | 3230 | 0.13 | 7.1  |
| ZG-246 | 553  | 66.4 | 757  | 1.5  | 3470 | 0.09 | 7.9  |
| ZG-247 | 502  | 78.6 | 173  | 1.5  | 4100 | 0.17 | 12.8 |
| ZG-248 | 295  | 82.6 | 324  | 1.5  | 3450 | 0.11 | 14   |
| ZG-249 | 608  | 68.7 | 364  | 1.7  | 3380 | 0.17 | 9.6  |
| ZG-250 | 514  | 66.9 | 772  | 1.6  | 3300 | 0.01 | 7.2  |
| ZG-251 | 571  | 68.1 | 748  | 1.6  | 3410 | 0.18 | 7.3  |
| ZG-252 | 433  | 78.4 | 542  | 1.6  | 3760 | 0.17 | 7.4  |
| ZG-253 | 609  | 69.1 | 190  | 1.5  | 3800 | 0.12 | 7.5  |
| ZG-254 | 568  | 67   | 138  | 1.4  | 3850 | 0.09 | 8.5  |
| ZG-255 | 729  | 67.9 | 800  | 1.6  | 3700 | 0.11 | 6.6  |
| ZG-256 | 462  | 73.3 | 243  | 1.6  | 4000 | 0.12 | 8.4  |
| ZG-257 | 418  | 77.8 | 671  | 1.7  | 3900 | 0.14 | 9.2  |
| ZG-258 | 338  | 89.4 | 242  | 1.8  | 3650 | 0.15 | 8.8  |
| ZG-259 | 681  | 60.9 | 750  | 1.6  | 3210 | 0.15 | 9.6  |
| ZG-260 | 326  | 103  | 186  | 1.8  | 4430 | 0.2  | 13.5 |
| ZG-261 | 446  | 80.1 | 180  | 1.6  | 4430 | 0.16 | 10.8 |
| ZG-262 | 400  | 94   | 530  | 1.8  | 4410 | 0.12 | 13.2 |
| ZG-263 | 324  | 95.1 | 463  | 1.9  | 4410 | 0.13 | 11.5 |
| ZG-264 | 552  | 78.1 | 321  | 1.8  | 3720 | 0.08 | 8.1  |
| ZG-265 | 542  | 62.1 | 661  | 1.5  | 3350 | 0.12 | 4.9  |
| ZG-266 | 574  | 60.2 | 717  | 1.6  | 3280 | 0.13 | 6.6  |
| ZG-267 | 605  | 57.5 | 757  | 1.5  | 3130 | 0.1  | 7.3  |
| ZG-268 | 615  | 64.4 | 750  | 1.7  | 3510 | 0.12 | 7    |
| ZG-269 | 523  | 60.9 | 706  | 1.5  | 3220 | 0.1  | 7.7  |
| ZG-270 | 413  | 71.3 | 688  | 1.5  | 4130 | 0.16 | 10.9 |
| ZG-271 | 540  | 70   | 628  | 1.4  | 3290 | 0.12 | 6.7  |
| ZG-272 | 560  | 65.4 | 697  | 1.4  | 3630 | 0.11 | 6.5  |
| ZG-273 | 317  | 118  | 150  | 2.1  | 3780 | 0.11 | 9.4  |
| ZG-274 | 319  | 133  | 179  | 2.2  | 3840 | 0.12 | 11.4 |
| ZG-275 | 494  | 84   | 1060 | 1.7  | 4430 | 0.13 | 9.8  |
| ZG-276 | 652  | 64.8 | 625  | 1.7  | 5520 | 0.13 | 20.2 |
| ZG-277 | 349  | 69.3 | 59.4 | 1.5  | 3250 | 0.14 | 13.8 |
| ZG-278 | 319  | 74.2 | 529  | 1.7  | 3810 | 0.15 | 14.4 |
| ZG-279 | 275  | 69   | 690  | 1.9  | 3980 | 0.16 | 12.6 |
| ZG-280 | 368  | 82.9 | 578  | 1.9  | 4130 | 0.18 | 13.4 |
| ZG-281 | 496  | 80.9 | 1150 | 1.9  | 4240 | 0.14 | 11.8 |
| UNITS  | ppm  | ppm  | ppm  | ppm  | ppm  | ppm  | ppm  |
| DT.LIM | 0.1  | 0.2  | 0.2  | 0.2  | 10   | 0.01 | 0.5  |
| SCHEME | IC3E | IC3E | IC3E | IC3E | IC3E | IC3M | IC3M |

**ANALYTICAL REPORT**

| SAMPLE | Sr   | Zn   | Ba   | Be   | Ti   | Ag   | As   |
|--------|------|------|------|------|------|------|------|
| ZG-282 | 361  | 78.4 | 191  | 1.8  | 3880 | 0.14 | 12.8 |
| ZG-283 | 345  | 74.9 | 686  | 1.6  | 3300 | 0.12 | 10.9 |
| ZG-284 | 573  | 59.8 | 748  | 1.6  | 3010 | 0.08 | 5.2  |
| ZG-285 | 498  | 84.2 | 845  | 1.9  | 4260 | 0.13 | 7.1  |
| ZG-286 | 477  | 73.5 | 225  | 1.6  | 3670 | 0.11 | 9.6  |
| ZG-287 | 635  | 62.2 | 732  | 1.6  | 3390 | 0.09 | 7.1  |
| ZG-288 | 612  | 57   | 686  | 1.4  | 3100 | 0.06 | 6.3  |
| ZG-289 | 596  | 71.2 | 212  | 1.7  | 3810 | 0.43 | 11.6 |
| ZG-290 | 547  | 75.9 | 238  | 1.6  | 4890 | 0.12 | 8.6  |
| ZG-291 | 623  | 83.9 | 494  | 1.6  | 4400 | 0.11 | 9.1  |
| ZG-292 | 427  | 66.3 | 664  | 1.5  | 3260 | 0.08 | 7.4  |
| ZG-293 | 519  | 69.5 | 511  | 1.5  | 3020 | 0.06 | 7.7  |
| ZG-294 | 397  | 55.2 | 191  | 1    | 2120 | 0.04 | 8.3  |
| ZG-295 | 535  | 80.5 | 707  | 2    | 4400 | 0.19 | 12.3 |
| ZG-296 | 291  | 88.8 | 565  | 1.9  | 4180 | 0.17 | 14.8 |
| ZG-297 | 351  | 78.4 | 582  | 1.9  | 3730 | 0.13 | 12   |
| ZG-298 | 309  | 87.6 | 574  | 1.9  | 3980 | 0.16 | 15.8 |
| ZG-299 | 517  | 82.1 | 773  | 2    | 3790 | 0.15 | 10.3 |
| ZG-300 | 459  | 75.1 | 523  | 1.6  | 3610 | 0.13 | 11   |
| ZG-301 | 191  | 118  | 154  | 2.3  | 4120 | 0.15 | 16.4 |
| ZG-302 | 561  | 79.4 | 229  | 1.4  | 3440 | 0.08 | 7.4  |
| ZG-303 | 325  | 102  | 291  | 2.1  | 4190 | 0.15 | 15.4 |
| ZG-304 | 255  | 185  | 122  | 4.3  | 3920 | 0.18 | 13.9 |
| ZG-305 | 367  | 87.3 | 732  | 2    | 3570 | 0.17 | 13.6 |
| ZG-306 | 321  | 83.2 | 646  | 1.8  | 3620 | 0.11 | 13.1 |
| ZG-307 | 414  | 68.2 | 780  | 1.7  | 3480 | 0.09 | 11.5 |
| ZG-308 | 560  | 72.1 | 866  | 1.8  | 4450 | 0.15 | 8    |
| ZG-309 | 659  | 64.6 | 840  | 2    | 3650 | 0.56 | 8.9  |
| ZG-310 | 349  | 76.1 | 560  | 1.9  | 3630 | 0.43 | 17   |
| ZG-311 | 442  | 59.5 | 910  | 2.1  | 4480 | 0.39 | 12.6 |
| ZG-312 | 395  | 91.2 | 695  | 2.3  | 4010 | 0.39 | 14.5 |
| ZG-313 | 693  | 84.5 | 935  | 2.2  | 4910 | 0.22 | 10.6 |
| ZG-314 | 582  | 117  | 545  | 2.5  | 3870 | 0.22 | 16.8 |
| ZG-315 | 620  | 83.7 | 867  | 2.3  | 4300 | 0.27 | 11.6 |
| ZG-316 | 491  | 81.8 | 873  | 2.4  | 4320 | 0.3  | 12.6 |
| ZG-317 | 563  | 67.7 | 939  | 2.3  | 4250 | 0.29 | 10.7 |
| ZG-318 | 585  | 74.1 | 340  | 1.9  | 3490 | 0.18 | 12.8 |
| ZG-319 | 337  | 103  | 545  | 2.1  | 3530 | 0.35 | 14.5 |
| ZG-320 | 309  | 91.7 | 520  | 2    | 3910 | 0.33 | 14.8 |
| ZG-321 | 303  | 98.8 | 595  | 2.1  | 4310 | 0.41 | 16.4 |
| UNITS  | ppm  | ppm  | ppm  | ppm  | ppm  | ppm  | ppm  |
| DT.LIM | 0.1  | 0.2  | 0.2  | 0.2  | 10   | 0.01 | 0.5  |
| SCHEME | IC3E | IC3E | IC3E | IC3E | IC3E | IC3M | IC3M |

ANALYTICAL REPORT

| SAMPLE                    | Sr                 | Zn                 | Ba                 | Be                 | Ti                | Ag                  | As                 |
|---------------------------|--------------------|--------------------|--------------------|--------------------|-------------------|---------------------|--------------------|
| ZG-322                    | 523                | 91.3               | 237                | 2                  | 3410              | 0.23                | 15.1               |
| ZG-323                    | 700                | 77                 | 1310               | 2.5                | 4480              | 0.25                | 11.2               |
| ZG-324                    | 673                | 77.4               | 659                | 2                  | 4610              | 0.17                | 10.2               |
| ZG-326                    | 619                | 89.4               | 318                | 2.1                | 3920              | 0.21                | 13.8               |
| ZG-327                    | 369                | 96.2               | 732                | 2.2                | 4020              | 0.34                | 14.5               |
| ZG-328                    | 941                | 85.2               | 1320               | 2.2                | 4340              | 0.25                | 13.6               |
| ZG-329                    | 460                | 113                | 192                | 2.8                | 3490              | 0.1                 | 13.3               |
| ZG-330                    | 872                | 83.3               | 1350               | 1.9                | 3680              | 0.18                | 13                 |
| ZG-331                    | 647                | 89.6               | 1100               | 2.5                | 4300              | 0.35                | 10.9               |
| ZG-332                    | 514                | 132                | 715                | 3.1                | 4180              | 0.24                | 16.5               |
| ZG-333                    | 388                | 84.9               | 558                | 2.3                | 4520              | 0.26                | 14.1               |
| ZG-334                    | 433                | 136                | 476                | 3.1                | 3770              | 0.21                | 13                 |
| ZG-335                    | 333                | 128                | 787                | 2.8                | 3780              | 0.17                | 20                 |
| ZG-336                    | 589                | 68.7               | 887                | 2                  | 4250              | 0.15                | 9.4                |
| ZG-337                    | 416                | 109                | 842                | 2                  | 3830              | 0.23                | 16.7               |
| ZG-338                    | 425                | 69.2               | 348                | 1.9                | 3540              | 0.16                | 11.2               |
| ZG-339                    | 461                | 69                 | 834                | 1.9                | 3680              | 0.23                | 12.1               |
| ZG-340                    | 264                | 66.6               | 381                | 1.5                | 3230              | 0.15                | 10.9               |
| ZG-341                    | 659                | 66.7               | 1070               | 2.3                | 4500              | 0.22                | 9.2                |
| ZG-342                    | 406                | 83.6               | 850                | 2.2                | 4220              | 0.24                | 15.1               |
| ZG-343                    | 672                | 89                 | 371                | 2                  | 3900              | 0.22                | 13.4               |
| ZG-344                    | 520                | 77.4               | 643                | 1.9                | 3880              | 0.18                | 9.6                |
| ZG-345                    | 848                | 83.7               | 553                | 2                  | 3930              | 0.22                | 15                 |
| ZG-346                    | 337                | 73.5               | 622                | 2                  | 3770              | 0.26                | 12.3               |
| ZG-347                    | 603                | 66.1               | 919                | 2.2                | 4310              | 0.21                | 10.3               |
| ZG-348                    | 631                | 73.6               | 576                | 1.9                | 3610              | 0.19                | 12.4               |
| ZG-349                    | 258                | 57.3               | 808                | 2.4                | 3210              | 0.21                | 10.8               |
| ZG-350                    | 518                | 69.6               | 1100               | 2.1                | 3940              | 0.22                | 13.4               |
| ZG-351                    | 571                | 70.3               | 1610               | 2.1                | 4140              | 0.16                | 13.4               |
| ZG-352                    | 533                | 61.4               | 933                | 2                  | 3840              | 0.24                | 8.8                |
| ZG-353                    | 491                | 77.5               | 530                | 2.3                | 3770              | 0.21                | 13.1               |
| ZG-354                    | 462                | 82.3               | 784                | 2.6                | 4060              | 0.16                | 11.9               |
| ZG-355                    | 661                | 75.7               | 893                | 2.4                | 4360              | 0.32                | 9.9                |
| ZG-356                    | 699                | 72.5               | 856                | 2.3                | 4120              | 0.17                | 8.6                |
| ZG-357                    | 827                | 68.5               | 1210               | 2.4                | 3900              | 0.2                 | 9                  |
| ZG-358                    | 451                | 78.4               | 736                | 2.4                | 4160              | 0.24                | 12.2               |
| ZG-359                    | 423                | 92.2               | 1070               | 2.3                | 3880              | 0.1                 | 12.8               |
| ZG-360                    | 627                | 93.9               | 158                | 1.9                | 3260              | 0.18                | 9.3                |
| ZG-361                    | 714                | 77.6               | 674                | 2.2                | 3810              | 0.17                | 9.2                |
| ZG-362                    | 770                | 85.9               | 1070               | 2.4                | 4310              | 0.3                 | 8.6                |
| UNITS<br>DT.LIM<br>SCHEME | ppm<br>0.1<br>IC3E | ppm<br>0.2<br>IC3E | ppm<br>0.2<br>IC3E | ppm<br>0.2<br>IC3E | ppm<br>10<br>IC3E | ppm<br>0.01<br>IC3M | ppm<br>0.5<br>IC3M |

ANALYTICAL REPORT

| SAMPLE                    | Sr                 | Zn                 | Ba                 | Be                 | Ti                | Ag                  | As                 |
|---------------------------|--------------------|--------------------|--------------------|--------------------|-------------------|---------------------|--------------------|
| ZG-363                    | 943                | 77                 | 1080               | 3                  | 3930              | 0.15                | 8.6                |
| ZG-364                    | 265                | 91.2               | 465                | 1.9                | 3530              | 0.17                | 11.8               |
| ZG-365                    | 699                | 88.1               | 1390               | 2.6                | 4860              | 0.26                | 11                 |
| ZG-366                    | 806                | 76.7               | 1180               | 2.8                | 4640              | 0.17                | 10.7               |
| ZG-367                    | 491                | 85.9               | 1220               | 2.6                | 4390              | 0.3                 | 13.1               |
| ZG-368                    | 546                | 88.8               | 1330               | 2.5                | 4150              | 0.93                | 12.6               |
| ZG-369                    | 640                | 86.7               | 1890               | 2.4                | 4580              | 0.13                | 12.1               |
| ZG-370                    | 482                | 103                | 495                | 3.3                | 4130              | 0.2                 | 11                 |
| ZG-371                    | 577                | 94.8               | 507                | 2.3                | 4770              | 0.17                | 11.8               |
| ZG-372                    | 735                | 79.2               | 903                | 2.3                | 4240              | 0.14                | 8.6                |
| ZG-373                    | 919                | 117                | 240                | 3.4                | 4330              | 0.11                | 9.4                |
| ZG-374                    | 700                | 73.5               | 1060               | 2.7                | 5000              | 0.17                | 10.2               |
| ZG-375                    | 479                | 87.5               | 1160               | 2.9                | 4470              | 0.11                | 12.5               |
| ZG-376                    | 920                | 77.5               | 1240               | 2.9                | 4550              | 0.16                | 9.4                |
| ZG-377                    | 449                | 82.1               | 1050               | 2.6                | 4020              | 0.22                | 13.5               |
| ZG-378                    | 436                | 79.8               | 1090               | 2.6                | 4460              | 0.28                | 12.2               |
| ZG-379                    | 382                | 86.9               | 2590               | 2.9                | 4700              | 0.18                | 12.6               |
| ZG-380                    | 347                | 78.1               | 1050               | 2.4                | 4190              | 0.15                | 10.4               |
| ZG-381                    | 413                | 90.3               | 1010               | 3                  | 4860              | 0.16                | 12                 |
| ZG-382                    | 767                | 82                 | 250                | 2                  | 3600              | 0.13                | 9.1                |
| ZG-383                    | 508                | 84.9               | 746                | 2.4                | 4400              | 0.16                | 9.1                |
| ZG-384                    | 730                | 78.2               | 917                | 2.5                | 4110              | 0.19                | 8.3                |
| ZG-385                    | 856                | 77.3               | 1020               | 2.5                | 4330              | 0.36                | 9.1                |
| ZG-386                    | 765                | 81.7               | 1320               | 2.2                | 4390              | 0.13                | 8.2                |
| ZG-387                    | 947                | 63.3               | 1110               | 2.7                | 4070              | 0.16                | 8.1                |
| ZG-388                    | 828                | 74.8               | 1010               | 2.5                | 4510              | 0.27                | 7.6                |
| ZG-389                    | 603                | 76.5               | 1220               | 2.6                | 5120              | 0.26                | 11                 |
| ZG-390                    | 442                | 76.2               | 821                | 2.6                | 4170              | 0.15                | 9.3                |
| ZG-391                    | 419                | 75.1               | 1150               | 2.5                | 4260              | 0.12                | 12                 |
| ZG-392                    | 502                | 88                 | 1230               | 2.5                | 4230              | 0.14                | 11.9               |
| ZG-393                    | 578                | 83.8               | 1690               | 2.7                | 4770              | 0.12                | 12                 |
| ZG-394                    | 466                | 71.2               | 971                | 2.4                | 4590              | 0.14                | 12.4               |
| ZG-395                    | 427                | 76.4               | 710                | 1.7                | 3360              | 0.16                | 11.1               |
| ZG-396                    | 344                | 110                | 916                | 2.6                | 4190              | 0.28                | 9.9                |
| ZG-397                    | 918                | 51.9               | 296                | 1.1                | 2280              | 0.07                | 45.1               |
| ZG-398                    | 214                | 81.4               | 493                | 1.7                | 3730              | 0.13                | 6.6                |
| ZG-399                    | 269                | 96.2               | 164                | 1.9                | 4540              | 0.12                | 12.9               |
| ZG-400                    | 535                | 74.2               | 664                | 1.3                | 3600              | 0.08                | 6.8                |
| ZG-401                    | 494                | 128                | 86.4               | 1.9                | 4430              | 0.27                | 9.6                |
| ZG-402                    | 555                | 75.9               | 733                | 2.5                | 3860              | 0.09                | 7.6                |
| UNITS<br>DT.LIM<br>SCHEME | ppm<br>0.1<br>IC3E | ppm<br>0.2<br>IC3E | ppm<br>0.2<br>IC3E | ppm<br>0.2<br>IC3E | ppm<br>10<br>IC3E | ppm<br>0.01<br>IC3M | ppm<br>0.5<br>IC3M |

**ANALYTICAL REPORT**

| SAMPLE  | Sr  | Zn   | Ba   | Be  | Ti   | Ag     | As   |
|---------|-----|------|------|-----|------|--------|------|
| ZG-403  | 251 | 65.6 | 681  | 2.6 | 4430 | 0.15   | 10.7 |
| ZG-404  | 315 | 64.9 | 685  | 1.9 | 3940 | 0.07   | 13   |
| ZG-405  | 215 | 61.1 | 688  | 1.8 | 4230 | 0.08   | 11   |
| ZG-406  | 149 | 66   | 713  | 2.2 | 3250 | 0.11   | 9.8  |
| ZG-501  | 488 | 77.2 | 2610 | 2.1 | 5430 | < 0.01 | 5.8  |
| ZG-502  | 339 | 69.9 | 533  | 1.6 | 3910 | < 0.01 | 10.4 |
| ZG-503  | 560 | 64.7 | 546  | 1.4 | 3850 | < 0.01 | 9.1  |
| ZG-504  | 643 | 53   | 878  | 1.8 | 4250 | 0.03   | 8.1  |
| ZG-505  | 437 | 81   | 590  | 1.7 | 4270 | 0.06   | 12.5 |
| ZG-506  | 317 | 85.7 | 421  | 1.6 | 4190 | 0.02   | 11.7 |
| ZG-507  | 385 | 72.1 | 427  | 1.5 | 3690 | 0.03   | 10.7 |
| ZG-508  | 344 | 72.3 | 437  | 1.6 | 3730 | 0.01   | 9.2  |
| ZG-509  | 274 | 74.6 | 409  | 1.5 | 3540 | < 0.01 | 7.6  |
| ZG-510  | 462 | 76.3 | 436  | 1.5 | 3570 | < 0.01 | 8.6  |
| ZG-511  | 564 | 66.7 | 542  | 1.5 | 3450 | < 0.01 | 9.3  |
| ZG-512  | 621 | 74   | 817  | 1.9 | 3980 | < 0.01 | 7    |
| ZG-513  | 438 | 87.2 | 311  | 2.3 | 4890 | 0.08   | 12.8 |
| ZG-514  | 460 | 121  | 46.8 | 2.8 | 3990 | 0.06   | 13   |
| ZG-515  | 552 | 77.3 | 115  | 1.7 | 3610 | 0.08   | 9.2  |
| ZG-335A | 340 | 131  | 873  | 2.9 | 4910 | 0.09   | 20   |

| UNITS<br>DT.LIM<br>SCHEME | ppm<br>0.1<br>IC3E | ppm<br>0.2<br>IC3E | ppm<br>0.2<br>IC3E | ppm<br>0.2<br>IC3E | ppm<br>10<br>IC3E | ppm<br>0.01<br>IC3M | ppm<br>0.5<br>IC3M |
|---------------------------|--------------------|--------------------|--------------------|--------------------|-------------------|---------------------|--------------------|
|                           |                    |                    |                    |                    |                   |                     |                    |

ANALYTICAL REPORT

| SAMPLE | B    | Bi   | Mo   | Pb   | Sb   | Se   | Sn   |
|--------|------|------|------|------|------|------|------|
| ZG-1   | <0.5 | 0.2  | 4.2  | 17   | 1.3  | 0.8  | 2.1  |
| ZG-2   | <0.5 | 0.3  | 0.6  | 16.8 | 1.4  | 0.9  | 2.4  |
| ZG-3   | <0.5 | 0.3  | 0.2  | 16.6 | 1.1  | 0.8  | 1.7  |
| ZG-4   | <0.5 | 0.3  | 2.3  | 17.7 | 1.2  | 1.1  | 2.1  |
| ZG-5   | <0.5 | 0.3  | 2.5  | 16.4 | 1.2  | 0.9  | 1.9  |
| ZG-6   | <0.5 | 0.3  | 2.3  | 19.5 | 1.4  | 0.7  | 2.1  |
| ZG-7   | <0.5 | 0.2  | 7.5  | 34   | 1.4  | 0.9  | 1.7  |
| ZG-8   | <0.5 | 0.2  | 2.3  | 16.3 | 1    | 0.9  | 1.8  |
| ZG-9   | <0.5 | 0.3  | 2.5  | 15.2 | 1.2  | 0.8  | 1.9  |
| ZG-10  | <0.5 | 0.3  | 2.3  | 16.7 | 1.2  | 0.6  | 2.1  |
| ZG-11  | <0.5 | 0.2  | 2.7  | 15.9 | 1    | 0.8  | 1.8  |
| ZG-12  | <0.5 | 0.3  | 2.4  | 16.8 | 1.1  | 0.8  | 2    |
| ZG-13  | <0.5 | 0.3  | 2.2  | 17.5 | 1.1  | 0.9  | 1.9  |
| ZG-14  | <0.5 | 0.3  | 2    | 16.8 | 1.1  | 0.8  | 1.8  |
| ZG-15  | <0.5 | 0.3  | 2    | 17.6 | 1.1  | 0.8  | 1.8  |
| ZG-16  | <0.5 | 0.3  | 1.8  | 16.9 | 1.1  | 0.8  | 1.7  |
| ZG-18  | <0.5 | 0.3  | 1.9  | 16.7 | 1    | 0.9  | 1.8  |
| ZG-19  | <0.5 | 0.2  | 2.3  | 15.6 | 1    | 0.5  | 1.8  |
| ZG-20  | <0.5 | 0.3  | 2    | 15.5 | 1    | 0.7  | 1.8  |
| ZG-21  | <0.5 | 0.2  | 8.3  | 17.2 | 1.2  | 0.7  | 1.7  |
| ZG-22  | <0.5 | 0.2  | 10   | 18.8 | 1.5  | 1.3  | 1.8  |
| ZG-23  | <0.5 | 0.2  | 8.8  | 18.2 | 1.3  | 0.7  | 1.5  |
| ZG-24  | <0.5 | 0.3  | 3.2  | 20.2 | 1.1  | 0.4  | 1.6  |
| ZG-25  | <0.5 | 0.3  | 2.4  | 21.1 | 0.8  | 0.6  | 1.8  |
| ZG-26  | <0.5 | 0.2  | 9.6  | 19.8 | 1.3  | 0.8  | 2    |
| ZG-27  | <0.5 | 0.1  | 8    | 17.4 | 1.2  | 0.5  | 1.7  |
| ZG-28  | <0.5 | 0.2  | 8.8  | 20.1 | 1.3  | 0.7  | 1.7  |
| ZG-29  | <0.5 | 0.2  | 7.7  | 17.6 | 1.2  | 0.6  | 1.5  |
| ZG-30  | <0.5 | 0.2  | 6.8  | 19   | 1.2  | 0.7  | 3.1  |
| ZG-31  | <0.5 | 0.2  | 7.5  | 19   | 1.1  | 0.6  | 6.6  |
| ZG-32  | <0.5 | 0.2  | 8.4  | 16.1 | 1.1  | 0.6  | 2.4  |
| ZG-33  | <0.5 | 0.2  | 9    | 16.3 | 1.5  | 0.9  | 1.8  |
| ZG-34  | <0.5 | 0.1  | 8.5  | 16.3 | 1.4  | 0.8  | 2    |
| ZG-35  | <0.5 | 0.2  | 10.2 | 18.6 | 1.4  | 1    | 1.6  |
| ZG-36  | <0.5 | 0.2  | 6.8  | 18.7 | 1.2  | 0.6  | 1.5  |
| ZG-37  | <0.5 | 0.2  | 7.3  | 15.3 | 1.1  | 0.6  | 1.4  |
| ZG-38  | <0.5 | 0.2  | 10   | 17.3 | 1.4  | 0.9  | 1.6  |
| ZG-39  | <0.5 | 0.2  | 6.6  | 17.9 | 1.1  | 0.6  | 1.5  |
| ZG-40  | <0.5 | 0.2  | 7.7  | 18.4 | 1.3  | 0.8  | 1.5  |
| ZG-41  | <0.5 | 0.2  | 9.4  | 22.8 | 1.5  | 0.8  | 1.6  |
| UNITS  | ppm  | ppm  | ppm  | ppm  | ppm  | ppm  | ppm  |
| DT.LIM | 0.5  | 0.1  | 0.1  | 0.2  | 0.1  | 0.2  | 0.2  |
| SCHEME | IC3M | IC3M | IC3M | IC3M | IC3M | IC3M | IC3M |

**ANALYTICAL REPORT**

| SAMPLE | B    | Bi   | Mo   | Pb   | Sb   | Se   | Sn   |
|--------|------|------|------|------|------|------|------|
| ZG-42  | <0.5 | 0.2  | 10.9 | 16.7 | 1.2  | 0.8  | 1.5  |
| ZG-43  | <0.5 | 0.2  | 11.6 | 18.7 | 1.2  | 0.7  | 1.5  |
| ZG-44  | <0.5 | 0.1  | 11.2 | 16.6 | 1.3  | 0.8  | 1.4  |
| ZG-45  | <0.5 | 0.2  | 11.8 | 23.1 | 1.8  | 1.9  | 1.3  |
| ZG-46  | <0.5 | 0.1  | 7.9  | 16.4 | 1.4  | 0.9  | 1.6  |
| ZG-47  | <0.5 | 0.2  | 7.8  | 18   | 1.4  | 0.9  | 1.6  |
| ZG-48  | <0.5 | 0.2  | 7.8  | 18.3 | 1.4  | 0.9  | 1.9  |
| ZG-49  | <0.5 | 0.1  | 8.4  | 16.3 | 1.3  | 0.9  | 2    |
| ZG-50  | <0.5 | 0.1  | 10.8 | 17.1 | 1.4  | 1.2  | 1.7  |
| ZG-51  | <0.5 | 0.1  | 6.3  | 16.1 | 1    | 0.8  | 1.6  |
| ZG-52  | <0.5 | 0.2  | 9.4  | 16.7 | 1.4  | 1.1  | 1.6  |
| ZG-53  | <0.5 | 0.2  | 4.6  | 18   | 1.2  | 0.9  | 1.8  |
| ZG-54  | <0.5 | 0.2  | 7.2  | 16.5 | 1.3  | 1    | 1.5  |
| ZG-55  | <0.5 | 0.2  | 7.5  | 18.5 | 1.4  | 1.1  | 2    |
| ZG-56  | <0.5 | 0.3  | 5.9  | 19.3 | 1.4  | 1.1  | 2    |
| ZG-57  | <0.5 | 0.2  | 6.2  | 20   | 1.3  | 1.1  | 2.1  |
| ZG-58  | <0.5 | 0.1  | 7.6  | 14.9 | 1.2  | 0.9  | 1.6  |
| ZG-59  | <0.5 | 0.2  | 6.4  | 20.5 | 1.3  | 0.9  | 1.7  |
| ZG-60  | <0.5 | 0.1  | 7.5  | 16.4 | 1.2  | 0.9  | 2.5  |
| ZG-61  | <0.5 | 0.2  | 7.5  | 18.3 | 1.4  | 0.9  | 2    |
| ZG-62  | <0.5 | 0.2  | 5.7  | 18.8 | 1.3  | 0.9  | 1.9  |
| ZG-63  | <0.5 | 0.2  | 2.2  | 18   | 1.1  | 1    | 1.9  |
| ZG-64  | <0.5 | 0.2  | 1.8  | 12.9 | 0.8  | 0.9  | 1.5  |
| ZG-65  | <0.5 | 0.1  | 4.3  | 15.1 | 1.3  | 1.2  | 1.1  |
| ZG-66  | <0.5 | 0.2  | 4.6  | 16.3 | 1.3  | 1.4  | 1.3  |
| ZG-67  | <0.5 | 0.2  | 4    | 22.2 | 1.4  | 1.1  | 1.4  |
| ZG-68  | <0.5 | 0.2  | 4    | 15.4 | 1.2  | 1.2  | 1.3  |
| ZG-69  | <0.5 | 0.2  | 2.7  | 14.3 | 1.1  | 1.3  | 1.4  |
| ZG-70  | <0.5 | 0.2  | 2.8  | 21.2 | 1    | 1.3  | 1.5  |
| ZG-71  | <0.5 | 0.2  | 3.7  | 15.6 | 1.1  | 1.1  | 1.3  |
| ZG-72  | <0.5 | 0.3  | 3.5  | 22.3 | 1.3  | 0.9  | 1.6  |
| ZG-73  | <0.5 | 0.1  | 6.4  | 14   | 0.7  | 0.8  | 1.3  |
| ZG-74  | <0.5 | 0.1  | 6    | 14.4 | 0.7  | 0.8  | 1.3  |
| ZG-75  | <0.5 | 0.2  | 2.4  | 19.4 | 1.1  | 0.8  | 1.7  |
| ZG-76  | <0.5 | 0.2  | 2.3  | 16.6 | 1    | 1.2  | 1.5  |
| ZG-77  | <0.5 | 0.2  | 4    | 18.2 | 0.9  | 1.1  | 1.5  |
| ZG-78  | <0.5 | 0.3  | 2.3  | 18.1 | 1    | 0.9  | 1.9  |
| ZG-79  | <0.5 | 0.1  | 2.3  | 18.6 | 0.8  | 0.7  | 1.2  |
| ZG-80  | <0.5 | 0.2  | 2.7  | 17.5 | 1    | 1.1  | 1.3  |
| ZG-81  | <0.5 | 0.2  | 4.4  | 16.5 | 1.1  | 1.1  | 1.6  |
| UNITS  | ppm  | ppm  | ppm  | ppm  | ppm  | ppm  | ppm  |
| DT.LIM | 0.5  | 0.1  | 0.1  | 0.2  | 0.1  | 0.2  | 0.2  |
| SCHEME | IC3M | IC3M | IC3M | IC3M | IC3M | IC3M | IC3M |

### ANALYTICAL REPORT

| SAMPLE | B    | Bi   | Mo   | Pb   | Sb   | Se   | Sn   |
|--------|------|------|------|------|------|------|------|
| ZG-82  | <0.5 | 0.2  | 3    | 16.9 | 1    | 1.1  | 1.8  |
| ZG-83  | <0.5 | 0.2  | 2.9  | 17.6 | 1.1  | 1.4  | 1.6  |
| ZG-84  | <0.5 | 0.2  | 3.1  | 16.8 | 1.1  | 1.2  | 1.7  |
| ZG-85  | <0.5 | 0.2  | 2.8  | 17   | 1.1  | 1.5  | 1.9  |
| ZG-86  | <0.5 | 0.2  | 3.9  | 24.5 | 1.4  | 1.2  | 1.8  |
| ZG-87  | <0.5 | 0.2  | 4.3  | 19.8 | 1.2  | 1.3  | 1.8  |
| ZG-88  | <0.5 | 0.2  | 3    | 19   | 1    | 1.5  | 1.7  |
| ZG-89  | <0.5 | 0.2  | 3.2  | 17.2 | 1.1  | 1.1  | 1.8  |
| ZG-90  | <0.5 | 0.2  | 3.4  | 17.7 | 1.2  | 1.2  | 1.8  |
| ZG-91  | <0.5 | 0.2  | 3.9  | 19.2 | 1.3  | 1.3  | 1.6  |
| ZG-92  | <0.5 | 0.2  | 3.4  | 16.3 | 1.1  | 1.1  | 1.4  |
| ZG-93  | <0.5 | 0.2  | 4    | 16.2 | 1.2  | 1.3  | 2    |
| ZG-94  | <0.5 | 0.2  | 5.6  | 14.3 | 1    | 1.2  | 1.8  |
| ZG-95  | <0.5 | 0.2  | 3.7  | 15.8 | 1.1  | 1.3  | 1.6  |
| ZG-96  | <0.5 | 0.2  | 5    | 13.9 | 1.2  | 1.2  | 1.9  |
| ZG-97  | <0.5 | 0.2  | 4.8  | 12.3 | 0.9  | 1.3  | 1.3  |
| ZG-98  | <0.5 | 0.2  | 6.1  | 13.5 | 1    | 1.1  | 1.6  |
| ZG-99  | <0.5 | 0.2  | 4.2  | 18.4 | 1.1  | 1.5  | 1.6  |
| ZG-100 | <0.5 | 0.2  | 5    | 17.3 | 1.1  | 1.1  | 1.6  |
| ZG-101 | <0.5 | 0.2  | 3.7  | 17.2 | 1    | 1.4  | 2    |
| ZG-102 | <0.5 | 0.2  | 3.4  | 14.7 | 1    | 1    | 1.9  |
| ZG-103 | <0.5 | 0.2  | 5.1  | 18.1 | 0.9  | 1.2  | 1.8  |
| ZG-104 | <0.5 | 0.1  | 5.7  | 13.6 | 1.1  | 1.2  | 1.5  |
| ZG-105 | <0.5 | 0.2  | 3.7  | 15.6 | 0.9  | 1.3  | 1.7  |
| ZG-106 | <0.5 | 0.2  | 4.1  | 15.8 | 1    | 1.3  | 1.9  |
| ZG-107 | <0.5 | 0.2  | 4.1  | 16   | 1    | 1.5  | 1.9  |
| ZG-108 | <0.5 | 0.3  | 2.9  | 16.2 | 1.1  | 1.3  | 2.1  |
| ZG-109 | <0.5 | 0.2  | 3.3  | 14.5 | 1    | 1.2  | 1.9  |
| ZG-110 | <0.5 | 0.1  | 6    | 12.3 | 0.8  | 0.9  | 1.2  |
| ZG-111 | <0.5 | 0.2  | 2.8  | 16.7 | 1.1  | 1.4  | 1.8  |
| ZG-112 | <0.5 | 0.2  | 2.4  | 16.4 | 1    | 1.2  | 2    |
| ZG-113 | <0.5 | 0.2  | 2.5  | 16.6 | 1    | 1.2  | 1.9  |
| ZG-114 | <0.5 | 0.2  | 2.6  | 16.1 | 1    | 1.5  | 2.4  |
| ZG-115 | <0.5 | 0.3  | 2.4  | 17.1 | 1.1  | 1.4  | 2.2  |
| ZG-116 | <0.5 | 0.2  | 2    | 14.5 | 1    | 1.4  | 2    |
| ZG-117 | <0.5 | 0.3  | 2.2  | 16.3 | 1.1  | 1.7  | 2.4  |
| ZG-118 | <0.5 | 0.3  | 2.9  | 20.7 | 1.1  | 1.3  | 2    |
| ZG-119 | <0.5 | 0.2  | 2.1  | 13.8 | 1    | 1.3  | 2    |
| ZG-120 | <0.5 | 0.2  | 2.3  | 16.1 | 1.1  | 1.3  | 2.1  |
| ZG-121 | <0.5 | 0.2  | 2.2  | 15.8 | 1    | 1.2  | 1.9  |
| UNITS  | ppm  | ppm  | ppm  | ppm  | ppm  | ppm  | ppm  |
| DT.LIM | 0.5  | 0.1  | 0.1  | 0.2  | 0.1  | 0.2  | 0.2  |
| SCHEME | IC3M | IC3M | IC3M | IC3M | IC3M | IC3M | IC3M |

**ANALYTICAL REPORT**

| SAMPLE | B    | Bi   | Mo   | Pb   | Sb   | Se   | Sn   |
|--------|------|------|------|------|------|------|------|
| ZG-122 | <0.5 | 0.3  | 2.3  | 16.4 | 1    | 1.4  | 2.2  |
| ZG-123 | <0.5 | 0.2  | 6.5  | 12.6 | 0.9  | 1.3  | 1.5  |
| ZG-124 | <0.5 | 0.2  | 2.3  | 16   | 1    | 1.2  | 2    |
| ZG-125 | <0.5 | 0.3  | 2.3  | 16.1 | 1.1  | 1.2  | 2.3  |
| ZG-126 | <0.5 | 0.2  | 2.4  | 16.1 | 1    | 1.3  | 2.1  |
| ZG-127 | <0.5 | 0.2  | 2.6  | 15.5 | 1.1  | 1.4  | 2.1  |
| ZG-128 | <0.5 | 0.2  | 2.2  | 14.5 | 1    | 1.2  | 2.1  |
| ZG-129 | <0.5 | 0.2  | 2.3  | 15   | 1    | 1.2  | 2    |
| ZG-130 | <0.5 | 0.4  | 3.7  | 20.8 | 1.7  | 1.4  | 2.3  |
| ZG-131 | <0.5 | 0.3  | 3.7  | 17   | 1.2  | 1.5  | 2.1  |
| ZG-132 | <0.5 | 0.3  | 3.2  | 16.9 | 1.4  | 1.5  | 2.4  |
| ZG-133 | <0.5 | 0.3  | 2.9  | 12.8 | 1.1  | 0.8  | 1.8  |
| ZG-134 | <0.5 | 0.3  | 3    | 14.8 | 1.2  | 0.7  | 2.1  |
| ZG-135 | <0.5 | 0.3  | 2.4  | 15.4 | 1.1  | 0.8  | 1.9  |
| ZG-136 | <0.5 | 0.3  | 2.3  | 15.9 | 1.1  | 0.7  | 1.9  |
| ZG-137 | <0.5 | 0.2  | 1.8  | 12.9 | 1    | 0.8  | 1.7  |
| ZG-138 | <0.5 | 0.3  | 2    | 15.4 | 1.1  | 0.7  | 2    |
| ZG-139 | <0.5 | 0.1  | 10.7 | 14.2 | 1.3  | 0.7  | 1.5  |
| ZG-140 | <0.5 | 0.3  | 3    | 15.4 | 1.1  | 0.8  | 1.8  |
| ZG-141 | <0.5 | 0.3  | 2.9  | 15.3 | 0.9  | 0.6  | 1.7  |
| ZG-142 | <0.5 | 0.3  | 2.1  | 14.3 | 1    | 1    | 1.7  |
| ZG-143 | <0.5 | 0.3  | 2.5  | 14.1 | 1.2  | 1    | 2    |
| ZG-144 | <0.5 | 0.3  | 2.2  | 14.8 | 1    | 0.8  | 1.8  |
| ZG-145 | <0.5 | 0.3  | 2.3  | 15.3 | 1.1  | 1.1  | 2.1  |
| ZG-146 | <0.5 | 0.2  | 2.4  | 13.4 | 1.1  | 0.9  | 2.1  |
| ZG-147 | <0.5 | 0.3  | 2.2  | 15   | 1.1  | 0.8  | 1.9  |
| ZG-148 | <0.5 | 0.3  | 2.3  | 15.2 | 1.2  | 0.9  | 1.9  |
| ZG-149 | <0.5 | 0.3  | 3.3  | 18.7 | 1.1  | 1.2  | 1.9  |
| ZG-150 | <0.5 | 0.3  | 2.6  | 15.1 | 1.2  | 1    | 1.9  |
| ZG-151 | <0.5 | 0.2  | 2.3  | 14.3 | 1.1  | 1.4  | 2    |
| ZG-152 | <0.5 | 0.3  | 2.2  | 15.8 | 1.1  | 1.8  | 2    |
| ZG-153 | <0.5 | 0.3  | 2.2  | 16.8 | 1.2  | 1.1  | 2.1  |
| ZG-154 | <0.5 | 0.3  | 2.6  | 16.3 | 1.1  | 1.6  | 2.5  |
| ZG-155 | <0.5 | 0.3  | 2.3  | 14.9 | 1.1  | 1.2  | 1.9  |
| ZG-156 | <0.5 | 0.3  | 2.3  | 14.7 | 1    | 1.3  | 1.8  |
| ZG-157 | <0.5 | 0.2  | 1.9  | 12.5 | 0.9  | 3.4  | 1.5  |
| ZG-158 | <0.5 | 0.3  | 2.4  | 14   | 1    | 2.3  | 1.7  |
| ZG-159 | <0.5 | 0.3  | 2.6  | 15.5 | 1.1  | 1.2  | 2    |
| ZG-160 | <0.5 | 0.3  | 2.6  | 15.2 | 1.1  | 1.5  | 1.9  |
| ZG-161 | <0.5 | 0.3  | 2.6  | 14.9 | 1.1  | 1.5  | 1.9  |
| UNITS  | ppm  | ppm  | ppm  | ppm  | ppm  | ppm  | ppm  |
| DT.LIM | 0.5  | 0.1  | 0.1  | 0.2  | 0.1  | 0.2  | 0.2  |
| SCHEME | IC3M | IC3M | IC3M | IC3M | IC3M | IC3M | IC3M |

**ANALYTICAL REPORT**

| SAMPLE | B    | Bi   | Mo   | Pb   | Sb   | Se   | Sn   |
|--------|------|------|------|------|------|------|------|
| ZG-162 | <0.5 | 0.3  | 2.7  | 14.7 | 1    | 1.5  | 1.8  |
| ZG-163 | <0.5 | 0.3  | 2.8  | 17.7 | 1    | 1.5  | 1.8  |
| ZG-164 | <0.5 | 0.3  | 3.2  | 20.2 | 1    | 1.3  | 1.8  |
| ZG-165 | <0.5 | 0.3  | 2.5  | 16.9 | 1    | 1.2  | 1.7  |
| ZG-166 | <0.5 | 0.3  | 2.5  | 17.2 | 1    | 1.3  | 1.8  |
| ZG-167 | <0.5 | 0.2  | 2.9  | 15.1 | 1    | 1.7  | 1.7  |
| ZG-168 | <0.5 | 0.3  | 1.6  | 16.7 | 1    | 1.9  | 1.8  |
| ZG-169 | <0.5 | 0.2  | 3    | 14.9 | 1    | 1.7  | 1.7  |
| ZG-170 | <0.5 | 0.2  | 2.6  | 14.8 | 0.9  | 1.7  | 1.8  |
| ZG-171 | <0.5 | 0.2  | 3    | 14   | 1    | 2    | 1.7  |
| ZG-172 | <0.5 | 0.2  | 2.9  | 14.3 | 0.9  | 1.6  | 1.7  |
| ZG-173 | <0.5 | 0.2  | 3.3  | 17.4 | 1    | 1.6  | 1.7  |
| ZG-174 | <0.5 | 0.3  | 3.1  | 17.4 | 0.9  | 1.8  | 1.6  |
| ZG-175 | <0.5 | 0.3  | 3    | 16.4 | 1    | 1.8  | 1.9  |
| ZG-176 | <0.5 | 0.3  | 2.9  | 16.5 | 0.9  | 1.7  | 1.7  |
| ZG-177 | <0.5 | 0.3  | 2.3  | 15.5 | 1.2  | 1.3  | 1.7  |
| ZG-178 | <0.5 | 0.3  | 2.4  | 16.7 | 1.1  | 0.9  | 1.7  |
| ZG-179 | <0.5 | 0.3  | 1.9  | 15.5 | 1.2  | 0.8  | 1.7  |
| ZG-180 | <0.5 | 0.3  | 2.3  | 16.3 | 1.1  | 0.8  | 1.9  |
| ZG-181 | <0.5 | 0.2  | 2.1  | 12.9 | 1    | 1    | 1.5  |
| ZG-182 | <0.5 | 0.3  | 2.2  | 15.4 | 1    | 0.8  | 1.6  |
| ZG-183 | <0.5 | 0.3  | 1.6  | 15.6 | 1    | 0.7  | 1.5  |
| ZG-184 | <0.5 | 0.2  | 2.2  | 16.4 | 0.8  | 1.6  | 1.4  |
| ZG-185 | <0.5 | 0.2  | 2.3  | 16.1 | 0.9  | 0.9  | 1.4  |
| ZG-186 | <0.5 | 0.2  | 2.4  | 15.6 | 1    | 1.7  | 1.5  |
| ZG-187 | <0.5 | 0.2  | 2.3  | 13.9 | 0.8  | 1.7  | 1.6  |
| ZG-188 | <0.5 | 0.2  | 3.1  | 15.6 | 1    | 1.1  | 1.5  |
| ZG-189 | <0.5 | 0.2  | 2.1  | 15.8 | 0.8  | 1.2  | 1.4  |
| ZG-190 | <0.5 | 0.3  | 2.7  | 16.8 | 0.9  | 1.1  | 1.6  |
| ZG-191 | <0.5 | 0.2  | 3.9  | 20.3 | 1    | 1.3  | 1.6  |
| ZG-192 | <0.5 | 0.3  | 2.8  | 17.2 | 1    | 1.3  | 1.8  |
| ZG-193 | <0.5 | 0.2  | 4.2  | 15.9 | 0.9  | 1.4  | 1.5  |
| ZG-194 | <0.5 | 0.2  | 3.9  | 15   | 0.8  | 1.4  | 1.4  |
| ZG-195 | <0.5 | 0.2  | 8.9  | 16.5 | 1    | 1.5  | 2    |
| ZG-196 | <0.5 | 0.2  | 4.9  | 16.5 | 1    | 1.6  | 1.5  |
| ZG-197 | <0.5 | 0.3  | 2.2  | 16.4 | 0.9  | 1.1  | 1.5  |
| ZG-198 | <0.5 | 0.2  | 2    | 15.4 | 0.8  | 1.4  | 1.4  |
| ZG-199 | <0.5 | 0.2  | 2.1  | 13.6 | 0.9  | 1.7  | 1.5  |
| ZG-200 | <0.5 | 0.2  | 2.2  | 13.3 | 0.7  | 2    | 1.6  |
| ZG-201 | <0.5 | 0.3  | 2.3  | 19.2 | 1    | 1.5  | 2    |
| UNITS  | ppm  | ppm  | ppm  | ppm  | ppm  | ppm  | ppm  |
| DT.LIM | 0.5  | 0.1  | 0.1  | 0.2  | 0.1  | 0.2  | 0.2  |
| SCHEME | IC3M | IC3M | IC3M | IC3M | IC3M | IC3M | IC3M |

**ANALYTICAL REPORT**

| SAMPLE | B     | Bi    | Mo   | Pb   | Sb   | Se   | Sn   |
|--------|-------|-------|------|------|------|------|------|
| ZG-202 | < 0.5 | 0.3   | 2.2  | 16.7 | 1    | 1.5  | 1.9  |
| ZG-203 | < 0.5 | 0.2   | 6.5  | 17.6 | 0.8  | 0.9  | 1.2  |
| ZG-204 | < 0.5 | 0.3   | 2.2  | 17   | 0.9  | 1.9  | 1.9  |
| ZG-205 | < 0.5 | 0.3   | 2.3  | 17   | 1    | 1.9  | 1.7  |
| ZG-206 | < 0.5 | 0.2   | 2.4  | 15   | 0.9  | 1.4  | 1.6  |
| ZG-207 | < 0.5 | 0.2   | 1.8  | 14.1 | 0.8  | 1.8  | 1.4  |
| ZG-208 | < 0.5 | 0.2   | 2.3  | 15.7 | 0.8  | 2    | 1.8  |
| ZG-209 | < 0.5 | 0.3   | 2.6  | 14.5 | 0.9  | 2    | 1.7  |
| ZG-210 | < 0.5 | 0.3   | 2.3  | 17.2 | 1    | 2.2  | 1.9  |
| ZG-211 | < 0.5 | 0.2   | 2.1  | 15.1 | 0.8  | 1.7  | 1.6  |
| ZG-212 | < 0.5 | 0.3   | 2.3  | 17.1 | 1    | 2.2  | 1.9  |
| ZG-213 | < 0.5 | 0.2   | 2.4  | 19.2 | 1    | 2.3  | 2.2  |
| ZG-214 | < 0.5 | 0.3   | 2.1  | 16   | 1    | 2.3  | 1.9  |
| ZG-215 | < 0.5 | 0.2   | 2.3  | 15.4 | 0.8  | 1.8  | 1.8  |
| ZG-216 | < 0.5 | 0.3   | 2.4  | 16   | 1    | 2.6  | 1.9  |
| ZG-217 | < 0.5 | 0.3   | 2.3  | 16.2 | 1    | 2.4  | 2    |
| ZG-218 | < 0.5 | 0.3   | 2.3  | 16.1 | 1    | 2.8  | 2    |
| ZG-219 | < 0.5 | 0.3   | 3.6  | 17   | 0.9  | 2.7  | 2.4  |
| ZG-220 | < 0.5 | 0.4   | 2.3  | 19   | 1    | 2.2  | 2.2  |
| ZG-221 | < 0.5 | 0.2   | 3    | 13.7 | 1.1  | 1.4  | 1.5  |
| ZG-222 | < 0.5 | 0.2   | 2.4  | 12.1 | 1.1  | 1.4  | 1.3  |
| ZG-223 | < 0.5 | 0.2   | 2.3  | 14.5 | 1.2  | 0.9  | 1.5  |
| ZG-224 | < 0.5 | 0.2   | 2.2  | 12.4 | 1    | 0.9  | 1.3  |
| ZG-225 | < 0.5 | 0.2   | 3.7  | 12.1 | 1    | 0.8  | 1.3  |
| ZG-226 | < 0.5 | 0.2   | 4.6  | 14.8 | 1.2  | 0.9  | 1.4  |
| ZG-227 | < 0.5 | 0.2   | 2.2  | 14   | 1.2  | 0.8  | 1.5  |
| ZG-228 | < 0.5 | 0.2   | 2.8  | 15.5 | 1.1  | 1    | 1.6  |
| ZG-229 | < 0.5 | 0.2   | 2.2  | 18.4 | 0.9  | 0.9  | 1.1  |
| ZG-230 | < 0.5 | 0.2   | 2.4  | 14.5 | 1    | 0.9  | 1.3  |
| ZG-231 | < 0.5 | 0.2   | 2.1  | 15.2 | 1.1  | 1    | 1.6  |
| ZG-232 | < 0.5 | 0.2   | 2.5  | 13.6 | 1.1  | 0.9  | 1.4  |
| ZG-233 | < 0.5 | 0.1   | 6.3  | 14.3 | 0.9  | 1.1  | 1.2  |
| ZG-234 | < 0.5 | 0.1   | 10.9 | 10   | 0.9  | 0.8  | 1    |
| ZG-235 | < 0.5 | 0.2   | 8.4  | 14.7 | 1.3  | 1.3  | 1.2  |
| ZG-236 | < 0.5 | < 0.1 | 5.5  | 15.5 | 0.9  | 0.7  | 1.4  |
| ZG-237 | < 0.5 | 0.2   | 5.7  | 13.7 | 0.8  | 0.8  | 1.1  |
| ZG-238 | < 0.5 | 0.2   | 7.1  | 13.7 | 0.9  | 0.8  | 1    |
| ZG-239 | < 0.5 | 0.1   | 2.2  | 14.2 | 0.7  | 1    | 1.2  |
| ZG-240 | < 0.5 | 0.1   | 5.1  | 14.3 | 0.8  | 0.7  | 1.1  |
| ZG-241 | < 0.5 | 0.1   | 4.6  | 14.2 | 0.8  | 0.8  | 1    |
| UNITS  | ppm   | ppm   | ppm  | ppm  | ppm  | ppm  | ppm  |
| DT.LIM | 0.5   | 0.1   | 0.1  | 0.2  | 0.1  | 0.2  | 0.2  |
| SCHEME | IC3M  | IC3M  | IC3M | IC3M | IC3M | IC3M | IC3M |

**ANALYTICAL REPORT**

| SAMPLE | B     | Bi    | Mo   | Pb   | Sb   | Se   | Sn   |
|--------|-------|-------|------|------|------|------|------|
| ZG-242 | < 0.5 | 0.1   | 6.6  | 12.1 | 0.7  | 0.7  | 0.9  |
| ZG-243 | < 0.5 | 0.2   | 10.5 | 16.6 | 1.1  | 1    | 1.2  |
| ZG-244 | < 0.5 | 0.2   | 7    | 15.1 | 1.2  | 1.2  | 1.1  |
| ZG-245 | < 0.5 | 0.1   | 6.8  | 12.1 | 0.6  | 0.8  | 0.7  |
| ZG-246 | < 0.5 | 0.1   | 6.5  | 11.8 | 0.7  | 0.8  | 0.8  |
| ZG-247 | < 0.5 | 0.2   | 8.1  | 16.1 | 1.2  | 1.1  | 1.1  |
| ZG-248 | < 0.5 | 0.3   | 8.2  | 18.5 | 1.5  | 1.3  | 1.1  |
| ZG-249 | < 0.5 | 0.1   | 10.4 | 12.6 | 0.9  | 0.8  | 0.9  |
| ZG-250 | < 0.5 | 0.1   | 6.9  | 12.2 | 0.7  | 0.6  | 0.7  |
| ZG-251 | < 0.5 | 0.1   | 7    | 12.1 | 0.7  | 0.6  | 0.8  |
| ZG-252 | < 0.5 | 0.2   | 7.9  | 13.7 | 0.7  | 1    | 1.1  |
| ZG-253 | < 0.5 | 0.1   | 6.9  | 12.4 | 0.6  | 0.9  | 0.8  |
| ZG-254 | < 0.5 | 0.2   | 8.9  | 12.4 | 0.8  | 0.8  | 1    |
| ZG-255 | < 0.5 | 0.1   | 7    | 12.6 | 0.6  | 0.7  | 0.8  |
| ZG-256 | < 0.5 | 0.1   | 8.8  | 12.4 | 0.9  | 0.9  | 0.9  |
| ZG-257 | < 0.5 | 0.2   | 10.7 | 13.8 | 0.9  | 0.9  | 0.9  |
| ZG-258 | < 0.5 | 0.1   | 9.6  | 11.3 | 0.9  | 0.8  | 0.8  |
| ZG-259 | < 0.5 | 0.2   | 5.1  | 15.3 | 0.6  | 0.6  | 0.7  |
| ZG-260 | < 0.5 | 0.2   | 12.7 | 15.3 | 1.2  | 1    | 1.2  |
| ZG-261 | < 0.5 | 0.2   | 13   | 15   | 1    | 1    | 1.1  |
| ZG-262 | < 0.5 | 0.2   | 15.6 | 15.4 | 1.3  | 0.9  | 1.1  |
| ZG-263 | < 0.5 | 0.2   | 13.4 | 14.9 | 1.1  | 0.9  | 1.1  |
| ZG-264 | < 0.5 | 0.1   | 8.6  | 12.3 | 0.7  | 0.8  | 0.8  |
| ZG-265 | < 0.5 | < 0.1 | 3.9  | 12.4 | 0.6  | 0.7  | 0.9  |
| ZG-266 | < 0.5 | < 0.1 | 4.9  | 13.7 | 0.6  | 0.7  | 0.9  |
| ZG-267 | < 0.5 | < 0.1 | 5.9  | 13   | 0.6  | 0.5  | 0.8  |
| ZG-268 | < 0.5 | < 0.1 | 6    | 13.6 | 0.6  | 0.7  | 0.8  |
| ZG-269 | < 0.5 | < 0.1 | 6.5  | 13   | 0.7  | 0.8  | 0.8  |
| ZG-270 | < 0.5 | < 0.1 | 7.1  | 13.3 | 0.9  | 0.9  | 1    |
| ZG-271 | < 0.5 | < 0.1 | 5.3  | 12.9 | 0.6  | 0.8  | 0.8  |
| ZG-272 | < 0.5 | < 0.1 | 4.4  | 11.8 | 0.6  | 0.8  | 0.8  |
| ZG-273 | < 0.5 | 0.1   | 9.5  | 13.2 | 1.2  | 1.2  | 1.1  |
| ZG-274 | < 0.5 | 0.1   | 10.4 | 14   | 1.2  | 1.3  | 1.2  |
| ZG-275 | < 0.5 | < 0.1 | 7.9  | 17.2 | 1    | 1.1  | 1.4  |
| ZG-276 | < 0.5 | 0.1   | 2    | 16.5 | 1.6  | 0.8  | 1.5  |
| ZG-277 | < 0.5 | 0.2   | 8.2  | 17   | 1.3  | 1.2  | 1.2  |
| ZG-278 | < 0.5 | 0.2   | 6.9  | 17.7 | 1.3  | 1    | 1.4  |
| ZG-279 | < 0.5 | 0.1   | 7.4  | 16.1 | 1.2  | 1    | 1.1  |
| ZG-280 | < 0.5 | 0.1   | 10.8 | 16.9 | 1.3  | 1.2  | 1.3  |
| ZG-281 | < 0.5 | 0.1   | 7.8  | 16.6 | 1.1  | 1    | 1    |
| UNITS  | ppm   | ppm   | ppm  | ppm  | ppm  | ppm  | ppm  |
| DT.LIM | 0.5   | 0.1   | 0.1  | 0.2  | 0.1  | 0.2  | 0.2  |
| SCHEME | IC3M  | IC3M  | IC3M | IC3M | IC3M | IC3M | IC3M |

ANALYTICAL REPORT

| SAMPLE | B    | Bi   | Mo   | Pb   | Sb   | Se   | Sn   |
|--------|------|------|------|------|------|------|------|
| ZG-282 | <0.5 | 0.1  | 9.5  | 15.9 | 1.1  | 1    | 1.2  |
| ZG-283 | <0.5 | 0.1  | 9.1  | 16.9 | 1.3  | 1.1  | 1.1  |
| ZG-284 | <0.5 | <0.1 | 5.8  | 13.5 | 0.8  | 0.8  | 0.7  |
| ZG-285 | <0.5 | <0.1 | 10.8 | 15   | 0.7  | 0.7  | 1.1  |
| ZG-286 | <0.5 | <0.1 | 6.9  | 13.6 | 0.8  | 0.8  | 0.9  |
| ZG-287 | <0.5 | <0.1 | 4.9  | 13.1 | 0.6  | 0.6  | 0.8  |
| ZG-288 | <0.5 | <0.1 | 4.4  | 11.8 | 0.5  | 0.7  | 0.6  |
| ZG-289 | <0.5 | 0.1  | 11.9 | 17   | 0.9  | 1.2  | 1.1  |
| ZG-290 | <0.5 | <0.1 | 6.8  | 13.6 | 0.8  | 0.9  | 1.2  |
| ZG-291 | <0.5 | <0.1 | 6.3  | 15.7 | 0.7  | 1    | 1    |
| ZG-292 | <0.5 | <0.1 | 5.4  | 12.2 | 0.6  | 0.8  | 0.8  |
| ZG-293 | <0.5 | 0.1  | 3    | 14.7 | 0.9  | 1.1  | 1    |
| ZG-294 | <0.5 | <0.1 | 3.3  | 9.7  | 0.8  | 1    | 0.5  |
| ZG-295 | <0.5 | 0.1  | 6.6  | 19.1 | 1.1  | 0.9  | 1.3  |
| ZG-296 | <0.5 | 0.2  | 7.1  | 19.6 | 1.4  | 1.3  | 1.4  |
| ZG-297 | <0.5 | 0.2  | 5.4  | 18.3 | 1.2  | 1.2  | 1.3  |
| ZG-298 | <0.5 | 0.2  | 8.3  | 19.4 | 1.6  | 1    | 1.5  |
| ZG-299 | <0.5 | 0.1  | 6.5  | 16.7 | 1    | 1    | 1.3  |
| ZG-300 | <0.5 | 0.1  | 4.2  | 15.4 | 1    | 1.2  | 1.1  |
| ZG-301 | <0.5 | 0.2  | 18.8 | 17.3 | 1.9  | 1.6  | 1.5  |
| ZG-302 | <0.5 | <0.1 | 5.1  | 12.5 | 0.8  | 1.4  | 0.8  |
| ZG-303 | <0.5 | 0.2  | 13.8 | 21.5 | 1.3  | 1.1  | 1.1  |
| ZG-304 | <0.5 | 0.2  | 12   | 18.8 | 1.3  | 1.9  | 1.5  |
| ZG-305 | <0.5 | 0.1  | 7.4  | 20.1 | 1.3  | 0.9  | 1.2  |
| ZG-306 | <0.5 | 0.1  | 6.8  | 19   | 1.2  | 0.8  | 1.2  |
| ZG-307 | <0.5 | 0.1  | 6.1  | 17.5 | 1    | 1    | 1.1  |
| ZG-308 | <0.5 | <0.1 | 4.8  | 17.9 | 0.8  | 0.8  | 1    |
| ZG-309 | <0.5 | <0.1 | 5.1  | 15.5 | 1    | 0.9  | 1.9  |
| ZG-310 | <0.5 | 0.3  | 19   | 16.6 | 2    | 1.6  | 2    |
| ZG-311 | <0.5 | 0.2  | 5.4  | 17.3 | 1.3  | 1    | 1.8  |
| ZG-312 | <0.5 | 0.3  | 8.9  | 20.3 | 1.4  | 1.2  | 1.8  |
| ZG-313 | <0.5 | 0.2  | 5.9  | 16.5 | 1    | 1.2  | 1.6  |
| ZG-314 | <0.5 | 0.3  | 12.3 | 17.2 | 1.5  | 1.4  | 1.6  |
| ZG-315 | <0.5 | 0.2  | 6.1  | 15.7 | 1.1  | 1    | 1.8  |
| ZG-316 | <0.5 | 0.2  | 7.5  | 18.8 | 1.4  | 1.2  | 2.1  |
| ZG-317 | <0.5 | 0.2  | 5.3  | 16.5 | 1.1  | 0.8  | 1.7  |
| ZG-318 | <0.5 | 0.2  | 8.6  | 14.8 | 1.4  | 1    | 1.5  |
| ZG-319 | <0.5 | 0.3  | 8.6  | 18.6 | 1.4  | 1.3  | 2    |
| ZG-320 | <0.5 | 0.3  | 7.4  | 20   | 1.4  | 0.9  | 1.9  |
| ZG-321 | <0.5 | 0.4  | 7.5  | 21   | 1.5  | 1.2  | 2.1  |
| UNITS  | ppm  | ppm  | ppm  | ppm  | ppm  | ppm  | ppm  |
| DT.LIM | 0.5  | 0.1  | 0.1  | 0.2  | 0.1  | 0.2  | 0.2  |
| SCHEME | IC3M | IC3M | IC3M | IC3M | IC3M | IC3M | IC3M |

**ANALYTICAL REPORT**

| SAMPLE | B    | Bi   | Mo   | Pb   | Sb   | Se   | Sn   |
|--------|------|------|------|------|------|------|------|
| ZG-322 | <0.5 | 0.3  | 8.8  | 18.2 | 1.3  | 1.4  | 1.7  |
| ZG-323 | <0.5 | 0.2  | 5    | 16.4 | 1    | 0.9  | 2.4  |
| ZG-324 | <0.5 | 0.2  | 6.2  | 15   | 1    | 0.9  | 1.6  |
| ZG-326 | <0.5 | 0.3  | 8.5  | 14.6 | 1.5  | 1.3  | 1.7  |
| ZG-327 | <0.5 | 0.3  | 6.3  | 18   | 1.4  | 1.3  | 1.7  |
| ZG-328 | <0.5 | 0.2  | 9.4  | 17   | 1.4  | 1.2  | 1.6  |
| ZG-329 | <0.5 | 0.3  | 12.1 | 17.6 | 1.4  | 1.9  | 1.6  |
| ZG-330 | <0.5 | 0.2  | 8.1  | 14   | 1.2  | 1.6  | 1.4  |
| ZG-331 | <0.5 | 0.2  | 5.2  | 16.7 | 1    | 0.8  | 1.7  |
| ZG-332 | <0.5 | 0.3  | 13.3 | 16.6 | 1.5  | 1.6  | 2.3  |
| ZG-333 | <0.5 | 0.3  | 9.1  | 20.2 | 1.3  | 1.3  | 1.9  |
| ZG-334 | <0.5 | 0.3  | 6.5  | 18.8 | 1.2  | 2    | 1.9  |
| ZG-335 | <0.5 | 0.3  | 14   | 22.3 | 1.8  | 1.8  | 1.9  |
| ZG-336 | <0.5 | 0.1  | 4.7  | 15.8 | 0.9  | 1.1  | 2.1  |
| ZG-337 | <0.5 | 0.2  | 5    | 20.4 | 1.2  | 1.2  | 1.5  |
| ZG-338 | <0.5 | 0.2  | 5.6  | 15   | 1    | 1.5  | 1.7  |
| ZG-339 | <0.5 | 0.2  | 8.1  | 17.3 | 1.2  | 1.1  | 1.6  |
| ZG-340 | <0.5 | 0.3  | 1.4  | 15.8 | 1    | 0.9  | 1.7  |
| ZG-341 | <0.5 | 0.2  | 4.6  | 16.7 | 1    | 0.9  | 1.6  |
| ZG-342 | <0.5 | 0.3  | 5.1  | 20.8 | 1.3  | 1.3  | 1.8  |
| ZG-343 | <0.5 | 0.2  | 4.9  | 16.3 | 1.2  | 1.3  | 1.6  |
| ZG-344 | <0.5 | 0.2  | 6.7  | 16.5 | 0.9  | 1    | 1.5  |
| ZG-345 | <0.5 | 0.2  | 7.1  | 15.9 | 1.3  | 1.3  | 1.6  |
| ZG-346 | <0.5 | 0.2  | 5.9  | 16.7 | 1.2  | 1.1  | 1.8  |
| ZG-347 | <0.5 | 0.2  | 5    | 14.8 | 0.9  | 0.9  | 1.7  |
| ZG-348 | <0.5 | 0.2  | 4    | 15.6 | 1.1  | 1.4  | 2.5  |
| ZG-349 | <0.5 | 0.3  | 3.2  | 16.5 | 1.2  | 1    | 1.7  |
| ZG-350 | <0.5 | 0.1  | 9.2  | 15.9 | 1.3  | 1.2  | 1.6  |
| ZG-351 | <0.5 | 0.2  | 8.4  | 15.2 | 1.2  | 1.4  | 1.5  |
| ZG-352 | <0.5 | 0.2  | 4.6  | 14.4 | 0.9  | 1.1  | 1.6  |
| ZG-353 | <0.5 | 0.1  | 13.2 | 17   | 1.7  | 1    | 2.1  |
| ZG-354 | <0.5 | 0.1  | 8.6  | 19.3 | 1.3  | 1.2  | 2.1  |
| ZG-355 | <0.5 | <0.1 | 6.8  | 16.6 | 1.1  | 1.1  | 2    |
| ZG-356 | <0.5 | <0.1 | 6.7  | 16.1 | 0.9  | 0.8  | 1.7  |
| ZG-357 | <0.5 | <0.1 | 6.9  | 17.5 | 1    | 0.6  | 1.6  |
| ZG-358 | <0.5 | 0.2  | 11.3 | 19.4 | 1.3  | 0.9  | 2    |
| ZG-359 | <0.5 | 0.1  | 12   | 18.1 | 1.3  | 1.2  | 1.8  |
| ZG-360 | <0.5 | <0.1 | 9.8  | 17.5 | 0.8  | 1.5  | 1.6  |
| ZG-361 | <0.5 | <0.1 | 15.4 | 16.5 | 1    | 1    | 1.5  |
| ZG-362 | <0.5 | <0.1 | 7.7  | 20   | 0.9  | 1    | 1.9  |
| UNITS  | ppm  | ppm  | ppm  | ppm  | ppm  | ppm  | ppm  |
| DT.LIM | 0.5  | 0.1  | 0.1  | 0.2  | 0.1  | 0.2  | 0.2  |
| SCHEME | IC3M | IC3M | IC3M | IC3M | IC3M | IC3M | IC3M |

**ANALYTICAL REPORT**

| SAMPLE | B    | Bi   | Mo   | Pb   | Sb   | Se   | Sn   |
|--------|------|------|------|------|------|------|------|
| ZG-363 | <0.5 | <0.1 | 5.4  | 18.6 | 0.9  | 0.8  | 1.9  |
| ZG-364 | <0.5 | 0.2  | 2.2  | 18.5 | 1.1  | 1.2  | 2.1  |
| ZG-365 | <0.5 | 0.1  | 7.5  | 17.5 | 1.1  | 1    | 1.7  |
| ZG-366 | <0.5 | <0.1 | 6.4  | 18   | 1    | 1    | 1.8  |
| ZG-367 | <0.5 | 0.1  | 6.6  | 20   | 1.3  | 0.9  | 1.8  |
| ZG-368 | <0.5 | 0.1  | 10.5 | 19.7 | 1.2  | 1    | 1.9  |
| ZG-369 | <0.5 | <0.1 | 10.4 | 20.1 | 1.2  | 1    | 1.8  |
| ZG-370 | <0.5 | 0.1  | 10.2 | 18.7 | 1.1  | 1.1  | 2    |
| ZG-371 | <0.5 | 0.1  | 15   | 21.5 | 1.2  | 1.2  | 2.3  |
| ZG-372 | <0.5 | <0.1 | 8.9  | 18.4 | 0.9  | 0.9  | 1.6  |
| ZG-373 | <0.5 | 0.2  | 7.3  | 18.1 | 0.9  | 1.3  | 1.5  |
| ZG-374 | <0.5 | 0.1  | 4.5  | 20.9 | 1    | 1.1  | 1.7  |
| ZG-375 | <0.5 | <0.1 | 9.4  | 21   | 1.2  | 0.9  | 1.8  |
| ZG-376 | <0.5 | <0.1 | 5.8  | 17.2 | 0.9  | 0.6  | 1.6  |
| ZG-377 | <0.5 | 0.1  | 6    | 21   | 1.2  | 0.8  | 1.5  |
| ZG-378 | <0.5 | 0.1  | 5.3  | 20.7 | 1.2  | 0.9  | 1.9  |
| ZG-379 | <0.5 | 0.1  | 9.5  | 20.5 | 1.3  | 1    | 1.9  |
| ZG-380 | <0.5 | 0.1  | 6.4  | 20.1 | 1.2  | 0.8  | 1.8  |
| ZG-381 | <0.5 | 0.1  | 9.2  | 20.7 | 1.5  | 1.1  | 2.1  |
| ZG-382 | <0.5 | <0.1 | 8.8  | 16.7 | 0.8  | 1.1  | 1.8  |
| ZG-383 | <0.5 | <0.1 | 5.4  | 19.7 | 0.7  | 0.8  | 1.8  |
| ZG-384 | <0.5 | <0.1 | 5.6  | 21.3 | 0.8  | 0.8  | 1.5  |
| ZG-385 | <0.5 | <0.1 | 5.3  | 20.8 | 0.8  | 0.9  | 1.6  |
| ZG-386 | <0.5 | <0.1 | 4.3  | 16.7 | 0.9  | 0.7  | 1.8  |
| ZG-387 | <0.5 | <0.1 | 3.7  | 16.7 | 0.8  | 0.7  | 1.6  |
| ZG-388 | <0.5 | <0.1 | 5.4  | 44.6 | 0.8  | 0.8  | 1.7  |
| ZG-389 | <0.5 | 0.1  | 4.6  | 21.5 | 1.1  | 0.6  | 1.9  |
| ZG-390 | <0.5 | 0.1  | 5.3  | 20.1 | 1.2  | 0.9  | 1.9  |
| ZG-391 | <0.5 | <0.1 | 7    | 20.2 | 1.3  | 0.8  | 2.1  |
| ZG-392 | <0.5 | 0.1  | 9.5  | 18.6 | 1.4  | 0.8  | 1.8  |
| ZG-393 | <0.5 | <0.1 | 6.9  | 19.1 | 1.1  | 0.8  | 1.7  |
| ZG-394 | <0.5 | <0.1 | 5    | 21.9 | 1.2  | 0.9  | 1.8  |
| ZG-395 | <0.5 | 0.2  | 2.5  | 17.1 | 1.1  | 0.7  | 1.8  |
| ZG-396 | <0.5 | 0.1  | 6.1  | 21.7 | 1.2  | 1.2  | 3.3  |
| ZG-397 | <0.5 | 0.2  | 2.3  | 11.9 | 1.7  | 1.1  | 1.3  |
| ZG-398 | <0.5 | 0.2  | 12.1 | 20.1 | 1.3  | 1.3  | 1.8  |
| ZG-399 | <0.5 | 0.2  | 11.8 | 21.3 | 1.3  | 0.9  | 1.9  |
| ZG-400 | <0.5 | 0.1  | 4.2  | 13.1 | 0.6  | 0.6  | 1.1  |
| ZG-401 | <0.5 | 0.2  | 7.7  | 23.4 | 1.1  | 1.2  | 5    |
| ZG-402 | <0.5 | 0.1  | 4.1  | 16.2 | 0.8  | 0.6  | 1.6  |
| UNITS  | ppm  | ppm  | ppm  | ppm  | ppm  | ppm  | ppm  |
| DT.LIM | 0.5  | 0.1  | 0.1  | 0.2  | 0.1  | 0.2  | 0.2  |
| SCHEME | IC3M | IC3M | IC3M | IC3M | IC3M | IC3M | IC3M |

**ANALYTICAL REPORT**

| SAMPLE  | B    | Bi  | Mo   | Pb   | Sb  | Se  | Sn  |
|---------|------|-----|------|------|-----|-----|-----|
| ZG-403  | <0.5 | 0.2 | 6.3  | 19.7 | 1.1 | 0.8 | 1.9 |
| ZG-404  | <0.5 | 0.2 | 4.6  | 17.3 | 1.3 | 0.6 | 1.4 |
| ZG-405  | <0.5 | 0.1 | 4.5  | 16.6 | 1   | 0.5 | 1.4 |
| ZG-406  | <0.5 | 0.2 | 9.2  | 19.2 | 1.7 | 0.7 | 1.7 |
| ZG-501  | <0.5 | 0.1 | 6.3  | 14.3 | 1.2 | 0.7 | 1.3 |
| ZG-502  | <0.5 | 0.2 | 1.9  | 16.9 | 1   | 0.8 | 1.9 |
| ZG-503  | <0.5 | 0.2 | 3.3  | 13.9 | 1.1 | 1   | 1.3 |
| ZG-504  | <0.5 | 0.1 | 2.2  | 17.3 | 0.9 | 0.7 | 1.3 |
| ZG-505  | <0.5 | 0.3 | 2.4  | 17.4 | 1.2 | 1.4 | 1.8 |
| ZG-506  | <0.5 | 0.3 | 1.9  | 16.1 | 1.2 | 1.2 | 2   |
| ZG-507  | <0.5 | 0.3 | 1.9  | 17.1 | 1   | 0.9 | 1.7 |
| ZG-508  | <0.5 | 0.3 | 1.7  | 17.9 | 1.1 | 1   | 1.8 |
| ZG-509  | <0.5 | 0.3 | 1.5  | 17.3 | 1.1 | 0.9 | 1.8 |
| ZG-510  | <0.5 | 0.2 | 2.2  | 15.3 | 1   | 1   | 1.8 |
| ZG-511  | <0.5 | 0.3 | 3.3  | 17.8 | 1.1 | 0.9 | 1.8 |
| ZG-512  | <0.5 | 0.1 | 5.5  | 13.5 | 0.8 | 0.6 | 1.1 |
| ZG-513  | <0.5 | 0.1 | 9.5  | 17   | 1.3 | 0.8 | 1.5 |
| ZG-514  | <0.5 | 0.2 | 13.4 | 22.7 | 1.4 | 2.1 | 1.6 |
| ZG-515  | <0.5 | 0.2 | 6.8  | 15.2 | 0.9 | 0.8 | 1.1 |
| ZG-335A | <0.5 | 0.3 | 16   | 25.2 | 1.9 | 1.4 | 1.8 |

| UNITS  | ppm  | ppm  | ppm  | ppm  | ppm  | ppm  | ppm  |
|--------|------|------|------|------|------|------|------|
| DT.LIM | 0.5  | 0.1  | 0.1  | 0.2  | 0.1  | 0.2  | 0.2  |
| SCHEME | IC3M | IC3M | IC3M | IC3M | IC3M | IC3M | IC3M |

ANALYTICAL REPORT

| SAMPLE | W    |
|--------|------|
| ZG-1   | 2    |
| ZG-2   | 2.2  |
| ZG-3   | 2    |
| ZG-4   | 2.1  |
| ZG-5   | 2    |
| ZG-6   | 1.9  |
| ZG-7   | 2.9  |
| ZG-8   | 2    |
| ZG-9   | 2.3  |
| ZG-10  | 2.2  |
| ZG-11  | 2    |
| ZG-12  | 2.2  |
| ZG-13  | 2.1  |
| ZG-14  | 2.2  |
| ZG-15  | 2.2  |
| ZG-16  | 2.1  |
| ZG-18  | 2.4  |
| ZG-19  | 2.1  |
| ZG-20  | 2.2  |
| ZG-21  | 3.1  |
| ZG-22  | 2.4  |
| ZG-23  | 2.9  |
| ZG-24  | 3.5  |
| ZG-25  | 3.8  |
| ZG-26  | 3.1  |
| ZG-27  | 3.3  |
| ZG-28  | 2.9  |
| ZG-29  | 3    |
| ZG-30  | 2.5  |
| ZG-31  | 2.4  |
| ZG-32  | 2.3  |
| ZG-33  | 2.4  |
| ZG-34  | 2.4  |
| ZG-35  | 2.9  |
| ZG-36  | 3.4  |
| ZG-37  | 3.1  |
| ZG-38  | 2.8  |
| ZG-39  | 2.9  |
| ZG-40  | 3    |
| ZG-41  | 2.9  |
| UNITS  | ppm  |
| DT.LIM | 0.1  |
| SCHEME | IC3M |

**ANALYTICAL REPORT**

| SAMPLE | W    |
|--------|------|
| ZG-42  | 2.6  |
| ZG-43  | 3    |
| ZG-44  | 2.8  |
| ZG-45  | 1.6  |
| ZG-46  | 3.2  |
| ZG-47  | 3.1  |
| ZG-48  | 3.2  |
| ZG-49  | 3.1  |
| ZG-50  | 3.2  |
| ZG-51  | 2.9  |
| ZG-52  | 3    |
| ZG-53  | 2.6  |
| ZG-54  | 3    |
| ZG-55  | 2.7  |
| ZG-56  | 2.7  |
| ZG-57  | 2.5  |
| ZG-58  | 3.2  |
| ZG-59  | 2.4  |
| ZG-60  | 3.3  |
| ZG-61  | 2.5  |
| ZG-62  | 2.5  |
| ZG-63  | 2.3  |
| ZG-64  | 2    |
| ZG-65  | 1.6  |
| ZG-66  | 1.7  |
| ZG-67  | 2.3  |
| ZG-68  | 1.8  |
| ZG-69  | 1.7  |
| ZG-70  | 2.5  |
| ZG-71  | 1.7  |
| ZG-72  | 2.5  |
| ZG-73  | 1.7  |
| ZG-74  | 1.8  |
| ZG-75  | 2.4  |
| ZG-76  | 1.9  |
| ZG-77  | 2.2  |
| ZG-78  | 2.4  |
| ZG-79  | 2.2  |
| ZG-80  | 2.1  |
| ZG-81  | 2.3  |
| UNITS  | ppm  |
| DT.LIM | 0.1  |
| SCHEME | IC3M |

**ANALYTICAL REPORT**

| SAMPLE | W    |
|--------|------|
| ZG-82  | 2.3  |
| ZG-83  | 2.3  |
| ZG-84  | 2.4  |
| ZG-85  | 2.3  |
| ZG-86  | 2.7  |
| ZG-87  | 2.6  |
| ZG-88  | 2.6  |
| ZG-89  | 2.7  |
| ZG-90  | 2.3  |
| ZG-91  | 2.2  |
| ZG-92  | 1.9  |
| ZG-93  | 2.4  |
| ZG-94  | 2    |
| ZG-95  | 2.2  |
| ZG-96  | 2.1  |
| ZG-97  | 1.5  |
| ZG-98  | 2.2  |
| ZG-99  | 2.3  |
| ZG-100 | 2.3  |
| ZG-101 | 2.4  |
| ZG-102 | 2.3  |
| ZG-103 | 2    |
| ZG-104 | 2.1  |
| ZG-105 | 2.2  |
| ZG-106 | 2.4  |
| ZG-107 | 2.4  |
| ZG-108 | 2.5  |
| ZG-109 | 2.2  |
| ZG-110 | 1.6  |
| ZG-111 | 2.2  |
| ZG-112 | 2.1  |
| ZG-113 | 2.1  |
| ZG-114 | 2.2  |
| ZG-115 | 2.5  |
| ZG-116 | 2.3  |
| ZG-117 | 2.6  |
| ZG-118 | 2.7  |
| ZG-119 | 2.2  |
| ZG-120 | 2.4  |
| ZG-121 | 2.1  |
| UNITS  | ppm  |
| DT.LIM | 0.1  |
| SCHEME | IC3M |

**ANALYTICAL REPORT**

| SAMPLE | W   |
|--------|-----|
| ZG-122 | 2.3 |
| ZG-123 | 1.8 |
| ZG-124 | 2.2 |
| ZG-125 | 2.5 |
| ZG-126 | 2.5 |
| ZG-127 | 2.1 |
| ZG-128 | 2.3 |
| ZG-129 | 2.2 |
| ZG-130 | 2.4 |
| ZG-131 | 2.4 |
| ZG-132 | 2.4 |
| ZG-133 | 2.1 |
| ZG-134 | 2.4 |
| ZG-135 | 2.2 |
| ZG-136 | 2.2 |
| ZG-137 | 1.9 |
| ZG-138 | 2.2 |
| ZG-139 | 2.9 |
| ZG-140 | 2.2 |
| ZG-141 | 2   |
| ZG-142 | 2.1 |
| ZG-143 | 2.2 |
| ZG-144 | 2.1 |
| ZG-145 | 2.3 |
| ZG-146 | 2   |
| ZG-147 | 2   |
| ZG-148 | 2.1 |
| ZG-149 | 2.5 |
| ZG-150 | 2.1 |
| ZG-151 | 2.2 |
| ZG-152 | 2.3 |
| ZG-153 | 2.2 |
| ZG-154 | 2.1 |
| ZG-155 | 2.2 |
| ZG-156 | 2.2 |
| ZG-157 | 1.9 |
| ZG-158 | 2.2 |
| ZG-159 | 2.3 |
| ZG-160 | 2.3 |
| ZG-161 | 2.3 |

UNITS                    ppm  
DT.LIM                0.1  
SCHEME                IC3M

**ANALYTICAL REPORT**

| SAMPLE | W    |
|--------|------|
| ZG-162 | 2.2  |
| ZG-163 | 2.2  |
| ZG-164 | 2.2  |
| ZG-165 | 2.3  |
| ZG-166 | 2.3  |
| ZG-167 | 2.2  |
| ZG-168 | 2.4  |
| ZG-169 | 2.2  |
| ZG-170 | 2.1  |
| ZG-171 | 2.1  |
| ZG-172 | 2.2  |
| ZG-173 | 2    |
| ZG-174 | 2.2  |
| ZG-175 | 2.1  |
| ZG-176 | 2    |
| ZG-177 | 1.9  |
| ZG-178 | 2.2  |
| ZG-179 | 2.2  |
| ZG-180 | 2.3  |
| ZG-181 | 2.1  |
| ZG-182 | 2.4  |
| ZG-183 | 2.1  |
| ZG-184 | 2.2  |
| ZG-185 | 2.1  |
| ZG-186 | 2.4  |
| ZG-187 | 1.7  |
| ZG-188 | 2    |
| ZG-189 | 2.1  |
| ZG-190 | 2.2  |
| ZG-191 | 2    |
| ZG-192 | 2.4  |
| ZG-193 | 2.2  |
| ZG-194 | 1.9  |
| ZG-195 | 1.8  |
| ZG-196 | 1.9  |
| ZG-197 | 2    |
| ZG-198 | 2.1  |
| ZG-199 | 1.8  |
| ZG-200 | 1.7  |
| ZG-201 | 2.6  |
| UNITS  | ppm  |
| DT.LIM | 0.1  |
| SCHEME | IC3M |

**ANALYTICAL REPORT**

| SAMPLE | W    |
|--------|------|
| ZG-202 | 2.2  |
| ZG-203 | 2.3  |
| ZG-204 | 2.3  |
| ZG-205 | 2.2  |
| ZG-206 | 2.1  |
| ZG-207 | 1.9  |
| ZG-208 | 1.9  |
| ZG-209 | 2    |
| ZG-210 | 2.2  |
| ZG-211 | 2    |
| ZG-212 | 2    |
| ZG-213 | 2.4  |
| ZG-214 | 2.2  |
| ZG-215 | 2.1  |
| ZG-216 | 2.1  |
| ZG-217 | 2.1  |
| ZG-218 | 2.2  |
| ZG-219 | 2    |
| ZG-220 | 2.5  |
| ZG-221 | 2.2  |
| ZG-222 | 2.1  |
| ZG-223 | 2.3  |
| ZG-224 | 2.1  |
| ZG-225 | 2    |
| ZG-226 | 2.3  |
| ZG-227 | 2.4  |
| ZG-228 | 2.4  |
| ZG-229 | 2    |
| ZG-230 | 2.2  |
| ZG-231 | 2.4  |
| ZG-232 | 2.3  |
| ZG-233 | 2.2  |
| ZG-234 | 1.6  |
| ZG-235 | 1.9  |
| ZG-236 | 2.8  |
| ZG-237 | 1.9  |
| ZG-238 | 2.1  |
| ZG-239 | 2.3  |
| ZG-240 | 1.9  |
| ZG-241 | 1.9  |
| UNITS  | ppm  |
| DT.LIM | 0.1  |
| SCHEME | IC3M |

ANALYTICAL REPORT

| SAMPLE | W    |
|--------|------|
| ZG-242 | 1.5  |
| ZG-243 | 1.9  |
| ZG-244 | 1.8  |
| ZG-245 | 1.5  |
| ZG-246 | 1.7  |
| ZG-247 | 2.1  |
| ZG-248 | 2.1  |
| ZG-249 | 1.7  |
| ZG-250 | 1.6  |
| ZG-251 | 1.7  |
| ZG-252 | 1.8  |
| ZG-253 | 1.5  |
| ZG-254 | 1.7  |
| ZG-255 | 1.4  |
| ZG-256 | 1.8  |
| ZG-257 | 1.8  |
| ZG-258 | 1.7  |
| ZG-259 | 1.6  |
| ZG-260 | 2    |
| ZG-261 | 2.1  |
| ZG-262 | 2.1  |
| ZG-263 | 1.9  |
| ZG-264 | 1.7  |
| ZG-265 | 1.5  |
| ZG-266 | 1.6  |
| ZG-267 | 1.7  |
| ZG-268 | 1.6  |
| ZG-269 | 1.6  |
| ZG-270 | 1.8  |
| ZG-271 | 1.5  |
| ZG-272 | 1.4  |
| ZG-273 | 1.9  |
| ZG-274 | 2    |
| ZG-275 | 2.3  |
| ZG-276 | 2.7  |
| ZG-277 | 2    |
| ZG-278 | 2.1  |
| ZG-279 | 2.9  |
| ZG-280 | 2.2  |
| ZG-281 | 2.3  |
| UNITS  | ppm  |
| DT.LIM | 0.1  |
| SCHEME | IC3M |

**ANALYTICAL REPORT**

| SAMPLE | W    |
|--------|------|
| ZG-282 | 2.2  |
| ZG-283 | 1.9  |
| ZG-284 | 1.8  |
| ZG-285 | 2.1  |
| ZG-286 | 1.8  |
| ZG-287 | 1.5  |
| ZG-288 | 1.3  |
| ZG-289 | 2.2  |
| ZG-290 | 2    |
| ZG-291 | 1.8  |
| ZG-292 | 1.6  |
| ZG-293 | 1.5  |
| ZG-294 | 1.1  |
| ZG-295 | 2.5  |
| ZG-296 | 2.1  |
| ZG-297 | 2.4  |
| ZG-298 | 2.2  |
| ZG-299 | 2    |
| ZG-300 | 2    |
| ZG-301 | 2    |
| ZG-302 | 1.7  |
| ZG-303 | 2.1  |
| ZG-304 | 2.2  |
| ZG-305 | 2.2  |
| ZG-306 | 2    |
| ZG-307 | 2.3  |
| ZG-308 | 2    |
| ZG-309 | 2    |
| ZG-310 | 2.2  |
| ZG-311 | 2.6  |
| ZG-312 | 2.4  |
| ZG-313 | 1.9  |
| ZG-314 | 1.9  |
| ZG-315 | 2.3  |
| ZG-316 | 2.7  |
| ZG-317 | 3    |
| ZG-318 | 2.7  |
| ZG-319 | 2.3  |
| ZG-320 | 2    |
| ZG-321 | 2.3  |
| UNITS  | ppm  |
| DT.LIM | 0.1  |
| SCHEME | IC3M |

**ANALYTICAL REPORT**

| SAMPLE | W   |
|--------|-----|
| ZG-322 | 2.1 |
| ZG-323 | 3.1 |
| ZG-324 | 2.3 |
| ZG-326 | 2.9 |
| ZG-327 | 2.7 |
| ZG-328 | 3.1 |
| ZG-329 | 2.4 |
| ZG-330 | 2.8 |
| ZG-331 | 2.8 |
| ZG-332 | 2.2 |
| ZG-333 | 2.5 |
| ZG-334 | 2.6 |
| ZG-335 | 2.4 |
| ZG-336 | 2.6 |
| ZG-337 | 2.7 |
| ZG-338 | 2.4 |
| ZG-339 | 2.6 |
| ZG-340 | 1.6 |
| ZG-341 | 3   |
| ZG-342 | 2.8 |
| ZG-343 | 3.2 |
| ZG-344 | 2.3 |
| ZG-345 | 3.2 |
| ZG-346 | 2.5 |
| ZG-347 | 2.8 |
| ZG-348 | 2.6 |
| ZG-349 | 3.8 |
| ZG-350 | 2.8 |
| ZG-351 | 3.1 |
| ZG-352 | 3.1 |
| ZG-353 | 2.7 |
| ZG-354 | 2.8 |
| ZG-355 | 2.4 |
| ZG-356 | 2.2 |
| ZG-357 | 2.3 |
| ZG-358 | 2.5 |
| ZG-359 | 2.6 |
| ZG-360 | 1.7 |
| ZG-361 | 2.7 |
| ZG-362 | 2.3 |

UNITS                    ppm  
DT.LIM                0.1  
SCHEME                IC3M

**ANALYTICAL REPORT**

| SAMPLE | W    |
|--------|------|
| ZG-363 | 2.6  |
| ZG-364 | 2    |
| ZG-365 | 2.9  |
| ZG-366 | 2.9  |
| ZG-367 | 2.8  |
| ZG-368 | 3    |
| ZG-369 | 3.2  |
| ZG-370 | 2.8  |
| ZG-371 | 2.5  |
| ZG-372 | 2.2  |
| ZG-373 | 2.7  |
| ZG-374 | 3.1  |
| ZG-375 | 2.8  |
| ZG-376 | 2.8  |
| ZG-377 | 3.2  |
| ZG-378 | 3    |
| ZG-379 | 2.8  |
| ZG-380 | 2.8  |
| ZG-381 | 2.9  |
| ZG-382 | 1.8  |
| ZG-383 | 2.5  |
| ZG-384 | 2.3  |
| ZG-385 | 2.4  |
| ZG-386 | 2.7  |
| ZG-387 | 2.8  |
| ZG-388 | 3    |
| ZG-389 | 3    |
| ZG-390 | 2.5  |
| ZG-391 | 2.8  |
| ZG-392 | 2.9  |
| ZG-393 | 3.2  |
| ZG-394 | 2.8  |
| ZG-395 | 1.9  |
| ZG-396 | 2.7  |
| ZG-397 | 1.8  |
| ZG-398 | 2.5  |
| ZG-399 | 2.3  |
| ZG-400 | 1.3  |
| ZG-401 | 2.1  |
| ZG-402 | 2    |
| UNITS  | ppm  |
| DT.LIM | 0.1  |
| SCHEME | IC3M |

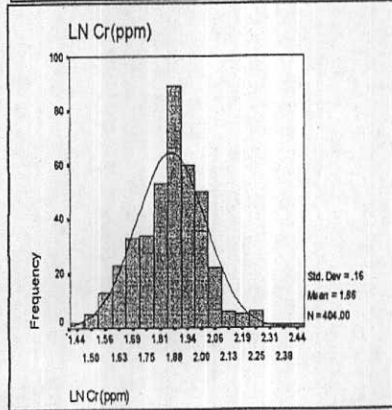
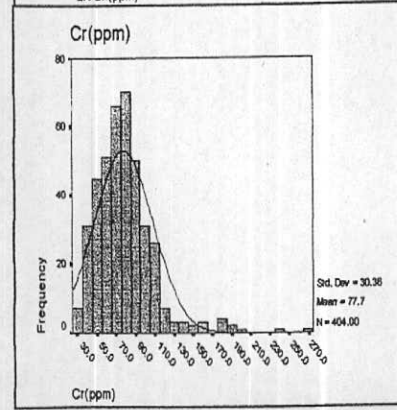
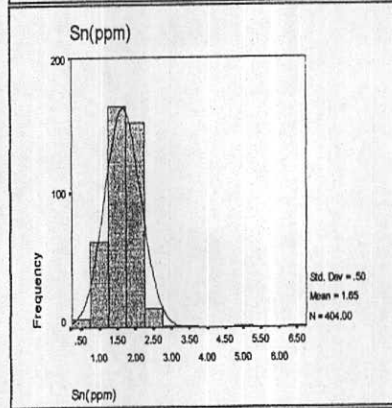
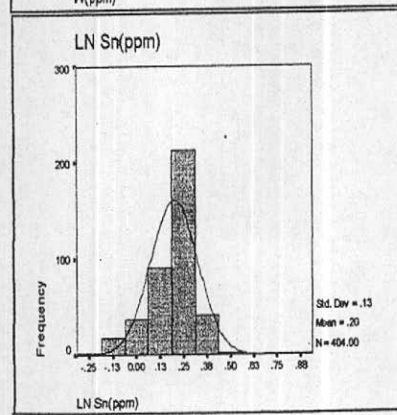
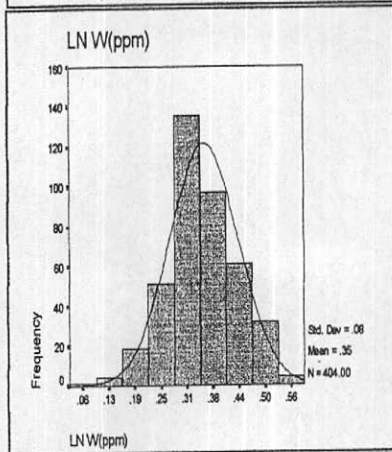
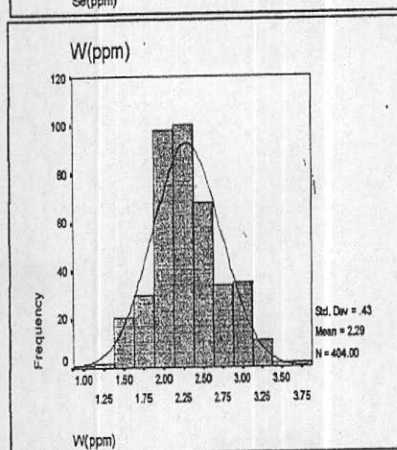
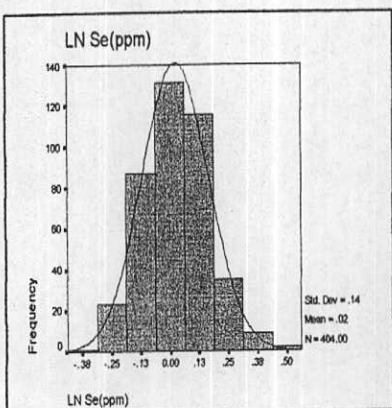
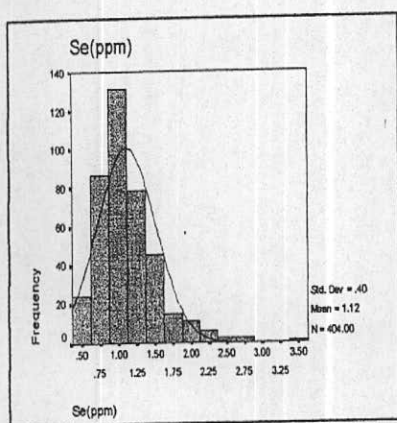
**ANALYTICAL REPORT**

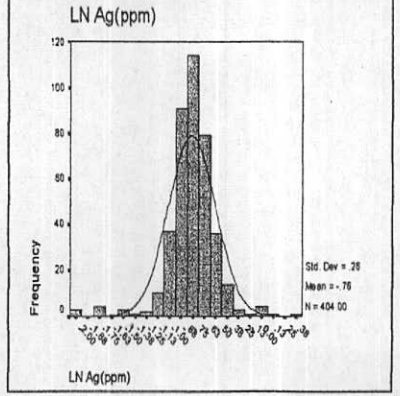
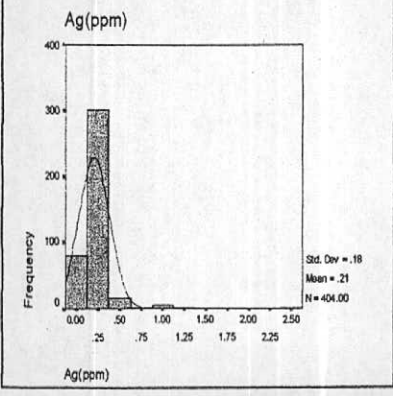
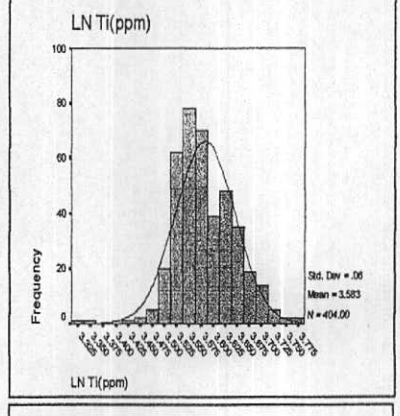
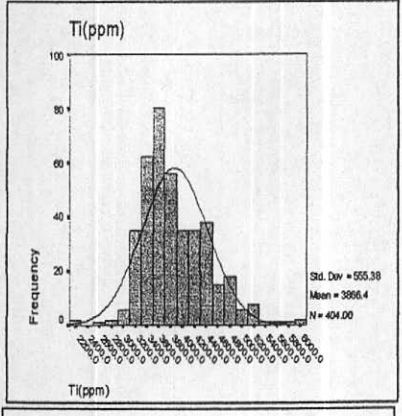
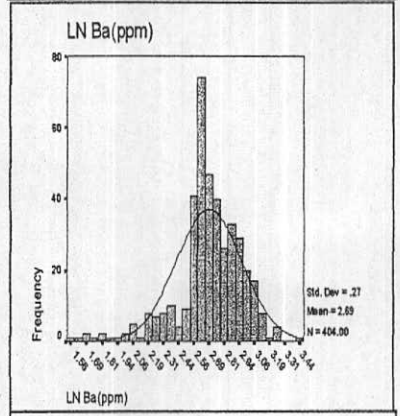
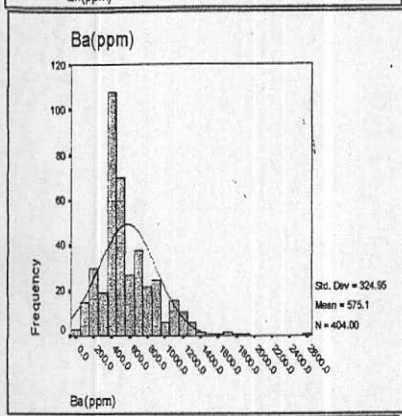
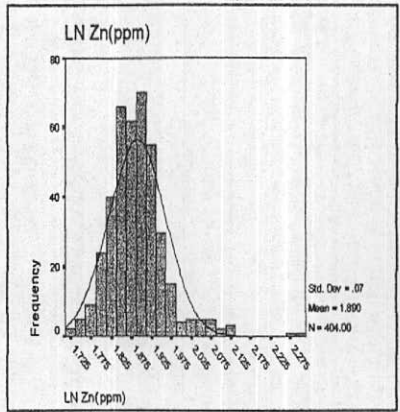
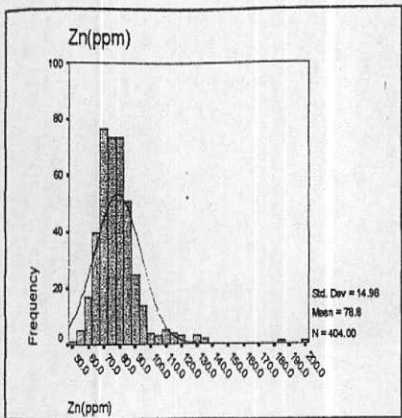
| SAMPLE  | W   |
|---------|-----|
| ZG-403  | 2.4 |
| ZG-404  | 2.8 |
| ZG-405  | 2.5 |
| ZG-406  | 2.3 |
| ZG-501  | 2.7 |
| ZG-502  | 2   |
| ZG-503  | 1.7 |
| ZG-504  | 2   |
| ZG-505  | 2.1 |
| ZG-506  | 2.2 |
| ZG-507  | 2.4 |
| ZG-508  | 2.2 |
| ZG-509  | 2.1 |
| ZG-510  | 2   |
| ZG-511  | 2.2 |
| ZG-512  | 1.5 |
| ZG-513  | 2.7 |
| ZG-514  | 2.3 |
| ZG-515  | 1.6 |
| ZG-335A | 2.5 |

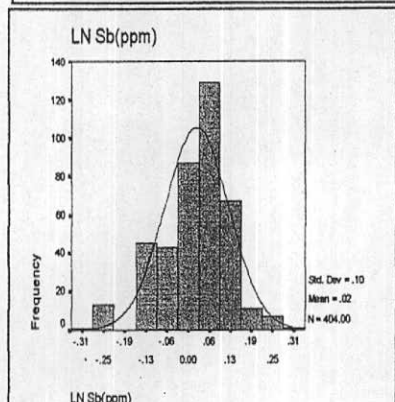
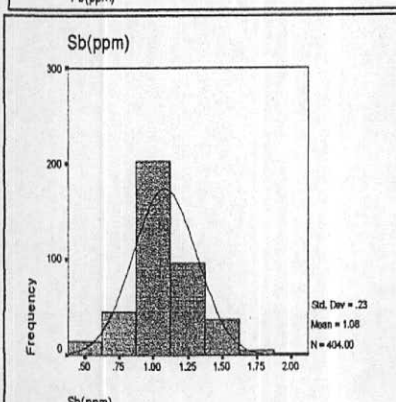
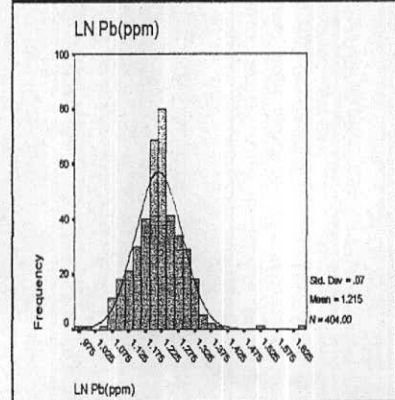
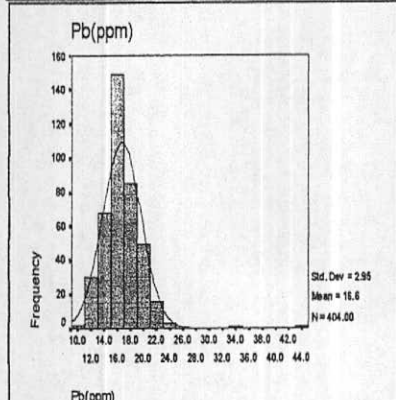
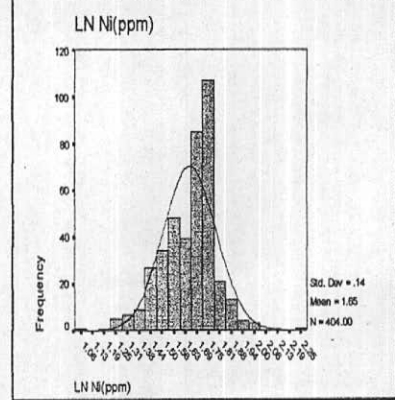
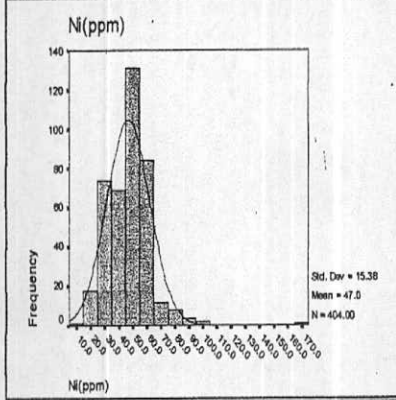
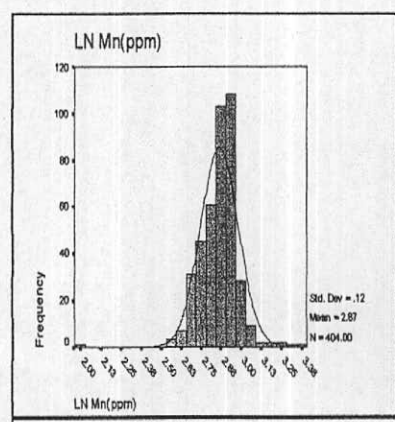
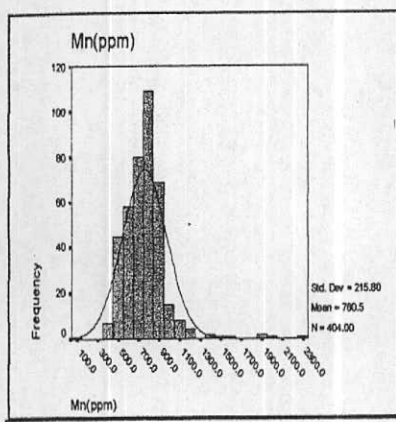
UNITS                            ppm  
DT.LIM                        0.1  
SCHEME                        IC3M

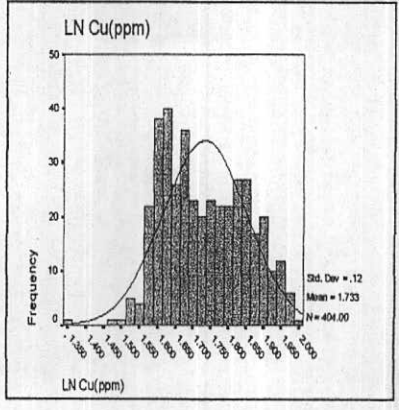
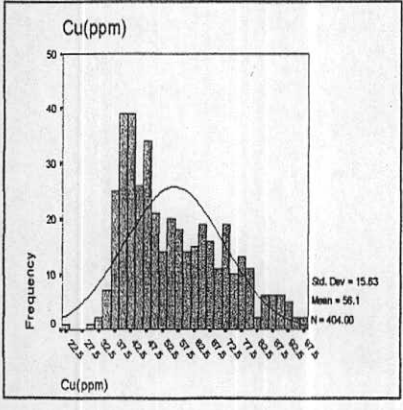
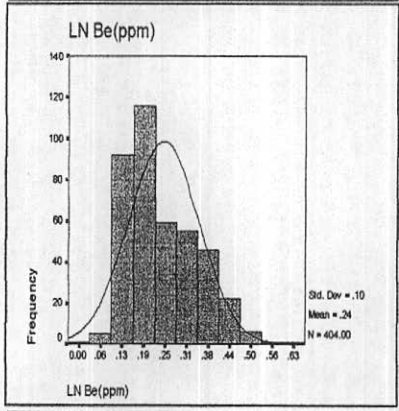
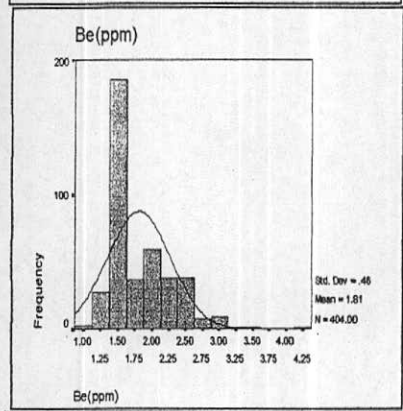
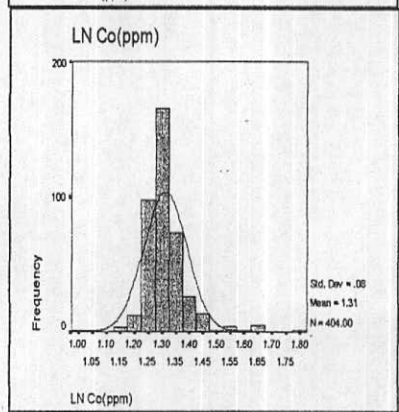
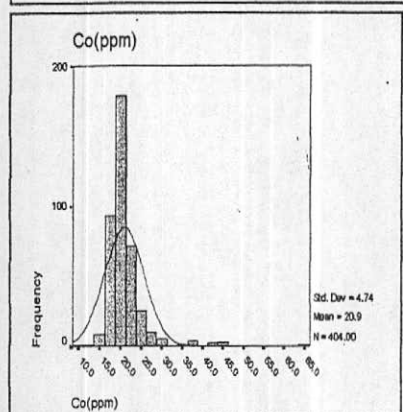
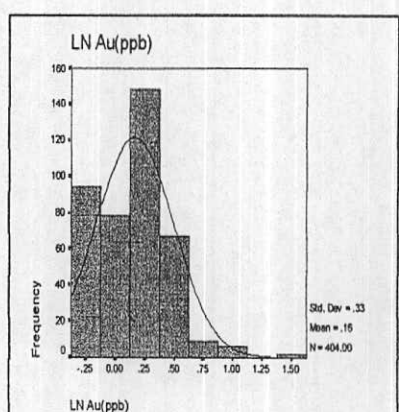
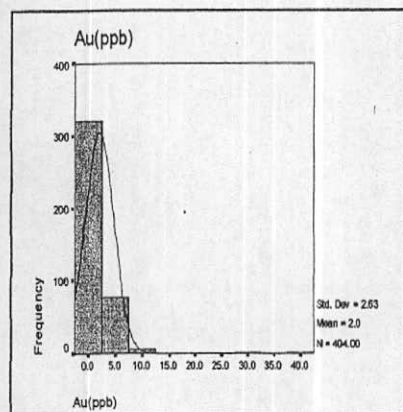
**پیوست شماره ۲: هیستوگرام های**

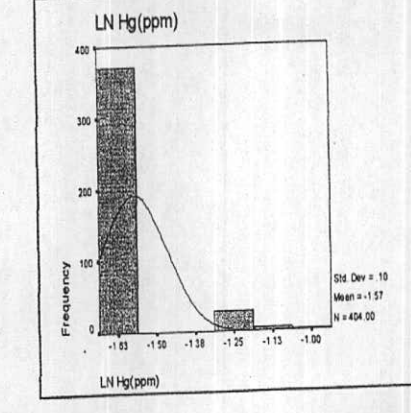
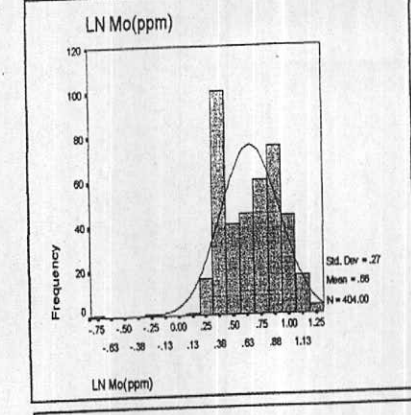
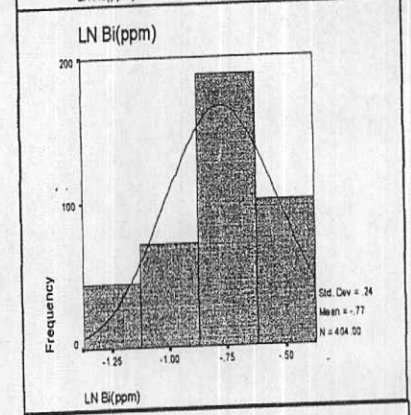
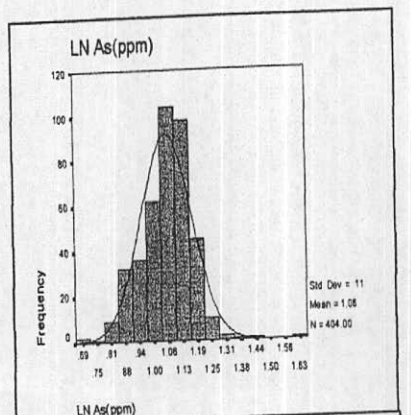
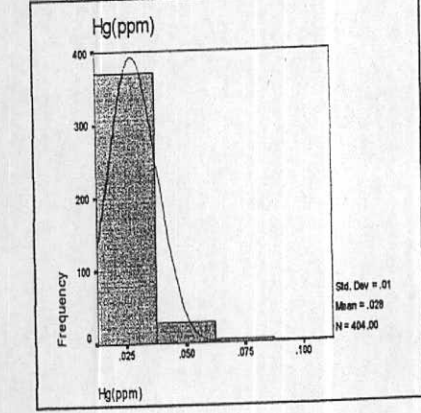
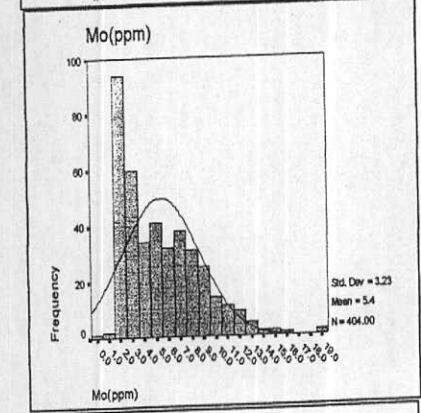
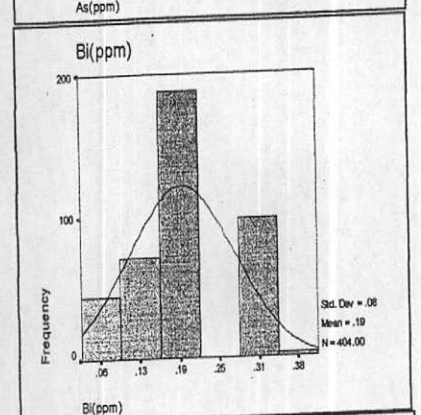
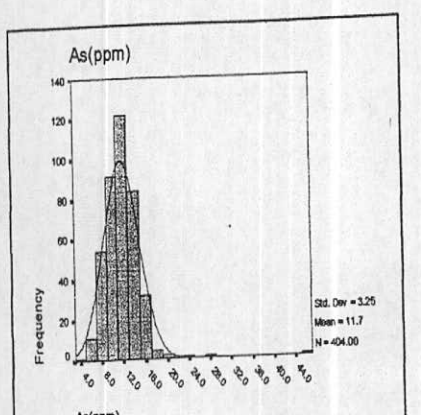
**مقادیر خام**











پیوست شماره ۳: داده های

لگاریتمی ضریب غنی شدگی



| Row  | Sample No. | X (Element) | Y (Element) | Z (Element) | Tensile | (MPa) | Hyp(%) | Cd(%) | Cr(%) | Cu(%) | Mn(%) | Ni(%) | Si(%) | Zn(%) | Ba(%) | Be(%) | Ti(%) | Ag(%) | Au(%) | Ba(%) | Mg(%) | Pb(%) | Si(%) | Sn(%) | Wt%   |       |
|------|------------|-------------|-------------|-------------|---------|-------|--------|-------|-------|-------|-------|-------|-------|-------|-------|-------|-------|-------|-------|-------|-------|-------|-------|-------|-------|-------|
| 4.3  | 202-44     | 268844      | 4338550     | AL-C        | 2       | 0.18  | -0.08  | -0.01 | -0.21 | 0.09  | -0.03 | 0.00  | -0.02 | -0.05 | 0.01  | 0.05  | -0.08 | 0.00  | -0.30 | 0.16  | -0.03 | 0.03  | -0.10 | -0.08 | 0.22  |       |
| 4.4  | 202-45     | 268845      | 4338550     | AL-C        | 1       | 0.18  | 0.02   | -0.25 | 0.11  | 0.03  | -0.05 | 0.00  | -0.02 | -0.10 | -0.07 | -0.13 | 0.02  | 0.08  | -0.05 | 0.00  | 0.21  | 0.10  | 0.19  | 0.08  | -0.12 | -0.24 |
| 4.5  | 202-46     | 268846      | 4338550     | AL-C        | 1       | -0.20 | -0.03  | -0.05 | 0.21  | 0.02  | -0.02 | 0.00  | -0.02 | -0.05 | -0.13 | 0.02  | -0.03 | 0.04  | 0.00  | 0.00  | 0.00  | 0.00  | 0.00  | 0.00  | 0.00  | 0.00  |
| 4.6  | 202-47     | 268847      | 4338550     | AL-C        | 2       | 0.00  | 0.22   | -0.01 | -0.02 | 0.08  | -0.01 | -0.02 | 0.00  | -0.03 | -0.13 | -0.11 | 0.00  | 0.08  | -0.01 | 0.04  | 0.06  | 0.00  | 0.02  | 0.01  | 0.05  | 0.04  |
| 4.7  | 202-48     | 268848      | 4338550     | AL-C        | 2       | 0.00  | 0.22   | -0.01 | -0.02 | 0.08  | -0.01 | -0.02 | 0.00  | -0.03 | -0.13 | -0.11 | 0.00  | 0.08  | -0.01 | 0.04  | 0.06  | 0.00  | 0.02  | 0.01  | 0.05  | 0.04  |
| 4.8  | 202-49     | 268849      | 4338550     | AL-C        | 2       | 0.00  | -0.08  | -0.01 | -0.02 | 0.00  | -0.02 | -0.03 | 0.00  | -0.03 | -0.13 | -0.13 | 0.00  | 0.10  | -0.01 | 0.03  | 0.03  | 0.00  | -0.04 | 0.03  | -0.06 | 0.04  |
| 4.9  | 202-50     | 268850      | 4338550     | AL-C        | 2       | -0.03 | -0.08  | -0.04 | -0.04 | 0.04  | -0.08 | -0.08 | 0.00  | -0.03 | -0.14 | -0.16 | 0.00  | -0.01 | -0.01 | 0.03  | 0.03  | 0.00  | -0.04 | 0.02  | 0.03  | 0.04  |
| 5.0  | 202-51     | 268782      | 4337010     | AL-C        | 2       | 0.48  | -0.05  | -0.05 | -0.11 | -0.19 | -0.05 | -0.18 | 0.18  | -0.07 | -0.07 | -0.07 | 0.02  | 0.03  | 0.08  | 0.20  | -0.12 | -0.07 | -0.08 | -0.10 | -0.03 | 0.03  |
| 5.1  | 202-52     | 268783      | 4337020     | AL-C        | 2       | 0.00  | -0.08  | -0.03 | 0.00  | -0.04 | -0.02 | -0.02 | -0.01 | 0.02  | -0.10 | -0.03 | 0.01  | 0.05  | 0.00  | 0.10  | -0.03 | 0.07  | 0.04  | -0.03 | 0.05  | 0.03  |
| 5.2  | 202-53     | 268784      | 4338570     | AL-C        | 2       | 0.00  | -0.08  | -0.01 | 0.10  | -0.02 | 0.03  | 0.12  | -0.27 | 0.00  | -0.10 | -0.03 | 0.00  | 0.06  | -0.01 | 0.00  | -0.21 | 0.00  | 0.00  | -0.05 | 0.02  | -0.02 |
| 5.3  | 202-54     | 268785      | 4338580     | AL-C        | 2       | -0.00 | -0.08  | -0.02 | -0.02 | 0.01  | -0.07 | -0.03 | -0.24 | 0.00  | 0.08  | -0.03 | 0.01  | 0.01  | -0.06 | -0.11 | 0.00  | -0.01 | -0.03 | 0.00  | -0.05 | 0.03  |
| 5.4  | 202-55     | 268786      | 4338590     | AL-C        | 2       | 0.00  | -0.08  | -0.01 | 0.11  | -0.02 | 0.01  | 0.11  | -0.19 | 0.00  | -0.11 | -0.01 | 0.01  | -0.06 | 0.00  | 0.03  | -0.01 | 0.01  | -0.03 | 0.00  | -0.05 | 0.03  |
| 5.5  | 202-56     | 2684215     | 4339110     | AL-C        | 2       | 0.20  | -0.08  | 0.14  | 0.14  | 0.00  | -0.22 | 0.33  | -0.20 | 0.13  | -0.12 | -0.12 | 0.00  | 0.18  | -0.10 | 0.04  | -0.04 | -0.07 | 0.04  | 0.00  | 0.00  |       |
| 5.6  | 202-57     | 2684211     | 4339210     | AL-C        | 2       | 0.00  | -0.08  | 0.14  | 0.18  | 0.01  | -0.01 | 0.22  | 0.34  | -0.20 | 0.14  | -0.14 | -0.07 | 0.02  | -0.04 | 0.00  | 0.00  | 0.00  | 0.00  | 0.04  | -0.03 |       |
| 5.7  | 202-58     | 268518      | 4339880     | AL-C        | 2       | -0.00 | -0.08  | -0.08 | 0.08  | -0.02 | -0.20 | -0.09 | -0.03 | -0.02 | -0.20 | -0.03 | 0.00  | -0.06 | -0.06 | -0.30 | 0.01  | -0.06 | 0.00  | -0.05 | 0.02  |       |
| 5.8  | 202-59     | 268623      | 4339890     | AL-C        | 2       | 0.00  | -0.08  | 0.00  | 0.00  | 0.01  | 0.14  | 0.18  | -0.09 | 0.00  | -0.02 | -0.01 | 0.01  | 0.00  | 0.02  | 0.00  | -0.06 | 0.00  | 0.00  | -0.05 | 0.03  |       |
| 5.9  | 202-60     | 268639      | 4339160     | AL-C        | 2       | -0.00 | -0.08  | -0.06 | 0.04  | -0.03 | -0.11 | -0.10 | -0.04 | -0.02 | -0.20 | -0.03 | 0.00  | -0.06 | -0.02 | -0.02 | -0.01 | 0.01  | -0.05 | 0.03  | -0.05 |       |
| 5.10 | 202-61     | 2684446     | 4333270     | AL-C        | 2       | 0.00  | -0.08  | -0.01 | 0.05  | -0.02 | 0.03  | 0.10  | -0.17 | 0.00  | -0.05 | 0.00  | 0.00  | 0.00  | 0.00  | 0.00  | 0.00  | 0.00  | 0.00  | 0.00  | 0.00  |       |
| 5.11 | 202-62     | 268374      | 4333370     | AL-C        | 2       | 0.00  | -0.08  | -0.02 | 0.06  | -0.05 | 0.02  | 0.08  | -0.12 | -0.01 | -0.04 | -0.05 | 0.01  | 0.01  | -0.13 | 0.00  | 0.00  | -0.11 | 0.02  | 0.03  | 0.05  |       |
| 5.12 | 202-63     | 2687520     | 4336820     | AL-C        | 1       | 0.40  | -0.08  | 0.01  | -0.01 | -0.01 | -0.01 | -0.01 | -0.01 | -0.01 | -0.01 | -0.01 | -0.01 | -0.01 | -0.01 | -0.01 | -0.01 | -0.01 | 0.00  | 0.00  | -0.01 |       |
| 5.13 | 202-64     | 2684370     | 4336847     | AL-Po       | 2       | 0.00  | -0.08  | -0.07 | -0.11 | -0.10 | 0.05  | 0.01  | -0.05 | -0.09 | -0.09 | -0.04 | 0.00  | 0.00  | -0.02 | -0.10 | -0.10 | -0.12 | -0.04 | -0.03 | -0.07 |       |
| 5.14 | 202-65     | 2681913     | 4336770     | GLMC        | 2       | 0.00  | -0.08  | -0.08 | 0.02  | -0.27 | -0.04 | 0.12  | 0.26  | 0.20  | -0.10 | -0.41 | -0.15 | -0.07 | 0.00  | -0.07 | -0.07 | 0.00  | -0.08 | -0.08 | -0.14 |       |
| 5.15 | 202-66     | 2681773     | 4336880     | GLMC        | 1       | -0.00 | -0.08  | 0.01  | 0.01  | 0.01  | 0.12  | 0.04  | -0.24 | -0.07 | -0.25 | -0.05 | 0.01  | 0.00  | -0.20 | -0.05 | 0.03  | 0.03  | -0.05 | 0.17  | 0.09  |       |
| 5.16 | 202-67     | 2681687     | 4336770     | AL-C        | 2       | 0.00  | -0.08  | 0.03  | 0.11  | 0.00  | -0.05 | 0.08  | -0.14 | -0.16 | -0.08 | 0.00  | 0.01  | 0.01  | -0.13 | 0.00  | -0.05 | -0.07 | -0.05 | -0.03 | -0.03 |       |
| 5.17 | 202-68     | 2682284     | 4336770     | GLMC        | 1       | -0.30 | -0.08  | -0.02 | 0.10  | -0.13 | 0.04  | 0.18  | -0.07 | -0.08 | -0.05 | 0.00  | -0.01 | -0.01 | -0.20 | 0.00  | -0.05 | -0.07 | -0.05 | -0.03 | -0.03 |       |
| 5.18 | 202-69     | 2685130     | 4336870     | FBa         | 2       | -0.00 | -0.08  | -0.03 | 0.01  | -0.03 | 0.01  | 0.00  | -0.04 | -0.11 | 0.00  | -0.04 | 0.04  | 0.03  | 0.01  | 0.00  | -0.20 | 0.12  | -0.04 | -0.04 | 0.11  | 0.08  |
| 5.19 | 202-70     | 2686328     | 4336870     | FBa         | 2       | 0.00  | -0.08  | 0.02  | 0.12  | -0.02 | 0.02  | 0.03  | -0.05 | -0.10 | -0.05 | -0.02 | -0.04 | -0.04 | 0.00  | -0.04 | -0.04 | -0.14 | 0.00  | 0.00  | -0.11 |       |
| 5.20 | 202-71     | 2683174     | 4336870     | FBa         | 2       | 0.00  | -0.08  | 0.02  | 0.12  | -0.02 | 0.02  | 0.03  | -0.05 | -0.10 | -0.05 | -0.02 | -0.04 | -0.04 | 0.00  | -0.04 | -0.04 | -0.14 | 0.00  | 0.00  | -0.11 |       |
| 5.21 | 202-72     | 2687738     | 4336880     | FBa         | 1       | 0.18  | -0.08  | -0.04 | 0.21  | 0.04  | 0.15  | 0.15  | -0.22 | 0.10  | -0.03 | 0.03  | 0.03  | 0.03  | 0.07  | 0.17  | 0.18  | -0.10 | 0.16  | 0.06  | 0.10  |       |

| Power | Satellite No. | X (Easting) | Y (Northing) | Z (Up) | Altitude  |          | Velocity |          | Acceleration |          | Angular Velocity |          | Angular Acceleration |          | Orientation |          | Position |          | State    |          |          |
|-------|---------------|-------------|--------------|--------|-----------|----------|----------|----------|--------------|----------|------------------|----------|----------------------|----------|-------------|----------|----------|----------|----------|----------|----------|
|       |               |             |              |        | Satellite | Altitude | Velocity | Altitude | Velocity     | Altitude | Velocity         | Altitude | Velocity             | Altitude | Velocity    | Altitude | Velocity | Altitude | Velocity | Altitude | Velocity |
| 76    | 207-73        | 344891      | 4389640      | AL-C   | 3         | -0.30    | -0.08    | 1.01     | -0.02        | 0.01     | -0.15            | 0.00     | 0.13                 | -0.02    | 0.01        | 0.00     | 0.07     | 0.18     | -0.19    | -0.30    |          |
| 73    | 202-73        | 3448917     | 4389640      | AL-C   | 2         | -0.60    | -0.08    | 0.02     | -0.02        | -0.13    | -0.12            | 0.08     | -0.13                | -0.06    | -0.10       | -0.15    | -0.01    | 0.00     | -0.07    | -0.10    | -0.18    |
| 74    | 202-73        | 3448917     | 4389640      | FCB    | 1         | -0.60    | -0.08    | 0.03     | -0.04        | -0.13    | -0.12            | 0.08     | -0.13                | -0.06    | -0.10       | -0.15    | -0.01    | 0.00     | -0.07    | -0.10    | -0.18    |
| 76    | 202-77        | 3448918     | 4389640      | AL-C   | 2         | -0.60    | -0.08    | 0.02     | -0.02        | -0.13    | -0.12            | 0.08     | -0.13                | -0.06    | -0.10       | -0.15    | -0.01    | 0.00     | -0.07    | -0.10    | -0.18    |
| 77    | 202-79        | 3448918     | 4389640      | AL-C   | 2         | -0.60    | -0.08    | 0.02     | -0.02        | -0.13    | -0.12            | 0.08     | -0.13                | -0.06    | -0.10       | -0.15    | -0.01    | 0.00     | -0.07    | -0.10    | -0.18    |
| 78    | 202-79        | 3448918     | 4389640      | AL-C   | 2         | -0.60    | -0.08    | 0.02     | -0.02        | -0.13    | -0.12            | 0.08     | -0.13                | -0.06    | -0.10       | -0.15    | -0.01    | 0.00     | -0.07    | -0.10    | -0.18    |
| 79    | 202-80        | 3448918     | 4389640      | AL-C   | 2         | -0.60    | -0.08    | 0.02     | -0.02        | -0.13    | -0.12            | 0.08     | -0.13                | -0.06    | -0.10       | -0.15    | -0.01    | 0.00     | -0.07    | -0.10    | -0.18    |
| 80    | 202-81        | 3448918     | 4389640      | AL-C   | 2         | -0.60    | -0.08    | 0.02     | -0.02        | -0.13    | -0.12            | 0.08     | -0.13                | -0.06    | -0.10       | -0.15    | -0.01    | 0.00     | -0.07    | -0.10    | -0.18    |
| 81    | 202-82        | 3448918     | 4389640      | AL-C   | 2         | -0.60    | -0.08    | 0.02     | -0.02        | -0.13    | -0.12            | 0.08     | -0.13                | -0.06    | -0.10       | -0.15    | -0.01    | 0.00     | -0.07    | -0.10    | -0.18    |
| 82    | 202-83        | 3448918     | 4389640      | AL-C   | 3         | -0.60    | -0.08    | 0.02     | -0.02        | -0.13    | -0.12            | 0.08     | -0.13                | -0.06    | -0.10       | -0.15    | -0.01    | 0.00     | -0.07    | -0.10    | -0.18    |
| 83    | 202-84        | 3448918     | 4389640      | FCB    | 1         | -0.60    | -0.08    | 0.02     | -0.02        | -0.13    | -0.12            | 0.08     | -0.13                | -0.06    | -0.10       | -0.15    | -0.01    | 0.00     | -0.07    | -0.10    | -0.18    |
| 84    | 202-84        | 3448918     | 4389640      | AL-C   | 2         | -0.60    | -0.08    | 0.02     | -0.02        | -0.13    | -0.12            | 0.08     | -0.13                | -0.06    | -0.10       | -0.15    | -0.01    | 0.00     | -0.07    | -0.10    | -0.18    |
| 85    | 202-85        | 3448918     | 4389640      | AL-C   | 2         | -0.60    | -0.08    | 0.02     | -0.02        | -0.13    | -0.12            | 0.08     | -0.13                | -0.06    | -0.10       | -0.15    | -0.01    | 0.00     | -0.07    | -0.10    | -0.18    |
| 86    | 202-86        | 3448918     | 4389640      | AL-C   | 2         | -0.60    | -0.08    | 0.02     | -0.02        | -0.13    | -0.12            | 0.08     | -0.13                | -0.06    | -0.10       | -0.15    | -0.01    | 0.00     | -0.07    | -0.10    | -0.18    |
| 87    | 202-87        | 3448918     | 4389640      | AL-C   | 2         | -0.60    | -0.08    | 0.02     | -0.02        | -0.13    | -0.12            | 0.08     | -0.13                | -0.06    | -0.10       | -0.15    | -0.01    | 0.00     | -0.07    | -0.10    | -0.18    |
| 88    | 202-88        | 3448918     | 4389640      | AL-C   | 2         | -0.60    | -0.08    | 0.02     | -0.02        | -0.13    | -0.12            | 0.08     | -0.13                | -0.06    | -0.10       | -0.15    | -0.01    | 0.00     | -0.07    | -0.10    | -0.18    |
| 89    | 202-89        | 3448918     | 4389640      | AL-C   | 2         | -0.60    | -0.08    | 0.02     | -0.02        | -0.13    | -0.12            | 0.08     | -0.13                | -0.06    | -0.10       | -0.15    | -0.01    | 0.00     | -0.07    | -0.10    | -0.18    |
| 90    | 202-90        | 3448918     | 4389640      | AL-C   | 2         | -0.60    | -0.08    | 0.02     | -0.02        | -0.13    | -0.12            | 0.08     | -0.13                | -0.06    | -0.10       | -0.15    | -0.01    | 0.00     | -0.07    | -0.10    | -0.18    |
| 91    | 202-92        | 3448918     | 4389640      | AL-C   | 2         | -0.60    | -0.08    | 0.02     | -0.02        | -0.13    | -0.12            | 0.08     | -0.13                | -0.06    | -0.10       | -0.15    | -0.01    | 0.00     | -0.07    | -0.10    | -0.18    |
| 92    | 202-93        | 3448918     | 4389640      | AL-C   | 2         | -0.60    | -0.08    | 0.02     | -0.02        | -0.13    | -0.12            | 0.08     | -0.13                | -0.06    | -0.10       | -0.15    | -0.01    | 0.00     | -0.07    | -0.10    | -0.18    |
| 93    | 202-94        | 3448918     | 4389640      | AL-C   | 2         | -0.60    | -0.08    | 0.02     | -0.02        | -0.13    | -0.12            | 0.08     | -0.13                | -0.06    | -0.10       | -0.15    | -0.01    | 0.00     | -0.07    | -0.10    | -0.18    |
| 94    | 202-95        | 3448918     | 4389640      | AL-C   | 2         | -0.60    | -0.08    | 0.02     | -0.02        | -0.13    | -0.12            | 0.08     | -0.13                | -0.06    | -0.10       | -0.15    | -0.01    | 0.00     | -0.07    | -0.10    | -0.18    |
| 95    | 202-96        | 3448918     | 4389640      | AL-C   | 2         | -0.60    | -0.08    | 0.02     | -0.02        | -0.13    | -0.12            | 0.08     | -0.13                | -0.06    | -0.10       | -0.15    | -0.01    | 0.00     | -0.07    | -0.10    | -0.18    |
| 96    | 202-97        | 3448918     | 4389640      | AL-C   | 2         | -0.60    | -0.08    | 0.02     | -0.02        | -0.13    | -0.12            | 0.08     | -0.13                | -0.06    | -0.10       | -0.15    | -0.01    | 0.00     | -0.07    | -0.10    | -0.18    |
| 97    | 202-98        | 3448918     | 4389640      | AL-C   | 2         | -0.60    | -0.08    | 0.02     | -0.02        | -0.13    | -0.12            | 0.08     | -0.13                | -0.06    | -0.10       | -0.15    | -0.01    | 0.00     | -0.07    | -0.10    | -0.18    |
| 98    | 202-99        | 3448918     | 4389640      | AL-C   | 2         | -0.60    | -0.08    | 0.02     | -0.02        | -0.13    | -0.12            | 0.08     | -0.13                | -0.06    | -0.10       | -0.15    | -0.01    | 0.00     | -0.07    | -0.10    | -0.18    |
| 99    | 202-100       | 3448918     | 4389640      | AL-C   | 2         | -0.60    | -0.08    | 0.02     | -0.02        | -0.13    | -0.12            | 0.08     | -0.13                | -0.06    | -0.10       | -0.15    | -0.01    | 0.00     | -0.07    | -0.10    | -0.18    |

| Polar | Star/Group No. | $X$ (RA) | $Y$ (Dec) | $Z$ (Distance) | Velocity |       | Position |          | Orientation |       | Angular |       | Kinetic |       | Magnetic |       | Radiation |       |
|-------|----------------|----------|-----------|----------------|----------|-------|----------|----------|-------------|-------|---------|-------|---------|-------|----------|-------|-----------|-------|
|       |                |          |           |                | km/s     | km/s  | km/s     | km/s     | km/s        | km/s  | km/s    | km/s  | km/s    | km/s  | km/s     | km/s  | km/s      | km/s  |
| 181   | 202-107        | 265600   | 4535000   | AL-FG          | -2       | 0.48  | -0.08    | -0.03    | -0.08       | 0.01  | 0.00    | 0.00  | 0.00    | 0.00  | 0.00     | 0.00  | 0.00      | 0.00  |
| 182   | 202-102        | 267730   | 4535320   | AL-FG          | 2        | 0.00  | -0.08    | 0.00     | -0.05       | 0.04  | 0.01    | -0.07 | 0.08    | 0.11  | 0.14     | 0.03  | 0.02      | 0.00  |
| 183   | 202-104        | 268046   | 4538460   | AL-FG          | 2        | -0.30 | -0.08    | -0.03    | -0.07       | 0.02  | -0.07   | -0.11 | 0.22    | 0.02  | -0.20    | 0.03  | 0.04      | 0.00  |
| 184   | 202-108        | 268170   | 4538470   | AL-FG          | 2        | -0.30 | -0.08    | -0.03    | -0.11       | -0.05 | 0.02    | -0.08 | 0.00    | 0.00  | 0.02     | -0.03 | 0.00      | -0.01 |
| 185   | 202-109        | 268177   | 4538700   | AL-FG          | 2        | -0.30 | -0.08    | -0.03    | -0.01       | -0.03 | 0.02    | -0.03 | 0.00    | 0.00  | -0.03    | 0.00  | -0.01     | 0.00  |
| 186   | 202-107        | 268582   | 4537780   | AL-FG          | 2        | -0.30 | -0.08    | -0.01    | 0.02        | 0.01  | 0.00    | -0.03 | 0.00    | 0.00  | -0.06    | 0.00  | 0.00      | -0.03 |
| 187   | 202-108        | 268687   | 4537840   | AL-FG          | 2        | -0.30 | -0.08    | -0.01    | -0.09       | -0.04 | 0.02    | 0.01  | -0.11   | 0.03  | -0.05    | 0.00  | -0.01     | 0.00  |
| 188   | 202-110        | 269114   | 4537760   | AL-FG          | 1        | -0.30 | -0.08    | -0.02    | -0.10       | -0.04 | 0.03    | -0.04 | 0.15    | -0.05 | 0.00     | -0.02 | -0.02     | 0.00  |
| 189   | 202-112        | 269123   | 4538210   | AL-FG          | 1        | -0.30 | -0.08    | -0.02    | -0.12       | 0.02  | -0.11   | -0.18 | 0.30    | -0.07 | 0.00     | -0.03 | -0.02     | 0.00  |
| 190   | 202-111        | 269124   | 4538230   | C              | 3        | -0.30 | -0.08    | 0.07     | 0.22        | -0.13 | 0.05    | 0.01  | -0.07   | -0.04 | -0.02    | 0.00  | -0.30     | -0.03 |
| 191   | 202-112        | 269470   | 4536660   | AL-FG          | 2        | 0.00  | -0.08    | 0.00     | -0.08       | -0.04 | 0.00    | 0.00  | -0.03   | 0.00  | 0.00     | 0.00  | -0.03     | 0.00  |
| 192   | 202-113        | 269512   | 4536780   | AL-FG          | 1        | 0.00  | -0.08    | 0.00     | -0.08       | 0.02  | 0.00    | -0.12 | 0.01    | -0.02 | -0.03    | 0.00  | 0.00      | 0.00  |
| 193   | 202-114        | 269518   | 4536880   | AL-FG          | 1        | 0.00  | -0.08    | 0.00     | -0.08       | 0.03  | 0.00    | -0.03 | 0.00    | -0.03 | -0.03    | 0.00  | 0.00      | -0.01 |
| 194   | 202-115        | 269519   | 4536890   | AL-FG          | 1        | 0.00  | -0.08    | 0.00     | -0.08       | 0.03  | 0.00    | -0.03 | 0.00    | -0.03 | -0.03    | 0.00  | 0.00      | -0.01 |
| 195   | 202-116        | 269520   | 4536900   | AL-FG          | 1        | 0.00  | -0.08    | 0.00     | -0.08       | 0.03  | 0.00    | -0.03 | 0.00    | -0.03 | -0.03    | 0.00  | 0.00      | -0.01 |
| 196   | 202-117        | 269521   | 4536910   | AL-FG          | 1        | 0.00  | -0.08    | 0.00     | -0.08       | 0.03  | 0.00    | -0.03 | 0.00    | -0.03 | -0.03    | 0.00  | 0.00      | -0.01 |
| 197   | 202-118        | 269522   | 4536920   | AL-FG          | 1        | 0.00  | -0.08    | 0.00     | -0.08       | 0.03  | 0.00    | -0.03 | 0.00    | -0.03 | -0.03    | 0.00  | 0.00      | -0.01 |
| 198   | 202-119        | 269523   | 4536930   | AL-FG          | 1        | 0.00  | -0.08    | 0.00     | -0.08       | 0.03  | 0.00    | -0.03 | 0.00    | -0.03 | -0.03    | 0.00  | 0.00      | -0.01 |
| 199   | 202-120        | 269524   | 4536940   | AL-FG          | 1        | 0.00  | -0.08    | 0.00     | -0.08       | 0.03  | 0.00    | -0.03 | 0.00    | -0.03 | -0.03    | 0.00  | 0.00      | -0.01 |
| 200   | 202-121        | 269525   | 4536950   | AL-FG          | 1        | 0.00  | -0.08    | 0.00     | -0.08       | 0.03  | 0.00    | -0.03 | 0.00    | -0.03 | -0.03    | 0.00  | 0.00      | -0.01 |
| 201   | 202-122        | 269526   | 4536960   | AL-FG          | 1        | 0.00  | -0.08    | 0.00     | -0.08       | 0.03  | 0.00    | -0.03 | 0.00    | -0.03 | -0.03    | 0.00  | 0.00      | -0.01 |
| 202   | 202-123        | 269527   | 4536970   | AL-FG          | 1        | 0.00  | -0.08    | 0.00     | -0.08       | 0.03  | 0.00    | -0.03 | 0.00    | -0.03 | -0.03    | 0.00  | 0.00      | -0.01 |
| 203   | 202-124        | 269528   | 4536980   | AL-FG          | 1        | 0.00  | -0.08    | 0.00     | -0.08       | 0.03  | 0.00    | -0.03 | 0.00    | -0.03 | -0.03    | 0.00  | 0.00      | -0.01 |
| 204   | 202-125        | 269529   | 4536990   | AL-FG          | 1        | 0.00  | -0.08    | 0.00     | -0.08       | 0.03  | 0.00    | -0.03 | 0.00    | -0.03 | -0.03    | 0.00  | 0.00      | -0.01 |
| 205   | 202-126        | 269530   | 4536990   | AL-FG          | 1        | 0.00  | -0.08    | 0.00     | -0.08       | 0.03  | 0.00    | -0.03 | 0.00    | -0.03 | -0.03    | 0.00  | 0.00      | -0.01 |
| 206   | 202-127        | 269531   | 4537000   | AL-FG          | 1        | 0.00  | -0.08    | 0.00     | -0.08       | 0.03  | 0.00    | -0.03 | 0.00    | -0.03 | -0.03    | 0.00  | 0.00      | -0.01 |
| 207   | 202-128        | 269532   | 4537010   | AL-FG          | 1        | 0.00  | -0.08    | 0.00     | -0.08       | 0.03  | 0.00    | -0.03 | 0.00    | -0.03 | -0.03    | 0.00  | 0.00      | -0.01 |
| 208   | 202-129        | 269533   | 4537020   | AL-FG          | 1        | 0.00  | -0.08    | 0.00     | -0.08       | 0.03  | 0.00    | -0.03 | 0.00    | -0.03 | -0.03    | 0.00  | 0.00      | -0.01 |
| 209   | 202-130        | 269534   | 4537030   | AL-FG          | 1        | 0.00  | -0.08    | 0.00     | -0.08       | 0.03  | 0.00    | -0.03 | 0.00    | -0.03 | -0.03    | 0.00  | 0.00      | -0.01 |
| 210   | 202-131        | 269535   | 4537040   | AL-FG          | 1        | 0.00  | -0.08    | 0.00     | -0.08       | 0.03  | 0.00    | -0.03 | 0.00    | -0.03 | -0.03    | 0.00  | 0.00      | -0.01 |
| 211   | 202-132        | 269536   | 4537050   | AL-FG          | 1        | 0.00  | -0.08    | 0.00     | -0.08       | 0.03  | 0.00    | -0.03 | 0.00    | -0.03 | -0.03    | 0.00  | 0.00      | -0.01 |
| 212   | 202-133        | 269537   | 4537060   | AL-FG          | 1        | 0.00  | -0.08    | 0.00     | -0.08       | 0.03  | 0.00    | -0.03 | 0.00    | -0.03 | -0.03    | 0.00  | 0.00      | -0.01 |
| 213   | 202-134        | 269538   | 4537070   | AL-FG          | 1        | 0.00  | -0.08    | 0.00     | -0.08       | 0.03  | 0.00    | -0.03 | 0.00    | -0.03 | -0.03    | 0.00  | 0.00      | -0.01 |
| 214   | 202-135        | 269539   | 4537080   | AL-FG          | 1        | 0.00  | -0.08    | 0.00     | -0.08       | 0.03  | 0.00    | -0.03 | 0.00    | -0.03 | -0.03    | 0.00  | 0.00      | -0.01 |
| 215   | 202-136        | 269540   | 4537090   | AL-FG          | 1        | 0.00  | -0.08    | 0.00     | -0.08       | 0.03  | 0.00    | -0.03 | 0.00    | -0.03 | -0.03    | 0.00  | 0.00      | -0.01 |
| 216   | 202-137        | 269541   | 4537100   | AL-FG          | 1        | 0.00  | -0.08    | 0.00     | -0.08       | 0.03  | 0.00    | -0.03 | 0.00    | -0.03 | -0.03    | 0.00  | 0.00      | -0.01 |
| 217   | 202-138        | 269542   | 4537110   | AL-FG          | 1        | 0.00  | -0.08    | 0.00     | -0.08       | 0.03  | 0.00    | -0.03 | 0.00    | -0.03 | -0.03    | 0.00  | 0.00      | -0.01 |
| 218   | 202-139        | 269543   | 4537120   | AL-FG          | 1        | 0.00  | -0.08    | 0.00     | -0.08       | 0.03  | 0.00    | -0.03 | 0.00    | -0.03 | -0.03    | 0.00  | 0.00      | -0.01 |
| 219   | 202-140        | 269544   | 4537130   | AL-FG          | 1        | 0.00  | -0.08    | 0.00     | -0.08       | 0.03  | 0.00    | -0.03 | 0.00    | -0.03 | -0.03    | 0.00  | 0.00      | -0.01 |
| 220   | 202-141        | 269545   | 4537140   | AL-FG          | 1        | 0.00  | -0.08    | 0.00     | -0.08       | 0.03  | 0.00    | -0.03 | 0.00    | -0.03 | -0.03    | 0.00  | 0.00      | -0.01 |
| 221   | 202-142        | 269546   | 4537150   | AL-FG          | 1        | 0.00  | -0.08    | 0.00     | -0.08       | 0.03  | 0.00    | -0.03 | 0.00    | -0.03 | -0.03    | 0.00  | 0.00      | -0.01 |
| 222   | 202-143        | 269547   | 4537160   | AL-FG          | 1        | 0.00  | -0.08    | 0.00     | -0.08       | 0.03  | 0.00    | -0.03 | 0.00    | -0.03 | -0.03    | 0.00  | 0.00      | -0.01 |
| 223   | 202-144        | 269548   | 4537170   | AL-FG          | 1        | 0.00  | -0.08    | 0.00     | -0.08       | 0.03  | 0.00    | -0.03 | 0.00    | -0.03 | -0.03    | 0.00  | 0.00      | -0.01 |
| 224   | 202-145        | 269549   | 4537180   | AL-FG          | 1        | 0.00  | -0.08    | 0.00     | -0.08       | 0.03  | 0.00    | -0.03 | 0.00    | -0.03 | -0.03    | 0.00  | 0.00      | -0.01 |
| 225   | 202-146        | 269550   | 4537190   | AL-FG          | 1        | 0.00  | -0.08    | 0.00     | -0.08       | 0.03  | 0.00    | -0.03 | 0.00    | -0.03 | -0.03    | 0.00  | 0.00      | -0.01 |
| 226   | 202-147        | 269551   | 4537200   | AL-FG          | 1        | 0.00  | -0.08    | 0.00     | -0.08       | 0.03  | 0.00    | -0.03 | 0.00    | -0.03 | -0.03    | 0.00  | 0.00      | -0.01 |
| 227   | 202-148        | 269552   | 4537210   | AL-FG          | 1        | 0.00  | -0.08    | 0.00     | -0.08       | 0.03  | 0.00    | -0.03 | 0.00    | -0.03 | -0.03    | 0.00  | 0.00      | -0.01 |
| 228   | 202-149        | 269553   | 4537220   | AL-FG          | 1        | 0.00  | -0.08    | 0.00     | -0.08       | 0.03  | 0.00    | -0.03 | 0.00    | -0.03 | -0.03    | 0.00  | 0.00      | -0.01 |
| 229   | 202-150        | 269554   | 4537230   | AL-FG          | 1        | 0.00  | -0.08    | 0.00     | -0.08       | 0.03  | 0.00    | -0.03 | 0.00    | -0.03 | -0.03    | 0.00  | 0.00      | -0.01 |
| 230   | 202-151        | 269555   | 4537240   | AL-FG          | 1        | 0.00  | -0.08    | 0.00     | -0.08       | 0.03  | 0.00    | -0.03 | 0.00    | -0.03 | -0.03    | 0.00  | 0.00      | -0.01 |
| 231   | 202-152        | 269556   | 4537250   | AL-FG          | 1        | 0.00  | -0.08    | 0.00     | -0.08       | 0.03  | 0.00    | -0.03 | 0.00    | -0.03 | -0.03    | 0.00  | 0.00      | -0.01 |
| 232   | 202-153        | 269557   | 4537260   | AL-FG          | 1        | 0.00  | -0.08    | 0.00     | -0.08       | 0.03  | 0.00    | -0.03 | 0.00    | -0.03 | -0.03    | 0.00  | 0.00      | -0.01 |
| 233   | 202-154        | 269558   | 4537270   | AL-FG          | 1        | 0.00  | -0.08    | 0.00     | -0.08       | 0.03  | 0.00    | -0.03 | 0.00    | -0.03 | -0.03    | 0.00  | 0.00      | -0.01 |
| 234   | 202-155        | 269559   | 4537280   | AL-FG          | 1        | 0.00  | -0.08    | 0.00     | -0.08       | 0.03  | 0.00    | -0.03 | 0.00    | -0.03 | -0.03    | 0.00  | 0.00      | -0.01 |
| 235   | 202-156        | 269560   | 4537290   | AL-FG          | 1        | 0.00  | -0.08    | 0.00     | -0.08       | 0.03  | 0.00    | -0.03 | 0.00    | -0.03 | -0.03    | 0.00  | 0.00      | -0.01 |
| 236   | 202-157        | 269561   | 4537300   | AL-FG          | 1        | 0.00  | -0.08    | 0.00     | -0.08       | 0.03  | 0.00    | -0.03 | 0.00    | -0.03 | -0.03    | 0.00  | 0.00      | -0.01 |
| 237   | 202-158        | 269562   | 4537310   | AL-FG          | 1        | 0.00  | -0.08    | 0.00     | -0.08       | 0.03  | 0.00    | -0.03 | 0.00    | -0.03 | -0.03    | 0.00  | 0.00      | -0.01 |
| 238   | 202-159        | 269563   | 4537320   | AL-FG          | 1        | 0.00  | -0.08    | 0.00     | -0.08       | 0.03  | 0.00    | -0.03 | 0.00    | -0.03 | -0.03    | 0.00  | 0.00      | -0.01 |
| 239   | 202-160        | 269564   | 4537330   | AL-FG          | 1        | 0.00  | -0.08    | 0.00     | -0.08       | 0.03  | 0.00    | -0.03 | 0.00    | -0.03 | -0.03    | 0.00  | 0.00      | -0.01 |
| 240   | 202-161        | 269565   | 4537340   | AL-FG          | 1        | 0.00  | -0.08    | 0.00     | -0.08       | 0.03  | 0.00    | -0.03 | 0.00    | -0.03 | -0.03    | 0.00  | 0.00      | -0.01 |
| 241   | 202-162        | 269566   | 4537350   | AL-FG          | 1        | 0.00  | -0.08    | 0.00     | -0.08       | 0.03  | 0.00    | -0.03 | 0.00    | -0.03 | -0.03    | 0.00  | 0.00      | -0.01 |
| 242   | 202-163        | 269567   | 4537360   | AL-FG          | 1        | 0.00  | -0.08    | 0.00     | -0.08       | 0.03  | 0.00    | -0.03 | 0.00    | -0.03 | -0.03    | 0.00  | 0.00      | -0.01 |
| 243   | 202-164        | 269568   | 4537370   | AL-FG          | 1        | 0.00  | -0.08    | 0.00     | -0.08       | 0.03  | 0.00    | -0.03 | 0.00    | -0.03 | -0.03    | 0.00  | 0.00      | -0.01 |
| 244   | 202-165        | 269569   | 4537380   | AL-FG          | 1        | 0.00  | -0.08    | 0.00     | -0.08       | 0.03  | 0.00    | -0.03 | 0.00    | -0.03 | -0.03    | 0.00  | 0.00      | -0.01 |
| 245   | 202-166        | 269570   | 4537390   | AL-FG          | 1        | 0.00  | -0.08    | 0.00</td |             |       |         |       |         |       |          |       |           |       |











| Row# | Stringent Atm. | X (Emissivity) | Y (Absorptance) | Up   | Total | (In) Abs | Hg(%) | Ce(%) | Cu(%) | Mn(%) | Ni(%) | Ba(%) | Zn(%) | Ba(%) | Tin(%) | Ag(%) | Alu(%) | Ba(%) | Mn(%) | Pb(%) | Si(%) | Sn(%) | Wt(%) |       |       |
|------|----------------|----------------|-----------------|------|-------|----------|-------|-------|-------|-------|-------|-------|-------|-------|--------|-------|--------|-------|-------|-------|-------|-------|-------|-------|-------|
| 383  | 292-292        | 284270         | 4332947         | F    | 1     | -0.20    | -0.00 | 0.10  | 0.22  | 0.13  | 0.08  | -0.20 | 0.00  | 0.16  | 0.00   | -0.21 | 0.10   | 0.19  | -0.27 | 0.00  | 0.00  | -0.12 | -0.05 |       |       |
| 386  | 292-292        | 286881         | 4333480         | ALC  | 2     | -0.30    | -0.02 | 0.20  | -0.00 | 0.14  | -0.10 | -0.02 | -0.00 | 0.00  | -0.14  | 0.01  | 0.00   | 0.00  | 0.00  | 0.00  | 0.00  | 0.00  | -0.03 |       |       |
| 387  | 292-292        | 281649         | 4333110         | F    | 2     | 0.00     | -0.00 | 0.07  | 0.04  | 0.15  | 0.11  | 0.21  | -0.22 | 0.05  | 0.05   | 0.07  | 0.01   | 0.00  | 0.00  | 0.00  | 0.00  | 0.00  | 0.00  | 0.00  |       |
| 388  | 292-292        | 281039         | 4332940         | ALC  | 2     | -0.20    | -0.00 | 0.00  | 0.09  | 0.12  | -0.21 | 0.05  | 0.15  | 0.05  | 0.22   | 0.12  | 0.02   | 0.00  | -0.06 | -0.30 | 0.23  | 0.01  | 0.00  | -0.08 |       |
| 389  | 292-292        | 286890         | 4332810         | ALFC | 0     | 0.20     | -0.00 | 0.02  | 0.06  | 0.08  | -0.20 | 0.05  | 0.10  | 0.01  | 0.03   | 0.03  | 0.00   | -0.06 | -0.02 | -0.30 | 0.04  | 0.00  | -0.18 | -0.03 |       |
| 390  | 292-292        | 282123         | 4332120         | AL   | 1     | 0.00     | -0.00 | 0.00  | 0.00  | 0.00  | 0.00  | 0.00  | 0.00  | 0.00  | 0.00   | 0.00  | 0.00   | 0.00  | 0.00  | 0.00  | 0.00  | 0.00  | 0.00  | -0.04 |       |
| 391  | 292-292        | 282238         | 4332250         | AL   | 1     | 0.00     | -0.00 | 0.00  | 0.00  | 0.00  | 0.00  | 0.00  | 0.00  | 0.00  | 0.00   | 0.00  | 0.00   | 0.00  | 0.00  | 0.00  | 0.00  | 0.00  | 0.00  | -0.11 |       |
| 392  | 292-292        | 286886         | 4337130         | ALC  | 2     | 0.00     | -0.00 | 0.11  | 0.14  | 0.06  | 0.11  | 0.10  | -0.13 | 0.00  | -0.40  | -0.01 | 0.00   | -0.10 | -0.10 | 0.00  | 0.00  | 0.00  | 0.00  | 0.00  |       |
| 393  | 292-292        | 288000         | 4337160         | ALFC | 0     | 0.30     | -0.00 | 1.02  | -0.11 | 0.17  | 0.44  | 0.63  | -0.19 | 0.38  | -0.04  | 0.43  | 0.03   | 0.00  | 0.00  | 0.00  | 0.00  | 0.00  | 0.00  | 0.04  |       |
| 394  | 292-292        | 288883         | 4337080         | ALC  | 2     | -0.30    | -0.00 | 0.03  | 0.19  | -0.02 | 0.00  | 0.18  | -0.08 | 0.02  | 0.00   | -0.03 | -0.07  | -0.13 | 0.03  | -0.30 | 0.00  | 0.05  | 0.03  | -0.05 |       |
| 395  | 292-292        | 285687         | 4332130         | ALFC | 2     | -0.60    | -0.00 | 0.00  | 0.24  | -0.07 | -0.21 | 0.15  | -0.14 | 0.00  | -0.05  | -0.05 | -0.08  | -0.07 | -0.32 | 0.02  | -0.30 | 0.03  | 0.00  | -0.10 | -0.13 |
| 396  | 292-292        | 285946         | 4332760         | ALFC | 2     | 0.48     | -0.00 | -0.02 | -0.02 | 0.07  | -0.04 | -0.14 | 0.05  | -0.03 | 0.00   | -0.01 | -0.02  | 0.00  | -0.30 | 0.21  | 0.03  | 0.00  | -0.08 | -0.15 | 0.03  |
| 397  | 292-292        | 288056         | 4337150         | F    | 2     | -0.30    | -0.00 | 0.01  | 0.00  | -0.07 | 0.00  | 0.05  | -0.07 | -0.24 | 0.08   | 0.00  | 0.00   | 0.00  | 0.00  | -0.11 | -0.60 | 0.04  | 0.07  | -0.14 | 0.00  |
| 398  | 292-292        | 286883         | 4332640         | ALC  | 2     | 0.00     | -0.00 | -0.02 | 0.04  | -0.17 | -0.09 | -0.07 | 0.17  | -0.11 | 0.00   | -0.08 | -0.08  | -0.08 | -0.19 | -0.00 | 0.00  | -0.08 | -0.05 | -0.15 | 0.00  |
| 399  | 292-292        | 286771         | 433610          | ALFC | 0     | 0.30     | -0.00 | 1.05  | -0.27 | 0.23  | -0.08 | -0.08 | -0.05 | 0.00  | 0.00   | 0.02  | -0.07  | -0.01 | 0.43  | 0.14  | 0.18  | 0.45  | 0.02  | 0.28  | 0.20  |
| 400  | 292-292        | 284872         | 4338170         | ALC  | 2     | 0.00     | -0.00 | -0.02 | -0.17 | -0.12 | -0.08 | -0.18 | 0.00  | -0.14 | 0.00   | -0.01 | 0.02   | 0.23  | 0.00  | 0.00  | -0.14 | -0.01 | 0.00  | 0.00  | -0.02 |
| 401  | 292-292        | 288887         | 4333330         | ALFC | 0     | 0.40     | 0.00  | 0.07  | -0.18 | 0.15  | 0.13  | 0.12  | -0.18 | 0.00  | -0.02  | 0.08  | 0.00   | 0.00  | 0.00  | 0.00  | 0.00  | 0.00  | 0.05  | -0.02 |       |
| 402  | 292-292        | 284053         | 4333330         | ALC  | 3     | 0.18     | 0.00  | 0.12  | 0.07  | 0.00  | 0.11  | 0.05  | 0.06  | 0.04  | 0.05   | 0.04  | 0.11   | 0.11  | -0.00 | 0.00  | 0.00  | 0.02  | 0.10  | 0.00  | -0.08 |
| 403  | 292-292        | 283487         | 4338680         | ALC  | 2     | 0.30     | -0.00 | 0.20  | 0.21  | 0.00  | 0.30  | 0.32  | 0.12  | 0.15  | -0.13  | 0.07  | -0.04  | 0.12  | 0.18  | 0.22  | -0.01 | 0.10  | 0.15  | -0.03 | -0.15 |
| 404  | 292-292        | 288284         | 4332640         | ALC  | 2     | 0.05     | -0.00 | 0.12  | 0.19  | -0.05 | 0.18  | 0.17  | 0.15  | 0.00  | 0.07   | 0.03  | 0.01   | 0.07  | -0.04 | 0.00  | -0.08 | -0.05 | -0.04 | 0.00  | -0.07 |
| 405  | 292-292        | 288833         | 4333480         | ALC  | 2     | 0.18     | -0.00 | 0.05  | -0.11 | 0.03  | 0.14  | 0.11  | 0.05  | -0.01 | 0.06   | 0.06  | 0.01   | 0.12  | 0.00  | 0.00  | 0.01  | 0.02  | 0.00  | 0.00  | 0.00  |
| 406  | 292-292        | 288910         | 4332640         | ALC  | 2     | 0.00     | -0.00 | -0.01 | -0.08 | -0.08 | -0.02 | -0.15 | 0.11  | -0.09 | 0.03   | 0.00  | 0.10   | -0.07 | 0.00  | -0.14 | -0.03 | 0.00  | -0.04 | 0.00  | 0.00  |
| 407  | 292-292        | 286882         | 4333330         | ALC  | 2     | -0.00    | -0.00 | -0.01 | -0.01 | -0.01 | 0.00  | 0.00  | -0.05 | -0.05 | 0.00   | 0.00  | 0.00   | 0.00  | 0.00  | -0.05 | -0.05 | 0.00  | -0.05 | 0.00  | 0.00  |
| 408  | 292-292        | 288900         | 4333330         | ALC  | 2     | 0.00     | -0.00 | -0.01 | -0.01 | -0.01 | 0.00  | 0.00  | -0.05 | -0.05 | 0.00   | 0.00  | 0.00   | 0.00  | 0.00  | -0.05 | -0.05 | 0.00  | -0.05 | 0.00  | 0.00  |
| 409  | 292-292        | 286833         | 4332640         | ALC  | 2     | 0.00     | -0.00 | 0.00  | 0.14  | -0.01 | 0.02  | 0.25  | -0.12 | 0.10  | -0.05  | 0.07  | 0.07   | 0.01  | 0.00  | 0.02  | 0.02  | 0.07  | 0.11  | 0.07  | -0.07 |

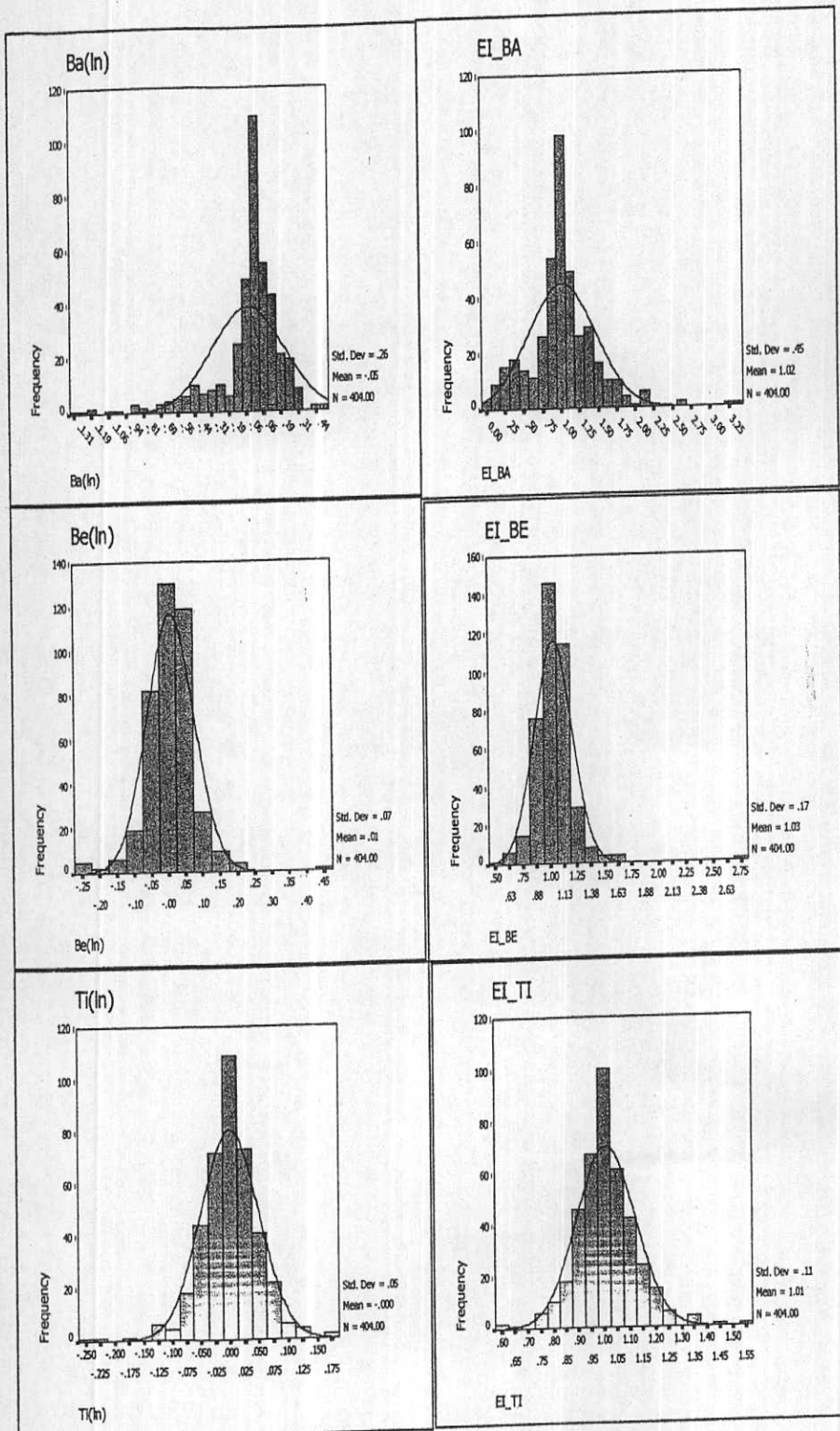


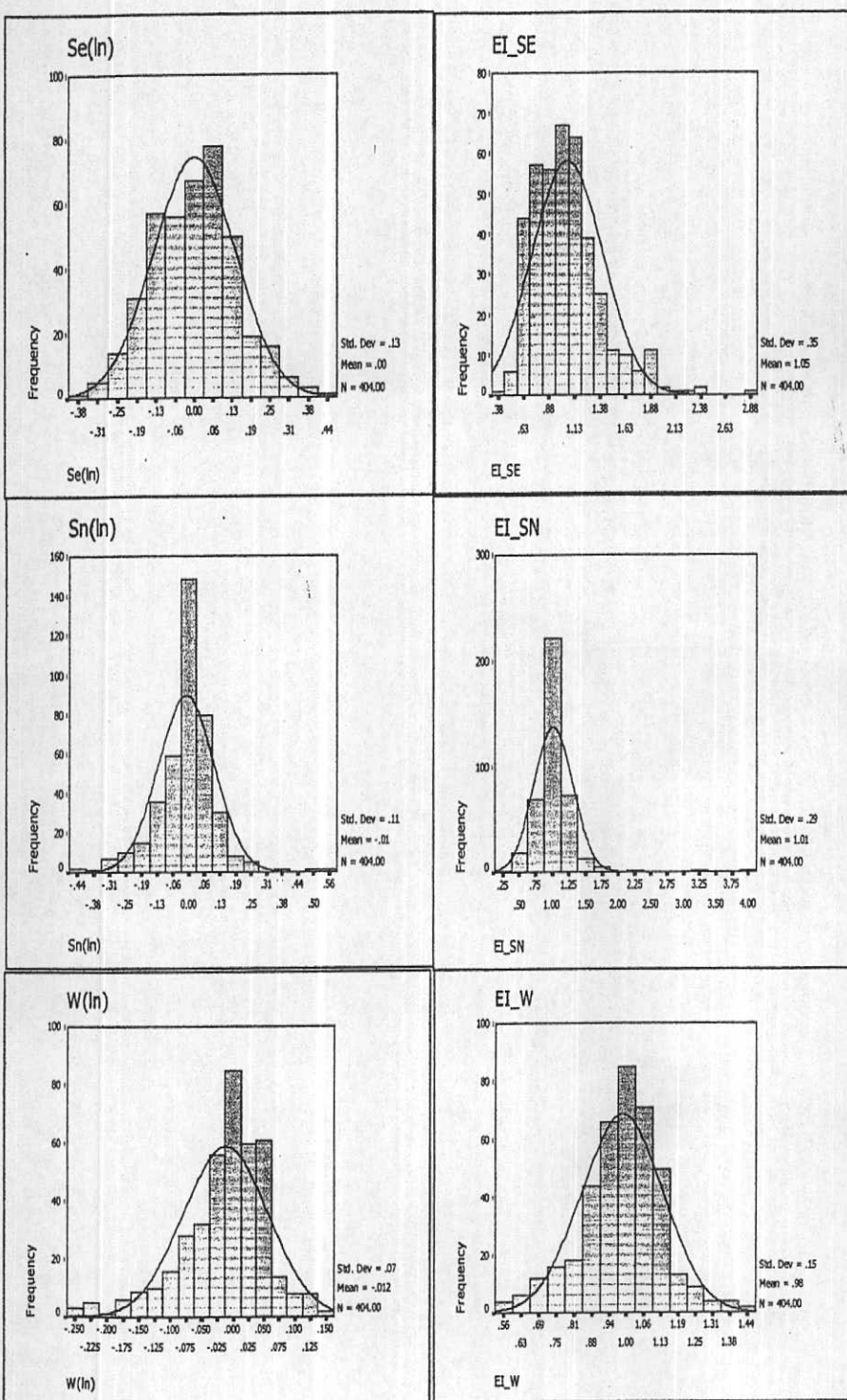


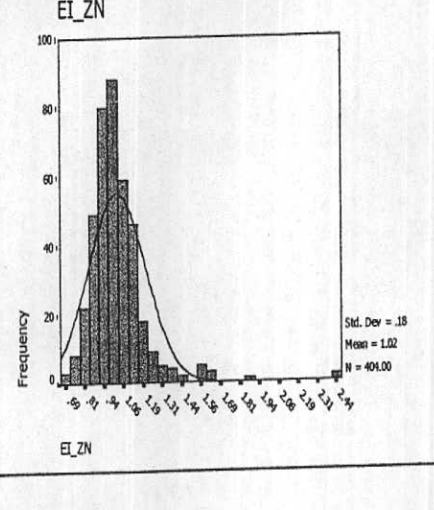
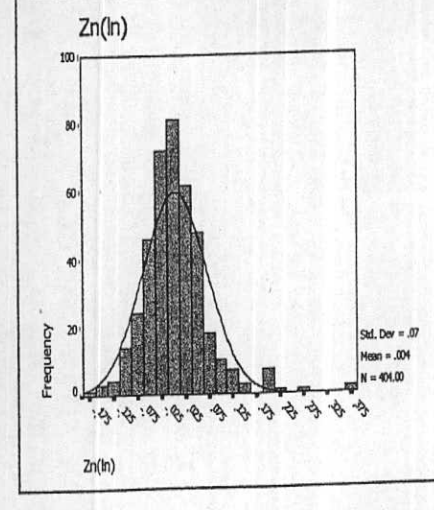
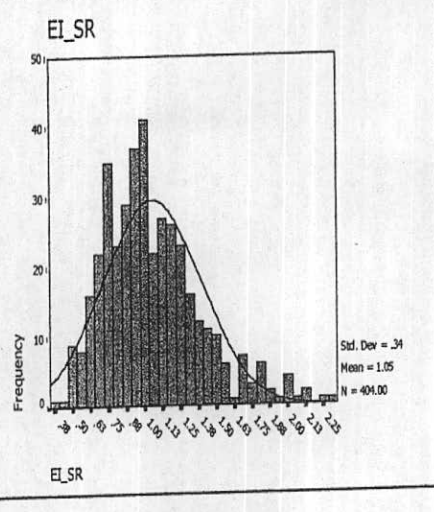
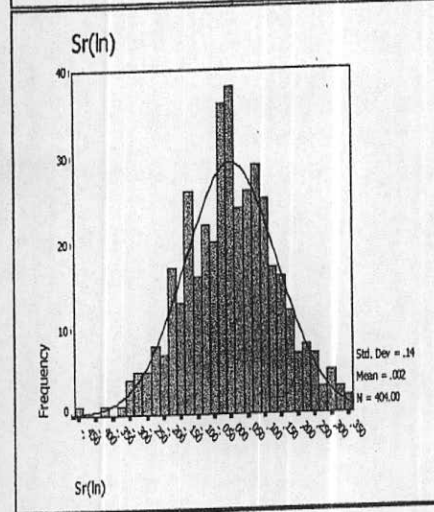
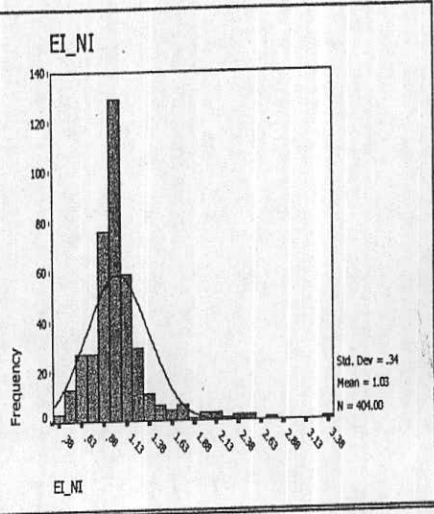
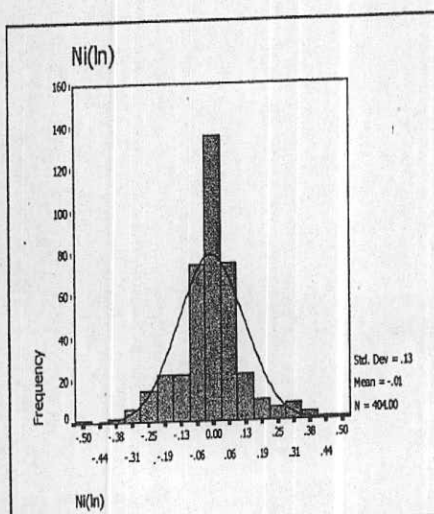
| Row | Bamboo No. | X (mm)  | Y (mm)  | Z (mm) | Material |       | Dimensions |        | Mechanical Properties |       | Chemical Properties |       | Electrical Properties |       | Thermal Properties |       | Other Properties |       |       |       |       |       |       |       |       |
|-----|------------|---------|---------|--------|----------|-------|------------|--------|-----------------------|-------|---------------------|-------|-----------------------|-------|--------------------|-------|------------------|-------|-------|-------|-------|-------|-------|-------|-------|
|     |            |         |         |        | SGT      | Total | (kg/m³)    | Height | Cd(%)                 | Ct(%) | Cu(%)               | Mn(%) | Ni(%)                 | Re(%) | Zn(%)              | Ba(%) | Ti(%)            | Ag(%) | Au(%) | Bi(%) | Mo(%) | Pd(%) | Sb(%) | Se(%) | Wt(%) |
| 369 | 202-577    | 2446600 | 4386180 | SGC    | 2        | 0.70  | -0.08      | 0.13   | -0.10                 | -0.22 | 0.13                | 0.00  | 0.06                  | 0.08  | 0.01               | 0.13  | 0.06             | 0.12  | 0.01  | 0.00  | 0.47  | 0.13  | 0.04  | 0.08  | 0.05  |
| 370 | 202-572    | 2525250 | 4325000 | GMC    | 2        | 0.18  | 0.00       | 0.07   | 0.00                  | 0.00  | 0.11                | 0.00  | 0.00                  | 0.00  | 0.00               | 0.00  | 0.00             | 0.00  | 0.00  | 0.00  | 0.00  | 0.00  | 0.00  | 0.00  | 0.01  |
| 371 | 202-572    | 2525250 | 4325000 | GMC    | 1        | 0.30  | -0.08      | 0.02   | 0.42                  | -0.03 | 0.14                | 0.22  | 0.35                  | 0.15  | 0.02               | 0.17  | -0.01            | -0.13 | 0.00  | 0.00  | 0.00  | 0.00  | 0.00  | 0.00  | 0.00  |
| 372 | 202-574    | 2653932 | 4334970 | ALG    | 1        | -0.30 | 0.22       | 0.04   | 0.37                  | -0.12 | 0.04                | -0.12 | 0.25                  | -0.05 | 0.12               | 0.07  | 0.00             | -0.02 | -0.10 | 0.00  | 0.00  | 0.00  | 0.00  | 0.00  | 0.00  |
| 373 | 202-575    | 2653932 | 4334970 | ALG    | 2        | 0.30  | 0.22       | 0.04   | -0.12                 | 0.04  | -0.11               | 0.00  | 0.02                  | -0.02 | 0.00               | -0.03 | 0.10             | 0.07  | 0.00  | -0.02 | 0.02  | 0.00  | 0.00  | 0.00  | 0.00  |
| 374 | 202-575    | 2653932 | 4334970 | ALG    | 2        | 0.00  | -0.08      | 0.00   | -0.07                 | -0.13 | -0.00               | -0.22 | 0.32                  | -0.03 | 0.25               | 0.13  | 0.03             | -0.16 | -0.13 | -0.00 | 0.11  | -0.12 | -0.22 | -0.03 | 0.00  |
| 375 | 202-577    | 2653932 | 4335210 | GMC    | 1        | 0.05  | -0.08      | 0.00   | 0.31                  | 0.01  | 0.10                | -0.01 | 0.05                  | 0.01  | 0.02               | 0.01  | 0.12             | 0.03  | 0.00  | 0.00  | 0.00  | 0.00  | 0.05  | 0.00  | 0.00  |
| 376 | 202-577    | 2653932 | 4335210 | GMC    | 1        | 0.03  | -0.08      | 0.00   | 0.04                  | 0.30  | 0.01                | 0.02  | 0.01                  | 0.00  | 0.00               | 0.01  | 0.01             | 0.05  | 0.01  | 0.00  | 0.00  | 0.00  | 0.00  | 0.05  | 0.00  |
| 377 | 202-577    | 2653932 | 4335210 | GMC    | 1        | 0.03  | -0.08      | 0.00   | 0.05                  | 0.51  | 0.01                | 0.02  | 0.01                  | 0.00  | 0.00               | 0.01  | 0.01             | 0.03  | 0.01  | 0.00  | 0.00  | 0.00  | 0.05  | 0.00  |       |
| 378 | 202-577    | 2653932 | 4335210 | GMC    | 1        | 0.03  | -0.08      | 0.00   | 0.05                  | 0.51  | 0.01                | 0.02  | 0.01                  | 0.00  | 0.00               | 0.01  | 0.01             | 0.03  | 0.01  | 0.00  | 0.00  | 0.00  | 0.05  | 0.00  |       |
| 379 | 202-577    | 2653932 | 4335210 | GMC    | 1        | 0.03  | -0.08      | 0.00   | 0.05                  | 0.51  | 0.01                | 0.02  | 0.01                  | 0.00  | 0.00               | 0.01  | 0.01             | 0.03  | 0.01  | 0.00  | 0.00  | 0.00  | 0.05  | 0.00  |       |
| 380 | 202-582    | 2653932 | 4335210 | GMC    | 1        | 0.03  | -0.08      | 0.00   | 0.05                  | 0.51  | 0.01                | 0.02  | 0.01                  | 0.00  | 0.00               | 0.01  | 0.01             | 0.03  | 0.01  | 0.00  | 0.00  | 0.00  | 0.05  | 0.00  |       |
| 381 | 202-582    | 2653932 | 4335210 | GMC    | 1        | 0.03  | -0.08      | 0.00   | 0.05                  | 0.51  | 0.01                | 0.02  | 0.01                  | 0.00  | 0.00               | 0.01  | 0.01             | 0.03  | 0.01  | 0.00  | 0.00  | 0.00  | 0.05  | 0.00  |       |
| 382 | 202-582    | 2653932 | 4335210 | GMC    | 1        | 0.03  | -0.08      | 0.00   | 0.05                  | 0.51  | 0.01                | 0.02  | 0.01                  | 0.00  | 0.00               | 0.01  | 0.01             | 0.03  | 0.01  | 0.00  | 0.00  | 0.00  | 0.05  | 0.00  |       |
| 383 | 202-582    | 2653932 | 4335210 | GMC    | 1        | 0.03  | -0.08      | 0.00   | 0.05                  | 0.51  | 0.01                | 0.02  | 0.01                  | 0.00  | 0.00               | 0.01  | 0.01             | 0.03  | 0.01  | 0.00  | 0.00  | 0.00  | 0.05  | 0.00  |       |
| 384 | 202-582    | 2653932 | 4335210 | GMC    | 2        | 0.00  | 0.22       | -0.03  | -0.25                 | -0.01 | -0.02               | -0.20 | 0.17                  | 0.02  | 0.43               | 0.11  | 0.05             | 0.03  | 0.01  | 0.19  | 0.02  | 0.00  | -0.10 | -0.05 | 0.00  |
| 385 | 202-582    | 2653932 | 4335210 | GMC    | 2        | 0.00  | -0.08      | -0.09  | -0.17                 | -0.22 | -0.08               | -0.31 | 0.38                  | -0.12 | 0.18               | 0.10  | -0.02            | -0.16 | -0.19 | -0.00 | -0.03 | -0.03 | -0.03 | 0.00  |       |
| 386 | 202-587    | 2654680 | 4332330 | ALG    | 2        | 0.00  | -0.08      | 0.00   | -0.02                 | -0.18 | -0.07               | -0.15 | 0.27                  | -0.04 | 0.14               | 0.07  | 0.03             | 0.07  | -0.02 | -0.14 | 0.40  | -0.18 | -0.10 | 0.00  |       |
| 387 | 202-589    | 2654680 | 4332330 | ALG    | 2        | 0.00  | -0.08      | 0.00   | -0.05                 | -0.08 | -0.03               | -0.03 | -0.15                 | 0.13  | -0.03              | 0.22  | 0.08             | 0.06  | 0.05  | -0.02 | -0.21 | 0.38  | -0.04 | 0.05  |       |
| 388 | 202-589    | 2654680 | 4332330 | ALG    | 2        | 0.00  | -0.08      | 0.00   | -0.05                 | -0.08 | -0.03               | -0.03 | -0.15                 | 0.13  | -0.03              | 0.22  | 0.08             | 0.06  | 0.05  | -0.02 | -0.21 | 0.38  | -0.04 | 0.05  |       |
| 389 | 202-597    | 2654680 | 4332330 | ALG    | 2        | 0.00  | -0.08      | 0.00   | -0.05                 | -0.08 | -0.03               | -0.03 | -0.15                 | 0.13  | -0.03              | 0.22  | 0.08             | 0.06  | 0.05  | -0.02 | -0.21 | 0.38  | -0.04 | 0.05  |       |
| 390 | 202-599    | 2654680 | 4332330 | ALG    | 2        | 0.00  | -0.08      | 0.00   | -0.05                 | -0.08 | -0.03               | -0.03 | -0.15                 | 0.13  | -0.03              | 0.22  | 0.08             | 0.06  | 0.05  | -0.02 | -0.21 | 0.38  | -0.04 | 0.05  |       |
| 391 | 202-599    | 2654680 | 4332330 | ALG    | 2        | 0.00  | -0.08      | 0.00   | -0.05                 | -0.08 | -0.03               | -0.03 | -0.15                 | 0.13  | -0.03              | 0.22  | 0.08             | 0.06  | 0.05  | -0.02 | -0.21 | 0.38  | -0.04 | 0.05  |       |
| 392 | 202-599    | 2654680 | 4332330 | ALG    | 2        | 0.00  | -0.08      | 0.00   | -0.05                 | -0.08 | -0.03               | -0.03 | -0.15                 | 0.13  | -0.03              | 0.22  | 0.08             | 0.06  | 0.05  | -0.02 | -0.21 | 0.38  | -0.04 | 0.05  |       |
| 393 | 202-599    | 2654680 | 4332330 | ALG    | 2        | 0.00  | -0.08      | 0.00   | -0.05                 | -0.08 | -0.03               | -0.03 | -0.15                 | 0.13  | -0.03              | 0.22  | 0.08             | 0.06  | 0.05  | -0.02 | -0.21 | 0.38  | -0.04 | 0.05  |       |
| 394 | 202-599    | 2654680 | 4332330 | ALG    | 2        | 0.00  | -0.08      | 0.00   | -0.05                 | -0.08 | -0.03               | -0.03 | -0.15                 | 0.13  | -0.03              | 0.22  | 0.08             | 0.06  | 0.05  | -0.02 | -0.21 | 0.38  | -0.04 | 0.05  |       |
| 395 | 202-599    | 2654680 | 4332330 | ALG    | 2        | 0.00  | -0.08      | 0.00   | -0.05                 | -0.08 | -0.03               | -0.03 | -0.15                 | 0.13  | -0.03              | 0.22  | 0.08             | 0.06  | 0.05  | -0.02 | -0.21 | 0.38  | -0.04 | 0.05  |       |
| 396 | 202-599    | 2654680 | 4332330 | ALG    | 2        | 0.00  | -0.08      | 0.00   | -0.05                 | -0.08 | -0.03               | -0.03 | -0.15                 | 0.13  | -0.03              | 0.22  | 0.08             | 0.06  | 0.05  | -0.02 | -0.21 | 0.38  | -0.04 | 0.05  |       |
| 397 | 202-599    | 2654680 | 4332330 | ALG    | 2        | 0.00  | -0.08      | 0.00   | -0.05                 | -0.08 | -0.03               | -0.03 | -0.15                 | 0.13  | -0.03              | 0.22  | 0.08             | 0.06  | 0.05  | -0.02 | -0.21 | 0.38  | -0.04 | 0.05  |       |
| 398 | 202-599    | 2654680 | 4332330 | ALG    | 2        | 0.00  | -0.08      | 0.00   | -0.05                 | -0.08 | -0.03               | -0.03 | -0.15                 | 0.13  | -0.03              | 0.22  | 0.08             | 0.06  | 0.05  | -0.02 | -0.21 | 0.38  | -0.04 | 0.05  |       |
| 399 | 202-599    | 2654680 | 4332330 | ALG    | 2        | 0.00  | -0.08      | 0.00   | -0.05                 | -0.08 | -0.03               | -0.03 | -0.15                 | 0.13  | -0.03              | 0.22  | 0.08             | 0.06  | 0.05  | -0.02 | -0.21 | 0.38  | -0.04 | 0.05  |       |
| 400 | 202-599    | 2654680 | 4332330 | ALG    | 2        | 0.00  | -0.08      | 0.00   | -0.05                 | -0.08 | -0.03               | -0.03 | -0.15                 | 0.13  | -0.03              | 0.22  | 0.08             | 0.06  | 0.05  | -0.02 | -0.21 | 0.38  | -0.04 | 0.05  |       |
| 401 | 202-599    | 2654680 | 4332330 | ALG    | 2        | 0.00  | -0.08      | 0.00   | -0.05                 | -0.08 | -0.03               | -0.03 | -0.15                 | 0.13  | -0.03              | 0.22  | 0.08             | 0.06  | 0.05  | -0.02 | -0.21 | 0.38  | -0.04 | 0.05  |       |
| 402 | 202-599    | 2654680 | 4332330 | ALG    | 2        | 0.00  | -0.08      | 0.00   | -0.05                 | -0.08 | -0.03               | -0.03 | -0.15                 | 0.13  | -0.03              | 0.22  | 0.08             | 0.06  | 0.05  | -0.02 | -0.21 | 0.38  | -0.04 | 0.05  |       |
| 403 | 202-599    | 2654680 | 4332330 | ALG    | 2        | 0.00  | -0.08      | 0.00   | -0.05                 | -0.08 | -0.03               | -0.03 | -0.15                 | 0.13  | -0.03              | 0.22  | 0.08             | 0.06  | 0.05  | -0.02 | -0.21 | 0.38  | -0.04 | 0.05  |       |
| 404 | 202-599    | 2654680 | 4332330 | ALG    | 2        | 0.00  | -0.08      | 0.00   | -0.05                 | -0.08 | -0.03               | -0.03 | -0.15                 | 0.13  | -0.03              | 0.22  | 0.08             | 0.06  | 0.05  | -0.02 | -0.21 | 0.38  | -0.04 | 0.05  |       |
| 405 | 202-599    | 2654680 | 4332330 | ALG    | 2        | 0.00  | -0.08      | 0.00   | -0.05                 | -0.08 | -0.03               | -0.03 | -0.15                 | 0.13  | -0.03              | 0.22  | 0.08             | 0.06  | 0.05  | -0.02 | -0.21 | 0.38  | -0.04 | 0.05  |       |
| 406 | 202-599    | 2654680 | 4332330 | ALG    | 2        | 0.00  | -0.08      | 0.00   | -0.05                 | -0.08 | -0.03               | -0.03 | -0.15                 | 0.13  | -0.03              | 0.22  | 0.08             | 0.06  | 0.05  | -0.02 | -0.21 | 0.38  | -0.04 | 0.05  |       |
| 407 | 202-599    | 2654680 | 4332330 | ALG    | 2        | 0.00  | -0.08      | 0.00   | -0.05                 | -0.08 | -0.03               | -0.03 | -0.15                 | 0.13  | -0.03              | 0.22  | 0.08             | 0.06  | 0.05  | -0.02 | -0.21 | 0.38  | -0.04 | 0.05  |       |
| 408 | 202-599    | 2654680 | 4332330 | ALG    | 2        | 0.00  | -0.08      | 0.00   | -0.05                 | -0.08 | -0.03               | -0.03 | -0.15                 | 0.13  | -0.03              | 0.22  | 0.08             | 0.06  | 0.05  | -0.02 | -0.21 | 0.38  | -0.04 | 0.05  |       |
| 409 | 202-599    | 2654680 | 4332330 | ALG    | 2        | 0.00  | -0.08      | 0.00   | -0.05                 | -0.08 | -0.03               | -0.03 | -0.15                 | 0.13  | -0.03              | 0.22  | 0.08             | 0.06  | 0.05  | -0.02 | -0.21 | 0.38  | -0.04 | 0.05  |       |
| 410 | 202-599    | 2654680 | 4332330 | ALG    | 2        | 0.00  | -0.08      | 0.00   | -0.05                 | -0.08 | -0.03               | -0.03 | -0.15                 | 0.13  | -0.03              | 0.22  | 0.08             | 0.06  | 0.05  | -0.02 | -0.21 | 0.38  | -0.04 | 0.05  |       |
| 411 | 202-599    | 2654680 | 4332330 | ALG    | 2        | 0.00  | -0.08      | 0.00   | -0.05                 | -0.08 | -0.03               | -0.03 | -0.15                 | 0.13  | -0.03              | 0.22  | 0.08             | 0.06  | 0.05  | -0.02 | -0.21 | 0.38  | -0.04 | 0.05  |       |
| 412 | 202-599    | 2654680 | 4332330 | ALG    | 2        | 0.00  | -0.08      | 0.00   | -0.05                 | -0.08 | -0.03               | -0.03 | -0.15                 | 0.13  | -0.03              | 0.22  | 0.08             | 0.06  | 0.05  | -0.02 | -0.21 | 0.38  | -0.04 | 0.05  |       |
| 413 | 202-599    | 2654680 | 4332330 | ALG    | 2        | 0.00  | -0.08      | 0.00   | -0.05                 | -0.08 | -0.03               | -0.03 | -0.15                 | 0.13  | -0.03              | 0.22  | 0.08             | 0.06  | 0.05  | -0.02 | -0.21 | 0.38  | -0.04 | 0.05  |       |
| 414 | 202-599    | 2654680 | 4332330 | ALG    | 2        | 0.00  | -0.08      | 0.00   | -0.05                 | -0.08 | -0.03               | -0.03 | -0.15                 | 0.13  | -0.03              | 0.22  | 0.08             | 0.06  | 0.05  | -0.02 | -0.21 | 0.38  | -0.04 | 0.05  |       |
| 415 | 202-599    | 2654680 | 4332330 | ALG    | 2        | 0.00  | -0.08      | 0.00   | -0.05                 | -0.08 | -0.03               | -0.03 | -0.15                 | 0.13  | -0.03              | 0.22  | 0.08             | 0.06  | 0.05  | -0.02 | -0.21 | 0.38  | -0.04 | 0.05  |       |
| 416 | 202-599    | 2654680 | 4332330 | ALG    | 2        | 0.00  | -0.08      | 0.00   | -0.05                 | -0.08 | -0.03               | -0.03 | -0.15                 | 0.13  | -0.03              | 0.22  | 0.08             | 0.06  | 0.05  | -0.02 | -0.21 | 0.38  | -0.04 | 0.05  |       |
| 417 | 202-599    | 2654680 | 4332330 | ALG    | 2        | 0.00  | -0.08      | 0.00   | -0.05                 | -0.08 | -0.03               | -0.03 | -0.15                 | 0.13  | -0.03              | 0.22  | 0.08             | 0.06  |       |       |       |       |       |       |       |

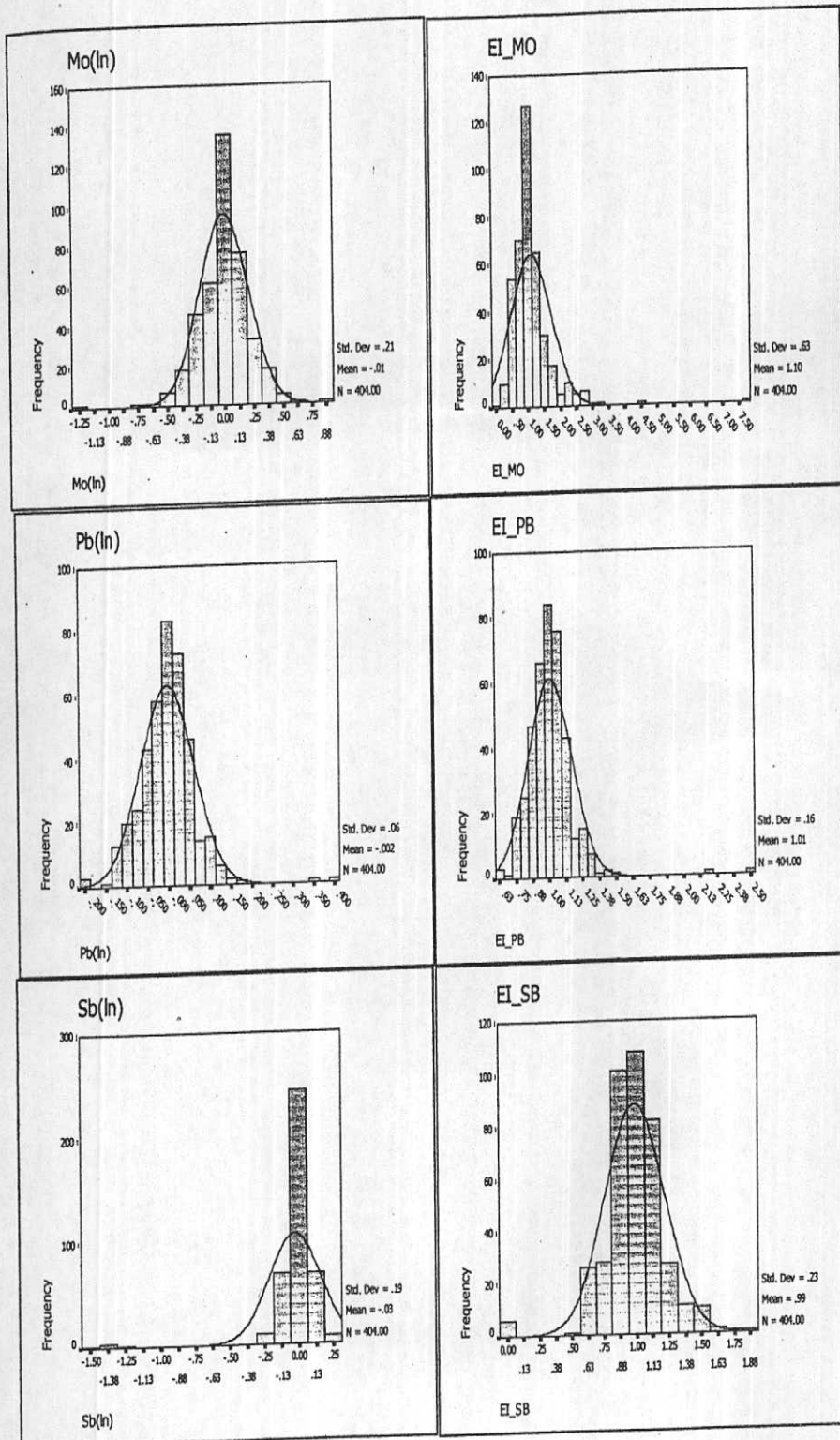


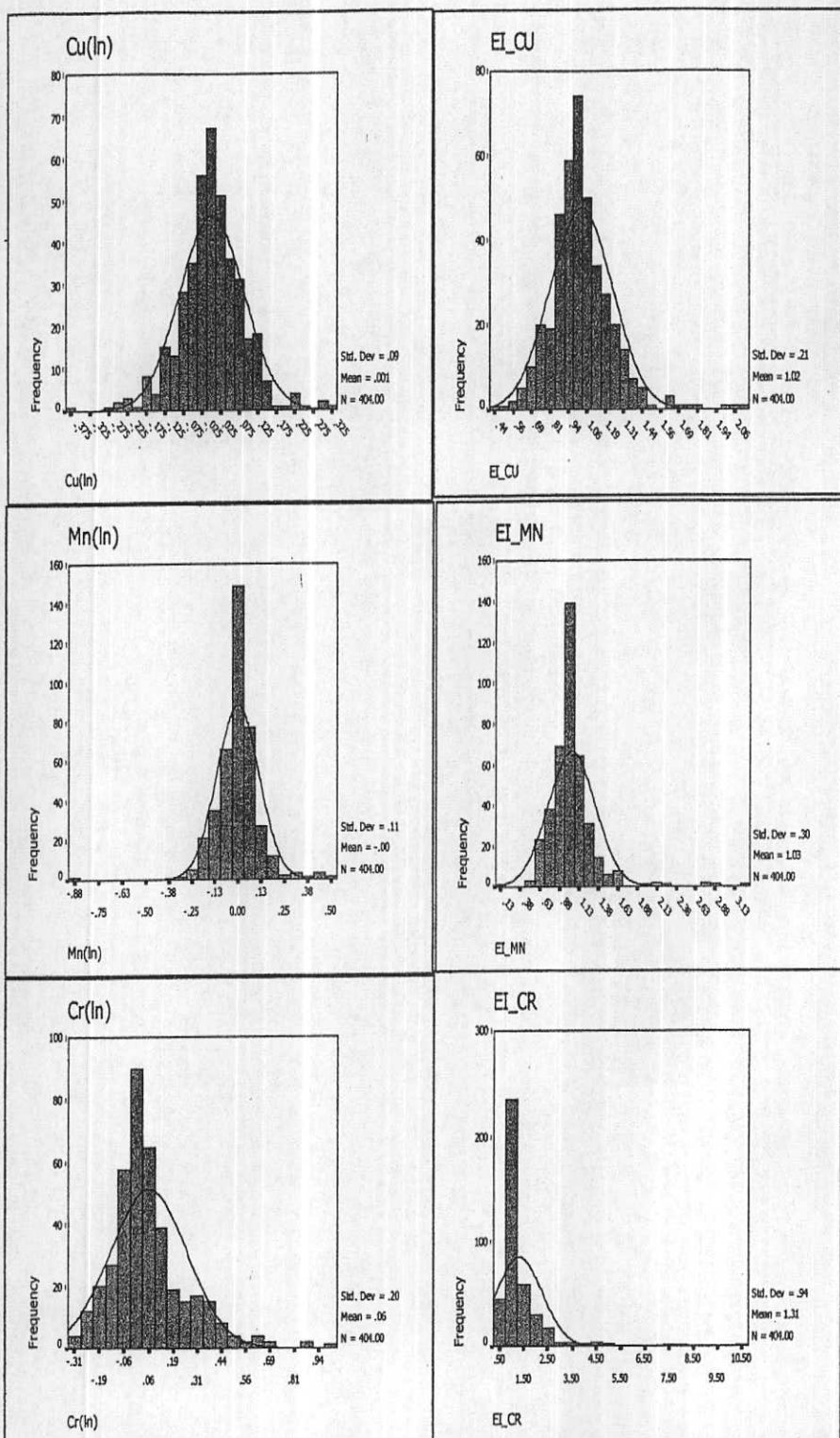
پیوست شماره ۱۶: هیستوگرام های  
شاخص غنی شدگی

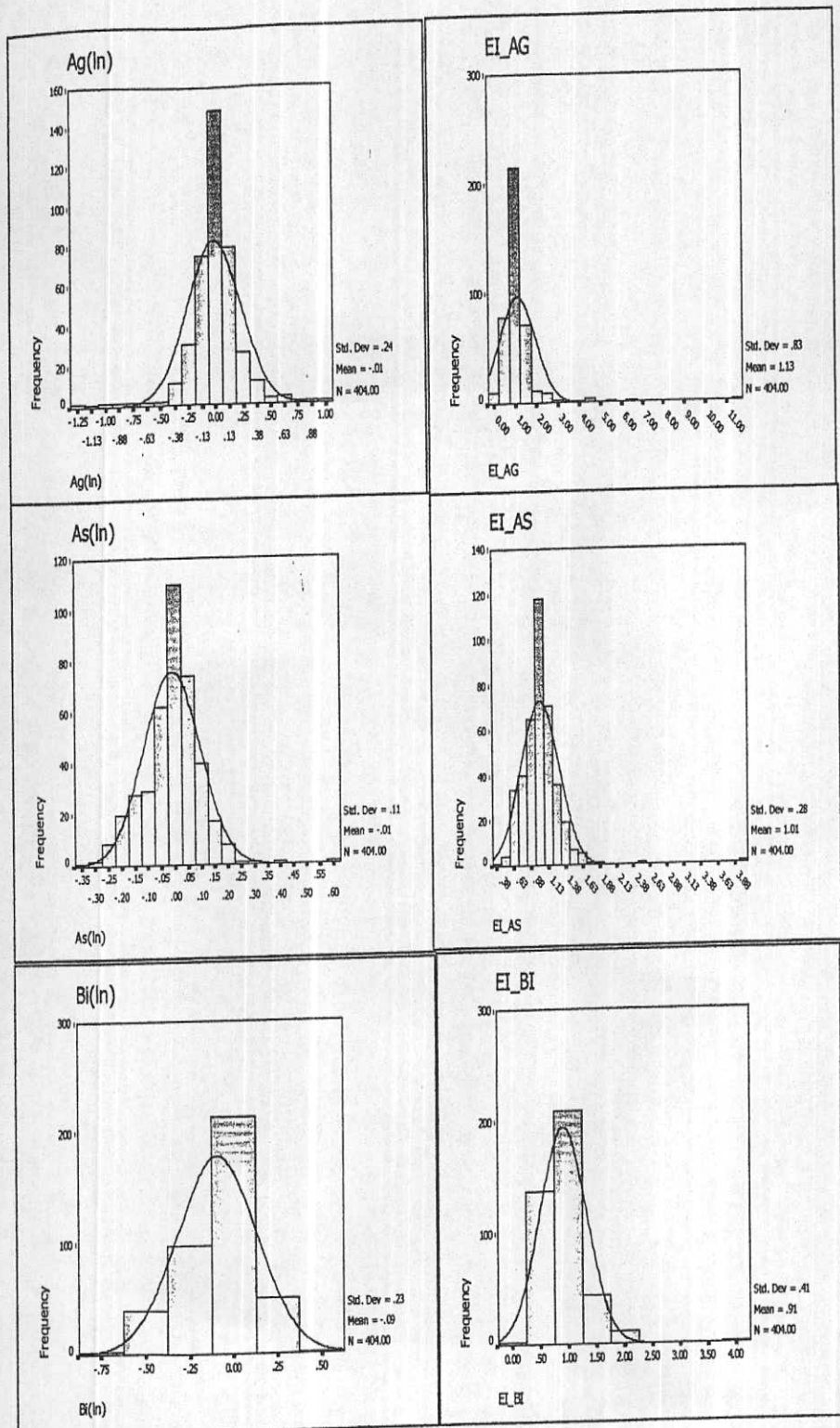












# **پیوست شماره ۵: نتایج داده های خام کانیهای سنگین**



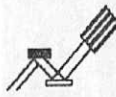
| Sample No.      | ZRH-71 | ZGH-80 | ZRH-90 | ZAH-98 | ZRH-106 | ZGH-112 | ZRH-116 | ZRH-118 |
|-----------------|--------|--------|--------|--------|---------|---------|---------|---------|
|                 | ppm    | ppm    | ppm    | ppm    | ppm     | ppm     | ppm     | ppm     |
| MAGNETITE       | 1764   | 1361   | 567    | 798    | 1260    | 315     | 189     | 420     |
| APATITE         | 153.6  | 69.1   | 34.6   | 24.3   | 72.0    | 9.6     | 76.8    | 32.0    |
| ZIRCON          | 1.9    | 1.0    | 0.5    | 0.7    | 1.2     | 0.2     | 1.4     | 0.9     |
| RUTILE          | 0.7    | 0.9    | 0.5    |        | 0.4     |         | 0.5     | 0.8     |
| ANATASE         |        |        |        |        |         |         |         |         |
| SPHENE          |        | 0.8    |        |        |         |         |         |         |
| LEUCOXENE       |        | 0.8    |        |        |         |         | 0.4     |         |
| BARITE          | 18.0   | 97.2   | 12.2   | 34.2   | 1.1     | 13.5    | 1.4     | 2.3     |
| PYRITE          |        | 2.7    |        | 0.8    |         | 0.2     | 0.6     |         |
| Ca,CARBONATE    | 43.2   | 58.3   | 14.6   | 82.1   | 13.5    | 13.5    | 16.2    | 54.0    |
| .F,Q            | 21.6   | 43.7   | 87.5   | 41.0   | 40.5    | 13.5    | 48.6    | 81.0    |
| NIGRINE         |        |        |        |        |         |         |         |         |
| GALENA          |        | 40.5   | 0.8    |        |         |         |         |         |
| CERUSSITE       |        | 3.5    | 0.7    | 1.0    |         |         | 0.3     |         |
| MALACHITE       |        |        |        |        |         |         |         |         |
| GOLD+Cu         |        |        |        |        |         |         |         |         |
| GOLD            |        |        |        |        |         |         |         |         |
| SAPHIR          |        |        |        | 0.6    |         |         |         |         |
| HALITE          |        |        |        |        |         |         |         |         |
| SILVER          |        |        |        |        |         |         |         |         |
| SMITHSONITE     |        | 0.8    |        |        |         |         | 0.1     |         |
| SPHALERITE      |        | 0.9    |        |        |         |         |         |         |
| Mn-OXIDE        |        |        |        |        |         |         |         |         |
| PHOSPHORITE     |        |        |        |        |         |         |         |         |
| BORNITE         |        | 1.1    |        |        |         |         |         |         |
| ANGLESITE       |        | 0.7    |        |        |         |         |         |         |
| HEMIMORPHITE    |        | 0.8    |        |        |         |         |         |         |
| PYROMORPHITE    |        |        |        |        |         |         |         |         |
| NATIVELEADE     |        |        |        |        |         |         |         |         |
| REALGAR         |        |        |        |        |         |         |         |         |
| CHALCOPYRITE    |        |        |        |        |         |         |         |         |
| BROCHANTITE     |        | 0.8    |        |        |         |         |         |         |
| MARCASITE       |        |        |        |        |         |         |         |         |
| JARUSITE        |        |        |        |        |         |         |         |         |
| HEMATITE        | 336    | 1037   | 130    | 182    | 11      | 84      | 162     | 270     |
| GOETHITE        | 0.1    | 2.6    | 0.0    | 0.0    | 0.0     | 0.1     | 0.0     | 0.0     |
| LIMONITE        | 0.6    | 4.3    | 0.0    | 0.1    | 0.0     | 0.6     | 0.0     | 0.0     |
| PYROXENS        | 2629.2 | 1622.6 | 2535.3 | 3330.3 | 1971.9  | 538.4   | 3042.4  | 5508.8  |
| AMPHIBOLE       |        | 276.5  | 0.3    | 0.5    |         | 0.1     |         | 0.6     |
| EPIDOTS         | 0.5    | 29.4   | 0.4    | 0.5    |         | 0.1     |         |         |
| BIOTITE         |        |        |        |        |         | 1.8     |         |         |
| PYRITE-LIMONITE |        | 1.0    |        |        |         | 26.4    |         |         |
| PYRITE OXIDE    | 0.8    | 43.2   |        |        |         | 3.0     |         | 1.0     |
| OLIGISTE        | 0.8    |        |        |        |         |         |         |         |
| ILMENITE        | 263.2  | 40.6   | 253.8  | 0.7    | 141.0   |         | 0.6     | 0.9     |
| MARTITE         |        |        |        |        |         | 0.2     |         |         |
| BLACK SPINEL    |        |        | 0.4    |        | 0.4     |         |         |         |

KANSARAN  
BINALOUD



کانساران  
بینالود

| Sample No.      | ZRH-6  | ZGH-8  | ZGH-18 | ZRH-38 | ZGH-46 | ZGH-48 | ZRH-61/1 | ZRH-63 |
|-----------------|--------|--------|--------|--------|--------|--------|----------|--------|
|                 | ppm    | ppm    | ppm    | ppm    | ppm    | ppm    | ppm      | ppm    |
| MAGNETITE       | 1764   | 706    |        | 2520   | 672    | 403    | 4570     | 1890   |
| APATITE         | 76.8   | 26.9   | 3.2    | 153.6  | 102.4  | 245.8  | 282.9    | 80.0   |
| ZIRCON          | 28.2   | 1.3    | 0.1    | 1.4    | 1.5    | 1.2    | 32.0     | 1.2    |
| RUTILE          | 0.5    | 0.5    | 0.1    | 0.5    | 1.3    | 1.1    | 1.1      | 0.4    |
| ANATASE         | 0.5    | 0.4    |        |        |        |        |          |        |
| SPHENE          |        | 0.4    |        | 1.1    |        |        | 1.0      |        |
| LEUCOXENE       |        | 0.4    | 0.1    |        |        |        | 1.0      | 0.4    |
| BARITE          | 0.5    | 100.8  | 2.3    |        | 1296.0 | 2476.8 | 1.2      | 11.3   |
| PYRITE          | 0.6    | 1.4    | 0.1    | 0.6    | 320.0  | 384.0  |          |        |
| Ca,CARBONATE    | 16.2   | 15.1   | 4.1    | 0.3    | 259.2  | 622.1  | 18.4     | 20.3   |
| F,Q             | 32.4   | 22.7   | 5.4    | 16.2   | 86.4   | 414.7  | 36.7     | 27.0   |
| NIGRINE         |        |        |        |        |        |        |          |        |
| GALENA          | 0.9    | 2.1    | 0.2    |        | 120.0  | 345.6  |          |        |
| CERUSSITE       | 0.8    | 1.8    | 0.1    |        | 104.0  | 698.9  |          |        |
| MALACHITE       |        | 0.4    |        |        | 1.3    |        |          |        |
| GOLD+Cu         |        |        |        |        |        |        |          |        |
| GOLD            |        |        |        | 2.3    |        |        |          |        |
| ORPIMENTE       |        |        |        |        |        |        |          |        |
| CINNABAR        | 1.0    |        |        |        |        |        |          |        |
| SCHEELITE       |        |        |        |        |        |        |          |        |
| FLUORITE        |        | 0.4    |        |        | 10.2   | 24.6   |          |        |
| TURMALINE       |        |        |        |        |        |        |          |        |
| CRYSTOCOLA      |        |        |        |        |        |        |          |        |
| NATIVE COPPER   |        | 1.0    |        | 1.1    | 2.8    | 2.3    |          |        |
| SMITHSONITE     |        | 1.0    | 0.1    |        | 22.4   | 268.8  |          |        |
| SPHALERITE      |        | 0.4    |        |        | 1.3    | 30.7   |          |        |
| Mn-OXIDE        |        | 0.5    |        |        | 1.5    | 1.2    |          |        |
| BORNITE         |        | 0.6    |        |        | 1.6    | 1.3    |          |        |
| ANGLESITE       |        |        |        |        | 10.2   | 245.8  |          |        |
| HEMIMORPHITE    |        |        |        |        | 11.2   | 268.8  |          |        |
| PYROMORPHITE    |        |        |        |        | 2.2    | 53.8   |          |        |
| NATIVE LEADE    |        |        |        |        | 2.7    | 2.2    |          |        |
| HEMATITE        | 108    | 134    | 15     | 36     | 1008   | 461    | 245      | 60     |
| GOETHITE        | 0.0    | 0.0    | 0.0    | 0.0    | 1.1    | 0.5    | 0.0      | 0.0    |
| LIMONITE        | 0.0    | 0.0    | 0.0    | 0.0    | 3.4    | 2.0    | 0.1      | 0.0    |
| PYROXENS        | 1802.9 | 1963.1 | 494.5  | 525.8  | 3105.0 | 961.5  | 3831.1   | 1064.2 |
| AMPHIBOLE       | 11.5   | 14.3   | 0.1    | 0.4    | 1.0    | 0.8    | 0.9      |        |
| EPIDOTS         | 0.4    | 152.3  | 0.1    |        | 38.1   | 17.4   | 27.7     |        |
| BIOTITE         |        | 0.3    |        |        |        |        |          |        |
| PYRITE-LIMONITE |        |        |        |        | 492.8  | 225.3  |          |        |
| PYRITE OXIDE    | 0.6    | 22.4   | 0.1    | 0.6    | 1120.0 | 768.0  | 1.4      | 0.5    |
| OLIGISTE        | 0.6    | 0.6    |        |        | 1.7    | 1.4    |          |        |
| ILMENITE+Fe     | 660.0  | 504.0  |        | 2580.0 | 56.0   |        |          |        |
| ILMENITE        | 620.4  | 473.8  |        | 2425.2 | 52.6   | 1.2    | 894.9    | 1222.0 |
| BLACK SPINEL    | 0.5    | 17.0   |        | 4.6    | 1.2    | 19.5   |          |        |
| WOLFRAMITE      |        |        |        |        |        | 1.8688 |          |        |
| STIBINITE       |        |        |        |        |        | 1.1776 |          |        |



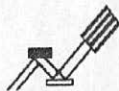
| Sample No.      | ZRH-124 | ZRH-152 | ZAH-183 | ZGH-185 | ZGH-191 | ZRH-194 | ZAH-204/1B | ZAH-211 |
|-----------------|---------|---------|---------|---------|---------|---------|------------|---------|
|                 | ppm     | ppm     | ppm     | ppm     | ppm     | ppm     | ppm        | ppm     |
| MAGNETITE       | 1191    | 638     | 3528    | 529     | 735     | 706     | 4082       | 3024    |
| APATITE         | 121.0   | 316.2   | 115.2   | 15.4    | 40.0    | 89.6    | 51.8       | 76.8    |
| ZIRCON          | 0.5     | 1.4     | 56.4    | 0.6     | 1.2     | 0.5     | 63.5       | 56.4    |
| RUTILE          |         | 1.3     | 1.3     | 0.2     | 0.4     | 0.5     | 4.5        | 2.5     |
| ANATASE         |         |         | 0.5     |         | 0.4     |         | 0.4        |         |
| SPHENE          |         |         | 0.4     | 0.2     | 0.4     |         |            |         |
| LEUCOXENE       |         |         |         | 0.2     | 0.4     |         | 0.9        | 2.1     |
| BARITE          | 0.5     | 1.4     | 13.5    | 16.2    | 45.0    | 1.3     | 1.2        | 135.0   |
| PYRITE          |         | 3.8     |         | 6.0     | 1.3     |         | 0.5        | 1.2     |
| Ca,CARBONATE    | 0.7     | 2.1     | 8.1     | 13.0    | 40.5    | 0.8     | 29.2       | 81.0    |
| F,Q             | 21.9    | 82.1    | 16.2    | 19.4    | 27.0    | 60.5    | 21.0       | 64.8    |
| NIGRINE         |         |         |         |         |         |         | 0.5        |         |
| GALENA          |         |         | 0.9     |         | 0.8     |         |            | 1.8     |
| CERUSSITE       |         |         | 0.8     |         | 0.7     |         |            | 1.6     |
| MALACHITE       |         |         |         |         |         |         |            |         |
| GOLD+Cu         |         |         |         |         |         |         |            |         |
| GOLD            |         | 5.9     | 2.3     |         |         |         |            |         |
| SAPHIR          |         |         |         |         |         |         |            | 1.0     |
| HALITE          |         |         |         |         |         |         |            |         |
| SILVER          |         |         |         |         | 1.1     | 1.2     |            |         |
| SILVER+AU       |         |         |         |         |         |         |            |         |
| PHOSPHORITE     |         |         |         |         |         |         |            |         |
| BORNITE         |         |         |         |         |         |         |            |         |
| ANGLESITE       |         |         |         |         |         |         |            |         |
| HEMIMORPHITE    |         |         |         |         |         |         |            | 0.8     |
| PYROMORPHITE    |         |         |         |         |         |         |            |         |
| NATIVELEADE     |         |         |         |         |         |         |            | 2.0     |
| REALGAR         |         |         |         |         |         |         |            |         |
| CHALCOPYRITE    |         |         |         |         |         |         |            |         |
| BROCHANTITE     |         |         | 0.5     |         |         |         |            |         |
| MARCASITE       |         |         |         |         |         |         |            |         |
| JARUSITE        |         |         |         |         |         |         |            |         |
| AMETISTE        |         |         |         |         |         |         |            |         |
| HEMATITE        | 113     | 410     | 36      | 151     | 360     | 134     | 97         | 216     |
| GOETHITE        | 0.0     | 0.0     | 0.0     | 0.2     | 1.2     | 0.0     | 0.0        | 0.0     |
| LIMONITE        | 0.0     | 0.0     | 0.0     | 0.8     | 2.4     | 0.0     | 0.0        | 0.7     |
| PYROXENS        | 2433.9  | 8183.1  | 638.5   | 473.3   | 751.2   | 2524.0  | 236.6      | 3605.8  |
| AMPHIBOLE       | 0.3     | 1.0     | 0.4     | 5.4     | 0.3     | 0.4     | 3.5        | 460.8   |
| EPIDOTS         |         |         | 0.4     | 5.7     | 0.3     | 0.4     | 0.4        | 0.8     |
| GARNETS         |         |         | 4.8     | 0.2     |         |         | 4.3        | 595.2   |
| CHLORITE        |         |         | 0.3     |         |         |         | 0.3        |         |
| BIOTITE         |         |         |         | 5.2     | 0.3     |         |            |         |
| PYRITE-LIMONITE |         |         |         | 0.2     | 0.4     |         |            |         |
| PYRITE OXIDE    |         |         |         | 0.2     | 0.5     |         | 54.0       | 1.2     |
| OLIGISTE        |         |         | 0.6     |         |         |         |            |         |
| ILMENITE        | 304.6   | 1.4     | 1353.6  | 3.6     |         | 52.6    | 253.8      | 23.7    |
| BLACK SPINEL    |         |         |         |         |         |         | 41.0       | 0.9     |

**KANSARAN  
BINALOUD**



**کانساران  
بینالود**

| Sample No.      | ZGH-211 | ZAH-218B | ZA-219B | ZAR229B | ZRH-235B | ZRH-235/1B | ZAH-237 | ZRH-240B |
|-----------------|---------|----------|---------|---------|----------|------------|---------|----------|
|                 | ppm     | ppm      | ppm     | ppm     | ppm      | ppm        | ppm     | ppm      |
| MAGNETITE       | 1512    | 3969     | 4536    | 655     | 3629     | 170        | 5746    | 2205     |
| APATITE         | 57.6    | 48.0     | 86.4    | 33.3    | 46.1     | 112.3      | 145.9   | 57.6     |
| ZIRCON          | 56.4    | 28.2     | 84.6    | 24.4    | 22.6     | 25.4       | 214.3   | 14.1     |
| RUTILE          | 10.1    | 1.3      | 5.0     | 0.4     | 1.0      | 1.1        | 3.2     | 1.3      |
| ANATASE         | 0.5     |          |         |         |          |            |         |          |
| SPHENE          | 2.1     |          | 0.4     |         |          |            |         | 0.4      |
| LEUCOXENE       | 2.1     | 0.4      | 0.4     | 0.4     | 0.3      | 0.4        | 26.6    | 0.4      |
| BARITE          | 81.0    | 40.5     | 13.5    | 11.7    | 1.1      | 12.2       | 3.4     | 27.0     |
| PYRITE          | 0.6     | 15.0     | 0.6     | 0.5     | 1.2      | 1.4        | 1.5     | 1.5      |
| Ca,CARBONATE    | 113.4   | 32.4     | 8.1     | 56.2    | 6.5      | 7.3        | 61.6    | 56.7     |
| F,Q             | 74.5    | 16.2     | 21.1    | 28.1    | 25.9     | 14.6       | 41.0    | 32.4     |
| NIGRINE         | 0.5     | 0.5      | 0.5     |         | 0.4      | 0.5        | 1.3     | 0.5      |
| GALENA          | 0.9     | 0.9      |         |         | 0.7      | 0.8        |         | 2.3      |
| CERUSSITE       | 0.8     | 2.0      |         | 0.7     | 0.6      | 0.7        |         | 2.0      |
| MALACHITE       |         |          |         |         |          |            |         | 0.5      |
| GOLD+Cu         |         |          |         |         |          |            |         |          |
| GOLD            |         |          | 2.3     |         |          |            |         |          |
| SAPHIR          | 0.5     |          |         | 0.4     | 0.4      | 0.4        |         | 0.5      |
| CINNABAR        |         |          |         |         |          |            |         | 1.0      |
| FLUORITE        |         | 0.4      |         |         |          |            |         | 0.4      |
| TURMALINE       |         |          |         |         |          |            |         |          |
| CRYSTOCOLA      |         |          |         |         |          |            |         |          |
| NATIVE COPPER   |         | 1.1      |         |         |          |            |         | 1.1      |
| SMITHSONITE     | 0.4     | 0.4      |         | 0.4     |          |            |         | 0.4      |
| SPHALERITE      |         |          |         |         |          |            |         |          |
| Mn-OXIDE        |         |          |         |         |          |            |         | 0.6      |
| BORNITE         |         |          |         |         |          |            | 1.5     |          |
| ANGLESITE       |         |          |         |         |          |            |         | 0.4      |
| HEMIMORPHITE    |         | 0.4      |         |         |          |            |         | 0.4      |
| PYROMORPHITE    |         | 0.8      |         |         |          |            |         |          |
| NATIVE LEADE    |         | 1.0      |         |         |          |            |         |          |
| BROCHANTITE     | 0.5     |          |         |         |          |            | 1.2     |          |
| MARCASITE       |         |          |         | 1.3     |          |            |         |          |
| HEMATITE        | 216     | 5        | 36      | 12      | 3        | 81         | 27      | 90       |
| GOETHITE        | 0.4     | 0.0      | 0.0     | 0.0     | 0.0      | 0.0        | 0.1     | 0.0      |
| LIMONITE        | 1.8     | 0.0      | 0.0     | 0.0     | 0.0      | 0.0        | 1.8     | 0.0      |
| PYROXENS        | 1014.1  | 957.8    | 638.5   | 2474.0  | 540.9    | 1859.2     | 4567.3  | 1878.0   |
| AMPHIBOLE       | 230.4   | 5.8      | 3.8     | 0.3     | 0.3      | 0.3        | 291.8   | 96.0     |
| EPIDOTS         | 0.4     |          |         | 0.4     | 0.3      |            |         | 0.4      |
| GARNETS         | 144.0   |          | 4.8     | 0.4     | 0.4      | 0.4        | 1.2     |          |
| BIOTITE         | 10.8    |          |         |         |          |            |         |          |
| PHLOCOPITE      | 0.3     |          |         |         |          |            |         |          |
| PYRITE-LIMONITE | 15.8    |          |         |         |          |            | 1.3     | 0.5      |
| PYRITE OXIDE    | 18.0    | 0.6      | 0.6     |         |          | 0.5        | 45.6    | 15.0     |
| OLIGISTE        | 19.1    |          |         |         |          |            | 1.6     | 0.6      |
| ILMENITE        | 169.2   | 203.0    | 225.6   | 195.5   |          | 126.9      | 285.8   | 293.3    |
| BLACK SPINEL    | 0.5     |          |         |         |          |            | 1.2     | 11.4     |



| Sample No.      | ZGH-287B | ZGH-290B | ZGH-291B | ZRH-297B | ZRH-298B | ZRH-315B | ZGH-318B | ZGH-331B |
|-----------------|----------|----------|----------|----------|----------|----------|----------|----------|
|                 | ppm      | ppm      | ppm      | ppm      | ppm      | ppm      | ppm      | ppm      |
| MAGNETITE       | 504      | 756      | 756      | 1512     | 5481     | 2621     | 21       | 630      |
| APATITE         | 51.2     | 76.8     | 51.2     | 32.0     | 46.4     | 25.0     | 12.5     | 32.0     |
| ZIRCON          | 18.8     | 18.8     | 18.8     | 9.4      | 109.0    | 12.2     | 0.5      | 2.4      |
| RUTILE          | 1.7      | 0.3      | 0.3      | 0.3      | 1.2      | 0.4      | 0.5      | 2.1      |
| ANATASE         |          |          |          |          |          |          |          |          |
| SPHENE          | 0.3      |          |          |          | 0.4      |          |          | 0.4      |
| LEUCOXENE       | 0.3      | 0.3      | 1.4      | 0.3      |          | 0.4      | 9.8      | 1.8      |
| BARITE          | 90.0     | 36.0     | 36.0     | 0.9      | 1.3      | 11.7     | 2116.8   | 67.5     |
| PYRITE          | 2.0      | 0.4      | 0.4      | 1.0      | 58.0     | 0.5      | 19.6     | 0.5      |
| Ca,CARBONATE    | 43.2     | 86.4     | 10.8     | 43.2     | 0.8      | 56.2     | 635.0    | 121.5    |
| F,Q             | 43.2     | 32.4     | 32.4     | 21.6     | 15.7     | 42.1     | 105.8    | 81.0     |
| NIGRINE         | 0.3      | 0.3      | 0.3      | 0.3      | 0.5      | 0.4      | 0.5      | 0.4      |
| GALENA          | 0.6      | 0.6      | 0.6      |          |          | 0.8      | 29.4     | 0.8      |
| CERUSSITE       | 0.5      | 0.5      | 0.5      |          |          | 0.7      | 25.5     | 0.7      |
| MALACHITE       |          | 0.3      | 0.3      |          |          |          | 0.4      |          |
| GOLD+Cu         |          |          |          |          |          |          |          |          |
| GOLD            |          |          |          |          |          |          |          |          |
| SAPHIR          |          |          |          | 0.3      |          |          |          |          |
| CINNABAR        |          |          |          |          |          | 0.8      | 0.9      |          |
| SCHEELITE       |          |          |          |          |          |          |          |          |
| FLUORITE        | 0.3      |          |          |          |          |          | 12.5     |          |
| TURMALINE       |          |          |          |          |          |          |          |          |
| CRYSTOCOLA      |          |          |          |          |          |          |          |          |
| NATIVE COPPER   |          |          |          |          |          | 0.9      |          |          |
| MUSCOVITE       |          |          |          |          |          |          |          |          |
| ANDALUSITE      |          |          |          |          |          |          |          |          |
| SMITHSONITE     | 0.3      | 0.3      | 0.3      |          |          |          | 0.4      |          |
| BROCHANTITE     | 0.3      |          | 0.3      |          |          |          | 0.4      |          |
| MARCASITE       | 0.4      | 0.4      | 0.4      |          |          |          |          |          |
| JARUSITE        |          |          |          |          |          |          |          |          |
| AMETISTE        |          | 0.2      |          |          |          | 0.3      |          |          |
| HEMATITE        | 84       | 252      | 84       | 72       | 70       | 6        | 252      | 210      |
| GOETHITE        | 0.0      | 0.0      | 0.0      | 0.0      | 0.0      | 0.0      | 0.2      | 0.0      |
| LIMONITE        | 0.0      | 0.3      | 0.3      | 0.2      | 0.0      | 0.2      | 0.8      | 1.1      |
| PYROXENS        | 1377.2   | 1139.3   | 1402.2   | 1051.7   | 18.2     | 1367.2   | 227.9    | 1314.6   |
| AMPHIBOLE       | 9.0      | 89.6     | 89.6     | 7.7      | 0.4      | 0.3      | 0.4      | 11.2     |
| EPIDOTS         |          |          |          | 0.3      | 2.0      |          | 5.7      | 0.3      |
| GARNETS         |          |          |          |          | 23.2     |          | 0.4      |          |
| CHLORITE        |          |          |          |          |          |          | 0.3      |          |
| BIOTITE         | 84.0     |          |          |          |          |          | 0.3      |          |
| PYRITE-LIMONITE | 12.3     |          |          | 10.6     | 2.6      |          | 73.9     | 0.4      |
| PYRITE OXIDE    | 56.0     | 14.0     | 14.0     | 12.0     | 348.0    | 0.5      | 84.0     | 0.5      |
| OLIGISTE        | 0.4      | 0.4      | 0.4      | 0.4      | 0.6      |          | 8.9      |          |
| ILMENITE        | 0.4      | 50.8     | 50.8     | 188.0    | 2.7      |          | 0.5      | 51.7     |
| MARTITE         |          |          |          |          | 30.2     |          | 8.7      |          |
| BLACK SPINEL    |          | 10.6     | 0.3      | 0.3      | 22.0     |          | 6.4      |          |
| WULFENITE       | 0.5      |          |          |          |          |          |          |          |

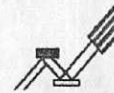
**KANSARAN  
BINALOUD**



**کانساران  
بینالود**

| Sample No.      | ZRH-232 | ZRH-233 | ZRH-233/1 | ZGH-245 | ZGH-246 | ZRH-248 | ZRH-250 | ZAH-254 |
|-----------------|---------|---------|-----------|---------|---------|---------|---------|---------|
| MAGNETITE       | 3780    | 504     | 1613      | 1310    | 1352    | 4536    | 1512    | 6048    |
| APATITE         | 115.2   | 12.8    | 15.4      | 266.2   | 353.3   | 89.6    | 102.4   | 25.6    |
| ZIRCON          | 1.9     | 0.8     | 2.3       | 97.8    | 86.5    | 37.6    | 0.8     | 263.2   |
| RUTILE          | 0.7     | 0.7     | 0.8       | 8.7     | 0.8     | 0.7     | 0.7     | 16.8    |
| ANATASE         |         |         |           |         |         |         |         |         |
| SPHENE          |         |         | 0.7       | 0.7     | 0.6     |         |         | 0.6     |
| LEUCOXENE       |         |         | 0.7       | 0.7     | 0.6     |         |         | 1.4     |
| BARITE          |         | 0.7     | 64.8      | 561.6   | 331.2   | 90.0    | 1.8     | 1.8     |
| PYRITE          | 2.0     | 0.8     | 4.8       | 10.4    | 9.2     | 2.0     | 0.8     | 2.0     |
| Ca,CARBONATE    | 10.8    | 151.2   | 129.6     | 224.6   | 298.1   | 21.6    | 21.6    | 1.1     |
| F.Q             | 32.4    | 32.4    | 25.9      | 112.3   | 149.0   | 32.4    | 86.4    | 21.6    |
| NIGRINE         |         |         | 0.8       | 0.9     |         |         |         |         |
| GALENA          |         |         | 1.4       | 15.6    | 1.4     | 1.2     |         | 1.2     |
| CERUSSITE       |         |         | 1.2       | 13.5    | 1.2     | 1.0     |         | 1.0     |
| MALACHITE       |         | 28.8    |           | 0.8     |         | 0.6     |         |         |
| GOLD+Cu         |         |         |           |         |         |         |         |         |
| GOLD            |         |         |           |         |         |         |         |         |
| SAPHIR          |         |         |           | 0.8     |         | 0.6     |         |         |
| HALITE          |         |         |           |         |         |         |         |         |
| SILVER          |         |         |           |         |         |         |         | 1.7     |
| FLUORITE        |         |         | 0.6       |         |         |         |         |         |
| SMITHSONITE     |         |         |           | 0.7     | 0.6     | 0.6     |         | 0.6     |
| ANGLESITE       |         |         |           | 0.7     | 0.6     |         |         |         |
| HEMIMORPHITE    |         |         |           | 0.7     |         |         |         |         |
| PYROMORPHITE    |         |         |           | 1.5     |         |         |         |         |
| NATIVELEADE     |         |         |           | 1.8     |         | 1.4     |         | 1.4     |
| REALGAR         |         |         |           |         |         |         |         |         |
| CHALCOPYRITE    |         |         |           |         |         |         |         |         |
| BROCHANTITE     |         | 0.6     |           | 0.8     |         |         |         |         |
| JARUSITE        |         |         |           |         |         |         |         |         |
| AMETISTE        |         |         |           |         |         |         |         |         |
| HEMATITE        | 120     | 432     | 691       | 562     | 497     | 96      | 168     | 192     |
| GOETHITE        | 0.0     | 0.0     | 0.8       | 0.6     | 0.6     | 0.0     |         | 0.0     |
| LIMONITE        | 0.0     | 0.1     | 3.1       | 2.5     | 3.3     | 0.0     | 0.0     | 0.0     |
| PYROXENS        | 2128.4  | 3380.4  | 1923.1    | 911.5   | 575.9   | 1602.6  | 3756.0  | 100.2   |
| AMPHIBOLE       |         |         |           | 20.0    | 17.7    |         |         |         |
| EPIDOTS         |         | 0.5     |           | 212.2   | 18.8    |         |         |         |
| GARNETS         |         | 0.6     |           | 832.0   | 228.2   |         |         | 57.6    |
| CHLORITE        |         |         |           | 16.8    | 0.5     |         |         |         |
| BIOTITE         |         |         |           | 187.2   | 331.2   | 9.6     | 0.5     | 0.5     |
| PHLOCOPITE      |         |         |           | 17.5    | 15.5    |         |         |         |
| PYRITE-LIMONITE | 0.7     | 31.7    | 0.8       | 274.6   | 242.9   | 14.1    |         |         |
| PYRITE OXIDE    | 20.0    | 360.0   | 384.0     | 312.0   | 27.6    | 160.0   | 0.8     | 800.0   |
| OLIGISTE        |         |         |           | 1.1     | 1.0     | 0.8     |         | 0.8     |
| ILMENITE        | 391.0   | 0.8     |           | 293.3   | 25.9    | 225.6   |         | 75.2    |
| MARTITE         | 0.8     |         |           | 1.1     | 1.0     |         |         | 83.2    |
| BLACK SPINEL    | 0.6     | 0.6     |           | 23.7    | 21.0    | 12.2    |         | 121.6   |

KANSARAN  
BINALOUD



کانساران  
بینالود

| Sample No.      | ZRH-313 | ZRH-323 | ZGH-345 | ZRH-345 | ZRH-326 | ZGH-365 | ZRH-382 | ZAH-484 |
|-----------------|---------|---------|---------|---------|---------|---------|---------|---------|
| MAGNETITE       | 3494    | 8770    | 630     | 7560    | 6048    | 315     | 3360    | 5586    |
| APATITE         | 16.6    | 74.2    | 96.0    | 48.0    | 102.4   | 224.0   | 224.0   | 153.6   |
| ZIRCON          |         | 2.7     | 0.9     | 2.4     | 0.8     | 32.9    | 32.9    | 56.4    |
| RUTILE          | 0.9     | 2.4     | 12.6    | 0.8     | 1.7     | 0.8     | 29.4    | 1.7     |
| ANATASE         |         |         |         |         |         |         |         |         |
| SPHENE          |         | 0.8     |         |         |         | 0.7     | 0.7     | 5.6     |
| LEUCOXENE       |         | 0.8     | 0.7     |         |         | 24.5    |         | 1.4     |
| BARITE          |         | 26.1    | 1620.0  | 2.3     | 0.7     | 3780.0  | 0.9     | 1.8     |
| PYRITE          |         | 1.2     | 60.0    |         | 2.0     | 35.0    | 5.0     | 4.0     |
| Ca,CARBONATE    | 56.2    | 125.3   | 243.0   | 27.0    | 10.8    | 567.0   | 0.5     | 21.6    |
| F,Q             | 168.5   | 62.6    | 243.0   | 135.0   | 64.8    | 189.0   | 40.5    | 43.2    |
| NIGRINE         |         |         |         |         |         | 0.8     | 0.8     | 0.7     |
| GALENA          |         |         | 1.5     |         |         | 1.5     |         |         |
| CERUSSITE       |         |         | 1.3     |         |         | 1.3     |         |         |
| MALACHITE       |         |         | 0.8     |         |         |         |         |         |
| GOLD+Cu         |         |         |         |         |         |         |         |         |
| GOLD            |         |         | 3.9     |         | 3.1     |         |         |         |
| SAPHIR          |         |         | 0.8     | 0.8     |         |         |         |         |
| SILVER+AU       |         |         |         | 2.6     |         |         |         |         |
| ORPIMENTE       |         |         |         | 0.7     |         |         |         |         |
| CINNABAR        |         |         |         |         |         |         | 1.6     |         |
| SCHEELITE       |         |         |         |         |         |         |         |         |
| FLUORITE        |         |         | 0.6     |         |         | 22.4    |         |         |
| NATIVE COPPER   |         |         |         |         |         |         |         | 1.4     |
| MUSCOVITE       |         |         |         |         |         | 0.6     |         |         |
| Mn-OXIDE        |         |         |         |         |         | 0.9     |         | 0.8     |
| PHOSPHORITE     |         |         |         |         |         |         |         |         |
| BORNITE         |         |         |         |         |         |         | 1.0     | 0.8     |
| ANGLESITE       |         |         | 0.6     |         |         |         |         |         |
| BROCHANTITE     |         |         |         |         |         |         | 0.8     | 0.6     |
| JARUSITE        |         |         | 57.6    | 0.6     |         |         |         |         |
| AMETISTE        |         |         |         |         |         |         |         |         |
| HEMATITE        | 19      | 70      | 360     | 60      | 144     | 180     | 180     | 504     |
| GOETHITE        |         |         |         | 0.6     | 0.0     | 0.0     | 0.3     | 0.0     |
| LIMONITE        | 0.0     | 0.0     | 4.2     | 0.0     | 0.0     | 0.3     | 0.0     | 0.2     |
| PYROXENS        | 3515.6  | 1089.2  | 1126.8  | 876.4   | 651.0   | 563.4   | 3192.6  | 150.2   |
| AMPHIBOLE       |         | 148.5   | 19.2    |         |         | 0.6     |         |         |
| EPIDOTS         |         |         | 20.4    |         |         | 10.2    |         | 0.5     |
| GARNETS         |         |         |         |         |         | 0.8     |         | 0.6     |
| CHLORITE        |         |         | 0.5     |         |         |         |         |         |
| BIOTITE         |         |         |         |         |         | 0.6     |         |         |
| PYRITE-LIMONITE |         |         | 264.0   | 0.9     |         | 13.2    |         | 0.7     |
| PYRITE OXIDE    | 1.0     |         | 300.0   | 300.0   | 320.0   | 150.0   | 60.0    | 480.0   |
| OLIGISTE        |         |         | 1.1     | 1.1     | 0.8     | 1.1     |         | 0.8     |
| ILMENITE        | 195.5   | 883.2   | 56.4    | 376.0   | 30.1    |         | 404.2   | 376.0   |
| MARTITE         |         |         | 31.2    | 10.4    | 8.3     | 15.6    |         | 12.5    |
| BLACK SPINEL    |         | 8.8     | 0.8     | 7.6     | 6.1     | 0.8     |         | 91.2    |

پیوست شماره ۶: نتایج داده های  
کمی کانیهای سنگین



| raw | sample No | GARNETS | CHLORITE | BIOTITE | PHLOCOPITE | RITE-LIMONI | PYRITE OXIDE | OLIGISTE | ILMENITE+Fe | ILMENITE | CHROMITE | MARTITE |
|-----|-----------|---------|----------|---------|------------|-------------|--------------|----------|-------------|----------|----------|---------|
| 1   | ZGH-8     | 0.00    | 0.00     | 0.07    | 0.00       | 0.00        | 4.80         | 0.13     | 108.00      | 0.00     | 0.00     | 0.00    |
| 2   | ZGH-18    | 0.00    | 0.00     | 0.00    | 0.00       | 0.00        | 0.01         | 0.00     | 0.00        | 0.00     | 0.00     | 0.00    |
| 3   | ZGH-41    | 0.00    | 0.00     | 0.00    | 0.00       | 0.25        | 8.40         | 0.30     | 0.00        | 1.84     | 0.00     | 0.29    |
| 4   | ZGH-46    | 0.00    | 0.00     | 0.00    | 0.00       | 12.32       | 28.00        | 0.04     | 1.40        | 0.00     | 0.00     | 0.00    |
| 5   | ZGH-48    | 0.00    | 0.00     | 0.00    | 0.00       | 12.52       | 42.67        | 0.08     | 0.00        | 0.07     | 0.00     | 0.00    |
| 6   | ZGH-52    | 0.00    | 0.00     | 0.00    | 0.00       | 1.76        | 20.00        | 0.21     | 0.20        | 0.00     | 0.00     | 2.08    |
| 7   | ZGH-65    | 0.00    | 0.00     | 1.26    | 0.03       | 73.92       | 63.00        | 0.00     | 0.00        | 4.79     | 0.00     | 2.18    |
| 8   | ZGH-80    | 0.00    | 0.00     | 0.00    | 0.00       | 0.02        | 0.80         | 0.00     | 0.00        | 0.75     | 0.00     | 0.00    |
| 9   | ZGH-95    | 0.00    | 0.00     | 0.00    | 0.00       | 1.06        | 0.03         | 0.03     | 0.00        | 0.00     | 0.00     | 0.00    |
| 10  | ZGH-112   | 0.00    | 0.00     | 0.09    | 0.00       | 1.32        | 0.15         | 0.00     | 0.00        | 0.00     | 0.00     | 0.01    |
| 11  | ZGH-185   | 0.01    | 0.00     | 0.22    | 0.00       | 0.01        | 0.01         | 0.00     | 0.00        | 0.15     | 0.00     | 0.00    |
| 12  | ZGH-191   | 0.00    | 0.00     | 0.02    | 0.00       | 0.04        | 0.04         | 0.00     | 0.00        | 0.00     | 0.00     | 0.00    |
| 13  | ZGH-211   | 24.00   | 0.00     | 1.80    | 0.06       | 2.64        | 3.00         | 3.18     | 0.00        | 28.20    | 0.00     | 0.00    |
| 14  | ZGH-245   | 24.00   | 0.49     | 5.40    | 0.50       | 7.92        | 9.00         | 0.03     | 0.00        | 8.46     | 0.00     | 0.03    |
| 15  | ZGH-246   | 7.44    | 0.02     | 10.80   | 0.50       | 7.92        | 0.90         | 0.03     | 0.00        | 0.85     | 0.00     | 0.03    |
| 16  | ZGH-277   | 0.02    | 0.00     | 0.00    | 0.00       | 0.00        | 0.02         | 0.00     | 0.00        | 0.66     | 0.00     | 0.00    |
| 17  | ZGH-287   | 0.00    | 0.00     | 21.00   | 0.00       | 3.08        | 14.00        | 0.11     | 0.00        | 0.09     | 0.00     | 0.00    |
| 18  | ZGH-290   | 0.00    | 0.00     | 0.00    | 0.00       | 0.00        | 12.44        | 0.38     | 0.00        | 45.12    | 0.00     | 0.00    |
| 19  | ZGH-291   | 0.00    | 0.00     | 0.00    | 0.00       | 0.00        | 6.59         | 0.20     | 0.00        | 23.89    | 0.00     | 0.00    |
| 20  | ZGH-292   | 0.05    | 1.36     | 15.30   | 0.03       | 0.05        | 25.50        | 0.00     | 0.00        | 2.37     | 0.00     | 0.00    |
| 21  | ZGH-304   | 0.00    | 0.00     | 0.00    | 0.09       | 3.50        | 0.11         | 0.00     | 0.09        | 0.00     | 0.00     | 0.10    |
| 22  | ZGH-318   | 0.16    | 0.11     | 0.12    | 0.00       | 26.40       | 30.00        | 3.18     | 0.00        | 0.19     | 0.00     | 3.12    |
| 23  | ZGH-331   | 0.00    | 0.00     | 0.00    | 0.00       | 0.18        | 0.20         | 0.00     | 0.00        | 20.68    | 0.00     | 0.00    |
| 24  | ZGH-336   | 0.00    | 0.00     | 0.14    | 0.00       | 0.21        | 9.60         | 0.00     | 0.00        | 45.12    | 0.00     | 0.00    |
| 25  | ZGH-337   | 0.00    | 0.00     | 0.00    | 0.00       | 1.76        | 2.00         | 0.00     | 0.00        | 0.00     | 0.00     | 0.00    |
| 26  | ZGH-345   | 0.00    | 0.26     | 0.00    | 0.00       | 126.72      | 144.00       | 0.51     | 0.00        | 27.07    | 0.00     | 14.98   |
| 27  | ZGH-365   | 0.80    | 0.00     | 0.60    | 0.00       | 13.20       | 150.00       | 1.06     | 0.00        | 0.00     | 0.00     | 15.60   |
| 28  | ZGH-401   | 0.00    | 0.00     | 0.00    | 0.00       | 0.70        | 28.00        | 0.85     | 0.00        | 26.32    | 0.00     | 29.12   |
| 29  | ZGH-35/1  | 0.00    | 0.00     | 0.00    | 0.02       | 3.00        | 0.02         | 0.00     | 0.02        | 0.00     | 0.00     | 0.52    |
| 30  | ZGH-35/2  | 0.00    | 0.00     | 0.00    | 0.35       | 4.00        | 0.02         | 0.00     | 0.02        | 0.00     | 0.00     | 0.42    |
| 31  | ZGH-35/3  | 0.00    | 0.00     | 0.00    | 0.07       | 12.80       | 0.08         | 0.00     | 0.08        | 0.00     | 0.00     | 1.66    |

| raw | sample No | CHROCHANTITE | MARCASITE | JARUSITE | AMETISTE | HEMATITE | GOETHITE | LIMONITE | PYROLLUSITE | PYROXENS | AMPHIBOLE | EPIDOTS |
|-----|-----------|--------------|-----------|----------|----------|----------|----------|----------|-------------|----------|-----------|---------|
| 1   | ZGH-8     | 0.00         | 0.00      | 0.00     | 0.00     | 28.80    | 0.00     | 0.01     | 0.00        | 420.67   | 3.07      | 32.64   |
| 2   | ZGH-18    | 0.00         | 0.00      | 0.00     | 0.00     | 1.50     | 0.00     | 0.00     | 0.00        | 49.45    | 0.01      | 0.01    |
| 3   | ZGH-41    | 0.22         | 11.20     | 0.00     | 0.00     | 25.20    | 0.00     | 0.00     | 0.00        | 222.61   | 0.00      | 0.00    |
| 4   | ZGH-46    | 0.00         | 0.00      | 0.00     | 0.00     | 25.20    | 0.03     | 0.08     | 0.00        | 77.62    | 0.03      | 0.95    |
| 5   | ZGH-48    | 0.00         | 0.00      | 0.00     | 0.00     | 25.60    | 0.03     | 0.11     | 0.00        | 53.42    | 0.05      | 0.97    |
| 6   | ZGH-52    | 0.00         | 0.00      | 0.00     | 0.00     | 48.00    | 0.04     | 0.28     | 0.00        | 25.04    | 0.13      | 0.14    |
| 7   | ZGH-65    | 0.05         | 18.00     | 0.00     | 0.00     | 37.80    | 0.42     | 0.25     | 0.00        | 52.58    | 0.00      | 0.00    |
| 8   | ZGH-80    | 0.02         | 0.00      | 0.00     | 0.00     | 19.20    | 0.05     | 0.08     | 0.00        | 30.05    | 5.12      | 0.54    |
| 9   | ZGH-95    | 0.00         | 0.00      | 0.00     | 0.00     | 14.40    | 0.05     | 0.03     | 0.00        | 30.05    | 0.00      | 0.00    |
| 10  | ZGH-112   | 0.00         | 0.00      | 0.00     | 0.00     | 4.20     | 0.01     | 0.03     | 0.00        | 26.92    | 0.01      | 0.01    |
| 11  | ZGH-185   | 0.00         | 0.00      | 0.00     | 0.00     | 6.30     | 0.01     | 0.04     | 0.00        | 19.72    | 0.22      | 0.24    |
| 12  | ZGH-191   | 0.00         | 0.00      | 0.00     | 0.00     | 45.60    | 0.10     | 0.19     | 0.00        | 60.10    | 0.03      | 0.03    |
| 13  | ZGH-211   | 0.08         | 0.00      | 0.00     | 0.00     | 36.00    | 0.06     | 0.30     | 0.00        | 169.02   | 38.40     | 0.07    |
| 14  | ZGH-245   | 0.02         | 0.00      | 0.00     | 0.00     | 16.20    | 0.02     | 0.07     | 0.00        | 26.29    | 0.58      | 6.12    |
| 15  | ZGH-246   | 0.00         | 0.00      | 0.00     | 0.00     | 16.20    | 0.02     | 0.11     | 0.00        | 37.56    | 0.58      | 0.61    |
| 16  | ZGH-277   | 0.00         | 0.00      | 0.00     | 0.00     | 0.18     | 0.00     | 0.01     | 0.00        | 30.05    | 1.92      | 0.01    |
| 17  | ZGH-287   | 0.08         | 0.10      | 0.00     | 0.00     | 21.00    | 0.01     | 0.01     | 0.00        | 344.30   | 2.24      | 0.00    |
| 18  | ZGH-290   | 0.00         | 0.36      | 0.00     | 0.19     | 224.00   | 0.02     | 0.25     | 0.00        | 1012.73  | 79.64     | 0.00    |
| 19  | ZGH-291   | 0.15         | 0.19      | 0.00     | 0.00     | 39.53    | 0.00     | 0.13     | 0.00        | 659.88   | 42.16     | 0.00    |
| 20  | ZGH-292   | 0.00         | 0.00      | 0.04     | 0.00     | 15.30    | 0.01     | 0.01     | 0.00        | 223.48   | 16.32     | 0.04    |
| 21  | ZGH-304   | 0.00         | 0.00      | 0.00     | 0.00     | 42.00    | 0.03     | 0.38     | 0.00        | 284.83   | 0.06      | 0.00    |
| 22  | ZGH-318   | 0.16         | 0.00      | 0.00     | 0.00     | 90.00    | 0.06     | 0.30     | 0.00        | 81.38    | 0.13      | 2.04    |
| 23  | ZGH-331   | 0.00         | 0.00      | 0.00     | 0.00     | 84.00    | 0.01     | 0.42     | 0.00        | 525.84   | 4.48      | 0.14    |
| 24  | ZGH-336   | 0.19         | 0.00      | 0.38     | 0.00     | 57.60    | 0.00     | 0.19     | 0.00        | 961.54   | 0.15      | 0.00    |
| 25  | ZGH-337   | 0.00         | 0.00      | 0.00     | 0.00     | 96.00    | 0.06     | 0.45     | 0.00        | 80.13    | 0.05      | 2.18    |
| 26  | ZGH-345   | 0.00         | 0.00      | 27.65    | 0.00     | 172.80   | 0.29     | 2.02     | 0.00        | 390.62   | 9.22      | 9.79    |
| 27  | ZGH-365   | 0.00         | 0.00      | 0.00     | 0.00     | 180.00   | 0.30     | 0.25     | 0.00        | 563.40   | 0.64      | 10.20   |
| 28  | ZGH-401   | 0.00         | 0.00      | 0.00     | 0.00     | 504.00   | 0.56     | 1.68     | 0.00        | 1577.52  | 0.51      | 0.00    |
| 29  | ZGH-35/1  | 0.00         | 0.02      | 0.00     | 0.00     | 15.00    | 0.01     | 0.05     | 0.00        | 12.52    | 0.00      | 0.01    |
| 30  | ZGH-35/2  | 0.00         | 0.02      | 0.00     | 0.00     | 28.80    | 0.01     | 0.04     | 0.00        | 7.51     | 0.01      | 0.01    |
| 31  | ZGH-35/3  | 0.00         | 0.08      | 0.00     | 0.00     | 28.80    | 0.00     | 0.06     | 0.00        | 120.19   | 0.05      | 0.05    |



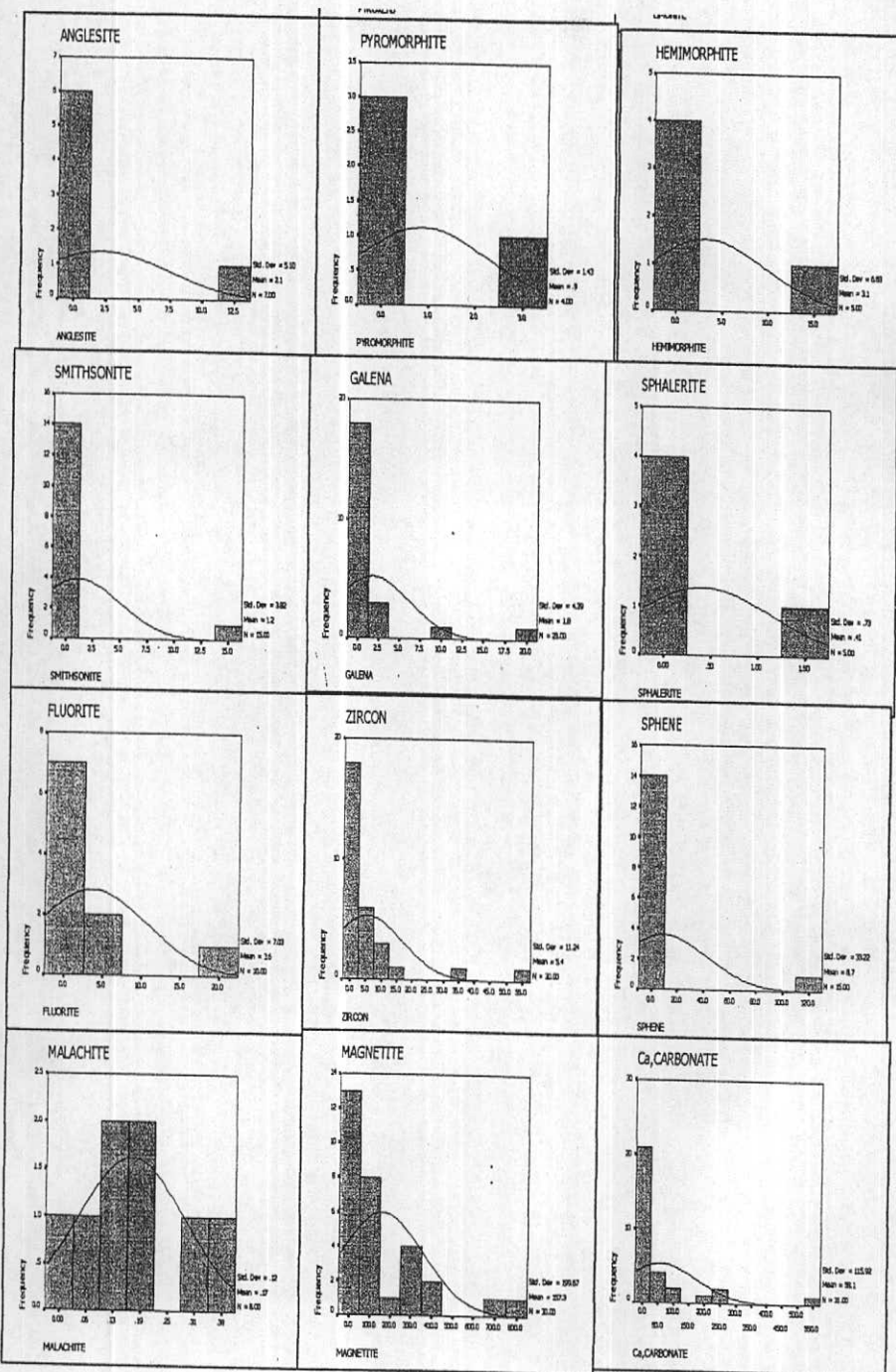
| raw | sample No | CINNABAR | SCHEELITE | FLUORITE | CELESTITE | TURMALINE | CRYSTOCOL | ACTIVE COPPER | LEAD | MINERAL? | MUSCOVITE AND ALLUSITE |
|-----|-----------|----------|-----------|----------|-----------|-----------|-----------|---------------|------|----------|------------------------|
| 1   | ZGH-8     | 0.00     | 0.00      | 0.08     | 0.00      | 0.00      | 0.00      | 0.21          | 0.00 | 0.00     | 0.00                   |
| 2   | ZGH-18    | 0.00     | 0.00      | 0.00     | 0.00      | 0.00      | 0.00      | 0.00          | 0.00 | 0.00     | 0.00                   |
| 3   | ZGH-41    | 0.00     | 0.00      | 7.17     | 177.41    | 0.00      | 0.00      | 0.50          | 0.48 | 0.00     | 0.00                   |
| 4   | ZGH-46    | 0.00     | 0.00      | 0.26     | 0.00      | 0.00      | 0.00      | 0.07          | 0.00 | 0.00     | 0.00                   |
| 5   | ZGH-48    | 0.00     | 0.00      | 1.37     | 0.00      | 0.00      | 0.00      | 0.13          | 0.00 | 0.00     | 0.00                   |
| 6   | ZGH-52    | 0.00     | 0.00      | 0.00     | 126.72    | 0.00      | 0.00      | 0.00          | 0.00 | 0.00     | 0.00                   |
| 7   | ZGH-65    | 0.00     | 0.00      | 0.00     | 0.00      | 0.00      | 0.00      | 0.00          | 0.00 | 0.00     | 0.00                   |
| 8   | ZGH-80    | 0.00     | 0.00      | 0.00     | 0.00      | 0.00      | 0.00      | 0.00          | 0.00 | 0.00     | 0.00                   |
| 9   | ZGH-95    | 0.00     | 0.00      | 0.00     | 0.00      | 0.00      | 0.00      | 0.00          | 0.00 | 0.00     | 0.00                   |
| 10  | ZGH-112   | 0.00     | 0.00      | 0.00     | 0.00      | 0.00      | 0.00      | 0.00          | 0.00 | 0.00     | 0.00                   |
| 11  | ZGH-185   | 0.00     | 0.00      | 0.00     | 0.00      | 0.00      | 0.00      | 0.00          | 0.00 | 0.00     | 0.00                   |
| 12  | ZGH-191   | 0.00     | 0.00      | 0.00     | 0.00      | 0.00      | 0.00      | 0.00          | 0.00 | 0.00     | 0.00                   |
| 13  | ZGH-211   | 0.00     | 0.00      | 0.00     | 0.00      | 0.00      | 0.00      | 0.00          | 0.00 | 0.00     | 0.00                   |
| 14  | ZGH-245   | 0.00     | 0.00      | 0.00     | 0.00      | 0.00      | 0.00      | 0.00          | 0.00 | 0.00     | 0.00                   |
| 15  | ZGH-246   | 0.00     | 0.00      | 0.00     | 0.00      | 0.00      | 0.00      | 0.00          | 0.00 | 0.00     | 0.00                   |
| 16  | ZGH-277   | 0.00     | 0.00      | 0.00     | 0.00      | 0.00      | 0.00      | 0.00          | 0.00 | 0.00     | 0.00                   |
| 17  | ZGH-287   | 0.00     | 0.00      | 0.06     | 0.00      | 0.00      | 0.00      | 0.00          | 0.00 | 0.00     | 0.00                   |
| 18  | ZGH-290   | 0.00     | 0.00      | 0.00     | 0.00      | 0.00      | 0.00      | 0.00          | 0.00 | 0.00     | 0.00                   |
| 19  | ZGH-291   | 0.00     | 0.00      | 0.00     | 0.00      | 0.00      | 0.00      | 0.00          | 0.00 | 0.00     | 0.00                   |
| 20  | ZGH-292   | 0.00     | 0.00      | 0.00     | 0.00      | 0.00      | 0.00      | 0.00          | 0.00 | 0.00     | 0.00                   |
| 21  | ZGH-304   | 0.00     | 0.00      | 0.00     | 0.00      | 0.04      | 0.00      | 0.00          | 0.00 | 0.00     | 0.00                   |
| 22  | ZGH-318   | 0.32     | 0.00      | 4.48     | 0.00      | 0.00      | 0.00      | 0.00          | 0.00 | 0.00     | 0.00                   |
| 23  | ZGH-331   | 0.00     | 0.00      | 0.00     | 0.00      | 0.00      | 0.00      | 0.00          | 0.00 | 0.00     | 0.00                   |
| 24  | ZGH-336   | 0.00     | 0.00      | 0.00     | 0.00      | 0.00      | 0.00      | 0.00          | 0.00 | 0.00     | 0.00                   |
| 25  | ZGH-337   | 0.00     | 0.00      | 0.00     | 0.00      | 0.00      | 0.43      | 0.00          | 0.00 | 0.00     | 0.00                   |
| 26  | ZGH-345   | 0.00     | 0.00      | 0.31     | 0.00      | 0.00      | 0.14      | 0.00          | 0.00 | 0.00     | 0.00                   |
| 27  | ZGH-365   | 0.00     | 0.00      | 22.40    | 0.00      | 0.00      | 0.00      | 0.00          | 0.00 | 0.00     | 0.00                   |
| 28  | ZGH-401   | 0.00     | 0.00      | 0.00     | 0.00      | 0.00      | 0.00      | 0.00          | 0.00 | 0.00     | 0.56                   |
| 29  | ZGH-351   | 0.00     | 0.00      | 0.40     | 0.00      | 0.00      | 0.00      | 0.00          | 0.00 | 0.00     | 0.00                   |
| 30  | ZGH-352   | 0.00     | 0.01      | 4.75     | 0.00      | 0.00      | 0.00      | 0.00          | 0.00 | 0.00     | 0.00                   |
| 31  | ZGH-353   | 0.00     | 0.05      | 25.34    | 0.00      | 0.00      | 0.14      | 0.00          | 0.00 | 0.00     | 0.00                   |

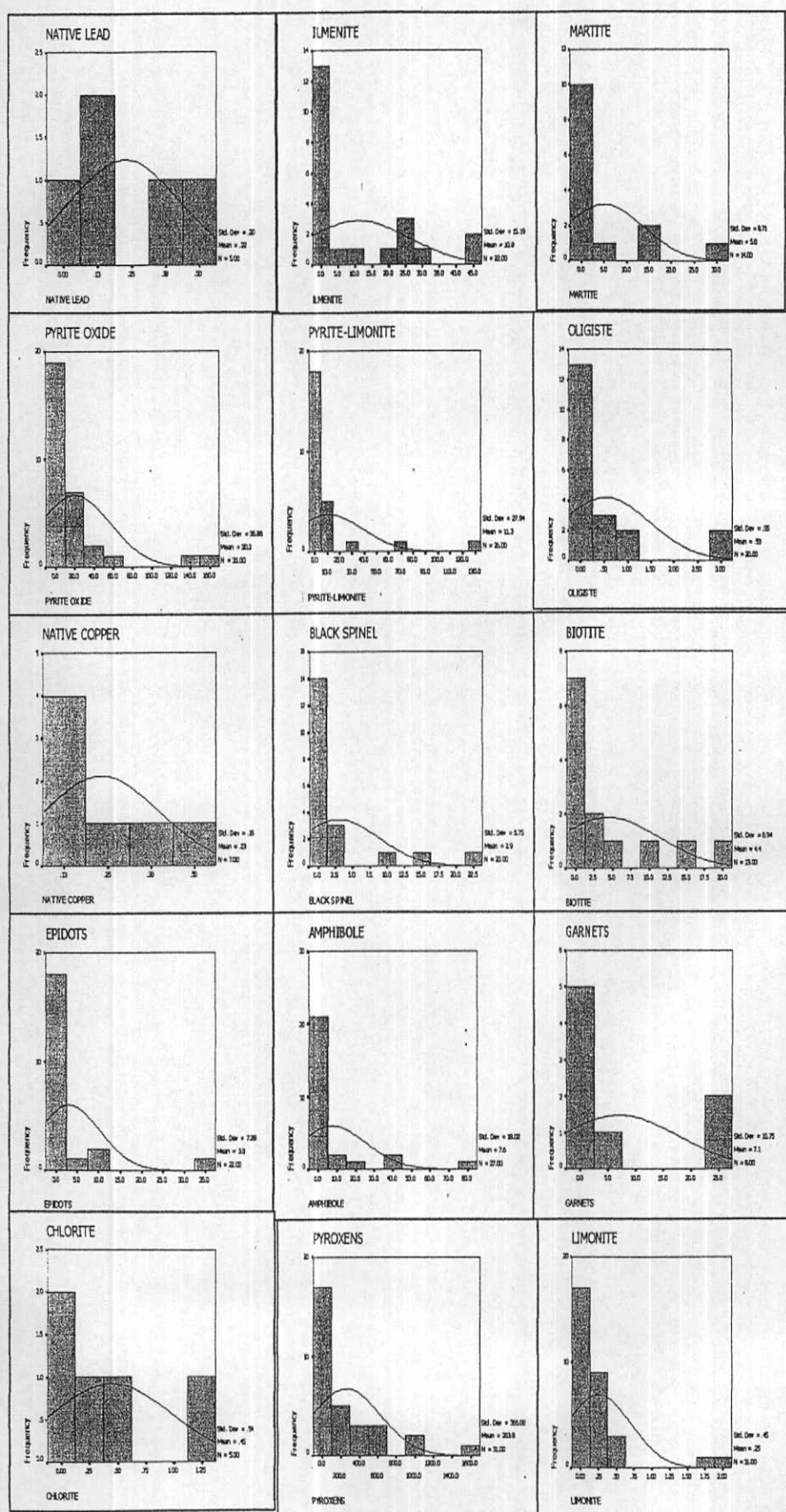


| Raw | Sample No. | X (Easting) | Y (Northing) | MAGNETITE | APATITE | ZIRCON | RUTILE | ANATASE | SPHENE | LEUCOXENE | BARITE  | PYRITE |
|-----|------------|-------------|--------------|-----------|---------|--------|--------|---------|--------|-----------|---------|--------|
| 1   | ZGH-8      | 269104      | 43622750     | 151.20    | 5.76    | 0.28   | 0.10   | 0.09    | 0.08   | 0.08      | 21.60   | 0.30   |
| 2   | ZGH-18     | 263483      | 43680200     | 0.00      | 0.32    | 0.01   | 0.01   | 0.00    | 0.00   | 0.01      | 0.23    | 0.01   |
| 3   | ZGH-41     | 264159      | 4325325      | 117.60    | 28.67   | 10.53  | 0.24   | 0.00    | 0.00   | 0.00      | 907.20  | 67.20  |
| 4   | ZGH-46     | 263433      | 4325410      | 16.80     | 2.56    | 0.04   | 0.03   | 0.00    | 0.00   | 0.00      | 32.40   | 8.00   |
| 5   | ZGH-48     | 264160      | 4325326      | 22.40     | 13.65   | 0.07   | 0.06   | 0.00    | 0.00   | 0.00      | 137.60  | 21.33  |
| 6   | ZGH-52     | 267933      | 4327620      | 84.00     | 10.24   | 0.19   | 0.17   | 0.00    | 0.14   | 0.00      | 720.00  | 16.00  |
| 7   | ZGH-65     | 251603      | 4350790      | 44.10     | 7.68    | 0.06   | 0.05   | 0.00    | 0.00   | 0.00      | 16.20   | 6.00   |
| 8   | ZGH-80     | 243613      | 4356090      | 25.20     | 1.28    | 0.02   | 0.02   | 0.00    | 0.01   | 0.01      | 1.80    | 0.05   |
| 9   | ZGH-95     | 252758      | 4352590      | 22.05     | 2.88    | 0.00   | 0.00   | 0.00    | 0.00   | 0.02      | 0.14    | 0.03   |
| 10  | ZGH-112    | 262470      | 4361660      | 15.75     | 0.48    | 0.01   | 0.00   | 0.00    | 0.00   | 0.00      | 0.68    | 0.01   |
| 11  | ZGH-185    | 251405      | 4361000      | 22.05     | 0.64    | 0.02   | 0.01   | 0.00    | 0.01   | 0.01      | 0.68    | 0.25   |
| 12  | ZGH-191    | 247128      | 4356840      | 58.80     | 3.20    | 0.09   | 0.03   | 0.03    | 0.03   | 0.03      | 3.60    | 0.10   |
| 13  | ZGH-211    | 242982      | 4364650      | 252.00    | 9.60    | 9.40   | 1.68   | 0.08    | 0.35   | 0.35      | 13.50   | 0.10   |
| 14  | ZGH-245    | 248295      | 4347370      | 37.80     | 7.68    | 2.82   | 0.25   | 0.00    | 0.02   | 0.02      | 16.20   | 0.30   |
| 15  | ZGH-246    | 248803      | 4347230      | 44.10     | 11.52   | 2.82   | 0.03   | 0.00    | 0.02   | 0.02      | 10.80   | 0.30   |
| 16  | ZGH-277    | 255685      | 4340890      | 132.30    | 0.32    | 0.05   | 0.02   | 0.00    | 0.00   | 0.00      | 0.05    | 0.02   |
| 17  | ZGH-287    | 244321      | 4340890      | 126.00    | 12.80   | 4.70   | 0.42   | 0.00    | 0.07   | 0.07      | 22.50   | 0.50   |
| 18  | ZGH-290    | 245431      | 4338280      | 672.00    | 68.27   | 16.71  | 0.30   | 0.00    | 0.00   | 0.25      | 32.00   | 0.36   |
| 19  | ZGH-291    | 245368      | 4338600      | 355.76    | 24.09   | 8.85   | 0.16   | 0.00    | 0.00   | 0.66      | 16.94   | 0.19   |
| 20  | ZGH-292    | 246190      | 4339870      | 75.60     | 3.84    | 0.11   | 0.13   | 0.05    | 0.04   | 0.00      | 1.35    | 0.15   |
| 21  | ZGH-304    | 250606      | 4337190      | 147.00    | 16.00   | 4.70   | 0.08   | 0.00    | 0.35   | 0.00      | 4.50    | 0.50   |
| 22  | ZGH-318    | 260522      | 4335060      | 7.35      | 4.48    | 0.19   | 0.17   | 0.00    | 0.00   | 3.50      | 756.00  | 7.00   |
| 23  | ZGH-331    | 256559      | 4332230      | 252.00    | 12.80   | 0.94   | 0.84   | 0.00    | 0.14   | 0.70      | 27.00   | 0.20   |
| 24  | ZGH-336    | 252622      | 4331330      | 403.20    | 23.04   | 5.64   | 0.50   | 0.00    | 0.17   | 1.68      | 32.40   | 0.24   |
| 25  | ZGH-337    | 252947      | 4331270      | 29.40     | 11.52   | 5.64   | 0.47   | 0.00    | 0.00   | 4.20      | 21.60   | 0.56   |
| 26  | ZGH-345    | 245803      | 4329780      | 302.40    | 46.08   | 0.45   | 6.05   | 0.00    | 0.00   | 0.34      | 777.60  | 28.80  |
| 27  | ZGH-365    | 254333      | 4327550      | 315.00    | 224.00  | 32.90  | 0.84   | 0.00    | 0.70   | 24.50     | 3780.00 | 35.00  |
| 28  | ZGH-401    | 245878      | 4322710      | 840.00    | 153.60  | 52.64  | 3.36   | 0.00    | 128.80 | 0.00      | 0.72    | 0.80   |
| 29  | ZGH-35/1   | 262988      | 4324083      | 8.93      | 0.64    | 0.47   | 0.02   | 0.00    | 0.00   | 0.00      | 27.00   | 2.00   |
| 30  | ZGH-35/2   | 262311      | 4323736      | 5.25      | 0.38    | 0.02   | 0.02   | 0.00    | 0.00   | 0.00      | 37.80   | 2.40   |
| 31  | ZGH-35/3   | 262395      | 4323663      | 134.40    | 2.05    | 1.50   | 1.34   | 0.00    | 0.00   | 0.00      | 15.20   | 12.80  |

**پیوست شماره ۷: هیستوگرام**

**کانیهای سنگین**





**پیوست شماره ۸: مقادیر شاخص**

**غنى شدگى کانيهای سنگين**

| EW | Sample No. | X<br>(Easting) | Y<br>(Northing) | Up-Srt         | Group    | SILVER-AU<br>E(e) | ORPIMENT<br>E(e) | CINNABAR<br>COPPER(e) | NATIVE<br>COPPER(e) | NATIVE<br>LEAD(e) | NATIVE<br>TE(e) | SMITHSONI<br>E(e) | SPHALERIT<br>E(e) | BORNITE<br>HEMIMORPHITE<br>ANGLESITE<br>HEITE(e) | PYROMORPHITE<br>(e) | PYRITE<br>LUMENITE(e) | PYRITE<br>OXIDE(e) | ILMENITE-Fe<br>E(e) |      |      |
|----|------------|----------------|-----------------|----------------|----------|-------------------|------------------|-----------------------|---------------------|-------------------|-----------------|-------------------|-------------------|--|---------------------|-----------------------|--------------------|---------------------|------|------|
| 1  | ZGH-3841   | 282988         | 4324053         | GMC            |          |                   |                  |                       |                     |                   |                 |                   |                   |  | 0.02                | 1.50                  | 0.02               | 0.02                |      |      |
| 2  | ZGH-3842   | 282311         | 4323778         | GMC            |          |                   |                  |                       |                     |                   |                 |                   |                   |  | 0.33                | 2.00                  |                    | 0.02                |      |      |
| 3  | ZGH-446    | 283433         | 43285410        | GMC            |          |                   |                  |                       | 0.65                | 0.65              | 28.00           | 1.60              | 1.33              | 12.80  | 14.00               | 1.12                  | 11.62              | 14.00               | 1.00 |      |
| 4  | ZGH-45     | 281603         | 430790          | FGB,GMC        |          |                   |                  |                       |                     |                   |                 |                   |                   |  | 0.70                | 0.80                  | 0.67               | 0.84                | 0.70 |      |
| 5  | ZGH-490    | 243613         | 4356090         | AL,FGB,GMC     |          |                   |                  |                       |                     |                   |                 |                   |                   |  | 0.02                | 0.40                  | 0.04               |                     |      |      |
| 6  | ZGH-495    | 283778         | 4352590         | AL,FGB         |          |                   |                  |                       |                     |                   |                 |                   |                   |  | 1.00                | 0.02                  |                    |                     |      |      |
| 7  | ZGH-112    | 283470         | 4381860         | AL,FGB         | Cluster1 |                   |                  |                       |                     |                   |                 |                   |                   |  | 0.35                |                       | 1.25               | 0.08                |      |      |
| 8  | ZGH-118    | 2874805        | 4381000         | AL,FGB         |          |                   |                  |                       |                     |                   |                 |                   |                   |  | 0.01                | 0.01                  | 0.10               |                     |      |      |
| 9  | ZGH-191    | 247120         | 4356840         | AL,FGB,GMC     |          |                   |                  |                       |                     |                   |                 |                   |                   |  | 0.03                | 0.02                  |                    |                     |      |      |
| 10 | ZGH-249    | 248298         | 4347270         | AL,FGB,GMC     |          |                   |                  |                       |                     |                   |                 |                   |                   |  | 1.05                | 0.95                  | 1.05               | 0.84                | 7.47 | 4.50 |
| 11 | ZGH-246    | 248863         | 4347230         | AL,FGB,GMC,CGB |          |                   |                  |                       |                     |                   |                 |                   |                   |  | 1.05                | 0.96                  |                    |                     | 7.47 | 0.45 |
| 12 | ZGH-202    | 246190         | 4339870         | AL,FGB         |          |                   |                  |                       |                     |                   |                 |                   |                   |  |                     | 0.05                  |                    | 12.75               | 2.98 |      |
| 13 | ZGH-357    | 252047         | 4331270         | AL,GMC         |          |                   |                  |                       | 1.29                | 1.29              |                 |                   |                   |  |                     | 1.86                  | 1.00               |                     |      |      |
| 14 | ZGH-41     | 261680         | 4325325         | GMC            |          |                   |                  |                       | 1.00                | 1.00              |                 |                   |                   |  |                     | 0.02                  | 0.28               |                     | 1.00 |      |
| 15 | ZGH-412    | 267933         | 4327780         | AL,GMC         |          |                   |                  |                       |                     |                   |                 |                   |                   |  |                     | 0.13                  | 0.87               | 1.00                |      |      |
| 16 | ZGH-318    | 286522         | 4335980         | AL,GMC         | Cluster2 |                   |                  |                       | 1.00                |                   |                 |                   |                   |  |                     | 2.00                  | 1.00               | 0.10                |      |      |
| 17 | ZGH-345    | 246503         | 4332970         | AL,FGB,GMC,CGS |          |                   |                  |                       |                     |                   |                 |                   |                   |  | 0.82                |                       |                    |                     |      |      |
| 18 | ZGH-385    | 254333         | 4327780         | AL,GMC         |          |                   |                  |                       |                     |                   |                 |                   |                   |  | 1.00                |                       |                    |                     |      |      |
| 19 | ZGH-211    | 242292         | 4336450         | AL,FGB         |          |                   |                  |                       |                     |                   |                 |                   |                   |  | 0.37                |                       |                    |                     |      |      |
| 20 | ZGH-390    | 246543         | 4339280         | AL,GMC,CGS     |          |                   |                  |                       |                     |                   |                 |                   |                   |  | 1.31                |                       |                    |                     |      |      |
| 21 | ZGH-261    | 2463980        | 4339860         | AL             |          |                   |                  |                       |                     |                   |                 |                   |                   |  | 0.69                |                       |                    |                     |      |      |
| 22 | ZGH-331    | 256598         | 4322230         | AL,GMC         |          |                   |                  |                       |                     |                   |                 |                   |                   |  | 0.69                |                       |                    |                     |      |      |
| 23 | ZGH-348    | 252622         | 4331330         | AL,FGB,GMC,CGS |          |                   |                  |                       |                     |                   |                 |                   |                   |  | 1.00                |                       |                    |                     |      |      |
| 24 | ZGH-461    | 2448578        | 4322710         | FGB,GMC,COS    |          | 1.00              |                  |                       |                     |                   |                 |                   |                   |  | 0.37                |                       |                    |                     |      |      |
| 25 | ZGH-277    | 265485         | 4340880         | AL,FGB         |          |                   |                  |                       |                     |                   |                 |                   |                   |  | 1.54                |                       |                    |                     |      |      |
| 26 | ZGH-287    | 244231         | 4340880         | AL,FGB         |          |                   |                  |                       |                     |                   |                 |                   |                   |  | 0.69                |                       |                    |                     |      |      |
| 27 | ZGH-304    | 250606         | 4337190         | AL,FGB,GMC     |          |                   |                  |                       |                     |                   |                 |                   |                   |  | 0.38                | 0.02                  | 0.76               |                     |      |      |
| 28 | ZGH-8      | 285104         | 4312760         | AL,FGB,GMC     | Cluster4 |                   |                  |                       |                     |                   |                 |                   |                   |  | 4.42                | 1.00                  | 1.00               | 1.00                |      |      |
| 29 | ZGH-118    | 2634433        | 43388020        | AL             |          |                   |                  |                       |                     |                   |                 |                   |                   |  | 1.50                | 1.50                  | 0.11               | 1.33                |      |      |
| 30 | ZGH-3453   | 282398         | 4325683         | GMC            |          |                   |                  |                       |                     |                   |                 |                   |                   |  | 1.00                | 1.00                  | 0.06               |                     |      |      |
| 31 | ZGH-448    | 284160         | 4325326         | AL,GMC         |          |                   |                  |                       |                     |                   |                 |                   |                   |  | 0.89                | 0.89                  | 1.00               | 0.05                | 2.67 | 0.80 |
|    |            |                |                 |                |          |                   |                  |                       |                     |                   |                 |                   |                   |  | 106.67              | 1.90                  | 0.79               | 1.00                | 8.34 | 8.89 |
|    |            |                |                 |                |          |                   |                  |                       |                     |                   |                 |                   |                   |  | 0.71                |                       |                    |                     |      |      |

